Zodchii.ws
Библиотека
Строительства

I. Богословский, А. Н. Сканави

ОТОПЛЕНИЕ

Допущено
Государственным комитетом СССР
по народному образованию в качестве учебника
для студентов высших учебных заведений,
обучающихся по специальности
«Теплогазоснабжение и вентиляция»

Здесь могла быть Ваша реклама
По вопросам размещения рекламы в электронной
строительной литературе обращайтесь на
e-mail:admin@zodchii.ws или по ICQ305950110

Москва Стройиздат 1991

ББК 38.762
Б 74
УДК 697. 1 (075.8)

Рецензенты — кафедра теплоснабжения и вентиляции Полтавского инженерно-строительного института (зав. кафедрой А. Ф. Строй) и д-р техн. наук проф. В. И. Бодров (Горьковский инженерно-строительный институт им. В. П. Чкалова).

Редактор — Н. А. Хаустова

Сканирование — Р. Ю. Кудаков

Богословский В. Н., Сканави А. Н.

Б 74 Отопление: Учеб. для вузов.— М.: Стройиздат, 1991.— 735 с.: ил.

ISBN 5-274-01527-1

Изложены устройство и принцип действия различных систем отопления зданий. Приведены методы расчета зимнего теплового режима зданий и тепловой мощности системы отопления. Рассмотрены приемы конструирования, методы расчета и способы регулирования систем центрального и местного отопления. Проанализированы и намечены пути совершенствования систем и экономии тепловой энергии при отоплении зданий.

Для студентов вузов, обучающихся по специальности «Теплогазоснабжение и вентиляция».

Б $\frac{3309000000-410}{047(01)-91}$ 180—91

ББК 38.762

ISBN 5-274-01527-1

© В. Н. Богословский, А. Н. Сканави, 1991

Электронная библиотека http://tgv.khstu.ru/

ПРЕДИСЛОВИЕ

Дисциплина «Отопление» является одной из профилирующих при подготовке специалистов по теплоснабжению и вентиляции. Изучение ее предусматривает получение знаний по конструкциям, принципам действия и характерным свойствам различных систем отопления, используемых в современной отопительной технике; освоение научных методов расчета и регулирования; приемов проектирования; знакомство с перспективными путями развития способов отопления зданий.

Для овладения теоретическими, научно-техническими и практическими знаниями, относящимися к дисциплине «Отопление», необходимы глубокое понимание и усвоение физических процессов и явлений, происходящих в системах отопления и их отдельных элементах, в обогреваемых зданиях. К ним относятся движение воды, пара и воздуха по трубам и каналам, явления их нагревания и охлаждения, изменения температуры, плотности, объема, фазовых превращений, а также процессы контроля и регулирования теплового режима зданий.

Дисциплина «Отопление» основана на положениях ряда теоретических и прикладных дисциплин. К ним относятся физика, химия, тепломассообмен и термодинамика, гидравлика и аэродинамика, а также электротехника.

Способ отопления в большой мере зависит от особенностей конструктивного и архитектурно-планировочного решений зданий, от теплотехнических свойств их ограждений, т. е. вопросов, которые изучаются в общестроительных дисциплинах и в дисциплине «Строительная теплофизика».

Дисциплина «Отопление» тесно связана со специальными техническими дисциплинами, составляющими специальность «Теплогазоснабжение и вентиляция», в первую очередь с дисциплинами «Теплогенерирующие установки», «Теплоснабжение», «Вентиляция», «Кондиционирование воздуха», «Насосы и вентиляторы», «Газоснабжение». Поэтому в нее входят многие смежные элементы перечисленных дисциплин, рассматриваемые в сокращенном виде. В эту дисциплину включены также отдельные вопросы экономики, использования вычислительной техники при проектировании, производства заготовительно-сборочных работ при монтаже, автоматизации регулирования отопительных установок, подробно рассматриваемые в соответствующих курсах.

Предыдущий учебник «Отопление», разработанный коллективом авторов Московского инженерно-строительного института им. В. В. Куйбышева, вышел в свет в 1975 г. Изменения в технике

Электронная библиотека http://tgv.khstu.ru/

отопления, в первую очередь водяного, пересмотр нормативных документов в прошедшие годы, перестройка высшего образования, начатая в 1987 г., оказывают влияние на изложение учебного курса и, следовательно, должны найти свое отражение в новом учебнике.

Настоящий учебник «Отопление» разработан кафедрой Отопления и вентиляции МИСИ в соответствии с типовой программой.

Учебник написан на основе лекций, читаемых проф. А. Н. Сканави в МИСИ с 1958 г. Разделы учебника, относящиеся к тепловому режиму отапливаемых зданий, связаны с дисциплиной «Строительная теплофизика», которая разработана и читается проф. В. Н. Богословским с 1962 г. Учебник дополнен разделами, посвященными совершенствованию и развитию систем отопления, использованию возобновляемых источников энергии, экономии тепловой энергии на отопление зданий и др.

Наличие обстоятельной справочной литературы по отоплению, непрерывная модернизация оборудования побудили авторов отказаться от подробного описания оборудования, приложения распространенных справочных данных, расчетных таблиц, графиков и номограмм, за исключением отдельных конкретных сведений, необходимых для примеров и пояснения конструкций и физических явлений.

После каждой главы даны контрольные задания и упражнения, предназначенные для проверки полученных знаний. Они могут быть использованы в учебно-исследовательской работе студентов, а также при проведении государственного экзамена по специальности.

Ведущая роль в составлении учебника «Отопление» принадлежит проф. А. Н. Сканави, который помимо написания основной его части провел общее редактирование всей книги. Им написаны предисловие, введение, гл. 1, 4—12, 15, 16, § 17.3, 18.2—18.4, 19.4, 19.5. Главы 2, 3, § 19.1—19.3 составлены д-ром техн. наук, засл. деят. науки и техники РСФСР проф. В. Н. Богословским.

Авторы приносят благодарность за помощь в составлении учебника преподавателям МИСИ: канд. техн. наук Л. М. Махову (§ 4.8, 17.1, 17.2, 17.4, 18.1, 19.6), канд. техн. наук И. В. Мещанинову (§ 13.1—13.7), канд. техн. наук Е. Г. Малявиной (§ 14.1—14.5), канд. техн. наук С. Г. Булкину (§ 20.1—20.4).

Авторы выражают глубокую признательность рецензентам д-ру техн. наук проф. В. И. Бодрову (Горьковский инженерно-строительный институт) и кафедре ТГиВ (зав. каф. А. Ф. Строй) Полтавского инженерно-строительного института за ценные советы и замечания, сделанные при рецензировании рукописи учебника.

Электронная библиотека http://tgv.khstu.ru/

ВВЕДЕНИЕ

Потребление энергии в нашей стране, как и во всем мире, неуклонно возрастает и прежде всего для теплообеспечения зданий и сооружений. Известно, что на теплоснабжение гражданских и производственных зданий расходуется более одной трети всего добываемого органического топлива. Между тем добыча топлива обходится все дороже в связи с освоением глубоких месторождений в новых отдаленных районах. Поэтому при дальнейшем развитии народного хозяйства страны необходима экономия топлива.

Для экономии топлива прежде всего предусмотрено, как генеральное направление, дальнейшее развитие централизованного теплоснабжения на базе совместной выработки тепловой и электрической энергии (от ТЭЦ). В отдельных больших городах предусматривается централизованное теплоснабжение от атомных теплостанций (от АСТ).

Распространено теплоснабжение зданий и сооружений от небольших теплогенерирующих установок (местных котельных, печей), которые иногда работают с перерасходом топлива и вызывают загрязнение окружающей среды. На основе действующей Энергетической программы страны несовершенные установки постепенно заменяются более совершенными, а также крупными тепловыми станциями (ТС), что, в связи с повышением КПД, способствует сокращению дополнительной добычи топлива для мелких теплоисточников.

Основными среди теплозатрат на коммунально-бытовые нужды в зданиях (отопление, вентиляция, кондиционирование воздуха, горячее водоснабжение) являются затраты на отопление. Это объясняется условиями эксплуатации зданий в холодное время года на большей части территории страны, когда теплопотери через ограждающие конструкции зданий значительно превышают внутренние тепловыделения. Приходится для поддержания необходимой температуры внутреннего воздуха оборудовать здания отопительными установками.

Следовательно, **отоплением** называется искусственное обогревание помещений здания с возмещением теплопотерь для поддержания в них температуры на заданном уровне, определяемом условиями теплового комфорта для находящихся людей и требованиями протекающего технологического процесса. Для этого предусматривают отопительную установку.

Электронная библиотека http://tgv.khstu.ru/

Отопление является отраслью строительной техники. Монтаж стационарной отопительной установки проводится в процессе возведения здания, ее элементы при проектировании увязываются со строительными конструкциями и сочетаются с планировкой и интерьером помещений. Вместе с тем отопление — один из видов технологического оборудования зданий.

Функционирование отопления характеризуется определенной периодичностью в течение года и изменчивостью использования мощности установки, зависящей, прежде всего, от метеорологических условий в холодное время года.

При понижении температуры наружного воздуха и усилении ветра должна увеличиваться, а при повышении температуры наружного воздуха, воздействии солнечной радиации уменьшаться теплопередача от отопительных установок в помещения, т. е. теплопередача от отопительных установок должна постоянно регулироваться. Изменение внешних воздействий сочетается с неравномерными теплопоступлениями от внутренних производственных и бытовых источников, что также вызывает необходимость регулирования действия отопительных установок.

Для создания и поддержания теплового комфорта в помещениях зданий требуются технически совершенные и надежные отопительные установки. И чем суровее климат местности и выше требования к обеспечению благоприятных тепловых условий в здании, тем более мощными и гибкими должны быть эти установки.

Климат большей части территории нашей страны отличается суровой зимой, схожей лишь с зимой в северо-западных провинциях Канады и на Аляске. В табл. 1 сравниваются климатические условия в январе в Москве с условиями в крупных городах северного полушария Земли.

Средняя температура января в зарубежных городах, приведенная в табл. 1, характерна лишь для самых южных городов Советского Союза, отличающихся мягкой и короткой зимой.

Отопление зданий начинают при устойчивом (в течение 3 сут) понижении среднесуточной температуры наружного воздуха до 8 °С и ниже, заканчивают отопление при устойчивом повышении температуры наружного воздуха до 8 °С. Период отопления зданий в течение года называют **отопительным сезоном.** Длительность отопительного сезона уста-

Электронная библиотека http://tgv.khstu.ru/

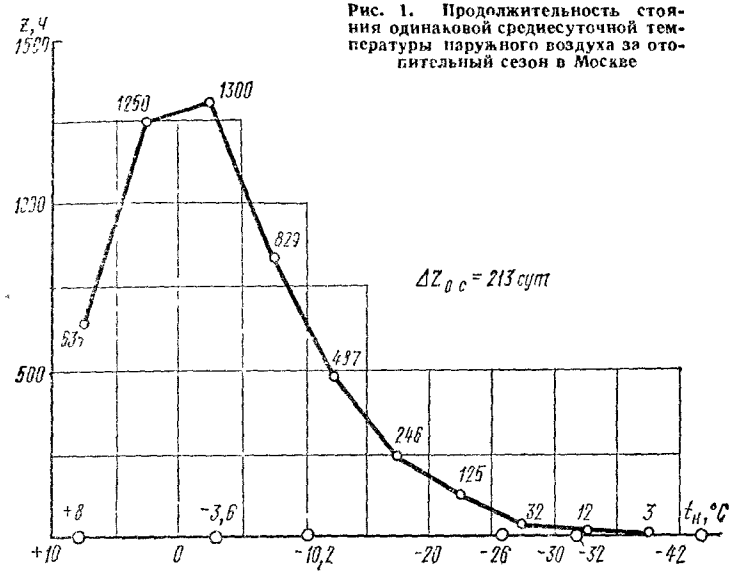

Рис. 1. Продолжительность стояния одинаковой среднесуточной температуры наружного воздуха за отопительный сезон в Москве

навливают на основании многолетних наблюдений как среднее число дней в году с устойчивой среднесуточной температурой воздуха $\leqslant 8$ °С.

Таблица 1. Средняя температура наружного воздуха в крупных городах северного полушария в течение наиболее холодного месяца

Город	Географическая широта	Средняя температура января, °С
Москва	55°50′	—10,2
Нью-Йорк	40°40′	—0,8
Берлин	52°30′	—0,3
Париж	48°50′	+2,3
Лондон	51°30′	+4,0

Для характеристики изменения температуры наружного воздуха в течение отопительного сезона рассмотрим график (рис. 1) продолжительности стояния одинаковой среднесуточной температуры в Москве, где отопительный сезон

Электронная библиотека http://tgv.khstu.ru/

длится 7 мес (213 сут). Как видно, наибольшая продолжительность стояния температуры в Москве относится к средней температуре отопительного сезона (—3,6 °С). Эта закономерность характерна для большинства районов страны.

Продолжительность отопительного сезона невелика лишь на крайнем юге (3—4 мес), а на большей части СССР она составляет 6—8 мес, доходя до 9 (в Архангельской, Мурманской и других областях) и даже до 11—12 мес (в Магаданской обл. и Якутской республике).

Суровость или мягкость зимы полнее выражается не длительностью отопления зданий, а значением градусо-суток — произведением числа суток действия отопления на разность внутренней и наружной температуры, средней в течение этого периода времени. В Туркмении это число градусо-суток равно 850, в Москве — 4600, а на севере Красноярского края доходит до 12800. Приведенные данные свидетельствуют о большом разнообразии местных климатических условий на территории Советского Союза.

Необходимо также отметить важность отопления для нашей страны, где почти каждое здание должно иметь отопительную установку.

Состояние воздушной среды в помещениях в холодное время года определяется действием не только отопления, но и вентиляции. Отопление и вентиляция предназначены для поддержания в помещениях помимо необходимой температуры определенных влажности, подвижности, давления, газового состава и чистоты воздуха. Во многих производственных и гражданских зданиях отопление и вентиляция неотделимы, они совместно создают требуемые санитарно-гигиенические условия, что способствует снижению числа заболеваний людей, улучшению их самочувствия, повышению производительности труда и качества продукции.

В сооружениях агропромышленного комплекса средствами отопления и вентиляции поддерживаются климатические условия, обеспечивающие максимальную продуктивность животных, птиц и растений, сохранность овощей и фруктов.

Рабочие помещения и здания, а также продукты труда требуют для сохранения своего нормального состояния надлежащих температурных условий. Недостаточно отапливаемые здания быстрее разрушаются вследствие нарушения

Электронная библиотека http://tgv.khstu.ru/

необходимого температурно-влажностного режима их конструкций. Технологические процессы получения и хранения ряда продуктов, изделий и веществ (точных приборов и ламп, пряжи и тканей, кинопленки и стекла, муки и бумаги и т. д.) требуют строгого поддержания заданной температуры помещений.

Состояние отопительной техники, как и любой другой отрасли техники, определяется уровнем развития производительных сил и характером производственных отношений в обществе.

Процесс перехода от очагов для отопления помещений к жаровням, печам, каминам, конвекторам, излучателям и другим отопительным приборам сопровождался улучшением способа сжигания топлива и совершенствованием их конструкции. Вместе с тем различные способы отопления помещений трудно отнести к определенным этапам исторического общественного развития.

В одно и то же время встречались технические устройства отопления, стоящие и на самом низком и на достаточно высоком уровнях. Самый простой и древний способ отопления путем сжигания топлива внутри помещения соседствовал с центральными установками водяного и воздушного отопления. Так, в г. Эфесе, основанном в X в. до н. э. на территории современной Турции, для отопления уже в то время использовались системы трубок, в которые подавалась горячая вода из закрытых котлов, находящихся в подвалах домов. Система воздушного отопления «Хюпокаустум» («снизу согретый»), созданная в Римской империи, подробно описана Витрувием (конец I в. до н. э.). Наружный воздух нагревался в подпольных каналах, предварительно прогретых горячими газами, и поступал в отапливаемые помещения. По такому же принципу обогревались помещения замков в Германии в средние века.

Одновременное использование различных по совершенству отопительных установок отражало классовый характер общества. Костры, очаги и примитивные печи использовались в жилищах бедняков, водяное и воздушное отопление — в дворцах и банях знати. Это различие в отопительных установках, имевшееся 2000—3000 лет назад, существовало и в средние века.

В течение нескольких тысячелетий для отопления жилищ применялись глинобитные печи, топившиеся «по-чер-

Электронная библиотека http://tgv.khstu.ru/

ному» с отводом дыма в помещение и через него наружу. В дворцах устраивалось центральное огневоздушное подпольное отопление, обнаруженное при раскопках на территории Хакассии в Сибири, Древних Китая и Греции.

В России лишь в XV—XVI вв. печи в жилых помещениях были дополнены трубами и стали называться «белыми» или «русскими». Появилось воздушное отопление. Известно, что в XV в. такое отопление было устроено в Грановитой палате в Московском Кремле, а затем под названием «русская система» применялось в Германии и Австрии для отопления крупных зданий.

После опубликования в России в конце XVIII в. книг Н. А. Львова («Русская пиростатика», 1795 и 1799 гг.) появились системы воздушного отопления, совмещенные с вентиляцией.

Обобщающий печное отопление труд — «Теоретические основания печного дела» — был написан И. И. Свиязевым в 1867 г.

В XVIII в. в Англии и Франции были изобретены (хотя отдельные установки встречались и ранее) системы парового и водяного отопления. Они сначала применялись для отопления оранжерей и теплиц, а потом с начала следующего столетия — и зданий. В России первая система парового отопления была осуществлена в Петербурге в 1816 г., водяного отопления — в 1834 г. (П. Г. Соболевский). В России паровое отопление высокого давления устраивалось исключительно в производственных зданиях, что свидетельствует о понимании связанных с его применением недостатков. Позднее стали применять системы низкого давления. Водяное же отопление преимущественно распространялось в гражданском строительстве, в первую очередь — в больницах.

Остановимся подробнее на истории водяного отопления, широко применяемого в настоящее время.

В XIX в. водяное отопление устраивалось с естественной циркуляцией воды. В 50—60-х годах того века распространилось, как более дешевое, водяное отопление высокого давления по системе Перкинса (патент 1831 г.). Система составлялась из вертикальных толстостенных трубок (внутренний диаметр 15 мм, наружный 25 мм), со всех сторон замкнутых и заполненных водой. Вода нагревалась в змеевике, помещенном в центральную печь. Такого же рода

Электронная библиотека http://tgv.khstu.ru/

змеевики «(нагревательные спирали»), соединенные одной трубой (сейчас подобная связь отопительных приборов именуется однотрубной), размещались в обогреваемых помещениях. В системе циркулировала вода под значительным давлением (до 7 МПа), нагреваемая до 260—300 °С.

В системе водяного отопления высокого давления кроме змеевиков в помещениях использовались гладкие трубы большого диаметра, а затем и ребристые трубы — первые специальные отопительные приборы. Применялось также водяное отопление повышенного давления (до 0,8 МПа) по системе Дювуара горизонтального типа с отопительными приборами в виде чугунных цилиндрических печей со сквозным внутренним каналом (система подобного вида действует и сейчас в одном из зданий в г. Горьком).

С 70-х годов прошлого столетия с водяным отоплением высокого давления стало успешно конкурировать водяное отопление низкого давления, выполняемое заводом Сан-Галли в Петербурге по горизонтальной схеме с отопительными приборами из ребристых труб (фасонные части и арматура ввозились из Германии). В последней трети XIX в. водяное отопление низкого давления осуществлялось в различных городах России Петербургским металлическим заводом (О. Е. Крелль) в виде вертикальных и горизонтальных однотрубных систем.

В 1875 г. К. Лешевич впервые устроил квартирное водяное отопление низкого давления с вертикальными плоскими стальными отопительными приборами, действующее самостоятельно или во время топки кухонного очага.

В 80-х годах стало распространяться центральное водяное отопление с вертикальной прокладкой труб по однотрубной схеме с отопительными приборами в виде вертикальных оребренных тумб (различной высоты) и обходными ветками вдоль них (в настоящее время их называют замыкающими участками). Около каждого отопительного прибора стали устанавливать регулирующие краны.

В 90-х годах появилось двухтрубное водяное отопление (под влиянием законодателя германской отопительной техники Г. Ритшеля), где по одной из параллельно прокладываемых двух вертикальных труб подавалась в отопительные приборы нагретая вода, по другой — отводилась охлажденная. Единственным, кто продолжал практиковать применение однотрубного водяного отопления, был Петер-

Электронная библиотека http://tgv.khstu.ru/

бургский металлический завод (теперь ЛМЗ). На этом заводе осуществлялись изготовление по собственным проектам, предварительная заготовка и сборка отдельных элементов. Поэтому монтаж (также силами завода) отопительных установок в зданиях проводился в сокращенные сроки.

Вертикальные трубы отопления прокладывались скрыто в стенах, ребристые трубы закрывались щитами и декоративными решетками.

Для начала XX в. характерно стремление к уменьшению первоначальной стоимости отопительных установок. Водяное отопление устраивается с открытой прокладкой вертикальных труб и открытой установкой отопительных приборов (около 1900 г. появились чугунные радиаторы). Применяются различные решения с целью повышения скорости движения воды для уменьшения диаметра труб. Побуждение циркуляции воды предлагалось осуществлять путем подмешивания к воде в подъемных трубах воздуха, пара, перегретой воды *. В. М. Чаплин разработал и в 1903 г. впервые применил в Москве паро-водо-водяное отопление с побуждением циркуляции воды пароструйным инжектором. Для отопления здания устанавливались два котла: паровой для получения пара под давлением 0,05—0,3 МПа (в зависимости от высоты здания) и водогрейный для нагревания воды до температуры от 100 до 150 °С, которая, смешиваясь с охлажденной водой, поступала при пониженной температуре (не выше 90 °С) для отопления помещений.

Предложенное В. М. Чаплиным ** эжектирование охлажденной воды при подаче снаружи высокотемпературной воды повсеместно используется до настоящего времени для центрального водяного отопления зданий.

В 1905 г. В. А. Яхимович предложил и внедрил «трубчатые приборы с рубашкой из бетона» — паробетонные приборы панельно-лучистого отопления, основанного на заделке нагревательных элементов в толщу ограждающих конструкций помещений. В последующие 10 лет было выполнено свыше 100 таких отопительных установок.

В те же годы появилось районное отопление — несколько зданий стали снабжаться тепловой энергией из одного

* **Павловский А. К.** Курс отопления и вентиляции, 1909 г.
** **Чаплин В. М.** Отопление и вентиляция. Вып. I. Отопление.— М.: Госиздат, 1923.

Электронная библиотека http://tgv.khstu.ru/

центра. При этом в качестве теплоносителя «дальнего действия» использовался пар, в зданиях устанавливались пароводяные теплообменники («бойлеры») и оборудовалось водяное отопление с естественной циркуляцией. Например, таким пароводяным отоплением в 1903 г. были оборудованы 13 корпусов Петербургской детской больницы (А. К. Павловский).

Начало применения насосов в России для побуждения циркуляции воды с целью не только уменьшения диаметра труб, но и увеличения радиуса действия водяного отопления относится к 1909 г. Осторожное отношение к использованию насосов в водяном отоплении последовало после отрицательного выступления Г. Ритшеля на третьем Германском съезде по отоплению и вентиляции в 1901 г. Насосное водяное отопление впервые было осуществлено в Михайловском театре в Петербурге (Н. П. Мельников). В двухтрубной системе отопления каждый радиатор снабжался обходной веткой с переключательным трехходовым краном для возможности использования ее при выключении радиатора.

В 1912 г. насосное водяное отопление было запроектировано Н. П. Мельниковым в нескольких крупных зданиях, в том числе в корпусах Института инженеров путей сообщения, где устраивалось впервые районное водо-водяное отопление с радиусом действия около 400 м при давлении, создаваемом насосом, 100 кПа. В здании Эрмитажа пневматическое (воздушное) отопление системы Аммосова было заменено водяным, рассчитанным на поддержание температуры в помещениях с колебанием в пределах 0,5 °С.

В общем же в царской России установок центрального водяного отопления было мало и большинство их монтировалось в расчете на гравитационную (естественную) циркуляцию воды *. Основная масса зданий, даже в столице, имела печное отопление, что отражалось на структуре и содержании тогдашних учебников по отоплению: они начинались с крупного раздела — печное отопление.

После Октябрьской революции во всех районах нашей страны началось крупное строительство производственных и гражданских зданий. Расширялась область применения водяного отопления. Согласно выпущенному Народным Ко-

---

* **Орлов А. И.** Русская отопительно-вентиляционная техника.— М.: Госстройиздат, 1950.

Электронная библиотека http://tgv.khstu.ru/

миссариатом труда ОСТ предлагалось оборудовать центральным отоплением все вновь возводимые жилые здания высотой более трех этажей (в последующем более двух этажей).

Сначала водяное отопление выполнялось на базе местных отопительных котельных (в подвалах зданий), а затем с развитием теплофикации — при теплоснабжении от ТЭЦ. Повсеместно применялось искусственное (насосное) побуждение циркуляции воды. Паровое отопление сохранялось только в производственных зданиях при наличии пара, предназначенного для технологических нужд.

В области водяного отопления период до середины текущего столетия характерен широким (кроме Ленинграда) применением двухтрубного распределения теплоносителя воды по отопительным приборам зданий. С развитием массового крупнопанельного строительства, в том числе бесчердачного, предпочтение при отоплении многоэтажных зданий стало отдаваться вертикально-однотрубному соединению отопительных приборов. При этом обеспечивалось повышение степени механизации заготовительных работ, сборности установок для снижения трудовых затрат при их монтаже.

В настоящее время направление и интенсивность совершенствования отопительной техники определяются общими задачами перестройки и ускорения социально-экономического развития страны. В связи с ростом культурного уровня и благосостояния народа предъявляются повышенные требования к тепловому режиму помещений, зависящему от действия отопления. Установлены, например, оптимальные температурные условия работы учащихся 22 °С и недопустимость заметного отклонения от них (при понижении температуры до 15 °С усвоение слушателями излагаемого материала снижается на четверть, а при повышении температуры до 30 °С — наполовину).

Для создания наиболее благоприятных условий труда и быта людей разрабатываются и внедряются технически совершенные, эффективные отопительные установки. Их отдельные элементы (узлы и детали) унифицируются для сокращения затрат труда. Это особенно важно при большом объеме промышленного и гражданского строительства.

Эффективность действия отопительных установок обеспечивается путем оптимизации проектных решений с при-

Электронная библиотека http://tgv.khstu.ru/

менением ЭВМ, придания установкам надежности в эксплуатации, автоматического поддержания необходимой температуры теплоносителя. Исследуются режимы эксплуатации, изыскиваются способы управления отопительными установками для экономии тепловой энергии. Разрабатываются отопительные установки, основанные не на сжигании традиционных видов органического топлива (твердого, жидкого, газообразного), а на использовании сбросной теплоты и возобновляемых теплоисточников, в том числе низкотемпературных.

Одним из возобновляемых теплоисточников для отопления может являться солнечная энергия. Однако малая плотность лучистого потока на поверхности земли в большинстве районов страны ограничивает мощность отопительных гелиоустановок и их распространение. В отдельных районах для отопления потребляется геотермальная энергия (глубинная теплота Земли) в виде пара и горячей воды, используется теплота грунта.

Важным теплоисточником становится атомная энергия из-за известной ограниченности запасов органического топлива. Уже сейчас здания и сооружения, расположенные близ атомных электростанций или специальных атомных станций теплоснабжения, отапливаются водой, нагреваемой при действии атомных реакторов.

Для отопления помещений используется также электрическая энергия, в частности в районах расположения гидростанций. Можно предположить, что развитие энергетики с использованием атомной энергии существенно повлияет на дальнейшее развитие отопительной техники, которая возможно расширит свое назначение вплоть до изменения местных зимних климатических условий на территории заводов и поселений.

Электронная библиотека http://tgv.khstu.ru/

РАЗДЕЛ I. ОБЩИЕ СВЕДЕНИЯ ОБ ОТОПЛЕНИИ

ГЛАВА 1. ХАРАКТЕРИСТИКА СИСТЕМ ОТОПЛЕНИЯ

§ 1.1. Система отопления

Отопление помещений может быть конвективным и лучистым.

К **конвективному** относят отопление, при котором температура воздуха $t_в$ поддерживается на более высоком уровне, чем радиационная температура помещения t_R ($t_в > t_R$), понимая под радиационной усредненную температуру поверхностей, обращенных в помещение, вычисленную относительно человека, находящегося в середине помещения. Это широко распространенный способ отопления.

Лучистым считают отопление, при котором радиационная температура помещения превышает температуру воздуха ($t_R > t_в$). Лучистое отопление при несколько пониженной температуре воздуха (по сравнению с конвективным отоплением) более благоприятно для самочувствия людей в помещениях (например, до 18—20 °С вместо 20—22 °С в помещениях гражданских зданий).

Конвективное или лучистое отопление помещений осуществляется специальной технической установкой, называемой системой отопления. **Система отопления** — это совокупность конструктивных элементов со связями между ними, предназначенных для получения, переноса и передачи необходимого количества теплоты в обогреваемые помещения.

Основные конструктивные элементы системы отопления (рис. 1.1):

1 — теплоисточник (теплообменник при централизованном теплоснабжении) — элемент для получения теплоты;

2 — теплопроводы — элемент для переноса теплоты от теплоисточника к отопительным приборам;

3 — отопительные приборы — элемент для теплопередачи в помещения.

Перенос по теплопроводам может осуществляться с помощью жидкой или газообразной рабочей среды. Жидкая (вода и другие жидкости) или газообразная (пар, воздух,

Электронная библиотека http://tgv.khstu.ru/

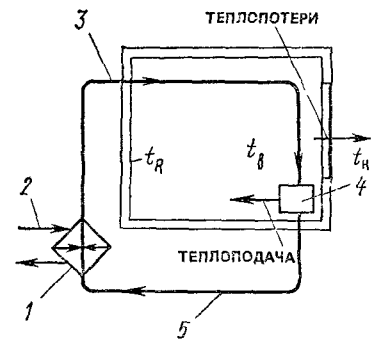

Рис. 1.1. Принципиальная схема системы отопления

1 — теплообменник (теплогенератор); *2* — подвод первичного теплоносителя (топлива); *3* — подающий теплопровод; *4* — отопительный прибор; *5* — обратный теплопровод

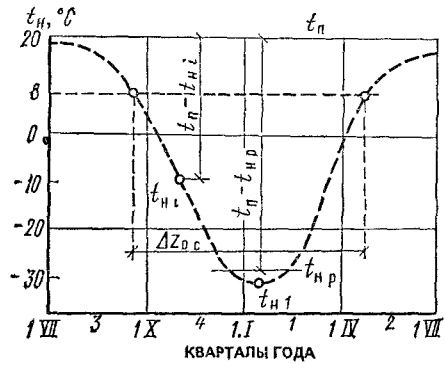

Рис. 1.2. Схема изменения среднесуточной температуры наружного воздуха в течение года в Москве

$t_{\text{п}}$ — температура помещения; t_t — минимальная среднесуточная температура; $z_{\text{о.с}}$ — продолжительность отопительного сезона

газ) среда, перемещающаяся в системе отопления, называется **теплоносителем.**

Система отопления для выполнения возложенной на нее задачи должна обладать определенной тепловой мощностью. Расчетная **тепловая мощность** системы выявляется в результате составления теплового баланса в обогреваемых помещениях при температуре наружного воздуха, называемой расчетной ($t_{\text{н р}}$ на рис. 1.2). Расчетная тепловая мощность в течение отопительного сезона должна использоваться частично в зависимости от изменения теплопотерь помещений при текущем значении температуры наружного воздуха ($t_{\text{н}.t}$ на рис. 1.2) и только при $t_{\text{н}.\text{р}}$ — *полностью.*

Текущие (сокращенные) теплозатраты на отопление имеют место в течение почти всего времени отопительного сезона, поэтому теплоперенос к отопительным приборам должен изменяться в широких пределах. Этого можно

Электронная библиотека http://tgv.khstu.ru/

достичь путем изменения (регулирования) температуры и количества перемещающегося в системе отопления теплоносителя. Регулироваться должны также затраты топлива в теплоисточнике.

К системе отопления предъявляются разнообразные требования. Все требования можно разделить на пять групп:

1 — **санитарно-гигиенические** — поддержание заданной температуры воздуха и внутренней поверхности ограждений во времени, в плане и по высоте помещений при допустимой подвижности воздуха; ограничение температуры поверхности отопительных приборов;

2 — **экономические** — невысокие капитальные вложения с *минимальным расходом металла; экономный расход* тепловой энергии при эксплуатации;

3 — **архитектурно-строительные** — соответствие интерьеру помещений, компактность, увязка со строительными конструкциями; согласование со сроком строительства зданий;

4 — **производственно-монтажные** — минимальное число унифицированных узлов и деталей, механизация их изготовления; сокращение трудовых затрат при монтаже;

5 — **эксплуатационные** — эффективность действия в течение всего периода работы, связанная с надежностью и техническим совершенством системы.

Деление требований на пять групп условно, так как в них входят требования, относящиеся как к периоду проектирования и строительства, так и эксплуатации зданий.

Наиболее важны санитарно-гигиенические и эксплуатационные требования, которые обусловливаются необходимостью поддерживать заданную температуру в помещениях в течение отопительного сезона и всего срока службы системы.

§ 1.2. Классификация систем отопления

Системы отопления *по расположению основных элементов* подразделяются на местные и центральные.

В **местных системах** для отопления одного помещения все три основных элемента (см. § 1.1) конструктивно объединяются в одной установке, непосредственно в которой происходят получение, перенос и теплопередача в помещение. Теплопереносящая рабочая среда нагревается горячей

Электронная библиотека http://tgv.khstu.ru/

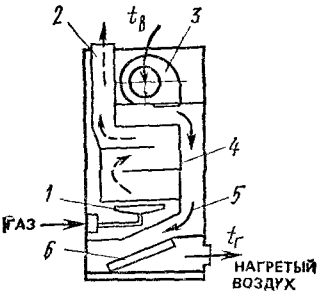

Рис. 1.3. Схема газовоздушного отопительного агрегата
1 — газовая горелка; *2* — дымоход; *3* — вентилятор; *4* — теплообменник; *5* — теплопроводы — каналы; *6* — воздушный фильтр

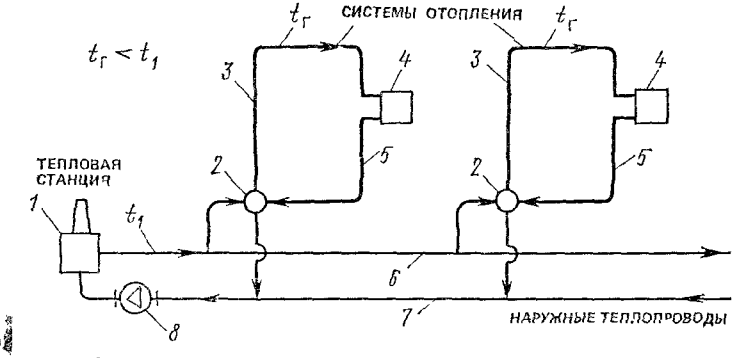

Рис. 1.4 Принципиальная схема районной системы отопления
1 — приготовление первичного теплоносителя; *2* — местный тепловой пункт; *3* и *5* — внутренние подающие и обратные теплопроводы *4* — отопительные приборы; *6* и *7* — наружный подающий и обратный теплопроводы; *8* — циркуляционный насос

водой, паром, электричеством или при сжигании какого-либо топлива.

Примером местной системы отопления является газовоздушный отопительный агрегат (рис. 1.3). Тепловая энергия, получаемая при сжигании газообразного топлива в горелке, передается в поверхностном теплообменнике теплоносителю воздуху, нагнетаемому вентилятором. Горячий воздух по теплопроводам — каналам (путь указан на рисунке стрелками) выпускается в помещение после очистки в фильтре Охладившиеся продукты сгорания газа удаляются (пунктирные стрелки) через дымоход в атмосферу.

В местной системе отопления с использованием электрической энергии теплопередача может осуществляться с

Электронная библиотека http://tgv.khstu.ru/

помощью жидкого или газообразного теплоносителя либо без него непосредственно через твердую среду.

Центральными называются системы, предназначенные для отопления группы помещений из одного теплового центра. В тепловом центре находятся теплообменники или теплогенераторы (котлы). Они могут размещаться в обогреваемом здании (в местном тепловом пункте или котельной), а также вне здания — в центральном тепловом пункте (ЦТП), на тепловой станции (отдельно стоящей котельной) или ТЭЦ.

Теплопроводы центральных систем подразделяют на *магистрали* (подающие, по которым подается теплоноситель, и обратные, по которым охладившийся теплоноситель отводится), *стояки* (вертикальные трубы или каналы) и *ветви* (горизонтальные трубы или каналы), связывающие магистрали с *подводками* к отопительным приборам (с ответвлениями к помещениям при теплоносителе воздухе).

Примером центральной системы является система отопления зданий с собственной котельной, принципиальная схема которой не будет отличаться от схемы на рис. 1.1, если отопительные приборы размещены во всех помещениях здания.

Центральная система отопления называется **районной,** когда группа зданий отапливается из отдельно стоящей центральной тепловой станции. Теплообменники и отопительные приборы системы здесь также разделены: теплоноситель (например, вода) нагревается на тепловой станции, перемещается по наружным и внутренним (внутри зданий) теплопроводам в отдельные помещения каждого здания к отопительным приборам и, охладившись, возвращается на станцию (рис. 1.4).

В современных системах теплоснабжения гражданских зданий от ТЭЦ и крупных тепловых станций используются два теплоносителя. *Первичный высокотемпературный теплоноситель* перемещается от ТЭЦ или станции по городским распределительным теплопроводам к ЦТП (или к отдельным зданиям) и обратно. *Вторичный теплоноситель* после нагревания в теплообменниках (или смешения с первичным) поступает по наружным (внутриквартальным) и внутренним теплопроводам к отопительным приборам в каждом обогреваемом помещении и затем возвращается в ЦТП.

Электронная библиотека http://tgv.khstu.ru/

Первичным теплоносителем обычно служат вода, пар или газообразные продукты сгорания топлива. Если, например, первичная высокотемпературная вода нагревает вторичную воду, то такую центральную систему отопления, строго говоря, следует именовать водо-водяной. Аналогично могут существовать водовоздушная, пароводяная, паровоздушная, газовоздушная и другие системы центрального отопления.*

По виду основного (вторичного) теплоносителя местные и центральные системы отопления принято называть системами водяного, парового, воздушного и газового отопления.

§ 1.3. Теплоносители в системах отопления

Движущаяся среда в системе отопления — теплоноситель — аккумулирует теплоту и затем передает ее в обогреваемые помещения. Теплоносителем для отопления может быть любая, достаточно подвижная и дешевая, жидкая или газообразная среда, соответствующая требованиям, предъявляемым к системе отопления (см. § 1.1).

Для отопления зданий и сооружений в настоящее время преимущественно используют, как уже известно, воду, водяной пар, атмосферный воздух, нагретые газы. В северных районах страны применяют воду с добавками во избежание замерзания теплоносителя в трубах (например, 27%-ный раствор хлористого кальция).

Органические теплоносители, температура кипения которых при атмосферном давлении превышает 250 °С (например, жидкое топливо), используются в специальных высокотемпературных установках. Этиленгликоль, как вещество 3-го класса опасности, применяют для отопления только тех сооружений, в которых люди не присутствуют.

Сопоставим основные свойства горячих газов, воды, пара и воздуха, характерные при использовании их в качестве теплоносителей в системах отопления.

Газы, образующиеся при сжигании твердого, жидкого или газообразного топлива, имеют сравнительно высокую

* В дальнейшем рассматриваются элементы систем отопления, размещающиеся внутри зданий. Наружные теплопроводы и тепловые станции относятся к дисциплинам «Теплоснабжение» и «Теплогенерирующие установки».

Электронная библиотека http://tgv.khstu.ru/

температуру и применимы для отопления в тех случаях, когда в соответствии с санитарно-гигиеническими требованиями удается ограничить температуру теплоотдающей поверхности приборов. При транспортировании горячих газов имеют место значительные попутные теплопотери (обычно бесполезные для обогревания помещений).

Высокотемпературные продукты сгорания топлива можно выпускать непосредственно в помещения или сооружения, но при этом способе отопления ухудшается состояние их воздушной среды, что в большинстве случаев недопустимо. Удаление же продуктов сгорания наружу по каналам усложняет и понижает КПД системы отопления.

Область использования горячих газов ограничена отопительными печами, газовыми калориферами и другими местными отопительными установками.

Наибольшее распространение в качестве теплоносителей в системах отопления имеют вода, пар и воздух. Они используются многократно и без загрязнения окружающей здания среды.

Вода представляет собой практически несжимаемую жидкую среду со значительной плотностью и теплоемкостью. Вода изменяет плотность, объем и вязкость в зависимости от температуры, а температуру кипения в зависимости от давления, способна сорбировать и выделять газы при изменении температуры и давления.

Пар является легкоподвижной средой со сравнительно малой плотностью. Температура и плотность пара зависят от давления. Пар значительно изменяет объем и энтальпию при фазовом превращении.

Воздух также является легкоподвижной средой со сравнительно малыми вязкостью, плотностью и теплоемкостью, изменяющей плотность и объем в зависимости от температуры.

Сравним эти три теплоносителя по показателям, важным для выполнения требований, предъявляемых к системе отопления.

Одним из **санитарно-гигиенических требований** является поддержание в помещениях равномерной температуры (см. § 1.1). По этому показателю преимущество перед другими теплоносителями имеет воздух. При использовании горячего воздуха — малотеплоинерционного теплоносителя — можно постоянно поддерживать равномерной

Электронная библиотека http://tgv.khstu.ru/

температуру каждого отдельного помещения, быстро изменяя температуру подаваемого воздуха, т. е. проводя так называемое эксплуатационное *регулирование*. Одновременно с отоплением можно обеспечить вентиляцию помещений.

Применение в системах отопления горячей воды также позволяет поддерживать равномерную температуру помещений, что достигается регулированием температуры подаваемой в приборы воды. При таком регулировании температура помещений все же может несколько отклоняться от заданной (на 1—2 °С) вследствие тепловой инерции масс воды, труб и приборов.

При использовании пара температура помещений неравномерна, что противоречит гигиеническим требованиям. Неравномерность температуры возникает из-за неравенства теплопередачи приборов при неизменной температуре пара (при постоянном давлении) изменяющимся теплопотерям в течение отопительного сезона. В связи с этим приходится уменьшать количество подаваемого пара и даже периодически выключать приборы во избежание перегревания помещений при уменьшении теплопотерь.

Другое санитарно-гигиеническое требование — ограничение температуры поверхности приборов — вызвано явлением разложения и сухой возгонки органической пыли на нагретой поверхности, сопровождающимся выделением вредных веществ в частности окиси углерода. Разложение пыли начинается при температуре 65—70 °С и интенсивно протекает на поверхности, имеющей температуру более 80 °С.

При использовании пара в качестве теплоносителя температура поверхности большинства отопительных приборов и труб постоянна и близка или выше 100 °С, т. е. превышает гигиенический предел. При отоплении горячей водой средняя температура нагревательной поверхности, как правило, ниже, чем при применении пара. Кроме того, температуру воды в системе отопления планомерно понижают для снижения теплопередачи приборов по мере уменьшения теплопотерь помещений. Поэтому при теплоносителе воде средняя температура поверхности приборов в течение отопительного сезона практически не превышает гигиенического предела.

Важным **экономическим показателем** при применении различных теплоносителей является расход металла на теплопроводы и отопительные приборы.

Электронная библиотека http://tgv.khstu.ru/

Расход металла на теплопроводы возрастает с увеличением площади их поперечного сечения. Вычислим соотношение площади поперечного сечения теплопроводов, по которым подаются различные теплоносители для передачи в помещения одинакового количества теплоты. Примем, что для отопления используются вода, температура которой понижается с 150 до 70 °С, пар давлением 0,17 МПа (температура 130 °С) и воздух, охлаждающийся с 60 °С до температуры помещения (например, 15 °С). Результаты расчетов, а также характерные параметры теплоносителей (плотность, теплоемкость воды и воздуха, удельная теплота конденсации пара) сведем в табл. 1.1.

Таблица 1.1. Сравнение основных теплоносителей для отопления

Параметры	Теплоноситель		
	вода	пар	воздух
Температура, разность температуры, °С	150—70 = 80	130	60—15 = 45
Плотность, кг/м³	917	1,5	1,03
Удельная массовая теплоемкость, кДж/(кг·°С)	4,31	1,84	1,0
Удельная теплота конденсации, кДж/кг	—	2175	—
Количество теплоты для отопления в объеме 1 м³ теплоносителя, кДж	316 370	3263	46,4
Скорость движения, м/с	1,5	80	15
Соотношение площади поперечного сечения теплопроводов	1	1,8	680

Видно, что площади поперечных сечений водоводов и паропроводов относительно близки; сечение воздуховодов в сотни раз больше. Это объясняется, с одной стороны, значительной теплоаккумуляционной способностью воды и свойством пара выделять большое количество теплоты при конденсации, с другой стороны — малыми плотностью и теплоемкостью воздуха.

При сравнении расхода металла следует также учесть, что площадь поперечного сечения труб для отвода конденсата от приборов — конденсатопроводов значительно мень-

Электронная библиотека http://tgv.khstu.ru/

ше площади сечения паропроводов, так как объем конденсата примерно в 1000 раз меньше объема той же массы пара.

Можно сделать вывод, что расход металла как на водоводы, так и на паро- и конденсатопроводы будет значительно меньшим, чем на воздуховоды, даже если последние выполнить со значительно более тонкими стенками. Кроме того, при большой длине воздуховодов малотеплоемкий теплоноситель (воздух) сильно охлаждается по пути. Этим объясняется, что при дальнем теплоснабжении в качестве теплоносителя используют не воздух, а воду или пар.

Расход металла на отопительные приборы, обогреваемые паром, меньше, чем на приборы, нагреваемые горячей водой, вследствие уменьшения площади приборов при более высоких значениях температуры нагревающей их среды. Конденсация пара в приборах происходит без изменения температуры насыщенного пара, а при охлаждении воды в приборах понижается средняя температура (например, до 110 °С при температуре воды, входящей в прибор, 150 °С и выходящей из прибора 70 °С). Так как площадь нагревательной поверхности приборов обратно пропорциональна температурному напору, то при температуре пара 130 °С (см. табл. 1.1) площадь паровых приборов приблизительно (считая коэффициенты теплопередачи равными) составит (110—20) : (130—20)=0,82 площади водяных приборов (20 °С — температура помещений).

В дополнение к известным **эксплуатационным показателям** следует отметить, что из-за высокой плотности воды (больше плотности пара в 600—1500 раз и воздуха в 900 раз) в системах водяного отопления многоэтажных зданий может возникать разрушающее гидростатическое давление. В связи с этим в высотных зданиях в США применяют системы парового отопления.

Воздух и вода могут перемещаться в теплопроводах бесшумно (до определенной скорости движения). Частичная конденсация пара вследствие попутных теплопотерь через стенки паропроводов (появление, как говорят, попутного конденсата) вызывает шум (щелчки, стуки и удары) при движении пара.

В заключение перечислим **преимущества и недостатки** основных теплоносителей для отопления.

При использовании **воды** обеспечивается довольно равномерная температура помещений, можно ограничить тем-

Электронная библиотека http://tgv.khstu.ru/

пературу поверхности отопительных приборов, сокращается по сравнению с другими теплоносителями площадь поперечного сечения труб, достигается бесшумность движения в трубах. Недостатками применения воды являются значительный расход металла и большое гидростатическое давление в системах; тепловая инерция воды замедляет регулирование теплопередачи приборов.

При использовании пара сравнительно сокращается расход металла за счет уменьшения площади приборов и поперечного сечения конденсатопроводов, достигается быстрое прогревание приборов. Гидростатическое давление пара в вертикальных трубах по сравнению с водой минимально. Однако пар как теплоноситель не отвечает санитарно-гигиеническим требованиям, его температура высока и постоянна при данном давлении, что не обеспечивает регулирования теплопередачи приборов, движение его в трубах сопровождается шумом.

При использовании **воздуха** можно обеспечить быстрое изменение или равномерность температуры помещений, избежать установки отопительных приборов, совмещать отопление с вентиляцией помещений, достигать бесшумности его движения в каналах. Недостатками являются его малая теплоаккумулирующая способность, значительные площадь поперечного сечения и расход металла на воздуховоды, относительно большое понижение температуры по длине воздуховодов.

§ 1.4. Основные виды систем отопления

В настоящее время в стране применяют главным образом центральные системы водяного и парового отопления, местные и центральные системы воздушного отопления, а также печное отопление. Приведем общую характеристику этих систем (кроме печного отопления) с детальной классификацией на основании рассмотренных свойств теплоносителей.

1. При водяном отоплении циркулирующая нагретая вода охлаждается в отопительных приборах и возвращается в тепловой центр для последующего нагревания.

Системы водяного отопления по способу создания циркуляции воды разделяются на системы с

Электронная библиотека http://tgv.khstu.ru/

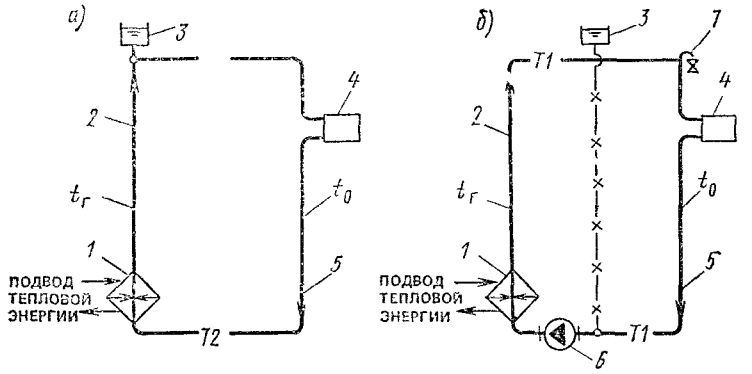

Рис. 1.5. Принципиальные схемы водяного отопления с естественной циркуляцией (гравитационная) (*а*) и с механическим побуждением циркуляции воды (насосная) (*б*)

1 — теплообменник; *2* — подающий теплопровод (Т1); *3* — расширительный бак; *4* — отопительный прибор; *5* — обратный теплопровод (Т2); *6* — циркуляционный насос; *7* — устройство для выпуска воздуха из системы

естественной циркуляцией (гравитационные) и с механическим побуждением циркуляции воды при помощи насосов (насосные). В **гравитационной** (лат. gravitas — тяжесть) **системе** (рис. 1.5, *а*) используется свойство воды изменять свою плотность при различной температуре. В замкнутой вертикальной системе с неравномерным распределением плотности под действием гравитационного поля Земли возникает естественное движение воды.

В насосной системе (рис. 1.5, б) используется насос с механическим приводом для повышения разности давления, вызывающей циркуляцию, и в системе создается вынужденное движение воды.

По температуре теплоносителя различаются системы *низкотемпературные* с предельной температурой горячей воды $t_г < 70$ °С, *среднетемпературные* при $t_г$ от 70 до 100 °С и *высокотемпературные* при $t_г > 100$ °С. Максимальное значение температуры воды ограничено в настоящее время 150 °С.

По положению труб, объединяющих отопительные приборы по вертикали или горизонтали, системы делятся на *вертикальные* и *горизонтальные*.

В зависимости *от схемы соединения труб с отопительными приборами* бывают системы однотрубные и двухтруб-

Электронная библиотека http://tgv.khstu.ru/

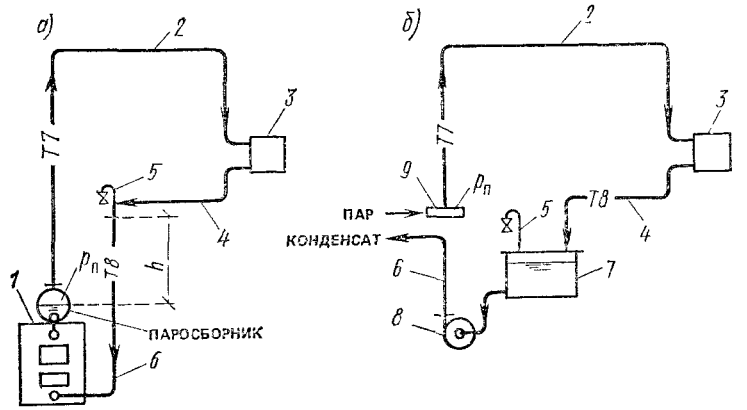

Рис. 1.6. Принципиальные схемы замкнутой (*а*) и разомкнутой (*б*) систем парового отопления

1 — паровой котел с паросборником. *2* — паропровод; *3* — отопительный прибор; *4* и *6* — самотечный и напорный конденсатопроводы; *5* — воздуховыпускная труба; *7* — конденсатный бак; *8* — конденсатный насос; *9* — парораспределительный коллектор

ные. В каждом стояке или ветви **однотрубной системы** приборы соединяются одной трубой, и вода протекает последовательно через все приборы. Если каждый отопительный прибор, установленный в помещении, разделен на две равные части («*а*» и «*б*»), в которых вода движется в противоположных направлениях и теплоноситель последовательно проходит сначала через все части «*а*», а затем через все части «*б*», то такая однотрубная система носит название *бифилярной* (двухпоточной).

В двухтрубной системе приборы отдельно присоединяются к двум трубам — подающей и обратной, и вода протекает через каждый прибор независимо от других приборов.

2. При паровом отоплении в приборах выделяется теплота фазового превращения в результате конденсации пара. Конденсат удаляется из приборов и возвращается в паровые котлы.

Системы парового отопления *по способу возвращения конденсата* в паровые котлы разделяются на замкнутые (рис. 1.6, *а*) с самотечным возвращением конденсата и разомкнутые (рис. 1.6, *б*) с перекачкой конденсата насосами. В **замкнутой системе** конденсат непрерывно поступает в котлы под действием разности давления, выраженного

Электронная библиотека http://tgv.khstu.ru/

столбом конденсата высотой h (см. рис. 1.6, *а*) и давления пара $p_п$ в котлах. Поэтому отопительные приборы должны находиться достаточно высоко над паросборниками котлов (в зависимости от давления пара в них).

В разомкнутой системе парового отопления конденсат из отопительных приборов непрерывно поступает в конденсатный бак и по мере накопления периодически перекачивается конденсатным насосом в котлы на тепловой станции. В такой системе расположение бака должно обеспечивать стекание конденсата из нижнего отопительного прибора в бак, а давление пара в котлах преодолевается давлением насоса.

В зависимости *от давления пара* системы парового отопления подразделяются на субатмосферные, вакуум-паровые, низкого и высокого давления (табл. 1.2)

Таблица 1.2. Параметры (округленные) насыщенного пара в системах парового отопления

Система	Абсолютное давление, МПа	Температура, °С	Удельная теплота конденсации, кДж/кг
Субатмосферная	<0,10	<100	>2260
Вакуум-паровая	<0,11		
Низкого давления	0,105—0,17	100—115	2260—2220
Высокого давления	0,17—0,27	115—130	2220—2175

Максимальное давление пара ограничено допустимым пределом длительно поддерживаемой температуры поверхности труб и отопительных приборов в помещениях (избыточному давлению 0,17 МПа соответствует температура пара приблизительно 130 °С).

В системах субатмосферного и вакуум-парового отопления давление в приборах меньше атмосферного и температура пара ниже 100 °С. В этих системах можно, изменяя величину вакуума (разрежения), регулировать температуру пара.

Теплопроводы систем парового отопления делятся на **паропроводы**, по которым пар перемещается от теплового центра до отопительных приборов, и **конденсатопроводы**

Электронная библиотека http://tgv.khstu.ru/

для отвода конденсата. По паропроводам пар перемещается под давлением $p_п$ в паросборниках котлов (см. рис. 1.6, *а*) или в коллекторах (см. рис. 1.6, *б*) к отопительным приборам.

Конденсатопроводы (см. рис. 1.6) могут быть **самотечными** и **напорными**. Самотечные трубы прокладывают ниже отопительных приборов с уклоном в сторону движения конденсата. В напорных трубах конденсат перемещается под действием разности давления, создаваемой насосом или остаточным давлением пара в приборах.

В системах парового отопления преимущественно используются двухтрубные стояки, но могут применяться и однотрубные.

3. При воздушном отоплении циркулирующий нагретый воздух охлаждается, передавая теплоту при смешении с воздухом обогреваемых помещений и иногда через их внутренние ограждения. Охлажденный воздух возвращается в тепловой центр.

Системы воздушного отопления *по способу создания циркуляции воздуха* разделяются на системы с естественной циркуляцией (гравитационные) и с механическим побуждением движения воздуха с помощью вентилятора.

В **гравитационной системе** используется различие в плотности нагретого и окружающего воздуха. Как и в водяной вертикальной гравитационной системе, при различной плотности воздуха в вертикальных частях возникает естественное движение воздуха в системе. При применении **вентилятора** в системе создается вынужденное движение воздуха.

Воздух, используемый в системах отопления, нагревается до температуры, обычно не превышающей 60 °С, в специальных теплообменниках — калориферах. Калориферы могут обогреваться паром, водой, электричеством или горячими газами; система воздушного отопления соответственно называется водовоздушной, паровоздушной, электровоздушной, газовоздушной.

Воздушное отопление может быть местным (рис. 1.7, *а*) и центральным (рис. 1.7, *б*).

В **местной системе** воздух нагревается в отопительной установке с теплообменником (калорифером или другим отопительным прибором), находящимся в обогреваемом помещении.

Электронная библиотека http://tgv.khstu.ru/

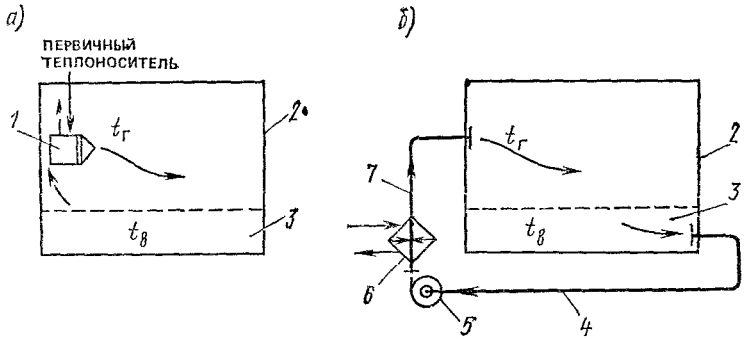

Рис. 1.7. Принципиальные схемы местной (*а*) и центральной (*б*) систем воздушного отопления

1 — отопительный агрегат; *2* — помещение; *3* — рабочая зона; *4* — обратный воздуховод; *5* — вентилятор; *6* — теплообменник (калорифер), *7* — подающий воздуховод

В **центральной системе** теплообменник (калорифер) размещается в отдельной камере — тепловом центре. Воздух при температуре $t_в$ подводится к калориферу по обратным воздуховодам (рециркулирует), горячий воздух при температуре $t_г$ перемещается вентилятором в помещения по подающим воздуховодам.

КОНТРОЛЬНЫЕ ЗАДАНИЯ И УПРАЖНЕНИЯ

1. Установите климатические условия в течение отопительного сезона в основных регионах территории СССР.

2. Оцените суровость (число градусо-суток) зимы в вашем родном городе по сравнению с условиями в г. Верхоянске.

3. Начертите принципиальную схему теплоснабжения вашего жилого (учебного) здания.

4. Рассчитайте сравнительный запас тепловой энергии для целей отопления помещений в 1 кг трех основных теплоносителей.

5. Опишите по классификационным признакам систему отопления вашего жилого здания.

6. Дайте определение термина «надежность системы отопления», ориентируясь на ГОСТ 13377—75 «Надежность в технике».

7. Чем объясняется распространение водяного отопления в гражданских и воздушного отопления в производственных зданиях?

8. Изобразите стояк и горизонтальную ветвь бифилярной системы водяного отопления.

Электронная библиотека http://tgv.khstu.ru/

9. Определите, насколько сократится теплоотдача отопительного прибора в помещение (температура 20 °С), если давление насыщенного пара в приборе в одном случае будет 0,15, в другом 0,05МПа, т. е. уменьшится в 3 раза.

ГЛАВА 2. ТЕПЛОВОЙ РЕЖИМ ОТАПЛИВАЕМОГО ЗДАНИЯ

Помещения в здании изолированы от внешней среды, что позволяет создать в них необходимый микроклимат. Наружные ограждения защищают от непосредственных климатических воздействий, а системы отопления, вентиляции и кондиционирования воздуха поддерживают в помещениях в течение всего года определенные параметры внутренней среды.

Комплекс инженерных средств и устройств по обеспечению заданных метеорологических условий в помещениях называется **системой кондиционирования микроклимата (СКМ)** здания. СКМ включает в себя конструктивные (ограждающие конструкции) и объемно-планировочные средства защиты помещений от внешних климатических воздействий, а также системы отопления, охлаждения, вентиляции и кондиционирования воздуха. Весь этот комплекс инженерных средств направлен прежде всего на обеспечение требуемого теплового режима здания. **Тепловым режимом здания** называется совокупность факторов и процессов, которые под влиянием внешних, внутренних воздействий и принятых инженерных устройств формируют тепловую обстановку в его помещениях.

Система отопления, таким образом, является одной из составляющих СКМ, обеспечивающей заданный тепловой режим зданий в холодный период года.

В холодный период года под влиянием низкой температуры наружного воздуха и ветра через наружные ограждения происходит потеря теплоты и их внутренние поверхности, обращенные в помещения, оказываются относительно холодными. В то же время поверхности отопительных устройств в помещении имеют повышенную температуру. Следовательно, постоянство температурной обстановки в помещении должно быть выдержано при наличии в нем холодных поверхностей наружных ограждений и нагретых поверхностей приборов системы отопления.

Электронная библиотека http://tgv.khstu.ru/

Холодные и нагретые поверхности вызывают в помещении конвективные воздушные потоки, которые тем интенсивнее, чем больше температура поверхностей отличается от температуры внутреннего воздуха. Ниспадающие холодные потоки от наружных ограждений могут заметно переохладить нижнюю зону помещения, а восходящие потоки у горячих поверхностей создают тепловую подушку под потолком помещения. Инфильтрация наружного воздуха через ограждения и действие нагретых или охлажденных струй воздуха, подаваемых в помещение вентиляционными системами, также вызывают определенную подвижность воздуха в помещении. Нагретые и холодные поверхности являются источниками лучистого теплообмена в помещении. Остальные поверхности внутренних ограждений, оборудования и мебели, а также основная масса воздуха являются пассивными участниками процессов теплообмена и образования конвективных токов.

Интенсивные токи холодного воздуха и потеря теплоты излучением, а также чрезмерное количество поступающей в воздух или излучаемой теплоты создают у людей, находящихся в помещении, ощущение неприятного переохлаждения или перегревания. При определенных условиях такая обстановка может привести к простудным и другим заболеваниям.

Температура наружного воздуха непрерывно изменяется, в связи с чем изменяются температура поверхностей ограждений и нагревательных приборов, интенсивности конвективных токов. Наибольшие разности температуры в помещении наблюдаются в суровые периоды зимы. Если защита наружных ограждений и тепловая мощность системы отопления обеспечивают удовлетворительные внутренние условия в этот отрезок времени, то они смогут при соответствующем регулировании поддержать необходимые условия в помещении и в течение всего остального холодного периода года. Решая задачу отопления здания, необходимо рассчитать ограждения и обогревающие устройства так, чтобы они обеспечивали требуемые тепловые условия в обслуживаемой зоне помещения прежде всего в **наиболее суровый период зимы**, который считается расчетным.

При изложении материала, относящегося к тепловому режиму здания, имеется в виду знакомство с основами теплопередачи и строительной теплофизики, частными вопро-

Электронная библиотека http://tgv.khstu.ru/

сами теплопередачи через ограждения, теплообмена и комфортности тепловой обстановки в помещении, нестационарной теплопередачи, выбора расчетных условий и т. п. Поэтому материал расположен в логической последовательности, отвечающей необходимости лаконичного освещения всей совокупности вопросов теплового режима здания в холодный период года, которая является теплофизической основой техники отопления.

§ 2.1. Тепловая обстановка и условия комфортности для человека в помещении

В жилых, общественных и промышленных зданиях требуется поддерживать необходимые для людей и производственных процессов метеорологические условия — определенный микроклимат. Защита ограждений от воздействия наружного климата недостаточна для круглогодичного обеспечения необходимых условий в помещениях. Эти условия могут быть созданы искусственно, например, работой системы отопления.

Основное требование к микроклимату — поддержание условий, благоприятных для находящихся в помещении людей. В организме человека постоянно вырабатывается теплота, которая должна быть отдана окружающей среде. Поддержание постоянной температуры организма около 36,6 °С обеспечивается физиологической системой терморегуляции, которая нормально функционирует при этой температуре. Напряжение системы терморегуляции сказывается на самочувствии и работоспособности человека.

В зависимости от физиологического и эмоционального состояния человека, его одежды, возраста, степени тяжести выполняемой работы и индивидуальных особенностей количество отдаваемой в окружающую среду теплоты может быть различным. В спокойном состоянии организм взрослого человека вырабатывает и отдает окружающей среде около 120 Вт, при тяжелой работе до 470, а при максимальных кратковременных нагрузках до 1000 Вт.

Степень физической тяжести выполняемой человеком работы условно определяют по интенсивности тепловыделения и считают незначительной работу, при которой тепловыделения составляют до 140 Вт, легкой до 175, средней до 290 и тяжелой свыше 290 Вт.

Электронная библиотека http://tgv.khstu.ru/

Если теплопродукция и потери теплоты человеком не сбалансированы, то наблюдаются накопление или дефицит теплоты, приводящие к перегреванию или переохлаждению организма. Система терморегуляции человека позволяет в определенных пределах обеспечивать баланс теплоты, но ее возможности довольно ограниченны.

Отдача теплоты с поверхности тела человека происходит излучением (окружающим поверхностям помещения), конвекцией (воздуху) и в результате затрат теплоты на испарение влаги (пота) и при дыхании. При обычных условиях в спокойном состоянии человек приблизительно половину теплоты теряет излучением, четверть — конвекцией и четверть — испарением. При тяжелой работе основная доля теряемой теплоты приходится на испарение влаги.

Интенсивность теплоотдачи человеком зависит от тепловой обстановки в помещении, которая характеризуется температурой воздуха $t_в$, радиационными условиями (радиационной температурой t_R и температурой $\tau_п$), размерами и расположением нагретых и охлажденных поверхностей, а также подвижностью $v_в$ и относительной влажностью $\varphi_в$ воздуха.

Комфортными считаются такие сочетания (зона комфорта) этих показателей микроклимата, при которых сохраняется тепловое равновесие в организме человека и отсутствует напряжение в его системе терморегуляции. Они могут быть **оптимальными и допустимыми.** Допустимыми являются такие метеорологические условия, при которых возникает некоторая напряженность процесса терморегуляции и имеет место небольшая (допустимая) дискомфортность для человека тепловой обстановки в помещении.

Деятельиость человека обычно связана с частью объема помещения (обслуживаемой или рабочей зоной). Требуемые внутренние условия должны быть обеспечены системой отопления и теплозащитой ограждений именно в этой зоне.

Ощущение температурного комфорта зависит от температуры окружающего воздуха и температуры поверхностей, обращенных в помещение. Когда температуры воздуха $t_в$ и поверхностей t_R равны, в помещении имеется температурный уровень или «температура помещения» $t_п$, равная этой температуре. В этих условиях $t_п = t_в = t_R$. Опытами установлено, что для приблизительного соблюдения условий температурного комфорта понижению температуры воз-

Электронная библиотека http://tgv.khstu.ru/

духа должно соответствовать определенное повышение температуры поверхностей.

Учитывая наличие такой связи, удобно характеризовать условия в помещении **«температурой помещения»**, понимая под ней такую одинаковую температуру воздуха и поверхностей, при которой теплоотдача человеком будет такая же, как и при заданных неравных температурах воздуха и поверхностей.

Для наиболее распространенных помещений (с небольшой подвижностью и влажностью внутреннего воздуха и малой относительной площадью нагретых и охлажденных поверхностей) $t_п$ принимают приблизительно равной среднеарифметическому значению $t_в$ и t_R

$$t_п \cong \frac{t_в + t_R}{2}. \qquad (2.1)$$

Температурную обстановку в помещении можно определить двумя условиями комфортности.

Первое условие комфортности температурной обстановки устанавливает зону сочетаний $t_в$ и t_R, при которых человек, находясь в середине помещения (обслуживаемой зоны), не испытывает чувства перегревания или переохлаждения.

Для холодного периода года первое условие записывают в виде

$$t_R = 1{,}57 t_п(И) - 0{,}57 t_в \pm 1{,}5, \qquad (2.2)$$

где $t_п(И)$ — нормируемое значение $t_п$, соответствующее комфортным условиям при разной интенсивности ($И$) выполняемой физической работы. При спокойном состоянии человека $t_п(И)$ равно около 23° С; для помещений, где человек выполняет легкую работу — 21, работу средней тяжести — 18,5 и тяжелую работу — 16 °С.

Уравнение (2.2) определяет осредненную температурную обстановку в помещении. С его помощью можно, например, определить, какая должна быть температура воздуха, если известны радиационная температура и назначение помещения. Заметная разница между $t_в$ и t_R возникает при панельном (лучистом) или воздушном (конвективном) отоплении, а также при сильно развитых холодных поверхностях наружных ограждений в помещении (две и более наружные поверхности). В остальных случаях можно считать, что $t_п$ приблизительно равна $t_в$. Поэтому, согласно СНиП, назначение отопления сводится к обеспечению в помеще-

Электронная библиотека http://tgv.khstu.ru/

ниях расчетной температуры воздуха, допустимые значения которой даны в нормах. Так, для жилых, общественных и административно-бытовых помещений «допустимые нормы температуры воздуха» в холодный и переходный периоды года равны 18—22 °С.

Для помещений, где $t_в$ не равна $t_п$, нормируемые значения температуры следует считать значениями $t_п$.

Кроме общего теплового баланса на тепловое самочувствие человека в значительной степени влияют условия, в которых находятся отдельные части тела. Существенно сказываются на ощущении комфортности обстановки тепловые условия, в которых находятся голова и ноги человека. Голова человека чувствительнее к радиационному перегреву и переохлаждению, а для ног важны температура поверхности пола, с которой они непосредственно соприкасаются, и наличие холодных токов воздуха вдоль пола.

Второе условие комфортности температурной обстановки определяет допустимые температуры нагретых и охлажденных поверхностей при нахождении человека на границах обслуживаемой зоны помещения, т. е. в непосредственной близости от этих поверхностей.

Для предупреждения радиационного перегревания или переохлаждения человека поверхности потолка и стен могут быть нагреты до допустимой температуры

$$\tau_{наг}^{доп} \leqslant 19{,}2 + \frac{8{,}7}{\varphi} \qquad (2.3)$$

или охлаждены до допустимой температуры

$$\tau_{охл}^{доп} \geqslant 23 - \frac{5}{\varphi}, \qquad (2.3а)$$

где φ — коэффициент облученности с поверхности наиболее невыгодно расположенной элементарной площадки на голове в сторону нагретой или охлажденной поверхности.

Допустимая температура нагретого пола принимается в зависимости от назначения и особенностей режима работы помещения. Температура холодного пола зимой может быть ниже температуры воздуха на 2—2,5 °С. Следует иметь в виду, что тепловое ощущение человека и потери теплоты ногами зависят не только от температуры, но и от свойств теплоусвоения покрытия пола.

Температура на нагретых поверхностях системы панельно-лучистого отопления по СНиП регламентирована в

Электронная библиотека http://tgv.khstu.ru/

зависимости от вида помещения и места положения поверхности: для пола — 26—31 °С, для потолка — 28—38 °С, для стены — 45—95 °С. Температура поверхности высокотемпературных темных излучателей, расположенных под потолком, не должна превышать 250 °С, инфракрасных газовых излучателей специально не ограничивается.

§ 2.2. Обеспеченность расчетных условий

Расчетные тепловые условия в помещении принимаются в зависимости от функционального назначения и санитарно-гигиенических требований. Для большинства жилых и общественных зданий эти условия выбираются приблизительно на одном уровне. В промышленных производствах выделено несколько групп помещений, условия в которых назначаются приблизительно одинаковыми.

Однако кроме санитарно-гигиенических и технологических требований, определяющих диапазон условий, который должен быть выдержан в течение отопительного периода, во всех случаях важной является степень обеспеченности поддержания заданных внутренних условий. Обеспеченность устанавливает, как часто или насколько продолжительны могут быть отклонения внутренних условий от заданных расчетных.

Такие здания, как больницы, родильные дома, детские ясли, а также некоторые цехи с жесткими технологическими режимами, требуют высокой степени обеспеченности расчетных условий. Заданные условия в них должны выдерживаться практически при любой погоде, какая может быть в районе строительства. В зданиях общего назначения (жилые дома, общежития, залы музеев, книгохранилища, цехи с фиксированными рабочими местами и т. д.) возможны разовые кратковременные отклонения от расчетных условий. В зданиях второстепенного назначения, периодически функционирующих, с кратковременным пребыванием людей (торговые и выставочные залы, залы ожидания для пассажиров, монтажные цехи и др.) степень обеспеченности расчетных внутренних условий может быть еще более низкой.

Таким образом, для помещений различного назначения должны быть заданы не только расчетные внутренние условия, но и показатели степени их обеспеченности.

Электронная библиотека http://tgv.khstu.ru/

Для того чтобы выполнить требования обеспеченности заданных внутренних условий необходимо правильно выбрать теплозащитные свойства ограждений, тепловую мощность системы отопления и др. Такой выбор должен быть основан на расчетах, в которых определяющими результат являются расчетные наружные условия. Выбор расчетных параметров наружного климата связан с обеспечением заданных внутренних условий. Таким образом, требование обеспеченности заданных внутренних условий нужно учитывать при выборе расчетных параметров наружного климата.

Наиболее холодные периоды каждой зимы принимаются за «случай» при выборе расчетных наружных параметров, отвечающих определенной степени обеспеченности их появления. По показателю обеспеченности заданных внутренних условий принимают показатель обеспеченности расчетных параметров наружного климата. Обеспеченность условий характеризуется коэффициентом обеспеченности $k_{об}$. Величина коэффициента обеспеченности по числу n случаев $k_{об.\,n}$ показывает в долях единицы или процентах число случаев, когда недопустимо отклонение от расчетных условий. Зная $k_{об.\,n}$ можно сказать, в скольких случаях (в процентах или долях) возможно отклонение от расчетных условий. Например, если $k_{об.\,n}=0{,}92$, это означает, что только в четырех зимах из 50 (или 8 из 100) в периоды наибольших зимних похолоданий могут быть отклонения условий в помещении от расчетных.

Принятые к рассмотрению случаи связаны с определенной продолжительностью во времени, так как они характеризуются параметрами срочных наблюдений, осредненных за сутки или за период другой продолжительности. Поэтому коэффициент обеспеченности характеризует и продолжительность возможных отклонений. Сопоставление наружных расчетных условий, определенных при некотором значении $k_{об}$, с параметрами климата наиболее сурового периода позволяет установить величину и продолжительность наибольшего разового отклонения условий от расчетных.

Таким образом, обработав результаты метеорологических наблюдений с учетом заданного коэффициента обеспеченности, можно получить все данные о возможных, вызываемых внешними воздействиями, отклонениях условий в

Электронная библиотека http://tgv.khstu.ru/

Таблица 2.1. Коэффициент обеспеченности расчетных условий для холодного периода года

Характеристика основных помещений	Уровень требований	Коэффициент обеспеченности
I. Повышенные санитарно-гигиенические или технологические требования	Повышенные—П	~1,0
II. Круглосуточное пребывание людей или постоянный технологический режим	Высокие—В	0,9
III. Ограниченное во времени пребывание людей	Средние—С	0,7
IV. Кратковременное пребывание людей	Низкие—Н	0,5

помещении от расчетных: число случаев отклонения, их общую продолжительность, продолжительность и величину наиболее невыгодного разового отклонения.

В табл. 2.1 приведены рекомендуемые величины коэффициента обеспеченности $k_{об.\,п}$ для зданий и помещений с различными эксплуатационными режимами.

Влияние наружного климата на тепловой режим ограждений и помещений является комплексным. Оно определяется совместным действием нескольких метеорологических параметров, которые раздельно наблюдаются метеорологами. При расчете теплопередачи через ограждения их действие необходимо учитывать совместно. Для зимы определяющими параметрами климата являются температура наружного воздуха $t_н$ и скорость ветра $v_н$. В некоторых расчетах дополнительно должны учитываться относительная влажность $\varphi_н$ и энтальпия $I_н$ наружного воздуха, а также солнечная радиация, направление ветра и пр.

Некоторые из этих параметров связаны между собой, и изменение одного из них сопровождается определенным изменением другого. Например, похолодание для большинства континентальных районов связано обычно с понижением скорости ветра.

Для зимнего периода задача определения расчетных наружных условий в основном сводится к определению расчетного сочетания зависимых событий $t_н$ и $v_н$ с учетом заданного коэффициента обеспеченности $k_{об}$.

Электронная библиотека http://tgv.khstu.ru/

В СНиП расчетные параметры наружного воздуха для теплотехнического расчета ограждений даны с коэффициентом обеспеченности 0,92 и 0,98 (приблизительно соответствуют уровню требований В и П), для расчета систем отопления — 0,92.

§ 2.3. Характеристики наружного климата холодного периода года

При выборе расчетных наружных характеристик для холодного периода года необходимо исходить из следующих предпосылок.

Расчетные параметры климата должны быть общими для расчета всех составляющих теплового режима (теплозащита ограждений, потери теплоты и пр.), так как они отражают единый процесс теплообмена в помещении. Они должны определяться с учетом коэффициента обеспеченности и быть достаточными для расчета нестационарной теплопередачи через ограждения, характерной для расчетных условий.

Основным показателем холодного периода года является изменение температуры наружного воздуха $t_н$. Зимы заметно отличаются в разных районах и в отдельные годы. Но в видимой хаотичности есть довольно устойчивая закономерность в постоянном понижении температуры по мере приближения к наиболее холодному периоду. В это время четко обозначается (на фоне устойчивых зимних температур) период резкого похолодания.

Для ряда климатических пунктов с учетом различных коэффициентов обеспеченности построены расчетные кривые изменения температуры наружного воздуха в период резкого похолодания. Эти кривые для разных районов имеют характерную и близкую по очертанию форму (рис. 2.1): сравнительно медленное равномерное понижение температуры до начала периода резкого похолодания, затем резкое понижение температуры с последующим повышением. При медленном понижении температуры, как это наблюдается на начальном участке кривой, распределение температуры в сечении ограждения в каждый момент времени практически соответствует стационарному. При быстром похолодании процесс теплопередачи через ограждение становится нестационарным и для его расчета нужно

Электронная библиотека http://tgv.khstu.ru/

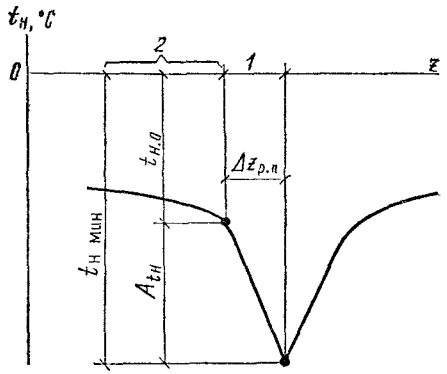

Рис. 2.1. Характерная расчетная кривая изменения температуры наружного воздуха в период резкого похолодания
1 — период резкого похолодания; *2* — период устойчивой зимней температуры

иметь полную характеристику динамики изменения температуры. В период резкого похолодания расчетные кривые для разных географических пунктов и при разных коэффициентах обеспеченности могут быть определены тремя параметрами: температурой начала периода резкого похолодания $t_{н.о}$, амплитудой $A_{tн}$ изменения температуры в этот период от $t_{н.о}$ до минимальной температуры $t_{н.мин}$ ($A_{tн}=t_{н.о}-t_{н.мин}$) и продолжительностью периода резкого похолодания $\Delta z_{р.п}$ (время понижения температуры от $t_{н.о}$ до $t_{н.мин}$). Эти показатели для Москвы при различных $k_{об}$ приведены в табл. 2.2.

Таблица 2.2. Характеристики климата холодного периода года (периода резкого похолодания) для Москвы при различных коэффициентах обеспеченности

Коэффициент обеспеченности $k_{об.п}$	Расчетные характеристики климата			
	$t_{н.о}$, °C	$A_{tн}$, °C	$\Delta z_{р.п}$, сут	$v_н$, м/с
0,98	−26,4 (27)	15	3	2,6
0,9	−21,5 (21)			3,0
0,7	−17,2 (17)			3,4
0,5	−13,9 (14)			3,8

Данные для Москвы характерны тем, что $\Delta z_{р.п}$ и $A_{tн}$ практически не зависят от коэффициента обеспеченности и могут быть приняты постоянными $\Delta z_{р.п}=3$ сут, $A_{tн}=15$ °C.

Электронная библиотека http://tgv.khstu.ru/

Для получения расчетных скоростей ветра необходимо иметь наиболее невыгодные сочетания $t_н$ и $v_н$, так как эта зависимость определяет наибольшие скорости, которые наблюдались при различных температурах.

Зависимость $v_н$ от $t_н$ для Москвы на высоте h, м, от поверхности земли имеет вид

$$v_н = 8{,}03 + 0{,}143 t_н + 0{,}03\,(h-2). \qquad (2.4)$$

В пределах города, как показывают измерения, скорость ветра, начиная с 2,0 м от поверхности земли, возрастает с высотой практически по линейному закону. В частности, для Москвы на каждый метр высоты скорость увеличивается в среднем на 0,03 м/с. Значения $v_н$ в Москве на высоте 2,0 м от земли, определенные для средней температуры периода резкого похолодания и разных коэффициентов обеспеченности, приведены в табл. 2.2. Эти значения скоростей можно считать расчетными.

В СНиП приняты следующие значения расчетной наружной температуры для каждого географического пункта: средняя температура наиболее холодных суток $t_{н.1}$ при $k_{об}=0{,}92$ и 0,98 и средняя температура наиболее холодной пятидневки $t_{н.5}$ при $k_{об}=0{,}92$. Эти температуры определены по восьми и соответственно двум суровым зимам последних 50 лет. Выбор расчетной температуры по нормам зависит от тепловой инерции ограждения. В качестве показателя тепловой инерции принято значение D ограждения, рассчитанное при колебаниях температуры с периодом $T=24$ ч. Расчетную температуру наружного воздуха принимают в зависимости от D при разных $k_{об}$ (табл. 2.3).

Таблица 2.3. Расчетная зимняя температура наружного воздуха

D	До 1,5	Свыше 1,5 до 4	Свыше 4 до 7	Свыше 7
$t_н$	$t_{н.1}^{0,98}$	$t_{н.1}^{0,92}$	$\dfrac{t_{н.1}^{0,92} + t_{н.5}}{2}$	$t_{н.5}$

Расчетная скорость ветра по СНиП принимается равной максимальной скорости из средних скоростей ветра по рум-

Электронная библиотека http://tgv.khstu.ru/

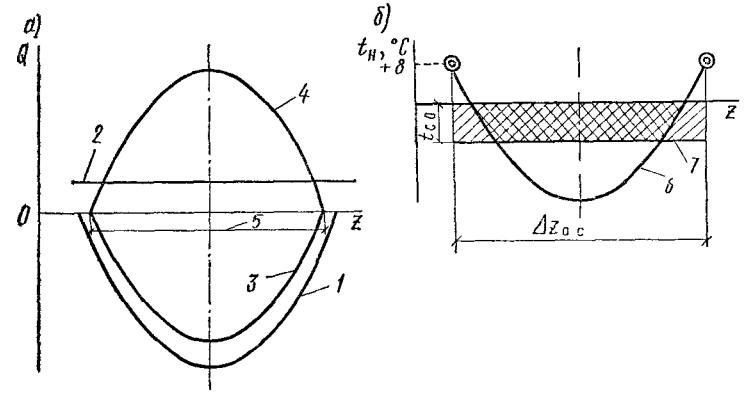

Рис. 2.2. Схема изменения тепловой нагрузки (*а*) и определения параметров отопительного сезона (*б*)

1 — теплопотери помещением; *2* — технологические и бытовые тепловыделения (потери) в помещении; *3* — дефицит теплоты в тепловом балансе помещения; *4* — затраты теплоты на отопление; *5* — продолжительность работы системы отопления; *6* — изменение температуры наружного воздуха в зимний период года; *7* — средняя температура $t_{о.с}$ и продолжительность $\Delta z_{о.с}$ отопительного сезона

бам за январь, повторяемость которых составляет 16% и более, с корректировкой на высоту здания.

Отопление в течение всего холодного периода года должно обеспечивать расчетные внутренние условия. Продолжительность отопительного периода зависит от географического места расположения и соотношений составляющих теплового баланса зданий. Начало и конец работы системы отопления связаны с появлением дефицита (недостатка) теплоты в тепловом балансе помещений. Годовые затраты теплоты на отопление зависят от продолжительности $\Delta z_{о.с}$ и средней температуры $t_{о.с}$ отопительного сезона, т. е. определяются градусо-сутками периода, когда наружная температура устойчиво становится ниже температуры начала и конца отопительного сезона $t_{и\,о.с}$. На рис. 2.2 приведена схема изменения тепловой нагрузки и параметров отопительного сезона.

Продолжительность стояния дней с определенной температурой неодинакова (см. рис. 1). Особенно устойчивыми оказываются погодные условия, когда температура приближается к 0 °С. Дней с низкой температурой, близкой к расчетной, сравнительно мало.

На тепловой баланс помещений, а следовательно, на

Электронная библиотека http://tgv.khstu.ru/

режим работы системы отопления, особенно в весенний период, значительное влияние оказывает солнечная радиация, что необходимо учитывать при выборе схем и режима регулирования отопления. Это особенно важно для весеннего периода в зданиях, расположенных в средних и южных районах страны, а также при режиме пофасадного регулирования систем отопления.

Наружный воздух в результате инфильтрации через проемы и неплотности ограждений попадает в здание, поэтому изменение его энтальпии и влажности следует учитывать при проектировании систем обеспечения заданного теплового режима здания.

В то же время для многих зданий, особенно жилых и общественных, составляющие теплового баланса оказываются близкими. Поэтому в нормах начало отопительного периода для всех зданий принято одинаковым, соответствующим $t_{н.о.с}=+8$ °С. Значения $t_{н.о.с}$ и $\Delta z_{о.с}$ для разных географических пунктов приведены в СНиП в таблицах расчетных характеристик наружного климата.

§ 2.4. Теплообмен на нагретой и охпажденной поверхкостях в помещении и на наружной поверхности ограждения здания

1. ТЕПЛООБМЕН НА ПОВЕРХНОСТЯХ В ПОМЕЩЕНИИ

Отопительные устройства обычно имеют нагретые поверхности, от которых теплота передается помещению (исключение составляют воздушные системы отопления, в которых теплота подается в помещение с нагретым воздухом). Поверхности наружных ограждений холодные и через них помещение теряет теплоту. Поэтому важной составляющей, формирующей тепловой режим помещения, является теплообмен на нагретой и охлажденной поверхностях.

Количество теплоты, которое воспринимает или отдает поверхность в результате сложного лучисто-конвективного теплообмена в помещении, равно количеству теплоты, которое передается к поверхности или отводится от нее теплопроводностью. Тепловой баланс на поверхности соблюдается в стационарных и нестационарных условиях.

Уравнение теплового баланса поверхности *1*, имеющей температуру τ_1, в стационарных условиях записывают в

Электронная библиотека http://tgv.khstu.ru/

виде

$$\alpha_{л.1}(\tau_1 - t_R) + \alpha_{к.1}(\tau_1 - t_в) + k'_1(\tau_1 - t_{ср.1}) = 0, \quad (2.5)$$

где $\alpha_{л.1}$ — коэффициент лучистого теплообмена

$$\alpha_{л.1} = C_0 \varepsilon_{пр.1-R} \varphi_{1-R} b_{1-R}; \quad (2.6)$$

C_0 — коэффициент излучения абсолютно черного тела; $\varepsilon_{п.1-R}$ — приведенный для теплообменивающихся поверхностей коэффициент относительного излучения; φ_{1-R} — коэффициент облученности со стороны поверхности 1 в сторону остальных поверхностей, имеющих температуру t_R; b_{1-R} — температурный коэффициент; t_R — радиационная температура (осредненная температура всех обращенных в помещение поверхностей) помещения, определенная относительно поверхности 1,

$$t_R = \Sigma \varphi_{1-i} \tau_i; \quad (2.7)$$

φ_{1-i} — коэффициент облученности с поверхности 1 на поверхность i, имеющую температуру τ_i; $\alpha_{к.1}$ — коэффициент конвективного теплообмена

$$\alpha_{к.1} = \beta_к \sqrt[3]{(\tau_i - t_в) + 60 \frac{v_в}{l}} \pm \frac{1}{2} jc, \quad (2.8)$$

$\beta_к$ — числовой коэффициент, равный в условиях помещения для вертикальных поверхностей 1,66; для горизонтальных поверхностей: при потоке теплоты сверху вниз — 1,16, при потоке теплоты снизу вверх — 2,16; $v_в$ — общая подвижность воздуха в помещении; l — характерный размер поверхности; jc — теплоемкость потока воздуха, фильтрующегося через поверхность с интенсивностью j; c — массовая теплоемкость воздуха; k'_1 — коэффициент теплопередачи от поверхности 1 до внешней среды с температурой $t_{ср.1}$, от которой или к которой идет поток теплоты через поверхность.

Для определения общего потока теплоты, проходящего через поверхность, q_1 обычно пользуются общим коэффициентом теплообмена $\alpha_{в.1}$ без разделения на лучистую и конвективную составляющие

$$q_1 = \alpha_{в.1}(\tau_1 - t_п). \quad (2.9)$$

Приравняв первые два слагаемых уравнения (2.5) к правой части уравнения (2.9), получим

$$\alpha_{в.1} = \alpha_{л.1} \frac{\tau_1 - t_R}{\tau_1 - t_п} + \alpha_{к.1} \frac{\tau_1 - t_в}{\tau_1 - t_п}. \quad (2.10)$$

Если в помещении $t_п = t_в = t_R$, то

$$\alpha_{в.1} = \alpha_{л.1} + \alpha_{к.1}. \quad (2.11)$$

Электронная библиотека http://tgv.khstu.ru/

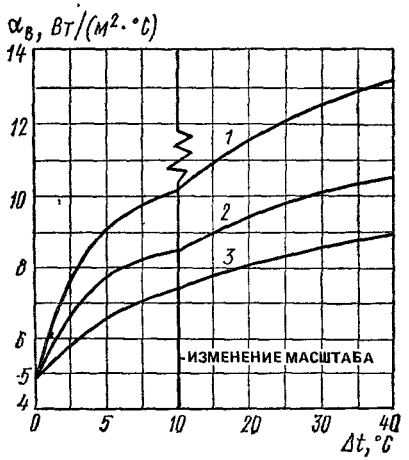

Рис. 2.3. Зависимость коэффициента теплообмена $\alpha_в$ для плоской нагретой поверхности, расположенной в помещении, от разности температуры на поверхности и помещения Δt

1 — в плоскости пола; *2* — стены; *3* — потолка

Зависимость $\alpha_в$ по (2.11) от разности температуры $\tau - t_п$ для плоских поверхностей, различно расположенных в помещении, приведена на рис. 2.3.

Температура воздуха часто заметно изменяется по высоте помещения. Вдоль пола может расстилаться холодный воздух, а под потолком образовываться «тепловая подушка». Интенсивность конвективного теплообмена на поверхностях по высоте помещения будет различной. Лучистый теплообмен зависит также от расположения поверхности относительно остальных нагретых и охлажденных поверхностей, что необходимо учитывать. Для правильного расчета сложного теплообмена следует пользоваться полной системой уравнений теплообмена в помещении, рассмотренной в курсе «Строительная теплофизика».

Проектирование отопления помещения прежде всего состоит в выборе обогревающего устройства, которое по характеру передачи теплоты помещению может быть:

лучистым — слабо нагретая сильно развитая плоская поверхность в виде панели, расположенная в плоскости одного из ограждений;

конвективным — подача в помещение подогретого воздуха или подогрев внутреннего воздуха сильно оребренными поверхностями отопительного устройства, расположенного в помещении.

Электронная библиотека http://tgv.khstu.ru/

Наиболее общим является решение отопления с использованием обогревающей поверхности. Дефицит (недостаток теплоты) $\Delta Q_{пом}$ в тепловом балансе помещения в этом случае компенсируется теплоотдачей нагретой поверхности $Q_п$. Температурная обстановка в помещении при этом должна удовлетворять двум условиям комфортности. В результате расчет поверхности обогрева помещения состоит в решении системы (2.12), в которую наряду с уравнениями теплового баланса помещения (*а*) и теплообмена на поверхности нагрева (*б*) входят уравнение и неравенство (*в*, *г*), определяющие требования двух условий комфортности:

$$\left.\begin{array}{c} \Delta Q_{пом}+Q_п=0; \quad (а) \\ Q_п=[\alpha'_{л.\,п}(\tau_п-\tau_{н.\,о})+\alpha_{к.\,п}(\tau_п-t_в)]A_п; \quad (б) \\ t_R=1{,}5t_п(И)-0{,}57t_в\pm 1{,}5; \quad (в) \\ \tau_п\leqslant\tau_{наг}^{доп};\ \tau_{н.\,о}\geqslant\tau_{охл}^{доп}. \quad (г) \end{array}\right\} \quad (2.12)$$

Искомыми при решении системы являются или площадь нагревательной поверхности $A_п$ при заданной температуре поверхности $\tau_п$ и других условиях, или температура поверхности $\tau_п$ при заданной площади $A_п$, или варьируемые положение, форма, радиационные свойства нагревательной поверхности в помещении.

В уравнении теплообмена (*б*) составляющая лучистого теплообмена записана относительно разности температуры поверхности нагрева и осредненной температуры внутренней поверхности теплотеряющих наружных ограждений $\tau_п-\tau_{н.о}$), поэтому

$$\alpha'_{л.\,п}=C_0\varepsilon_{пр.\,п-н.\,о}\Phi_{п-н.\,о}b_{п-н.\,о}, \quad (2.13)$$

где индексы п—н.о относят все величины к условиям теплообмена между панелью (п) и наружным ограждением (н.о), а $\Phi_{п-н.о}$ является коэффициентом полной облученности с нагретой поверхности панели на охлажденную поверхность наружных ограждений.

При воздушном (конвективном) отоплении дефицит в тепловом балансе $\Delta Q_{пом}$ компенсируется подачей в помещение теплоты $Q_в$ с перегретым (относительно $t_в$) воздухом

$$Q_в=Lc\rho(t_{пр}-t_в). \quad (2.14)$$

В (2.14) неизвестными могут быть температура $t_{пр}$ приточного воздуха или количество воздуха L. В конечном итоге должна быть определена площадь оребрения поверхности обогревающего устройства в помещении или калориферной установки системы воздушного отопления.

Электронная библиотека http://tgv.khstu.ru/

2. ТЕПЛООБМЕН НА НАРУЖНОЙ ПОВЕРХНОСТИ ОГРАЖДЕНИЯ ЗДАНИЯ

Теплообмен на наружной поверхности ограждений в основном определяется направлением и скоростью ветра. Поверхность здания наряду с конвективным теплообменом с наружным воздухом излучением отдает теплоту поверхности земли, окружающим зданиям, небосводу, а также получает теплоту в результате непосредственного облучения солнцем.

Температура окружающей здание среды неодинакова: в безоблачные дни температура небосвода может быть на десятки градусов ниже температуры приземного слоя воздуха. Учитывая сложность условий теплообмена и малую долю излучения в общем теплообмене, температуру окружающей здание среды обычно принимают равной температуре наружного воздуха.

Тепловой поток от наружной поверхности здания к окружающей среде принимают равным

$$q_н = \alpha_н (\tau_н - t_н), \tag{2.15}$$

где $\alpha_н$ — коэффициент теплообмена на наружной поверхности, имеющей температуру $\tau_н$.

Для вертикальных поверхностей

$$\alpha_н = 5{,}8 + 11{,}6\sqrt{v_н}; \tag{2.16}$$

для горизонтальных

$$\alpha_н = 8{,}7 + 2{,}6 v_н, \tag{2.17}$$

где $v_н$ — скорость ветра, м/с.

По СНиП коэффициент теплоотдачи $\alpha_н$ для зимних условий поверхностей ограждений, непосредственно омываемых наружным воздухом, принимается равным 23 Вт/(м²××°С).

Непосредственное облучение поверхности солнечными лучами учитывают введением условной наружной температуры $t_{н.усл}$ (повышением температуры воздуха $t_н$ на величину эквивалентной солнечному облучению температурной добавки $\Delta t_р$)

$$t_{н.усл} = t_н + \Delta t_р = t_н + \frac{\rho q_{ср}}{\alpha_н}, \tag{2.18}$$

Электронная библиотека http://tgv.khstu.ru/

где ρ — коэффициент поглощения солнечной радиации поверхностью; $q_{ср}$ — интенсивность среднесуточного суммарного потока солнечной радиации, падающего на поверхность, Вт/м^2.

Зимой, когда после сильных морозов наступает потепление, на поверхности массивных ограждений здания выпадает иней. Образование инея сопровождается выделением теплоты сублимации (перехода воды из парообразного в твердое состояние), которая изменяет теплопередачу через ограждение аналогично действию поглощенного тепла солнечной радиации (формула 2.18).

Подобным образом с помощью понятий «условная температура» и «эквивалентная температурная добавка» можно учесть изменение теплообмена при конденсации водяных паров или, наоборот, при испарении влаги с поверхности ограждения.

§ 2.5. Стационарная передача теплоты через наружные ограждения

Переход теплоты из помещения к наружной среде через ограждение является сложным процессом теплопередачи.

Внутренняя поверхность наружного ограждения обменивается теплотой с помещением. Сопротивление теплообмену на внутренней поверхности равно $R_в = 1/\alpha_в$.

Наружная поверхность отдает теплоту наружному воздуху, окружающим поверхностям и небосводу. Сопротивление теплообмену на наружной поверхности ограждения равно $R_н = 1/\alpha_н$.

В условиях установившегося температурного состояния, т. е. когда температура и другие параметры процесса остаются неизменными во времени, теплота транзитом проходит из помещения через внутреннюю поверхность и толщу ограждения к его наружной поверхности и отдается наружной среде. При этом из условия сохранения тепловой энергии количество теплоты, прошедшее через внутреннюю поверхность ограждения, равно количеству теплоты, проходящему через толщу ограждения, и количеству теплоты, отданному наружной поверхностью (рис. 2.4, *а*).

Тепловой поток последовательно преодолевает сопротивления теплообмену на внутренней поверхности $R_в$, термического материала толщи ограждения $R_т$ и теплоперехода на наружной поверхности $R_н$, поэтому сопротивление

Электронная библиотека http://tgv.khstu.ru/

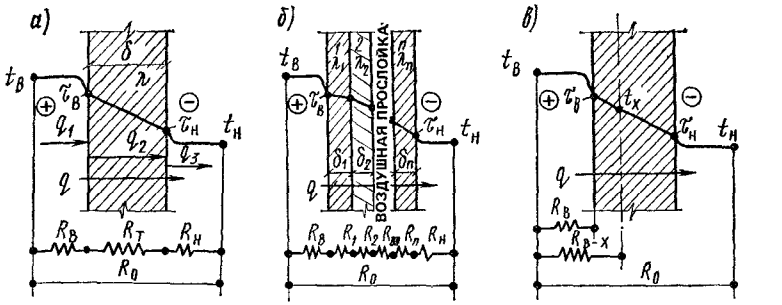

Рис. 2.4. Стационарная теплопередача через однослойное ограждение (*а*), многослойное с воздушной прослойкой (*б*) и определение температуры в произвольном сечении ограждения (*в*)

теплопередаче ограждения R_0 равно сумме этих сопротивлений

$$R_0 = R_в + R_т + R_н. \qquad (2.19)$$

Если многослойное ограждение состоит из нескольких плоских слоев материала, расположенных перпендикулярно направлению теплового потока, то термическое сопротивление толщи ограждения равно сумме термических сопротивлений отдельных слоев ограждения $R_т = \Sigma R_i$. Плоская воздушная прослойка, расположенная в ограждении перпендикулярно направлению теплового потока, также должна быть учтена в этой сумме, как дополнительное последовательно включенное сопротивление $R_{в.п}$.

Таким образом, в общем случае сложной многослойной конструкции с воздушной прослойкой (рис. 2.4, *б*) сопротивление теплопередаче ограждения равно

$$R_0 = R_в + \Sigma R_i + R_{в.\,п} + R_н. \qquad (2.20)$$

Коэффициент теплопередачи ограждения k — величина, обратная его сопротивлению теплопередаче, в общем случае равен

$$k = \frac{1}{R_0} = \frac{1}{1/\alpha_в + \Sigma\delta_i/\lambda_i + R_{в.\,п} + 1/\alpha_н}, \qquad (2.21)$$

где δ_i и λ_i — толщина и теплопроводность отдельных материальных слоев в ограждении.

Сложнее рассчитать передачу теплоты через ограждение, материал которого неоднороден в направлении, параллельном тепловому потоку. В этом случае нарушается одномер-

Электронная библиотека http://tgv.khstu.ru/

ность температурного поля и для точного расчета необходимо знание двухмерного температурного поля.

Если ограждение разбить на отдельные площади, пределах которых конструкция однородна в направлен теплового потока, и условно считать, что в пределах кажд такой площади сохраняется одномерность температурно поля, то можно термическое сопротивление толщи огражд ния определять формулой

$$R_{\text{т}}=\frac{\Sigma A_{\text{п}}}{\Sigma 1/R_{\text{п}}A_{\text{п}}}, \qquad (2.22)$$

где $A_{\text{п}}$ — отдельные площади ограждения, в пределах которых конструкция однородна в направлении, параллельном тепловому потоку; $R_{\text{п}}$ — термическое сопротивление толщи ограждения в пределах этих площадей.

Когда конструкция ограждения состоит из неоднородных материалов как в параллельном, так и в перпендикулярном тепловому потоку направлении, а толщины слоев и стороны отдельных площадей одного порядка, пользуются условным нормативным расчетным методом (см. пример 2.1).

Для решения многих инженерных задач нужно не только определять количество теплоты, проходящее через ограждение, но и устанавливать распределение температуры на поверхностях и в его толще.

Из рассмотрения уравнений теплопередачи, а также в связи с электротепловой аналогией следует, что падение температуры на каждом термическом сопротивлении, если оно расположено в ряду последовательно соединенных сопротивлений, составляющих общее термическое сопротивление ограждения, пропорционально его величине. Поэтому, например, перепад температуры между воздухом помещения и внутренней поверхностью ограждения $t_{\text{в}}-\tau_{\text{в}}$ равен

$$\frac{t_{\text{в}}-\tau_{\text{в}}}{R_{\text{в}}}=\frac{t_{\text{в}}-t_{\text{н}}}{R_{\text{о}}}. \qquad (2.23)$$

Температура внутренней поверхности ограждения равна

$$\tau_{\text{в}}=t_{\text{в}}-\frac{R_{\text{в}}}{R_{\text{о}}}(t_{\text{в}}-t_{\text{н}}). \qquad (2.24)$$

Рассуждая аналогичным образом, придем к выводу, что температура в любом произвольно принятом сечении x

Электронная библиотека http://tgv.khstu.ru/

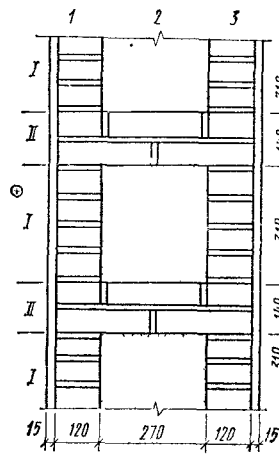

Рис. 2.5. Конструкция наружного ограждения, неоднородная в направлении, параллельном и перпендикулярном тепловому потоку

1, 2, 3 — слои однородные в направлении, перпендикулярном тепловому потоку; I, II — зоны однородные в направлении, параллельном направлению теплового потока

(рис. 2.4, *в*) может быть определена по формуле

$$t_x = t_в - \frac{R_{в-x}}{R_0}(t_в - t_н), \qquad (2\ 25)$$

где $R_{в-x}$ — сопротивление теплопередаче от внутреннего воздуха до сечения x.

Пример 2.1. Выполним теплотехнический расчет наружной стены жилого дома, изображенной на рис. 2.5, и определим ее сопротивление теплопередаче R_0, коэффициент теплопередачи k, а также тепловой поток q, температуру на внутренней $\tau_в$ и наружной $\tau_н$ поверхностях ограждения для условий Москвы при $t_н = -26$ °С и $t_п = 18$ °С.

По данным прил. 3* (СНиП II-3-79 **) определяем теплопроводность материалов стены.

Кладка из глиняного обыкновенного кирпича на цементно-шлаковом растворе $\rho_{кл} = 1200$ кг/м³; $\lambda_{кл} = 0{,}58$ Вт/(м·°С).

Засыпка—щебень из доменного шлака $\rho_{шл} = 800$, $\lambda_{шл} = 0{,}26$. Известково-песчаная штукатурка — $\rho_{шт} = 1600$, $\lambda_{шт} = 0{,}81$. Коэффициенты теплоотдачи (см. табл. 4 и 6 СНиП II-3-79 **) $\alpha_в = 8{,}7$ Вт/(м²·°С), $\alpha_н = 23$ Вт/(м²·°С).

Ограждение неоднородно по материалу в направлениях, параллельном и перпендикулярном тепловому потоку, поэтому проводим расчет в такой последовательности.

1. Определим термическое сопротивление толщи ограждения от его внутренней до наружной поверхности $R_т$. Для этого разбиваем ограждение на характерные зоны в направлениях, параллельном и перпендикулярном тепловому потоку. Зоны, параллельные тепловому потоку, обозначим на чертеже *I* и *II*, зоны (слои), перпендикулярные потоку, обозначим *1*, *2*, *3*. В пределах каждой зоны и слоя имеется однородность материала в направлении, перпендикулярном тепловому потоку.

а) Вычислим термическое сопротивление толщи $R_{т\perp}$ при разбивке на слои плоскостями, перпендикулярными тепловому потоку, которое равно сумме сопротивлений слоев *1*, *2* и *3*:

$$R_{т\perp} = R_1 + R_2 + R_3 = 0{,}225 + 0{,}751 + 0{,}225 = 1{,}201;$$

$$R_1 = \frac{\delta_{шт}}{\lambda_{шт}} + \frac{\delta_{кл}}{\lambda_{кл}} = \frac{0{,}015}{0{,}81} + \frac{0{,}12}{0{,}58} = 0{,}225.$$

Здесь $\delta_{шт}$, $\lambda_{шт}$, $\delta_{кл}$, $\lambda_{кл}$ — толщины штукатурки и части кладки в пределах слоя *1* и их теплопроводность.

Электронная библиотека http://tgv.khstu.ru/

В пределах слоев *2* и *3*

$$R_2=(A_I+A_{II})\frac{1}{\frac{A_I}{R_{I,1}}+\frac{A_{II}}{R_{II,1}}}=(0{,}31+0{,}14)\frac{1}{\frac{0{,}31}{1{,}038}+\frac{0{,}14}{0{,}466}}=0{,}751;$$

$$R_{I,1}=\frac{\delta_{шл}}{\lambda_{шл}}=\frac{0{,}27}{0{,}26}=1{,}038;$$

$$R_{II,2}=\frac{\delta_{кл}}{\lambda_{кл}}=\frac{0{,}27}{0{,}58}=0{,}466;$$

$$R_3=\frac{\delta_{кл}}{\lambda_{кл}}+\frac{\delta_{шт}}{\lambda_{шт}}=\frac{0{,}12}{0{,}58}+\frac{0{,}015}{0{,}81}=0{,}225.$$

б) Определим термическое сопротивление толщи $R_{т\,II}$ при раз бивке на площади плоскостями, параллельными тепловому потоку Проводимость толщи будет равна сумме проводимостей зон I и II

$$\frac{A_I+A_{II}}{R_{т\,II}}=\frac{A_I}{R_I}+\frac{A_{II}}{R_{II}}\quad\text{или}\quad R_{т\,II}=(A_I+A_{II})\frac{1}{\frac{A_I}{R_I}+\frac{A_{II}}{R_{II}}}=$$

$$=(0{,}31+0{,}14)\frac{1}{\frac{0{,}31}{1{,}489}+\frac{0{,}14}{0{,}916}}=1{,}247;$$

$$R_I=\frac{\delta_{шт}}{\lambda_{шт}}+\frac{\delta_{кл}}{\lambda_{кл}}+\frac{\delta_{шл}}{\lambda_{шл}}+\frac{\delta_{кл}}{\lambda_{кл}}+\frac{\delta_{шт}}{\lambda_{шт}}=$$

$$=\frac{0{,}015}{0{,}81}+\frac{0{,}12}{0{,}58}+\frac{0{,}27}{0{,}26}+\frac{0{,}12}{0{,}58}+\frac{0{,}015}{0{,}81}=1{,}489;$$

$$R_{II}=\frac{\delta_{шт}}{\lambda_{шт}}+\frac{\delta_{кл}}{\lambda_{кл}}+\frac{\delta_{шт}}{\lambda_{шт}}=\frac{0{,}015}{0{,}81}+\frac{0{,}51}{0{,}58}+\frac{0{,}015}{0{,}81}=0{,}916.$$

Фактическое термическое сопротивление толщи

$$R_т=\frac{2R_{т\,II}+R_{т\,\perp}}{3}=\frac{2\cdot1{,}247+1{,}201}{3}=1{,}232.$$

2. Сопротивление теплопередаче ограждения

$$R_o=\frac{1}{\alpha_в}+R_т+\frac{1}{\alpha_н}=\frac{1}{8{,}7}+1{,}232+\frac{1}{23}=1{,}390.$$

3. Вычислим коэффициент теплопередачи ограждения

$$k=\frac{1}{R_o}=\frac{1}{1{,}390}=0{,}719.$$

4. Определим тепловой поток через ограждение

$$q=k\,(t_в-t_н)=0{,}719\,[18-(-26)]=31{,}6\ \text{Вт/м}^2.$$

5. Средняя температура на поверхностях ограждения равн

$$\tau_в=t_в-(t_в-t_н)\frac{R_в}{R_o}=18-[18-(-26)]\frac{0{,}115}{1{,}390}=14{,}4\ °\text{C};$$

$$\tau_н=t_в-(t_в-t_н)\frac{R_{в-x}}{R_o}=18-[18-(-26)]\frac{1{,}347}{1{,}390}=-24{,}6\ °\text{C},$$

где $R_{в-x}=R_в+R_т=0{,}115+1{,}232=1{,}347\ °\text{C}\cdot\text{м}^2/\text{Вт}$.

Электронная библиотека http://tgv.khstu.ru/

§ 2.6. Теплоустойчивость ограждений

Формулы в § 2.5 определяют передачу теплоты через ограждения в стационарных условиях, т. е. в условиях, когда очень длительное время (теоретически бесконечно долго) температуры наружного и внутреннего воздуха оставались неизменными, и система отопления подавала в помещение столько теплоты, сколько оно теряло через наружные поверхности ограждений.

Однако такого положения практически никогда не бывает. Температура наружного воздуха непрерывно изменяется, претерпевая сезонные, суточные и более короткие по продолжительности колебания. Теплоотдача от нагревательных приборов системы отопления также постоянно изменяется, в связи с чем изменяются температуры поверхностей и толщи ограждений, т. е. имеет место нестационарный тепловой режим.

Взаимосвязь между изменениями температуры и тепловых потоков оказывается сложной еще и потому, что ограждения по-разному реагируют на колебания температуры на их поверхности. Одни ограждения быстро изменяют температуру в своей толще вслед за изменениями температуры наружного или внутреннего воздуха, другие медленно. Поэтому, например, понижение температуры наружного воздуха через одни ограждения быстрее передается к их внутренней поверхности и к воздуху помещения, вызывая его охлаждение, чем через другие. Эти свойства ограждений связаны с их теплоустойчивостью.

Наиболее удобно свойство теплоустойчивости ограждений проследить, изучая их температурный режим при периодических тепловых воздействиях. Действительные периодические колебания температуры или тепловых потоков около поверхностей ограждения часто можно без особой погрешности заменить правильными гармоническими колебаниями или суммой ряда гармоник. Поэтому закономерности правильного периодического теплового воздействия на ограждение имеют прямое практическое приложение.

Теплоустойчивость — это свойство ограждения сохранять относительное постоянство температуры при периодических изменениях тепловых воздействий на его поверхностях.

Это свойство интересует нас в двух проявлениях:

Электронная библиотека http://tgv.khstu.ru/

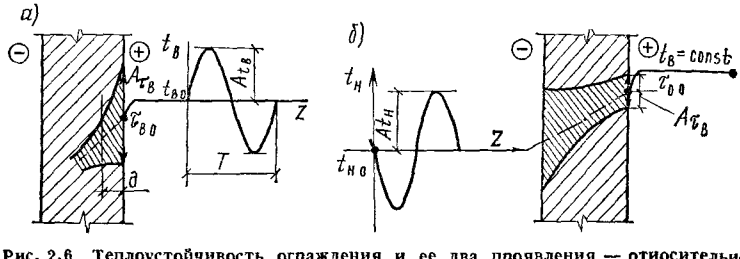

Рис. 2.6 Теплоустойчивость ограждения и ее два проявления — отиосительно колебаний температуры и теплового потока в помещении (*а*) и относительно сквозиого проникаиия через ограждение в помещение колебаний температуры иаружиого воздуха (*б*)

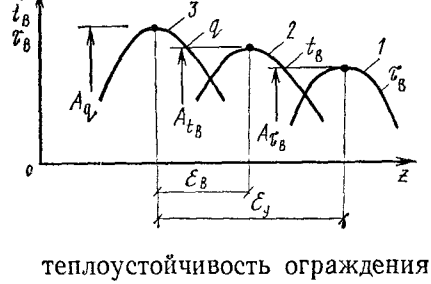

Рис. 2.7. Относительное во времени колебание температуры внутренней поверхности ограждения (*1*), температуры воздуха в помещении (*2*) и теплового потока, проходящего через эту поверхность (*3*)

теплоустойчивость ограждения относительно колебаний температуры и тепловых потоков в помещении (рис. 2.6, *а*);

теплоустойчивость ограждения относительно сквозного проникания колебаний температуры наружного воздуха через всю толщу ограждения в помещение (рис. 2.6, *б*).

1. **Теплоустойчивость ограждения колебаниям тепловых потоков в помещении.** Если теплоотдача отопительного прибора или другого источника теплоты в помещении будет периодически изменяться (при постоянстве всех остальных составляющих теплового баланса), то в помещении будет наблюдаться периодическое изменение температуры воздуха и поверхностей ограждений. Между колебаниями теплового потока и температуры на поверхности ограждения существует зависимость, которая определяется коэффициентом теплоусвоения поверхности ограждения Y. Величина Y равна отношению амплитуд колебаний теплового потока A_q и температуры на поверхности A_τ ограждения

$$Y = A_q / A_\tau . \qquad (2.26)$$

Если слой резких колебаний температуры заканчивается в пределах первого от поверхности материального

Электронная библиотека http://tgv.khstu.ru/

слоя и, следовательно, его тепловая инерция больше единицы ($D_1>1$), то Y равняется удельному коэффициенту теплоусвоения материала этого слоя s_1,

$$Y=s_1=\sqrt{\frac{2\pi\lambda_1 c\rho_1}{T}}. \qquad (2.27)$$

Если слоем резких колебаний захвачено больше чем один слой от поверхности, то

$$Y=\frac{R_1 s_1^2+Y_2}{1+R_1 Y_2}, \qquad (2.28)$$

где R_1, s_1, λ_1, $c\rho_1$ — термическое сопротивление, коэффициент теплоусвоения, теплопроводность и массовая теплоемкость материала первого слоя; Y_2 — коэффициент теплоусвоения поверхности второго материального слоя в ограждении.

Колебания температуры поверхности отстают во времени от колебаний теплового потока, проходящего через поверхность, на величину ε_y (рис. 2.7). Это отставание (сдвиг по фазе) для простейшего случая [формула (2.27)] равно

$$\varepsilon_y=T/8. \qquad (2\ 29)$$

Изменения теплового потока также связаны с колебаниями температуры воздуха в помещении. Соотношение между изменениями теплового потока, проходящего через поверхность, и температуры воздуха, омывающего эту поверхность, определяется коэффициентом теплопоглощения B поверхности ограждения

$$=\frac{q}{At_{\text{в}}}\simeq\frac{1}{\frac{1}{Y}+\frac{1}{\alpha_{\text{в}}}}. \qquad (2,30)$$

Уравнение (2.30) можно переписать в виде

$$\frac{1}{B}\simeq\frac{1}{Y}+\frac{1}{\alpha_{\text{в}}}, \qquad (2.31)$$

из которого следует, что сопротивление теплопоглощению $1/B$ равно сумме сопротивления теплоусвоению $1/Y$ и сопротивления теплообмену $1/\alpha_{\text{в}}$ на поверхности.

Изменение температуры воздуха опережает во времени температуру поверхности, но отстает от изменений теплового потока на величину $\varepsilon_{\text{в}}$ (см. рис. 2.7), приблизительно равную $\varepsilon_{\text{в}}\approx T/16$.

Электронная библиотека http://tgv.khstu.ru/

2. **Теплоустойчивость ограждения сквозному прониканию колебаний температуры наружного воздуха.** Колебания температуры наружного воздуха вызывают изменения температуры и тепловых потоков в толще и на внутренней поверхности наружного ограждения. По мере удаления от наружной поверхности колебания температуры в толще ограждения уменьшаются по величине и запаздывают во времени (по фазе). Колебания температуры внутренней поверхности непосредственно влияют на теплопотери и радиационную температуру помещения, поэтому ее изменение представляет особый интерес при проектировании отопления помещения.

Свойство теплоустойчивости сквозному прониканию температурных колебаний характеризуют двумя показателями: затухания ν и запаздывания ε.

Показатель сквозного затухания колебаний температуры ν определяет, во сколько раз амплитуда изменения температуры на внутренней поверхности ограждения $A_{\tau_в}$ меньше амплитуды колебаний температуры наружного воздуха $At_н$. Приближенная формула для расчета ν имеет вид

$$\nu = A_{t_н}/A_{\tau_в} \simeq 2^D \left(0{,}83 + 3{,}5\frac{\Sigma R_i}{D}\right) \beta_{сл}\, \beta_{в.\,п}. \qquad (2.32)$$

Величина ν зависит от следующих факторов:

тепловой инерции ограждения D

$$D = \Sigma R_i s_i, \qquad (2.33)$$

где R_i и s_i — сопротивление теплопроводности и коэффициент теплоусвоения материальных слоев ограждения;

сопротивления теплопроводности толщи ограждения ΣR_i;

последовательности расположения основных (конструктивного и теплоизоляционного) слоев, если можно их четко выделить в ограждении, которая учитывается поправочным коэффициентом $\beta_{сл}$

$$\beta_{сл} = \frac{(s_1 + s_2)\left(1 + \frac{20}{s_1}\right)\left(1 + \frac{7{,}5}{s_2}\right)}{\frac{300\Sigma R}{D} + 55}, \qquad (2.34)$$

где индексы при s определяют положение основных слоев по ходу температурной волны;

Электронная библиотека http://tgv.khstu.ru/

наличия в конструкции ограждения воздушной прослойки, которая учитывается поправочным коэффициентом $\beta_{в.п}$:

$$\beta_{в.\,п} = 1 + 0{,}5 R_{в.\,п} \frac{D}{\Sigma R_i}, \qquad (2.35)$$

где $R_{в.п}$ — сопротивление теплопередаче воздушной прослойки.

Приближенной формулой (2.32) можно пользоваться только в том случае, если можно четко выделить в конструкции ограждения два определяющих (в тепловом отношении) слоя. В остальных случаях необходимо пользоваться более сложной формулой, приведенной в СНиП.

Показатель запаздывания во времени сквозного проникания температурных колебаний ε в основном зависит только от D и равен

$$\varepsilon \simeq (0{,}113D - 0{,}017)\, T. \qquad (2.36)$$

При $T=24$; $\varepsilon=2{,}7$ $D=0{,}4$.

Формулой (2.32) следует пользоваться только при $D>2$ (соответствующих периоду T). При $D<2$ величина ν практически равна своему минимально возможному значению

$$\nu \simeq \nu_{мин} = R_0/R_в. \qquad (2.37)$$

В произвольный момент времени z (начало отсчета соответствует моменту максимума температуры наружного воздуха) температура внутренней поверхности наружного ограждения $\tau_в$ может быть определена уравнением

$$\tau_в = \tau_{в.\,о} + \frac{A_{t_н}}{\nu} \cos\frac{2\pi(z-\varepsilon)}{T}, \qquad (2.38)$$

где $\tau_{в.о}$ — средняя за период T температура внутренней поверхности

$$\tau_{в.\,о} = t_п - \frac{R_в}{R_о}(t_п - t_{н.\,о}); \qquad (2.39)$$

$t_п$, $t_{н.о}$ — средняя за период T температура помещения и наружного воздуха; $\cos\frac{2\pi}{T} = \cos \pi x$ (табл. 2.4).

Таблица 2.4. Значения $\cos \pi x$

x	0	1/8	1/4	3/8	1/2	5/8	3/4	7/8	1
$\cos \pi x$	1	0,785	0,71	0,384	0	—0,384	—0,71	—0,785	—1

Электронная библиотека http://tgv.khstu.ru/

Если на ограждение одновременно действуют изменение температуры наружного воздуха и изменение температуры воздуха в помещении, то можно воспользоваться принципом суперпозиции (сложения независимых тепловых воздействий) и получить результирующее изменение температуры внутренней поверхности ограждения сложением ее частных изменений под влиянием каждого воздействия.

§ 2.7. Влияние воздухопроницания и влажности материалов на теплопередачу через ограждение

Строительные материалы являются капиллярно-пористыми коллоидными телами, т. е. обладают определенной проницаемостью. Поэтому через ограждения происходят фильтрация воздуха, передача влаги. Процессы массообмена влияют на теплопередачу. Помещения в здании не должны быть полностью герметизированы. Ограждения должны быть в меру воздухопроницаемыми и обладать сорбирующими свойствами. Через ограждения обычно происходит небольшая передача воздуха, влаги, но это не должно приводить к переохлаждению или переувлажнению конструкций помещения.

1. **Влияние фильтрации воздуха на теплопередачу.** В многоэтажных зданиях из крупноразмерных элементов воздухопроницаемость существенно влияет на тепловой режим помещений и потери теплоты через отдельные ограждения. Влияние воздухопроницаемости на теплопередачу для различных элементов ограждений сказывается по-разному. Инфильтрация наружного воздуха через окна, которые имеют наибольшую воздухопроницаемость, связана с увеличением теплопотерь, инфильтрация через массив и стыки в основном вызывает понижение температуры внутренней поверхности ограждений.

При фильтрации воздуха температурное поле и теплообмен на поверхностях ограждения изменяются в результате теплопереноса потоком воздуха.

Температура на внутренней поверхности пористого ограждения при инфильтрации наружного воздуха (j — расход воздуха в кг/(м²·ч) равна

$$\tau_в = t_н + (t_в - t_н)\frac{e^{c_в j (R_о - R_в)} - 1}{e^{c_в j R_о} - 1}. \qquad (2.40)$$

Электронная библиотека http://tgv.khstu.ru/

При эксфильтрации расход внутреннего воздуха в формуле (2.40) берется со знаком минус.

Наружный воздух, проходя через ограждение навстречу кондуктивному (теплопроводность) потоку теряемой помещением теплоты, нагревается и поступает в помещение с температурой более высокой, чем его начальная температура. Происходит своеобразная рекуперация, частичный возврат в помещение теплоты, которая потребовалась бы на подогрев наружного воздуха. При малых расходах воздуха, при значениях относительного коэффициента фильтрационного теплообмена $c_в j R_о < 0{,}1$ фильтрацию воздуха можно не учитывать — теплопотери изменятся меньше, чем на 5%. При больших расходах воздуха через пористое ограждение, когда $c_в j R_о > 4{,}0$, потерь теплоты фактически не будет, так как трансмиссионный тепловой поток почти целиком будет использован на нагревание наружного воздуха, поступающего в помещение.

В СНиП сопротивление воздухопроницанию $R_и$ наружных ограждений регламентировано требуемой его величиной $R_и^{тр}$, которая должна обеспечить нормативную проницаемость воздуха $G^н$: [для стен — 0,5—1,0; для входных дверей — 1,5, для окон — 8—30 кг/(м²·ч)] при расчетном перепаде давления воздуха на наружной и внутренней поверхностях наружного ограждения.

2. **Учет влажности материалов при расчете теплопередачи.** Строительные материалы имеют сложную структуру; их поры и капилляры могут быть заполнены влажным воздухом, жидкой влагой, льдом. Особенности строения определяют большую изменчивость теплофизических характеристик материалов в конструкциях ограждений в зависимости от их влажностного режима. Влажность материалов в ограждении зависит от его конструкции, внешних и внутренних условий, времени года.

Влажностное состояние ограждений условно может быть разделено на эксплуатационное, соответствующее основному периоду продолжительной и регулярной эксплуатации, и начальное, соответствующее первым годам эксплуатации здания. Начальное состояние связано с внесением в конструкцию «строительной влаги», эксплуатационное наступает после того, как влагосодержание материалов приблизится к некоторому стабильному состоянию, равновесному относительно воздействующих на ограждение внутрен-

Электронная библиотека http://tgv.khstu.ru/

ней и наружной сред. Влагосодержание материалов периодически изменяется в течение года, возрастая в апреле — мае и уменьшаясь к концу лета. Зимой (в декабре — январе) влагосодержание близко к среднему значению за год. Теплотехнический расчет ограждений и расчет теплопотерь помещениями проводится для этого периода, поэтому теплофизические характеристики материалов следует выбирать по среднегодовой влажности материалов в ограждении в период регулярной эксплуатации здания.

Эксплуатационное влажностное состояние материалов в ограждении по СНиП определяется категориями *А*, *Б*, для которых приведены значения теплофизических характеристик. Зная влажностную зону района строительства и влажностный режим помещения, находят категорию эксплуатационной влажности и, пользуясь ею, по таблице норм устанавливают расчетные значения теплофизических характеристик материалов в ограждении.

§ 2.8. Защитные свойства наружных ограждений

Ограждения зданий должны обладать требуемыми тепл защитными свойствами и быть в достаточной степени возд хо- и влагонепроницаемыми.

Теплозащитные свойства наружных ограждений определяют двумя показателями: величиной сопротивления теплопередаче R_0 и теплоустойчивостью, которую оценивают по величине тепловой инерции ограждения D. Величина R_0 определяет сопротивление ограждения передаче теплоты в стационарных условиях, а теплоустойчивость характеризует сопротивляемость ограждения передаче изменяющихся во времени периодических тепловых воздействий.

В зимних условиях теплозащитные свойства ограждений принято характеризовать в основном величиной R_0, а в летних — их теплоустойчивостью. Это объясняется тем, что для зимы характерны относительно устойчивые низкие температуры вне здания и постоянная внутренняя температура, которую обеспечивает система отопления. Летом характерны периодические суточные изменения температуры и солнечной радиации и внутри здания температура часто не регулируется.

Наиболее важным является определение расчетного сопротивления теплопередаче R_0 основной части (глади)

Электронная библиотека http://tgv.khstu.ru/

конструкции ограждения, с чего обычно и начинают теплотехнический расчет ограждения. Необходимо соблюдать условие, чтобы R_0 было равно или больше минимально допустимого по санитарно-гигиеническим и технологическим соображениям (требуемого) сопротивления $R_0^{тр}$ теплопередаче

$$R_0 \geqslant R_0^{тр}. \tag{2.41}$$

Однако это условие необходимое, но не достаточное, так как при определении R_0 должны учитываться также технико-экономические показатели. Если оказывается, что экономически целесообразное сопротивление $R_0^{эк}$ теплопередаче ограждения больше $R_0^{тр}$

$$R_0^{эк} > R_0^{тр}, \tag{2.42}$$

то расчетное сопротивление должно определяться по условию

$$R_0 \simeq R_0^{эк}. \tag{2.43}$$

В этом случае сопротивление R_0 больше минимально допустимого $R_0^{тр}$ и целесообразно в экономическом отношении. Таким образом, R_0 должно быть приблизительно равно большему из значений $R_0^{тр}$ и $R_0^{эк}$.

После определения R_0 глади ограждения необходимо проверить теплозащитные свойства двухмерных элементов конструкции (стыки, углы, включения). Необходимым и достаточным условием этого расчета является отсутствие выпадения конденсата на поверхностях конструкций.

Для расчета теплопотерь и тепловых условий в помещении необходимо, кроме R_0, рассчитать приведенное сопротивление $R_0^{пр}$ теплопередаче реального сложного ограждения с учетом его двухмерных элементов.

Для зданий, расположенных в южных районах, дополнительно проверяют теплоустойчивость ограждений в расчетных летних условиях.

Недостаточную теплоустойчивость ограждения для зимнего периода года учитывают увеличением его сопротивления теплопередаче при расчете $R_0^{тр}$.

Для заполнеиий оконных и дверных проемов теплозащитные свойства регламентируются только сопротивлением теплопередаче конструкции, которое должно быть не ниже требуемого, установленного СНиП.

Электронная библиотека http://tgv.khstu.ru/

Допустимая воздухопроницаемость окон, дверей, стыков конструкций, стен и перекрытий зданий определяется нормируемыми величинами: сопротивления $R_и^{тр}$ воздухопроницанию, расхода воздуха, дополнительными затратами теплоты, понижением температуры конструкции при инфильтрации.

Влагозащитные свойства ограждения должны исключать переувлажнение материалов атмосферной влагой и за счет диффузии водяных паров из помещения.

Процессы передачи теплоты, фильтрации воздуха и переноса влаги взаимосвязаны и одно явление оказывает влияние на другое, поэтому определение сопротивлений тепловоздухо- и влагопередаче должно проводиться как общий расчет защитных свойств наружных ограждений здания.

1. Требуемое сопротивление теплопередаче ограждения. Санитарно-гигиенические требования ограничивают понижение температуры $\tau_в$ на внутренней поверхности ограждений значением допустимой температуры $\tau_в^{доп}$. Температура $\tau_в^{доп}$ должна быть такой, чтобы человек, находясь около ограждения, не испытывал интенсивного радиационного охлаждения (должно удовлетворяться второе условие комфортности). Кроме того, как правило, на ограждениях недопустима конденсация, поэтому температура $\tau_в$ должна быть выше температуры $t_{т.р}$ точки росы воздуха в помещении.

Формулу для определения требуемого сопротивления теплопередаче $R_о^{тр}$ можно вывести, приняв за основу стационарные условия и записав $R_о$ в виде

$$R_о = R_в \frac{t_в - t_н}{t_в - \tau_в}. \qquad (2.44)$$

В (2.44) необходимо подставить регламентированные величины характеристик, чтобы получить $R_о^{тр}$.

В СНиП даны значения температуры $t_в$ помещений различного назначения и расчетные перепады температуры $t_в - \tau_в^{доп} = \Delta t^н$.

Сопротивление теплообмену на внутренней поверхности ограждения $R_в$ в СНиП принято равным 0,115 м²·°С/Вт [$\alpha_в$=8,7 Вт/(м²·°С)]. Исключение составляют оребренные и кессонированные поверхности, зенитные фонари, для которых в СНиП дана специальная таблица значений $R_в$.

Электронная библиотека http://tgv.khstu.ru/

Формула (2.44) выведена как было сказано, в предположении, что в расчетных условиях температурный режим ограждения является стационарным, и поэтому за расчетную должна быть принята условная наружная температура, учитывающая фактическую нестационарность процесса в расчетный период резкого похолодания.

Расчетная наружная температура $t_н$ может быть определена в виде

$$t_н = t_{н.о} + \psi A_{t_н}, \tag{2.45}$$

где $t_{н.о}$ и $A_{t_н}$ — температура начала периода резкого похолодания и отклонения температуры, определяемые с заданным коэффициентом обеспеченности; ψ — коэффициент, учитывающий тепловую инерцию ограждения

$$\psi \simeq R_о/(R_в \nu), \tag{2.46}$$

где $\nu = A_{t_н}/A_{\tau_в}$ — показатель сквозного затухания в ограждении разового отклонения $t_н$. В СНиП $t_н$ определяется в соответствии с табл. 2.3.

Для отдельных ограждений на расчетную разность температуры $t_в - t_н$ вводят поправочный коэффициент n, значения которого приведены в СНиП. Коэффициент n учитывает фактическое уменьшение расчетной разности температуры для ограждений, которые отделяют отапливаемые помещения от неотапливаемых и непосредственно не омываются наружным воздухом. Для определения фактического перепада температуры нужно составить тепловой баланс неотапливаемого помещения и определить температуру воздуха в нем.

Формула $R_о^{тр}$ с учетом регламентации величин, входящих в (2.44), может быть записана в виде

$$R_о^{тр} \geqslant R_в \frac{(t_в - t_н)\, n}{\Delta t^н}. \tag{2.47}$$

В формуле (2.47) удобно заменить отношение $\Delta t^н/R_в$ равным ему нормированным потоком теплоты через ограждение

$$q_н = \Delta t^н / R_в \tag{2.48}$$

и записать $R_о^{тр}$ в виде

$$R_о^{тр} = \frac{(t_в - t_н)\, n}{q_н}. \tag{2.49}$$

Теплообмен внутри помещения, особенно при лучистом или воздушном отоплении, оказывается довольно сложным.

Электронная библиотека http://tgv.khstu.ru/

В этом случае правильнее заранее не задавать величину $R_в$, а вычислять специальным расчетом [формула (2.11)] и определять не $R_o^{тр}$, а $R_o^{тр\prime}=R_o^{тр}-R_в$. Величина $R_o^{тр\prime}$ есть требуемое сопротивление теплопередаче от внутренней поверхности ограждения к наружному воздуху. В $R_o^{тр\prime}$ исключен теплообмен на поверхности в помещении. При ее определении расчет ведется относительно внутренней поверхности ограждения, минимально допустимая температура которой определена величиной $\tau_в^{доп}$.

Формула для определения $R_o^{тр\prime}$ имеет вид

$$R_o^{тр\prime}=\frac{(\tau_в^{доп}-t_н)n}{q_н}. \qquad (2.50)$$

Перепады температуры $\Delta t^в$ в зависимости от назначения основных помещений и от вида ограждения по СНиП, а также значения $q_н$ и $\tau_в^{доп}$ для двух категорий помещений даны в табл. 2.5.

Таблица 2.5. Расчетные перепад температуры $\Delta t^н$, °С, нормируемый тепловой поток $q_н$, Вт/м², и допустимая температура внутренней поверхности наружных ограждений $\tau_в^{доп}$, °С

Характеристика помещений	Стены Н е			Потолок Пт			Пол Пл		
	$\Delta t^в$	$q_н$	$\tau_в^{доп}$	$\Delta t^в$	$q_н$	$\tau_в^{доп}$	$\Delta t^в$	$q_н$	$\tau_в^{доп}$
Повышенные санитарно-гигиенические требования, длительное пребывание людей ($t_в$ = =20 °С)	6	52	14	4,5	35	16	2,0	17	18
Ограниченное во времени, кратковременное пребывание людей ($t_в$ = =16 °С)	7	61	9	5,5	48	10,5	2,5	22	13,5

2. **Экономически целесообразное сопротивление теплопередаче ограждения.** Определение $R_o^{эк}$ является сложной

Электронная библиотека http://tgv.khstu.ru/

технико-экономической задачей, которая может быть приближенно решена аналитически с учетом упрощающих предпосылок.

Экономической характеристикой, определяющей рациональность конструктивного решения ограждения, являются приведенные затраты $З$, руб/м², ограждения. Экономически целесообразное сопротивление $R_o^{эк}$ соответствует минимуму функции $З$ и может быть определено в общем случае из уравнения

$$\partial З/\partial R_o = 0. \qquad (2.51)$$

В простейшем случае, если пренебречь изменениями затрат на сопряженные системы и ограничиться рассмотрением только ограждения, то

$$R_o^{эк} = \left[\frac{(t_в - t_{о.с})\,\Delta z_{о.с}\,24 C_т z_н}{\lambda_{из} C_{из}}\right]^{1/2}, \qquad (2.52)$$

где $t_{о.с}$ и $\Delta z_{о.с}$ — средняя температура, °С, и продолжительность, сут, отопительного сезона; $C_т$ — стоимость теплоты, руб/(Вт×ч); $\lambda_{из}$, $C_{из}$ — теплопроводность, Вт/(м·°С), и стоимость 1 м³ теплоизоляции, руб./м³, в конструкции ограждения; $z_н$ — нормативный срок окупаемости дополнительных капитальных вложений, лет.

Если задачу несколько усложнить и учесть изменение затрат на систему отопления и отчисления на амортизацию и текущий ремонт, то

$$R_o^{эк} = \left[\frac{(t_в - t_н)\,C_{с.о}\,(1 + a_{с.о} z_н) + (t_в - t_{о.с})\,\Delta z_{о.с}\,24 z_н C_т}{\lambda_{из} C_{из}\,(1 + a_{огр} z_н)}\right]^{1/2}, \qquad (2.53)$$

где $C_{с.о}$ — изменение затрат на систему отопления, руб/Вт, при изменении ее тепловой мощности на 1 Вт; $a_{с.о}$ и $a_{огр}$ — ежегодные отчисления на амортизацию и текущий ремонт от затрат на систему отопления и ограждение, 1/год.

Последовательность рассмотрения задачи остается прежней и при наличии в здании системы летнего охлаждения или круглогодичного кондиционирования. В расчете должны быть учтены затраты на системы кондиционирования, а также стоимость холода, который расходуется летом на ассимиляцию теплопоступлений через ограждения.

3. **Приведенное сопротивление теплопередаче ограждения.** Конструкции ограждений зданий из крупноразмерных элементов имеют определенное своеобразие. В стеновых панелях большие оконные проемы, размеры самих панелей небольшие и примыкание перегородок и междуэ-

Электронная библиотека http://tgv.khstu.ru/

тажных перекрытий к ним занимает относительно большую площадь. Панели обычно имеют бетонные ребра, обрамления или гибкие металлические связи, которые создают в толще теплоизоляционного слоя теплопроводные включения. По площади наружной стены практически нет участков, в пределах которых передачу теплоты можно было бы считать одномерной. За счет перечисленных конструктивных особенностей потери теплоты по всей площади ограждения оказываются часто бо́льшими, чем рассчитанные в предположении одномерности температурного поля. Точный расчет может быть выполнен путем определения температурного поля конструкции с учетом всех ее особенностей на ЭВМ.

Для правильного расчета теплопотерь через ограждения сложной конструкции используют понятие приведенного сопротивления теплопередаче ограждения $R_0^{пр}$. **Приведенным** называют сопротивление теплопередаче глади однородного ограждения, теплопотери через которое равны теплопотерям сложного ограждения при одинаковой площади.

Характерные для наружной панели двухмерные элементы — это наружный угол, оконный откос, стык внутренних конструкций с наружной стеной и теплопроводные включения. В результате рассмотрения теплопередачи в двухмерных элементах определены факторы формы f для каждого случая (табл. 2.6).

Величины f показывают, во сколько раз теплопотери через характерный двухмерный элемент шириной в два калибра $a_{fв}=2R_0\lambda$ и длиной $l=1$ м больше основных по глади ограждения такой же площади. Общие потери теплоты ограждением, имеющим несколько двухмерных элементов, с различными значениями a_{fi} и разной протяженности l_i можно определить в виде суммы

$$Q=\frac{1}{R_0}A_0(t_в-t_н)+\frac{1}{R_0}\sum_i a_{fi}l_i(f_i-1)(t_в-t_н), \qquad (2.54)$$

где R_0, A_0 — сопротивление теплопередаче глади и площадь ограждения.

В то же время величина Q с помощью R_0 может быть выражена в виде

$$Q=\frac{1}{R_0^{пр}}A_0(t_в-t_н). \qquad (2.55)$$

Приравнивая правые части уравнений (2.54) и (2.55), получим аналитическую зависимость для определения

Электронная библиотека http://tgv.khstu.ru/

Таблица 2.6. Значение фактора формы характерных двухмерных элементов ограждения

Характерный элемент ограждения и обозначение фактора формы	Фактор формы f характерного элемента	
	по наружному обмеру	по внутреннему обмеру
Наружный угол $f_{н.у}$	0,68	1,18
Внутренний угол $f_{в.у}$	1,18	0,68
Откос проема в ограждении $f_{отк}$	~1,50	
Стык однородных внутреннего и наружного ограждений (в одну сторону от оси стыка) $f_{ст}$	~0,95	1,05
Теплопроводное включение (в одну сторону от оси включения) $f_{вкл}$	$1+\frac{b}{4\lambda}(\kappa_{т.в}-\kappa)$	

Примечание. b — ширина включения; $\kappa_{т.в}$, κ — коэффициенты теплопередачи, рассчитанные соответственно по сечению теплопроводного включения и по сечению основной конструкции.

приведенного сопротивления теплопередаче ограждения

$$R_o^{пр}=R_o\frac{1}{1+(1/A_o)\Sigma a_{f_i}(f_i-1)l_i}=R_o r, \qquad (2.56)$$

где r — коэффициент теплотехнической однородности ограждения.

По формуле (2.56) можно определить $R_o^{пр}$ для ограждения, в котором для всех элементов с двухмерными температурными полями определены факторы формы. Для многослойных панелей, имеющих сложные обрамляющие ребра, включения и т. д., значения $R_o^{пр}$ могут быть получены расчетом температурного поля на ЭВМ.

В СНиП приведены значения r для наиболее распространенных конструкций трехслойных панелей с ребрами и теплоизоляционными вкладышами, а также панелей с гибкими металлическими связями.

4. **Требуемая теплоустойчивость ограждения.** Теплоустойчивость наружных ограждений не должна допускать больших изменений температуры внутренней поверхности: зимой — при разовых понижениях температуры в периоды похолодания, летом — при суточных колебаниях температуры и интенсивности солнечной радиации.

Электронная библиотека http://tgv.khstu.ru/

При выборе зимней расчетной температуры $t_н$ принимается во внимание тепловая инерция ограждения, поэтому расчет $R_0^{тр}$ одновременно учитывает теплоустойчивость ограждения при понижении температуры в период резкого похолодания.

В летних условиях теплоустойчивость ограждений должна обеспечивать колебание температуры внутренней поверхности с амплитудой $A_{\tau_в}$ не более допустимой $A_{\tau_в}^{доп}$, равной по нормам

$$A_{\tau_в}^{доп} = 2{,}5 - 0{,}1\,(t_{vII} - 21), \qquad (2\ 57)$$

где t_{vII} — средняя за июль (самый жаркий месяц) температура наружного воздуха

Определение $A_{\tau_в}$ необходимо проводить при $t_п$=const в условиях расчетных летних суток при колебаниях условной наружной температуры, учитывающей совместное действие наружной температуры и солнечной радиации. Проверки на теплоустойчивость для летних условий не требуется, если тепловая инерция ограждения $D>4$ для стен, $D>5$ для покрытий и при $t_{vII}<21$ °С.

Теплоустойчивость полов определяется в СНиП показателем теплоусвоения поверхности пола $Y_п$, который для простейшего случая однородной конструкции или при $D_1 \geqslant 0{,}5$ принимается равным

$$Y_п = 2s_1 \qquad (2\ 58)$$

Его величина должна быть не более нормируемого значения $Y_п^н$, которое для помещений повышенной обеспеченности равно 12 Вт/м², высокой — 14 и средней обеспеченности — 17. Для помещений при температуре поверхности пола больше 23 °С величина $Y_п$ не нормируется.

5 **Теплозащита световых проемов и дверей.** Требуемое сопротивление теплопередаче заполнений световых проемов в зависимости от разности расчетных температур внутреннего и наружного воздуха и назначения помещений приведено в таблице СНиП. Его величина может изменяться от 0,15 до 0,48.

Сопротивление теплопередаче дверей (кроме балконных) и ворот следует принимать не менее $0{,}6R_0^{тр}$, определенного для стен здания.

Фактические значения R_0 различных конструкций заполнений проемов приведены в табл. 2.7.

Электронная библиотека http://tgv.khstu.ru/

Таблица 2.7. Сопротивление теплопередаче заполнений световых проемов и дверей

Конструкция заполнения проемов	Приведенное сопротивление теплопередаче, м² °С/Вт
Наружные деревянные двери и ворота одинарные	0,21
То же, двойные	0,43
Двери стеклянные одинарные	0,15
То же, двойные	0,27
Внутренние двери одинарные	0,34
Магазинные витрины, вентилируемые	0,21
Витражи со стальными переплетами	0,26

Примечание. Значения R_0 даны при отношении площади остекления к площади заполнения проема 0,75—0,85. При меньших отношениях R_0 следует увеличить на 10%, при бо́льших отношениях — уменьшить на 5%.

6. **Требуемые воздухо- и влагозащитные свойства ограждения.** Наибольшей воздухопроницаемостью обладают окна. Воздух фильтрует через примыкание оконной рамы к откосу проема, притворы, стыки стекла с переплетом. Количество воздуха, проникающего через окно, зависит от герметичности конструкции окна, внутренних и внешних условий, этажности, а также от расположения окна в здании. В таблице СНиП приведены нормируемые величины допустимой воздухопроницаемости ограждающих конструкций $G^{\text{н}}$, кг/(м²·ч), и формула пересчета этой величины в требуемое сопротивление воздухопроницанию $R_{\text{и}}^{\text{тр}}$, м²·ч××Па/кг.

Наружные ограждения должны иметь сопротивление воздухопроницанию $R_{\text{и}}$ не ниже требуемого $R_{\text{и}}^{\text{тр}}$.

Внутренние перекрытия в здании, двери в квартиры, внутренние капитальные стены должны иметь максимально возможную по конструктивным решениям величину сопротивления воздухопроницанию. Это предупредит заметное перетекание загрязненного воздуха из нижних этажей в верхние, что особенно важно для многоэтажных зданий.

Влагозащитные свойства конструкции должны быть такими, чтобы влажность материалов ограждений при нормальных условиях эксплуатации была не больше допу-

Электронная библиотека http://tgv.khstu.ru/

стимой. Допустимые приращения влажности различных материалов в конструкции к концу периода влагонакопления и требование недопустимости накопления влаги в ограждении за годовой период даны в СНиП. Для предупреждения переувлажнения материалов рекомендуется внутренние слои ограждения делать более плотными и менее паропроницаемыми. Сопротивление паропроницаемости внутренней части конструкции для помещений влажных и с нормальным влажностным режимом должно быть больше требуемого. Желательно, чтобы оно было больше сопротивления паропроницаемости наружной части ограждения в 1,2 (при нормальной влажности помещения) и в 1,5 раза (для влажных помещений). Наружные ограждения помещений с сухим режимом, однослойные или герметичные конструкции имеют удовлетворительный влажностный режим. Остальные случаи требуют проверки влажностного режима ограждения расчетом. В многослойных ограждениях с непроницаемыми внутренними и наружными слоями утеплитель не должен иметь повышенной влажности.

В районах с продолжительными дождями и ветром необходимо применять наружные стены с водонепроницаемым слоем с наружной стороны или с экраном.

§ 2.9. Нестационарный тепловой режим, теплоустойчивость помещения

Температура помещения будет оставаться неизменной, если поступление теплоты от отопительных приборов будет равно недостатку теплоты в помещении. Если теплопоступления будут периодически изменяться, то в помещении будут наблюдаться колебания температуры воздуха и радиационной температуры. Ограждения, все предметы, воздух под влиянием этих изменений периодически поглощают и отдают теплоту. Чем больше способность теплопоглощения у ограждений и предметов, поверхности которых обращены в помещение, тем меньше в помещении колебания температуры и тем больше его теплоустойчивость. **Теплоустойчивостью помещения** называется его свойство поддерживать относительное постоянство температуры при периодически изменяющихся теплопоступлениях. Интенсивность колебания температуры в помещении будет также зависеть от

Электронная библиотека http://tgv.khstu.ru/

степени неравномерности лучистой и конвективной составляющих теплоотдачи приборов и их соотношения.

По характеру изменения во времени все возможные виды поступлений и теплопотерь можно разделить на гармонические и прерывистые. Более сложные случаи теплопередачи могут быть представлены их сочетанием.

Имеется определенная специфика участия лучистых и конвективных теплопоступлений в теплоустойчивости помещения, которая состоит в разной последовательности передачи теплоты к воздуху и поверхностям помещения.

При рассмотрении задачи теплоустойчивости пользуются методом наложения (суперпозиции), основанным на независимости действия отдельных тепловых возмущений. Совместный эффект действия всех источников и стоков теплоты получают суммированием частных результатов, что, как правило, допустимо.

Коэффициент неравномерности теплоотдачи отопительного прибора при периодическом отоплении можно определить по формуле

$$M=(Q_{\text{макс}}-Q_{\text{мин}})/2Q_{\text{ср}}, \tag{2.59}$$

где $Q_{\text{ср}}$, $Q_{\text{макс}}$, $Q_{\text{мин}}$ — средняя, максимальная и минимальная теплоотдачи прибора.

Если теплоотдача прибора изменяется по закону правильного гармонического колебания, то

$$(Q_{\text{макс}}-Q_{\text{мин}})/2=A_Q \tag{2.60}$$

есть амплитуда изменения теплоотдачи, а

$$M=A_Q/Q_{\text{ср}}. \tag{2.61}$$

Для нетеплоемкого отопительного прибора при периодическом отоплении помещения «пропусками» коэффициент M можно получить аналитически. В период натопа продолжительностью $z_{\text{н}}$ часов нагревательный прибор отдает в помещение теплоту, которую в данном случае нужно обозначить как $Q_{\text{макс}}$. В перерыве между натопами продолжительностью $z_{\text{п}}$ часов теплоотдача прибора равна нулю, т. е. $Q_{\text{мин}}=0$. Такой режим подачи теплоты называют прерывистым.

Средняя теплоотдача прибора за весь период $T=z_{\text{н}}+z_{\text{п}}$ равна

$$Q_{\text{ср}}=\frac{Q_{\text{макс}}z_{\text{н}}}{z_{\text{н}}+z_{\text{п}}}. \tag{2.62}$$

Электронная библиотека http://tgv.khstu.ru/

Коэффициент M при прерывистом отоплении равен

$$M=\frac{Q_{\text{макс}}-Q_{\text{мин}}}{2Q_{\text{ср}}}=\frac{z_{\text{п}}+z_{\text{н}}}{2z_{\text{н}}}. \quad (2\,63)$$

Для теплоемких приборов коэффициент M может быть определен экспериментально. Например, для теплоемких отопительных печей экспериментальные значения M даются в зависимости от размеров печи, толщины ее стенок и числа топок в сутки (см. гл. 12).

Теплоустойчивость помещения, определяющую изменение его теплового режима, можно охарактеризовать показателями теплоусвоения $Y_{\text{пом}}$ и теплопоглощения $P_{\text{пом}}$.

Рассмотрим определение этих показателей применительно к задаче прерывистого отопления.

В качестве показателя теплоусвоения помещения $Y_{\text{пом}}$ примем суммарное теплоусвоение всех поверхностей ограждений, обращенных в помещение,

$$Y_{\text{пом}}=\Sigma Y_i A_i, \quad (2\,64)$$

где Y_i, A_i — коэффициенты теплоусвоения и площади отдельных ограждений в помещении.

Показатель теплопоглощения помещения $P_{\text{пом}}$ в основном учитывает поглощающую способность ограждений $P_{\text{огр}}$ и воздухообмена $P_{\text{вен}}$ и равен их сумме:

$$P_{\text{пом}}=P_{\text{огр}}+P_{\text{вен}}. \quad (2.65)$$

Если коэффициенты теплопоглощения отдельных поверхностей, выходящих в помещение, обозначить P_i, а их площади по внутреннему обмеру A_i, то их суммарная теплопоглощательная способность

$$P_{\text{огр}}=\Sigma P_i A_i=\frac{1}{\frac{1}{\Sigma Y_i A_i}+\frac{1}{\Sigma \alpha_i A_i}}=\frac{1}{\frac{1}{Y_{\text{пом}}}+\frac{1}{\Lambda_{\text{пом}}}}, \quad (2.66)$$

где α_i — коэффициент теплообмена на отдельных поверхностях в помещении; $\Lambda_{\text{пом}}$ — показатель интенсивности теплообмена на всей площади поверхностей, обращенных в помещение

$$\Lambda_{\text{пом}}=\Sigma \alpha_i A_i=\bar{\alpha}\Sigma A_i; \quad (2.67)$$

$\bar{\alpha}$ — осредненное по всем поверхностям в помещении значение коэффициента теплообмена, равное применительно к зимним условиям в среднем около 4,0 Вт/(м^2·°С).

Электронная библиотека http://tgv.khstu.ru/

При прерывистой подаче теплоты коэффициент теплопоглощения ограждения равен

$$P_{\text{огр}}=\frac{1}{\frac{\Omega}{Y_{\text{пом}}}+\frac{1}{\Lambda}}, \tag{2.68}$$

где Ω — коэффициент прерывистости, определяемый в зависимости от отношения времени натопа $z_{\text{н}}$ к общему периоду $T=z_{\text{н}}+z_{\text{п}}$ (табл. 2.8).

Таблица 2.8. Коэффициент прерывистости

$z_{\text{н}}/T$	0	1/8	1/4	3/8	1/2	5/8	3/4	7/8	1
Ω	0	0,73	0,84	0,84	0,76	0,63	0,45	0,24	0

Теплопоглощение в помещении в результате вентиляционного воздухообмена $P_{\text{вен}}$ равно

$$P_{\text{вен}}=Lc\rho. \tag{2.69}$$

Применительно к рассматриваемой задаче будем считать, что изменение температуры воздуха $t_{\text{в}}$ в помещении приблизительно соответствует изменению температуры помещения $t_{\text{п}}$, и показатель теплопоглощения помещения равен

$$P_{\text{пом}}=\frac{0{,}9A_Q}{A_{t_{\text{п}}}}. \tag{2.70}$$

Результатом расчета теплоустойчивости помещения является определение наибольшего отклонения температуры $A_{t_{\text{п}}}$ помещения от среднего значения. При гармонических колебаниях теплопоступлений

$$A_{t_{\text{п}}}=\frac{0{,}9A_Q}{P_{\text{пом}}}=\frac{0{,}9MQ_{\text{ср}}}{\frac{1}{1/Y_{\text{пом}}+1/\Lambda_{\text{пом}}}+Lc\rho}. \tag{2.71}$$

При прерывистых теплопоступлениях, когда в период натопа $z_{\text{н}}$

$$Q_{\text{макс}}=2MQ_{\text{ср}}, \tag{2.72}$$

$$A_{t_{\text{п}}}=\frac{0{,}9Q_{\text{макс}}}{P_{\text{пом}}}=\frac{1{,}8MQ_{\text{ср}}}{\frac{1}{\Omega/Y_{\text{пом}}+1/\Lambda_{\text{пом}}}+Lc\rho}. \tag{2.73}$$

Электронная библиотека http://tgv.khstu.ru/

Из формулы (2.72) следует, что тепловая мощность систем отопления при периодическом отоплении должна быть заметно больше, чем при постоянном отоплении. Так, в период натопа расчетные теплопоступления от отопления $Q_{от}$ должны быть равны максимальным

$$Q_{от} = Q_{макс} = Q_{ср} + A_Q. \tag{2.74}$$

При отоплении пропусками или сменной работе системы ее установочная мощность $Q_{от}$ должна быть равна

$$Q_{от} = 2MQ_{ср}, \tag{2.75}$$

где $Q_{ср}$ — средний за сутки дефицит теплоты в помещении, который должна компенсировать система отопления.

В то же время режим работы системы (неравномерность теплоотдачи, продолжительность натопа, перерыв в работе) должен быть определен по допустимому колебанию температуры в помещении при прерывистом отоплении. Из (2.73) следует, что

$$M = \frac{A_{t_п}^{доп}}{1{,}8Q_{ср}} \left(\frac{1}{\frac{\Omega}{Y_{пом}} + \frac{1}{\Lambda_{пом}} + Lc\rho} \right), \tag{2.76}$$

а по (2.63) продолжительность натопа

$$z_н = T/2M. \tag{2.77}$$

Следует отметить, что во всех приведенных формулах величины $P_{пом}$, $Y_{пом}$, Ω должны определяться для периода $T = z_н + z_п$.

Пример 2.2. Определим амплитуду колебаний температуры $A_{t_п}$ в помещении, где система водяного отопления при $t_н = +5$ °С работает пропусками. Продолжительность нагревания (натопа) $z_н = 2$ ч, перерыв между натопами $z_п = 2$ ч, период $T = z_н + z_п = 4$ ч.

1. **Наружная стена.** Конструкция наружной стены: внутренняя штукатурка $\lambda_1 = 0{,}93$ Вт/(м·°С); $c\rho_1 = 1{,}58 \cdot 10^6$ Дж/(м³·°С); $\delta_1 = 0{,}015$ м; кирпичная кладка $\lambda_2 = 0{,}81$; $c\rho_2 = 1{,}62 \cdot 10^6$; площадь $A_{н.с} = 12{,}0$ м².

а) Определяем положение слоя резких колебаний

$$R_1 = \frac{\delta_1}{\lambda_1} = \frac{0{,}015}{0{,}93} = 0{,}016;$$

$$s_1 = \sqrt{\frac{2\pi\lambda_1 c\rho_1}{T}} = \sqrt{\frac{2 \cdot 3{,}14 \cdot 0{,}93 \cdot 1{,}58 \cdot 10^6}{4 \cdot 3600}} = 25{,}6 \text{ Вт/(м}^2\text{·°С)};$$

$$R_1 s_1 = 0{,}016 \cdot 25{,}6 = 0{,}410 < 1.$$

Электронная библиотека http://tgv.khstu.ru/

Следовательно, слой резких колебаний заканчивается в кирпичной части стены, для которой

$$s_2 = \sqrt{\frac{2 \cdot 3{,}14 \cdot 0{,}81 \cdot 1{,}62 \cdot 10^6}{4 \cdot 3600}} = 23{,}92.$$

б) Коэффициент теплоусвоения внутренней поверхности наружной стены

$$Y_{н.с} = \frac{R_1 s_1^2 + Y_2}{1 + R_1 Y_2} = \frac{0{,}016 \cdot 25{,}6^2 + 23{,}92}{1 + 0{,}016 \cdot 23{,}92} = 24{,}92 \text{ Вт/(м}^2 \cdot \text{°С)},$$

так как $Y_2 = s_2 = 23{,}92$.

Показатель теплоусвоения всей площади наружной стены

$$Y_{н.с} A_{н.с} = 24{,}92 \cdot 12 = 299 \text{ Вт/°С}.$$

2. **Окно.** Окно двойное $K_{ок} = 2{,}56$, $A_{ок} = 4{,}5$ м². Для конструкции окна $s_1 = 0$, а $Y_2 = \alpha_н$, поэтому

$$Y_{ок} = \frac{\alpha_н}{1 + R_1 \alpha_н} = \frac{23}{1 + 0{,}548 \cdot 23} = 1{,}69;$$

$$R_1 = R_{ок} - R_в - R_н = \frac{1}{2{,}56} - \frac{1}{8{,}7} - \frac{1}{23} = 0{,}548;$$

$$Y_{ок} A_{ок} = 1{,}69 \cdot 4{,}5 = 8 \text{ Вт/°С}.$$

3. **Пол.** Конструкция пола имеет сверху дощатый слой $\delta_1 = 0{,}04$ м; $\lambda_1 = 0{,}18$; $c\rho_1 = 1{,}22 \cdot 10^6$, площадь $A_{пл} = 20$ м²,

$$s_1 = \sqrt{\frac{2 \cdot 3{,}14 \cdot 0{,}18 \cdot 1{,}22 \cdot 10^6}{4 \cdot 3600}} = 9{,}79;$$

$$R_1 = 0{,}04/0{,}18 = 0{,}222;$$

$$R_1 s_1 = 0{,}222 \cdot 9{,}79 = 2{,}18 > 0{,}5;$$

поэтому

$$Y_{пл} = 2 \cdot s_1 = 19{,}58,$$

$$Y_{пл} A_{пл} = 19{,}58 \cdot 20 = 392 \text{ Вт/°С}.$$

4. **Потолок.** В конструкции перекрытия со стороны помещения железобетонная плита $\delta_1 = 0{,}06$ м; $\lambda_1 = 1{,}86$; $c\rho_1 = 2{,}09 \cdot 10^6$, площадь $A_{пт} = 20$ м²

$$s_1 = \sqrt{\frac{2 \cdot 3{,}14 \cdot 1{,}86 \cdot 2{,}09 \cdot 10^6}{4 \cdot 3600}} = 41{,}17;$$

$$R_1 = 0{,}06/1{,}86 = 0{,}032;$$

$$R_1 s_1 = 0{,}032 \cdot 41{,}17 = 1{,}33 > 1;$$

поэтому

$$Y_{пт} = s_1 = 41{,}17; \quad Y_{пт} A_{пт} = 41{,}17 \cdot 20 = 823 \text{ Вт/°С}.$$

Электронная библиотека http://tgv.khstu.ru/

5. **Внутренние перегородки.** Гипсовые плиты $\delta=0{,}06$; $\lambda=0{,}41$; $c\rho=1{,}04\cdot10^6$; площадь $A_{в.п}=45$ м².

$$s=\sqrt{\frac{2\cdot3{,}14\cdot0{,}41\cdot1{,}04\cdot10^6}{4\cdot3600}}=13{,}6;$$

$$R=\frac{\delta/2}{\lambda}=\frac{0{,}03}{0{,}41}=0{,}073; \quad Rs=0{,}073\cdot13{,}6=0{,}99<1.$$

Следовательно, слой резких колебаний захватывает ось симметрии, поэтому определяем $Y_{в.п}$, считая *на оси симметрии* перегородки $Y_2=0$:

$$Y_{в.п}=Rs^2=0{,}073\cdot13{,}6^2=13{,}5;$$
$$Y_{в.п}A_{в.п}=13{,}5\cdot45=608 \text{ Вт/°С}.$$

6. Влиянием остальных поверхностей пренебрегаем. Суммарное теплоусвоение всех поверхностей в помещении равно

$$Y_{пом}=Y_{н.с}A_{н.с}+Y_{ок}A_{ок}+Y_{пл}A_{пл}+Y_{пт}A_{пт}+Y_{в.п}A_{в.п}=$$
$$=299+8+392+823+608=2130 \text{ Вт/°С}.$$

7. Коэффициент прерывистости при $z_н/T=2/4$ (см. табл. 2.8) равен $\Omega=0{,}76$.

8. В помещении находятся четыре человека, и воздухообмен рассчитан на условия 0,0111 м³/с (40 м³/ч) на 1 чел., поэтому [$c\rho=1260$ Дж/(м³·°С)]

$$P_{вен}=Lc\rho=4\cdot0{,}111\cdot1260=56 \text{ Вт/°С}.$$

9. Показатель интенсивности теплообмена на поверхностях ($\bar{\alpha}=3{,}8$) в помещении $\Lambda_{пом}$ равен

$$\Lambda_{пом}=\bar{\alpha}\Sigma A_i=3{,}8\,(12+4{,}5+20+20+45)=386.$$

10. По условию задачи расчетные теплопотери помещения при $t_н=-26$ °С равны $Q_{от}=3034$ Вт, поэтому при $t_н=+5$ °С

$$Q_{ср}=3034\,\frac{18-5}{18+26}=896 \text{ Вт}.$$

11. Коэффициент неравномерности теплопередачи отопительного прибора равен

$$M=\frac{z_н+z_п}{2z_н}=\frac{2+2}{2\cdot2}=1.$$

12. Амплитуда колебаний температуры помещения

$$A_{t_п}=\frac{1{,}8MQ_{ср}}{\dfrac{1}{\dfrac{\Omega}{Y_{пом}}+\dfrac{1}{\Lambda_{пом}}}+Lc\rho}=\frac{1{,}8\cdot1\cdot896}{\dfrac{1}{\dfrac{1}{0{,}76/2130}+\dfrac{1}{1/386}}+56}=0{,}5 \text{ °С}.$$

13. Значение $A_{t_п}=0{,}5$ °С меньше допустимой величины колебания температуры при центральном отоплении, равной 1,5 °С, поэтому принятый режим прерывистого отопления допустим.

Электронная библиотека http://tgv.khstu.ru/

14. Цифры в знаменателе формулы для определения $At_{\text{п}}$ показывают долю участия каждой из составляющих в теплопоглощении помещения. Для того чтобы уменьшить $A_{t_{\text{п}}}$, можно уменьшить T, изменив, таким образом, $V_{\text{пом}}$, или соотношение $z_{\text{н}}/T$, изменив M и Ω. С увеличением воздухообмена L будет уменьшаться $A_{t_{\text{п}}}$.

§ 2.10. Регулярный тепловой режим; остывание и нагревание помещения

Теплоустойчивость помещения обычно связывают с установившимися периодическими тепловыми воздействиями, но его теплоинерционные свойства проявляются также и при других изменениях теплового режима. Для выбора режима отопления нужно знать, как различные помещения реагируют на прекращение или частичное изменение подачи теплоты: возможно аварийное отключение отопления, при центральном теплоснабжении подача теплоты в систему отопления связана с водоразбором в работающих параллельно с ней системах горячего водоснабжения.

При прекращении подачи теплоты помещение начинает постепенно охлаждаться. Вначале резко снижается температура воздуха $t_{\text{в}}$, достигая уровня осредненной температуры поверхностей t_{R}. Затем температура во всех точках помещения начинает понижаться почти одновременно. Основные потери теплоты при этом происходят через окна; массивные наружные ограждения при постепенном понижении температуры их поверхности могут частично отдавать теплоту воздуху помещения.

Процесс охлаждения можно достаточно полно рассчитать, пользуясь методом определения теплоустойчивости помещения при прерывистых подачах теплоты. Разовое отключение системы можно рассматривать как прерывистое отопление с периодом большой продолжительности.

В этом случае (рис. 2.8) начальная температура воздуха в помещении $t_{\text{в.о}}$ будет соответствовать установившейся температуре в период подачи начального количества теплоты $Q_{\text{о}}$, а температура воздуха $t_{\text{в.к}}$ в помещении будет соответствовать установившемуся стационарному состоянию температуры в период подачи нового количества теплоты $Q_{\text{к}}$. При решении задачи об остывании (нагревании) помещения нас интересует начальная часть кривой понижения температуры в начале периода, например температура

Электронная библиотека http://tgv.khstu.ru/

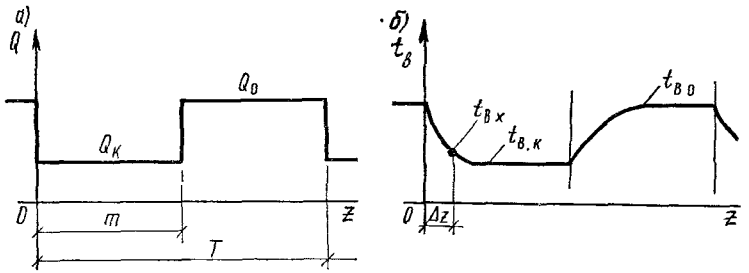

Рис. 2.8. Охлаждение помещения в интерпретации теории теплоустойчивости как часть периодического процесса длительного охлаждения и нагревания
а — периодические длительные прекращение и подача теплоты, *б* — соответствующее изменение температуры воздуха в помещении

$t_{в.х}$, спустя время Δz. Понижение температуры $\Delta t_в = t_{в.о} - t_{в.к}$ в результате понижения теплоподачи в помещение на величину $\Delta Q = Q_о - Q_к$ в соответствии с теорией теплоустойчивости можно определить по формуле

$$\Delta t_в = \Omega \Delta Q / Y_п, \qquad (2.78)$$

где Ω — коэффициент прерывистости, при заданном соотношении m/T зависящий от $\Delta z/T$ (см. табл. 2.8); $Y_п$ — коэффициент теплоусвоения помещения.

Возможен и другой подход, который состоит в следующем. Переходный тепловой процесс выхолаживания помещения подобен охлаждению тела. В этом процессе также вначале (непродолжительное время) происходит иррегулярное изменение температуры, которое быстро сменяется регулярным режимом понижения температуры.

Применительно к помещению в целом оказывается справедливой общая закономерность регулярного режима охлаждения, согласно которой скорость изменения логарифма избыточной температуры — показатель темпа охлаждения a не зависит от координат точки, времени, начального распределения температуры. Натурными наблюдениями и лабораторными экспериментами определены значения показателя a, которые заметно отличаются друг от друга в зависимости от конструктивного решения здания, вида строительных материалов, положения помещения в здании. Имея примерные значения показателя a (табл. 2.9), можно рассчитать понижение температуры в помещении $t_{в.о} - t_{в.х}$ во времени после прекращения или частичного снижения

Электронная библиотека http://tgv.khstu.ru/

подачи теплоты. При частичном изменении теплопоступлений конечной температурой переходного процесса в помещении является температура $t_{в.к}$ нового стационарного режима теплопередачи при измененной теплоподаче. Аналитическое решение в этом случае имеет вид экспоненты

$$\frac{t_{в.\,х}-t_{в.\,к}}{t_{в.\,о}-t_{в.\,к}}=e^{-az}. \qquad (2.79)$$

Значения показателя a несколько изменяются во времени, что связано с уменьшением коэффициентов конвективного и лучистого теплообмена при снижении температуры, которые заметно влияют на темп охлаждения помещения. Скорость охлаждения помещения, определенная с постоянным значением a, обычно несколько больше фактической.

Таблица 2.9. Показатель темпа охлаждения в здании

Характеристика здания и его наружных ограждений	Теплоемкость внутренних конструкций, отнесенная к 1 м³ здания, кДж/(°С·м³)	Показатель темпа охлаждения $a\cdot10^3$
Кирпичные, массивные, толщиной 0,65 м из кирпича:		
полнотелого красного	210—250	10—15
силикатного	167	19
То же, со стиропором, толщиной 0,15—0,2 м	150	30
Легкие, трехслойные с сотопластом, толщиной 0,1—0,15 м	130	33
Деревянные, малой массивности, каркасные с заполнением деревянными щитами, толщиной 0,1—0,15 м	84—105	40—60

В табл. 2.9 даны значения a для зданий с различными конструктивными решениями, полученные в результате натурных наблюдений. Приведенные значения a заметно выше полученных другими способами, что, вероятно, объясняется влиянием инфильтрации наружного воздуха, которая имела место при натурных наблюдениях.

В теплоснабжении применяется формула, которую с уче-

Электронная библиотека http://tgv.khstu.ru/

том принятых выше обозначений можно записать в виде

$$\frac{t_{в.\,ч}-t_{в.к}}{t_{в.\,о}-t_{в.к}}=e^{-z/\beta}=e^{-z/(C_{1/2н.\,с}R_п)}; \quad (2.80)$$

$$\beta=\frac{(c\rho A\delta)_{н.\,с}}{2}\frac{1}{q_0V}, \quad (2.81)$$

где β — величина, названная «коэффициентом аккумуляции теплоты»:

$$\beta=C_{1/2н.\,с}R_п. \quad (2.82)$$

Как показано в уравнении (2.82), физический смысл β — это показатель RC помещения, в данном случае определенный как произведение теплоемкости $C_{1/2н.с}$ только половины толщины наружной стены (без учета теплоемкости внутренних конструкций) на приведенное сопротивление теплопередаче всей площади наружных ограждений помещения $R_п$

$$C_{1/2в.\,с}=\frac{(c\rho A\delta)_{н.\,с}}{2}; \quad (2.83)$$

$$R_п=\frac{1}{q_0V}; \quad (2.84)$$

$$q_0=\Sigma kA, \quad (2.85)$$

где $c\rho$, A, δ — объемная теплоемкость, площадь и толщина наружной стены (ограждения); q_0 — удельная тепловая характеристика помещения или здания; V — объем помещения или здания по наружному обмеру; ΣkA — сумма произведений коэффициентов теплопередачи на площади отдельных наружных ограждений (стены, окна, перекрытия) в помещении или здании.

В основе этого метода, таким образом, лежит предположение (рис. 2.9), что внутренняя половина наружного ограждения находится в тепловом равновесии с помещением, имеет температуру, одинаковую с температурой воздуха в помещении, и теряет аккумулированную только ею теплоту с постоянной интенсивностью, соответствующей приведенному сопротивлению теплопередаче помещения. Аккумуляция теплоты внутренними конструкциями при этом не учитывается.

В инженерных расчетах можно ограничиться уравнением только с первым членом общего решения * в виде ряда и

* **Строй А. Ф.** Температурно-влажностный режим сельских производственных зданий при произвольно изменяющихся нестационарных тепловых воздействиях.— Изв. вузов. Строительство и архитектура, № 7, 1988.

Электронная библиотека http://tgv.khstu.ru/

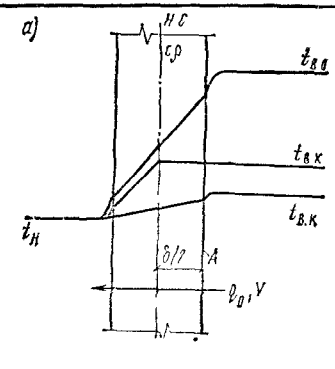

Рис. 2.9. Принятое распределение температуры в наружном ограждении (*а*) и схема теплообмена (*б*) при выводе формулы (2.86) для расчета охлаждения помещения

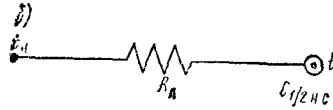

Рис. 2.10. Схема помещения (*а*) и аналоговая сетка теплообмена (*б*) общего решения *охлаждения помещения*

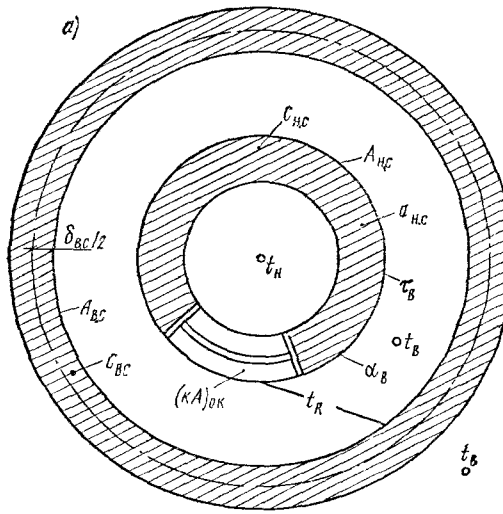

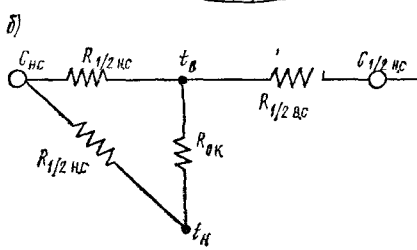

Электронная библиотека http://tgv.khstu.ru/

тогда в принятых обозначениях

$$\frac{t_{в.х}-t_{в.к}}{\tau_{в.о}-\tau_{в.к}}=\frac{1}{1+\frac{1}{\alpha_в}M_1}e^{k_1 z}; \tag{2.86}$$

$$M_1=\frac{(kA)_{ок}}{A_{н.с}}-\bar{c}\mu_1^2\frac{\lambda_{н.с}}{\delta_{н.с}}; \tag{2.87}$$

$$k_1=\frac{a_{н.с}}{\delta_{н.с}^2}\mu_1^2, \tag{2.88}$$

где $\lambda_{н.с}$, $a_{н.с}$, $\delta_{н.с}$, $A_{н.с}$ — теплопроводность, температуропроводность материала, толщина и площадь наружной стены; $\bar{c}$ — отношение теплоемкостей всех внутренних ограждений до их тепловой оси симметрии к теплоемкости наружной стены. Физическую схему этого решения можно представить в виде, показанном на рис. 2.10.

КОНТРОЛЬНЫЕ ЗАДАНИЯ И УПРАЖНЕНИЯ

1. Каковы соотношения теплопередачи человека в окружающую среду излучением, конвекцией и за счет испарения при разной физической тяжести работы и температуре в помещении?

2. Что такое температура помещения и какому понижению температуры воздуха должно соответствовать повышение радиационной температуры на 1° для выдерживания постоянной температурной обстановки в помещении?

3. Почему необходимы два (а не одно) условия для определения комфортности температурной обстановки в помещении?

4. Что такое коэффициент обеспеченности расчетных внутренних условий и почему он должен быть задан при проектировании отопления?

5. Когда коэффициент теплообмена на поверхности в помещении равен сумме коэффициентов лучистого и конвективного теплообмена?

6. Как определяется соотношение между температурой воздуха и радиационной температурой (при постоянстве расчетной температуры помещения) при лучистом и конвективном отоплении?

7. Какая связь в стационарных условиях между перепадами температуры и термическими сопротивлениями на отдельных участках сечения наружного ограждения?

8. Чему равно минимально возможное значение коэффициента затухания и при каких значениях тепловой инерции ограждения им следует пользоваться?

9. При каких расходах инфильтрующегося наружного воздуха через пористое ограждение трансмиссионные потери теплоты через него фактически будут отсутствовать?

10. Как и в чем сказывается влажностное состояние наружного ограждения на теплопередачу через него?

Электронная библиотека http://tgv.khstu.ru/

11. Хорошо ли полностью непроницаемое для воздуха и влаги ограждение в помещении?

12. Как определить температуру в неотапливаемом чердаке и подвале здания?

13. Как выбрать расчетное сопротивление теплопередаче ограждения, если экономически целесообразное сопротивление больше требуемого?

14. Какой физический смысл фактора формы двухмерного элемента сложного ограждения?

15. Как учитывается теплоустойчивость ограждения при расчете его теплозащитных свойств?

16. Какими инженерными решениями можно уменьшить амплитуду колебания температуры в помещении при прерывистом отоплении?

17. Как относительно друг друга изменяются температура воздуха и радиационная температура при прекращении подачи теплоты в помещение?

ГЛАВА 3. ТЕПЛОВАЯ МОЩНОСТЬ СИСТЕМЫ ОТОПЛЕНИЯ

§ 3.1. Тепловой баланс помещения

Системы отопления, как уже установлено, предназначены для создания в помещениях зданий температурной обстановки, соответствующей комфортной для человека и отвечающей требованиям технологического процесса.

Выделяемая человеческим организмом теплота должна быть отдана окружающей среде так, чтобы человек не испытывал при этом ощущений холода или перегрева. Наряду с затратами на испарение с поверхности кожи и легких, теплота отдается с поверхности тела посредством конвекции и излучением. Интенсивность теплоотдачи конвекцией в основном определяется температурой и подвижностью окружающего воздуха, а посредством лучеиспускания — температурой поверхностей ограждений, обращенных в помещение.

Температурная обстановка в помещении зависит от тепловой мощности системы отопления, а также от расположения обогревающих устройств, теплозащитных свойств наружных ограждений, интенсивности других источников поступления и потерь теплоты. В холодное время года помещение теряет теплоту через наружные ограждения. Кроме того, теплота расходуется на нагрев наружного

Электронная библиотека http://tgv.khstu.ru/

воздуха, который проникает в помещение через неплотности ограждений, а также на нагрев материалов, транспортных средств, изделий, одежды, которые холодными попадают с улицы в помещение.

Системой вентиляции в помещение может подаваться воздух с более низкой температурой по сравнению с воздухом помещения, технологические процессы могут быть связаны с испарением жидкостей и другими процессами, сопровождаемыми затратами теплоты.

В установившемся режиме потери равны поступлениям теплоты. Теплота поступает в помещение от технологического оборудования, источников искусственного освещения, от нагретых материалов, изделий, в результате прямого попадания через оконные проемы солнечных лучей, от людей. В помещениях могут быть технологические процессы, связанные с выделением теплоты (конденсация влаги, химические реакции и пр.).

Учет всех перечисленных источников поступления и потерь теплоты необходим при сведении тепловых балансов помещений здания. В гражданских зданиях теплота поступает в основном от системы отопления, а определяющей статьей расхода теплоты являются теплопотери через наружные ограждения.

Сведением всех составляющих поступлений и расхода теплоты в тепловом балансе помещения определяется дефицит или избыток теплоты. Дефицит теплоты ΔQ указывает на необходимость устройства в помещении отопления, избыток теплоты обычно ассимилируется вентиляцией. Для определения тепловой мощности системы отопления составляют баланс часовых расходов теплоты для расчетного зимнего периода в виде

$$Q_{от} = \Delta Q = Q_{огр} + Q_{вен} \mp Q_{т-б}, \qquad (3.1)$$

где $Q_{огр}$ — потери теплоты через наружные ограждения; $Q_{вен}$ — расход теплоты на нагрев воздуха, поступающего в помещение; $Q_{т-б}$ — технологические и бытовые выделения или расходы теплоты.

Баланс составляется для условий, когда возникает наибольший при заданном коэффициенте обеспеченности дефицит теплоты. Для гражданских зданий обычно учитывают регулярные тепловые потоки, поступающие в помещение от людей, освещения, других бытовых теплоисточников. В про-

Электронная библиотека http://tgv.khstu.ru/

мышленных зданиях принимают в расчет период технологического цикла с наименьшими тепловыделениями.

Тепловой баланс составляют для стационарных условий. Нестационарность процесса, теплоустойчивость помещений, периодичность работы системы отопления учитывают специальными расчетами на основе теории теплоустойчивости.

§ 3.2. Потери теплоты через отдельные ограждения в помещении

Наибольшие потери теплоты через отдельные ограждения определяют по формуле

$$Q_i = \frac{A_i}{R_{o.i}^{пр}} (t_п - t_н) n_i (1 + \Sigma\beta_i), \qquad (3.2)$$

где $R_{o.i}^{пр}$ — приведенное сопротивление теплопередаче ограждения; n_i — коэффициент, учитывающий фактическое понижение расчетной разности температур $(t_п - t_н)$ для ограждений, которые отделяют отапливаемое помещение от неотапливаемого (подвал, чердак и др.); β_i — коэффициент, учитывающий дополнительные теплопотери через ограждение; A_i — площадь ограждения. Индекс относит все обозначения к i-ому ограждению.

Величина наибольших теплопотерь будет соответствовать коэффициенту обеспеченности внутренних условий в помещении $K_{об}$, с учетом которого выбрано значение $t_н$. Наружные ограждения обычно имеют различную теплоустойчивость. Через ограждение с малой теплоустойчивостью (окна, легкие конструкции) теплопотери при похолодании будут резко возрастать, практически следуя во времени за изменениями температуры наружного воздуха. Через теплоустойчивые ограждения (стены, перекрытия) потери теплоты в период резкого похолодания возрастают немного и во времени эти изменения теплопотерь будут значительно отставать от понижения наружной температуры. Потери теплоты через массивные ограждения вызовут снижение температуры помещения позднее, чем через легкие. Поэтому максимальные потери теплоты всем помещением в расчетных условиях периода резкого похолодания не будут равны сумме наибольших потерь через отдельные ограждения. Необходимо провести сложение теплопотерь через отдельные ограждения с учетом их сдвига во времени.

Для упрощения решения этой задачи (рис. 3.1) можно ориентироваться на одно ограждение, доля теплопотерь

Электронная библиотека http://tgv.khstu.ru/

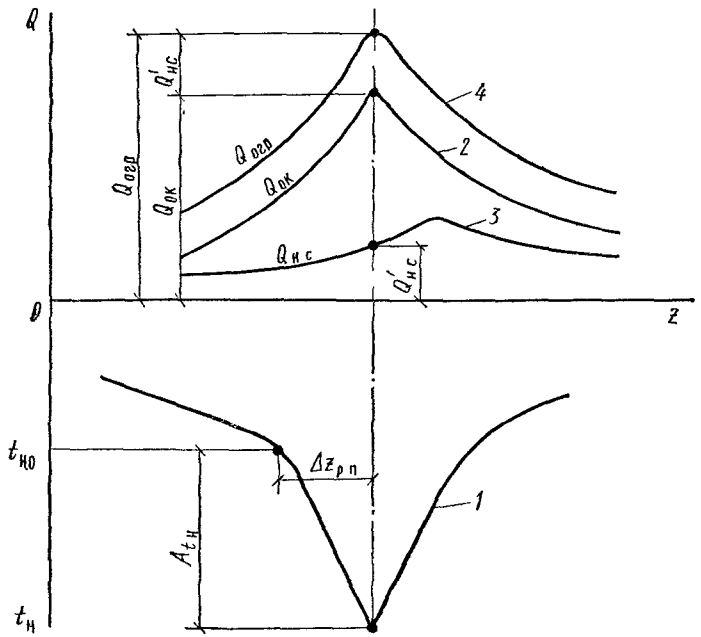

Рис. 3.1. Определение наибольших теплопотерь помещения в период резкого похолодания

1 — изменение наружной температуры, *2* — теплопотери через окно; *3* — теплопотери через наружные стены, *4* — суммарные теплопотери через все ограждения в помещении

через которое наибольшая. Обычно таким ограждением является окно. В период резкого похолодания, как показывают натурные наблюдения, теплопотери через окна составляют до 80% и более от общих потерь. Основываясь на наблюдениях, также можно считать, что максимальные потери теплоты помещением $Q_{огр}$ совпадают во времени с наибольшими теплопотерями через окна. Окна практически не обладают тепловой инерцией, поэтому наибольшие теплопотери через них соответствуют минимальной наружной температуре на расчетной кривой. Величина $Q_{огр}$ может быть определена по формуле

$$Q_{огр} = Q_{ок} + \Sigma Q_i^*, \qquad (3.3)$$

где $Q_{ок}$ — наибольшие теплопотери через окна, определяемые по формуле (3.2) при $t_н = t_{но} + A t_н$; ΣQ_i^* — сумма теплопотерь

Электронная библиотека http://tgv.khstu.ru/

через все другие (кроме окон) ограждения помещения в момент времени наибольших теплопотерь через окна.

Величину Q_i^* для теплоустойчивого ограждения можно определить как

$$Q_i^* = Q_{i,0}^* + \Delta Q_i^*, \tag{3.4}$$

где $Q_{i,0}^*$ — теплопотери в начале периода резкого похолодания, т. е. определенные по формуле (3.2) и при $t_н = t_{н_0}$; ΔQ_i^* — увеличение теплопотерь за период резкого похолодания при понижении наружной температуры до наинизшей.

Теплопотери Q_i^* возрастают при похолодании, следуя с некоторым запаздыванием за понижением температуры. Возрастание теплопотерь на ΔQ_i^* к концу периода резкого похолодания, когда наружная температура будет наинизшей, равно

$$\Delta Q_i^* = -\frac{A_i}{R_{o.i}^{пр}} \psi_i A_{t_н} n_i (1+\beta_i), \tag{3.5}$$

где ψ_i — коэффициент, учитывающий тепловую инерцию ограждения.

Все ограждения в помещении, кроме окон, обычно имеют близкую между собой тепловую массивность, поэтому величина Ψ_i для них может быть общей. При расчете теплопотерь через конструкцию пола по грунту, учитывая большую тепловую массивность грунта, величиной $\Delta Q_{пл}^*$ можно пренебречь.

По действующим СНиП *теплопотери помещений*, по которым определяется тепловая мощность системы отопления, принимаются равными сумме теплопотерь через отдельные ограждения без учета их тепловой инерции при $t_н = t_{н.б}$. Из предыдущего анализа теплового режима помещения в период похолодания ясно, что потери, определенные по рекомендациям норм, являются условными и их величина может заметно отличаться от фактических наибольших теплопотерь помещения.

§ 3.3. Расчетные основные теплопотери помещения

Теплопотери помещения, которые принимаются за расчетные при выборе тепловой мощности системы отопления, определяются как сумма расчетных потерь теплоты через все его наружные ограждения. Кроме того, должны быть

Электронная библиотека http://tgv.khstu.ru/

учтены потери или поступления теплоты через внутренние ограждения, если температура воздуха в соседних помещениях ниже или выше температуры в данном помещении на 3° и более.

Рассмотрим, как принимаются для различных ограждений показатели, входящие в формулу (3.2), при определении расчетных теплопотерь. Коэффициенты теплопередачи для наружных стен и покрытий принимаются по теплотехническому расчету. Конструкцию окон подбирают из условия требуемого сопротивления теплопередаче и по СНиП «Строительная теплофизика» определяют фактическое значение R_0. Для наружных дверей R_0 берется в зависимости от конструкции по табл. 2.7.

Расчет теплопотерь через полы. Передача теплоты из помещения нижнего этажа через конструкцию пола является сложным процессом. Учитывая сравнительно небольшой удельный вес теплопотерь через пол в общих теплопотерях помещения, применяют упрощенную методику расчета. Теплопотери через пол, расположенный на грунте, рассчитывают по зонам. Для этого поверхность пола делят на полосы шириной 2 м, параллельные наружным стенам. Полосу, ближайшую к наружной стене, обозначают первой зоной, следующие две полосы второй и третьей, а остальную поверхность пола — четвертой зоной.

Расчет теплопотерь каждой зоной производят по формуле (3.2), принимая $n_i(1+\beta_i)=1{,}0$. За величину $R_0^{\text{пр}}$ принимают условное сопротивление теплопередаче, которое для каждой зоны неутепленного пола берут равным: для *I* зоны $R_{\text{н.п}}=2{,}1$; для II зоны $R_{\text{н.п}}=4{,}3$; для III зоны $R_{\text{н.п}}=8{,}6$; для IV зоны $R_{\text{н.п}}=14{,}2$ °С·м²/Вт.

Если в конструкции пола, расположенной непосредственно на грунте, имеются слои материалов, теплопроводность которых меньше 1,2, то такой пол называют утепленным. Термические сопротивления утепляющих слоев в каждой зоне прибавляют к сопротивлениям $R_{\text{н.п}}$ так, что условное сопротивление теплопередаче каждой зоны утепленного пола $R_{\text{у.п}}$ оказывается равным

$$R_{\text{у. п}} = R_{\text{н. п}} + \Sigma \frac{\delta_{\text{у. с}}}{\lambda_{\text{у. с}}}, \qquad (3.6)$$

где $R_{\text{н.п}}$ — сопротивление теплопередаче неутепленного пола соответствующей зоны; $\delta_{\text{у.с}}$ и $\lambda_{\text{у.с}}$ — толщина и теплопроводность утепляющих слоев.

Электронная библиотека http://tgv.khstu.ru/

Теплопотери через полы по лагам рассчитываются также по зонам, только условное сопротивление теплопередаче каждой зоны пола по лагам $R_л$ принимается равным

$$R_л = 1{,}18R_{у.п}, \qquad (3.6а)$$

где $R_{у.п}$ — величина, полученная по формуле (3.6) с учетом утепляющих слоев. Здесь в качестве утепляющих слоев учитывают воздушную прослойку и настил по лагам.

Поверхность пола в первой зоне, примыкающей к наружному углу, имеет повышенные теплопотери, поэтому ее площадь размером 2×2 м учитывается при определении общей площади первой зоны дважды.

Подземные части наружных стен рассматриваются при расчете теплопотерь как продолжение пола. Разбивка на полосы — зоны в этом случае делается от уровня земли по поверхности подземной части стен и далее по полу. Условные сопротивления теплопередаче для зон в этом случае принимаются и рассчитываются так же, как для утепленного пола при наличии утепляющих слоев, которыми в данном случае являются слои конструкции стены.

Обмер площадей наружных ограждений помещений. Площадь отдельных ограждений при подсчете потерь теплоты через них должна вычисляться с соблюдением определенных правил обмера. Эти правила по возможности учитывают сложность процесса теплопередачи через элементы ограждения и предусматривают условные увеличения и уменьшения площадей, когда фактические теплопотери могут быть соответственно больше или меньше подсчитанных по принятым простейшим формулам. Как правило, площади определяются по внешнему обмеру:

1) площади окон (О), дверей (Д) и фонарей измеряются по наименьшему строительному проему;

2) площади потолка (Пт) и пола (Пл) измеряются между осями внутренних стен и внутренней поверхностью наружной стены. Площади зон пола по лагам и грунту определяются с условной их разбивкой на зоны, как указано выше;

3) площади наружных стен (Нс) измеряются:

а) в плане — по внешнему периметру между наружным углом и осями внутренних стен;

б) по высоте: в первом этаже (в зависимости от конструкции пола) — или от внешней поверхности пола по грунту, или от поверхности подготовки под конструкции пола на

Электронная библиотека http://tgv.khstu.ru/

лагах, или от нижней поверхности перекрытия над подпольем или неотапливаемым подвальным помещением до чистого пола второго этажа; в средних этажах — от поверхности пола до поверхности пола следующего этажа; в верхнем этаже — от поверхности пола до верха конструкции чердачного перекрытия или бесчердачного покрытия. При необходимости определения теплопотерь через внутренние ограждения их площади берутся по внутреннему обмеру.

Добавочные теплопотери через ограждения. Основные теплопотери через ограждения, подсчитанные по формуле (3.2) при $\beta_i=0$, часто оказываются меньше действительных теплопотерь, так как при этом не учитывается влияние на процесс некоторых факторов. Потери теплоты могут заметно изменяться под влиянием инфильтрации и эксфильтрации воздуха через толщу ограждений и щели в них, а также под действием облучения солнцем и «отрицательного» излучения внешней поверхности ограждений в сторону небосвода. Теплопотери помещения в целом могут возрасти за счет изменения температуры по высоте, врывания холодного воздуха через открываемые проемы и пр.

Эти дополнительные потери теплоты обычно учитывают добавками к основным теплопотерям. Величина добавок и условное их деление по определяющим факторам следующие:

1) добавка на ориентацию по сторонам горизонта делается на все наружные вертикальные (проекции на вертикаль) и наклонные ограждения. Величины добавок берутся в соответствии со схемой на рис. 3.2; для общественных, административно-бытовых и производственных зданий при наличии двух наружных стен и более добавки на ориентацию по сторонам горизонта увеличиваются на 0,05. В типовых проектах эти добавки принимаются в размере 0,08 при одной наружной стене в помещении и 0,13 при двух и более стенах в помещении (кроме жилых зданий);

2) для горизонтально расположенных ограждений добавка в размере 0,05 вводится только для необогреваемых полов первого этажа над холодными подпольями зданий в местностях с расчетной температурой наружного воздуха (пятидневки) минус 40 °С и ниже;

3) добавка на врывание холодного воздуха через наружные двери (не оборудованные воздушными завесами) при их кратковременном открывании при высоте здания H, м

Электронная библиотека http://tgv.khstu.ru/

Рис. 3.2. Схема распределения добавок в долях единицы к основным теплопотерям на ориентацию наружных ограждений по сторонам горизонта

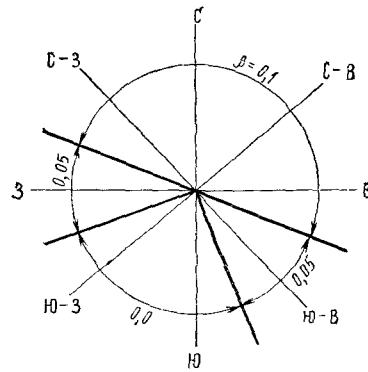

Рис. 3.3. План и разрез помещений (к примеру расчета теплопотерь)

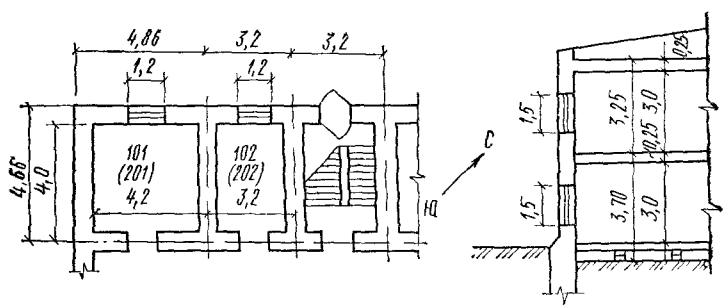

Для тройных дверей с двумя тамбурами добавка принимается в размере $\beta=0{,}2\,H$, для двойных дверей с тамбурами — $0{,}27\,H$, для двойных дверей без тамбура — $0{,}34H$, для одинарных дверей — $0{,}22\,H$. Для наружных ворот при отсутствии тамбура и воздушно-тепловых завес надбавка равна 3, при наличии тамбура — 1.

В общественных зданиях частое открывание дверей также иногда рекомендуется учитывать введением дополнительных добавок в размере 400—500%;

4) добавки на высоту для помещений высотой более 4 м равны 2% на каждый метр высоты стен сверх 4 м, но не более 15%. Эта надбавка учитывает увеличение теплопотерь в верхней части помещения, так как температура воздуха возрастает с высотой. В СНиП 2.04.05-86 эта категория добавок отсутствует. В высоких помещениях делают специальный расчет распределения температуры по высоте, в соответствии с которым определяют теплопотери через стены и

Электронная библиотека http://tgv.khstu.ru/

покрытия. Для лестничных клеток добавка на высоту не принимается.

Пример 3.1. Рассчитаем теплопотери через ограждения помещений общежития, расположенного в Москве (рис. 3.3).

Коэффициенты теплопередачи наружных ограждений, определенные теплотехническим расчетом, принимаем равными, Вт/(м²·°С): для наружных стен (Н. с) $k=1{,}02$, рассчитываемый по приведенному сопротивлению теплопередаче по наружному обмеру; для чердачного перекрытия (Пт) $k=0{,}78$; для окон с двойным остеклением в деревянных переплетах (Д.о) $k=2{,}38$; для наружных двойных деревянных дверей без тамбура (Н.д) $k=2{,}33$.

Внутренние стены лестничной клетки (В.с) выполнены из обыкновенного кирпича толщиной 0,38 м [$\lambda=0{,}7$ Вт/(м·°С)] с двусторонней известково-песчаной штукатуркой толщиной 0,015 м [$\lambda=0{,}7$ Вт/(м·°С)]. Их сопротивление теплопередаче и коэффициент теплопередачи равны:

$$R_0=2\cdot 0{,}115+\frac{0{,}38}{0{,}7}+\frac{2\cdot 0{,}015}{0{,}7}=0{,}814\ ^\circ\text{С}\cdot\text{м}^2/\text{Вт};$$

$$k=\frac{1}{0{,}814}=1{,}23\ \text{Вт}/(\text{м}^2\cdot{}^\circ\text{С}).$$

Полы первого этажа (Пл) выполнены на лагах. Термическое сопротивление замкнутой воздушной прослойки $R_{\text{в. п}}=0{,}172$ м²×°С/Вт, толщина дощатого настила $\delta=0{,}04$ м, $\lambda=0{,}175$ Вт/(м·°С). Термическое сопротивление утепляющих слоев конструкции пола равно:

$$R_{\text{в. п}}+\frac{\delta}{\lambda}=0{,}172+\frac{0{,}04}{0{,}175}=0{,}43\ ^\circ\text{С}\cdot\text{м}^2/\text{Вт}.$$

Теплопотери через пол на лагах определяются по зонам. Термическое сопротивление и коэффициент теплопередачи для *I* и *II* зон:

$$R_{\text{I}}=1{,}18\,(2{,}1+0{,}43)=3{,}05\ ^\circ\text{С}\cdot\text{м}^2/\text{Вт};\quad k_1=0{,}328\ \text{Вт}/(\text{м}^2\cdot{}^\circ\text{С});$$

$$R_{\text{II}}=1{,}18\,(4{,}3+0{,}43)=5{,}6;\quad k_2=0{,}178.$$

Для неутепленного пола лестничной клетки

$$R_{\text{I}}=2{,}1;\quad k_1=0{,}465;\qquad R_{\text{II}}=4{,}3;\quad k_2=0{,}232.$$

Коэффициент теплопередачи одинарной двери из лестничной клетки в коридоры $k=2{,}07$ Вт/(м²·°С).

Теплопотери через отдельные ограждения рассчитываем по формуле (3,2). Расчет сведен в табл. 3.1.

Электронная библиотека http://tgv.khstu.ru/

Таблица 3.1. Расчет теплопотерь помещений

№ помещения	Наименование помещения и его температура	Характеристика ограждения: наименование	ориентация по сторонам горизонта	размеры, м	площадь A, м²	Коэффициент теплопередачи ограждения k, Вт/(м²·°С)	Расчетная разность температур $(t_в - t_н)n$, °С	Основные теплопотери через ограждения, Вт	Добавочные теплопотери β: на ориентацию по сторонам горизонта	прочие	Коэффициент $(1+\beta)$	Теплопотери, Вт: через ограждения	на инфильтрацию	помещения
1	2	3	4	5	6	7	8	9	10	11	12	13	14	15
101	Жилая комната угловая $t_в = 20$ °С	Н. с	ЮЗ	4,66×3,7	17,2	1,02	46	800	0	0	1	800		
		Н. с	СЗ	4,86×3,7	18,0	1,02	46	837	0,1	0	1,10	921		
		Д. о	СЗ	1,5×1,2	1,8	2,38—1,02	46	113	0,1	0	1,10	124		
		ПлI	—	8,2×2	16,4	0,328	46	247	—	—	1	247		
		ПлII	—	2,2×2	4,4	0,178	46	37	—	—	1	37		
												2209	798	3007
102	Жилая комната рядовая, $t_в = 18$ °С	Н. с	СЗ	3,2×3,7	11,8	1,02	44	525	0,1	0	1,10	578		
		Д. о	СЗ	1,5×1,2	1,8	1,36	44	108	0,1	0	1,10	119		
		ПлI	—	3,2×2	6,4	0,328	44	91	—	—	1	91		
		ПлII	—	3,2×2	6,4	0,178	44	52	—	—	1	52		
		В. с	—	3,8×3	11,4	1,23	(18—12)	84	—	—	1	84		
												924	593	1517

Электронная библиотека http://lgv.khstu.ru/

Продолжение табл. 3.1

1	2	3	4	5	6	7	8	9	10	11	12	13	14	15
201	Жилая комната угловая, $t_в$ = =20 °С	Н. с	ЮЗ	4,66×3,25	15,1	1,02	46	702	0	0	1	702		
		Н. с	СЗ	4,86×3,25	15,8	1,02	46	737	0,1	0	1,1	811		
		Д. о	СЗ	1,5×1,2	1,8	1,36	46	113	0,1	0	1,1	124		
		Пт	—	4,2×4	16,8	0,78	46×0,9	547	—	—	1	547		
												2184	798	2982
202	Жилая комната рядовая, $t_в$ = =18 °С	Н. с	СЗ	3,2×3,25	10,4	1,02	44	460	0,1	0	1,1	506		
		Д. о	СЗ	1,5×1,2	1,8	1,36	44	108	0,1	0	1,1	119		
		Пт	—	3,2×4	12,8	0,78	44×0,9	400	—	—	1	400		
		В. с	—	3,8×3	11,4	1,23	18—12	84	—	—	1	84		
												1109	593	1702

Электронная библиотека http://lgv.khstu.ru/

Продолжение табл. 3.1

1	2	3	4	5	6	7	8	9	10	11	12	13	14	15
А	Лестничная клетка, $t_в$ = = 12 °С	Н. с	СЗ	6,95×3,2	18,7	1,02	38	725	0,1	0	1,1	798		
		Д. о	СЗ	1,5×1,2	1,8	1,36	38	93	0,1	0	1,1	102		
		Н. д	СЗ	1,6×2,2	3,5	2,33	38	310	0,1	0,34× ×7	3,48	1078		
		Пт	—	3,2×4	12,8	0,78	38	379	—	—	1	379		
		ПлI	—	3,2×2	6,4	0,465	38	113	—	—	1	113		
		ПлII	—	3,2×2	6,4	0,232	38	56	—	—	1	56		
		В. д	—	1,6×2,2	3,5	2,07	12—18	—44	—	—	1	—44		
		В. с	—	2(3,8×6,2)+ +(2,8×6,2— — 35)	66,2	1,23	12—18	—489	—	—	1	—489		
												1994		1994

Примечания: 1. В графе *7* коэффициент теплопередачи для окон определен как разность коэффициентов теплопередачи окна и наружной стены, при этом площадь окна не вычитается из площади стены. 2. Теплопотери через наружную дверь определены отдельно (из площади стены исключается площадь двери, так как добавка «на открывание наружной двери» относится к основным теплопотерям через закрытую дверь). 3. Расчетная разность температуры в графе *8* определена для наружных ограждений как $(t_в - t_н)\,n$, для внутренних ограждений — как фактическая разность температуры. 4. Основные теплопотери (*графа 9*) определены как $kA\Delta tn$. 5. Добавочные теплопотери β даны в долях единицы от основных. 6. Расчетные теплопотери через отдельные ограждения определены как $kA\Delta tn\,(1+\beta)$, через все ограждения помещения — как их алгебраическая сумма (графа *13*). 7. В графе *14* приведены расчетные теплопотери на нагревание инфильтрующегося воздуха (см. пример 3.2). 8. Теплопотери помещения определены как сумма теплопотерь через ограждения и на инфильтрацию (графа *15*).

Электронная библиотека http://tgv.khstu.ru/

§ 3.4. Потери теплоты на нагревание наружного воздуха при инфильтрации через наружные ограждения

Добавки к основным теплопотерям на врывание воздуха через наружные двери и ворота здания приближенно учитывают затраты теплоты на инфильтрацию, и учет только их в промышленных и многоэтажных зданиях оказывается недостаточным.

В подобных зданиях расход теплоты на нагревание холодного воздуха, поступающего через притворы окон, фонарей, дверей, ворот, составляет 30—40% и более от основных теплопотерь. Учитывая столь большую величину этих потерь, при расчете теплопотерь многоэтажных зданий делают специальные расчеты затрат теплоты на нагревание поступающего в помещение холодного наружного воздуха.

Количество наружного воздуха, поступающего в помещение в результате инфильтрации, зависит от конструктивно-планировочного решения здания, направления и скорости ветра, температуры воздуха, герметичности конструкций и особенно длины и вида притворов открывающихся окон, фонарей, дверей и ворот.

Общий процесс обмена воздухом между помещениями и с наружным воздухом, который происходит под действием естественных сил и работы искусственных побудителей движения воздуха, называют **воздушным режимом здания.** Воздухообмен происходит через все воздухопроницаемые элементы (притворы, стыки, вентиляционные каналы и т. д.) под действием разности давления, поэтому расчет воздушного режима сводится к рассмотрению аэродинамической системы с определенным образом заданными на границах условиями. Решение этой задачи рассматривается в учебнике «Вентиляция».

При определении теплозатрат на нагревание наружного воздуха при инфильтрации расчет воздушного режима здания может быть упрощен.

Для промышленных зданий типичным является одноэтажное помещение. В многоэтажных промышленных зданиях этажи чаще всего достаточно изолированы друг от друга (при большой площади остекления сообщение через одну — две лестничные клетки не оказывает заметного

Электронная библиотека http://tgv.khstu.ru/

влияния), и их воздушный режим можно рассматривать независимо.

Простейшим является случай, когда помещение не имеет перегородок, отсутствует ветер и инфильтрация происходит под влиянием только гравитационных сил. Перетекание воздуха происходит в основном через щели притворов, но инфильтрацию условно относят к площади окон, и ее интенсивность j, кг/(м²·ч), за счет разности давлений воздуха на наружной и внутренней поверхностях ограждения $\Delta p_{\text{в}}$, Па, определяют по формуле

$$j = i\Delta p^{1/2}, \tag{3.7}$$

где i — коэффициент проводимости воздуха конструкцией, кг/(м²× ×ч·Па$^{1/2}$).

Для помещения с двусторонним равномерно распределенным остеклением по всей площади наружного ограждения при безветрии среднее количество воздуха, проходящего снаружи через 1 м² окна, равно

$$j_0 = 0{,}47 i_{\text{ок}} \eta (H\Delta\rho)^{1/2}, \tag{3.8}$$

где $i_{\text{ок}}$ — коэффициент проводимости окна; η — доля остекления поверхности наружного ограждения; H — полная высота ограждения здания.

Разность плотностей наружного $\rho_{\text{н}}$ и внутреннего $\rho_{\text{в}}$ воздуха может быть приближенно заменена разностью температур

$$\Delta\rho = \rho_{\text{н}} - \rho_{\text{в}} \simeq 0{,}005 (t_{\text{в}} - t_{\text{н}}), \tag{3.9}$$

а (3.8) преобразовано к виду

$$j_0 = 0{,}036 i_{\text{ок}} \eta (H\Delta t)^{1/2}. \tag{3.10}$$

В производственных зданиях часто окна одинарные и не герметизированы, их проводимость $i_{\text{ок}}=27$; тогда

$$j_0 \simeq 0{,}9\eta (H\Delta t)^{1/2}. \tag{3.11}$$

Числовой коэффициент в формуле (3.11) должен быть заменен при уплотненном одинарном остеклении на 0,2, при двойном на 0,6, при двойном уплотнении на 0,14.

Величина j_0 по (3.10) используется как единица расхода при расчете сложных случаев (действие ветра, вентиляции, другие схемы здания). Влияние всех перечисленных факторов учитывается коэффициентом $\beta_{\text{и}}$. Для помещений с односторонним остеклением, например, коэффициент $\beta_{\text{и}}$

Электронная библиотека http://tgv.khstu.ru/

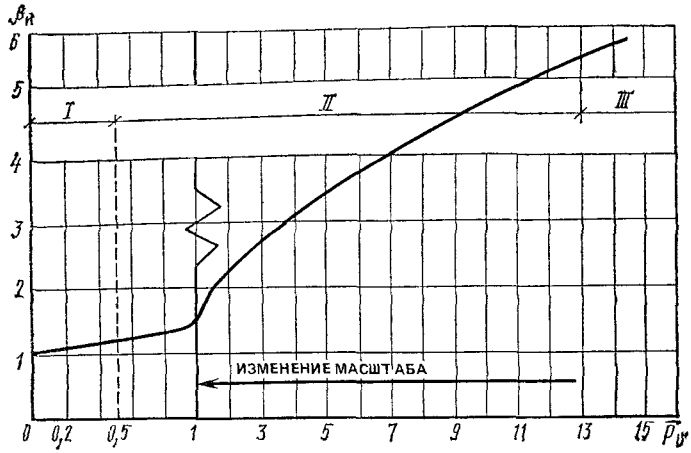

Рис. 3.4. Зависимость коэффициента $\beta_и$ от относительного давлении ветра $\bar{p}_v$ для помещения с двусторонним остеклением

I — влияние ветра незначительно сравнительно с действием гравитационных сил; *II* — влияние ветра значительно и должно учитываться совместно с гравитационными силами; *III* — определяющее влияние ветра сравнительно с гравитационными силами

равен 0,5, так как в этом случае инфльтрация происходит только со стороны одного ограждения. Степень влияния ветра также учитывается с помощью коэффициента $\beta_и$. На графике (рис. 3.4), составленном на основе решения на ЭВМ воздушного режима помещения с двусторонним остеклением, приведена зависимость $\beta_и$ от относительного давления ветра $\bar{p}_v$. При определении относительной величины перепада давления, создаваемого ветром, за единицу давления принято $gH\Delta\rho$, поэтому

$$\bar{p}_v = \frac{0{,}06 v_н^2 \rho_н}{H\Delta\rho}, \qquad (3.12)$$

где $v_н$ — скорость ветра,

$$0{,}06 \simeq (c_и - c_з)\frac{1}{2g}; \qquad (3.13)$$

$c_н$ и $c_з$ — аэродинамические коэффициенты, равные с наветренной стороны здания $c_н = +0{,}8$, с заветренной $c_з = -0{,}6$.

Более сложные случаи при дебалансе вентиляции, многопролетных зданиях и т. д. решаются аналогичным обра-

Электронная библиотека http://tgv.khstu.ru/

зом с помощью специально рассчитанных функций коэффициента $\beta_и$.

Общее количество наружного воздуха $G_и$, поступающее в помещение в результате инфильтрации через наружные ограждения, равно

$$G_и = j_0 \beta_и A_{н.о}, \tag{3.14}$$

где j_0 — по формуле (3.10); $A_{н.о}$ — суммарная площадь всей поверхности наружных ограждений.

Не менее сложным и необходимым оказывается определение расходов воздуха при инфильтрации в многоэтажных жилых и общественных зданиях. При числе этажей в здании более пяти — восьми требуется расчет воздушного режима здания, аэродинамическая схема которого оказывается особенно сложной.

При многообразии решений в условиях множества вариантов исходных данных можно все же наметить определенные закономерности, которые позволяют обобщить полученное решение. Принимаются здания с типичными конструктивно-планировочными решениями. Учитывая изолированность и в основном пофасадную ориентацию помещений, при расчете инфильтрации определяются для всех помещений расходы воздуха с наветренной стороны при расчетных для зимнего режима температуре наружного воздуха $t_н$ и скорости ветра $v_н$. Анализ данных показывает, что изменение расходов воздуха по высоте здания при известных $t_н$ и $v_н$ имеет практически линейную зависимость, поэтому достаточно определить расходы для нижнего и верхнего этажей.

Количество воздуха $j_{вер}$, кг/(м²·ч), инфильтрующегося через 1 м² окна в верхнем этаже наветренной стороны N-этажного здания, при определенных $t_н$ и $v_н$ равно:

$$j_{вер} = (4 + 0{,}15N)\, 10^{-2} (v_н + 5 - 0{,}05 t_н)^2, \tag{3.15}$$

Для нижнего (первого) этажа

$$j_{ниж} = 6{,}3 \cdot 10^{-2} v_н^2 - (6 + 1{,}3N)\, 10^{-2} t_н + 0{,}3N + 3{,}3. \tag{3.16}$$

Для промежуточного этажа n с учетом принятой линейной зависимости

$$j_n = j_{ниж} - \frac{j_{ниж} - j_{вер}}{N} n. \tag{3.17}$$

Электронная библиотека http://tgv.khstu.ru/

Следует иметь в виду приближенность предлагаемой методики, точность которой (ошибка 10—15%) достаточна для расчета потерь теплоты на инфильтрацию.

При инфильтрации холодного воздуха через наружное ограждение в помещение дополнительно затрачивается теплоты $\Delta Q_и$ на нагревание воздуха ΔQ_j и вследствие снижения температуры внутренней поверхности ограждения ΔQ_τ, через которое происходит фильтрация воздуха

$$\Delta Q_и = \Delta Q_j + \Delta Q_\tau. \qquad (3.18)$$

Воздух, проходя через конструкцию, нагревается и попадает в помещение с температурой более высокой, чем его начальная температура $t_н$. Поэтому

$$\Delta Q_j = G_н c_в (t_в - t_н) \beta_j, \qquad (3.19)$$

где $G_н$ — расход воздуха; $c_в$ — массовая теплоемкость воздуха; β_j — коэффициент, учитывающий нагревание воздуха в ограждении.

Аналогично можно определить

$$\Delta Q_\tau = G_н c_в (t_в - t_н) \beta_\tau, \qquad (3.20)$$

где β_τ — коэффициент, учитывающий долю увеличения потерь теплоты за счет понижения температуры поверхности при инфильтрации.

Дополнительные потери теплоты при инфильтрации через ограждение равны

$$\Delta Q_и = G_н c_в (t_в - t_н) \beta_о, \qquad (3.21)$$

где $\beta_о = \beta_j + \beta_\tau$ (табл. 3.2).

Общие дополнительные потери теплоты в помещении на нагревание наружного воздуха, поступающего в результате инфильтрации через наружные ограждения, составят

$$Q_н = (\Sigma \beta_{oj} c_в A + \Sigma \beta_{ol} c_в l)(t_в - t_н), \qquad (3.22)$$

где A — площадь окон, стен и т. д., м^2; l — протяженности стыков, щелей, м; j — удельные, отнесенные соответственно к 1 м^2 или 1 м, расходы проникающего воздуха

В главе СНиП 2.04.05-86 расход теплоты на нагревание инфильтрующегося воздуха * рекомендуется определять по

* Вопросы расчета расхода теплоты на нагревание инфильтрующегося воздуха рассмотрены автором совместно с доц. Э. Н. Кривобоком.

Электронная библиотека http://tgv.khstu.ru/

Таблица 3.2. Значения коэффициентов β_0, β_f и β_τ при инфильтрации наружного воздуха через различные элементы конструкции наружных ограждений

Элементы конструкций	β_f	β_τ	β_0
Массив ограждений	0,15	0,45	0,6
Стыковые соединения	0,3	0,4	0,7
Окна:			
одинарные	1,0	—	1,0
двойные	0,7	0,1	0,8
тройные	0,6	0,1	0,7
Двери, ворота, фрамуги, проемы в ограждении	1,0	—	1,0

формуле

$$Q_и = 0{,}28\Sigma G_i c\,(t_в - t_н)\,\beta, \qquad (3.23)$$

где ΣG_i — расход инфильтрующегося воздуха через отдельные ограждающие конструкции помещения; c — массовая теплоемкость наружного воздуха, принимаемая равной 1 кДж/(кг·°С); $t_в$, $t_н$ — расчетная температура соответственно внутреннего и наружного воздуха (параметры Б); β — коэффициент, учитывающий нагревание инфильтрующегося воздуха в ограждении встречным тепловым потоком (коэффициент экономайзерного эффекта), равный: 0,7 — для стыков панелей стен и окон с тройными переплетами; 0,8 — для окон и дверей балконных с раздельными переплетами и 1,0 — для окон с одинарными и спаренными переплетами; 0,28 — числовой коэффициент, приводящий в соответствие принятые размерности расходов воздуха, кг/ч, и теплового потока, Вт (0,28 = = 1005/3600).

Суммарный расход инфильтрующегося воздуха ΣG_i зависит от вида и характера неплотностей в наружных ограждениях и определяется по формуле

$$\Sigma G_i = \frac{0{,}21\Sigma\,(\Delta p_1^{2/3} A_1)}{R_{и.1}} + \frac{\Sigma\,(\Delta p_2^{1/2} A_2)}{R_{и.2}} + \frac{\Sigma\,(\Delta p_3 l_3)}{R_{и.3}}, \qquad (3.24)$$

где обозначения с индексом 1 относятся к окнам, балконным дверям и фонарям; с индексом 2 — к наружным дверям, воротам и открытым проемам; с индексом 3 — к стыкам стеновых панелей (эта составляющая учитывается только для жилых зданий); $A_п$, $R_и$ — площадь и сопротивление воздухопроницаемости ограждений; 0,21 — числовой коэффициент, учитывающий перепад давления $\Delta p_0 = 10$ Па, при котором определены расчетные значения $R_{и.1}$, $(0{,}21 = 1/10^{2/3})$; Δp — перепад давления на поверхности соответствующих ограждений в зоне расположения воздухопроницаемого элемента; 1, 1/2,

Электронная библиотека http://tgv.khstu.ru/

2/3 — показатели степени, характеризующие разный аэродинамический режим фильтрации воздуха, соответственно ламинарный — через стыки панелей, турбулентный — через двери и открытые проемы, смешанный — через неплотности окон.

Расчетная разность давления Δp_i в общем случае определяется величиной гравитационно-ветрового давления и работой вентиляции

$$\Delta p_i = (H - h_i)\, g\, (\rho_н - \rho_в) + 0{,}5 v_н^2 \rho_н\, (c_н - c_з)\, k - p_0, \qquad (3.25)$$

где H — высота здания от поверхности земли до верха карниза или вытяжных отверстий шахт и фонаря; h_i — расстояние от поверхности земли до верха окон, дверей и проемов или до середины стыков панелей; k — коэффициент, учитывающий изменение скоростного давления ветра по высоте здания, принимаемый так же, как и аэродинамические коэффициенты $c_н$ и $c_з$, по СНиП 2.01.07-85; p_0 — условное давление в помещении, от уровня которого отсчитаны первое и второе слагаемые формулы (3.25).

Для помещений (зданий) со сбалансированной вентиляцией (вентиляционная вытяжка полностью компенсируется подогретым притоком) или при отсутствии организованной вентиляции условное давление p_0 принимается равным наибольшему избыточному давлению в верхней точке заветренной стороны здания, обусловленному действием гравитационного и ветрового давлений, т. е.

$$p_0 = 0{,}5 H g\, (\rho_н - \rho_в) + 0{,}25 v_н^2 \rho_н\, (c_н - c_з)\, k. \qquad (3.26)$$

Вычисленное значение p_0 принимается постоянным для всего здания, в лестничной клетке, в непосредственно соединенных с ней коридорах, а также в отдельных помещениях при свободном перетекании воздуха из помещения в коридоры. В случае герметизации внутренних дверей условное давление в отдельных помещениях определяется из уравнения воздушного баланса помещения.

В жилых и общественных зданиях только с вытяжной вентиляцией (без компенсации подогретым притоком) расход теплоты на инфильтрацию $Q_и$ определяется двумя путями и за расчетное принимается большее из полученных значений.

Сначала определяют $Q'_и$ по расчетному расходу удаляемого вытяжного воздуха $L_п$, м³/ч, из помещения в виде

$$Q'_и = 0{,}28 L_п c \rho_н\, (t_в - t_н). \qquad (3.27)$$

Для жилых зданий удельный расход воздуха нормируется в размере 3 м³/ч на 1 м² площади жилых помещений и

Электронная библиотека http://tgv.khstu.ru/

кухни. В общественных зданиях он должен определяться расчетом воздухообмена в помещениях.

Затем рассчитывается расход теплоты $Q_и$ по (3.23) из условия нагревания инфильтрующегося через наружные ограждения воздуха при отсутствии вентиляции.

Для всех других зданий (кроме жилых и общественных с естественной вытяжной вентиляцией) $Q_и$ определяется только одним путем — расчетом по формуле (3.23).

Пример 3.2. Рассчитаем расход теплоты на инфильтрацию в помещениях общежития, рассмотренного в примере 3.1. Жилые помещения оборудованы естественной вытяжной вентиляцией с нормативным воздухообменом 3 м³/ч на 1 м² пола.

Определяем расход теплоты на нагревание вентиляционного воздуха по формуле (3.27):

для угловых помещений (№ 101, 201)

$$Q'_н = 0{,}28 \cdot 3 \cdot 3{,}7 \cdot 3{,}9 \cdot 1{,}429\,(20+26) = 798 \text{ Вт};$$

для рядовых помещений (№ 102, 202)

$$Q'_н = 0{,}28 \cdot 3 \cdot 2{,}9 \cdot 3{,}7 \cdot 1{,}429\,(20+26) = 593 \text{ Вт}.$$

Инфильтрационные теплопотери для жилых комнат в результате действия только гравитационного и ветрового давлений рассчитываем в такой последовательности.

1. Определяем условное давление в лестничной клетке и в примыкающих к ней коридорах по формуле (3.26)

$$p_0 = 0{,}5 \cdot 7 \cdot 9{,}81\,(1{,}429 - 1{,}213) + 0{,}25 \cdot 4^2 \cdot 1{,}429 \times \times (0{,}8+0{,}6)\,0{,}65 = 7{,}42 + 5{,}2 = 12{,}62 \text{ Па}.$$

2. Вычисляем условное давление на внешней поверхности наружных ограждений p, равное двум первым слагаемым формулы (3.25):

для помещений первого этажа

$$p_I = (7-3{,}3)\,9{,}81\,(1{,}429-1{,}213) + 0{,}5 \cdot 4^2 \cdot 1{,}429\,(0{,}8+0{,}6)\,0{,}65 = = 7{,}84 + 10{,}4 = 18{,}25 \text{ Па};$$

для помещений второго этажа

$$p_{II} = (7-6{,}5)\,9{,}81\,(1{,}429-1{,}213) + 0{,}5 \cdot 4^2 \cdot 1{,}429\,(0{,}8+0{,}6)\,0{,}65 = = 10{,}46 \text{ Па}.$$

3. Учитывая незначительную величину действующих давлений, принимаем однорядное уплотнение оконных заполнений — прокладки из полушерстяного шнура с сопротивлением воздухопроницанию $R_{и.1} = 0{,}13$ м²·ч·Па/кг (СНиП II-3-79 **). Для внутренних дверей $R_{и.2} = 0{,}3$ м²·ч·Па/кг (СНиП 2.04.05-86).

4. Определяем условное давление в помещениях p_x из уравнения воздушного баланса при условии перетекания инфильтрующегося через окно воздуха в коридоры и при отсутствии вентиляции

$$0{,}21\,(p - p_x)^{2/3} \frac{A_1}{R_{и.1}} = (p_x - p_0)^{1/2} \frac{A_2}{R_{и.2}},$$

Электронная библиотека http://tgv.khstu.ru/

откуда при площади окна $A_1=1{,}8$ м² и внутренней двери $A_2=1{,}98$ м² имеем: для помещений первого этажа $p_{I,x}=13{,}9$ Па, для помещений второго этажа $p_{II,x}=12{,}2$ Па.

Полученные значения давлений незначительно отличаются от условного давления в лестничной клетке и для данного примера могут быть приняты равными последнему. Однако в других случаях (особенно в многоэтажных зданиях) различие может быть существенным.

5. Вычисляем расчетную разность давления по формуле (3.25): для помещений первого этажа

$$\Delta p_I = p_I - p_{I,x} = 18{,}25 - 13{,}9 = 4{,}35 \text{ Па};$$

для помещений второго этажа

$$\Delta p_{II} = p_{II} - p_{II,x} = 10{,}46 - 12{,}2 = -1{,}74 \text{ Па}.$$

Отрицательное значение Δp_{II} свидетельствует не об инфильтрации наружного воздуха, а об эксфильтрации внутреннего воздуха через неплотности ограждений (при отсутствии вентиляции).

6. Определяем расход воздуха, инфильтрующегося через окна помещений первого этажа [первое слагаемое формулы (3.24)]

$$G_1 = \frac{0{,}21 \cdot 4{,}35^{2/3} \cdot 1{,}8}{0{,}13} = 7{,}8 \text{ кг/ч}$$

и $G_1/A_1 = 7{,}8/1{,}8 = 4{,}3$ кг/(м²·ч).

Удельный расход инфильтрующегося воздуха не превышает допускаемой воздухопроницаемости окон [10 кг/(м²·ч)]. В противном случае следовало бы увеличить сопротивление воздухопроницанию путем использования прокладок из более герметичного материала.

7. Рассчитываем расход теплоты на инфильтрацию по формуле (3.23)

$$Q_и = 0{,}28 \cdot 7{,}8 \cdot 1\,(18 + 26) = 96 \text{ Вт}.$$

Так как $Q'_и \gg Q_и$, в качестве расчетных принимаем значение $Q'_и$ как для помещений первого, так и второго этажа. Результат заносим в табл. 3.1 (графа 14).

Для лестничной клетки инфильтрация осуществляется через неплотности наружной двери ($R_{и.2}=0{,}14$ м²·ч·Па/кг) и окно ($R_{и.1}=0{,}13$ м²·ч·Па/кг).

При высоте от поверхности земли до верха окна 4,1 м, до верха наружной двери 2,2 м и условном давлении в лестничной клетке $p_0=12{,}62$ Па расчетная разность давления в зоне воздухопроницаемого окна равна $\Delta p_1=3{,}9$, а в зоне наружной двери $\Delta p_2=7{,}95$ Па.

Расход инфильтрующегося воздуха через неплотности окна и закрытой наружной двери составит

$$\Sigma G = \frac{0{,}21 \cdot 3{,}9^{2/3} \cdot 1{,}8}{0{,}13} + \frac{7{,}95^{1/2} \cdot 1{,}98}{0{,}14} = 47{,}2 \text{ кг/ч}.$$

Расход теплоты на нагревание инфильтрующегося воздуха по формуле (3.23)

$$Q_и = 0{,}28 \cdot 47{,}2 \cdot 1\,(12 + 26)\,0{,}8 = 402 \text{ Вт}.$$

Электронная библиотека http://tgv.khstu.ru/

Полученный результат меньше величины дополнительных теплопотерь на инфильтрацию при открывании наружной двери $Q=2{,}34\times\times310=725$ Вт (см. табл. 3.1). Поэтому в качестве расчетных принимаем теплопотери лестничной клеткой в период времени с открытой наружной дверью.

§ 3.5. Затраты теплоты на нагревание холодных материалов; тепловыделения в помещении

Кроме теплопотерь через ограждения и затрат теплоты на инфильтрацию в помещениях могут быть и другие источники поступлений и затрат теплоты. В производственных зданиях это тепловыделения от технологического оборудования, нагретых материалов и изделий, освещения, солнечной радиации, людей и затраты теплоты на испарение воды в мокрых цехах, на нагревание материалов, транспортных средств и пр., которые холодными поступают в помещение с улицы. Все перечисленные составляющие теплового баланса промышленного цеха рассматриваются в учебнике «Вентиляция», так как в производственных зданиях задачу ассимиляции избыточной теплоты и компенсации недостатка в теплоте выполняет вентиляция, совмещенная с отоплением.

В жилых, общественных и административно-бытовых зданиях зимой, когда работает система отопления, возможны тепловыделения от людей, освещения и работающего электрооборудования, а также затраты теплоты на нагревание материалов, одежды и пр., поступающих в помещение. Эти составляющие учитывают в тепловом балансе при определении дефицита теплоты в помещении, который должен компенсироваться системой отопления (если отопление не дежурное и в помещении нет других систем кондиционирования микроклимата).

Явные тепловыделения от людей, Вт (в тепловом балансе при расчете отопления учитывают только явные тепловыделения) можно определить по формуле

$$Q_{\text{ч}}^{\text{л+к}}=\beta_1\beta_2\,(2{,}16+8{,}87\sqrt{v_{\text{в}}})\,(35-t_{\text{п}}), \qquad (3.28)$$

где β_1 — коэффициент, учитывающий интенсивность физической тяжести выполняемой человеком работы, равный для легкой работы — 1,0; средней — 1,07; тяжелой — 1,15; β_2 — коэффициент, учитывающий утепленность одежды и равный для легкой одежды — 1,0; для обычной одежды средней утепленности — 0,66; для утепленной — 0,5; $v_{\text{в}}$ — подвижность воздуха в помещении (в

Электронная библиотека http://tgv.khstu.ru/

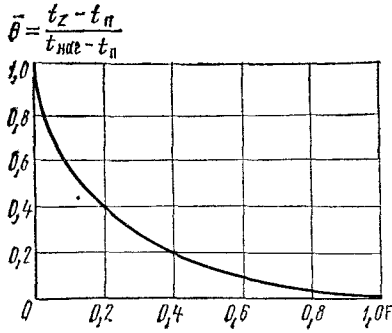

Рис. 3.5. Зависимость относительной избыточной температуры, средней по объему тела, от критерия Фурье

жилых домах и административных зданиях около 0,1—0,15 м/с); $t_п$ — температура помещения, °С.

При освещении и работающем электрооборудовании тепловыделения от них равны

$$Q_э = N_э \eta, \tag{3.29}$$

где $N_э$ — потребляемая электрическая мощность, кВт; η — коэффициент, учитывающий фактически затрачиваемую мощность, одновременность работы электрооборудования, долю перехода электрической энергии в тепловую, которая поступает в помещение. Этот коэффициент может изменяться от 0,15 до 0,95 во времени и в зависимости от технологии. При составлении теплового баланса для отопления нужно учитывать его наименьшее значение.

Поступление теплоты в помещение от нагретых материалов и изделий или наоборот затраты теплоты, Дж, на нагревание материалов и изделий, которые холодными поступают с улицы, определяются по формуле

$$Q_м = C\bar{\Theta}(t_{нач} - t_п), \tag{3.30}$$

где C — теплоемкость материала или изделий, равная $Vc\rho$; V — его объем; $c\rho$ — объемная теплоемкость материала; $\bar{\theta}$ — средняя по объему относительная избыточная температура, определяемая по рис. 3.5. Величина $(1-\bar{\Theta})$ показывает долю от полного перепада $t_{нач} - t_п$ (начальной температуры материала $t_{нач}$ и температуры в помещении $t_п$), которая теряется в среднем всем объемом материала или изделия за время z с начала нагрева или охлаждения.

Величина $\bar{\Theta}$ на рисунке зависит от числа Фурье Fo

$$Fo = z/CR, \tag{3.31}$$

где R — сопротивление теплопередаче от всей толщи изделия или материала к окружающей среде

$$R = \frac{\iota}{\lambda A} + \frac{1}{\alpha A}; \tag{3.32}$$

Электронная библиотека http://tgv.khstu.ru/

l — характерный размер, равный для тел, близких по форме к пластине, половине ее толщины, к цилиндру и шару — радиусу; λ — теплопроводность материала; A — внешняя площадь теплоотдающей поверхности материала или изделия (например для тела, подобного пластине, $Al=V$).

§ 3.6. Тепловая эффективность отопительного устройства в помещении и выбор уствновочной тепповой мощности системы отопления

Отопительный прибор должен компенсировать дефицит теплоты в помещении. Использование приборов той или иной конструкции и их установка в различных местах помещения не должны приводить к заметному перерасходу теплоты. Показателем, оценивающим эти свойства, является **отопительный эффект прибора**, который показывает отношение количества затрачиваемой прибором теплоты для создания в помещении заданных тепловых условий к расчетным потерям теплоты помещением.

Считается, что наилучшим отопительным эффектом обладают панельно-лучистые приборы, установленные в верхней зоне помещения или встроенные в конструкцию потолка. Отопительный эффект таких приборов равен 0,9—0,95, т. е. теплоотдача потолочных панелей-излучателей может быть даже несколько ниже расчетных теплопотерь помещения без ухудшения комфортности внутренних условий. Отопительный эффект панели, расположенной в конструкции пола, около 1,0.

Наиболее распространенные приборы —радиаторы обычно устанавливают в нишах или около поверхности наружной стены. Заприборная поверхность перегревается и через эту часть наружной стены бесполезно теряется некоторое количество теплоты. В результате отопительный эффект радиаторов оценивают величиной 1,04—1,06. В этом отношении более эффективными оказываются конвекторы, располагаемые вдоль наружной стены. Отопительный эффект, например, плинтусного конвектора около 1,03.

Подоконная панель, встроенная в конструкцию наружной стены, может иметь заметные бесполезные потери теплоты и ее отопительный эффект снижается до 1,1.

Отопительные приборы обычно имеют определенный шаг принятого номенклатурного ряда, который в СНиП

Электронная библиотека http://tgv.khstu.ru/

выражают теплоотдачей, кВт, отдельного элемента прибора этого ряда. В результате в помещении устанавливают число элементов прибора, округленное в большую сторону сверх расчетной величины. Связанное с этим увеличение теплового потока от приборов рекомендуют учитывать коэффициентом β_1, который изменяется от 1,02 до 1,13 в зависимости от изменения теплоотдачи отдельного элемента прибора от 0,12 до 0,3 кВт.

Дополнительные потери теплоты отопительным прибором, установленным у наружного ограждения, учитывают коэффициентом β_2. Его значение в зависимости от вида прибора и способа его установки у наружного ограждения изменяется от 1,02 до 1,1.

Кроме потерь, связанных с размещением нагревательных приборов, в системе отопления возникают бесполезные потери теплоты трубами, встроенными в конструкции наружных ограждений, а также в тепловом пункте и других элементах системы. Определяют также дополнительные теплопотери $Q_{тр}$ трубами в неотапливаемых помещениях, связанные с охлаждением теплоносителя.

Величина суммарных дополнительных потерь (заприборными участками наружных ограждений и теплопроводами в неотапливаемых помещениях) должна быть по СНиП не более 7% тепловой мощности системы отопления.

Так как дополнительные потери неизбежны и всегда существуют, нормами предлагается их специально подсчитывать или, принимая допустимую величину, определять установочную тепловую мощность $Q_{от}$ системы отопления

$$Q_{от} = \Sigma \Delta Q_i \beta_{1,\ i} \beta_{2,\ i} + Q, \qquad (3.33)$$

где ΔQ_i — расчетный дефицит теплоты (тепловая нагрузка), который должен компенсироваться отопительными приборами и теплопроводами в отдельных помещениях здания.

Пример 3.3. Определим расчетную тепловую нагрузку помещений общежития, изображенного на рис. 3.3.

Расчетная тепловая нагрузка определяется величиной потерь теплоты помещениями (см. табл. 3.1) за вычетом бытовых теплопоступлений. Для жилых помещений бытовые тепловыделения принимают в размере 21 Вт на 1 м^2 пола (СНиП 2.04.05-86).

Расчет тепловой нагрузки сведен в табл. 3.3.

Полученные тепловые нагрузки по помещениям являются исходными для определения установочной мощности системы отопления и расчета отопительных приборов.

Электронная библиотека http://tgv.khstu.ru/

Таблица 3.3. Расчет тепловой нагрузки помещений (к примеру 3.3)

Номер помещения	Наименование помещения	Теплопотери помещения, Вт	Бытовые тепловыделения, Вт	Тепловая нагрузка, Вт
101	Жилая комната	3007	320	2687
102	»	1517	224	1293
201	»	2982	320	2662
202	»	1702	224	1478
А	Лестничная клетка	1994	0	1994

§ 3.7. Удельная тепловая характеристика здания и расчет потребности в теплоте на отопление по укрупненным измерителям

Для теплотехнической оценки объемно-планировочных и конструктивных решений и для ориентировочного расчета теплопотерь здания пользуются показателем — удельная тепловая характеристика здания q, которая при известных теплопотерях здания равна

$$q=\frac{Q_{зд}}{V(t_п-t_н)}, \qquad (3\ 34)$$

где $Q_{зд}$ — расчетные теплопотери через наружные ограждения всеми помещениями здания, Вт; V — объем отапливаемого здания по внешнему обмеру, м³, $t_п-t_н$ — расчетная разность температуры для основных помещений здания.

Величина q, Вт/(м³·°С), определяет средние теплопотери 1 м³ здания, отнесенные к расчетной разности температуры 1°. Ее можно определить заранее

$$q=q_0\beta_t, \qquad (3.35)$$

где q_0 — эталонная удельная тепловая характеристика, соответствующая разности температур $\Delta t_0=18-(-30)=48$ °С; β_t — температурный коэффициент, учитывающий отклонение фактической расчетной разности температур от Δt_0.

Эталонная удельная тепловая характеристика может быть определена с учетом требований СНиП

$$q_0=\frac{1}{R_0V}[A_с\eta_{ок}+A_п(\eta_{пг}+\eta_{пл})], \qquad (3.36)$$

Электронная библиотека http://tgv.khstu.ru/

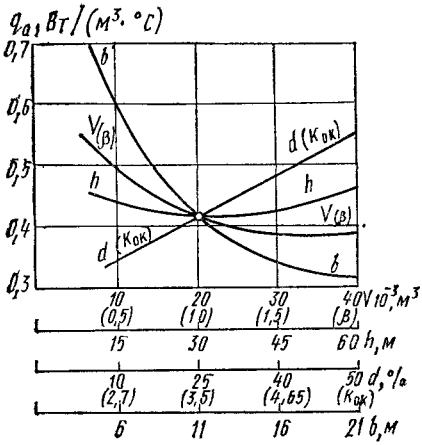

Рис. 3.6. Зависимость удельной тепловой характеристики здания q_0 от объема здания $V(\beta)$, степени остекленности наружных стен $d(k_{ок})$, ширины здания b и высоты h [реперная точка на графике с q_0=0,415 Вт/(м³ °С) соответствует зданию объемом V= =20 10^3 м³ (β=0), шириной b=11 м, остекленностью наружных стен d=0,25 при сопротивлении теплопередаче наружных стен R_0=0,86 (β=0), коэффициент теплопередачи окон $k_{ок}$= =3,48]

где R_0 — сопротивление теплопередаче наружной стены; $\eta_{ок}$ — коэффициент, учитывающий увеличение теплопотерь через окна по сравнению с наружными стенами; $\eta_{пт}$, $\eta_{пл}$ — коэффициенты, учитывающие уменьшение по сравнению с наружными стенами теплопотерь через потолок и пол; $A_с$ и $A_п$ — площади наружных стен и здания в плане, м².

Преобразуем эту формулу, пользуясь принятыми в СНиП данными и обозначениями и приняв за основу характеристики для жилых зданий,

$$q_0 = 1{,}16\frac{(1+2d)A_с + A_п}{V}, \qquad (3.37)$$

где d — доля площади наружных стен, занятая окнами.

Температурный коэффициент β_t равен

$$\beta_t = 0{,}54 + \frac{22}{t_п - t_н}. \qquad (3.38)$$

Формула (3.38) соответствует значениям коэффициента β_t, которые обычно приводятся в справочной литературе.

Характеристикой q удобно пользоваться для теплотехнической оценки возможных конструктивно-планировочных решений здания. На рис. 3.6 показана зависимость q_0 от различных характеристик здания. Реперная точка на чертеже, через которую проходят все кривые, соответствует значениям q_0=0,415 Вт/(м³·°С) для здания V=20·10^3 м³, шириной b=11 м, d=0,25; R_0=0,86; $k_{0к}$=3,48, длиной l=

Электронная библиотека http://tgv.khstu.ru/

=30 м. Каждая кривая соответствует изменению одной из характеристик (дополнительные шкалы по оси абсцисс) при прочих равных условиях. Из графика видно, что наибольшее влияние на q_0 оказывает изменение остекленности d и ширины b здания.

По графику можно судить о влиянии теплозащиты наружных ограждений на общие теплопотери зданием. По зависимости q_0 от $V(\beta)$ ($R_0=\beta R_0^{тр}$ можно сделать вывод, что усиление теплоизоляции стен незначительно понижает тепловую характеристику, между тем как при ее уменьшении q_0 начинает быстро возрастать. Дополнительная теплозащита оконных проемов (шкала $k_{0к}$) заметно уменьшает q_0, что подтверждает целесообразность увеличения сопротивления теплопередаче окон.

Если в формулу (3.34) подставить значение $Q_{зд}$, то ее можно привести к виду

$$q=\frac{\Sigma kA\,(t_п-t_н)}{V\,(t_п-t_н)}\simeq\frac{\Sigma kA}{V}. \qquad (3.39)$$

Значение удельной тепловой характеристики зависит в основном от отношения площади наружных ограждений ΣkA к объему V здания и теплозащиты k ограждений. Кроме того, ее величина при прочих равных условиях зависит от назначения, этажности и формы здания, площади A и теплозащиты k отдельных наружных ограждений, от степени остекления здания и района постройки. Влияние отдельных факторов на величину q очевидно из рассмотрения формулы (3.39) и рис. 3.6.

Значение удельной тепловой характеристики здания используют для приблизительного подсчета теплопотерь здания

$$Q_{зд}=q_0\beta_t V\,(t_п-t_н). \qquad (3.40)$$

Применение q_0 для определения отопительной нагрузки приводит к значительным погрешностям в расчете. Объясняется это тем, что в q_0 учитываются только теплопотери через ограждения, между тем как отопительная нагрузка имеет более сложную структуру, описанную выше.

Для определения расчетной отопительной нагрузки $Q_{от}$ взамен удельной тепловой характеристики необходимо использовать более полный показатель

$$q_{от}=\beta\,(q_{огр}+q_я-q_{техн}), \qquad (3.41)$$

Электронная библиотека http://tgv.khstu.ru/

где β — коэффициент, учитывающий неизбежные потери теплоты арматурой, трубопроводами и т. д. в системе отопления; $q_{огр}$ — теплопотери наружными ограждениями с учетом добавок; $q_и$ — теплопотери на инфильтрацию; $q_{техн}$ — технологические и бытовые тепловыделения.

Расчет тепловых нагрузок на системы отопления по укрупненным измерителям используют только для ориентировочных подсчетов и при определении потребности в теплоте района, города, т. е. при проектировании центрального теплоснабжения.

Если принять, как это, например, имеет место для жилых зданий, что теплопотери на инфильтрацию приблизительно компенсируются тепловыми и технологическими теплопоступлениями, а также исходить из предельно допустимых дополнительных потерь в системе отопления, то установочная тепловая мощность системы отопления по укрупненным показателям может быть принята равной

$$Q_{от} = 1{,}07qV(t_п - t_н), \qquad (3.42)$$

если по СНиП дополнительные теплопотери принять равными 7%.

Формула (3.42) приближенная и ее надо рассматривать как первое приближение при укрупненных расчетах.

§ 3.8. Использование тепловой мощности системы отопления и годовые затраты теплоты на отопление

При проектировании систем отопления необходимо знать режим их работы и регулирования в течение отопительного сезона в условиях годовой изменчивости внешних климатических воздействий и составляющих теплового баланса помещения.

Годовой ход изменения климатических параметров обычно характеризуют изменениями среднемесячных значений, полученных по данным многолетних наблюдений. Кривые годовых изменений имеют плавный характер и приближаются по своему очертанию к правильным гармоническим. Годовой ход изменения температуры наружного воздуха следует за годовым ходом солнечной радиации с некоторым запаздыванием, что связано с нестационарным характером теплообмена в приземном слое. Годовой минимум температуры наружного воздуха обычно падает на январь. Годовой

Электронная библиотека http://tgv.khstu.ru/

ход влажности воздуха, а часто и скорости ветра связан с температурой.

Гармонический характер изменчивости параметров климата позволяет определить их функцией времени года в виде тригонометрического ряда. Изменение произвольного параметра y климата (температуры $t_н$, солнечной радиации I, энтальпии $i_н$) равно

$$y = y_г + A_y \cos\left(2\pi \frac{z}{365}\right), \qquad (3.43)$$

где $y_г$ — среднегодовое значение параметра; A_y — амплитуда изменения; z — период времени от момента максимума, сут.

Значения $y_г$, A_y и z^{max} для различных климатических параметров и географических районов могут быть получены по данным метеорологических наблюдений, приведенным в «Справочнике по климату СССР» и СНиП. Характеристики годового хода параметров климата для Москвы как пример приведены в табл. 3.4.

Таблица 3.4. Характеристики годового хода параметров климата Москвы

Характеристики годового изменения параметров	$t_н$, °С	$i_н$, Дж/кг	I, Вт/м², при ориентации поверхности			
			горизонтальной	ю	С	З, В
Среднегодовое значение $y_г$	3,7	1675	117	93	50	105
Амплитуда A_y	14,15	2620	110	63	48	83
Месяц максимума z_y^{max}	VII	VII	VI	VI	VI	VI

В таблице приведены средние по многолетним наблюдениям данные, соответствующие коэффициенту обеспеченности $k_{об}$=0,5. В отдельные годы отклонения от средних многолетних могут быть значительными. В Москве бывали годы, когда $t_{н.г}$ отличалась от среднемноголетнего значения на 8 °С и более.

Тепловой баланс помещения изменяется также в течение года. Изменения в годовом ходе происходят медленно и поэтому тепловой баланс помещения в каждый момент времени

Электронная библиотека http://tgv.khstu.ru/

года может рассматриваться как стационарный. Тепловое состояние помещения в годовом ходе, принимая гармонический характер изменчивости влияющих на него факторов, также можно представить в виде

$$Q_{\text{п}} = Q_{\text{п. г}} + A_{Q_{\text{п}}} \cos\left(2\pi \frac{z}{365}\right), \tag{3.44}$$

где $Q_{\text{п.г}}$ — среднее за год значение теплового баланса помещения; $A_{Q_{\text{п}}}$ — амплитуда его изменения.

Расход теплоты на отопление в любой момент отопительного периода определяется величиной $Q_{\text{п}}$. Потребность в отоплении появляется в момент времени, когда тепловой баланс помещения становится отрицательным,

$$Q_{\text{п}} \leqslant 0. \tag{3.45}$$

Решение уравнения (3.44) при условии (3.45) позволяет определить продолжительность отопительного сезона $\Delta z_{\text{о.с}}$, сут, как обратную тригонометрическую функцию

$$\Delta z_{\text{о. с}} = \frac{365}{2\pi} \arccos \frac{Q_{\text{п. г}}}{A_{Q_{\text{п}}}}. \tag{3.46}$$

Годовой расход теплоты на отопление $Q_{\text{от.г}}$, следовательно, можно представить в виде интеграла

$$Q_{\text{от. г}} = \int\limits_{\Delta z_{\text{о. с}}} Q_{\text{п}}\, dz,$$

который приближенно может быть записан

$$Q_{\text{от. г}} = 1{,}163 z_{\text{с}} z_{\text{н}} A_{Q_{\text{п}}} \left[116 - \frac{Q_{\text{п. г}}}{A_{Q_{\text{п}}}} (91{,}2 + 0{,}5\Delta z_{\text{о. с}}) \right], \tag{3.47}$$

где $z_{\text{с}}$ — число часов работы системы отопления в сутки; $z_{\text{н}}$ — число дней работы в неделю.

Годовой расход теплоты на отопление может быть рассчитан с учетом заданного $k_{\text{об}}$, для этого в формулу (3.47) необходимо подставить соответствующие значения характеристик климата. Учет обеспеченности при определении годовых расходов теплоты имеет важное практическое значение, так как позволяет правильно планировать распределение тепловых нагрузок между различными категориями потребителей, что способствует экономии тепловой энергии и повышению надежности работы систем отопления.

Электронная библиотека http://tgv.khstu.ru/

В СНиП, исходя из предположения о незначительном различии теплового баланса зданий основных потребителей, продолжительность $\Delta z_{о.с}$ и средняя температура $t_{о.с}$ отопительного сезона определяются для всех зданий числом дней в году с устойчивой средней суточной температурой наружного воздуха 8 °С и ниже (по средним многолетним данным). Считают, что только трансмиссионные теплопотери определяют тепловую мощность отопления, поэтому

$$Q_{от.г} = \frac{q_{от}}{(t_п - t_н)} (t_п - t_{о.с}) \Delta z_{о.с} V_{вд}, \qquad (3.48)$$

где $q_{от}$ — расчетная удельная тепловая мощность системы, определяемая по формуле (3.41).

§ 3.9. Учет особенностей теплового режима здания при выборе его системы отопления

1. ВЫБОР И РАЗМЕЩЕНИЕ ОТОПИТЕЛЬНОГО УСТРОЙСТВА В ПОМЕЩЕНИИ

Отопительный прибор системы отопления является теплообменником, с помощью которого теплота от теплоносителя системы передается обогреваемому помещению. Отопительный прибор должен наилучшим образом передавать теплоту помещению. Его конструкция, способ установки в помещении и положение в системе отопления должны быть всесторонне оценены по экономическим, техническим, эстетическим достоинствам, а также по теплотехническим свойствам. Теплотехнические свойства должны определить количество затрачиваемой на обогрев помещения теплоты, оптимальные формы конструкции, место расположения в помещении, доли отдаваемого прибором конвективного и лучистого потока. С их помощью должна быть оценена степень оптимальности микроклимата, создаваемого отопительным прибором в помещении.

Комфортность тепловой обстановки в помещении в большой мере зависит от места установки отопительного прибора в помещении и его геометрии. Отопительные приборы, компенсируя теплопотери, должны также выполнять роль локализаторов источников холода в помещении. Поэтому прибор должен иметь такую геометрию и должен быть

Электронная библиотека http://tgv.khstu.ru/

установлен так, чтобы своей площадью и восходящей около него струей теплого воздуха предупредить переохлаждение отдельных поверхностей и попадание холодных токов воздуха в обслуживаемую зону помещения.

Идеальным в этом смысле является решение, когда вся внутренняя поверхность наружного ограждения, обращенная в помещение, равномерно обогревается и в помещении отсутствуют охлажденные поверхности.

Хорошие тепловые условия в среднем в помещении и непосредственно около наружных ограждений создают приборы, расположенные под окнами вдоль наружной стены. В этом случае рабочая зона и область у пола помещения, которая особенно подвержена переохлаждению ниспадающими токами воздуха, защищается в тепловом отношении наиболее эффективно. Неприятным для человека в тепловом отношении является охлаждение ног, поэтому равномерный обогрев нижней зоны помещения вдоль всей наружной стены и особенно под окнами является удачным решением, при котором наиболее комфортный микроклимат может быть достигнут при наименьших затратах.

В отдельных помещениях и для некоторых конструкций нагревательного прибора имеется определенная особенность в выборе места расположения обогревателя.

В детских яслях и садах, в комнатах для маленьких детей желательно устройство обогреваемого пола или так называемых плинтусных приборов, равномерно обогревающих по периметру всю нижнюю зону помещения. Специальные тепловые дорожки делаются в помещении бассейнов. Обогрев пола желателен в вестибюлях и переходах, в которые люди входят с улицы, занося на ногах снег.

Во многих промышленных цехах с холодным перекрытием и световыми фонарями желателен специальный подогрев верхней зоны, который должен предупредить образование «падающих» в рабочую зону токов холодного воздуха. Теплоотдача приборов, обогревающих фонари и холодные перекрытия, должна компенсировать их теплопотери. Наилучшим образом эту задачу могут выполнить приборы-излучатели, которые подвешивают в виде лент на некотором расстоянии под потолком помещения. Обильным излучением вниз они равномерно обогревают рабочую зону. Конвективная составляющая их теплоотдачи нагревает воздух под перекрытием и компенсирует его теплопотери,

Электронная библиотека http://tgv.khstu.ru/

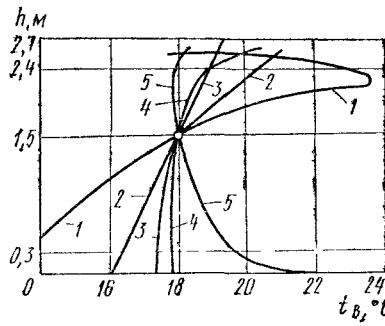

Рис. 3.7. Кривые распределения температуры воздуха по высоте помещения при различных видах отопления (за реперную точку принята температура 18 °С на высоте 1,5 м от пола для всех видов отопления)

1 — печном; 2 — воздушном, 3— радиаторном; 4 — потолочном лучистом, 5 — напольном лучистом

предупреждая образование падающих холодных токов воздуха.

В зданиях с помещениями небольшой глубины, когда расстояние от наружных стен до противоположной внутренней стены невелико, допустимо расположение приборов у внутренних стен. Система отопления здания в этом случае оказывается компактной и значительно сокращается протяженность теплопроводов, подводящих теплоноситель к нагревательным приборам.

Вопросы теплообмена различного вида приборов при любом их расположении в помещении могут быть решены на основе общей задачи теплообмена в обогреваемом помещении, которая подробно рассмотрена в курсе «Строительная теплофизика». Показательным для оценки общей эффективности обогрева помещения при различных отопительных приборах является распределение температуры воздуха по высоте помещения. Образование тепловой подушки у потолка и перегрев верхней зоны помещения связаны с возрастанием потерь теплоты. Холодный воздух у пола приводит к дискомфортности обстановки. Наилучшим является наиболее равномерное распределение температуры по высоте. На рис. 3.7 приведены кривые температуры воздуха по высоте помещения при разных приборах и местах их расположения в помещении.

Отопительный прибор должен быть рассчитан как из условия компенсации теплопотерь, так и из условия локализации ниспадающих холодных токов воздуха и уменьшения неприятного излучения в сторону холодных поверхностей помещения. В современных зданиях часто развивается площадь световых проемов. Это решение входит в противо-

Электронная библиотека http://tgv.khstu.ru/

речие с требованиями сокращения теплопотерь и поддержания комфортности тепловой обстановки в помещении. Как правило, требование об уменьшении теплопотерь должно быть выполнено. Однако в некоторых случаях такие решения эстетически оправданы, и задача инженеров по отоплению и вентиляции состоит в отыскании мероприятий, которые позволяют сохранить необходимую комфортность тепловой обстановки в помещении при больших поверхностях остекления и повышенных теплопотерях. Способы расчета, позволяющие определить необходимую теплозащиту окна или интенсивность нагрева и геометрию прибора при произвольной поверхности остекления в помещении, рассмотрены в курсе «Строительная теплофизика».

2. ВЫБОР ОСНОВНОЙ СХЕМЫ ОТОПЛЕНИЯ ЗДАНИЯ

При выборе схемы системы отопления здания необходимо учитывать особенности его теплового режима. Это, прежде всего, действие инфильтрации наружного воздуха под влиянием гравитационных сил и ветра, а также солнечной радиации и особенностей технологических тепловыделений.

Зимой инфильтрация переохлаждает нижние этажи, поэтому в многоэтажных зданиях целесообразно применение систем отопления с подачей теплоносителя снизу вверх (с опрокинутой циркуляцией) и с позонным делением по высоте здания. Лестничные клетки, лифтовые шахты и холлы должны отапливаться в основном внизу. Необходимы интенсивный обогрев вестибюлей, устройство теплых тамбуров, нагрев пола.

Охлаждающее действие инфильтрации связано с ориентацией ограждений помещения и зависит от направления и скорости ветра. В связи с этим желательно предусматривать пофасадное разделение системы отопления. Эта рекомендация связана также с действием солнечной радиации.

Зонирование системы отопления по высоте и фасадам здания позволяет регулировать теплоотдачу приборов в зависимости от скорости и направления ветра, температуры наружного воздуха, интенсивности солнечной радиации. Такое членение системы не исключает необходимости индивидуального ручного или автоматического регулирования теплоотдачи отопительных приборов в отдельных

Электронная библиотека http://tgv.khstu.ru/

помещениях в связи с разнообразием режимов бытовых и технологических тепловыделений.

Система отопления может использоваться для охлаждения помещений в теплый период года. В этом случае следует отдавать предпочтение потолочной панельно-лучистой системе или конвекторной системе с расположением оребренных поверхностей приборов, исключающим образование холодных токов воздуха вдоль пола в зимних и летних условиях.

При совмещенных системах кондиционирования микроклимата, когда наряду с отоплением в здании предусмотрено воздушное отопление или кондиционирование воздуха, основным назначением системы отопления становится не компенсацня теплопотерь, а локализация охлаждающего влияния наружных ограждений, особенно окон.

Могут быть и другие случаи учета теплового режима при выборе отопления. Например, при строительстве в районе вечной мерзлоты, когда необходимо для устойчивости здания сохранить мерзлый грунт в его основании, лучше отказаться от разводки теплопроводов в подполье первого этажа. В то же время при обогреве теплиц как раз особая забота состоит в обеспечении нагревания грунта. Одним словом, выбор устройства для обогрева помещения и основной схемы системы отопления должен проводиться прежде всего с учетом особенностей теплового режима отдельных помещений и здания, так как только в этом случае система отопления сможет выполнить свою основную задачу — обеспечить во всех помещениях здания комфортную, требуемую по функциональному назначению тепловую обстановку в холодный период года.

КОНТРОЛЬНЫЕ ЗАДАНИЯ И УПРАЖНЕНИЯ

1. Как определяется дефицит теплоты в тепловом балансе помещения, указывающий на необходимость отопления помещения?

2. Почему расчетные теплопотери помещением в период резкого похолодания не равны сумме наибольших теплопотерь через отдельные ограждения?

3. Что такое единица расхода воздуха при расчете инфильтрации через наружное ограждение?

4. Почему при инфильтрации через наружное ограждение воздух поступает в помещение несколько подогретый?

Электронная библиотека http://tgv.khstu.ru/

5. Как определяется колнчество теплоты, поступающей в помещение от нагретых материалов и изделий?

6. Почему и на сколько могут отличаться расчетные теплопотери здания от устаиовочиой мощности системы отопления?

7. Какой физический смысл и как определяется продолжительиость и средняя температура отопительиого сезона здаиия с виутреиинми тепловыделениями?

8. Как определяется годовая потребность в тепловой эиергии на отопление здаиия?

9. Какими являются идеальные расположения поверхиости нагрева системы отоплення в помещении?

Электронная библиотека http://tgv.khstu.ru/

РАЗДЕЛ II. ЭЛЕМЕНТЫ СИСТЕМ ЦЕНТРАЛЬНОГО ОТОПЛЕНИЯ

ГЛАВА 4. ОТОПИТЕЛЬНЫЕ ПРИБОРЫ

§ 4.1. Требования, предъявляемые к отопительным приборам

Отопительные приборы — один из основных элементов систем отопления — предназначены для теплопередачи от теплоносителя в обогреваемые помещения.

В гл. 3 установлено, что расход теплоты на отопление каждого помещения определяется по тепловому балансу для поддержания в нем необходимой температуры при расчетных зимних условиях. В этих условиях, т. е. при температуре наружного воздуха, расчетной для системы отопления здания, расход теплоты на отопление или, короче, теплопотребность помещения $Q_п$ должна компенсироваться теплоотдачей отопительного прибора $Q_{пр}$ и нагретых труб $Q_{тр}$ (рис. 4.1):

$$Q_п = Q_{пр} + Q_{тр}. \qquad (4\,1)$$

Эта суммарная теплоотдача в помещение, необходимая для поддержания заданной температуры, в системе отопления называется **тепловой нагрузкой** отопительного прибора.

В тепловую нагрузку $Q_п$ не входят дополнительные теплопотери $Q_{доп}$ (см. рис. 4.1), обусловленные прогреванием ограждающей конструкции в месте установки отопительного прибора, как заранее неизвестные (они зависят от типоразмера прибора).

Следовательно, от теплоносителя в помещение должен передаваться тепловой поток $Q_т$, превышающий расчетную теплопотребность $Q_п$ на величину дополнительных теплопотерь $Q_{доп}$:

$$Q_т = Q_п + Q_{доп}. \qquad (4\,2)$$

Дополнительные теплопотери $Q_{доп}$ принято выражать в долях основных теплопотерь.

Каждый отопительный прибор должен иметь определенную **площадь нагревательной поверхности** $A_{пр}$, м², рас-

Электронная библиотека http://tgv.khstu.ru/

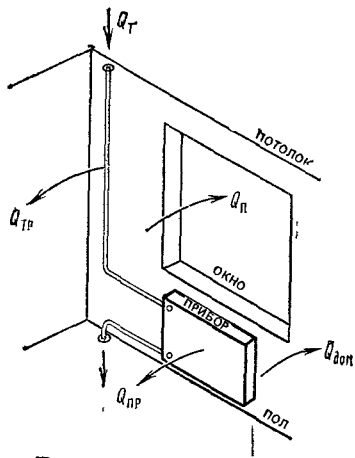

Рис. 4.1. Схема теплоотдачи отопительного прибора $Q_{пр}$ и труб $Q_{тр}$ для возмещения теплопотерь помещения $Q_п$ и $Q_{доп}$ при теплоподаче $Q_т$ со стороны теплоносителя

считываемую (см. ниже) в соответствии с требуемой теплоотдачей прибора. Для обеспечения необходимой теплоотдачи в прибор должно поступать также определенное количество теплоносителя в единицу времени G, кг/с (кг/ч), называемое **расходом теплоносителя**.

Расход теплоносителя — **воды**, при котором теплопередача в помещение сопровождается понижением его температуры, определяют по формуле

$$G_{вод} = \frac{Q_т}{c\,(t_{вх} - t_{вых})}. \qquad (4.3)$$

Расход теплоносителя — **насыщенного пара,** при котором теплота в отопительном приборе выделяется при фазовом превращении (конденсация пара со свободным отводом конденсата из прибора), определяют по формуле

$$G_{пар} = Q_т/r. \qquad (4.4)$$

В формулах (4.3) и (4.4) расход теплоносителя G, кг/с, при практических расчетах обычно приводится к 1 ч времени (кг/ч), и тогда в числитель формул вводится множитель 3600; c — удельная массовая теплоемкость воды, равная 4187 Дж/(кг·°С) или 4,187 кДж/(кг·°С); $t_{вх}$, $t_{вых}$ — температура воды при входе в помещение и выходе из него, °С; r — удельная теплота конденсации при определенном давлении пара в приборе, Дж/кг (кДж/кг).

К отопительным приборам как к оборудованию, устанавливаемому непосредственно в обогреваемых помещениях, предъявляются **требования**, дополняющие и уточняющие требования к системе отопления (см. § 1.1):

1 — **санитарно-гигиенические** — относительно пониженная температура поверхности; ограничение площади

Электронная библиотека http://tgv.khstu.ru/

горизонтальной поверхности приборов для уменьшения отложения пыли; доступность и удобство очистки от пыли поверхности приборов и пространства вокруг них;

2 — **экономические** — относительно пониженная стоимость прибора; экономный расход металла на прибор, обеспечивающий повышение теплового напряжения металла. Показатель теплового напряжения металла прибора M, Вт/(кг·°С), определяется по отношению теплового потока $Q_{пр}$ при Δt=1 °С к массе металла прибора $G_м$:

$$M = \frac{Q_{пр}}{G_м \Delta t}, \qquad (4.5)$$

где Δt — разность температуры теплоносителя и окружающего воздуха.

Очевидно, что чем больше показатель M, тем более экономным будет прибор по расходу металла. Увеличение этого показателя связано с уменьшением массы металла, израсходованного на изготовление прибора, без уменьшения его теплового потока. При оценке расхода металла на прибор учитывают также сравнительные технико-экономические показатели используемого вида металла (чугуна, стали, алюминия и т. д.). Значения показателя M находятся в настоящее время в пределах от 0,2 для чугунных приборов до 1,6 Вт/(кг·°С) для одиночной обетонированной стальной трубы.

3 — **архитектурно-строительные** — соответствие внешнего вида приборов интерьеру помещений, сокращение площади помещений, занимаемой приборами. Приборы должны быть достаточно компактными, т. е. их строительные глубина и длина, приходящиеся на единицу теплового потока, должны быть наименьшими;

4 — **производственно-монтажные** — механизация изготовления и монтажа приборов для повышения производительности труда; достаточная механическая прочность приборов;

5 — **эксплуатационные** — управляемость теплоотдачи приборов, зависящая от их тепловой инерции; температуроустойчивость и водонепроницаемость стенок при предельно допустимом в рабочих условиях (**рабочем**) гидростатическом давлении внутри приборов.

К отопительным приборам предъявляется также в важное для них **теплотехническое требование** передачи от

Электронная библиотека http://tgv.khstu.ru/

теплоносителя в помещения через единицу площади наибольшего теплового потока при прочих равных условиях (расход и температура теплоносителя, температура воздуха, место установки и т. д.).

Для выполнения этого требования прибор должен обладать повышенным значением коэффициента теплопередачи $k_{пр}$ (см. § 4.5) по сравнению с каким-то значением $k_{пр}$. Значение $k_{пр}$ одного из типов секционных радиаторов условились принять за эталон (за эталон принят $k_{пр}$ ранее выпускавшегося чугунного секционного раиатора типа Н-136).

Всем перечисленным требованиям одновременно удовлетворить невозможно и этим объясняется рыночное разнообразие типов отопительных приборов. При этом каждый их тип в наибольшей степени отвечает какой-либо группе требований, уступая другому в отношении прочих требований. Например, отопительные приборы для лечебных учреждений соответствуют повышенным санитарно-гигиеническим требованиям за счет ухудшения других показателей.

§ 4.2. Классификация отопительных приборов

Все отопительные приборы **по преобладающему способу теплоотдачи** делятся на три группы.

1 — радиационные приборы, передающие излучением не менее 50% общего теплового потока; к первой группе относятся потолочные отопительные панели и излучатели;

2 — конвективно-радиационные приборы, передающие конвекцией от 50 до 75% общего теплового потока; вторая группа включает радиаторы секционные и панельные, гладкотрубные приборы, напольные отопительные панели;

3 — конвективные приборы, передающие конвекцией не менее 75% общего теплового потока; к третьей группе принадлежат конвекторы и ребристые трубы.

В эти три группы входят отопительные приборы пяти **основных видов** (рис. 4.2): радиаторы секционные и панельные, гладкотрубные приборы (эти три вида приборов имеют **гладкую** внешнюю поверхность), конвекторы, ребристые трубы (имеют **ребристую** поверхность). К приборам с ребристой внешней поверхностью относятся также калориферы, применяемые для нагревания воздуха в системах воздушиого отопления и вентиляции.

Электронная библиотека http://tgv.khstu.ru/

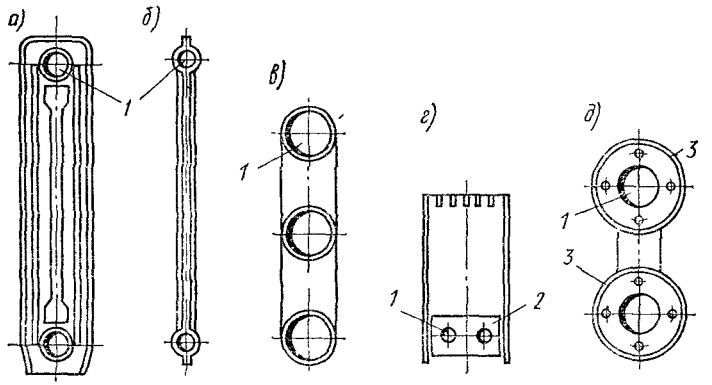

Рис. 4.2. Схемы отопительных приборов различных видов (поперечные разрезы)
а — радиатор чугунный секционный; *б* — радиатор стальной панельный (РСВ); *в* — гладкотрубный прибор из трех горизонтальных стальных труб; *г* — конвектор с кожухом; *д* — прибор из двух ребристых труб; *1* — канал для теплоносителя; *2* — стальная пластина; *3* — чугунный фланец

По используемому материалу различают металлические, комбинированные и неметаллические отопительные приборы. Металлические приборы выполняют в основном из серого чугуна и стали (листовой стали и стальных труб). Применяют также медные трубы, листовой и литой алюминий и другой металл.

В комбинированных приборах используют теплопроводный материал (бетон, керамику), в который заделывают стальные или чугунные греющие элементы (панельные радиаторы); оребренные металлические трубы помещают в неметаллический (например, асбестоцементный) кожух (конвекторы).

К неметаллическим приборам относят бетонные панельные радиаторы, потолочные и напольные панели с заделанными пластмассовыми греющими трубами или с пустотами вообще без труб, а также керамические, пластмассовые и тому подобные радиаторы.

По **высоте** вертикальные отопительные приборы подразделяют на высокие (высотой более 650 мм), средние (более 400 до 650 мм) и низкие (более 200 до 400 мм). Приборы высотой 200 мм и менее называют плинтусными.

По **глубине** в установке (с учетом расстояния от прибора до стены) имеются приборы малой глубины (до 120 мм),

Электронная библиотека http://tgv.khstu.ru/

Таблица 4.1. Показатели основных видов отопительных приборов

Отопительный прибор	Требования, предъявляемые к приборам									
	теплотехническое	санитарно-гигиенические		экономические		архитектурно-строительные		производственно-монтажные		эксплуатационные
	$K_{пр}$, Вт/(м²·°С)	температура поверхности	очистка от пыли	стоимость	расход металла	внешний вид	компактность	механизация изготовления	трудозатраты при монтаже	тепловая инерция
Радиатор:										
чугунный секционный	8,5—11,3	—	—	+	—	—	++	—	—	Большая
стальной панельный	10,5—11,5	—	+	+	+	+	—	++	+	Малая
бетонный »	7,5—11,6	++	+	+	++	+	—	—	+	Большая
Гладкотрубный прибор	10,5—14,0	—	++	—	—	—	—	—	—	»
Конвектор:										
без кожуха	4,7—7,0	+	—	+	+	—	—	++	++	Малая
с кожухом		+	—	—	+	+	+	++	++	»
Ребристая труба	4,7—5,5	+	—	+	—	—	+	—	—	Большая
Калорифер	9,0—35,0	+	—	+	+	—	++	+	—	Малая

Электронная библиотека http://tgv.khstu.ru/

средней глубины (более 120 до 200 мм) и большой глубины (более 200 мм).

По величине **тепловой инерции** можно выделить приборы малой и большой инерции. К приборам малой тепловой инерции относят приборы, имеющие небольшую массу материала и вмещаемой воды. Такие приборы с греющими трубами малого диаметра (например, конвекторы) быстро изменяют теплоотдачу при регулировании количества подаваемого теплоносителя. Приборами, обладающими большой тепловой инерцией, считают массивные приборы, вмещающие значительное количество воды (например, бетонные или чугунные радиаторы). Такие приборы теплоотдачу изменяют сравнительно медленно.

Для сравнения отопительных приборов в табл. 4.1 приведены области значений коэффициента теплопередачи и условными знаками отмечены другие относительные показатели основных видов приборов. Знаком «плюс» отмечены положительные показатели приборов, знаком «минус» — отрицательные. Два плюса указывают на показатель, определяющий основное преимущество какого-либо вида приборов.

§ 4.3. Описание отопительных приборов

Радиатором принято называть конвективно-радиационный отопительный прибор, состоящий либо из отдельных колончатых элементов — секций с каналами круглой или эллипсообразной формы (рис. 4.3), либо из плоских блоков с каналами колончатой или змеевиковой формы (рис. 4.4).

Секции радиаторов отливаются из серого чугуна (толщина стенки около 4 мм) и могут компоноваться в приборы различной площади путем соединения на резьбовых ниппелях с прокладкамн из термостойкой резины или паронита. Несколько секций в сборе называют чугунным секционным радиатором. Наиболее распространены двухколончатые (см. рис. 4.3) радиаторы средней высоты (монтажная высота $h_м$=500 мм), хотя имеются радиаторы одно- и многоколончатые, высокие ($h_м$=1000 мм) и низкие ($h_м$=300 мм). Секции изготовляют различной строительной глубины (размер b на рис. 4.3); в настоящее время приняты b=90 и 140 мм, и марка радиатора обозначается М-90 или М-140.

Электронная библиотека http://tgv.khstu.ru/

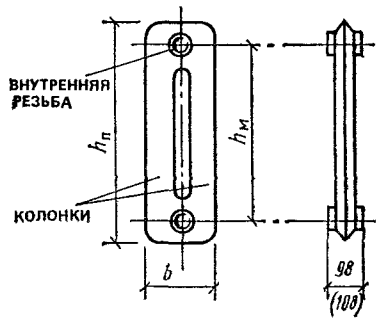

Рис. 4.3. Двухколончатая секция чугунного радиатора
$h_п$ — полная высота; $h_м$ — монтажная высота; b — строительная глубина, 98 (108) — длина секции, мм

Рис. 4.4. Схемы каналов для теплоносителя в панельных радиаторах колончатой (*а*) формы (радиатор РСВ), змеевиковой двухходовой (*б*) и четырехходовой (*в*) форм (радиаторы РСГ-2 и РСГ-1)

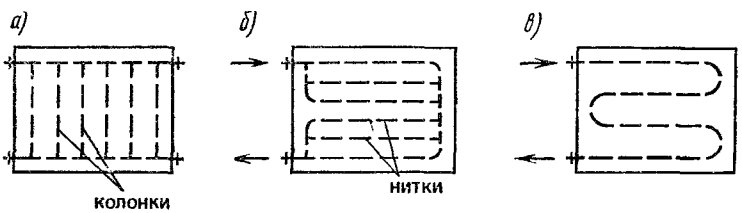

Длина одной секции бывает 98 и 108 мм, что указывается в обозначении марки (например, МС-90-108 и МС-140-108).

Чугунные секционные радиаторы отличаются значительной тепловой мощностью на единицу длины прибора (компактностью) и стойкостью против коррозии (долговечностью). Однако серьезные недостатки вызывают замену этих приборов другими. Чугунные радиаторы металлоемки [показатель M=0,29—0,36 Вт/(кг·°С)], производство их трудоемко, монтаж затруднителен, очистка от пыли неудобна, внешний вид непривлекателен.

Плоские блоки радиаторов свариваются из двух штампованных стальных листов (толщина листа 1,4—1,5 мм), образуя приборы малой глубины (18—21 мм) и различной длины, называемые стальными панельными радиаторами. Панельные радиаторы с плоскими вертикальными каналами колончатой формы (см. рис. 4.4, *а*) сокращенно именуются РСВ (радиаторы стальные вертикальные), с горизонтальными последовательно соединенными каналами (змеевиковой формы) — РСГ-1 (см. рис. 4.4, *в*) и РСГ-2 (см. рис. 4.4, *б*). Радиаторы РСГ-2 бывают двухходовыми и четырехходовыми.

Электронная библиотека http://tgv.khstu.ru/

Стальные панельные радиаторы отличаются от чугунных меньшей массой [показатель M=0,55—0,80 Вт/(кг××°С)], увеличенной излучательной способностью (35—40% вместо 30% общего теплового потока). Они соответствуют интерьеру помещений в полносборных зданиях, легко очищаются от пыли, их монтаж облегчен, производство механизировано. На одних и тех же производственных площадях возможен значительно больший выпуск стальных радиаторов вместо чугунных.

Распространение стальных радиаторов ограничивается необходимостью применения коррозионностойкой холоднокатаной листовой стали. При изготовлении из обычной листовой стали срок службы радиаторов сильно сокращается из-за интенсивной внутренней коррозии. Область их применения ограничена системами со специально обработанной (деаэрированной) водой. Их не разрешается также применять в помещениях с агрессивной воздушной средой.

Стальные панельные радиаторы имеют относительно небольшую площадь нагревательной поверхности, из-за чего часто приходится прибегать к установке их в два ряда (на расстоянии 40 мм от одной панели до другой). При этом снижается теплоотдача (примерно на 15%) и затрудняется очистка межпанельного пространства от пыли.

Плоские блоки радиаторов делают также из тяжелого бетона (бетонные отопительные панели), применяя нагревательные элементы змеевиковой (см. рис. 4.4, *в*) или регистровой (см. рис. 4.4, *б*) формы из металлических и неметаллических труб. Бетонные панели располагают в наружных ограждающих конструкциях помещений (совмещенные панели) или приставляют к ним (приставные панели) — подробнее см. гл. 11.

Бетонные панели, особенно совмещенного типа, отвечают строгим санитарно-гигиеническим, архитектурно-строительным требованиям, отличаются высоким тепловым напряжением металла. К недостаткам совмещенных панелей относятся трудность ремонта, большая тепловая инерция, усложняющая регулирование теплоотдачи, увеличение теплопотерь через дополнительно прогреваемые наружные конструкции зданий. Поэтому в настоящее время они применяются ограниченно Панели приставного типа уменьшают рабочий объем помещений.

Электронная библиотека http://tgv.khstu.ru/

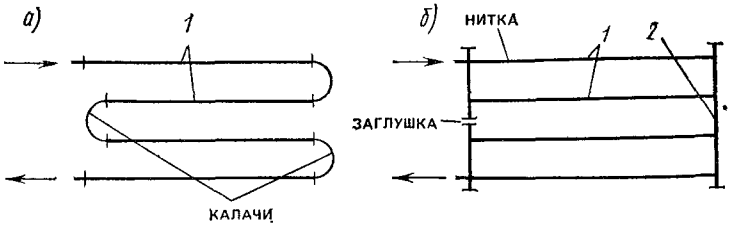

Рис. 4.5. Змеевиковая (*а*) и регистровая (*б*) формы соединения стальных труб в гладкотрубные отопительные приборы

1 — нитки — горизонтальные стальные трубы; *2* — колонка

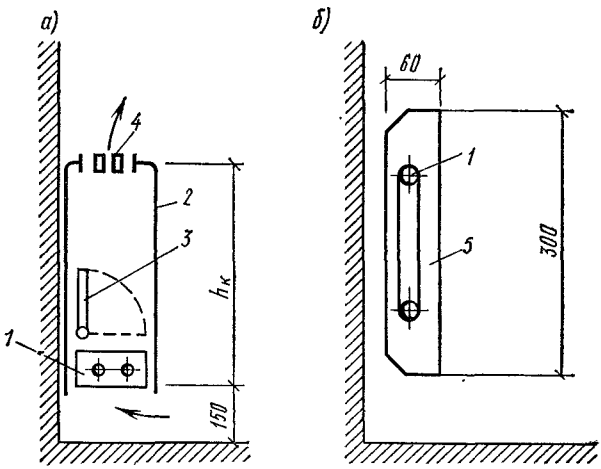

Рис. 4.6. Схемы конвекторов

а — с кожухом (типа КН «Комфорт-20»); *б* — без кожуха (типа КА «Аккорд»); *1* — нагревательный элемент; *2* — кожух высотой $h_к$; *3* — воздушный клапан; *4* — решетка; *5* — оребрение

Гладкотрубными называют конвективно-радиационный отопительный прибор, состоящий из нескольких соединенных вместе стальных труб, образующих каналы для теплоносителя змеевиковой (рис. 4.5, *а*) или регистровой (рис. 4.5, *б*) формы. В регистре при параллельном соединении горизонтальных труб поток теплоносителя делится с уменьшением скорости его движения. В змеевике трубы соединены последовательно, и скорость движения теплоносителя не изменяется по всей длине прибора.

Электронная библиотека http://tgv.khstu.ru/

Отопительные приборы сваривают из труб $D_у$=32—100 мм, располагаемых одна от другой на расстоянии, на 50 мм превышающем их наружный диаметр, для увеличения теплоотдачи излучением.

Гладкотрубные приборы характеризуются высокими значениями коэффициента теплопередачи, их пылесобирающая поверхность невелика и легко очищается от пыли.

Вместе с тем эти толстостенные стальные приборы тяжелы и громоздки, занимают много места, их внешний вид не соответствует современным требованиям, предъявляемым к интерьеру помещений. Их применяют в редких случаях, когда не могут быть использованы отопительные приборы других видов (например, для обогревания световых фонарей, при значительном выделении пыли в помещении).

Конвектор состоит из двух элементов — трубчато-ребристого нагревателя и кожуха (рис. 4.6). Кожух декорирует нагреватель и способствует повышению теплопередачи благодаря увеличению подвижности воздуха у поверхности нагревателя. Конвектор с кожухом (рис. 4.6, *а*) передает в помещение конвекцией 90—95% общего теплового потока. Прибор, в котором функции кожуха выполняет оребрение нагревателя, называют конвектором без кожуха (рис. 4.6, *б*). Нагреватель выполняют из стали, чугуна, алюминия и других металлов, кожух — из листовых материалов (стали, асбестоцемента и др.). На рисунке показаны нагреватели со стальными трубами (обычно $D_у$ 20 мм).

Конвекторы обладают сравнительно низкими теплотехническими показателями, особенно при использовании в двухтрубных системах отопления. Тем не менее производство конвекторов во многих странах, в том числе и в СССР, расширяется (при сокращении выпуска чугунных отопительных приборов). Это объясняется простотой изготовления конвекторов, возможностью механизировать и автоматизировать их производство, сокращением трудовых затрат при монтаже. Малая металлоемкость способствует повышению теплового напряжения металла конвекторов: показатель M=0,8—1,3 Вт/(кг·°С). Конвекторы — приборы малой тепловой инерции.

Теплопередача *конвекторов с кожухом* растет при увеличении высоты кожуха (например, на 20% при увеличении его высоты от 250 до 600 мм). Теплопередача возрастает еще заметнее при искусственно усиленной конвекции воз-

Электронная библиотека http://tgv.khstu.ru/

духа у поверхности нагревателя, если в кожухе установить вентилятор специальной конструкции (вентиляторный конвектор).

Нагреватели наиболее распространенных низких конвекторов с кожухом типа КН (конвектор навесной) «Универсал» состоят из двух (малая глубина) или четырех (средняя глубина) труб $D_у$ 20, на которые насажены прямоугольные ребра с шагом 6 мм. Эти конвекторы снабжены воздушным клапаном (см. рис. 4.6, *а*) для регулирования теплоотдачи. Они могут устанавливаться отдельно (марка КН20-к с «концевым» нагревателем), а также соединяться последовательно (марка КН20-п с «проходным» нагревателем) в горизонтальные цепочки приборов. Аналогично (за исключением воздушного клапана) устроены напольные низкие конвекторы с кожухом типа КО «Ритм» средней глубины, дополняемые при установке цепочками межконвекторными вставками для декорирования горизонтальных труб, соединяющих смежные приборы. Наибольшей тепловой мощностью обладают конвекторы типа КВ-20 большой глубины, высотой от 600 до 1200 мм, нагреватели которых состоят из нескольких последовательно соединенных элементов (строительная глубина конвекторов 400 мм).

Конвекторы без кожуха занимают мало места по глубине помещений (строительная глубина 60—70 мм), при размещении их у пола по всей длине окон и наружных стен способствуют созданию теплового комфорта в помещениях. Однако вследствие малой теплоотдачи на единицу длины часто приходится устанавливать приборы в два яруса или ряда для получения необходимой площади нагревательной поверхности. Это придает им непривлекательный внешний вид. Конвекторы не применяются при повышенных требованиях к гигиене помещений.

Низкие двухтрубные конвекторы без кожуха типа КА «Аккорд», изображенные на рис. 4.6, *б*, имеют элементы оребрения из листовой стали толщиной 0,8 мм в плане П-образной формы, открытые к стене (в конвекторе «Север» — из листового алюминия толщиной 1 мм); типа «Прогресс» — замкнутое шестигранное оребрение. Такие конвекторы обычно компонуются на заводах в приборные узлы, состоящие из нескольких конвекторов (по длине и высоте), связывающих их труб и регулирующих кранов.

Ребристой трубой называют конвективный прибор, пред-

Электронная библиотека http://tgv.khstu.ru/

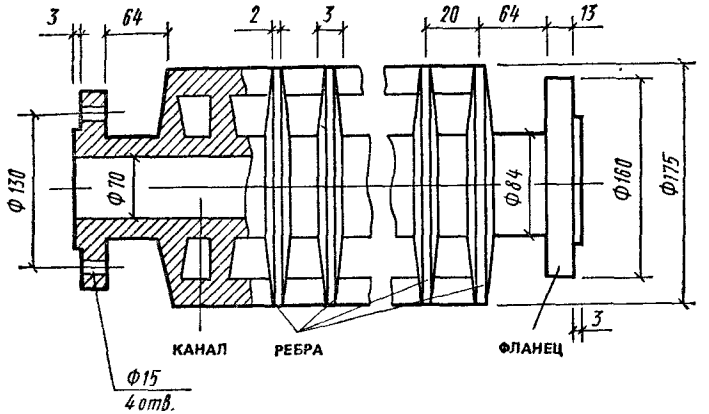

Рис. 4.7. Чугунная ребристая труба с круглыми ребрами диаметром 175 мм

ставляющий собой фланцевую чугунную трубу, наружная поверхность которой покрыта совместно отлитыми тонкими ребрами (рис. 4.7).

Площадь внешней поверхности ребристой трубы во много раз больше, чем площадь поверхности гладкой трубы таких же диаметра и длины. Это придает отопительному прибору компактность. Кроме того, пониженная температура поверхности ребер при использовании высокотемпературного теплоносителя, сравнительная простота изготовления и невысокая стоимость способствуют применению этого малоэффективного в теплотехническом отношении и многометалльного прибора [показатель теплового напряжения металла M составляет всего 0,25 Вт/(кг·°С)]. К недостаткам ребристых труб относятся также неэстетичный внешний вид, малая механическая прочность ребер и трудность очистки от пыли.

Устаревшие чугунные ребристые трубы заменяются оребренными стальными трубами (например, прибором «Коралл» с прилитыми алюминиевыми ребрами).

Круглые чугунные ребристые трубы выпускают длиной от 0,5 до 2,0 м; устанавливают их горизонтально в несколько ярусов и соединяют по змеевиковой форме (см. рис. 4.5, *а*) на болтах с помощью чугунных «калачей» — фланцевых двойных отводов и контрфланцев.

Электронная библиотека http://tgv.khstu.ru/

Таблица 4.2. Техническая характеристика отопительных приборов

Вид и тип прибора	Марка	Рабочее давление, МПа	Средний КМС прибора	Основная область применения
Радиатор чугунный секционный	М, РД МС	0,6 0,9	1,4 1,6	М, РД — общего назначения, МС — при повышенных гигиенических требованиях
Радиатор стальной панельный:				При повышенных гигиенических требованиях, но при деаэрированной воде и неагрессивной воздушной среде
колончатый	РСВ	0,6	2,0	
змеевиковый	РСГ-1		7,4	
	РСГ-2		3,0	
Гладкотрубный прибор	$D_у = 32$—100 мм	1,0	1,5	При значительных выделениях пыли
Конвектор «Комфорт-20» концевой	КН20-к	1,0	5,4	Жилые, общественные и вспомогательные здания
То же, «Универсал-20»			7,4	
Конвектор «Ритм» проходной	КО20-п, $l = 1500$ мм	1,0	5,7	Крупные помещения общественных зданий
Конвектор «Аккорд»	КА-к	1,0	4,9	Бытовые и вспомогательные помещения производственных зданий
	КА-п		3,9	
Конвектор высокий	КВ20	1,0	45,0	Лестничные клетки зданий
Ребристая труба	$l = 500$—2000 мм	0,6	1,5	Производственные здания

Отопительные приборы перечислены в табл. 4.2 с указанием предельно допустимого в рабочих условиях (рабочего) давления внутри приборов, среднего коэффициента местного гидравлического сопротивления (КМС) приборов при диаметре подводок к ним $D_у$ 20, а также основной области их применения.

Калорифер — компактный прибор значительной площади (от 10 до 140 м²), образованной несколькими рядами оребренных труб. Трубы заключены в кожух с отверстиями для входа и выхода нагреваемого воздуха. В отличие от

Электронная библиотека http://tgv.khstu.ru/

других отопительных приборов калорифер предназначен в первую очередь для теплопередачи при вынужденной конвекции воздуха, создаваемой вентилятором. Коэффициент теплопередачи достигает при этом сравнительно высоких значений (см. табл. 4.1). Кроме того, калорифер используют в условиях естественной конвекции (подобно высокому конвектору) для нагревания воздуха непосредственно в помещении (см. гл. 10). Подробно калорифер рассмотрен в учебнике «Вентиляция».

В перспективе можно ожидать появления отопительных приборов из новых материалов (например, из термостойкой пластмассы), а также новых видов отопительных приборов (например, радиаторов, основанных на термосифонном теплообмене в его внутреннем вакуумированном пространстве).

§ 4.4. Выбор и размещение отопительных приборов

При выборе вида и типа отопительного прибора учитывают ряд факторов: назначение, архитектурно-технологическую планировку и особенности теплового режима помещения, место и продолжительность пребывания людей, вид системы отопления, технико-экономические и санитарно-гигиенические показатели прибора. Прежде всего исходят из основной области применения (см. табл. 4.2), а также из соответствия санитарно-гигиенических показателей предъявляемым требованиям.

В отдельных случаях отопительный прибор выбирается на основании специального технико-экономического сопоставления нескольких видов; иногда выбор обусловлен наличием прибора определенного типа.

При повышенных санитарно-гигиенических, а также противопожарных и противовзрывных требованиях, предъявляемых к помещению, выбирают приборы с гладкой поверхностью. Как уже известно, это радиаторы и гладкотрубные приборы. Бетонные панельные радиаторы в этом случае, особенно совмещенные со строительными конструкциями, наилучшим образом способствуют содержанию помещения в чистоте. Стальные панельные радиаторы и гладкотрубные приборы могут быть рекомендованы при менее строгом отношении к гигиене и внешнему виду помещения. Чугунные радиаторы допускаются лишь с секция-

Электронная библиотека http://tgv.khstu.ru/

ми простой формы (например, типа МС — с гладкими колонками).

При обычных санитарно-гигиенических требованиях, предъявляемых к помещению, можно использовать приборы с гладкой и ребристой поверхностью. В гражданских зданиях чаще применяют радиаторы и конвекторы, в производственных — радиаторы и ребристые трубы (несколько труб друг над другом) как более компактные приборы, обеспечивающие повышенную теплоотдачу на единицу их длины (табл. 4.3).

Таблица 4.3. Относительная теплоотдача отопительных приборов длиной 1 м

Отопительный прибор	Глубина прибора, мм	Теплоотдача прибора длиной 1,0 м, %
Радиатор секционный (длина секции 98 мм)	140	100
	90	72
Конвектор с кожухом	160	65
Радиатор панельный	18—21	50
Ребристая труба	175	45
Конвектор без кожуха	60—70	30
Гладкая труба	108	13

Примечание. Теплоотдача рассчитана при одинаковых расходе и средней разности температуры теплоносителя воды и окружающего прибор воздуха.

В помещениях, предназначенных для кратковременного пребывания людей (менее 2 ч), можно использовать приборы любого типа, отдавая предпочтение приборам с высокими технико-экономическими показателями.

Благоприятным с точки зрения создания теплового комфорта для людей является обогревание помещения через пол. Теплый пол, равномерно нагретый до температуры, допустимой по санитарно-гигиеническим требованиям (например, в жилой комнате до 26 °С), обеспечивает ровную температуру и слабую циркуляцию воздуха, устраняет перегревание верхней зоны в помещении. Сравнительно высокая стоимость и трудоемкость устройства теплого пола для отопления помещения в большинстве случаев предопределяют замену его вертикальными отопительными приборами как более компактными и дешевыми.

Электронная библиотека http://tgv.khstu.ru/

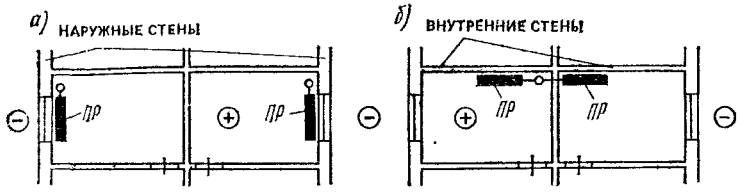

Рис. 4.8. Размещение отопительных приборов (пр) в помещениях (планы) под окнами (*а*), у внутренних стен (*б*)

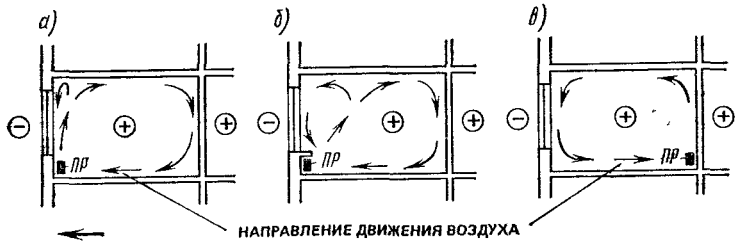

Рис. 4.9. Схемы циркуляции воздуха в помещениях (разрезы) при размещении отопительных приборов (пр) под окнами без подоконника (*а*), под окнами с подоконником (*б*), у внутренней стены (*в*)

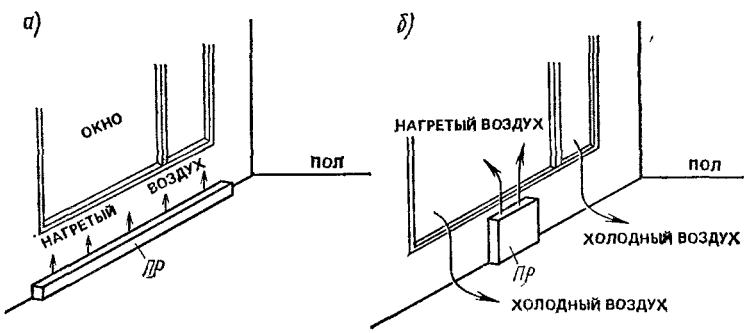

Рис. 4.10. Размещение под окном помещения отопительного прибора (пр) низкого и длинного (желательно) (*а*), высокого и короткого (нежелательно) (*б*)

Размещение вертикального отопительного прибора в помещении возможно как у наружной, так и у внутренней стены (рис. 4.8). На первый взгляд целесообразна установка прибора у внутренней стены помещения (рис. 4.8, *б*)— сокращается длина труб, подающих и отводящих теплоноситель от прибора (требуется один стояк на два прибора).

Электронная библиотека http://tgv.khstu.ru/

Кроме того, увеличивается теплопередача такого прибора-радиатора в помещение (примерно на 7% в равных температурных условиях) вследствие интенсификации внешнего теплообмена и устранения дополнительной теплопотери через наружную стену. Все же подобное размещение прибора допустимо лишь в южных районах с короткой и теплой зимой, так как оно сопровождается неблагоприятным для здоровья людей движением воздуха с пониженной температурой у пола помещений.

В средней полосе и северных районах целесообразно устанавливать отопительный прибор вдоль наружной стены помещения и особенно под окном (рис. 4.8, *а*). При таком размещении прибора возрастает температура внутренней поверхности в нижней части наружной стены и окна, что повышает тепловой комфорт помещения, уменьшая радиационное охлаждение людей. Поток теплого воздуха при расположении прибора под окном препятствует образованию ниспадающего потока холодного воздуха, если нет подоконника, перекрывающего прибор (рис. 4.9, *а*), и движению воздуха с пониженной температурой у пола помещения (рис. 4.9, *в*). Длина прибора для этого должна быть не менее трех четвертей ширины оконного проема.

Вертикальный отопительный прибор следует размещать возможно ближе к полу помещения (но не ближе 60 мм от пола для удобства очистки подприборного пространства от пыли).

При значительном подъеме прибора над полом в помещении создается охлажденная зона, так как циркуляционные потоки нагреваемого воздуха, замыкаясь на уровне установки прибора, не захватывают и не прогревают в этом случае нижнюю часть помещения.

Чем ниже и длиннее сам по себе отопительный прибор, тем ровнее температура помещения и лучше прогревается его рабочая зона. Примером такого отопительного прибора, улучшающего тепловой режим рабочей зоны помещения, может служить низкий конвектор без кожуха, который из-за малой теплоотдачи на единицу длины (см. табл. 4.3) размещается фактически по всей длине наружной стены (рис. 4.10, *а*).

Высокий и относительно короткий отопительный прибор вызывает активный подъем струи теплого воздуха,

Электронная библиотека http://tgv.khstu.ru/

что приводит к перегреванию верхней зоны помещения и опусканию охлажденного воздуха по обеим сторонам такого прибора в рабочую зону (рис. 4.10, *б*).

Натурные исследования в общественном здании с двойным ленточным остеклением окон в металлических переплетах (здание Гидропроекта в Москве), под которыми в два яруса установлены плинтусные конвекторы, показали, что при $t_н$=—10 °С и $t_в$=22 °С температура внутренней поверхности стекла над конвекторами равнялась 19,9 °С, посредине высоты окна 16,5 °С и наверху окна 15,9 °С (температура поверхности конвекторов 54 °С). Прибор обеспечивал тепловой комфорт в рабочей зоне помещения.

В другом общественном здании с тройным ленточным остеклением окон в деревянных переплетах (гостиница «Националь» в Москве), под которыми в отдельных местах расположены конвекторы с кожухом типа «Комфорт», в тот же период было установлено, что при $t_н$=—8 °С и $t_в$=14 °С температура внутренней поверхности стены над конвектором равнялась 28 °С, стекла над конвектором 12—13 °С и стекла без конвектора под ним 8—9 °С (температура поверхности конвектора 55° С).

В первом здании поток теплого воздуха поднимался от конвектора, над которым нет подоконника, вертикально вдоль стекла (см. рис. 4.9, *а*). Во втором — подоконник над конвектором отклонял поток теплого воздуха в глубь помещения и возникала циркуляция воздуха, изображенная на рис. 4.9, *б*. Хотя температура внутренней поверхности стекла в этом случае и возрастала, в помещении наблюдался неприятный воздушный поток, направленный под некоторым углом вверх через рабочую зону. Еще более неприятный для людей поток воздуха, аналогичный показанному на рис. 4.9, *в*, создавался в той половине помещения второго здания, где под окном нет прибора, и температура поверхности стекла поэтому была сравнительно низкой.

Способность вертикального отопительного прибора вызывать активный восходящий поток теплого воздуха можно использовать для отопления помещений увеличенной высоты. Обычно в помещении высотой более 6 м, особенно со световыми проемами наверху, часть отопительных приборов (от 1/4 до 1/3 общей площади) размещают в верхней зоне. Однако при использовании высоких отопительных приборов, например, конвекторов типа КВ-20 или рециркуля-

Электронная библиотека http://tgv.khstu.ru/

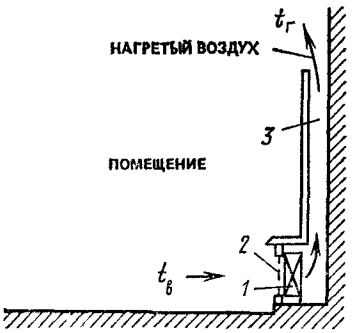

Рис. 4.11. Схема рециркуляционного воздухонагревателя

1 — пластинчатый калорифер, *2* — декоративная решетка, *3* — канал для нагретого воздуха

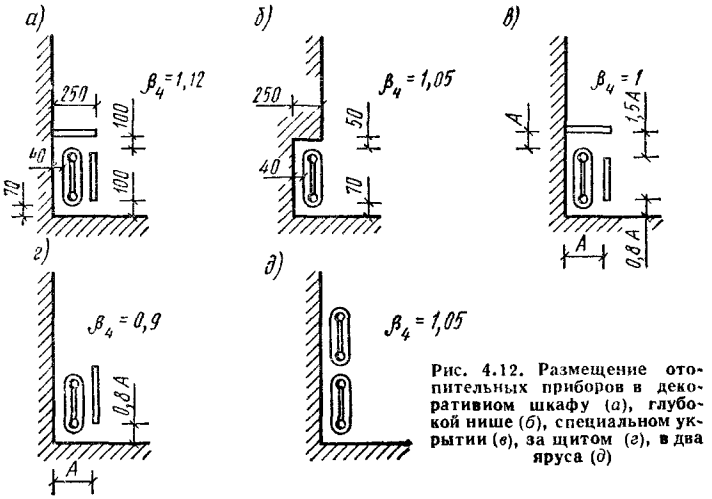

Рис. 4.12. Размещение отопительных приборов в декоративном шкафу (*а*), глубокой нише (*б*), специальном укрытии (*в*), за щитом (*г*), в два яруса (*д*)

ционных воздухонагревателей (рис. 4.11), иногда достаточна установка их только в рабочей зоне помещения.

Правило установки отопительного прибора под окном может не соблюдаться в помещении, периодически посещаемом людьми на короткое время, или если рабочие места людей в нем удалены от наружного ограждения. Это отклонение от правила может допускаться, например, в производственном помещении с широким (более 2 м) проходом у окон, в вестибюле и лестничной клетке гражданского здания, складе и тому подобных помещениях. Указанное пра-

Электронная библиотека http://tgv.khstu.ru/

вило вообще теряет смысл при дежурном отоплении помещения в отсутствии людей.

Особое размещение отопительных приборов требуется в лестничных клетках — вертикальных шахтах снизу доверху здания. Естественное движение воздуха в лестничных клетках в зимний период, усиливающееся с увеличением высоты, способствует теплопереносу в верхнюю их часть и вместе с тем вызывает переохлаждение нижней части, прилегающей к открывающимся наружным дверям. Частота открывания наружных дверей и, следовательно, охлаждение прилегающей части лестницы косвенно связаны с размерами здания, и в многоэтажном здании в большинстве случаев выше, чем в малоэтажном. Очевидно, при равномерном размещении отопительных приборов по высоте будет происходить перегревание средней и верхней частей лестничной клетки и переохлаждение нижней части.

Натурными исследованиями в Москве установлено, что даже при размещении радиаторов на 1/2—2/3 высоты лестничной клетки в многоэтажных зданиях наблюдается существенное недогревание нижней и перегревание средней и иногда верхней (если нет выхода на крышу здания) частей лестниц.

Таким образом, в лестничных клетках целесообразно располагать отопительные приборы в нижней их части, рядом с входными дверями. В многоэтажных зданиях в настоящее время для отопления лестничных клеток применяют высокие конвекторы типа КВ-20 и рециркуляционные воздухонагреватели (см. рис. 4.11). В малоэтажных зданиях обычно используют приборы, выбранные для отопления основных помещений. Их размещают на первом этаже при входе и в крайнем случае переносят часть приборов (до 20% в двухэтажных, до 30% в трехэтажных зданиях) на промежуточную лестничную площадку между первым и вторым этажами.

Установка отопительного прибора во входном тамбуре с наружной дверью нежелательна во избежание замерзания воды в нем или в отводной трубе в том случае, если наружная дверь длительное время остается открытой.

Все отопительные приборы располагают так, чтобы были обеспечены их осмотр, очистка и ремонт. Вместе с тем вертикальные металлические приборы редко устанавливают открыто у глухой стены (положение, принятое при

Электронная библиотека http://tgv.khstu.ru/

лабораторных испытаниях образцов новых приборов). Их размещают под подоконниками, в стенных нишах, специально ограждают или декорируют. Если по технологическим, противопожарным или эстетическим требованиям ограждение или декорирование прибора необходимо, то теплоотдача укрытых приборов по возможности не должна уменьшаться (или уменьшаться не более чем на 10%). Поэтому конструкция укрытия прибора, вызывающая сокращение теплоотдачи излучением, должна способствовать увеличению конвективной теплоотдачи. Например, вертикальный щит, помещенный у поверхности радиатора, превращающий радиатор в конвектор, будет отвечать такому условию.

На рис. 4.12 показано несколько приемов установки отопительных приборов в помещениях. Распространенное укрытие прибора декоративным шкафом, имеющим две щели высотой по 100 мм (рис. 4.12, *а*) теплотехнически нецелесообразно: теплоотдача прибора уменьшается на 12% по сравнению с открытой его установкой у глухой стены. В таком случае для передачи в помещение заданного теплового потока площадь нагревательной поверхности прибора должна быть увеличена на 12% (при расчете это должно быть учтено введением поправочного коэффициента $\beta_4=1{,}12$). Размещение приборов в глубокой открытой нише (рис. 4.12, *б*) или одного над другим в два яруса (рис. 4.12, *д*) уменьшает теплоотдачу на 5% ($\beta_4=1{,}05$).

Возможна, однако, скрытая установка приборов, при которой теплоотдача не изменяется (рис. 4.12, *в*) или даже увеличивается (рис. 4.12, *г*). В этих случаях не требуется увеличивать площадь прибора ($\beta_4=1{,}0$) или можно даже ее уменьшить ($\beta_4=0{,}9$).

§ 4.5. Коэффициент теплопередачи отопительного прибора

Тепловой поток от теплоносителя — воды или пара — передается в помещение через стенку отопительного прибора. Интенсивность теплопередачи характеризуют коэффициентом теплопередачи $k_{пр}$, который выражает плотность теплового потока на внешней поверхности стенки, отнесенного к разности температуры теплоносителя и воздуха, разделенных стенкой. Термин «плотность» в данном случае применяется к тепловому потоку, передаваемому

Электронная библиотека http://tgv.khstu.ru/

через единицу площади **внешней** поверхности отопительного прибора.

Коэффициент теплопередачи прибора $k_{пр}$, Вт/(м²·°С), численно равен величине, обратной сопротивлению $R_{пр}$ теплопередаче от теплоносителя через стенку прибора в помещение:

$$k_{пр} = 1/R_{пр} \tag{4.6}$$

Величина $R_{пр}$ слагается из сопротивления теплообмену $R_в$ на внутренней поверхности стенки прибора, термического сопротивления стенки $R_{ст}$ и сопротивления теплообмену $R_н$ на внешней поверхности прибора $A_{пр}$:

$$R_{пр} = R_в + R_{ст} + R_н. \tag{4 7}$$

Процесс теплопереноса от теплоносителя в помещение осуществляется: от теплоносителя к стенке прибора — конвекцией и теплопроводностью, через стенку — только теплопроводностью, а от стенки в помещение — конвекцией, радиацией и теплопроводностью. В сложном случае теплопередачи основным явлением в большинстве случаев является конвекция.

Коэффициент конвективного теплообмена в слое воздуха (снаружи) значительно меньше, чем в слое воды или пара (внутри прибора), поэтому сопротивление внешнему теплообмену $R_н$ для отопительного прибора сравнительно велико. Следовательно, для увеличения теплового потока необходимо развивать внешнюю поверхность отопительного прибора. В приборах это выполняют созданием специальных выступов, приливов и оребрения. Однако при этом уменьшается коэффициент теплопередачи.

Рассмотрим слагаемые выражения (4.7) применительно к отопительному прибору с несколько развитой площадью внешней поверхности $A_{пр}$ по сравнению с площадью внутренней поверхности $A_в$.

Сопротивление теплообмену на внутренней поверхности, отнесенное к площади внешней поверхности прибора, т. е к расчетному измерителю (отношение площадей равно $A_{пр}/A_в$), составляет

$$R_в = \frac{1}{\alpha_в} \frac{A_{пр}}{A_в}. \tag{4.8}$$

Коэффициент теплообмена на внутренней поверхности прибора $\alpha_в$ изменяется в широких пределах в зависимости

Электронная библиотека http://tgv.khstu.ru/

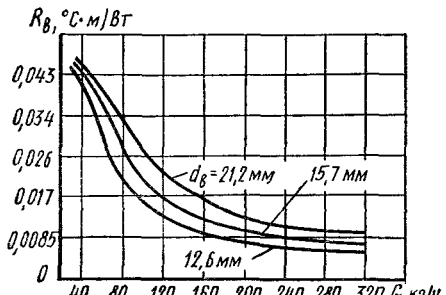

Рис. 4.13. Зависимость сопротивления теплообмену на внутренней поверхности стенки $R_в$ от расхода теплоносителя G и внутреннего диаметра трубы $d_в$

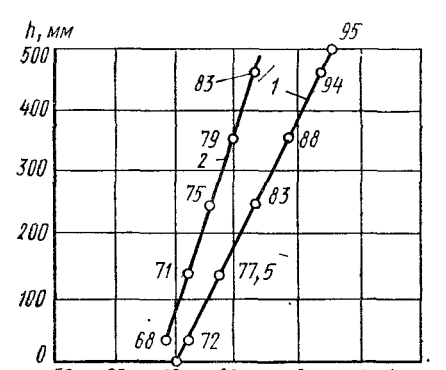

Рис. 4.14. Изменение температуры воды (*1*) и наружной поверхности (*2*) по высоте чугунного секционного радиатора при движении теплоносителя сверху вниз в двухтрубной системе отопления

от вида теплоносителя: наибольших значений он достигает при паре, при воде его значение зависит в основном от скорости движения воды и ее температуры.

Для конвекторов коэффициент теплообмена в прямых гладких трубах малого диаметра на внутренней поверхности стенки определяется прежде всего режимом течения воды. На рис. 4.13 представлена зависимость сопротивления теплообмену от расхода теплоносителя в трубах. Можно установить, что с увеличением расхода воды сопротивление заметно уменьшается (коэффициент внутреннего теплообмена $\alpha_в$ возрастает), а затем при расходе воды более 200 кг/ч остается практически неизменным.

При движении воды в изогнутых трубах (отводах, змеевиках) возникает центробежная сила, вызывающая так называемую вторичную циркуляцию, вследствие чего теплоперенос усиливается. Поэтому значение коэффициента

Электронная библиотека http://tgv.khstu.ru/

внутреннего теплообмена в изогнутых трубах выше, чем в прямых.

На численном примере для чугунного секционного радиатора с отношением $A_{пр}/A_в=1{,}3$ сопоставим значения сопротивлений, входящих в формулу (4.7).

Сопротивление теплообмену на внутренней поверхности стенки радиатора найдем при скорости движения воды около 0,001 м/с (ламинарный режим течения), когда $\alpha_в \approx 60$ Вт/(м²××°С), по формуле (4.8):

$$R_в = \frac{1}{60} 1{,}3 = 0{,}022 \text{ °С·м}^2/\text{Вт}.$$

Термическое сопротивление стенки чугунного и стального отопительного прибора без учета загрязнения, окраски и специального оребрения его внешней поверхности составляет

$$R_{ст} = \frac{\delta_{ст}}{\lambda_{ст}} \frac{A_{пр}}{A_в}. \qquad (4.9)$$

Термическое сопротивление стенки вместе с сопротивлением теплообмену на внутренней поверхности стенки обусловливают снижение температуры наружной поверхности приборов по сравнению с температурой теплоносителя. Из рис. 4.14 видно, что в средней по высоте части чугунного секционного радиатора температура поверхности отличается от температуры теплоносителя не менее чем на 7—8 °С.

Продолжая начатый пример, определим сопротивление стенки чугунного радиатора при ее средней толщине 4 мм. По формуле (4.9)

$$R_{ст} = \frac{0{,}004}{50} 1{,}3 = 0{,}0001 \text{ °С·м}^2/\text{Вт}.$$

Видно, что термическое сопротивление металлической стенки пренебрежимо мало по сравненню с сопротивлением теплообмену на ее поверхности. Этот вывод не относится к бетонному панельному радиатору, где термическое сопротивление слоя бетона заметно увеличивает общее сопротивление теплопередаче прибора. Это сопротивление слоя бетона зависит от нескольких факторов: диаметра греющих труб $d_в$, расстояния между ними — шага труб s, глубины заложения труб в бетон h, теплопроводности массива бетона $\lambda_м$.

Электронная библиотека http://tgv.khstu.ru/

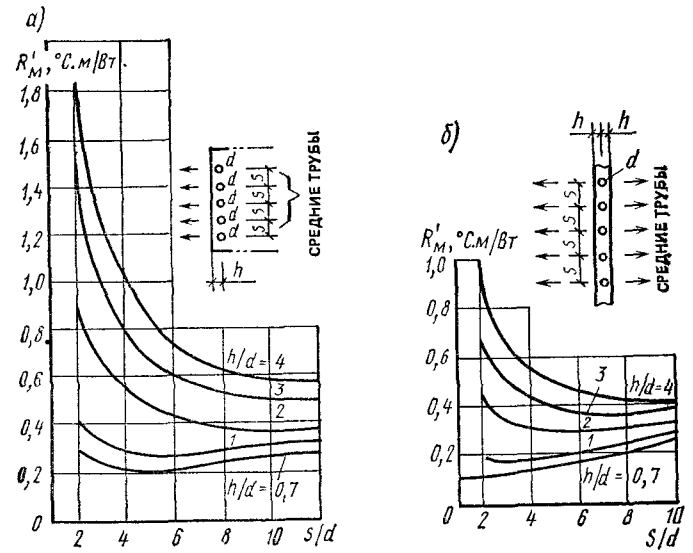

Рис. 4.15. Изменение термического сопротивления массива бетона $R'_м$, °С м/Вт, отнесенного к 1 м средних труб бетонного панельного радиатора [при теплопроводности бетона λ=1,0 Вт/(м·°С)], при односторонней теплоотдаче (*а*) и двусторонней (*б*)

Для бетонных приборов с трубчатыми греющими элементами принято определять термическое сопротивление массива бетона $R'_м$, отнесенное к 1 м трубы, при теплопроводности бетона $\lambda_м$=1,0. На рис. 4.15, *а* и *б* приведены для примера графики для получения $R'_м$, отнесенного к 1 м трубы, расположенной в ряду среди других (средняя труба). В специальной литературе даны также значения $R'_м$, отнесенные к 1 м крайней и одиночной трубы в бетонной панели. Термическое сопротивление массива прибора при теплопроводности бетона, отличающейся от единицы, вычисляют по формуле

$$R_м = \frac{R'_м}{\lambda_м} s, \qquad (4.10)$$

где s — шаг труб, м, численно равный площади наружной поверхности, соответствующей 1 м средней трубы в приборе.

Сопротивление теплообмену на внешней поверхности прибора определяют по формуле

$$R_н = 1/\alpha_н, \qquad (4.11)$$

Электронная библиотека http://tgv.khstu.ru/

где $\alpha_н$ — коэффициент теплообмена на наружной поверхности, который может быть представлен при $t_в = t_R$ [формула (2.11)] в виде суммы коэффициентов конвективного $\alpha_к$ и лучистого $\alpha_л$ теплопереноса, т. е.

$$\alpha_н = \alpha_к + \alpha_л. \qquad (4.12)$$

Теплообмен конвекцией при свободном движении воздуха зависит от разности температуры нагретой поверхности и температуры окружающего воздуха (а также от общей подвижности воздуха в помещении [формула (2.8)].

В нашем примере при свободном движении воздуха ($t_в$=20 °С) у гладкой вертикальной поверхности радиатора и температуре воды $t_{вх}$=95 °С, $t_{вых}$=70 °С:

$$\alpha_к = 1{,}66\,(t_{пов} - t_в)^{0{,}33} = 6{,}6 \text{ Вт/(м}^2\cdot\text{°С)}.$$

Теплоперенос излучением зависит от материала и формы приборов, размеров, температуры и взаимного расположения отопительных приборов и поверхности ограждений помещения [формула (2.6)].

Для чугунного радиатора с гладкой поверхностью, принимая приведенный коэффициент излучения $C_{пр}$=5,1 Вт/(м²·°С) и коэффициент облученности φ=0,5, получим

$$\alpha_л = bC_{пр}\varphi = 1{,}3\cdot 5{,}1\cdot 0{,}5 = 3{,}3 \text{ Вт/(м}^2\cdot\text{°С)}.$$

Коэффициент облученности φ здесь принят равным 0,5, так как для двухколончатых секционных радиаторов характерно, что в помещение попадает около 50% излучения (остальное поглощается близко расположенными, взаимно закрывающими друг друга секциями).

В результате сопротивление теплообмену на внешней поверхности радиатора по формулам (4.11) и (4.12) составит

$$R_н = 1:(6{,}6+3{,}3) = 0{,}1 \text{ °С}\cdot\text{м}^2/\text{Вт}.$$

Сравнивая полученное значение сопротивления со значением сопротивления теплообмену на внутренней поверхности радиатора ($R_в$=0,022), убеждаемся, что $R_н$ примерно в 4,5 раза превышает $R_в$. Несмотря на приблизительность проделанных расчетов (расчеты проделаны для плоской стенки), можно установить, что значение коэффициента теплопередачи $k_{пр}$ [формулы (4.6) и (4.7)] для металлических отопительных приборов с **гладкой** поверхностью определяется в основном значением коэффициента теплообмена на их внешней поверхности $\alpha_н$. У неметаллических приборов $k_{пр}$ зависит также от теплопроводности мате-

Электронная библиотека http://tgv.khstu.ru/

риала стенок и степени неравномерности температуры их поверхности.

Для металлических отопительных приборов со специально **оребренной** внешней поверхностью — конвекторов, ребристых труб — доля теплоотдачи излучением составляет всего 5—10% общего теплового потока, попадающего в помещение. Поэтому значение коэффициента теплообмена на внешней поверхности $\alpha_н$ таких отопительных приборов, а вслед за ним и значение коэффициента теплопередачи $k_{пр}$ будут всегда существенно ниже значений аналогичных коэффициентов для приборов с гладкой поверхностью.

Для примера приведем средние значения коэффициента теплообмена на внешней поверхности $\alpha_н$, Вт/(м²·°С), в расчетных температурных условиях действия систем водяного отопления:

для вертикальных бетонных панельных ридиаторов	11,5
» чугунных секционных радиаторов	10
» конвекторов с кожухом	7

Итак, величина теплового потока от теплоносителя в вертикальных отопительных приборах в помещение определяется в основном интенсивностью теплообмена на внешней их поверхности и прежде всего теплообмена **конвективного**. Этим объясняется, что значения коэффициента теплопередачи отопительных приборов относят к единице площади внешней их поверхности и к разности температуры теплоносителя $t_т$ и температуры окружающего воздуха $t_в$ (а не температуры помещения $t_п$).

Коэффициент теплопередачи каждого вновь разрабатываемого отопительного прибора не рассчитывают аналитически, а устанавливают опытным путем без разделения теплового потока на части, выражающие теплопередачу конвекцией и излучением. Так поступают, зная о наличии многих факторов, влияющих на коэффициент $k_{пр}$ прямо или косвенно и затрудняющих точное его вычисление расчетным путем. Рассмотрим эти факторы, разделив их на основные, определяющие величину $k_{пр}$, и второстепенные, влияющие на его величину в сравнительно узких пределах.

Основными факторами, определяющими величину $k_{пр}$, являются: 1) вид и конструктивные особенности, приданные типу прибора при его разработке; 2) температурный напор при эксплуатации прибора.

Электронная библиотека http://tgv.khstu.ru/

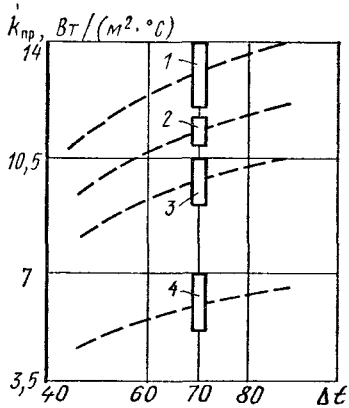

Рис. 4.16. Области значений коэффициента теплопередачи отопительных приборов при $\Delta t_{ср}$=70 °С

1 — гладкотрубных приборов; *2* — радиаторов панельных; *3* — радиаторов секционных; *4* — конвекторов, ребристых труб

Вид отопительного прибора позволяет заранее судить о возможной величине коэффициента теплопередачи. На рис. 4.16 для основных видов приборов показаны области значений коэффициента теплопередачи при одних и тех же температурных условиях ($t_т$—$t_в$=70 °С). Как видим, для гладкотрубных приборов характерны сравнительно высокие, для секционных радиаторов — средние, для конвекторов и ребристых труб — низкие значения коэффициента теплопередачи.

В пределах каждой области значение коэффициента теплопередачи $k_{пр}$ изменяется в зависимости от **конструктивных особенностей** прибора того или иного типа следующим образом.

Для гладкотрубных приборов $k_{пр}$ уменьшается при увеличении диаметра и числа параллельных труб. Это объясняется уменьшением интенсивности конвективного теплообмена на поверхности верхней части прибора, омываемой воздухом, подогревшимся внизу. Кроме того, взаимным экранированием поверхностей труб, расположенных близко друг к другу, вследствие чего в помещение попадает только часть излучения.

Для бетонных отопительных панелей $k_{пр}$ зависит от их положения (горизонтального или вертикального) в помещении и уменьшается по мере увеличения высоты и длины приборов.

Уменьшение $k_{пр}$ ребристых труб по сравнению с гладкостенными приборами объясняется падением температуры

Электронная библиотека http://tgv.khstu.ru/

поверхности по длине ребра и взаимным экранированием поверхности смежных ребер, обращенных друг к другу. Коэффициент теплопередачи уменьшается также с увеличением числа ребристых труб, помещенных одна над другой (как и для гладких труб).

У секционных радиаторов по тем же причинам на величину $k_{пр}$ влияют форма и число колонок в секции, расстояние между смежными секциями, глубина и высота секции (чем выше секция, тем ниже $k_{пр}$), а также число секций.

У конвекторов $k_{пр}$ зависит также от толщины, высоты и шага ребер нагревателя. Наибольшее значение $k_{пр}$ получено, например, при расстоянии около 6 мм между ребрами размерами 50×100 мм.

Вторым основным фактором, определяющим величину $k_{пр}$ в эксплуатационных условиях, является **температурный напор** Δt, т. е. разность температуры теплоносителя $t_т$ и температуры окружающего прибор воздуха $t_в$:

$$\Delta t = t_т - t_в. \tag{4.13}$$

При этом наибольшему температурному напору соответствует наивысшее значение коэффициента теплопередачи (пунктирные линии на рис. 4.16).

Температуру теплоносителя воды принято вычислять при экспериментах как среднеарифметическую между температурой воды, входящей и выходящей из прибора, т. е. $t_т = t_{ср}$, хотя в действительности средняя температура воды в приборе ниже среднеарифметической. Поэтому температурный напор, вычисляемый при среднеарифметическом значении температуры воды, т. е. $\Delta t_{ср} = t_{ср} - t_в$, является относительной расчетной величиной, принимаемой при испытаниях, а затем и при определении необходимой площади нагревательной поверхности конкретного прибора.

Результаты экспериментов по определению коэффициента теплопередачи для каждого нового отопительного прибора обрабатывают в виде эмпирических зависимостей:

для теплоносителя — пара

$$k_{пр} = m\,\Delta t_н^n; \tag{4.14}$$

для теплоносителя — воды

$$k_{пр} = m\,\Delta t_{ср}^n \overline{G}^p, \tag{4.15}$$

где m, n, p — экспериментальные числовые показатели, выражающие влияние конструктивных и гидравлических особенностей при-

Электронная библиотека http://tgv.khstu.ru/

бора на его коэффициент теплопередачи; $\Delta t_н$ — разность температуры при теплоносителе паре, принимаемая в соответствии с формулой (4.13), исходя из температуры насыщенного пара $t_{нас}$ в приборе:

$$\Delta t_н = t_{нас} - t_в; \qquad (4.16)$$

$\Delta t_{ср}$ — разность температуры при теплоносителе воде, принимаемая, как сказано выше, исходя из температуры воды, входящей $t_{вх}$ и выходящей $t_{вых}$ из прибора

$$\Delta t_{ср} = t_{ср} - t_в = 0{,}5\,(t_{вх} + t_{вых}) - t_в; \qquad (4.17)$$

$\bar{G}$ — относительный расход воды в приборе, связывающий изменение коэффициента теплопередачи с гидравлическим режимом в приборе и степенью равномерности температурного поля на внешней поверхности прибора.

Относительный расход воды — это отношение действительного расхода воды в конкретном приборе к номинальному расходу, принятому при тепловых испытаниях образцов приборов. При испытании образцов приборов за такой расход принят расход воды 360 кг/ч (0,1 кг/с), поэтому

$$\bar{G} = G_{пр}/360^*. \qquad (4.18)$$

Получаемые значения коэффициента теплопередачи при $t_т - t_в = 70$ °С, расходе воды 360* кг/ч (0,1 кг/с) и расчетном атмосферном давлении 1013,3 гПа называют **номинальными**. Для секционного радиатора, например, номинальный коэффициент теплопередачи равен 10,9 Вт/(м²·°С).

Среди *второстепенных факторов*, влияющих на коэффициент теплопередачи приборов систем водяного отопления, прежде всего укажем на **расход воды** $G_{пр}$, включенный в формулу (4.15). В зависимости от расхода воды изменяются скорость движения w и режим течения воды в приборе, т. е. условия теплообмена на его внутренней поверхности. Кроме того, изменяется равномерность температурного поля на внешней поверхности прибора.

На равномерность температурного поля на внешней поверхности отопительных приборов отражается также направление движения воды внутри прибора, связанное с местами ее подвода и отведения, т. е. **способ соединения приборов с теплопроводами**.

---

* Ранее испытания каждого вида приборов проводились при различном номинальном расходе воды (например, для радиаторов был принят расход 17,4 кг/(ч·м²), для конвекторов — 300 кг/ч).

Электронная библиотека http://tgv.khstu.ru/

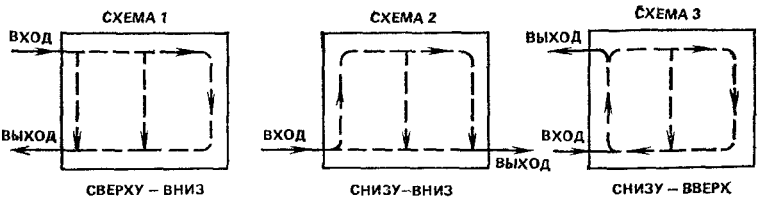

Рис. 4.17. Основные схемы присоединения радиаторов к теплопроводам систем водяного отопления

Способ соединения приборов или их нагревательных элементов с трубами, изменяющий условия подачи, растекания, внутренней циркуляции, слияния и отведения потоков теплоносителя, называют **схемой присоединения.**

Все схемы присоединения приборов к трубам систем отопления разделены на три группы. Радиаторы чугунные секционные и стальные панельные выделены в первую группу, конвекторы с кожухом — в третью, остальные приборы с трубчатыми нагревательными элементами отнесены ко второй группе.

На рис. 4.17 представлены три основные схемы присоединения секционных и панельных радиаторов. Наиболее равномерной и высокой температура поверхности радиаторов получается при схеме присоединения сверху—вниз (схема 1), когда нагретая вода подводится к верхней пробке радиатора, а охлажденная вода отводится от нижней пробки. Поэтому значение коэффициента теплопередачи будет в этом случае всегда выше, чем при движении воды снизу—вниз (схема 2) и особенно снизу—вверх (схема 3 на рис. 4.17).

Для схем присоединения конвекторов без кожуха, ребристых и гладких труб характерны параллельное и последовательное по движению воды соединение отдельных нагревательных элементов при расположении их в один—четыре яруса по высоте и в один—два ряда по глубине *. Две из них показаны на рис. 4.5 — с последовательным соединением (рис. 4.5, *а*) и с попарным параллельно-последовательным соединением нагревательных элементов (рис. 4.5, *б*) при расположении их в четыре яруса.

* См. Справочник проектировщика «Внутренние санитарно-технические устройства». Ч. 1. Отопление / Под ред. И. Г. Староверова и Ю. И. Шиллера.— 4-е изд.— М.: Стройиздат, 1990.

Электронная библиотека http://tgv.khstu.ru/

В схемах присоединения для конвекторов с кожухом возможны горизонтальное и вертикальное расположение труб нагревателя, а также последовательное и параллельное движение воды по трубам. На рис. 4.6, *а* показан, например, нагреватель с горизонтально расположенными трубами в конвекторе «Комфорт-20». В конвекторе «Универсал-20» малой глубины (100 мм) трубы в нагревателе помещены по вертикали, что вызывает понижение номинального коэффициента теплопередачи до 5,1 Вт/(м²·°С). В конвекторе «Универсал-С» средней глубины (160 мм) греющие трубы расположены по две в горизонтальной и вертикальной плоскостях, что приводит к дальнейшему уменьшению значения номинального коэффициента теплопередачи до 4,93 Вт/(м²·°С).

На коэффициент теплопередачи влияют также следующие второстепенные факторы:

а) скорость движения воздуха v у внешней поверхности прибора. При установке прибора у внутреннего ограждения $k_{пр}$ повышается за счет усиления циркуляции воздуха в помещении (см. рис. 4.9, *в*); $k_{пр}$ также повышается при увеличении высоты кожуха конвекторов;

б) конструкция ограждения прибора. Коэффициент теплопередачи уменьшается при переносе свободно установленного прибора в нишу стены (см. рис. 4.12, *б*); декоративное ограждение прибора, выполненное без учета теплотехнических требований, может значительно уменьшить $k_{пр}$ (см. рис. 4.12, *а*);

в) расчетное значение атмосферного давления, установленное для места расположения здания. При пониженном давлении по сравнению с номинальным (1013,3 гПа) коэффициент теплопередачи также понижается вследствие уменьшения плотности воздуха; так, при расчетном давлении 970 гПа поправочный коэффициент к $k_{пр}$ составит 0,98;

г) окраска прибора. Состав и цвет краски могут несколько изменять коэффициент теплопередачи. Краски, обладающие высокой излучательной способностью, увеличивают теплоотдачу прибора и наоборот. Например, окраска цинковыми белилами повышает теплопередачу чугунного секционного радиатора на 2,2%, нанесение алюминиевой краски, растворенной в нитролаке, уменьшает ее на 8,5%. Влияние окраски связано также с конструкцией прибора. Нанесение алюминиевой краски на

Электронная библиотека http://tgv.khstu.ru/

поверхность панельного радиатора — прибора с повышенным излучением — снижает теплопередачу на 13%. Окраска конвекторов и ребристых труб незначительно влияет на их теплопередачу.

На значении коэффициента теплопередачи сказываются также качество обработки внешней поверхности, загрязненность внутренней поверхности, наличие воздуха в приборах и другие эксплуатационные факторы.

§ 4.6. Плотность теплового потока отопительного прибора

В зависимости от значения коэффициента теплопередачи и размеров отопительного прибора изменяется его общий тепловой поток. Величина общего теплового потока обусловлена его поверхностной плотностью, т. е. значением удельного теплового потока, передаваемого от теплоносителя через 1 м² площади прибора в окружающую среду.

Формулы для определения **поверхностной плотности теплового потока** $q_{пр}$, Вт/м², передаваемого через 1 м² площади отопительных приборов, напишем в виде произведения коэффициента теплопередачи на разность температуры, используя уравнения (4.14) и (4.15).

При теплоносителе паре

$$q_{пр}=k_{пр}\Delta t_{н}=(m\,\Delta t_{н}^{n})\,\Delta t_{н}=m\,\Delta t_{н}^{1+n}; \qquad (4.19)$$

при теплоносителе воде

$$q_{пр}=k_{пр}\Delta t_{ср}=(m\,\Delta t_{ср}^{n}\overline{G}^{p})\,\Delta t_{ср}=m\,\Delta t_{ср}^{1+n}\overline{G}^{p}. \qquad (4\ 20)$$

В формуле (4.20) разность температуры $\Delta t_{ср}=t_{ср}-t_{в}$. Выведем формулу для определения $t_{ср}$ в **однотрубных системах водяного отопления**, когда при последовательно соединенных приборах обычно известна температура воды, входящей в прибор $t_{вх}$, а температура воды, выходящей из него, $t_{вых}$, зависит от расхода воды в приборе $G_{пр}$. Отнимая от температуры $t_{вх}$ половину $\Delta t_{пр}$ (понижение температуры воды в приборе) и выражая $\Delta t_{пр}$ через тепловую мощность $Q_{пр}$ и расход воды $G_{пр}$, получим

$$t_{ср}=t_{вх}-0{,}5\,\Delta t_{пр}=t_{вх}-\frac{0{,}5Q_{пр}\beta_1\beta_2}{cG_{пр}}, \qquad (4.21)$$

Электронная библиотека http://tgv.khstu.ru/

где $Q_{пр}$ — тепловая мощность отопительного прибора; β_1 — поправочный коэффициент, учитывающий теплопередачу через дополнительную площадь (сверх расчетной) приборов, принятых к установке; для радиаторов и конвекторов $\beta_1=1{,}03—1{,}08$; для ребристых труб $\beta_1=1{,}13$; β_2 — поправочный коэффициент, учитывающий дополнительные теплопотери вследствие размещения отопительных приборов у наружных ограждений (см. § 4.1); при установке у наружной стены секционного радиатора или конвектора типов КН и КО — $\beta_2=1{,}02$, конвектора КА — 1,03, панельного радиатора — 1,04.

Если $G_{пр}$ выражен в кг/ч, то в числитель в формуле (4.21) вводят множитель 3,6 для перевода Вт в кДж/ч [при удельной массовой теплоемкости воды $c=4{,}187$ кДж/(кг××°С)].

В **двухтрубных системах водяного отопления** за температуру воды, входящей в каждый прибор, принимают начальную температуру горячей воды в системе $t_г$, за температуру воды, выходящей из каждого прибора,— конечную температуру охлажденной воды в системе $t_о$. Тогда средняя температура воды в приборах [исходя из формулы (4.17)]:

$$t_{ср}=0{,}5\,(t_{вх}+t_{вых})=0{,}5\,(t_г+t_о), \qquad (4.22)$$

где $t_г$ — расчетная (соответствующая температуре наружного воздуха, расчетной для отопления в данной местности) температура горячей воды, поступающей в систему отопления; $t_о$ — расчетная температура охлажденной (обратной, как ее часто называют) воды, уходящей из системы.

Плотность теплового потока приборов, включающая в себя коэффициент теплопередачи, зависит от тех же основных и второстепенных факторов, как и коэффициент теплопередачи. Поэтому на практике для упрощения расчетов определяют сразу с учетом всех факторов плотность теплового потока прибора $q_{пр}$ по формуле (4.19) или (4.20), не вычисляя коэффициента теплопередачи.

Значения плотности теплового потока позволяют сравнивать приборы и судить о теплотехнической эффективности того или иного типа отопительных приборов. Для этого при тепловых испытаниях устанавливают так называемую номинальную плотность теплового потока $q_{ном}$. Исходя из $q_{ном}$ для каждой марки или секции прибора определяют в зависимости от их площади **номинальный тепловой поток** $Q_{ном}$, кВт, как показатель для планирования и учета объема производства приборов.

Электронная библиотека http://tgv.khstu.ru/

Номинальную плотность теплового потока $q_{ном}$, Вт/м², получают для стандартных условий работы прибора в системе водяного отопления, когда средняя разность температуры, как уже известно, $\Delta t_{ср}=70$ °С и расход теплоносителя воды в приборе составляет 360 кг/ч (0,1 кг/с).

В этих стандартных условиях относительный расход воды в приборе $\bar{G}=1,0$ по формуле (4.18). Стандартная разность температуры при теплоносителе воде, выбранная за расчетную для сравнения теплотехнических показателей отопительных приборов, установлена по формуле (4.17):

$$\Delta t_{ср}=0,5\,(105+70)-18=69,5\approx 70\ °С,$$

когда температура входящей в прибор воды $t_{вх}=105$ °С, выходящей $t_{вых}=70$ °С и температура воздуха в помещении $t_{в}=18$ °С.

Приведем значения номинальной плотности теплового потока $q_{ном}$, Вт/м², некоторых типов отопительных приборов (по данным НИИ санитарной техники):

для радиаторов чугунных секционных типа МС-90-108	790
» » стальных панельных типа РСВ . . .	730
» » чугунных секционных типа М-140А0 .	595
» конвекторов с кожухом типа «Универсал-20» . .	357
» чугунных ребристых труб	388

Видно значительное теплотехническое преимущество радиаторов по сравнению с конвекторами.

Если известен номинальный тепловой поток прибора (с учетом схемы его присоединения к трубам), то расчетная плотность теплового потока $q_{пр}$, Вт/м², в конкретных условиях работы его в системе отопления составит:

для теплоносителя пара при заданной разности температуры $\Delta t_{н}$

$$q_{пр}=q_{ном}\left(\frac{\Delta t_{н}}{70}\right)^{1+n}; \qquad (4.23)$$

для теплоносителя воды при заданных разности температуры $\Delta t_{ср}$ и расходе воды $G_{пр}$

$$q_{пр}=q_{ном}\left(\frac{\Delta t_{ср}}{70}\right)^{1+n}\left(\frac{G_{пр}}{360}\right)^{p}. \qquad (4\,24)$$

Значения экспериментальных числовых показателей n и p приведены в справочной литературе (см. сноску на стр. 154).

Электронная библиотека http://tgv.khstu.ru/

§ 4.7. Тепловой расчет отопительных приборов

Тепловой расчет приборов заключается в определении площади внешней нагревательной поверхности каждого прибора, обеспечивающей необходимый тепловой поток от теплоносителя в помещение. Расчет проводится при температуре теплоносителя, устанавливаемой для условий выбора тепловой мощности приборов. Для теплоносителя пара это — температура насыщенного пара при заданном его давлении в приборе. Для теплоносителя воды это — максимальная средняя температура воды в приборе, связанная с ее расходом.

Тепловая мощность прибора, т. е. его расчетная теплоотдача $Q_{пр}$, определяется, как известно, теплопотребностью помещения за вычетом теплоотдачи теплопроводов, проложенных в этом помещении. Площадь теплоотдающей поверхности зависит от принятого вида прибора, его расположения в помещении и схемы присоединения к трубам. Эти факторы отражаются на значении поверхностной плотности теплового потока прибора.

Если поверхностная плотность теплового потока прибора $q_{пр}$, Вт/м² (см. § 4.6), известна, то теплоотдача отопительного прибора $Q_{пр}$, Вт, должна быть пропорциональна площади его нагревательной поверхности

$$Q_{пр} = q_{пр} A_{р}. \tag{4.25}$$

Отсюда расчетная площадь $A_{р}$, м², отопительного прибора независимо от вида теплоносителя

$$A_{р} = Q_{пр}/q_{пр}, \tag{4.26}$$

где $Q_{пр}$ — требуемая теплоотдача прибора в рассматриваемое помещение, определяемая в соответствии с формулой (4.1):

$$Q_{пр} = Q_{п} - \beta_{тр} Q_{гр}; \tag{4.27}$$

$Q_{п}$ — теплопотребность помещения, Вт; $Q_{тр}$ — суммарная теплоотдача проложенных в пределах помещения нагретых труб стояка (ветви) и подводок, к которым непосредственно присоединен прибор, а также транзитного теплопровода, если он имеется в помещении; $\beta_{гр}$ — поправочный коэффициент, учитывающий долю теплоотдачи теплопроводов, полезную для поддержания заданной температуры воздуха в помещении; $\beta_{тр}$ составляет при прокладке труб: открытой — 0,9, скрытой в глухой борозде стены — 0,5, замоноличенной в тяжелый бетон — 1,8 (возрастание теплоотдачи объясняется увеличением площади теплоотдающей поверхности).

Электронная библиотека http://tgv.khstu.ru/

Суммарную теплоотдачу теплопроводов $Q_{тр}$, Вт, находят по формуле

$$Q_{тр}=\Sigma k_{гр}\pi d_{н} l\,(t_{т}-t_{в}), \qquad (4.28)$$

где $k_{тр}$, $d_{н}$, l — коэффициент теплопередачи, Вт/(м²·°С), наружный диаметр, м, и длина, м, отдельных теплопроводов; $t_{т}$ и $t_{в}$ — температура теплоносителя (индекс «т») и воздуха («в») в помещении, °С.

Теплоотдачу теплопроводов можно определить приближенно по формуле

$$Q_{тр}=q_{в}l_{в}+q_{г}l_{г} \qquad (4.29)$$

с использованием таблиц в справочной литературе (см. сноску на стр. 154), где даны значения $q_{в}$ и $q_{г}$ — теплоотдачи 1 м вертикально и горизонтально проложенных труб, Вт/м, исходя из их диаметра и разности температуры $(t_{т}-t_{в})$; $l_{в}$ и $l_{г}$ — длина вертикальных и горизонтальных теплопроводов в пределах помещения, м.

Ранее в СССР вычисления по формуле (4.26) и измерение теплоотдающей поверхности всех отопительных приборов проводились в условных единицах площади — эквивалентных квадратных метрах (экм). **Эквивалентным квадратным метром** считали площадь нагревательной поверхности прибора с теплоотдачей 506 Вт (435 ккал/ч) при разности средней температуры теплоносителя и воздуха $(t_{т}-t_{в})=64{,}5$ °С и относительном расходе теплоносителя воды в приборе $\overline{G}=1{,}0$. Отопительным приборам, имеющим коэффициент теплопередачи выше, чем коэффициент теплопередачи эталонного радиатора (ранее выпускавшегося секционного радиатора типа Н-136), т. е. гладкотрубным приборам и панельным радиаторам, присваивалось измерение площади в экм, превышающих по величине их физическую площадь в м². Напротив, площадь теплотехнически малоэффективных приборов (конвекторов, ребристых труб) измерялась в экм, меньших по величине, чем их площадь в м². Двойное измерение площади отопительных приборов — в условных экм и физических м² — заменено в 1984 г. измерением площади нагревательной поверхности только в квадратных метрах.

После определения расчетной площади нагревательной поверхности прибора по каталогу приборов подбирается ближайший торговый размер прибора (число секций или марка панельного радиатора, длина конвектора, ребристой или гладкой трубы). При этом фактическая площадь при-

Электронная библиотека http://tgv.khstu.ru/

нятого к установке прибора получается, как правило, больше расчетной [это заранее учитывается в теплоотдаче прибора и расходе теплоносителя введением среднестатистического повышающего коэффициента β_1 — см. формулу (4.21)].

Длина чугунных секционных радиаторов зависит от числа секций, составляющих приборы.

Число секций чугунных радиаторов определяют по формуле

$$N=\frac{A_p}{a_1}\frac{\beta_4}{\beta_3}, \qquad (4.30)$$

где a_1 — площадь одной секции, м², типа радиатора, принятого к установке в помещении; β_4 — поправочный коэффициент, учитывающий способ установки радиатора в помещении (см. § 4.4 и рис. 4.12); при открытой установке $\beta_4=1{,}0$; при установке с декоративной решеткой следует обеспечивать $\beta_4 \leqslant 1{,}10$; β_3 — поправочный коэффициент, учитывающий число секций в одном радиаторе ($\beta_3=1{,}0$ при $A_p=2{,}0$ м²); для радиаторов типа М-140 вычисляется по формуле

$$\beta_3=0{,}97+\frac{0{,}06}{A_p}. \qquad (4.31)$$

Чугунные радиаторы проходят тепловые испытания при площади прибора около 2,0 м², т. е. в составе семи — восьми секций, поэтому полученное значение коэффициента теплопередачи справедливо только для радиаторов именно таких размеров. При меньшем числе секций коэффициент теплопередачи относительно повышается благодаря влиянию усиленного теплового потока крайних секций, торцы которых свободны для теплообмена излучением с помещением, поэтому размеры радиатора могут быть несколько сокращены. При большем числе секций влияние крайних секций на коэффициент теплопередачи уменьшается, и размеры радиатора должны быть несколько увеличены.

Для типов радиаторов с площадью одной секции 0,25 м² (в том числе для эталонного радиатора) коэффициент β_3 определяют по формуле

$$\beta_3=0{,}92+\frac{0{,}16}{A_p}. \qquad (4.32)$$

Расчетное число секций по формуле (4.30) редко получается целым. При выборе целого числа секций радиатора допускают уменьшение расчетной площади A_p не более чем на 5% (но не более чем на 0,1 м²). Так поступают с

Электронная библиотека http://tgv.khstu.ru/

целью ограничения отклонения от расчетной температуры в помещении (обычно приемлемо понижение на 1 °С в гражданских и на 2 °С в производственных зданиях). Поэтому, как правило, к установке принимают ближайшее большее число секций.

Если в наружной стене имеется подоконная ниша, то длина радиатора должна быть меньше длины ниши по крайней мере на 400 мм при прямой подводке труб (600 мм — при подводке с уткой); лишние секции выделяют в самостоятельный радиатор.

Длина стальных панельных радиаторов определяется размерами выпускаемых марок, а не получается в результате набора стандартных элементов как при расчете секционных радиаторов. Для увеличения площади прибора, если это необходимо, отдельные марки панельных радиаторов могут объединяться в блоки, включающие две параллельно расположенные панели.

Если к установке предназначен панельный радиатор типа РСВ или РСГ определенной площади a_1, м², то число таких радиаторов, размещаемых в помещении открыто,

$$N = A_p/a_1. \qquad (4.33)$$

При применении двухрядных блоков их расчетную площадь A_p увеличивают, принимая соответственно пониженный коэффициент теплопередачи по сравнению с коэффициентом для однорядной установки раднатора.

Длина конвекторов с кожухом также определяется размерами выпускаемых полностью готовых приборов. Например, напольные конвекторы типа «Ритм» выпускаются с длиной кожуха 1000 и 1500 мм. Настенные конвекторы типов «Комфорт-20» и «Универсал-20» различных марок отличаются по длине одна от другой на 100 мм (типа «Универсал-С» — на 50 мм).

Число элементов конвекторов без кожуха или ребристых труб в ярусе по вертикали и в ряду по горизонтали определяют по формуле

$$N = A_p/na_1, \qquad (4.34)$$

где n — число ярусов и рядов элемеитов, составляющих прибор; a_1 — площадь одиого элемеита коивектора или одиой ребристой трубы принятой длииы, м².

Предполагаемое число ярусов и рядов элементов, а также схему соединения их между собой следует заранее

Электронная библиотека http://tgv.khstu.ru/

учитывать при определении расчетной площади прибора (с последующей проверкой).

Длина греющей трубы в ярусе или в ряду **гладкотрубного прибора** составит

$$l=\frac{A_p\beta_4}{na_l}, \qquad (4.35)$$

где β_4 — поправочный коэффициент, учитывающий наличие декоративного укрытия труб [см. пояснение к формуле (4,30)]; n — число ярусов или рядов греющих труб, составляющих прибор; a_l — площадь 1 м открытой горизонтальной трубы принятого диаметра, м²/м.

При округлении дробного расчетного числа элементов или приборов до целого числа допустимо, как и для радиаторов, уменьшать A_p не более чем на 5% (но не более чем на 0,1 м²).

Пример 4.1. Определим число секций чугунного радиатора типа М-140А, устанавливаемого на верхнем этаже у наружной стены без ниши под подоконником (на расстоянии от него 40 мм) в помещении высотой 2,7 м при $Q_п=1410$ Вт и $t_в=18$ °С, если радиатор присоединяется к однотрубному проточно-регулируемому стояку $D_у$ 20 (с краном КРТ на подводке длиной 0,4 м) системы водяного отопления с верхней разводкой при $t_г=105$ °С, $G_{ст}=300$ кг/ч. Вода в подающей магистрали охлаждается до рассматриваемого стояка на 2 °С.

Средняя температура воды в приборе по формуле (4,21)

$$t_{ср}=(105-2)-\frac{0,5\cdot1410\cdot1,06\cdot1,02\cdot3,6}{4,187\cdot300}=100,8\text{ °С}.$$

Плотность теплового потока радиатора при $\Delta t_{ср}=100,8-18=82,8$ °С (изменение расхода воды в радиаторе от 360 до 300 кг/ч практически не влияет на $q_{пр}$) по формуле (4,24)

$$q_{пр}=650\left(\frac{82,8}{70}\right)^{1,3}=809\text{ Вт/м}^2.$$

Теплоотдача вертикальных ($l_в=2,7-0,5=2,2$ м) и горизонтальных ($l_г=0,8$ м) труб $D_у$ 20 по формуле (4,29)

$$Q_{тр}=93\cdot2,2+115\cdot0,8=296\text{ Вт}.$$

Расчетная площадь радиатора по формулам (4,26) и (4,27)

$$A_p=\frac{1410-0,9\cdot296}{809}=1,41\text{ м}^2.$$

Расчетное число секций радиатора М-140А по формуле (4,30) при площади одной секции 0,254 м²

$$N=\frac{1,41}{0,254}\frac{1,05}{1,01}=5,8\text{ секции},$$

* Здесь и далее использованы данные Справочника проектировщика (см. сноску на стр. 154).

Электронная библиотека http://tgv.khstu.ru/

где $\beta_4=1,05$ (по Справочнику проектировщика *); $\beta_3=0,97+0,06:1,41=1,01$ по формуле (4.31).

Принимаем к установке 6 секций.

Пример 4.2. Определим марку открыто устанавливаемого настенного конвектора с кожухом типа КН-20к «Универсал-20» малой глубины по условиям примера 4.1 (однотрубный стояк — проточный, т. е. без краиа КРТ).

Средняя температура воды в приборе по формуле (4.21)

$$t_{ср}=(105-2)-\frac{0,5\cdot 1410\cdot 1,04\cdot 1,02\cdot 3,6}{4,187\cdot 300}=100,9\ °C.$$

Номинальная плотность теплового потока для конвектора «Универсал-20» составляет 357 Вт/м² (см. § 4.6). В нашем случае $\Delta t_{ср}=100,9-18=82,9$ °С (больше 70 °С) и $G_{пр}=300$ кг/ч (меньше 360 кг/ч). Поэтому пересчитываем значение плотности теплового потока конвектора по формуле (4.24)

$$q_{пр}=357\left(\frac{82,9}{70}\right)^{1,3}\left(\frac{300}{360}\right)^{0,07}=439\ Вт/м^2.$$

Теплоотдача вертикальиых ($l_в=2,7$ м) и горизонтальных ($l_г=0,8$ м) труб $D_у$ 20 по формуле (4.29)

$$Q_{тр}=93\cdot 2,7+115\cdot 0,8=343\ Вт.$$

Расчетная площадь конвектора по формулам (4.26) и (4.27)

$$A_р=\frac{1410-0,9\cdot 343}{439}=2,51\ м^2.$$

Принимаем к устаиовке один концевой конвектор «Универсал-20» с кожухом малой глубины марки КН 20—0,918 К площадью 2,57 м² (длина кожуха 845 мм, монтажный номер У5).

Пример 4.3. Определим длину и число чугуниых ребристых труб, устанавливаемых открыто в два яруса, в системе парового отопления, если избыточное давление пара в приборе 0,02 МПа, $t_в=15$ °С, $Q_п=6500$ Вт, $Q_{тр}=350$ Вт, коэффициент теплопередачи ребристых труб $k_{пр}=5,8$ Вт/(м²·°С).

Разность температуры по формуле (4.16)

$$\Delta t_н=104,25-15=89,25\ °C,$$

где $t_{нас}=104,25$ °С по табл. в Справочнике проектировщика.

Плотность теплового потока прибора получим при коэффициенте теплопередачи чугунных ребристых труб, установленных одна над другой, $k_{пр}=5,8$ Вт/(м²·°С):

$$q_{пр}=k_{пр}\Delta t_н=5,8\cdot 89,25=518\ Вт/м^2.$$

Расчетная площадь прибора из ребристых труб по формуле (4.26)

$$A_р=\frac{6500-0,9\cdot 350}{518}=11,9\ м^2.$$

Число ребристых труб в одном ярусе, задаваясь длиной выпускаемых труб 1,5 м, имеющих площадь нагревательной поверх-

Электронная библиотека http://tgv.khstu.ru/

ности 3,0 м², получим по формуле (4.34)

$$N = \frac{11,9}{2 \cdot 3,0} = 2 \text{ шт.}$$

Принимаем к установке в каждом ярусе по две последовательно соединенных чугунных ребристых трубы длиной 1,5 м. Общая площадь нагревательной поверхности прибора из четырех ребристых труб

$$A_{пр} = 3,0 \cdot 2 \cdot 2 = 12,0 \text{ м}^2.$$

§ 4.8. Тепловой расчет отопительных приборов с помощью ЭВМ

Применение электронных вычислительных машин (ЭВМ) наряду с возможностью точного решения сложных задач обеспечивает снижение трудоемкости и сокращение сроков проектирования.

В примерах теплового расчета отопительных приборов (см. § 4.7) полученное расчетное значение площади изменялось при выборе устанавливаемого прибора в соответствии с номенклатурой выпускаемых промышленностью приборов. Изменение (как правило, увеличение) площади приводит при работе системы отопления к изменению теплоотдачи прибора. При этом изменяется и температура теплоносителя — воды, выходящего из прибора. При расчете вручную изменение температуры учитывается обобщенно путем введения поправочного коэффициента β_1 [см. формулу (4.21)] к расходу воды. При расчете с помощью ЭВМ можно более точно учитывать изменение температуры теплоносителя.

Уточненные расчеты необходимо проделывать для приборов, соединенных по однотрубной схеме, особенно если они составляются из элементов приборов, имеющих большой шаг номенклатурного ряда. Если, например, конвектор с кожухом типа «Универсал-20» имеет шаг всего 0,37 м², то ребристые трубы могут образовывать приборы с шагом 1,0 м². В ходе более точного теплового расчета в цепочке приборов, последних по ходу движения воды, может возникнуть необходимость увеличения предварительно принятой площади.

При уточнении температуры воды $t_{вых}$, °С, выходящей из прибора уже выбранной площади $A_{пр}$, м², используют

Электронная библиотека http://tgv.khstu.ru/

формулу

$$t_{вых}=t_в+\frac{1}{\left[\frac{1}{(t_{вх}-t_в)^n}+\frac{q_{ном}n\,(G_{пр}/0{,}1)^p A_{пр}}{70^{1+n}G_{пр}c}\right]^{1/n}}, \quad (4.36)$$

где $t_{вх}$ — температура теплоносителя, входящего в отопительный прибор, °С; $t_в$ — расчетная температура воздуха в обогреваемом помещении, °С; $q_{ном}$ — номинальная плотность теплового потока для рассматриваемого прибора, Вт/м²; n, p — показатели, входящие в формулу (4.15); $G_{пр}$ — действительный расход воды в приборе, кг/с; c — удельная массовая теплоемкость воды, Дж/(кг·°С).

Отметим, что при тепловом расчете приборов с повышенным гидравлическим сопротивлением (например, конвекторов) уточнение их площади связано с изменением их длины. Это может повлечь за собой повторение гидравлического расчета системы отопления в целом для уточнения действительного расхода воды в элементах системы.

Общими исходными данными для выполнения тепловых расчетов с помощью ЭВМ отопительных приборов являются:

1) вид системы отопления (вертикальная или горизонтальная, однотрубная, двухтрубная и т. д.);

2) тип отопительного прибора;

3) наличие в однотрубной системе отопления замыкающего участка и его положение (осевой или смещенный);

4) расчетные параметры температуры теплоносителя (для однотрубной системы отопления только в том случае, если гидравлический расчет проводился при постоянном перепаде температуры воды в стояках);

5) расчетное атмосферное давление в районе строительства здания;

6) число рассчитываемых стояков или ветвей.

Тепловой расчет отопительных приборов проводят по отдельным стоякам (ветвям в горизонтальной системе), для каждого из которых подготавливают следующие показатели:

а) номер стояка (ветви) по схеме;

б) расчетные параметры температуры теплоносителя (для однотрубной системы, если гидравлический расчет проводился с переменным перепадом температуры воды в стояках);

в) понижение расчетной температуры подаваемой воды от начала системы до первого прибора;

Электронная библиотека http://tgv.khstu.ru/

г) расчетный расход воды (для однотрубной системы по результатам гидравлического расчета);

д) число последовательно соединенных этажестояков (в однотрубной системе) или число приборов на стояке (в двухтрубной системе);

е) диаметр и длина стояка, подводок к отопительному прибору и замыкающего участка (если он есть) на каждом этажестояке (отрезке ветви);

ж) для каждого этажестояка: тепловая нагрузка, расчетная температура воздуха в обогреваемом помещении; схема присоединения прибора (сверху вниз, снизу вверх или снизу вниз); место установки прибора (у наружной стены или светового проема).

В программу расчета отопительных приборов с помощью ЭВМ, помимо расчетных формул, вносят следующие данные.

1. Теплотехническую характеристику приборов, а именно:

а) номинальную плотность теплового потока;

б) площадь нагревательной поверхности марок выбранного типа прибора в соответствии с его номенклатурным рядом (для радиаторов — площадь одной секции);

в) числовые значения показателей n и p.

2. Значения поправочных коэффициентов β [формулы (4.21) и (4.30)] для выбранного типа прибора.

3. Теплоотдачу 1 м вертикально и горизонтально проложенных труб [формула (4.29)] в виде ряда для различных диаметров и температурных перепадов или упрощенной аппроксимирующей зависимости.

4. Необходимую точность расчетов (обычно допустимое отклонение действительной площади прибора от расчетной).

Общая программа теплового расчета отопительных приборов системы водяного отопления с помощью ЭВМ предусматривает последовательное выполнение расчетов после ввода исходных данных по следующим основным этапам:

1. Определение расчетной температуры воды, выходящей из отопительного прибора (для однотрубной системы) по формуле (7.24).

2. Вычисление расхода воды в приборе (для двухтрубной системы) применительно к формуле (8.2).

Электронная библиотека http://tgv.khstu.ru/

3. Расчет действительной плотности теплового потока отопительного прибора по формуле (4.24).

4. Расчет теплоотдачи греющих труб в помещении по формуле (4.29).

5. Определение требуемой теплоотдачи отопительного прибора по формуле (4.27).

6. Определение расчетной площади нагревательной поверхности отопительного прибора по формуле (4.26).

7. Выбор марки принятого типа отопительного прибора путем сравнения расчетной площади с площадью в номенклатурном ряде марок приборов, выпускаемых промышленностью, с учетом допустимой погрешности [в радиаторной системе расчет числа секций по формуле (4.30)].

8. Уточнение температуры воды, выходящей из отопительного прибора однотрубного стояка (ветви), в зависимости от значения принятой площади по формуле (4.36).

9. Повторение расчетов по пп. 3—7.

10. Переход к расчету следующего этажестояка или отрезка ветви (по ходу движения теплоносителя для однотрубной системы), начиная с п. 1 в однотрубной и с п. 2 в двухтрубной системе отопления.

11. Вывод на печать результатов расчета.

Расчет отопительных приборов в системе парового отопления проводят по пп. 3—7, 10, 11. При этом вычисление действительной плотности теплового потока прибора ведут по формуле (4.23). В исходные данные включают в качестве параметра теплоносителя расчетное начальное давление или соответствующую ему температуру пара в системе.

При выводе на печать итогов расчета помимо выбранной марки отопительного прибора (числа секций радиатора) для каждого этажестояка могут дополнительно приводиться данные, необходимые для составления проектно-сметной документации (например, масса приборов и труб, суммарное количество приборов по отдельным маркам и т. д.). Для этого в программе должны быть предусмотрены соответствующие формулы и циклы.

Электронная библиотека http://tgv.khstu.ru/

§ 4.9. Регулирование теплопередачи отопительных приборов

Теплопотребности помещений, выявленные в расчетных условиях, определяют площадь отопительных приборов. Площадь является постоянной характеристикой каждого установленного прибора. Между тем, известно, что расчетные условия наблюдаются при отоплении зданий далеко не всегда. В течение отопительного сезона изменяется температура наружного воздуха, на здания эпизодически воздействуют ветер и солнечная радиация, тепловыделения в помещениях неравномерны. Поэтому для поддержания теплового режима помещений на заданном уровне необходимо в процессе эксплуатации регулировать теплопередачу отопительных приборов.

Эксплуатационное регулирование теплового потока отопительных приборов может быть качественным и количественным.

Качественное регулирование достигается изменением температуры теплоносителя, подаваемого в систему отопления. Качественное регулирование по месту осуществления может быть центральным, проводимым на тепловой станции, и местным, выполняемым в тепловом пункте здания. В жилищном строительстве проводят также групповое регулирование в центральных тепловых пунктах (ЦТП).

Местное качественное регулирование должно дополнять центральное регулирование, которое проводится с ориентацией на некоторое обезличенное здание в районе действия станции. Кроме того, оно может нарушаться по различным причинам, в том числе из-за необходимости обеспечивать нагревание воды в системе горячего водоснабжения. При местном регулировании учитывают особенности каждого здания, системы отопления и даже ее отдельной части.

В системе парового отопления пределы качественного регулирования ограничены и такое регулирование, как правило, не проводится.

Количественное регулирование теплопередачи приборов осуществляется изменением количества теплоносителя (воды или пара), подаваемого в систему или прибор. По месту проведения оно может быть не только центральным и мест-

Электронная библиотека http://tgv.khstu.ru/

ным, но и индивидуальным, т. е. выполняемым у каждого отопительного прибора.

Центральное и местное регулирование в системах парового отопления — количественное: при изменении температуры наружного воздуха меняется количество пара, поступающего в систему, или пар подается с бóльшим или меньшим перерывом. В первом случае проводится так называемое пропорциональное регулирование, во втором — регулирование «пропусками» (теплоноситель подается периодически). В системах парового отопления применяют также индивидуальное количественное регулирование теплопередачи приборов.

В системах водяного отопления центральное и местное качественное регулирование также дополняется местным и индивидуальным количественным регулированием теплопередачи приборов. При индивидуальном количественном регулировании теплопередача водяного прибора изменяется вследствие изменения средней температуры воды в нем, теплопередача парового прибора — из-за отклонения температуры конденсата от температуры пара.

Таким образом, в процессе эксплуатации паровых систем отопления осуществляется только количественное регулирование, водяных систем отопления — качественно-количественное регулирование теплопередачи приборов.

Эксплуатационное регулирование теплопередачи приборов может быть автоматизировано. Местное автоматическое регулирование в тепловом пункте здания обычно проводят, ориентируясь на изменение температуры наружного воздуха (этот способ регулирования называют «по возмущению»). Индивидуальное автоматическое регулирование теплопередачи прибора происходит при отклонении температуры воздуха в помещении от заданного уровня (регулирование «по отклонению»).

Для **индивидуального автоматического регулирования** применяют регуляторы температуры прямого и косвенного действия. Принцип работы **регулятора прямого действия** основан на изменении объема среды при повышении или понижении ее температуры. Изменение объема среды — термореактивного материала (например, резины) непосредственно вызывает перемещение клапана регулятора в потоке основного теплоносителя.

В **регуляторах косвенного действия** обычно используется

Электронная библиотека http://tgv.khstu.ru/

электрическая энергия для нагревания термобаллона уменьшенного объема, который, в свою очередь, связан со штоком регулирующего клапана. В одной из конструкций регуляторов термобаллон — сильфон частично наполнен легкокипящей жидкостью. Если давление паров жидкости в сильфонной камере изменяется, то возникающее растяжение или сжатие сильфона вызывает перемещение клапана регулятора. В других конструкциях электрическая энергия используется для управления соленоидным вентилем двухпозиционного действия. Конструкции регуляторов рассматриваются в курсе «Автоматизация систем теплогазоснабжения и вентиляции».

Для **индивидуального ручного регулирования** теплопередачи приборов служат краны и вентили. Ручное регулирование теплопередачи радиаторов и конвекторов эффективно в том случае, когда доля отключаемой нагревательной поверхности составляет не менее 0,5 (для бетонных панелей 0,7).

При паровом отоплении для ручного регулирования применяют вентили с золотником, пришлифованным к поверхности седла (без прокладки). В системах отопления с высокотемпературной водой используют краны вентильного типа с золотником также без прокладки.

Конструкцию регулирующего крана выбирают в зависимости от вида системы водяного отопления. В двухтрубных системах применяют краны индивидуального регулирования, отвечающие двум требованиям: они имеют повышенное гидравлическое сопротивление и допускают проведение монтажно-наладочного (первичного) и эксплуатационного (вторичного) количественного регулирования. Эти краны называют кранами «двойной регулировки».

В однотрубных системах водяного отопления используют краны индивидуального регулирования, обладающие незначительным гидравлическим сопротивлением. Эти краны не имеют приспособлений для осуществления первичного регулирования и являются кранами только эксплуатационного (вторичного) регулирования.

Для индивидуального ручного регулирования теплопередачи приборов применяют также воздушные клапаны в кожухе конвекторов (см. рис. 4.6, *а*). Воздушным клапаном в конвекторе регулируется количество воздуха, циркулирующего через нагреватель конвектора. Достоинством

Электронная библиотека http://tgv.khstu.ru/

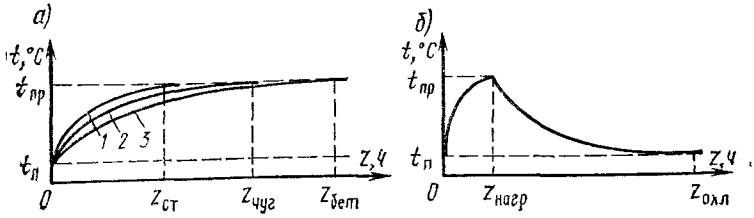

Рис. 4.18. Характер процессов изменения температуры поверхности отопительных приборов во времени

а — при нагревании различных по массе приборов; *б* — при нагревании и охлаждении чугунного радиатора в системе водяного отопления; *1* — для стального конвектора ($z_{ст}$ — период времени изменения температуры от $t_п$ до $t_{пр}$); *2* — для чугунного радиатора ($z_{чуг}$); *3* — для бетонного радиатора ($z_{бет}$)

этого способа регулирования, так называемого регулирования «по воздуху», является сохранение постоянного расхода теплоносителя в отопительных приборах.

При индивидуальном количественном регулировании теплопередача прибора изменяется постепенно — прибор обладает тепловой инерцией (рис. 4.18), причем охлаждается прибор медленнее, чем нагревается ($z_{охл} > z_{нагр}$ на рис. 4.18, *б*). Наибольшей тепловой инерцией характеризуются, как известно, бетонные панели. Так как тепловая инерция стальных радиаторов и конвекторов меньше инерции чугунных радиаторов и тем более бетонных панелей, то и процесс регулирования их теплопередачи будет ускорен. Например, для стальных радиаторов типа РСВ остаточная теплопередача через 1 ч после их выключения составляет примерно 15% начальной — вдвое меньше, чем для чугунных радиаторов (30%), а полный тепловой поток в течение первого часа после выключения — соответственно 45 и 60%. Следовательно, регулирование теплопередачи отопительных приборов тем эффективнее и быстрее отражается на температуре помещений, чем меньше масса теплоносителя в приборах и самих приборов.

КОНТРОЛЬНЫЕ ЗАДАНИЯ И УПРАЖНЕНИЯ

1. Укажите отличительное достоинство каждого вида отопительных приборов.

2. Установите фактор, оказывающий преобладающее влияние на теплоотдачу отопительных приборов (при равных температурных условиях).

Электронная библиотека http://tgv.khstu.ru/

3. Объясните причины повышения теплоотдачи радиатора, который перемещен от наружной к внутренней стене помещения.

4. Почему состав и цвет красителя влияют на теплоотдачу радиаторов, а не конвекторов?

5. Сравните способы измерения площади нагревательной поверхности отопительных приборов в эквивалентных и физических квадратных метрах.

6. Установите, какое значение номинального коэффициента теплопередачи следует ожидать для разрабатываемого вертикального пластмассового отопительного прибора.

7. Как вы представляете себе отопительный прибор будущего?

8. Изобразите блок-схему программы теплового расчета отопительных приборов с помощью ЭВМ.

9. Составьте алгоритм теплового расчета с помощью ЭВМ отопительных приборов двухтрубной системы водяного отопления.

10. Почему желательно расположение отопительных приборов под световыми проемами?

ГЛАВА 5. ТЕПЛОПРОВОДЫ СИСТЕМЫ ОТОПЛЕНИЯ

§ 5.1. Классификация и материал теплопроводов

Трубы систем центрального водяного и парового отопления предназначены для подачи в приборы и отвода из них необходимого количества теплоносителя; поэтому их называют теплопроводами. Теплопроводы вертикальных систем отопления подразделяют на магистрали, стояки и подводки (рис. 5.1). Теплопроводы горизонтальных систем, кроме магистралей, стояков и подводок, имеют горизонтальные ветви (рис. 5.2).

Движение теплоносителя в подающих (разводящих) и обратных (сборных) магистралях может совпадать по направлению или быть встречным. В зависимости от этого системы отопления называют системами с **тупиковым** (встречным) и **попутным** движением воды в магистралях. На рис. 5.1, *а* и 5.2, *а* стрелками на линиях, изображающих магистрали (линии с индексом Т1 — подающие, с индексом Т2 — обратные магистрали), показано попутное движение теплоносителя: теплоноситель в подающей и обратной магистралях каждой системы движется в одном направлении. На рис. 5.1, *б*, *в* и 5.2, *б* показано тупиковое движение теплоносителя: теплоноситель в подающей магистрали

Электронная библиотека http://tgv.khstu.ru/

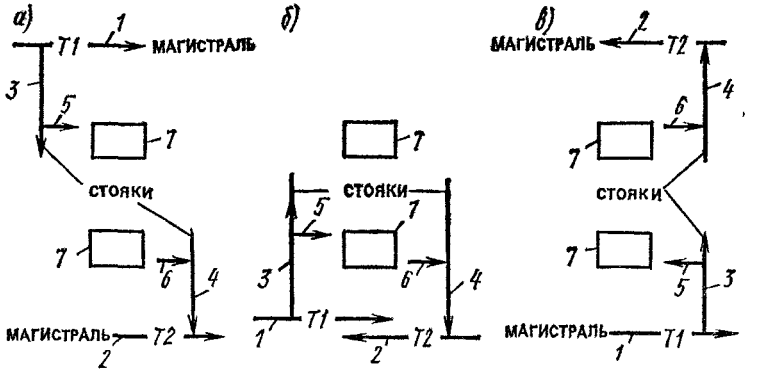

Рис. 5.1. Теплопроводы вертикальных систем центрального отопления с верхней разводкой (*а*), с нижней разводкой (*б*), с «опрокинутой» циркуляцией воды (*в*)

1 и *2* — подающие (*Т1*) и обратные (*Т2*) магистрали; *3* и *4* — подающие и обратные стояки; *5* и *6* — подающие и обратные подводки; *7* — отопительные приборы (стрелками показано направление движения теплоносителя)

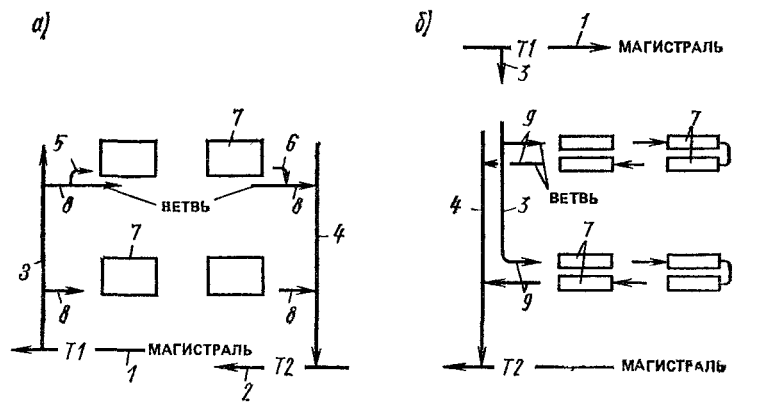

Рис. 5.2. Теплопроводы горизонтальных систем водяного отопления с нижней (*а*) и верхней разводкой (*б*)

1 и *2* — подающие (*Т1*) и обратные (*Т2*) магистрали; *3* и *4* — подающие и обратные стояки; *5* и *6* — подающие и обратные подводки; *7* — отопительные приборы; *8* — однотрубные ветви; *9* — бифилярные ветви (стрелками показано направление движения теплоносителя)

течет в одном, а в обратной — в противоположном направлении.

В зависимости от места прокладки магистралей различают системы с **верхней разводкой** (см. рис. 5.1, **а** и 5.2, б), **когда** подающая (разводящая теплоноситель) магистраль

Электронная библиотека http://tgv.khstu.ru/

(Т1) расположена выше отопительных приборов; с **нижней разводкой** (см. рис. 5.1, б и 5.2, *а*), когда и подающая (Т1), и обратная (Т2) магистрали проложены ниже приборов. При водяном отоплении бывают еще системы с **«опрокинутой» циркуляцией воды** (см. рис. 5.1, в), когда подающая магистраль (Т1) находится ниже, а обратная (Т2) выше приборов.

Для пропуска теплоносителя используют трубы: металлические (стальные, медные, свинцовые и др.) и неметаллические (пластмассовые, стеклянные и др.).

Из металлических труб наиболее часто используют стальные шовные (сварные) и редко стальные бесшовные (цельнотянутые) трубы. Стальные трубы изготовляют из мягкой углеродистой стали, что облегчает выполнение изгибов, резьбы на трубах и различных монтажных операций. Стоимость бесшовных труб выше, чем сварных, но они более надежны в эксплуатации и их рекомендуется использовать в местах, не доступных для ремонта.

Широкое применение стальных труб в системах центрального отопления объясняется их прочностью, простотой сварных соединений, близким соответствием коэффициента линейного расширения коэффициенту расширения бетона, что важно при заделке труб в бетон (например, в бетонных панельных радиаторах). Перспективно применение гибких стальных труб с защитной пластмассовой оболочкой.

Медные трубы отличаются долговечностью, но они менее прочны и дороже стальных. Свинцовые и чугунные трубы встречаются в системах отопления, смонтированных в начале XX в.

Термостойкие пластмассовые трубы обладают пониженным коэффициентом трения, вследствие чего снижается их гидравлическое сопротивление, они не зарастают и не подвержены коррозии. Гибкость пластмассовых труб, простота их обработки значительно облегчают монтаж, пониженная теплопроводность уменьшает теплопотери через их стенки. Внедрение пластмассовых труб в отопительную технику ограничивается повышенной стоимостью термостойких их видов, которые не размягчаются или не изменяют свою структуру (не «стареют») при длительном взаимодействии с теплоносителем.

Трубы из малощелочного термостойкого стекла используют редко вследствие его хрупкости и ненадежности мест

Электронная библиотека http://tgv.khstu.ru/

их соединений с отопительными приборами и арматурой.

В системах отопления используют неоцинкованные (черные) стальные сварные **водогазопроводные трубы** (ГОСТ 3262—75*) $D_у$=10—50 мм трех типов: легкие, обыкновенные и усиленные (в зависимости от толщины стенки). Усиленные толстостенные трубы применяют редко — в уникальных долговременных сооружениях при скрытой прокладке. Легкие тонкостенные трубы предназначены под сварку или накатку резьбы для их соединения при открытой прокладке в системах водяного отопления. Обыкновенные трубы используют при скрытой прокладке и в системах парового отопления.

Размер водогазопроводной трубы обозначается цифрой условного диаметра в мм (например, $D_у$=20). Водогазопроводная труба $D_у$20 имеет наружный диаметр 26,8 мм, а ее внутренний диаметр изменяется в зависимости от толщины стенки от 20,4 (усиленная труба) до 21,8 мм (легкая труба). Изменение внутреннего диаметра влияет на площадь поперечного сечения «канала» для протекания теплоносителя. Поэтому одно и то же количество теплоносителя будет двигаться в трубе одного и того же условного диаметра с различной скоростью: большей — в усиленной и меньшей — в легкой трубе.

Стальные электросварные трубы (ГОСТ 10704—76 *) выпускают со стенками различной толщины. Поэтому в условном обозначении выбранной трубы указывают наружный диаметр и толщину стенки (если выбрана труба 76×2,8 мм, то это означает, что она имеет наружный диаметр 76 мм, толщину стенки 2,8 мм и, следовательно, внутренний диаметр 70,4 мм). При этом стенку принимают наименьшей толщины (по сортаменту труб, выпускаемых заводами). Например, используют трубы $D_у$20 со стенкой толщиной 2,0 мм (легкая водогазопроводная труба $D_у$20 имеет стенку толщиной 2,5 мм).

Стальные трубы, применяемые в системах центрального отопления, выдерживают, как правило, большее гидростатическое давление (не менее 1 МПа), чем отопительные приборы и арматура. Поэтому предельно допустимое гидростатическое давление в системе водяного отопления устанавливают по рабочему давлению, на которое

Электронная библиотека http://tgv.khstu.ru/

рассчитаны не трубы, а другой менее прочный элемент (например, отопительные приборы).

Соединение теплопроводов между собой, с отопительными приборами и арматурой может быть неразборным — сварным и резьбовым — и разборным (для ремонта отдельных частей) — резьбовым и болтовым. Резьбовое разборное соединение предусматривают в основном у отопительных приборов и арматуры для их демонтажа в случае необходимости. Фланцевая арматура крупного размера и чугунные ребристые трубы соединяются болтами с контрфланцами, привариваемыми к концам стальных труб.

§ 5.2. Размещение теплопроводов в здании

Прокладка труб в помещениях может быть открытой и скрытой. В основном применяют **открытую** прокладку как более простую и дешевую. Поверхность труб нагрета, и теплоотдачу труб принимают в расчет при определении площади отопительных приборов.

По технологическим, гигиеническим или архитектурно-планировочным требованиям прокладка труб может быть **скрытой**: магистрали переносят в технические помещения (подвальные, чердачные и т. п.), стояки и подводки к отопительным приборам размещают в специально предусмотренных шахтах и бороздах (штробах) в строительных конструкциях или встраивают (замоноличивают) в них. При этом в местах расположения разборных соединений и арматуры устраивают лючки. Теплоотдача в помещение труб, проложенных в глухих бороздах стен, значительно меньше (примерно вдвое) теплоотдачи открытых теплопроводов. Встроенные (как правило, в заводских условиях) подводка или стояк играют роль бетонного отопительного прибора с одиночным греющим элементом и односторонней (в наружной стене) или двусторонней (во внутренней стене, в полу или в перекрытии) теплоотдачей.

При прокладке теплопроводов учитывают предстоящее изменение длины труб в процессе эксплуатации системы отопления. Эксплуатация проходит при изменяющейся температуре теплоносителя (выше 35 °С) и трубы удлиняются по сравнению с монтажной их длиной в большей или меньшей степени.

Электронная библиотека http://tgv.khstu.ru/

Температурное удлинение нагреваемой трубы — приращение ее длины Δl, м, определяется по формуле

$$\Delta l = \alpha (t_т - t_н) l, \quad (5\,1)$$

где α — коэффициент линейного расширения материала трубы (для мягкой стали при температуре до 150 °С близок к $1{,}2 \cdot 10^{-5}$); $t_т$ — температура теплопровода, близкая к температуре теплоносителя, °С (при расчетах учитывают наивысшую температуру); $t_н$ — температура окружающего воздуха в период производства монтажных работ, °С; l — длина теплопровода, м.

Монтаж труб осуществляют в «коробке» строящегося здания при температуре наружного воздуха, близкой в весенне-осенний период к +5 °С. В зимний период при временном обогревании помещений для удобства отделочных и монтажных работ в строящемся здании поддерживают временными средствами температуру также около +5 °С.

Если считать $t_н$=5 °С, то формула (5.1) для стальной трубы (приращение длины Δl, мм) может быть представлена в виде

$$\Delta l = 1{,}2 \cdot 10^{-2} (t_т - 5) l, \quad (5.2)$$

удобном для ориентировочных расчетов.

Можно установить, что 1 м подающей стальной трубы предельно удлиняется при низкотемпературной воде приблизительно на 1 мм, обратной трубы — на 0,8 мм, а при высокотемпературной воде удлинение каждого метра трубы доходит до 1,75 мм.

Таким образом, при размещении теплопроводов, особенно при перемещении по ним высокотемпературного теплоносителя, необходимо предусматривать компенсацию усилий, возникающих при удлинении подводок, стояков и магистралей.

Размещение подводки — соединительной трубы между стояком или горизонтальной ветвью и прибором — зависит от вида отопительного прибора и положения труб в системе отопления.

Для большинства приборов подающую подводку, по которой подается горячая вода или пар, и обратную подводку, по которой охлажденная вода или конденсат отводятся из приборов, прокладывают горизонтально (при длине до 500 мм) или с некоторым уклоном (5—10 мм на всю длину). Эти подводки в зависимости от положения

Электронная библиотека http://tgv.khstu.ru/

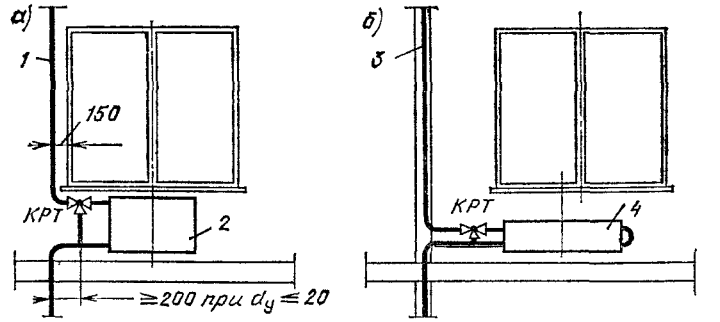

Рис. 5.3. Этажестояки вертикальной однотрубной системы водяного отопления с трехходовыми кранами у приборов

а — с приоконным размещением стояка и радиатором (вертикальные оси окна и радиатора совпадают), *б* — с замоноличенным стояком и конвектором (конвектор смещен к стояку от вертикальной оси окна); *1* — приоконный стояк, *2* — радиатор, *3* — замоноличенный стояк; *4* — конвектор

продольной оси прибора по отношению к оси труб могут быть прямыми и с отступом, называемым «уткой». Предпочтение отдают прямой прокладке подводок, так как утки осложняют заготовку и монтаж труб, увеличивают гидравлическое сопротивление подводок.

Для унификации деталей подводок и стояков, как известно, используют односторонние горизонтальные подводки постоянной длины (например, 370 мм) независимо от ширины простенка в здании. При этом стояк однотрубной системы размещают на расстоянии 150 мм от откоса оконного проема, а не по оси простенка как при двусторонних подводках. Особенно широко применяют унифицированные приборные узлы в жилых домах, гостиницах, общежитиях, во вспомогательных зданиях предприятий, где приборы для уменьшения длины подводок допустимо смещать от вертикальной оси оконных проемов по направлению к стояку (рис. 5.3).

Для некоторых отопительных приборов (например, конвекторов напольного типа) подводки могут прокладываться снизу вверх с изгибом.

Компенсацию удлинения труб в горизонтальных ветвях однотрубных систем предусматривают путем изгиба подводок (добавления уток) с тем, чтобы напряжение на изгиб в отводах труб не превышало 80 МПа; в ветвях между каждыми пятью—шестью приборами вставляют П-образные

Электронная библиотека http://tgv.khstu.ru/

компенсаторы, которые рационально размещать в местах пересечения разводящей трубой внутренних стен и перегородок помещений.

В вертикальных системах отопления подводки к приборам в большинстве случаев выполняют напрямую, однако в высоких зданиях делают специальный изгиб подводок к приборам для обеспечения беспрепятственного перемещения труб стояка при удлинении.

При длинных гладкотрубных приборах, а также при последовательной установке нескольких приборов другого типа (например, «на сцепке») необходим также специальный изгиб подводок для компенсации температурного удлинения приборов и труб. Неполная компенсация удлинения труб приводит при эксплуатации системы к возникиовению течи в резьбовых соединениях, а иногда даже к излому труб и арматуры.

Размещение стояков — соединительных труб между магистралями и подводками — зависит от положения магистралей и размещения подводок к отопительным приборам. Обязательным является обособление стояков для отопления лестничных клеток, а также расположение стояков в наружных углах помещений. При размещении остальных стояков исходят из необходимости сокращать их число, длину и диаметр труб для экономии металла.

Кроме того, конструкция стояков должна способствовать унификации деталей для индустриализации процесса заготовки и уменьшения трудоемкости монтажа системы отопления.

Задача размещения стояков неотделима от выбора вида системы отопления для конкретного здания. В общем однотрубные системы при выполнении перечисленных рекомендаций имеют преимущество перед двухтрубными.

Стояки, как и отопительные приборы, располагают преимущественно у наружных стен — открыто (на расстоянии 35 мм от поверхности стен до оси труб $D_у \leqslant 32$ мм) либо скрыто в бороздах стен или массиве стен и перегородок (см. рис. 5.3, *б*). При скрытой прокладке теплопроводов в наружных стенах теплопотери больше, чем при открытой прокладке, поэтому обычно принимаются меры для уменьшения теплопотерь.

Двухтрубные стояки размещают на расстоянии 80 мм между осями труб, причем подающие стояки располагают

Электронная библиотека http://tgv.khstu.ru/

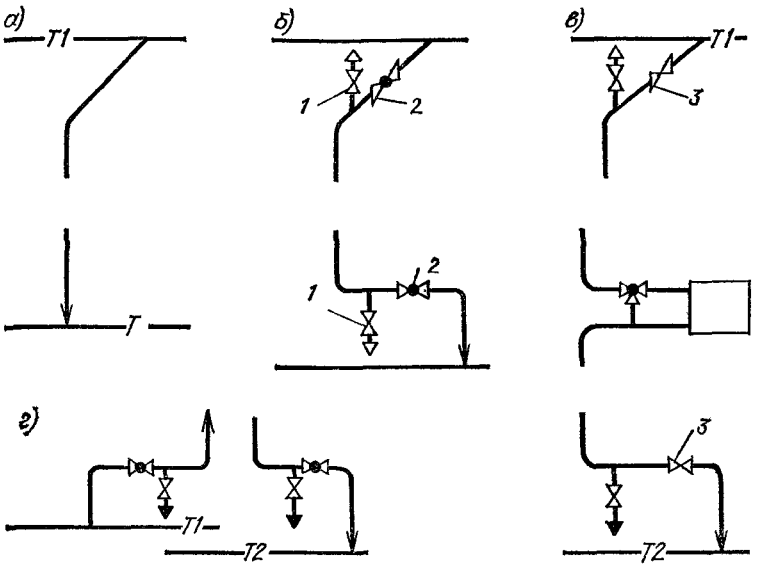

Рис. 5.4. Схемы присоединения стояков к магистралям систем водяного отопления двух-трехэтажных (*а*), четырех-семиэтажных при верхней разводке (*б*) и нижней разводке (*г*), восьмиэтажных и более высоких (*в*) зданий

1 — спускной кран (внизу — со штуцером); *2* — запорный кран; *3* — запорный вентиль

справа (при взгляде из помещения). В местах пересечения стояков и подводок огибающие скобы устраивают на стояках (а не на подводках), причем изгиб обращают в сторону помещения.

Компенсация удлинения стояков в малоэтажных зданиях обеспечивается естественными их изгибами в местах присоединения к подающим магистралям (рис. 5.4, *а*). В более высоких 4—7-этажных зданиях однотрубные стояки изгибают не только в местах присоединения к подающей, но и к обратной магистрали (рис. 5.4, *б*, *г*).

В зданиях, имеющих более семи этажей, таких изгибов труб недостаточно и для компенсации удлинения средней части стояков применяют дополнительные изгибы труб с относом отопительных приборов от оси стояка (рис. 5.4, *в*). Иногда используют П-образные компенсаторы, и тогда трубы между компенсаторами в отдельных точках закрепляют — устанавливают неподвижные опоры. Для компен-

Электронная библиотека http://tgv.khstu.ru/

сации удлинения каждого этажестояка в однотрубных системах используют изгибы труб с «плечом» при низкотемпературной воде не менее 200 мм (см. рис. 5.3, *а*).

В местах пересечения междуэтажных перекрытий трубы заключают в гильзы для обеспечения свободного их движения.

Горизонтальные однотрубные ветви — распределительные поэтажные трубы систем водяного отопления, промежуточные между стояками и подводками,— размещают под отопительными приборами у пола на таком же расстоянии от поверхности стен, как и стояки, и без уклона, если обеспечена скорость движения воды в них более 0,25 м/с. Возможна также прокладка горизонтальных поэтажных ветвей под окнами выше отопительных приборов. При этом нет необходимости устанавливать воздуховыпускные краны на приборах, однако усложняется опорожнение приборов и системы.

Размещение магистрали — соединительной трубы между местным тепловым пунктом и стояками — зависит от назначения и ширины здания, вида принятой системы отопления.

В производственных зданиях магистрали целесообразно прокладывать в пределах рабочих помещений (если этому не препятствует технология производства) — по стенам, колоннам под потолком, в средней зоне или у пола. В необходимых по технологии и конструкции здания случаях магистрали выносят в технические этажи и подпольные каналы.

В малоэтажных производственных зданиях рационально применять горизонтальную однотрубную систему водяного отопления (обычную или бифилярную), когда в одной ветви совмещаются функции не только подводки и стояка, но и магистрали.

В гражданских зданиях шириной до 9 м магистрали можно прокладывать вдоль их продольной оси (если не предусматривается пофасадное регулирование работы системы): одна магистраль для стояков у противоположных сторон узкого здания не вызывает перерасхода труб при соединении ее с каждым стояком (рис. 5.5, *а*). Так же размещают магистрали при стояках, находящихся у внутренних стен здания. В гражданских зданиях шириной более 9 м рационально использовать две разводящие магистра-

Электронная библиотека http://tgv.khstu.ru/

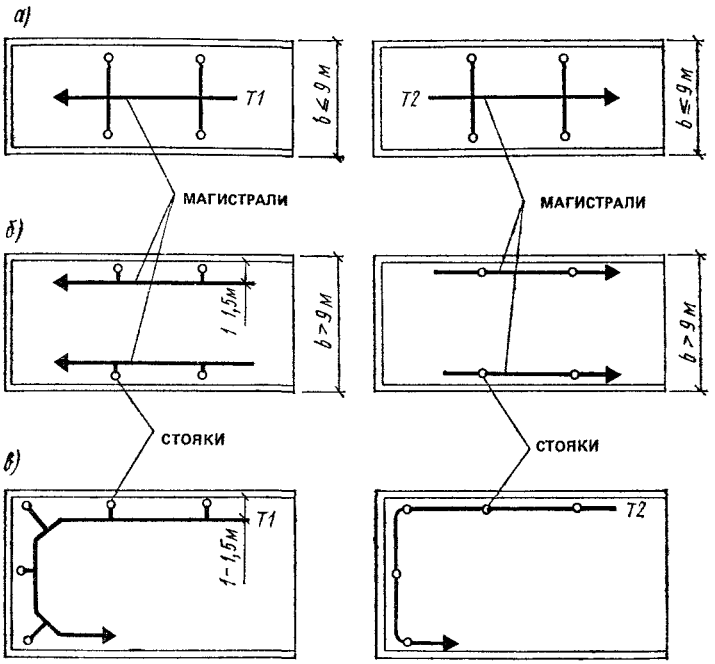

Рис. 5.5. Размещение магистралей систем отопления в чердачных (слева), подвальных и технических (справа) помещениях зданий шириной 9 м (*а*), шириной более 9 м при тупиковом (*б*) и попутном (*в*) движении теплоносителя в трубах

ли — вдоль каждой фасадной стены. При этом не только сокращается протяженность труб, но и становится возможным эксплуатационное регулирование теплоподачи отдельно для каждой стороны здания — пофасадное регулирование (рис. 5.5, *б*).

Магистрали систем отопления гражданских зданий и вспомогательных зданий промышленных предприятий размещают, как правило, в чердачных и технических помещениях. В чердачных помещениях магистрали подвешивают на расстоянии 1—1,5 м от наружных стен (рис. 5.5, *б*, *в*) для удобства монтажа и ремонта, а также для обеспечения при изгибе стояков естественной компенсации их удлинения. В подвальных помещениях, в технических этажах и подпольях, а также рабочих помещениях магистрали для экономии места укрепляют на стенах (см. рис. 5.5). В се-

Электронная библиотека http://tgv.khstu.ru/

верной строительно-климатической зоне прокладка магистралей в чердачных помещениях и проветриваемых подпольях зданий не допускается.

При проектировании систем отопления многоэтажных жилых домов (девять этажей и более), состоящих из одинаковых повторяющихся секций, применяют посекционную разводку магистралей с тупиковым движением в них теплоносителя. В рядовых и торцевых секциях создают самостоятельные системы отопления, что обеспечивает унификацию трубных заготовок не только стояков, но и магистралей. Это особенно важно для индустриализации заготовительных работ и упрощает повторное проектирование при массовом блок-секционном строительстве зданий. Однако при этом увеличиваются число тепловых пунктов и длина транзитных магистралей, затрудняется пофасадное регулирование. От слишком мелкого деления систем отказываются при автоматизации их работы.

В гражданских зданиях повышенной этажности (особенно в высотных) магистрали систем отопления размещают вместе с инженерным оборудованием других видов на специальных технических этажах.

При размещении магистралей требуется обеспечивать свободный доступ к ним для осмотра, ремонта и замены в процессе эксплуатации систем отопления, а также компенсацию температурных деформаций.

Компенсация удлинения магистралей выполняется, прежде всего, естественными их изгибами, связанными с планировкой здания, и только прямые магистрали значительной длины, особенно при высокотемпературном теплоносителе, снабжают П-образными компенсаторами. При проектировании компенсаторов неподвижные опоры размещают таким образом, чтобы тепловое удлинение участков магистралей между опорами не превышало 50 мм. Расстояние между промежуточными подвижными опорами выбирают исходя из предельного напряжения на изгиб 25 МПа, возникающего в металле трубы при просадке одной из опор.

Уклон теплопроводов. Магистрали систем водяного и парового отопления редко прокладывают строго горизонтально — только в тех случаях, когда это необходимо по местным условиям, обеспечивая повышенную скорость

Электронная библиотека http://tgv.khstu.ru/

движения теплоносителя. Как правило, трубы монтируют с отклонением от горизонтали — уклоном.

В системах водяного отопления уклон горизонтальных магистралей необходим для отвода в процессе эксплуатации скоплений воздуха (в верхней части систем), а также для самотечного спуска воды из труб (в нижней их части).

Строго горизонтальная прокладка магистралей $D_у >$ >50 мм, как и ветвей горизонтальных систем, допустима при скорости движения воды более 0,25 м/с (для уноса скоплений воздуха).

Магистрали верхней разводки рекомендуется монтировать с уклоном против направления движения воды (рис. 5.6, *а*) для того, чтобы использовать подъемную силу совместно с силой течения воды для удаления воздуха. В гравитационных системах допускается прокладка магистралей с уклоном по движению воды (рис. 5.6, *б*). Подобная прокладка в насосных системах возможна только при значительном уклоне труб, когда подъемная сила, действующая на пузырьки воздуха, будет преобладать над силой сопротивления всплыванию.

Нижние магистрали всегда прокладывают с уклоном в сторону теплового пункта здания, где при опорожнении системы вода спускается в канализацию. При этом, если магистралей две (подающая и обратная), то рационально для удобства крепления при монтаже придавать им уклон в одном и том же направлении.

В системах парового отопления уклон горизонтальных магистралей необходим для самотечного удаления конденсата как при эксплуатации, так и при опорожнении систем.

Паропроводы рекомендуется прокладывать с уклоном по направлению движения пара для обеспечения самотечного движения попутного конденсата, образующегося вследствие теплопотерь через стенки труб (рис. 5.6, *г*). Встречное движение пара и конденсата в одной и той же трубе сопровождается шумом и гидравлическими ударами. Поэтому уклон паропроводов против направления движения пара (рис. 5.6, *в*) нежелателен и допустим в исключительных случаях.

Самотечные конденсатопроводы, естественно, имеют уклон в сторону стока конденсата. Напорным конденсатопроводам уклон придается в произвольном направлении лишь для спуска конденсата при опорожнении труб.

Электронная библиотека http://tgv.khstu.ru/

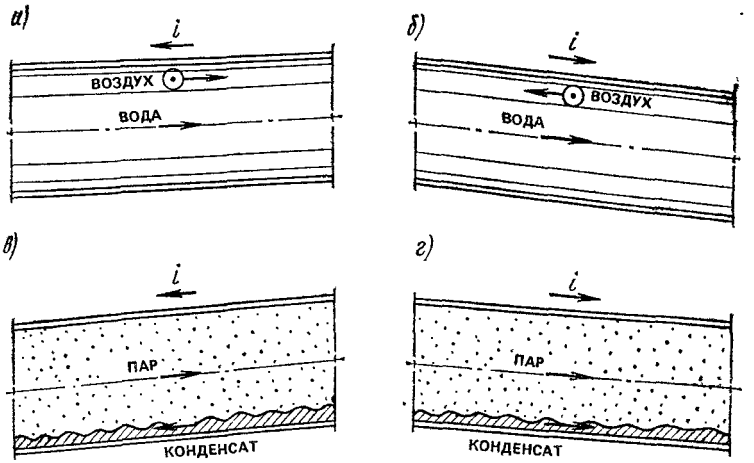

Рис. 5.6. Направление движения теплоносителя и уклон *i* труб в системах отопления

а и *б* — рекомендуемые и допустимые для водяных магистралей верхней разводки; *г* и *в* — рекомендуемые и допустимые для паропроводов

Рекомендуемый нормальный уклон магистралей: водяных в насосных системах, паровых и напорных конденсатных 0,003 (3 мм на 1 м длины труб), хотя в необходимом случае уклон может быть уменьшен до 0,002. Минимальный уклон водяных подающих магистралей гравитационных систем, самотечных конденсатных магистралей 0,005; паропроводов, имеющих уклон против движения пара, 0,006; водяных магистралей верхней разводки насосных систем с уклоном по движению воды 0,01 (10 мм/м).

§ 5.3. Присоединение теппопроводов к отопительным приборвм

Присоединение теплопроводов к отопительным приборам может быть с одной стороны (одностороннее) и с противоположных сторон приборов (разностороннее). При разностороннем присоединении возрастает коэффициент теплопередачи приборов. Однако конструктивно рациональнее устраивать одностороннее присоединение и его в первую очередь применяют на практике (см. схемы *1* и *3* на рис. 4.17).

Электронная библиотека http://tgv.khstu.ru/

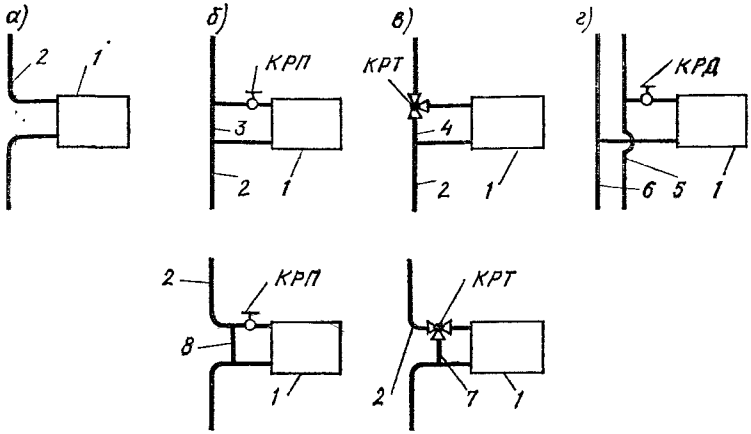

Рис. 5.7. Одностороннее присоединение труб к отопительным приборам вертикальных систем отопления однотрубных (*а—в*), двухтрубных (*г*)

1 — отопительные приборы; *2* — однотрубные стояки; *3* — осевой замыкающий участок; *4* — осевой обходной участок; *5* и *6* — подающая и обратная трубы двухтрубного стояка; *7* — смещенный обходной участок; *8* — смещенный замыкающий участок

На рис. 5.7 изображены основные приборные узлы трех типов, применяемые в вертикальных однотрубных системах водяного отопления, и приборный узел, используемый в двухтрубных системах водяного и парового отопления. Все приборные узлы показаны с односторонним присоединением теплопроводов к приборам.

В приборном узле первого типа (рис. 5.7, *а*), называемом **проточным** (поэтому и стояк с такими узлами называют проточным), отсутствует кран для регулирования расхода теплоносителя. Проточные приборные узлы, наиболее простые по конструкции, устраивают не только в случае, когда не требуется индивидуальное регулирование теплоотдачи приборов, но и при применении конвекторов с кожухом типа КН, имеющих воздушные клапаны для такого регулирования. Проточные приборные узлы характеризуются тем, что расход теплоносителя в каждом приборе стояка равен его расходу в стояке в целом.

В приборных узлах второго типа (рис. 5.7, *б*), называемых узлами **с замыкающими участками,** на подводках со стороны входа теплоносителя помещаются проходные регулирующие краны (КРП). В таких узлах часть общего

Электронная библиотека http://tgv.khstu.ru/

расхода теплоносителя в стояке минует приборы: вода постоянно протекает через замыкающие участки. Замыкающие участки могут располагаться по оси стояка, и тогда они именуются **осевыми** (см. на рис. 5.7, *б* сверху), а также смещенно по отношению к оси стояка, называясь **смещенными** (см. на рис. 5.7, *б* внизу). Для приборных узлов с замыкающими участками характерно, что расход теплоносителя в приборах всегда меньше общего расхода теплоносителя в стояках, а расход теплоносителя в замыкающих участках может возрастать до максимального по мере закрывания (при регулировании) крана КРП.

Приборные узлы третьего типа (рис. 5.7, *в*) с трехходовыми регулирующими кранами (КРТ) и обходными участками (также осевыми или смещенными) носят название **проточно-регулируемых**. Их особенностью является обеспечение полного протекания теплоносителя из стояка в каждый отопительный прибор (как в проточных узлах). В этих — расчетных — условиях обходные участки полностью перекрываются кранами КРТ. Вместе с тем в процессе эксплуатации можно уменьшать расход теплоносителя в каждом отдельном отопительном приборе (как в узлах с замыкающими участками), перепуская теплоноситель через обходной участок при помощи крана КРТ (вплоть до полного отключения прибора).

Таким образом, в проточно-регулируемых узлах сочетаются достоинства узлов двух других типов — и проточного, и с замыкающим участком.

Приборные узлы с односторонним присоединением труб применяют как в вертикальных, так и горизонтальных однотрубных системах водяного отопления. В горизонтальных однотрубных ветвях чаще используют проточные узлы и узлы с замыкающими участками и кранами КРП.

В двухтрубных стояках систем водяного и парового отопления каждый отопительный прибор присоединяют отдельно к подающей и обратной трубам (рис. 5.7, *г*). По подающей трубе подводится горячая вода или пар, по обратной — отводится охлажденная вода или конденсат от приборов.

В приборных узлах двухтрубных стояков для регулирования количества теплоносителя используют при водяном отоплении краны двойной регулировки (КРД), а при паровом отоплении — вместо кранов КРД паровые вентили.

Электронная библиотека http://tgv.khstu.ru/

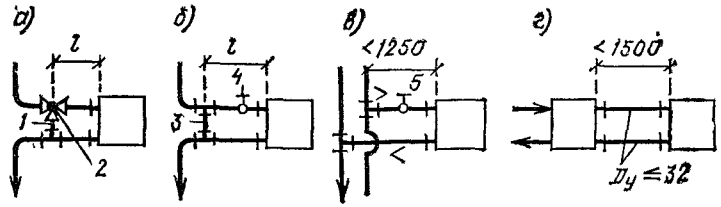

Рис. 5.8. Унифицированное присоединение труб к отопительным приборам вертикальных систем отопления однотрубных (*а* и *б*), двухтрубных (*в*) и в «сцепке» двух приборов (*г*)

1 — смещенный обходной участок; *2* — кран КРТ; *3* — смещенный замыкающий участок; *4* — кран КРП; *5* — кран КРД

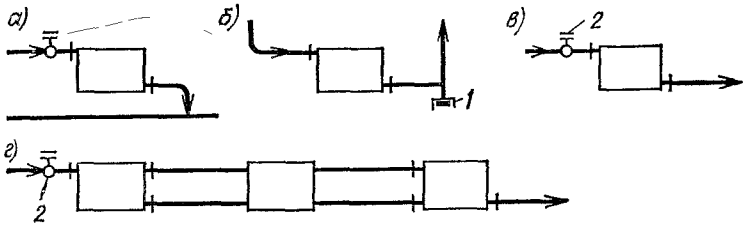

Рис. 5.9. Разностороннее присоединение труб к отопительным приборам при движении теплоносителя в приборах сверху вниз

а и *б* — в обратную магистраль под прибором и над прибором; *в* — в секционном радиаторе значительной длины; *г* — в «сцепке» трех приборов; *1* — патрубок с пробкой; *2* — кран КРД

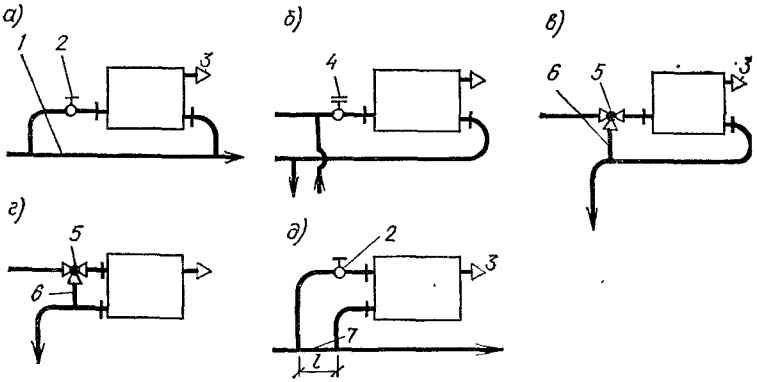

Рис. 5.10. Присоединение труб к отопительным приборам систем водяного отопления

а — к горизонтальной однотрубной ветви; *б* и *в* — к верхним приборам в стояках с нижним расположением магистралей соответственно двухтрубном и однотрубном; *г* и *д* — при деаэрированной воде соответственно в однотрубном стояке (верхние приборы) и горизонтальной однотрубной ветви; *1* — осевой замыкающий участок; *2* — кран КРП; *3* — воздушный кран; *4* — кран КРД; *5* — кран КРТ; *6* — смещенный обходной участок; *7* — редуцирующая вставка

Электронная библиотека http://tgv.khstu.ru/

При вертикальных однотрубных стояках с односторонним присоединением труб к приборам можно принять единую длину подводок (рис. 5.8, *а*, *б*) и короткие подводки ($l \leqslant 500$ мм) выполнять горизонтальными (без уклона). Эта так называемая унификация приборного узла со смещенным от оси стояка обходным участком и краном КРТ (рис. 5.8, *а*) или также со смещенным замыкающим участком и краном КРП (рис. 5.8, *б*) способствует организации потока при заготовке и сборке его деталей на заводах, что повышает производительность труда.

Для повышения заводской готовности приборных узлов разработан четырехходовой стальной панельный радиатор типа РСГ-2к со встроенным краном КРП и отформованным в панели замыкающим участком. Замыкающий участок сделан так, чтобы через прибор протекало не менее половины общего расхода воды в стояке.

При двухтрубных стояках рациональна длина подводок к приборам, не превышающая 1,25 м (рис. 5.8, *в*). При большем расстоянии от стояка до приборов в обычных случаях целесообразно устанавливать дополнительный стояк. Уклоны подающей и обратной подводок к приборам предусматривают в сторону движения теплоносителя (см. рис. 5.8, *в*); их принимают равными 5—10 мм на всю длину подводки.

При одностороннем присоединении труб не рекомендуется чрезмерно укрупнять чугунные радиаторы — группировать более 25 секций (15 в системах с естественным движением воды) в один прибор, а также соединять на «сцепке» (рис. 5.8, *г*) более двух радиаторов.

Разностороннее присоединение труб к прибору применяют в тех частных случаях, когда горизонтальная обратная магистраль или конденсатопровод системы находится непосредственно под прибором (рис. 5.9, *а*) или когда прибор устанавливают ниже магистралей (рис. 5.9, *б*), а также при вынужденной установке крупного прибора (рис. 5.9, *в*) или соединении нескольких (более двух) приборов на «сцепке» (рис. 5.9, *г*).

Соединение отопительных приборов на «сцепке» делают в пределах одного помещения или в том случае, когда последующий прибор предназначают для нерегулируемого отопления второстепенного помещения (коридора, уборной

Электронная библиотека http://tgv.khstu.ru/

и т. п.). «Сцепку» приборов применяют также в ветвях горизонтальной однотрубной системы.

Движение теплоносителя воды в приборах однотрубных стояков возможно сверху вниз и снизу вверх, причем в последнем случае замыкающие участки смещают, как правило, от оси стояков (см. рис. 5.8, *б*) для увеличения количества воды, протекающей через приборы. Кроме того, при смещенных замыкающих или обходных (см. рис. 5.8, *а*) участках удлинение нагревающихся труб воспринимается изогнутыми участками однотрубных стояков в пределах каждого этажа без применения специальных компенсаторов.

В приборах двухтрубных стояков чаще всего предусматривают движение теплоносителя по схеме сверху—вниз (см. рис. 5.8, *в*).

Присоединение труб к прибору, создающее движение воды в нем по схеме снизу—вниз, характерно для горизонтальной однотрубной системы (рис. 5.10, *а*). Так же присоединяют верхние приборы вертикальных систем отопления с нижним расположением обеих магистралей. Если в двухтрубных стояках с местным удалением воздуха из приборов (рис. 5.10, *б*) так поступают почти всегда, то в однотрубных стояках (рис. 5.10, *в*) — только при местных котельных (при наполнении и подпитке системы холодной водой из водопровода, содержащей значительное количество растворенного воздуха). При наполнении и подпитке системы обезвоздушенной водой из наружной теплофикационной сети («деаэрированной» водой) для присоединения верхних приборов в однотрубных стояках применяют унифицированные приборные узлы (рис. 5.10, *г*) с односторонним подключением труб.

При использовании деаэрированной воды в горизонтальной однотрубной системе возможно применение схемы движения воды в приборах сверху—вниз и «обвязки» приборов с замыкающим участком постоянной длины, включающим диафрагму (рис. 5.10, *д*),— так называемой редуцирующей вставкой.

Применение высокотемпературной воды не отражается на схеме присоединения труб к приборам, но влияет на вид запорно-регулирующей арматуры и материала, уплотняющего места соединения арматуры и приборов с трубами.

Уже известно, что направление и скорость движения теплоносителя воды в вертикальном отопительном приборе

Электронная библиотека http://tgv.khstu.ru/

отражаются на его теплопередаче. Еще раз отметим теплотехнически целесообразные схемы движения теплоносителя воды: сверху—вниз в радиаторах однотрубных и двухтрубных систем, наряду с этим — движение снизу—вниз в секционных радиаторах однотрубных систем при значительном расходе воды. Направление движения воды в приборе снизу—вверх характеризуется наименьшей теплопередачей. Для повышения скорости рекомендуется обеспечивать последовательное движение теплоносителя в радиаторах и конвекторах, гладких и ребристых трубах, устанавливаемых в несколько рядов и ярусов (из верхнего яруса в нижний).

§ 5.4. Размещение запорно-регулирующей арматуры

Ручную запорно-регулирующую арматуру систем центрального отопления подразделяют на муфтовую и фланцевую.

Муфтовую арматуру (с внутренней резьбой на концах для соединения с трубами) устанавливают на трубах малого диаметра ($D_у \leqslant 40$ мм), фланцевую арматуру (с фланцами на концах) — на трубах большого диаметра (при $D_у \geqslant 50$ мм).

Арматура на подводках к приборам систем водяного отопления (см. § 4.9) различна: при двухтрубных стояках применяют краны, обладающие повышенным гидравлическим сопротивлением, при однотрубных стояках — пониженным сопротивлением протеканию теплоносителя. В первом случае повышение гидравлического сопротивления кранов делается для равномерности распределения теплоносителя воды по отопительным приборам. Во втором понижение сопротивления способствует затеканию в приборы большего количества воды, что повышает среднюю температуру теплоносителя в них и, следовательно, обеспечивает уменьшение их площади.

Регулирующую арматуру на подводках к приборам устанавливают не всегда. Ее не применяют во вспомогательных помещениях и в лестничных клетках зданий, близ ворот и загрузочных проемов, люков и прочих мест, опасных в отношении замерзания воды в трубах и приборах. Арматура у приборов для эксплуатационного регулирования не нужна, если предусмотрено регулирование тем-

Электронная библиотека http://tgv.khstu.ru/

пературы подаваемого в помещения вентиляционного воздуха.

У приборов **двухтрубных систем водяного отопления** устанавливают краны двойной регулировки. В малоэтажных зданиях применяют обычные краны двойной регулировки, в многоэтажных — дроссельные краны повышенного гидравлического сопротивления.

Распространенные ранее краны двойной регулировки с полой пробкой обладали существенными недостатками: сравнительно малым сопротивлением и нерациональной (круто изогнутой) «кривой дросселирования». Малая «глубина» дросселирования не позволяла осуществлять этими кранами эффективного пуско-наладочного (после окончания монтажных работ) регулирования распределения воды по приборам — «первую регулировку». Пробка через короткий промежуток времени после установки нового крана «прикипала» к корпусу, что практически исключало «вторую регулировку» — эксплуатационное пользование кранами.

В настоящее время выпускаются краны двойной регулировки типа КРДШ (рис. 5.11) двух размеров ($D_у$=15 и 20). Они рассчитаны на условное давление 1 МПа и температуру регулируемой среды (воды) до 150 °С. Коэффициент местного сопротивления этих кранов от 5 до 14. Краны имеют поворотную на 90° втулку для монтажной регулировки (путем частичного изменения площади проходного отверстия) и шибер, вертикальное перемещение которого по пазу во втулке обеспечивает по мере надобности эксплуатационную (потребительскую) регулировку.

Применявшиеся краны повышенного гидравлического сопротивления типа «Термис» (рис. 5.12) с восемью возможными положениями клапана для монтажной регулировки не имеют недостатков кранов с полой пробкой. Возрастание величины дросселирования у них пропорционально степени закрытия отверстия для протекания воды; эти краны вентильного типа долго сохраняют работоспособность.

Монтажная регулировка, проводимая вручную перед сдачей системы отопления в эксплуатацию, требует значительных затрат времени опытных наладчиков. С тем чтобы избежать проведения монтажной регулировки двухтрубных систем, применяют регулирующие краны повышенного гидравлического сопротивления с дросселирующим устрой-

Электронная библиотека http://tgv.khstu.ru/

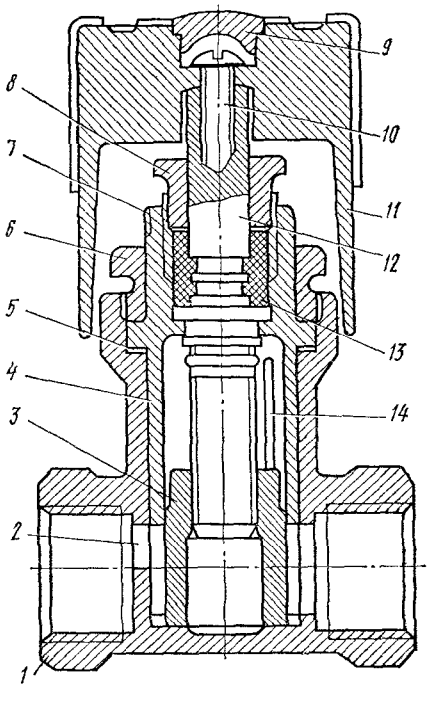

Рис. 5.11. Кран двойной регулировки шиберный типа КРДШ

1 — корпус; *2* — регулировочное окно; *3* — шибер; *4* — поворотная втулка; *5* — прокладка; *6* — закрепительная гайка; *7* — риска на втулке; *8* — гайка сальника; *9* — крышка; *10* — винт; *11* — ручка; *12* — резьбовой шпиндель; *13* — сальниковое уплотнение; *14* — паз во втулке

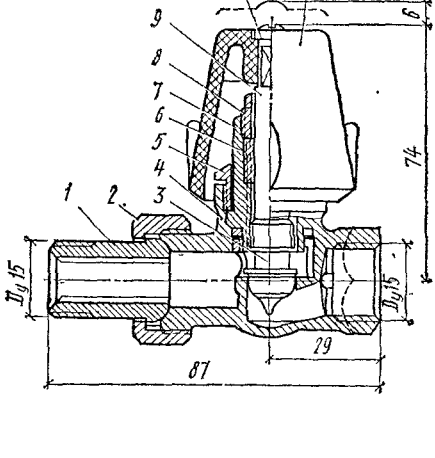

Рис. 5.12. Кран двойной регулировки типа «Термис»

1 — патрубок с наружной резьбой; *2* — соединительная гайка; *3* — клапан; *4* — корпус; *5* — гайка крышки; *6* — набивка; *7* — крышка; *8* — гайка уплотнителя шпинделя; *9* — шпиндель; *10* — винт; *11* — маховик

Электронная библиотека http://tgv.khstu.ru/

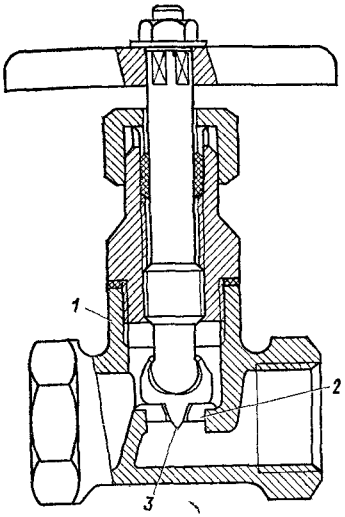

Рис. 5.13. Кран регулирующий с дросселирующим устройством

1 — сборка корпуса муфтового запорного вентиля D_y15 с шпинделем, крышкой, накидной гайкой и рукояткой; *2* — калиброванная диафрагма; *3* — запорно-регулирующий клапан

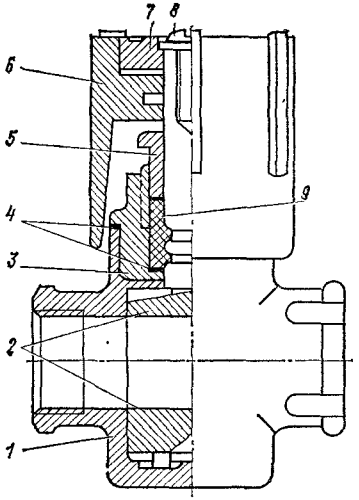

Рис. 5.14. Кран регулирующий трехходовой типа КРТП

1 — корпус; *2* — заслонка; *3* — крышка; *4* — прокладки; *5* — гайка сальника; *6* — рукоятка; *7* — крышка-указатель; *8* — винт с шайбой; *9* — сальниковое уплотнение

ством. В таких кранах (рис. 5.13) имеется дросселирующая диафрагма с заранее выбранным диаметром отверстия, единым для всей конкретной системы отопления. Диафрагма сочетается в кранах с клапаном вентильного типа, причем клапан на конце снабжен иглой для прочистки диафрагмы. Калиброванная конусная диафрагма (диаметром 3—6 мм), расположенная в седле корпуса вентиля D_y=15, создает сопротивление протеканию воды, достаточное для требуемого ее распределения между приборами системы отопления. Игольчатый клапан кроме прочистки диафрагмы обеспечивает потребительскую регулировку теплоотдачи прибора, а также может плотно закрывать кран.

У приборов **однотрубных систем водяного отопления** устанавливают, как известно, два вида кранов — краны КРП и КРТ. Если приборные узлы делаются с постоянно проточными замыкающими участками (см. рис. 5.7, *б*), то применяются проходные краны КРП. Такие краны вы-

Электронная библиотека http://tgv.khstu.ru/

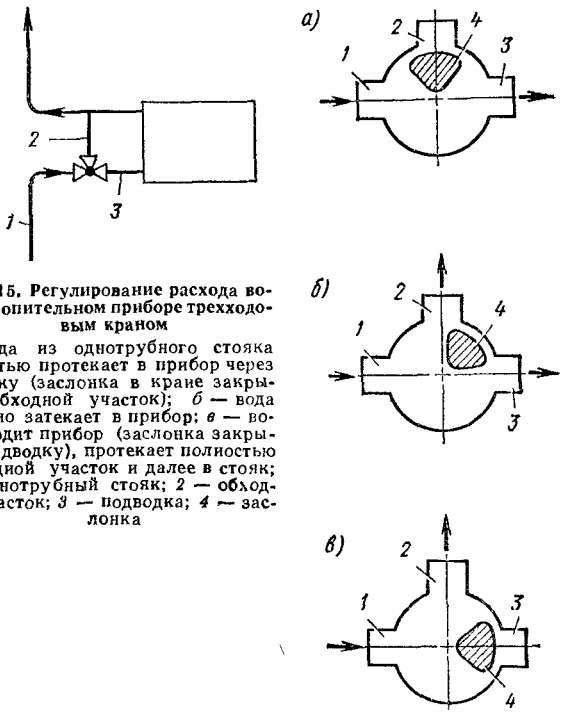

Рис. 5.15. Регулирование расхода воды в отопительном приборе трехходовым краном

а — вода из однотрубного стояка полностью протекает в прибор через подводку (заслонка в кране закрывает обходной участок); *б* — вода частично затекает в прибор; *в* — вода обходит прибор (заслонка закрывает подводку), протекает полностью в обходной участок и далее в стояк; *1* — однотрубный стояк; *2* — обходной участок; *3* — подводка; *4* — заслонка

пускаются двух размеров ($D_у$=15 и 20) и типов: шиберные краны типа КРПШ и краны с поворотной плоской заслонкой.

Шиберные краны типа КРПШ схожи с кранами типа КРДШ (см. рис. 5.11), но не имеют втулки для монтажной регулировки (не нужной для приборов однотрубных систем отопления). Краны рассчитаны на условное давление 1 МПа (10 кгс/см²) и температуру регулируемой среды (воды) до 150 °С. Коэффициент местного сопротивления кранов — 2,5—3,0. Конструкция кранов допускает их правое и левое исполнение.

Если приборные узлы делаются с обходными участками (см. рис. 5.7, *в*), предназначенными для периодического использования при частичном или полном выключении приборов, то применяются трехходовые краны КРТ.

Краны типа КРТП (рис. 5.14) выпускаются двух раз-

Электронная библиотека http://tgv.khstu.ru/

меров ($D_у$15 и 20) для применения в тех же условиях, как и краны КРДШ и КРПШ. Краны типа КРТП универсальны по конструкции — они могут устанавливаться на верхних и нижних подводках, с подачей теплоносителя справа и слева (краны собираются для подачи теплоносителя справа, но легко могут быть перемонтированы для подачи воды слева).

Заслонка крана может занимать различное положение (определяется при снятой рукоятке по срезу — лыске на торце шпинделя заслонки) и регулировать количество воды, протекающей через отопительный прибор. На рис. 5.15 представлена схема действия трехходового крана при движении воды по однотрубному стояку снизу вверх. Если заслонка закрывает отверстие в кране, обращенное к обходному участку (рис. 5.15, *а*), то вода из стояка целиком протекает в подводку и далее через прибор. Это положение заслонки соответствует расчетному, а следовательно, и монтажному положению при сдаче однотрубной системы в эксплуатацию. Промежуточное положение заслонки в корпусе трехходового крана при проведении эксплуатационного (потребительского) регулирования теплопередачи показано на рис. 5.15, *б*, положение заслонки при выключении прибора — на рис. 5.15, *в*. На заслонке имеется выступ, входящий в выемку на дне корпуса крана (см. рис. 5.14), ограничивающий поворот заслонки только на 90°. Положение заслонки в корпусе в эксплуатационных условиях соответствует положению дуговой стрелки, нанесенной на крышку — указатель крана.

На **подводках к приборам систем парового отопления** во избежание «прикипания» пробки краны заменяют вентилями с золотником без уплотнительного кольца, хотя гидравлическое сопротивление и шумовая характеристика их значительно превышают показатели кранов.

В системах отопления возможна установка общего регулирующего крана на трубе, подающей теплоноситель к группе отопительных приборов, расположенных в одном помещении.

Арматуру можно располагать также непосредственно на отопительных приборах. Известны, например, конструкции запорно-регулирующих кранов, устанавливаемых между секциями чугунных радиаторов. Уже говорилось о кране КРП, встроенном в стальной радиатор типа РСГ-2к.

Электронная библиотека http://tgv.khstu.ru/

Арматура на стояках предназначена для полного отключения отдельных стояков, если требуется проводить ремонтные и другие работы во время отопительного сезона. Арматуру для тех же целей помещают в начале и конце каждой ветви горизонтальных систем отопления.

Арматуру на стояках малоэтажных (1—3 этажа) зданий устанавливать нецелесообразно. Здесь проще предусматривать возможность отключения арматурой сравнительно небольшой части системы отопления (например, вдоль одного фасада здания). На стояках лестничных клеток арматуру применяют независимо от числа этажей.

В многоэтажных зданиях на стояках систем отопления устанавливают запорные проходные (пробочные) краны и вентили (см. рис. 5.4). Проходные краны используют при температуре теплоносителя воды до 105 °С и небольшом гидростатическом давлении в системе. В высоких зданиях при гидростатическом давлении, превышающем 0,6 МПа в нижней части стояков, проходные краны заменяют более прочными и надежными в работе вентилями. Вентили также предусматривают на стояках при других теплоносителях — высокотемпературной воде и паре. Предпочтительно применение вентилей с наклонным шпинделем («косых» вентилей), создающих меньшие гидравлические потери давления и шум по сравнению с «прямыми» вентилями.

При водяном отоплении для спуска воды из одного стояка (ветви) и впуска воздуха в него при этом, а также для выпуска воздуха при последующем заполнении водой рядом с запорными кранами (или вентилями) размещают спускные краны (внизу стояков со штуцером для присоединения гибкого шланга) — см. рис. 5.4.

При паровом отоплении иногда (при значительном протяжении систем) на конденсатных трубах удаленных стояков предусматривают установку спускных вентилей для «продувки» системы, т. е. для быстрого удаления воздуха из нее при пуске пара.

Арматура на магистралях необходима для отключения отдельных частей системы отопления. В качестве такой арматуры используют муфтовые проходные краны и вентили, а также фланцевые задвижки на трубах крупного калибра ($D_у \geqslant 50$ мм). В пониженных местах на магистралях устанавливают спускные краны, в повышенных местах

Электронная библиотека http://tgv.khstu.ru/

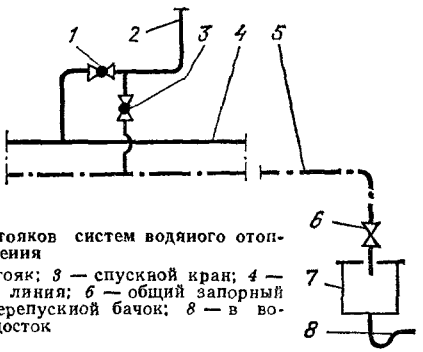

Рис. 5.16. Схема дренажа стояков систем водяного отопления

1 — запорный кран; *2* — стояк; *3* — спускной кран; *4* — магистраль; *5* — дренажная линия; *6* — общий запорный вентиль; *7* — открытый перепускной бачок; *8* — в водосток

водяных магистралей — воздушные краны или воздухосборники.

Паровые магистрали снабжают гидравлическими затворами (петлями) или конденсатоотводчиками для удаления конденсата, образующегося попутно при движении пара. Их можно отнести к запорной арматуре для пара.

На вертикальных воздушных трубах систем водяного отопления с нижней разводкой (см. рис. 5.19) предусматривают арматуру (проходные краны) в тех случаях, когда предусмотрена установка запорных кранов на самих стояках.

На дренажных трубах для опорожнения отдельных стояков или горизонтальных ветвей (при числе этажей три и более) систем водяного отопления применяют кроме спускных кранов у каждого стояка или ветви общий запорный вентиль перед бачком с разрывом струи для перепуска воды в водосточную сеть (рис. 5.16). Так поступают во избежание утечки воды через неисправные спускные краны стояков (ветвей) при действии системы.

Арматура в тепловом пункте здания предназначена для регулирования и отключения отдельных систем отопления, а также отопительного оборудования.

Задвижки размещают на главных подающих и обратных магистралях, до и после (по движению теплоносителя) теплообменников, циркуляционных и смесительных насосов, водоструйных элеваторов, редукционных клапанов, конденсатоотводчиков, исполнительных механизмов автоматического регулирования и других аппаратов, а также на обводных линиях.

Электронная библиотека http://tgv.khstu.ru/

Если кроме рабочего насоса установлен второй — резервный насос, то после каждого из них кроме задвижек помещают обратные клапаны (см. рис. 6.15). Насос находится в резерве при открытых задвижках, и обратный клапан предотвращает обратное движение воды через него к всасывающему патрубку работающего насоса. Основная запорная арматура дополняется воздушными и спускными кранами в повышенных и пониженных местах.

§ 5.5. Удаление воздуха из системы отопления

В системах центрального отопления, особенно водяного, скопления воздуха (точнее газов) нарушают циркуляцию теплоносителя и вызывают шум и коррозию стали. Воздух в системы отопления попадает различными путями: частично остается в свободном состоянии при заполнении их теплоносителем; подсасывается в процессе эксплуатации неправильно сконструированной системы; вносится водой при заполнении и эксплуатации в растворенном (точнее, поглощенном, абсорбированном) виде. В системе с деаэрированной водой появляется водород с примесью других газов.

Количество свободного воздуха, остающегося в трубах и приборах при их заполнении, не поддается учету, но этот воздух в правильно сконструированных системах удаляется в течение нескольких дней эксплуатации.

Подсоса воздуха можно избежать путем создания избыточного давления в неблагоприятных точках системы (см. § 7.2).

Количество растворенного воздуха, вводимого в системы при периодических добавках воды в процессе эксплуатации, определяется в зависимости от содержания воздуха в подпиточной воде. Холодная водопроводная вода может содержать свыше 30 г воздуха в 1 т воды, подпиточная деаэрированная вода из теплофикационной сети — менее 1 г. Поэтому всегда следует стремиться к заполнению и подпитке систем отопления деаэрированной водой.

Количество растворенного воздуха (газа), переходящего в свободное состояние, зависит от температуры и давления в системе отопления. Приведем зависимость растворимости (насыщающей концентрации) кислорода воздуха от температуры чистой воды при атмосферном давлении (98,1 кПа):

Электронная библиотека http://tgv.khstu.ru/

Температура воды, °С	5	30	50	70	90	95
Растворимость кислорода воздуха ρ_a, г/т	33	20	15	11	5	3

Следовательно, повышение температуры воды сопровождается значительным понижением содержания в ней растворенного кислорода, а также других газов, и в тех местах систем водяного отопления, где горячая вода находится под давлением, близким к атмосферному, из растворенного в свободное состояние переходит наибольшее количество газов.

Повышение давления задерживает переход абсорбированного газа в свободное состояние. Зависимость растворимости газа в воде от давления с достаточной точностью выражается законом Генри, согласно которому абсорбируемое количество газа пропорционально его давлению (при данной температуре), т. е. может быть представлена в виде

$$\rho_1 = \rho_a \frac{p_1}{p_a}, \qquad (5,3)$$

где ρ_a — растворимость газа в воде при атмосферном давлении, г/т; p_a и p_1 — парциальное давление газа (абсолютное) в воде соответственно при атмосферном и повышенном гидростатическом давлении.

Влияние повышения гидростатического давления на растворимость газа в воде видно из следующего примера. В системе водяного отопления восьмиэтажного здания (высота системы 23 м) наибольшая растворимость воздуха в воде при температуре 95 °С составит по формуле (5.3)

$$\rho_1 = 3{,}0 \frac{33 \cdot 9{,}81 - 84{,}6}{98{,}1 - 84{,}6} = \frac{3{,}0 \cdot 239{,}1}{13{,}5} = 53 \text{ г/т},$$

где 84,6 кПа — упругость водяных паров при температуре 95 °С; 239,1 и 13,5 — парциальное давление воздуха соответственно при абсолютном повышенном (323,7 кПа) и атмосферном (98,1 кПа) давлении.

В такой системе отопления растворенный воздух, вводимый с подпиточной водой, не сможет перейти в свободное состояние в нижней ее части. Это произойдет лишь при достаточном понижении гидростатического давления в верхней части системы.

Воздух в свободном состоянии занимает в системах водяного отопления значительный объем. Например, в системе вместимостью 7 м³ воды воздух, выделяющийся

Электронная библиотека http://tgv.khstu.ru/

при нагревании воды из водопровода от 5 до 95 °С, будет иметь объем

$$V_{\text{возд}} = \frac{V_{\text{с}}(\rho_{\text{а хол}} - \rho_{\text{а. гор}})}{10^3 \rho_{\text{о. возд}}} \frac{(273 + t_{\text{г}})}{273} = \frac{7(33-3)}{10^3} \frac{273+95}{1{,}29 \cdot 273} = 0{,}22 \text{ м}^3.$$

Такой объем воздуха может образовать «пробку» в трубе $D_{\text{у}}50$ протяженностью около 100 м, что нарушит циркуляцию теплоносителя. Этот пример подтверждает настоятельную необходимость удаления свободного воздуха из систем отопления.

Растворенный воздух имеет около 33% кислорода. Поэтому «водяной» воздух более опасен в коррозионном отношении для стальных труб, чем атмосферный, в котором содержится около 21% кислорода (по объему).

При эксплуатации систем отопления с деаэрированной водой в течение отопительного сезона при сравнительно малой коррозии металла могут появиться значительные скопления водорода. В воде происходит медленная ионная химическая реакция с образованием гидрата закиси железа $Fe(OH)_2$. В горячей воде гидрат закиси железа превращается в окалину — магнетит (осадок, имеющий вид черных частичек) с выделением водорода

$$3Fe(OH)_2 \rightleftarrows Fe_3O_4 + 2H_2O + H_2. \qquad (5\,4)$$

При коррозии, например, 1 см³ железа выделяется 1 л водорода.

Форма газовых скоплений в воде в свободном состоянии различна. Лишь пузырьки с диаметром сечения не более 1 мм имеют форму шара. С увеличением объема пузырьки сплющиваются, принимая эллипсоидную и грибовидную форму.

В вертикальных трубах пузырьки газа могут всплывать, находиться во взвешенном состоянии и, наконец, увлекаться потоком воды вниз.

В горизонтальных и наклонных трубах пузырьки газа занимают верхнее положение. Мельчайшие пузырьки задерживаются в нишах шероховатой поверхности труб. Более крупные пузырьки (объемом 0,1 см³ и более) в зависимости от уклона труб и скорости движения воды как бы катятся вдоль «потолочной» поверхности труб в виде прерывистой ленты. С увеличением скорости движения воды до 0,6 м/с начинается дробление газовых скоплений,

Электронная библиотека http://tgv.khstu.ru/

пузырьки в верхней части труб, отрываясь от их поверхности, двигаются по криволинейным траекториям. При скорости движения воды более 1 м/с мелкие пузырьки постепенно распространяются по всему сечению труб — возникает газоводяная эмульсия.

Направление движения пузырьков свободного воздуха в воде зависит от соотношения воздействующих на них сил — подъемной архимедовой силы и силы сопротивления движению.

Рассмотрим состояние идеального воздушного пузырька — шарика диаметром d в потоке воды, движущемся сверху вниз. Подъемная сила P, Н, действующая на пузырек, направлена вверх

$$P = V(\gamma_{вод} - \gamma_{воз}), \tag{5,5}$$

где V — объем пузырька; $\gamma_{вод}$ и $\gamma_{воз}$ — удельный вес, Н/м³, соответственно воды и воздуха.

При движении со скоростью v в потоке воды, обладающем скоростью w, пузырек испытывает силу сопротивления всплыванию

$$R = c_x \frac{\pi d^2}{4} \frac{\rho_{вод}(w - v)^2}{2}, \tag{5.6}$$

где c_x — коэффициент сопротивления.

При $P=R$ скорость $v=0$ и пузырек находится в потоке во взвешенном состоянии. Скорость w свободного потока, не ограниченного стенками трубы, при которой пузырек газа «витает» в воде, носит название **скорости витания**, или критической скорости движения воды.

При $P>R$ пузырек «всплывает» против течения воды и перемещается в верхние части системы.

При $P<R$, т. е. при скорости движения потока, превышающей критическую, пузырек газа уносится потоком воды и в системе отопления перемещается в нижние ее части.

Критическая скорость потока воды, связанная с обычными геометрическими размерами воздушных скоплений в системах водяного отопления, составляет в вертикальных трубах 0,20—0,25 м/с, в наклонных и горизонтальных трубах 0,10—0,15 м/с. Скорость всплывания пузырьков в воде не превышает скорости витания.

Проследим за состоянием газов и образованием их скоплений в вертикальных системах водяного отопления.

Электронная библиотека http://tgv.khstu.ru/

Газы переходят из растворенного состояния в свободное по мере уменьшения гидростатического давления: в главном стояке с горячей водой при верхней разводке, в отдельных стояках — при нижней. Свободные пузырьки и скопления газов движутся по течению или против него в зависимости от скорости потока воды и уклона труб. Газы собираются в высших точках системы, а при высокой скорости движения захватываются потоком и по мере понижения температуры и повышения гидростатического давления в нижних частях системы вновь абсорбируются водой.

Установим теперь совокупность мероприятий для сбора и удаления газов из систем водяного отопления.

В системах с верхней разводкой необходимо обеспечивать движение свободных газов к точкам их сбора. Точки сбора газов (и удаления их в атмосферу) следует назначать в наиболее высоко расположенных местах систем. Скорость движения воды в точках сбора должна быть менее 0,10 м/с; длина пути движения воды с пониженной скоростью выбирается с учетом всплывания пузырьков и скопления газов для последующего их удаления.

Конкретно магистралям придают определенный уклон в желательном направлении (см. § 5.2) и устанавливают проточные воздухосборники (рис. 5.17) — вертикальные или горизонтальные.

Минимально необходимый внутренний диаметр $d_в$, мм, воздухосборника определяют исходя из скорости движения воды в нем менее 0,10 м/с по формуле

$$d_в = 2G^{0,5}, \qquad (5.7)$$

где G — расход воды, кг/ч.

Выбранный диаметр воздухосборника должен превышать диаметр магистрали по крайней мере в 2 раза. Длину горизонтального воздухосборника делают в 2—2,5 раза больше его диаметра. Из воздухосборников газы удаляются в атмосферу периодически при помощи ручных спускных кранов или автоматических воздухоотводчиков (рис. 5.18).

В большинстве известных конструкций автоматических воздухоотводчиков (так называемых вантузов) поплавково-клапанного типа используются внутреннее гидростатическое давление для закрывания клапана (прижимания зо-

Электронная библиотека http://tgv.khstu.ru/

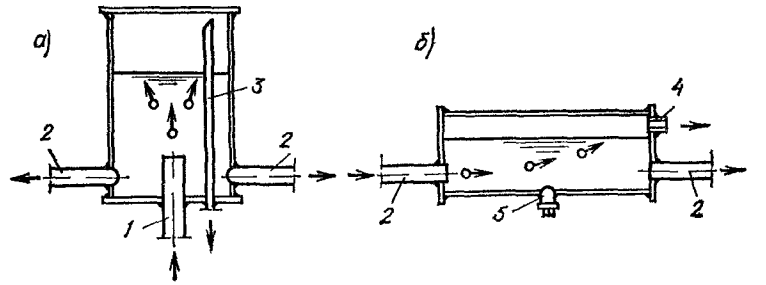

Рис. 5.17. Проточные воздухосборники

а — вертикальный на главном стояке, *б* — горизонтальный на магистрали; *1* — главный стояк, *2* — магистрали; *3* — труба $Д_у$15 (с краном) для выпуска воздуха; *4* — муфта $Д_у$15 для воздуховыпускной трубы, *5* — муфта $Д_у$15 с пробкой для выпуска грязи

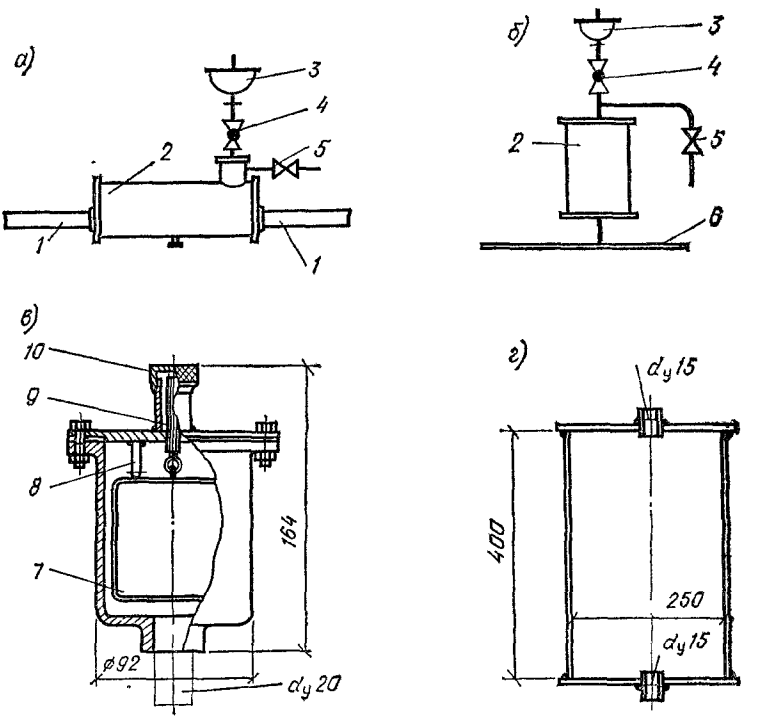

Рис. 5.18. Схемы установки воздухосборников и воздухоотводчиков

а — с горизонтальным проточным воздухосборником, *б* — с вертикальным непроточным воздухосборником; *в* — автоматический воздухоотводчик; *г* — непроточный воздухосборник; *1* — магистраль; *2* — воздухосборник, *3* — воздухоотводчики, *4* — запорные краны, *5* — ручные воздуховыпускные краны; *6* — воздушная линия; *7* — поплавок; *8* — упор; *9* — пружинный клапан, *10* — защитный колпак

Электронная библиотека http://tgv.khstu.ru/

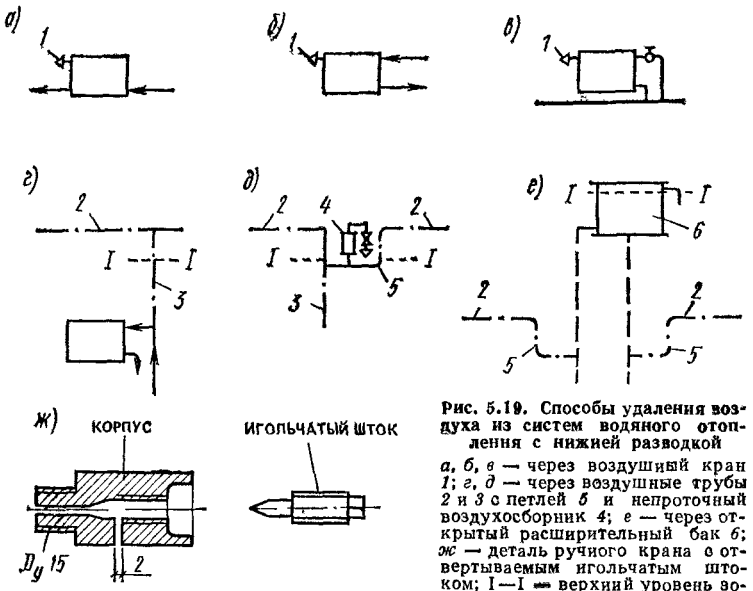

Рис. 5.19. Способы удаления воздуха из систем водяного отопления с нижней разводкой

а, б, в — через воздушный кран *1*; *г, д* — через воздушные трубы *2* и *3* с петлей *5* и непроточный воздухосборник *4*; *е* — через открытый расширительный бак *6*; *ж* — деталь ручного крана с отвертываемым игольчатым штоком; I—I — верхний уровень воды в стояках и баке

лотника клапана к седлу воздушной трубки) и масса поплавка для его открывания.

На рис. 5.18, *в* показан воздухоотводчик с пружинным воздуховыпускным клапаном. Если в пространстве между корпусом и поплавком собирается воздух, то поплавок опускается. При этом сжимается пружина в клапане и для воздуха открывается выход в атмосферу. Поступающая при этом в корпус вода поднимает поплавок и с помощью пружины клапан закрывается.

В системах с «опрокинутой» циркуляцией воды и верхним расположением обратной магистрали, в гравитационной системе с верхней разводкой для отделения и удаления газов используют расширительные баки с открытой переливной трубой.

В системах **водяного отопления с нижней разводкой обеих магистралей** газы, концентрирующиеся в колончатых радиаторах или в греющих трубах конвекторов, установленных на верхнем этаже, удаляют в атмосферу периодически при помощи ручных и автоматических воздушных

Электронная библиотека http://tgv.khstu.ru/

кранов *1* (рис. 5.19, *а*) или централизованно через специальные воздушные трубы *2* и *3* (рис. 5.19, *г*).

Распространен ручной бессальниковый воздушный кран $D_у$15 с поворотным игольчатым штоком (рис. 5.19, *ж*). Кран ввертывают в пробку радиаторов или тройник на подводке к конвекторам. Однако более совершенны автоматические воздушные краны, работа которых основана на свойстве сухого материала пропускать воздух и задерживать его при увлажнении.

При централизованном удалении газов воздушные трубы стояков соединяются горизонтальной воздушной линией (рис. 5.19, *г*) с петлей для устранения циркуляции воды в воздушной линии (рис. 5.19, *д*, *е*). Для периодического выпуска воздуха в воздушной петле помещают вертикальный воздухосборник со спускным краном (рис. 5.18, *б* и 5.19, *д*). Для непрерывного удаления воздуха воздушную петлю присоединяют к соединительной трубе открытого расширительного бака (рис. 5.19, *е*).

Особенно важны мероприятия по сбору и удалению воздушных скоплений при «подпитке» систем водопроводной водой. В этом случае при нижнем расположении магистралей колончатые радиаторы на верхнем этаже присоединяют по схеме снизу—вниз (см. рис. 5.19, *а*), конвекторы снабжают воздушными кранами или применяют централизованное удаление воздуха (см. рис. 5.19, *г*).

При подпитке систем отопления деаэрированной водой небольшие скопления газов в трубах и приборах на верхнем этаже устраняются сами по себе, если предусматривать повышение скорости движения воды в них до 0,30 м/с и более. Уносимые при этом газы будут абсорбироваться водой в нижней части стояков — в зоне повышенного гидростатического давления. Это вполне осуществимо в вертикальных однотрубных системах, и тогда возможно одностороннее — по унифицированной схеме — присоединение труб к отопительным приборам на верхнем этаже здания (см. рис. 5.19, *б*).

Поглощение воздуха водой протекает сравнительно быстро в отопительных приборах на нижних этажах зданий, где растворимость воздуха возрастает благодаря увеличению гидростатического давления. По наблюдениям процесс обезвоздушивания радиаторов, присоединенных к трубам по схеме снизу—вниз (см. рис. 5.19, *а*), при зна-

Электронная библиотека http://tgv.khstu.ru/

чительном гидростатическом давлении практически заканчивается в течение 2—3 сут без открывания воздушных кранов. Поэтому при обеспечении достаточной растворимости газов трубы можно присоединять к приборам по схеме, изображенной на рис. 5.19, *в*, способствующей повышению плотности теплового потока приборов.

В вертикальных однотрубных системах многоэтажных зданий с П-образными и бифилярными стояками наверху каждого стояка можно устанавливать только один воздушный кран и пользоваться им только при спуске воды из стояка. При наполнении же системы воздух можно удалять в основании нисходящей части стояков путем выдавливания его водой.

В системах парового отопления воздух находится в свободном состоянии. В паропроводах пар вытесняет воздух в нижние части систем к конденсатным трубам. Удельный вес воздуха приблизительно в 1,6 раза больше, чем удельный вес пара: при температуре 100 °С соотношение составляет 9 Н/м³ к 5,7 Н/м³, чем объясняется скопление воздуха над поверхностью конденсата. Так как растворимость воздуха в конденсате незначительна из-за высокой температуры конденсата, воздух остается в свободном состоянии.

В горизонтальных и наклонных самотечных конденсатных трубах воздух перемещается над уровнем конденсата, в напорных конденсатных трубах — в виде пузырьков и водовоздушной эмульсии.

В паровых системах низкого давления воздух удаляют в атмосферу через специальные воздушные трубы.

В паровых системах высокого давления воздух захватывается конденсатом, движущимся с высокой скоростью. Водовоздушная эмульсия по трубам попадает в закрытый конденсатный бак, где воздух отделяется от конденсата и периодически отводится в атмосферу через специальную воздушную трубу.

§ 5.6. Изоляция теплопроводов

При перемещении теплоносителя по трубам, проложенным в неотапливаемых помещениях, может значительно понизиться температура горячей воды и бесполезно сконденсироваться часть пара. Возможна также передача в

Электронная библиотека http://tgv.khstu.ru/

рабочие помещения шума и вибраций, вызываемых действующими насосами. Шум может также возникнуть при движении теплоносителя с чрезмерно высокой скоростью.

Для уменьшения бесполезных теплопотерь отопительные трубы в неотапливаемых помещениях покрывают **тепловой изоляцией**. Известно, что бóльшая экономия тепловой энергии достигается при повышении качества тепловой изоляции. Оптимальную толщину слоя находят путем технико-экономического расчета. Практически толщину слоя изоляции определяют исходя из его термического сопротивления не менее 0,86 °С·м²/Вт для труб $D_у \leqslant 25$ мм и 1,22 °С××м²/Вт для труб $D_у > 25$ мм.

Качество тепловой изоляции оценивается ее КПД

$$\eta_{из} = \frac{Q_{тр} - Q_{из}}{Q_{тр}}, \qquad (5.8)$$

выражающим отношение тепловой энергии, сэкономленной при наложении изоляции ($Q_{тр}$—$Q_{из}$), к теплопотерям неизолированной трубой $Q_{тр}$.

В современных конструкциях тепловой изоляции при использовании материалов теплопроводностью до 0,1 Вт/(м·°С) оптимальная толщина слоя обеспечивает КПД изоляции, близкий к 0,8.

Тепловую изоляцию труб применяют, кроме того, в местах, где возможны замерзание теплоносителя (близ наружных дверей, ворот и других открываемых проемов), воспламенение и взрыв газов и пыли, ожоги людей, а также в искусственно охлаждаемых помещениях. При скрытой прокладке стояков принимают меры для уменьшения теплопотерь наружу. Между замоноличенным стояком и массивом наружной стены помещают тепловую изоляцию. При замоноличивании во внутреннюю перегородку или стену стояк не менее чем на 300 мм относят от плоскости наружной стены. Стояки в бороздах наружных стен нередко покрывают тепловой изоляцией (в зависимости от местных метеорологических условий и конструкции стен).

Различают следующие конструкции тепловой изоляции:

мастичную, наносимую на трубу вручную;

набивную или засыпную под каркас из сетки или в канал;

оберточную из лент, жгутов и матов;

сборную из штучных колец, скорлуп и сегментов;

Электронная библиотека http://tgv.khstu.ru/

литую, наносимую на трубу механизированным способом.

Конструкции изоляции перечислены в порядке, соответствующем уменьшению затрат ручного труда при производстве работ.

Распространенные в настоящее время оберточная и сборная конструкции начинают вытесняться литой тепловой изоляцией (например, из пенобетона), заранее наносимой на трубы в заводских условиях.

При выборе конструкции предпочтение отдается теплоизоляционным материалам, экономичным, надежным в эксплуатации, позволяющим сокращать затраты труда при монтаже.

Теплоизоляционная конструкция помимо основного изоляционного слоя и крепежных элементов (если они необходимы) имеет покровно-защитный слой, придающий изоляции правильную форму и защищающий ее от внешних механических повреждений. Защитный слой может быть штукатурным и листовым (асбестоцементным, алюминиевым и т. п.).

При наличии нескольких изолированных труб в одном помещении на поверхности защитного слоя делаются цветовые обозначения для каждой трубы.

Вибрация и шум действующих насосов могут передаваться по отопительным трубам в помещения, если не будут приняты меры по изоляции насосов. В системах водяного отопления рекомендуется прежде всего применять малошумные бесфундаментные (закрепляемые непосредственно на трубах) циркуляционные насосы. Однако в системах водяного и парового отопления могут быть применены также более мощные насосы общепромышленного назначения, устанавливаемые на фундаментах. Для устранения вибрации и шума фундаменты таких насосов не связывают с конструкциями помещений и дополняют виброизолирующими амортизаторами. Каждый насос отделяют от отопительных магистралей двумя гибкими виброизолирующими вставками из армированной резины (см. рис. 6.15).

Отопительные магистрали в местах прохода через стены и перекрытия помещений снабжают амортизирующими прокладками из резинового полотна или асбестового картона. Зазоры между трубами, прокладками и строительными конструкциями заделывают негорючей упругой мастикой.

Электронная библиотека http://tgv.khstu.ru/

Указанные мероприятия, а также балансировка рабочего колеса насоса, центровка осей насоса и электродвигателя, акустическая обработка стен и потолка значительно снижают уровень звукового давления в насосном помещении и препятствуют передаче вибрации и шума в окружающие помещения.

В тех случаях, когда вибрация и шум в рабочих помещениях недопустимы даже на низком уровне, насосное помещение устраивают за пределами здания или предусматривают систему отопления с естественной циркуляцией теплоносителя.

Шум также может возникать в системах отопления при движении воды и пара с высокой скоростью. Шум появляется прежде всего в местных сопротивлениях — там, где изменяются направление и площадь поперечного сечения с возрастанием скорости потока.

Для того чтобы ограничить уровень возникающего шума, понижают скорость движения теплоносителя в трубах перед местными сопротивлениями. Понижение скорости связывают с предельным спектром (ПС) звукового давления, допустимым для помещения, и коэффициентом местного сопротивления (КМС) арматуры. Чем меньше ПС и больше КМС арматуры, тем ниже должна быть максимальная скорость движения теплоносителя в трубе, на которой помещена арматура.

Для жилых помещений (ПС-25), например, установка диафрагмы диаметром 3 мм в кране повышенного сопротивления (см. рис. 5.13) потребует понижения скорости движения воды в подводках $D_у 15$ к отопительному прибору до 0,10 м/с. Такой скорости соответствует расход воды 69 кг/ч и, следовательно, тепловая мощность прибора при перепаде температуры воды в нем 25 °С не должна превышать 2000 Вт.

Для зданий различного назначения, исходя из требования бесшумности или малошумности действия, установлены общие ограничения скорости движения воды и пара в теплопроводах систем отопления.

Электронная библиотека http://tgv.khstu.ru/

КОНТРОЛЬНЫЕ ЗАДАНИЯ И УПРАЖНЕНИЯ

1. Изобразите возможные схемы присоединения теплопроводов к отопительным приборам систем водяного отопления и укажите области их применения.

2. Разработайте приборные узлы повышенной заводской готовности для горизонтальных однотрубных систем водяного отопления.

3. Установите соотношение плотности пара и воздуха в системах парового отопления низкого и высокого давления.

4. Определите, насколько выше теплоотдача горизонтальных теплопроводов по сравнению с вертикальными (при прочих равных условиях).

5. Установите степень влияния замоноличивания теплопроводов в тяжелый бетон на их теплоотдачу в помещения.

6. Исследуйте зависимость растворимости азота воздуха в воде от ее температуры при атмосферном давлении.

7. Определите наибольшее количество растворенного воздуха в воде системы отопления 17-этажного здания, которое может содержаться при температуре воды 95 °С.

8. Предложите мероприятия по повышению надежности автоматических воздухоотводчиков.

9. Сравните пропускную способность стальных труб по ГОСТ 3262—75 * и ГОСТ 10704—76 * при одинаковом диаметре условного прохода.

Электронная библиотека http://tgv.khstu.ru/

РАЗДЕЛ III. ВОДЯНОЕ ОТОПЛЕНИЕ

ГЛАВА 6. СИСТЕМА ВОДЯНОГО ОТОПЛЕНИЯ

Водяное отопление с искусственным побуждением циркуляции воды при помощи насоса — **насосное** водяное отопление — получило широкое распространение. Водяное отопление с естественной циркуляцией — **гравитационное** — применяют в настоящее время сравнительно редко.

Практика подтвердила гигиенические и технические преимущества водяного отопления. При водяном отоплении отмечают (по сравнению с паровым) относительно невысокую температуру поверхности приборов и труб, равномерную температуру помещений, значительный срок службы, экономию тепловой энергии, бесшумность действия, простоту обслуживания и ремонта.

Ниже рассматривается, как основная, система насосного водяного отопления.

§ 6.1. Теплоснабжение системы водяного отопления

Теплоисточником для системы водяного отопления до середины XX в. являлась главным образом местная водогрейная котельная (**местное теплоснабжение**), размещаемая в отапливаемом здании или близ него. Встречалось также (чаще на территории промышленных предприятий) паровое теплоснабжение с применением пароводяного теплообменника в системе водяного отопления.

Во второй половине XX в. распространилось **централизованное водяное теплоснабжение,** при котором используется высокотемпературная вода, поступающая в здание издалека — из ТЭЦ или центральной тепловой станции (см. рис. 1.4).

В зависимости от источника теплоснабжения изменяются оборудование местного теплового пункта системы отопления и ее принципиальная схема (рис. 6.1).

Принципиальная схема системы насосного водяного отопления при **местном теплоснабжении** от собственной водогрейной котельной в отапливаемом здании показана на рис. 6.1, *а*. Воду, нагреваемую в котлах, перемещает

Электронная библиотека http://tgv.khstu.ru/

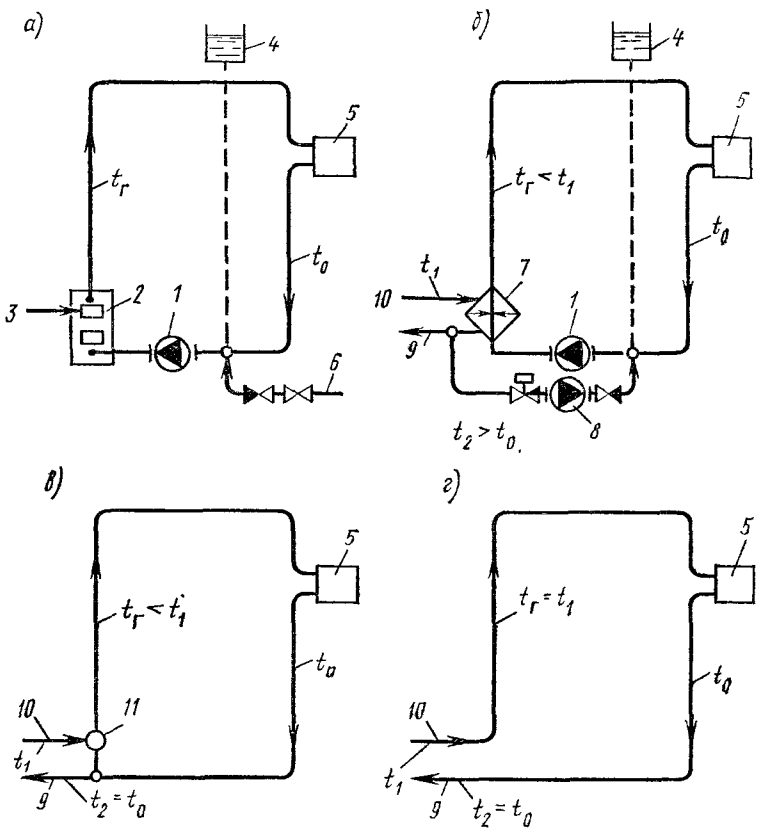

Рис. 6.1. Принципиальные схемы системы насосного водяного отопления при местном теплоснабжении (*а*) и присоединении к наружным теплопроводам централизованного теплоснабжения (*б*, *в*, *г*)

1 — циркуляционный насос; *2* — котел; *3* — подача топлива; *4* — расширительный бак; *5* — отопительные приборы; *6* — водопровод; *7* — теплообменник; *8* — подпиточный насос; *9*, *10* — наружные подающий и обратный теплопроводы; *11* — смесительная установка

циркуляционный насос, включенный в общую обратную магистраль, к которой, как изображено на схеме, присоединен также расширительный бак. Систему заполняют водой из водопровода.

При **централизованном водяном теплоснабжении** применяют три способа присоединения системы насосного водя-

Электронная библиотека http://tgv.khstu.ru/

ного отопления к наружным теплопроводам (рис. 6.1, *б*, *в*, *г*).

Независимая схема присоединения системы насосного водяного отопления (см. рис. 6.1, *б*) близка по своим элементам к схеме при местном теплоснабжении (см. рис. 6.1, *а*). Лишь котлы заменяют теплообменниками и систему заполняют деаэрированной водой (лишенной растворенного воздуха) из наружной тепловой сети, используя высокое давление в ней или специальный подпиточный насос, если это давление недостаточно высоко. Воду для заполнения системы, как правило, забирают из обратного теплопровода (показано на рисунке). Возможна, однако, подача воды и из подающего теплопровода, если давление высокотемпературной воды, передающееся при этом в систему, допустимо для всех ее элементов.

При независимой схеме создается местный теплогидравлический режим в системе отопления при пониженной температуре греющей воды ($t_г < t_1$). Первичная вода после теплообменников должна иметь температуру выше температуры обратной воды в системе отопления ($t_2 > t_0$). Если, например, расчетная температура $t_0 = 70$ °С, то для сокращения площади нагревательной поверхности теплообменников температура t_2 должна быть не ниже 75 °С.

Независимую схему присоединения применяют, когда в системе не допускается повышение гидростатического давления (по условию прочности отопительных приборов) до давления, под которым находится вода в наружном обратном теплопроводе.

Преимуществом независимой схемы, кроме обеспечения теплогидравлического режима, индивидуального для каждого здания, является возможность сохранения циркуляции с использованием теплосодержания воды в течение некоторого времени, обычно достаточного для устранения аварийного повреждения наружных теплопроводов. Система отопления при независимой схеме служит дольше, чем система с местной котельной, вследствие уменьшения коррозионной активности воды.

Зависимая схема присоединения системы отопления **со смешением воды** (см. рис. 6.1, *в*) проще по конструкции и в обслуживании. Стоимость ее ниже стоимости независимой схемы (благодаря исключению таких элементов, как теплообменники, расширительный бак и подпиточный насос, функции которых выполняются централизованно на

Электронная библиотека http://tgv.khstu.ru/

тепловой станции). Эту схему выбирают, когда в системе требуется температура воды $t_г < t_1$ и допускается повышение гидростатического давления до давления, под которым находится вода в наружном обратном теплопроводе. Смешение обратной воды из системы отопления с высокотемпературной водой из наружного подающего теплопровода осуществляют при помощи смесительного аппарата — насоса или водоструйного элеватора. Насосная смесительная установка имеет преимущество перед элеваторной: ее КПД выше; в случае аварийного повреждения наружных теплопроводов возможно, как и при независимой схеме присоединения, сохранение циркуляции воды в системе отопления. Смесительный насос можно применять в системах отопления со значительным гидравлическим сопротивлением, тогда как при использовании элеваторной смесительной установки потери давления в системе должны быть сравнительно небольшими. Водоструйные элеваторы получили широкое распространение благодаря безотказному и бесшумному действию.

Недостатком зависимой схемы присоединения со смешением является незащищенность системы от повышения в ней гидростатического давления, непосредственно передающегося через обратный теплопровод, до значения, опасного для целости отопительных приборов и арматуры.

Зависимая прямоточная схема присоединения системы отопления к наружным теплопроводам наиболее проста по конструкции и в обслуживании: в системе отсутствуют такие элементы, как теплообменник или смесительная установка, циркуляционный и подпиточный насосы, расширительный бак (см. рис. 6.1, *г*). Прямоточную схему применяют, когда в системе допускаются подача высокотемпературной воды ($t_г = t_1$) и значительное гидростатическое давление, или при прямой подаче низкотемпературной воды.

Недостатками зависимой прямоточной схемы являются невозможность местного регулирования температуры горячей воды и зависимость теплового режима здания от «обезличенной» температуры воды в наружном подающем теплопроводе. Высота зданий, в которых используют высокотемпературную воду, ограничена вследствие необходимости сохранить в системе гидростатическое давление, достаточно высокое для предотвращения вскипания воды.

При централизованном теплоснабжении с применением

Электронная библиотека http://tgv.khstu.ru/

независимой и зависимых схем присоединения в системе отопления циркулирует деаэрированная вода. Это не только упрощает удаление воздуха из системы (фактически удаление воздушных скоплений проводят только в пусковой период после монтажа и ремонта), но и увеличивает срок ее службы.

§ 6.2. Схемы системы насосного водяного отопления

Систему водяного отопления как при местном, так и при централизованном теплоснабжении применяют, как уже известно, с верхним и нижним расположением магистралей, с тупиковым и попутным движением воды в них, с последовательным и параллельным (по направлению движения воды) соединением отопительных приборов. По последнему признаку систему называют однотрубной, двухтрубной или бифилярной.

При разработке систем отопления конкретных зданий составляют **схемы** систем, различным образом сочетая в каждой схеме магистрали, стояки и ветви с отопительными приборами.

В схеме системы отопления устанавливается взаимное расположение теплообменников (котлов), циркуляционных насосов, теплопроводов, отопительных приборов и других элементов в зависимости от размещения их в здании, т. е. закрепляется **топология** системы.

Схемы системы отопления в течение 50—70-х годов XX в. существенно видоизменялись, причем общим явлением в Советском Союзе было вытеснение ранее широко распространенных двухтрубных систем однотрубными. При использовании однотрубных систем вместо двухтрубных появилась возможность уменьшить длину и массу труб (табл. 6.1), унифицировать отдельные узлы и детали, устранить замеры в натуре, механизировать процессы заготовки деталей, осуществить предварительную сборку и комплектацию узлов, а в результате — сократить затраты труда и сроки монтажа систем.

Потери давления в однотрубных стояках и ветвях получаются значительно превышающими потери в двухтрубных стояках. При этом устанавливается устойчивый гидравлический режим однотрубных систем: заданное распределение теплоносителя по отопительным приборам сохра-

Электронная библиотека http://tgv.khstu.ru/

Таблица 6.1. Расход труб и площадь радиаторов, %, в различных насосных системах водяного отопления 5-этажного жилого здания при верхней разводке *

Стояки с двусторонним присоединением радиаторов	Трубы		Площадь радиаторов
	длина	масса	
Двухтрубные	100	100	100
Однотрубные:			
с замыкающими участками (со «сжимом»)	74	93	108
проточные	72	91	98

няется в течение всего отопительного сезона. Поэтому у приборов можно устанавливать регулирующие краны КРП или КРТ (см. § 5.4), предназначенные только для эксплуатационного (так называемого вторичного) регулирования. При сдаче смонтированных однотрубных систем в эксплуатацию не проводят пуско-наладочного (первичного) регулирования теплоотдачи отопительных приборов, как это делают при двухтрубных системах.

Рассмотрим основные схемы однотрубных, двухтрубных и бифилярных систем, практически используемые при водяном отоплении зданий (схема в проекте, как правило, изображается в аксонометрической проекции; в учебнике дается упрощенное плоское изображение).

Вертикальная однотрубная система с верхней разводкой (с верхним расположением подающей и нижней прокладкой обратной магистралей) получила распространение в начале 50-х годов (рис. 6.2). Она выполнялась сначала с двусторонним (стояки *I*, *II*, *IV*), а потом и с односторонним присоединением отопительных приборов к стоякам (стояки *III* и *V*). Приборные узлы делались как проточными (стояк *I*), так и с замыкающими (стояки *II* и *III*) и обходными (стояки *IV* и *V*) участками. Все типы стояков показаны на рис. 6.2 для примера, а в конкретной системе применяется какой-либо один (иногда два) тип стояка.

Замыкающие постоянно проточные участки устраивались осевыми (стояк *II*) и смещенными от оси (стояк *III*),

* **Шацкий М. М., Миллер В. Н.** Техническое и экономическое сравнение систем водяного отопления.— М.: Госстройиздат, 1954.

Электронная библиотека http://tgv.khstu.ru/

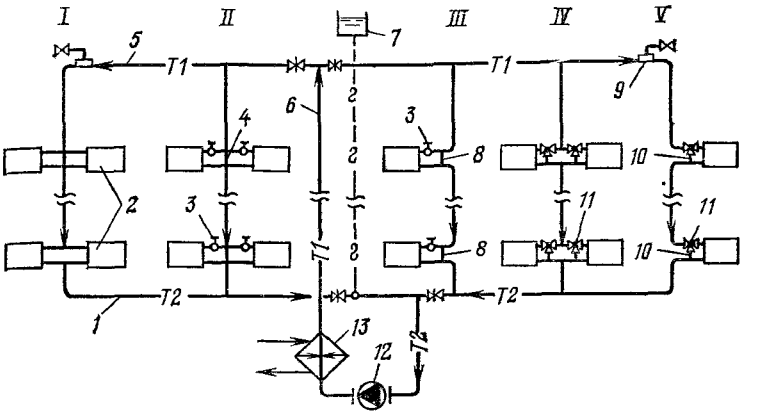

Рис. 6.2. Схема вертикальной однотрубной системы водяного отопления с верхней разводкой и стояками различной (условно) конструкции

I — проточный стояк; *II* и *III* — стояки соответственно с осевыми и смещенными замыкающими участками; *IV* и *V* — проточно-регулируемые стояки; *1* — обратная магистраль; *2* — отопительные приборы; *3* — краны КРП; *4* — осевой замыкающий участок; *5* — подающая магистраль; *6* — главный стояк; *7* — расширительный бак; *8* — смещенный замыкающий участок; *9* — проточный воздухосборник; *10* — обходной участок; *11* — краны КРТ; *12* — циркуляционный насос; *13* — теплообменник

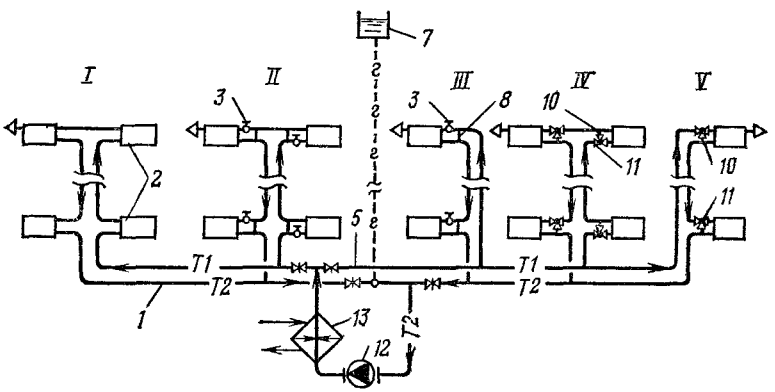

Рис. 6.3. Схема вертикальной одиотрубной системы водяного отопления с нижней разводкой и *П*-образными стояками различной (условно) конструкции

I — проточный стояк; *II* и *III* — стояки со смещенными замыкающими участками; *IV* и *V* — проточно-регулируемые стояки (обозначения *1—13* см на рис. 6 2)

со «сжимами», т. е. с уменьшением диаметра по сравнению с диаметром основного участка стояка, и без «сжимов». Было доказано, что «сжимы» осевых замыкающих участков

Электронная библиотека http://tgv.khstu.ru/

несущественно изменяют количество воды, затекающей в приборы. В большей степени увеличивается расход воды в приборах при использовании смещенных замыкающих участков (участки *8* на рисунке). При этом также, как уже отмечалось, обеспечивается компенсация удлинения труб при нагревании межприборных участков стояков.

Обходные участки (участки *11*), предназначенные для периодического использования при потребительском регулировании теплоотдачи приборов кранами КРТ, устраивали сначала осевыми, а затем, как правило, смещенными.

Вертикальная однотрубная система с верхней разводкой применяется в настоящее время со стояками всех трех типов — проточными, с замыкающими участками и проточно-регулируемыми — в многоэтажных зданиях, имеющих четыре—девять этажей и более.

Вертикальная однотрубная система с нижней разводкой (с нижним расположением обеих магистралей) стала распространяться с начала 60-х годов в связи с массовым строительством бесчердачных зданий (рис. 6.3). В так называемых П-образных стояках (состоящих из восходящей и нисходящей частей) этой системы применялись и проточные приборные узлы (стояк *I*), и узлы с замыкающими участками (стояк *II*), и проточно-регулируемые узлы (стояк *IV*). При непарных отопительных приборах «холостой» делали восходящую часть стояков (стояки *III* и *V*). В пробках верхних радиаторов или в верхних точках стояков с конвекторами устанавливали воздушные краны. Регулирующие краны КРП и КРТ помещали на подводках, по которым теплоноситель подается в приборы.

В стояках по типу стояка *II* (рис. 6.3) при движении воды снизу вверх уменьшается затекание ее в приборы, особенно при увеличенном их сопротивлении. Поэтому предпочтение отдавалось проточно-регулируемым приборным узлам с односторонним присоединением приборов к трубам и смещенными обходными участками (стояк *IV*). В таком виде эту систему применяют в настоящее время в бесчердачных многоэтажных (три—семь этажей и более) зданиях, имеющих технические подполья или подвальные помещения.

Систему отопления с П-образными стояками можно включать в действие в процессе монтажа поэтажно (с временными перемычками), и эту особенность системы исполь-

Электронная библиотека http://tgv.khstu.ru/

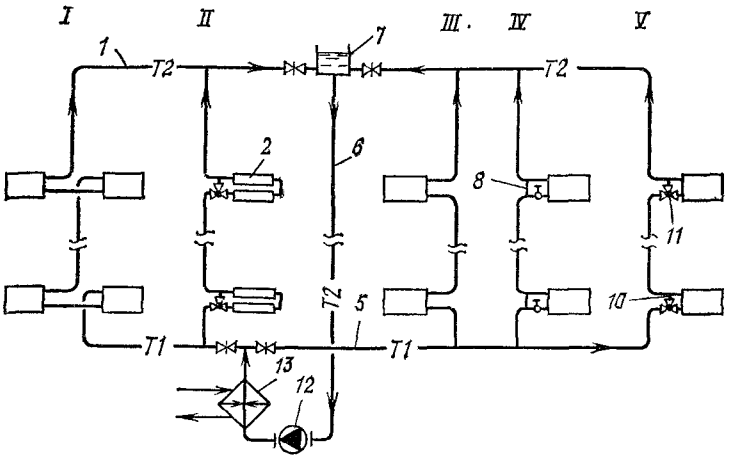

Рис. 6.4. Схема вертикальной однотрубной системы водяного отопления с опрокинутой циркуляцией воды, проточным расширительным баком и стояками различной (условно) конструкции

I — проточный стояк с конвекторами КН; *II* и *V* — проточно-регулируемые стояки с конвекторами КА (*II*) и радиаторами (*V*); *III* — проточный стояк с радиаторами; *IV* — стояк со смещенными к радиаторам замыкающими участками (обозначения *1—13* см. на рис. 6.2)

зуют в зимнее время при выполнении внутренних отделочных работ в строящемся многоэтажном здании.

Вертикальная однотрубная система с «опрокинутой» циркуляцией воды (с нижним расположением подающей магистрали и верхней прокладкой обратной магистрали), изображенная на рис. 6.4, стала применяться с середины 60-х годов в зданиях повышенной этажности (10 этажей и более). Стояки таких систем делали проточными (стояки *I* и *III*) или со смещенными замыкающими (стояк *IV*) и обходными (стояки *II* и *V*) участками. Осевых замыкающих и обходных участков не применяли. Встречалось двустороннее присоединение приборов к стояку, например, при установке конвекторов типа «Комфорт-20» с двумя горизонтально расположенными греющими трубами (стояк *I*). Потери давления в стояках таких систем предусматривают при расчете повышенными для обеспечения устойчивого гидравлического режима при эксплуатации. В этой системе иногда применяются проточные расширительные баки (см. рис. 6.4).

Электронная библиотека http://tgv.khstu.ru/

Система с опрокинутой циркуляцией воды способствует, не в пример системе с верхней разводкой, поддержанию равномерного теплового режима во всех помещениях и установке приборов одинаковой площади по высоте здания (когда степень охлаждения воды в стояках соответствует уменьшению теплопотерь однотипных помещений по вертикали). При проектировании этой системы избегают применения колончатых стальных и чугунных радиаторов из-за преувеличения их площади при движении воды в них снизу вверх (до 12—14% по сравнению с площадью при движении сверху вниз), а также установки приборов с высоким гидравлическим сопротивлением в стояках с замыкающими участками.

В жилых зданиях с «теплыми» чердаками обратные магистрали рассматриваемой системы прокладывают на чердаках без тепловой изоляции; чердаки с учетом теплоотдачи труб становятся «теплыми». Такие чердаки используют для бесканального сбора вытяжного воздуха к вентиляционным шахтам.

Еще раз отметим, что для большинства современных вертикальных однотрубных систем водяного отопления характерно одностороннее присоединение отопительных приборов к стоякам. Хотя при этом и увеличиваются число стояков и расход труб, зато появляется возможность уменьшить их диаметр и унифицировать приборные узлы. Массовое обезличенное изготовление таких узлов способствует повышению производительности труда. Кроме того, увеличение числа открыто прокладываемых стояков — своеобразных эффективных отопительных приборов — заметно сокращает площадь нагревательной поверхности основных приборов.

Схемы двухтрубной системы водяного отопления представлены в совмещенном виде на рис. 6.5 применительно к двухэтажному зданию. Слева показана часть системы с верхней разводкой (рис. 6.5, *а*), справа — с нижней разводкой (рис. 6.5, *б*), причем левый из двух стояков изображен с централизованным удалением воздуха, а правый — с местным через воздушные краны на отопительных приборах на верхнем этаже.

Двухтрубная система, как уже отмечено, применялась в последнее время сравнительно редко. Система с **верхней разводкой** использовалась при естественной циркуляции

Электронная библиотека http://tgv.khstu.ru/

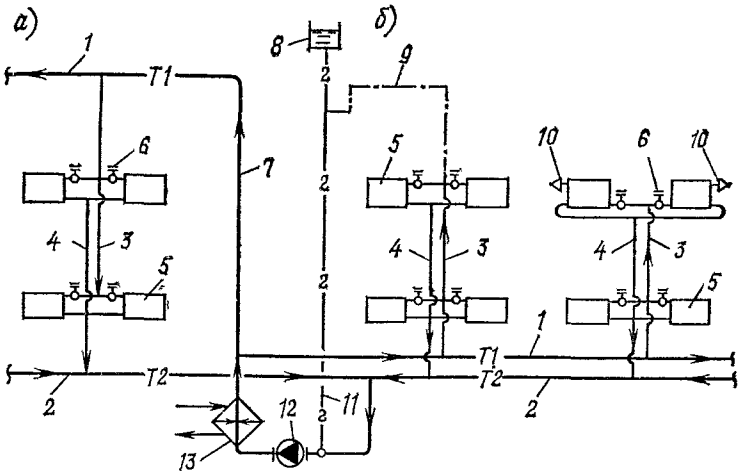

Рис. 6.5. Схемы вертикальной двухтрубной системы водяного отопления с верхней (*а*) и нижней (*б*) разводкой (при нижней разводке стояки условно различной конструкции)

1 и *2* — подающие *Т*1 и обратные *Т*2 магистрали; *3* и *4* — подающие и обратные стояки; *5* — отопительные приборы; *6* — краны КРД; *7* — главный стояк; *8* — расширительный бак; *9* — воздушная линия; *10* — воздушные краны; *11* — соединительная труба расширительного бака; *12* — циркуляционный насос; *13* — теплообменник

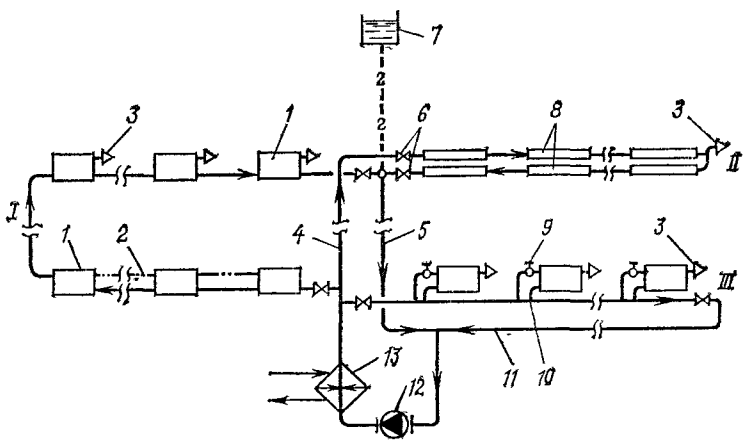

Рис. 6.6. Схема горизонтальной однотрубной системы отопления с ветвями различной (условно) конструкции

I — проточная ветвь для приборов на разных этажах; *II* — проточная бифилярная ветвь; *III* — ветвь с замыкающими участками; *1* — радиаторы; *2* — воздушная труба; *3* — воздушные краны; *4* — подающий стояк; *5* — обратный стояк; *6* — вентили; *7* — расширительный бак; *8* — конвекторы двухтрубные, *9* — краны КРП; *10* — замыкающий участок; *11* — обратная магистраль; *12* — циркуляционный насос; *13* — теплообменник

Электронная библиотека http://tgv.khstu.ru/

воды, особенно при квартирном отоплении, а также для отопления железнодорожных вагонов. При насосной циркуляции воды эта система устраивалась преимущественно в малоэтажных (два—три этажа) зданиях во избежание значительного вертикального теплового разрегулирования.

Двухтрубная система **с нижней разводкой** применялась чаще, чем система с верхней разводкой, особенно при числе этажей в зданиях более двух—трех и в зданиях, состоящих из разноэтажных частей. При этом исходили из ее преимуществ — меньшего расхода труб и большей вертикальной гидравлической и тепловой устойчивости по сравнению с системой, выполненной с верхней разводкой.

Воздушные линии для централизованного удаления воздуха (рис. 6.5, *б*) устраивались только в специально обоснованных случаях, учитывая увеличение при этом расхода труб. Как правило, систему делали с воздушными кранами в верхних точках стояков.

На рис. 6.5 изображена распространенная так называемая столбовая схема прокладки стояков, при которой подводки присоединяются к отопительным приборам односторонне. Подающие и обратные стояки при этом прокладывают рядом (подающие всегда справа при взгляде из помещения). Существует также цепочечная схема прокладки стояков, когда они располагаются разобщенно (по одному между приборами), а подводки присоединяются к приборам с разных сторон. При разностороннем (особенно диагональном) присоединении труб к радиаторам эти приборы лучше прогреваются, исключаются также скобы на стояках для огибания горизонтальных подводок. Все же преимущественно применяют столбовую схему, при которой возможны независимое регулирование и отключение для ремонта обособленных парных стояков.

Горизонтальная однотрубная система, встречавшаяся ранее в основном в одноэтажных зданиях временного типа, в последнее время стала применяться для отопления сельскохозяйственных сооружений, многоэтажных зданий как производственных, так и гражданских (рис. 6.6). Распространение горизонтальной системы связано с увеличением длины зданий, внедрением сборных каркасно-панельных конструкций с широким шагом колонн и удлиненными световыми проемами. Отсутствие в таких зданиях простенков и отверстий в панелях перекрытий затрудняло разме-

Электронная библиотека http://tgv.khstu.ru/

щение традиционных вертикальных стояков. Наличие ленточных световых проемов предопределяло размещение отопительных приборов не отдельными группами, а в виде цепочек (во избежание теплового дискомфорта в помещениях). Соединяя последовательно отопительные приборы увеличенной длины короткими трубными вставками, получали горизонтальные однотрубные ветви.

В горизонтальной однотрубной системе сокращается по сравнению с вертикальной системой протяженность теплопроводов, особенно стояков и магистралей. Немногочисленные укрупненные стояки для горизонтальных однотрубных ветвей (рис. 6.6) прокладывают во вспомогательных помещениях здания.

В горизонтальных однотрубных ветвях применяют проточные нерегулируемые приборные узлы (ветвь *I*) и регулируемые узлы с замыкающими (ветвь *III* на рис. 6.6) и обходными участками. При проточных ветвях регулирование теплоподачи в помещения осуществляют воздушными клапанами в конвекторах с кожухом или общим (для всех приборов на одном этаже) регулирующим краном. Подобная схема применяется с начала 70-х годов.

При использовании в системе отопления здания высокотемпературной воды применяют удлиненные горизонтальные однотрубные ветви с циркуляцией постепенно охлаждающейся воды снизу вверх через приборы на разных этажах (ветвь *I* на рис. 6.5). Тогда высокотемпературная вода будет находиться в зоне повышенного гидростатического давления, что предотвратит ее вскипание.

Горизонтальная однотрубная система пригодна также для периодического отопления помещений на различных этажах (например, при отличающихся технологических процессах со значительными тепловыделениями), а также для отопления старинных зданий со сводчатыми перекрытиями.

Схемы бифилярной системы водяного отопления, которая может быть с вертикальными стояками и горизонтальными ветвями, аналогичны рассмотренным схемам однотрубной системы.

В вертикальной бифилярной системе устраивают, как и в однотрубной системе с нижней разводкой, П-образные стояки (см. рис. 6.3). По такой схеме в 70—80-х годах выполнялось отопление отдельных типов крупнопанельных

Электронная библиотека http://tgv.khstu.ru/

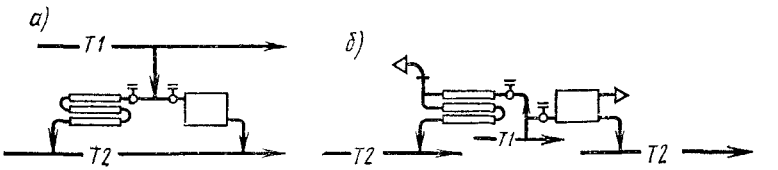

Рис. 6.7. Приборные узлы горизонтальной двухтрубной системы водяного отопления с верхней (*а*) и нижней (*б*) разводкой магистралей

жилых зданий. Там использовались трубчатые нагревательные элементы, встроенные вместе со стояками во внутренний бетонный слой наружных трехслойных стеновых панелей. При этом нагревательные элементы каждого помещения делились на два змеевика и каждый змеевик отдельно присоединялся к восходящей и нисходящей частям стояка (см. рис. 11.8).

В горизонтальной бифилярной системе используют трубчатые отопительные приборы — конвекторы, бетонные радиаторы приставного типа, ребристые и гладкие трубы (ветвь *II* на рис. 6.6). Стальные и чугунные радиаторы могут быть применены только при двухрядной их установке. В такой системе так же, как и в однотрубной системе с проточными приборными узлами, невозможно индивидуальное количественное регулирование теплоотдачи отдельных отопительных приборов. Применяется количественное регулирование теплоотдачи сразу всей цепочки приборов или регулирование теплоотдачи каждого прибора «по воздуху», если устанавливаются конвекторы с воздушным клапаном (например, типа «Универсал»).

Бифилярная система с горизонтальными пофасадными ветвями наиболее часто используется в производственных и сельскохозяйственных зданиях.

В одноэтажных зданиях ранее применявшееся горизонтальное двухтрубное распределение теплоносителя по отопительным приборам заменялось соединением приборов по однотрубной или бифилярной схемам, как более экономным по расходу труб и устойчивым по теплоотдаче приборов. Двухтрубные магистрали применялись лишь при невозможности использования однотрубной схемы и только с попутным в них движением теплоносителя (фрагмент системы — рис. 6.7). При этом гидравлическое со-

Электронная библиотека http://tgv.khstu.ru/

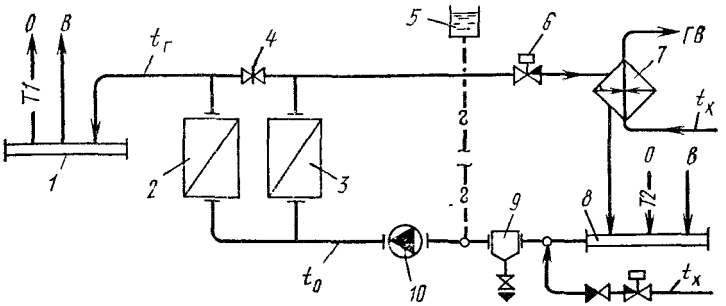

Рис. 6.8. Принципиальная схема теплопроводов местной водогрейной котельной
1 — распределительный коллектор, *2* — котел теплоснабжения систем отопления и вентиляции; *3* — котел теплоснабжения системы горячего водоснабжения; *4* — задвижка (нормально закрыта), *5* — расширительный бак; *6* — регулирующий клапан, *7* — теплообменник системы горячего водоснабжения; *8* — сборный коллектор, *9* — грязевик; *10* — циркуляционный насос

противление отопительных приборов по возможности увеличивали, укрупняя приборы и используя змеевиковую форму движения в них воды (на рис. 6.7 — слева).

§ 6.3. Тепловой пункт системы водяного отопления

При местном теплоснабжении тепловым пунктом системы отопления является, как уже установлено, местная водогрейная котельная, подробно рассматриваемая в дисциплине «Теплогенерирующие установки».

Для общности изложения приведем лишь принципиальную схему теплопроводов **котельной** (рис. 6.8), изобразив ее для случая, когда местным теплоснабжением, кроме системы отопления (О), обеспечиваются также системы вентиляции (В) и горячего водоснабжения (ГВ) здания. В котле *2* вода, поступающая затем в отопительные приборы и калориферы системы вентиляции, может нагреваться до различной температуры в зависимости от необходимых теплозатрат в здании (по так называемому графику качественного регулирования).

Обычно в котельной устанавливают для нужд отопления и вентиляции два котла, рассчитанных каждый на 50% общей тепловой мощности (70% при отсутствии котла *3*). В котле *3* вода (первичная) нагревается до постоянной температуры (обычно 70 °С), достаточной для последующего

Электронная библиотека http://tgv.khstu.ru/

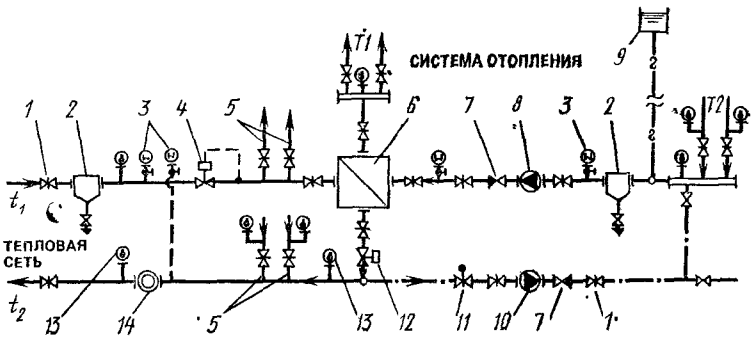

Рис. 6.9. Принципиальная схема местного теплового пункта при независимом присоединении системы водяного отопления к наружным теплопроводам

1 — задвижка; *2* — грязевик; *3* — манометры, *4* — регулятор давления, *5* — ответвления к системам вентиляции и горячего водоснабжения; *6* — теплообменник; *7* — обратный клапан, *8* — циркуляционный насос; *9* — расширительный бак; *10* — подпиточный насос; *11* — клапан с электроприводом; *12* — регулирующий клапан; *13* — термометр; *14* — тепломер

нагревания в теплообменнике *7* водопроводной (вторичной) воды. Котел *3* предназначается также для резервирования одного (на случай его аварии) из котлов *2* (соединительная задвижка *4* нормально закрыта).

Охлажденная вода из систем О, В и ГВ возвращается в сборный коллектор. Общий циркуляционный насос обеспечивает перемещение воды в циркуляционных кольцах всех систем (например, в циркуляционном кольце теплоснабжения системы горячего водоснабжения, полностью показанном на рис. 6.8). Расширительный бак является общим для всех теплоснабжаемых систем.

При централизованном теплоснабжении тепловой пункт может быть **местным** — индивидуальным (ИТП) для системы отопления данного здания и **групповым** — центральным (ЦТП) для систем отопления группы зданий (рассматривается в дисциплине «Теплоснабжение»). Система отопления может присоединяться к наружным теплопроводам, как уже известно, по независимой и зависимой схемам.

Принципиальная схема местного теплового пункта **при независимом присоединении** системы насосного водяного отопления к наружным теплопроводам с необходимой запорной, контрольно-измерительной и регулирующей арматурой показана на рис. 6.9.

Электронная библиотека http://tgv.khstu.ru/

Слева на рисунке изображены наружные теплопроводы, по которым перемещается высокотемпературная вода (температура t_1) в теплообменник и охлажденная вода (температура t_2) из теплообменника. Число теплообменников обусловлено делением системы отопления здания на отдельные независимые части. При единой системе устанавливают один—два теплообменника. Расход высокотемпературной воды предусмотрено изменять автоматически при помощи регулирующего клапана *12* в соответствии с задаваемой программой изменения температуры воды $t_г$, направляемой в систему отопления. Показан также регулятор давления *4* (РД «после себя», для понижения давления в подающем теплопроводе до необходимого значения.

Справа на рис. 6.9 даны: сверху — теплопроводы системы отопления от сборного до распределительного коллекторов с циркуляционным насосом *8* и присоединенным расширительным баком; снизу — линия для заполнения (и пополнения при утечке) системы деаэрированной водой, забираемой из наружных теплопроводов. Подпиточный насос *10* на этой линии устанавливают, как известно, только тогда, когда гидростатическое давление в системе отопления превышает давление в наружных теплопроводах. Действует этот насос периодически с автоматическим управлением в зависимости от изменения уровня воды в расширительном баке.

Для нагревания воды до температуры $t_г$ служит **теплообменник**. В настоящее время применяют теплообменники так называемого скоростного типа, состоящие из стандартных секций длиной 2 и 4 м. Каждая секция представляет собой стальную трубу диаметром от 50 до 300 мм, внутрь которой помещены несколько латунных трубок диаметром 16×1 мм. Греющая вода из наружного теплопровода пропускается по латунным трубкам, нагреваемая из системы отопления — противотоком в межтрубном пространстве.

Длину и число секций теплообменника определяют в результате теплового расчета (подробно рассматривается в дисциплине «Теплоснабжение»). Ориентировочно общую площадь нагревательной поверхности теплообменника $A_{т\,о}$, м², можно найти, задаваясь коэффициентом теплопередачи $k_{т\,о}$ в пределах от 1500 до 2000 Вт/(м²·°С), по формуле

$$A_{т\,о} = \frac{Q_с}{k_{т.\,о}\,\Delta t_{ср}}, \qquad (6.1)$$

Электронная библиотека http://tgv.khstu.ru/

где Q_c — тепловая мощность системы отопления, Вт; $\Delta t_{ср}$ — средняя логарифмическая разность температуры греющей и нагреваемой воды, °С.

Число секций теплообменника N получают, выбрав длину и площадь одной секции a_1, м², по справочной литературе

$$N = A_{г.о}/a_1 \tag{6.2}$$

с округлением до ближайшего целого числа.

Движение нагреваемой воды в межтрубном пространстве последовательно соединенных N секций длиной 4 м сопровождается потерями давления $\Delta p_{то}$, кПа, которые определяются по формуле

$$\Delta p_{т.о} = 10{,}79 w^2 N, \tag{6.3}$$

где w — скорость движения нагреваемой воды в межтрубном пространстве теплообменника, м/с; вычисляется по формуле

$$w = \frac{G_c}{\rho_{ср} a_{м.гр}}, \tag{6.4}$$

G_c — расход воды в системе отопления по формуле (6.7), кг/с; $\rho_{ср}$ — средняя плотность нагреваемой воды, кг/м³; $a_{м.тр}$ — площадь межтрубного пространства секции теплообменника, м² (приводится в справочной литературе).

Пример расчета теплообменника дан в § 8.4.

Принципиальная схема местного теплового пункта при **зависимом присоединении** системы водяного отопления к наружным теплопроводам **со смешением воды** при помощи водоструйного элеватора дана на рис. 6.10. Показаны смесительный аппарат, основные контрольно-измерительные и другие приборы и арматура, применяемые в тепловых пунктах, относящихся не только к системе отопления, но и к системам приточной вентиляции и горячего водоснабжения. На подающем теплопроводе высокотемпературной воды (температура t_1) помещен регулятор расхода (РР), предназначенный для стабилизации расхода воды в системе отопления при неравномерном отборе ее через ответвления *4*. Если применяется автоматизированный водоструйный элеватор, то вместо РР предусматривается регулирующий клапан для получения заданной температуры воды, поступающей в систему отопления. Следовательно, в этом случае при смешивании воды обеспечивается местное качественное регулирование работы системы отопления.

Электронная библиотека http://tgv.khstu.ru/

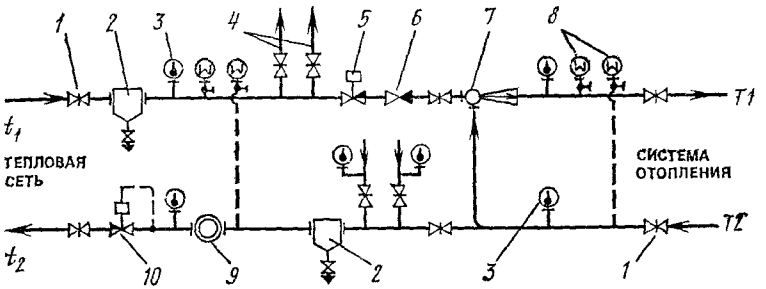

Рис. 6.10. Принципиальная схема местного теплового пункта при зависимом присоединении системы водяного отопления к наружным теплопроводам со смешением воды с помощью водоструйного элеватора

1 — задвижка; *2* — грязевик; *3* — термометр *4* — ответвления к системам вентиляции и горячего водоснабжения; *5* — регулятор расхода; *6* — обратный клапан; *7* — водоструйный элеватор; *8* — манометры; *9* — тепломер; *10* — регулятор давления

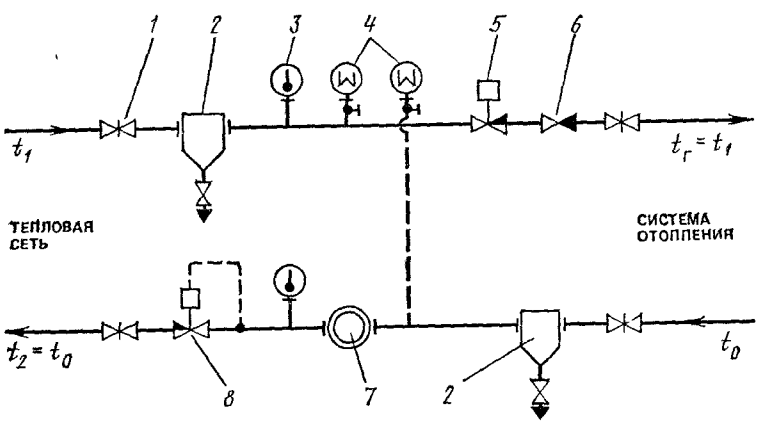

Рис. 6.11. Принципиальная схема местного теплового пункта при зависимом прямоточном присоединении системы водяного отопления к наружным теплопроводам

1 — задвижка; *2* — грязевик; *3* — термометр; *4* — манометры; *5* — регулирующий клапан; *6* — обратный клапан; *7* — тепломер; *8* — регулятор давления

На рисунке показан также регулятор давления (РД), поддерживающий давление «до себя», необходимое для заполнения системы отопления водой, и препятствующий вытеканию воды из системы (как и обратный клапан *6* на подающем теплопроводе) при аварийном опорожнении наружных теплопроводов.

Электронная библиотека http://tgv.khstu.ru/

Манометры, размещаемые попарно на одном и том же уровне от пола, позволяют судить не только о гидростатическом давлении в каждом теплопроводе, но и о разности давления, определяющей интенсивность движения теплоносителя. Тепломер на обратном теплопроводе предназначен для учета общих теплозатрат в здании.

Для смешивания высокотемпературной и охлажденной (температура t_0) воды вместо водоструйных элеваторов применяют также центробежные насосы (см. § 6.5).

Принципиальная схема местного теплового пункта при **зависимом прямоточном присоединении** системы водяного отопления к наружным теплопроводам изображена на рис. 6.11. Схема отличается от предшествующей (см. рис. 6.10) отсутствием смесительного аппарата (водоструйного элеватора). Горячая вода по подающему теплопроводу непосредственно поступает в систему отопления. Клапан *5* на этом теплопроводе предназначен для регулирования расхода греющей воды в системе. Температура и разность давления воды на вводе теплопроводов в здание контролируются по показаниям термометров и манометров. Применяются, как и в схеме на рис. 6.10, регулятор давления «до себя» на обратном теплопроводе и обратный клапан на подающем, а также тепломер для учета теплозатрат в системе отопления.

§ 6.4. Циркуляционный насос системы водяного отопления

Общим для всех схем, изображенных на рис. 6.1, является применение насоса для искусственного побуждения движения воды в системе отопления. В первых двух схемах (см. рис. 6.1, *а*, *б*) циркуляционный насос включают непосредственно в магистрали системы отопления здания, в зависимых схемах (см. рис. 6.1, *в*, *г*) циркуляционный насос помещают на тепловой станции, и он создает давление, необходимое для циркуляции воды как в наружных теплопроводах, так и в местной системе отопления.

Насос, действующий в замкнутых кольцах системы отопления, заполненных водой, воду не поднимает, а только ее перемещает, создавая циркуляцию, и поэтому называется **циркуляционным**. В отличие от циркуляционного насоса, насос в системе водоснабжения перемещает воду,

Электронная библиотека http://tgv.khstu.ru/

поднимая ее к точкам разбора. При таком использовании насос называют **повысительным.**

В процессах заполнения и возмещения потери (утечки) воды в системе отопления циркуляционный насос не участвует; заполнение происходит под воздействием давления в наружных теплопроводах, в водопроводе или, если этого давления недостаточно, с помощью специального **подпиточного** насоса.

Циркуляционный насос включают, как правило, в обратную магистраль системы отопления для увеличения срока службы деталей, взаимодействующих с горячей водой. Вообще же для создания циркуляции воды в замкнутых кольцах местоположение циркуляционного насоса безразлично. При необходимости несколько понизить гидростатическое давление в теплообменнике или котле насос может быть включен и в подающую магистраль системы отопления, если, конечно, его конструкция рассчитана на перемещение более горячей воды.

Мощность циркуляционного насоса определяется количеством перемещаемой воды и развиваемым при этом давлением.

Количество воды, подаваемой насосом за данный промежуток времени, отнесенное к этому промежутку (обычно к 1 ч), называют **подачей** насоса $L_н$, м³/ч. В технике отопления объемную подачу насосом горячей воды заменяют массовым **расходом** $G_н$, не зависящим от температуры воды,

$$G_н = \rho L_н, \tag{6.5}$$

Для циркуляционного насоса, включенного в общую магистраль, расход перемещаемой воды $G_н$ равен общему расходу воды в системе отопления $G_с$, т. е.

$$G_н = G_с. \tag{6.6}$$

Общий расход воды $G_с$, кг/с, составляет

$$G_с = \frac{Q_с}{c\,(t_г - t_о)}, \tag{6.7}$$

где $Q_с$ — тепловая мощность системы отопления ,Вт; c — удельная массовая теплоемкость воды, Дж/(кг·°С); $t_г$ и $t_о$ — расчетная температура подающей и обратной воды в системе отопления, °С.

На практике пользуются расходом воды, перемещаемым в течение 1 ч. И общий расход воды в системе отопления

Электронная библиотека http://tgv.khstu.ru/

$G_с$, кг/ч, определяют по преобразованной формуле (6.7) [при $c=4187$ Дж/(кг·°С)]

$$G_с = 0{,}86 Q_с/(t_г - t_о). \qquad (6.7а)$$

Циркуляционным давлением насоса называют создаваемое насосом повышение давления в потоке воды, необходимое для преодоления сопротивления ее движению в системе отопления, в которую он включен. Циркуляционное давление насоса обозначают $\Delta p_н$ и выражают в ньютонах на квадратный метр (Н/м²) или, короче, в паскалях (Па). В отличие от циркуляционного давления напор насоса обозначают буквой H и выражают в метрах (м). Численно циркуляционное давление как удельная энергия, сообщаемая насосом воде в системе отопления (отнесенная к единице объема, перемещаемого в 1 с), равняется разности полного гидравлического давления при выходе воды из нагнетательного патрубка и при входе во всасывающий патрубок насоса

$$\Delta p_н = p_{наг} - p_{вс} + \frac{\rho}{2}(w^2_{наг} - w^2_{вс}) + \rho g (h_{наг} - h_{вс}). \qquad (6.8)$$

где $p_{наг}$, $p_{вс}$ — гидростатическое давление в потоке воды, Па; $w_{наг}$, $w_{вс}$ — скорость потока воды, м/с; $h_{наг} - h_{вс}$ — разность уровней выхода и входа воды в насос, м (индекс «наг» относится к нагнетательному, индекс «вс» — к всасывающему патрубку насоса).

Практически циркуляционное давление насоса считают равным разности гидростатического давления в нагнетательном и всасывающем патрубках

$$\Delta p_н = p_{наг} - p_{вс}, \qquad (6.8а)$$

пренебрегая различием в $w_{наг}$ и $w_{вс}$, $h_{наг}$ и $h_{вс}$.

Возможны три случая определения необходимого значения $\Delta p_н$.

В вертикальной системе насосного водяного отопления всегда действует, помимо давления, создаваемого насосом, естественное циркуляционное давление ($\Delta p_е$). Следовательно, если потери давления при циркуляции воды в системе известны (обозначим их $\Delta p_с$), то необходимое циркуляционное давление насоса $\Delta p_н$ должно составить

$$\Delta p_н = \Delta p_с - \Delta p_е. \qquad (6.9)$$

В этом **первом случае** определения значения $\Delta p_н$ по формуле (6.9) потери давления при циркуляции воды в системе

Электронная библиотека http://tgv.khstu.ru/

отопления Δp_c получают из гидравлического расчета. Как известно, потери зависят от скорости движения воды в трубах, для которой существует предел повышения, связанный с экономическим и акустическим ограничениями.

Экономия капитальных вложений в систему, связанная с уменьшением диаметра труб при повышении скорости, целесообразна до определенного предела (около 1,5 м/с в жилых зданиях) — пока она перекрывает увеличение эксплуатационных затрат на электроэнергию, расходуемую насосом.

Акустическое ограничение скорости связано с возникновением шума при движении воды через арматуру систем отопления, недопустимого во многих зданиях по их назначению (например, в жилых зданиях). Поэтому в СНиП установлена предельно допустимая скорость движения воды в трубах систем отопления, связанная с назначением здания и видом применяемой в системе арматуры.

Следовательно, проводя гидравлический расчет при скорости движения воды в трубах, равной или близкой к предельно допустимой, можно получить бесшумную, достаточно экономную по капитальным затратам систему. Затем, определив потери давления в ней (включая потери в трубах и оборудовании теплового пункта), найти значение $\Delta p_н$ по формуле (6.9).

Во **втором случае** значение $\Delta p_н$ можно получить, заранее выбрав типоразмер насоса. Тогда, добавив к нему естественное циркуляционное давление $\Delta p_е$, определяют исходное значение циркуляционного давления для проведения гидравлического расчета.

Оба эти случая применимы к схемам системы водяного отопления, изображенным на рис. 6.1, *а*, *б*, на которых показаны собственные циркуляционные насосы.

Возможен и **третий случай**, относящийся к зависимым схемам присоединения систем отопления, приведенным на рис. 6.1, *в*, *г*. В этом случае значение $\Delta p_н$ фактически задается как разность давления в наружных теплопроводах в месте ввода их в здание.

Здесь, в частности, возможно присоединение системы к наружным теплопроводам через водоструйный элеватор. Тогда $\Delta p_н$ определяют формуле (6.20). В практических расчетах для выбора значения $\Delta p_н$, Па, часто используют

Электронная библиотека http://tgv.khstu.ru/

соотношение

$$\Delta p_н = 100 \Sigma l, \qquad (6.10)$$

в котором принимается средняя потеря давления 100 Па на 1 м длины основного циркуляционного кольца системы (длина кольца Σl, м).

Выбор насосного давления по выражению (6.10) предопределяет понижение скорости движения воды в трубах не менее чем в 3 раза против предельно допустимой. Это не только увеличивает металлоемкость и стоимость (вследствие увеличения диаметра труб), но и приводит к отрицательным явлениям при действии системы отопления — нарушению гидравлического режима и понижению тепловой устойчивости. Поэтому соотношение (6.10) следует применять только для системы отопления с водоструйным элеватором, работающим при высоком значении коэффициента смешения (см. § 6.5).

В системах отопления применяют **специальные циркуляционные насосы**, перемещающие значительное количество воды и развивающие сравнительно небольшое давление. Это малошумные горизонтальные лопастные насосы центробежного, осевого или диагонального типа, соединенные в единый блок с электродвигателями и закрепляемые непосредственно на трубах (без фундамента).

Примером центробежного циркуляционного насоса является насос типа ЦВЦ, разработанный для подачи от 2,5 до 25 т воды в 1 ч при максимальном гидростатическом давлении в корпусе 1 МПа. Насос сблокирован с горизонтальным электродвигателем (рис. 6.12) и развивает циркуляционное давление от 20 до 92 кПа. Вал двигателя с рабочим колесом насоса, а также ротор двигателя вращаются в подшипниках с водяной смазкой.

Каждый насос обладает собственной, только ему присущей характеристикой, получаемой в процессе стендовых испытаний опытного образца при определенной частоте вращения электродвигателя. Характеристика выражает зависимость между расходом насоса $G_н$ и соответственно циркуляционным давлением $\Delta p_н$, КПД $\eta_н$, мощностью насоса $N_н$.

По **характеристикам насоса** (рис. 6.13) можно отметить постепенное уменьшение циркуляционного давления и увеличение потребляемой мощности по мере возрастания

Электронная библиотека http://tgv.khstu.ru/

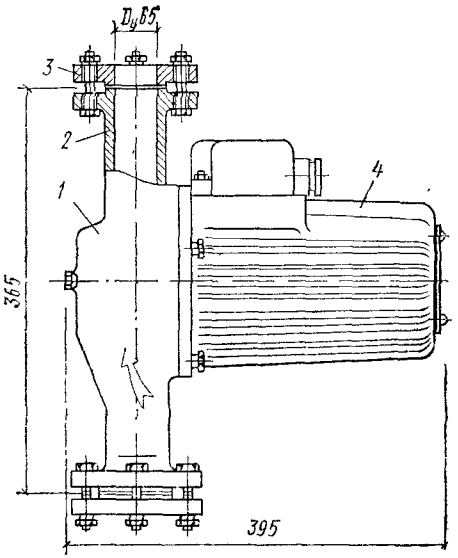

Рис. 6.12. Центробежный циркуляционный насос типа ЦВЦ
1 — корпус; *2* — нагнетательный патрубок; *3*—контрфланец для присоединения трубы; *4* — электродвигатель

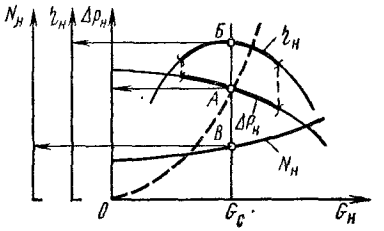

Рис. 6.13. Характеристики циркуляционного насоса (КПД, давление, мощность) и характеристика системы отопления (пунктирная линия)

расхода, а также существование максимального значения КПД при определенном расходе воды, перемещаемой насосом (точка *Б*). Часть кривой изменения $\Delta p_н$, соответствующая высоким значениям КПД (отмечена на рис. 6.13 жирной линией), носит название рабочего отрезка характеристики насоса. Для обеспечения расчетных параметров, бесшумности и экономии электроэнергии при действии насоса рекомендуется при его выборе ориентироваться на одну из точек в пределах рабочего отрезка характеристики. Все такие точки также называются **рабочими.**

Рабочая точка *А* представляет собой точку пересечения рабочего отрезка характеристики насоса с характеристикой системы отопления, выражаемой параболой (пунктирная

Электронная библиотека http://tgv.khstu.ru/

линия). Насос при расходе воды $G_н=G_с$ [формула (6.6)] создает в рабочей точке A определенное циркуляционное давление $\Delta p_н$, действует с максимальным КПД $\eta_н$ (точка $Б$) и обладает мощностью $N_н$ (точка B). На рисунке изображен идеальный случай, когда насос не только действует с максимальным КПД, но и создает циркуляционное давление $\Delta p_н=\Delta p_с$ [без учета естественного циркуляционного давления в системе отопления — см. формулу (6.9)].

При отсутствии бесфундаментных насосов для создания циркуляции в системах водяного отопления применяют высоконапорные центробежные насосы общепромышленного назначения. Высоконапорный насос уступает бесфундаментному насосу по ряду монтажных и эксплуатационных показателей: его необходимо устанавливать на фундамент, он создает излишний шум, вызывает вибрацию труб и строительных конструкций, при его применении возрастает расход электроэнергии, требуется обводная труба для сохранения циркуляции воды при остановке

Центробежные насосы общепромышленного назначения часто не подходят по каталожным показателям для систем отопления. Приходится искусственно изменять развиваемое ими давление для обеспечения необходимого расхода воды в системе. На рис. 6.14 показан случай применения в системе отопления насоса, создающего давление $\Delta p_н > \Delta p_с$. Характеристика системы, проведенная через точку $Б$ с известными координатами $G_с$ и $\Delta p_с$ (пунктирная линия *2*), пересекает характеристику насоса *1* в рабочей точке B. В этих условиях насос будет перемещать воды $G_н=G_с$ ($>G_с$), развивать давление $\Delta p_н=\Delta p'_с(>\Delta p_с)$ и увеличивать расход электроэнергии.

Значительное увеличение расхода воды в системе отопления против расчетного нежелательно, так как при этом в нем, помимо возрастания расхода электроэнергии, возникнет гидравлическое и тепловое разрегулирование. Поэтому путем введения дополнительного сопротивления, выраженного на рис. 6.14 ординатой $А—Б$ (в виде, например, диафрагмы между фланцами задвижки у насоса или трубной вставки малого диаметра), характеристику системы отопления следует изменить таким образом, чтобы получить новую рабочую точку A (в месте пересечения новой характеристики системы *3* с характеристикой насоса *1*). В точке A расход насоса равен расчетному расходу воды в системе

Электронная библиотека http://tgv.khstu.ru/

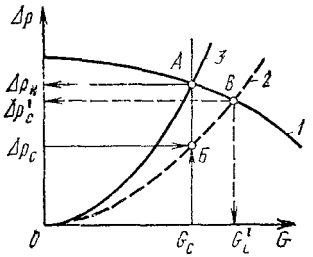

Рис. 6.14. Схема выбора циркуляционного насоса при $\Delta p_н > \Delta p_с$
1 — характеристика давления, развиваемого насосом; *2* и *3* — характеристики системы отопления до и после регулирования

($G_н = G_с$), а давление насоса соответствует потерям давления в ней после регулирования. Более целесообразен в этом случае гидравлический перерасчет системы отопления с увеличением потерь давления в стояках.

Циркуляционный насос можно также, как уже сказано, выбирать по заводским характеристикам исходя из общего расхода воды в системе отопления, и тогда давление, развиваемое насосом в рабочей точке характеристики, принимать за исходное при гидравлическом расчете системы.

В обратную магистраль системы отопления включают два одинаковых циркуляционных насоса, действующих попеременно: при работе одного из них второй находится в резерве. Присоединение труб к циркуляционным насосам различно для бесфундаментных (рис. 6.15, *а*) и общепромышленных (рис. 6.15, *б*) насосов. Во втором случае на рисунке показано дополнительное оборудование: обводная труба *6* с задвижкой, нормально закрытой, виброизолирующие вставки *5* (резиновые длиной около 1 м, армированные спиральной проволокой), неподвижные опоры *4*, препятствующие осевому растяжению резиновых вставок. Фундаменты общепромышленных насосов и электродвигателей также снабжают виброизолирующими прокладками и опорами.

Задвижки до и после обоих насосов (действующего и бездействующего) постоянно открыты, особенно если предусмотрено автоматическое переключение насосов (например, после непрерывного суточного действия). Обратный клапан препятствует циркуляции воды через бездействующий насос (предотвращает, как говорят, работу насоса «на себя»).

Легко монтируемые бесфундаментные насосы иногда устанавливают в системе отопления по одному. При этом

Электронная библиотека http://tgv.khstu.ru/

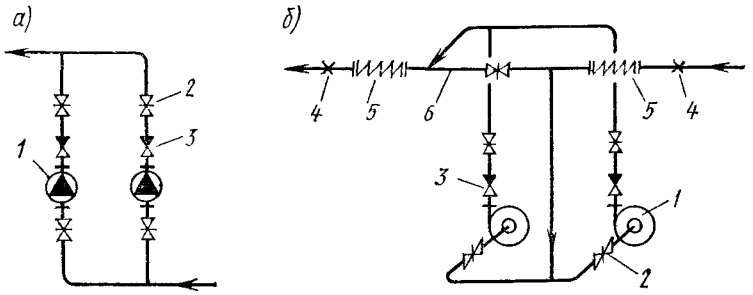

Рис. 6.15. Схемы присоединения труб к циркуляционным бесфундаментным (*а*) и общепромышленным (*б*) насосам

1 — насос; *2* — задвижка; *3* — обратный клапан; *4* — неподвижные опоры; *5* — виброизолирующие вставки; *6* — обводная труба с задвижкой (нормально закрыта)

резервный насос хранят на складе близ теплового пункта и оборудуют сигнализацию о состоянии циркуляции воды в системе.

Мощность насоса пропорциональна произведению секундной подачи на создаваемое циркуляционное давление. Мощность электродвигателя $N_э$, Вт, определяется с учетом КПД насоса $\eta_н$ и необходимого запаса мощности k по формуле

$$N_э = kL_и \Delta p_н / 3600\eta_н, \qquad (6.11)$$

где $L_н$ — подача насоса, м³/ч; $\Delta p_н$ — давление насоса, Па (Н/м²).

Коэффициент запаса k, учитывающий пусковой момент, получает наибольшее значение (до 1,5) при минимальной мощности электродвигателя.

§ 6.5. Смесительная установка системы водяного отопления

Смесительную установку (смесительный насос или водоструйный элеватор) применяют в системе отопления для понижения температуры воды, поступающей из наружного подающего теплопровода, до температуры, допустимой в системе $t_г$. Понижение температуры происходит при смешении высокотемпературной воды t_1 с обратной (охлажденной до температуры t_0) водой местной системы отопления (см. рис. 6.1, *в*).

Электронная библиотека http://tgv.khstu.ru/

Смесительную установку используют также для местного качественного регулирования теплопередачи отопительных приборов системы, дополняющего центральное регулирование на тепловой станции. При местном регулировании путем автоматического изменения по заданному температурному графику температуры смешанной воды в обогреваемых помещениях поддерживаются оптимальные тепловые условия. Кроме того, исключается перегревание помещений, особенно в осенний и весенний периоды отопительного сезона. При этом сокращается расход тепловой энергии.

Высокотемпературная вода подается в точку смешения под давлением в наружном теплопроводе, созданным сетевым циркуляционным насосом на тепловой станции. Количество высокотемпературной воды G_1 при известной тепловой мощности системы отопления Q_c будет тем меньше, чем выше температура t_1

$$G_1 = \frac{G_c}{c(t_1 - t_0)}, \qquad (6.12)$$

где t_1 — температура воды в наружном подающем теплопроводе, °С.

Поток охлажденной воды, возвращающейся из местной системы отопления, делится на два: первый в количестве G_0 направляется к точке смешения, второй в количестве G_1 — в наружный обратный теплопровод. Соотношение масс двух смешиваемых потоков воды — охлажденной G_0 и высокотемпературной G_1 называют **коэффициентом смешения**

$$u = G_0/G_1. \qquad (6.13)$$

Коэффициент смешения может быть выражен через температуру воды [с использованием формул (6.7) и (6.12)]

$$u = \frac{G_0}{G_1} = \frac{G_c - G_1}{G_1} = \frac{G_c}{G_1} - 1 = \frac{t_1 - t_0}{t_r - t_0} - 1 = \frac{t_1 - t_r}{t_r - t_0}. \qquad (6.14)$$

Например, при температуре воды $t_1 = 150°$, $t_r = 95°$ и $t_0 = 70$ °С коэффициент смешения смесительной установки $u = (150-95) : (95-70) = 2{,}2$. Это означает, что на каждую единицу массы высокотемпературной воды должно подмешиваться 2,2 единицы охлажденной воды.

Смешение происходит в результате совместного действия двух аппаратов — циркуляционного сетевого насоса

Электронная библиотека http://tgv.khstu.ru/

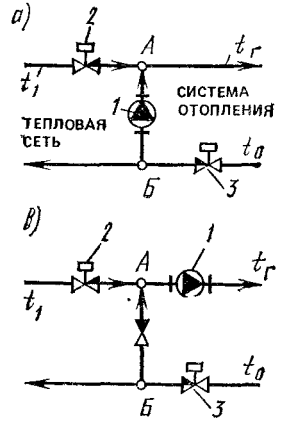

Рис. 6.16. Принципиальные схемы смесительной установки с насосом на перемычке между магистралями систем отопления (*а*), на обратной магистрали (*б*), на подающей магистрали (*в*)

1 — смесительный насос; *2* — регулятор температуры; *3* — регулятор расхода воды в системе отопления

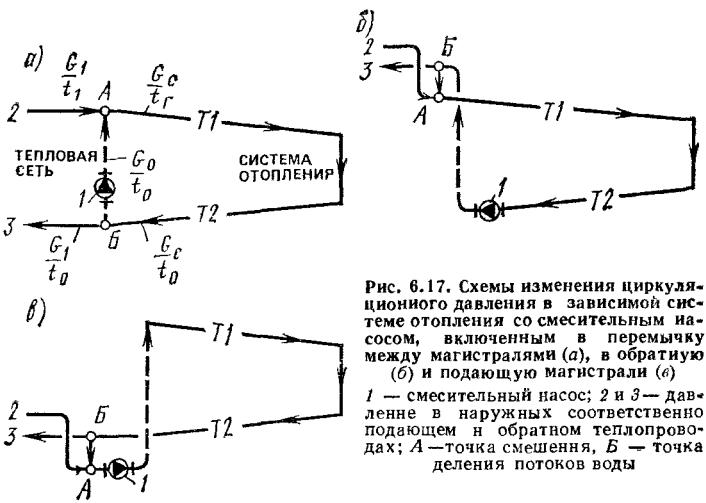

Рис. 6.17. Схемы изменения циркуляционного давления в зависимой системе отопления со смесительным насосом, включенным в перемычку между магистралями (*а*), в обратную (*б*) и подающую магистрали (*в*)

1 — смесительный насос; *2* и *3* — давление в наружных соответственно подающем и обратном теплопроводах; *А* — точка смешения, *Б* — точка деления потоков воды

на тепловой станции и смесительной установки (насоса или водоструйного элеватора) в отапливаемом здании.

Смесительный насос можно включать в перемычку *Б—А* между обратной и подающей магистралями (рис. 6.16, *а*) и в обратную (рис. 6.16, *б*) или подающую магистраль (рис. 6.16, *в*) системы отопления. На рисунке показаны регуляторы температуры *2* и расхода

Электронная библиотека http://tgv.khstu.ru/

воды *3* для местного качественно-количественного регулирования системы отопления в течение отопительного сезона.

Смесительный насос, включенный в перемычку, подает в точку смешения *А* воду, повышая ее давление до давления высокотемпературной воды. Таким образом, в точку смешения поступают два потока воды в результате действия двух различных насосов — сетевого и местного, включенных параллельно. Насос на перемычке действует в благоприятных температурных условиях (при температуре $t_0 \leqslant 70$ °С) и перемещает меньшее количество воды, чем насос на обратной или подающей магистрали ($G_0 < G_c$),

$$G_н = G_0, \quad \text{где} \quad G_0 = G_c - G_1. \tag{6.15}$$

Насос на перемычке, обеспечивая смешение, не влияет на величину циркуляционного давления для местной системы отопления, которая определяется разностью давления в наружных теплопроводах. Изменение циркуляционного давления в системе и в перемычке *Б—А* между магистралями в этом случае схематично изображено на рис. 6.17, *а*. Показано постепенное (условно равномерное) понижение давления в направлении движения воды в подающей (наклонная линия *Т*1) и обратной (наклонная линия *Т*2) магистралях, падение давления в стояке (вертикальная сплошная линия) и возрастание под действием насоса в перемычке (пунктирная линия) до давления в точке *А*.

Смесительный насос включают непосредственно в магистрали системы отопления, когда разность давления в наружных теплопроводах недостаточна для нормальной циркуляции воды в системе. Насос при этом, обеспечивая помимо смешения необходимую циркуляцию воды, становится **циркуляционно-смесительным**.

Насос на обратной или подающей магистрали (см. рис. 6.16, *б*, *в*) перемещает всю воду, циркулирующую в системе [$G_н = G_c$ по выражению (6.6)], при температуре t_0 или $t_г$. Включение насоса в общую магистраль системы отопления позволяет увеличить циркуляционное давление в ней до необходимой величины независимо от разности давления в наружных теплопроводах. Условия смешения воды аналогичны: в точку *А* (см. рис. 6.16) поступают два потока воды (G_1 и G_0) также в результате действия двух насосов — сетевого и местного — с той лишь разницей, что

Электронная библиотека http://tgv.khstu.ru/

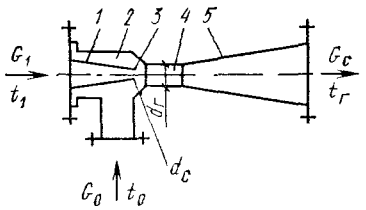

Рис. 6.18. Принципиальная схема водоструйного элеватора
1 — сопло, *2* — камера всасывания; *3* — смесительный конус, *4* — горловина, *5* — диффузор

насосы включаются последовательно (по направлению движения воды).

Изменение циркуляционного давления при действии системы отопления с циркуляционно-смесительным насосом, включенным в общую обратную магистраль, показано на рис. 6.17, *б*. Как видно, давление в системе ниже давления в наружных теплопроводах. Данная схема может быть выбрана после проверки, не вызовет ли понижение давления вскипания воды или подсоса воздуха в отдельных местах системы (см. § 7.1). Насос повышает давление воды до давления в наружном обратном теплопроводе. Давление в точке смешения *А* должно быть ниже давления в точке *Б* (устанавливается с помощью регулятора температуры — см. рис. 6.16).

Насос, включаемый в общую подающую магистраль, предназначают не только для смешения и циркуляции, но и для подъема воды в верхнюю часть системы отопления высокого здания. Смесительный насос становится также **циркуляционно-повысительным**. Изменение гидравлического давления в этом случае изображено на рис. 6.17, *в*.

Смесительных насосов, как и циркуляционных, устанавливают два с параллельным включением в теплопровод (см. рис. 6.15); действует всегда один из насосов при другом резервном.

Смешение воды может осуществляться и без местного насоса. В этом случае смесительная установка оборудуется водоструйным элеватором.

Водоструйный элеватор получил распространение как дешевый, простой и надежный в эксплуатации аппарат. Он сконструирован так, что подсасывает охлажденную воду для смешения с высокотемпературной водой и передает часть давления, создаваемого сетевым насосом на тепловой станции, в систему отопления для обеспечения циркуляции воды.

Электронная библиотека http://tgv.khstu.ru/

Водоструйный элеватор (рис. 6.18) состоит из конусообразного сопла, через которое со значительной скоростью протекает высокотемпературная вода при температуре t_1 в количестве G_1; камеры всасывания, куда поступает охлажденная вода при температуре t_0 в количестве G_0; смесительного конуса и горловины, где происходят смешение и выравнивание скорости движения воды, и диффузора.

Вокруг струи воды, вытекающей из отверстия сопла с высокой скоростью, создается зона пониженного давления, благодаря чему охлажденная вода перемещается из обратной магистрали системы (см. рис. 6.10) в камеру всасывания. В горловине струя смешанной воды двигается с меньшей, чем в отверстии сопла, но еще со значительной скоростью. В диффузоре при постепенном увеличении площади поперечного сечения по его длине гидродинамическое (скоростное) давление падает, а гидростатическое — нарастает. За счет разности гидростатического давления в конце диффузора и в камере всасывания элеватора создается циркуляционное давление, необходимое для циркуляции воды в системе отопления.

Одним из недостатков водоструйного элеватора является низкий КПД. Достигая наивысшего значения (43%) при малом коэффициенте смешения и особой форме камеры всасывания (исследования проф. П. Н. Каменева), гидростатический КПД стандартного элеватора практически при высокотемпературной воде близок к 10%. Следовательно, в этом случае разность давления в наружных теплопроводах на вводе их в здание должна не менее чем в 10 раз превышать циркуляционное давление $\Delta p_н$, необходимое для циркуляции в системе отопления. Это условие значительно ограничивает давление, передаваемое водоструйным элеватором в систему из наружной тепловой сети, и вынуждает пользоваться формулой (6.10).

Другой недостаток элеватора — прекращение циркуляции воды в системе отопления при аварии в наружной тепловой сети, что ускоряет охлаждение отапливаемых помещений и замерзание воды в системе

Еще один недостаток элеватора — постоянство коэффициента смешения, исключающее местное качественное регулирование (изменение температуры $t_г$) системы отопления. Понятно, что при постоянном соотношении в элеваторе между G_0 и G_1 температура $t_г$, с которой вода посту-

Электронная библиотека http://tgv.khstu.ru/

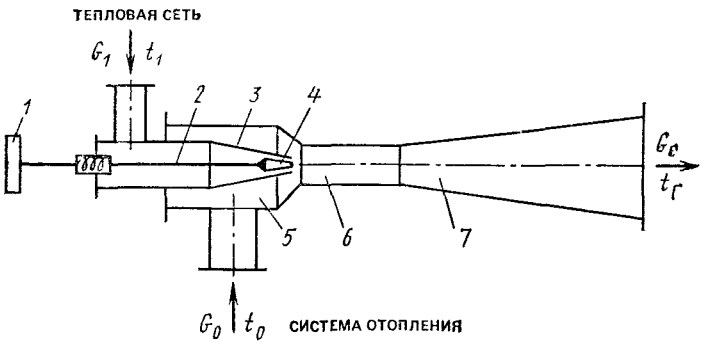

Рис. 6.19. Схема водоструйного элеватора с регулируемым соплом

1 — механизм для перемещения регулирующей иглы; *2* — шток регулирующей иглы; *3* — сопло; *4* — регулирующая игла; *5* — камера всасывания; *6* — горловина; *7* — диффузор

пает в местную систему отопления, определяется уровнем температуры t_1, поддерживаемым на тепловой станции для всей системы теплоснабжения, и может не соответствовать теплопотребности конкретного здания. Для устранения этого недостатка применяют автоматическое регулирование площади отверстия сопла элеватора. Схема водоструйного элеватора «с регулируемым соплом» дана на рис. 6.19. Такие элеваторы, применяемые в настоящее время, позволяют в определенных пределах изменять коэффициент смешения для получения воды с температурой $t_г$, необходимой для местной системы отопления, т. е. осуществлять требуемое качественно-количественное регулирование.

Водоструйные элеваторы различаются по диаметру горловины $d_г$ (например, элеватор № 1 имеет $d_г$=15 мм, № 2— 20 мм и т. д.). Для использования одного и того же корпуса элеватора при различных давлении и расходе воды сопло (см. рис. 6.18) делают сменным.

Диаметр горловины водоструйного элеватора $d_г$, см, вычисляют по формуле

$$d_г = 1{,}55 G_c^{0{,}5} / \Delta p_н^{0{,}25}, \qquad (6.16)$$

где G_c — расход воды в системе отопления, т/ч, по формуле (6.7а); $\Delta p_н$ — насосное циркуляционное давление для системы, кПа, полученное по формуле (6.9).

Например, для подачи в систему отопления 16 т/ч воды при циркуляционном давлении 9 кПа потребуется элеватор с $d_г$=1,55 (4 : 1,73)=3,6 см.

Электронная библиотека http://tgv.khstu.ru/

После выбора стандартного элеватора, имеющего диаметр горловины, ближайший к полученному по расчету, определяют диаметр сопла по формуле, приведенной в справочниках, или исходя из приблизительной зависимости

$$d_c = \frac{d_г}{1+u}. \tag{6.17}$$

При известном диаметре сопла d_c, см, находят необходимую для действия элеватора разность давления в наружных теплопроводах при вводе их в здание $\Delta p_т$, кПа:

$$\Delta p_т = 6{,}3G_1^2/d_c^4, \tag{6.18}$$

где G_1 — расход высокотемпературной воды, т/ч, по формуле (6.12).

Из последней формулы видно, что вслед за изменением по какой-либо причине $\Delta p_т$ в наружных теплопроводах изменяется и расход G_1, а также расход воды в системе G_c, связанный с расходом G_1 через коэффициент смешения элеватора u [из выражения (6.14):

$$G_c = (1+u)\,G_1. \tag{6.19}$$

Изменение давления и расхода в процессе эксплуатации, не предусмотренное расчетом, вызывает разрегулирование системы отопления, т. е. неравномерную теплоотдачу отдельных отопительных приборов. Для его устранения перед водоструйным элеватором (см. рис. 6.10) устанавливают регулятор расхода.

При применении элеватора часто приходится определять располагаемую разность давления $\Delta p_н$ для гидравлического расчета системы отопления, исходя из разности давления в наружных теплопроводах $\Delta p_т$ в месте присоединения ответвления к проектируемому зданию. Насосное циркуляционное давление $\Delta p_н$, передаваемое элеватором в систему отопления, можно рассчитать в этом случае, используя зависимость (6.17), по формуле (при коэффициенте расхода сопла элеватора, равном 0,95)

$$\Delta p_н = \frac{0{,}75\,(\Delta p_т - \Delta p_{отв})}{1+2u+0{,}21u^2}, \tag{6.20}$$

где $\Delta p_{отв}$ — потерн давления в ответвлении от точкн присоединения к наружным теплопроводам до элеватора.

В настоящее время шире стали применять насосные смесительные установки, учитывая их преимущества перед

Электронная библиотека http://tgv.khstu.ru/

элеваторами. Некоторое увеличение капитальных вложений и эксплуатационных затрат, связанное с применением смесительных насосов, компенсируется улучшением теплового режима помещений и экономией тепловой энергии, расходуемой на отопление.

§ 6.6. Расширительный бак системы водяного отопления

Внутреннее пространство всех элементов системы отопления (труб, отопительных приборов, арматуры, оборудования и т. д.) заполнено водой. Получающийся при заполнении объем воды в процессе эксплуатации системы претерпевает изменения: при повышении температуры воды он увеличивается, при понижении — уменьшается. Соответственно изменяется внутреннее гидростатическое давление. Однако эти изменения не должны отражаться на работоспособности системы отопления и, прежде всего, не должны приводить к превышению предела прочности любых ее элементов. Поэтому в систему водяного отопления вводится дополнительный элемент — расширительный бак (см. рис. 6.1—6.6).

Расширительный бак может быть открытым, сообщающимся с атмосферой, и закрытым, находящимся под переменным, но строго ограниченным избыточным давлением.

В крупных системах водяного отопления группы зданий расширительные баки не устанавливают, а гидростатическое давление регулируется при помощи постоянно действующих подпиточных насосов. Эти насосы также возмещают обычно имеющие место потери воды через неплотные соединения труб, в арматуре, приборах и других местах систем.

Поэтому расширительные баки применяют в системах водяного отопления одного или нескольких зданий при их тепловой мощности, ограниченной 6 МВт, когда потери воды еще не вызывают необходимости постоянного действия подпиточных насосов на тепловой станции.

Основное назначение расширительного бака — прием прироста объема воды в системе, образующегося при ее нагревании. При этом в системе поддерживается определенное гидростатическое давление. Кроме того, бак предназначен для восполнения убыли объема воды в системе при небольшой утечке и при понижении ее температуры,

Электронная библиотека http://tgv.khstu.ru/

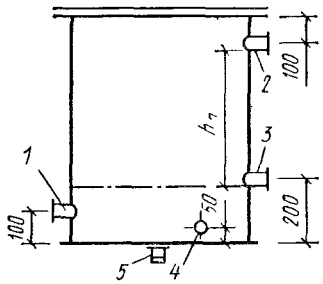

Рис. 6.20. Открытый расширительный бак с патрубками для присоединения труб

1 — расширительной; *2* — переливной; *3* — контрольной; *4* — циркуляционной; *5* — патрубок с пробкой

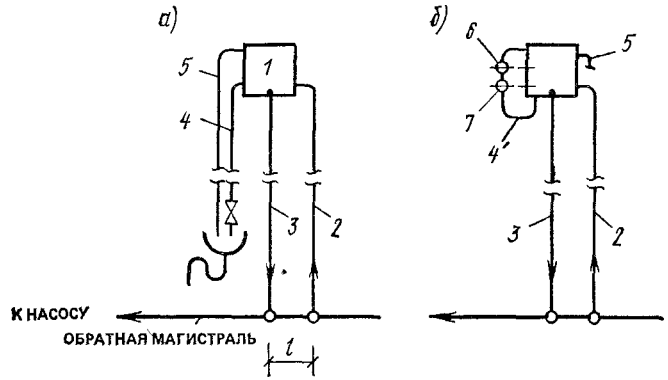

Рис. 6.21. Присоединение открытого расширительного бака к обратной магистрали в системе отопления с ручным контролем (*а*) и с автоматизированными сигнализацией и регулированием уровня воды в баке (*б*)

1 — расширительный бак; *2*, *3*, *4*, *5* — расширительная, циркуляционная, контрольная, переливная трубы; *6* и *7* — реле верхнего и нижнего уровней воды в баке, соединенные трубой *4'* с баком

для сигнализации об уровне воды в системе и управления действием подпиточных приборов. Через открытый бак удаляется вода в водосток при переполнении системы. В отдельных случаях (см., например, рис. 6.4) открытый бак может служить воздухоотделителем и воздухоотводчиком.

Расширительные баки имеют ряд недостатков: они громоздки, в связи с чем затрудняется их размещение в зданиях и увеличиваются бесполезные теплопотери в системах отопления. При открытых баках возможно при излишнем охлаждении воды в них поглощение воздуха из атмосферы, что вызывает внутреннюю коррозию стальных труб и при-

Электронная библиотека http://tgv.khstu.ru/

боров. Требуется также прокладка в зданиях специальных соединительных труб (см., например, рис. 6.3).

Открытый расширительный бак (рис. 6.20) размещают над верхней точкой системы (на расстоянии не менее 1 м) в чердачном помещении или в лестничной клетке и покрывают тепловой изоляцией. Иногда устанавливают неизолированный бак в специальном утепленном боксе (будке). Однако при этом повышается стоимость монтажа, увеличиваются теплопотери (вследствие развития поверхности охлаждения) и, как следствие, абсорбция воздуха водой.

Баки изготовляют цилиндрическими из листовой стали; сверху их снабжают люком для осмотра и окраски. В корпусе бака имеется несколько патрубков: патрубок *1* предназначен для присоединения расширительной трубы, по которой вода поступает в бак; патрубок *4* у дна — для циркуляционной трубы, через которую отводится охладившаяся вода, обеспечивая циркуляцию в баке; патрубок *3* для контрольной (сигнальной) трубы $D_у 20$ и патрубок *2* для соединения бака с переливной трубой, сообщающейся с атмосферой.

Соединительные трубы открытого расширительного бака показаны на рис. 6.21. В насосной системе отопления расширительную и циркуляционную трубы присоединяют к общей обратной магистрали, как правило, близ всасывающего патрубка циркуляционного насоса (см. § 7.1) на расстоянии *l* (рис. 6.21, *а*) не менее 2 м для надежной циркуляции воды через бак.

Контрольную трубу выводят к раковине в тепловом пункте и снабжают запорным вентилем. Вытекание воды при открывании вентиля должно свидетельствовать о наличии воды в баке, а следовательно, и в системе (уровень воды не должен быть ниже показанного на рис. 6.20 штрихпунктирной линией). В малоэтажных зданиях короткая контрольная труба надежно обеспечивает сигнализацию о наличии или отсутствии воды в расширительном баке. В многоэтажных зданиях вместо длинной контрольной трубы, искажающей информацию о действительном уровне воды в системе, устанавливают на расширительном баке два реле уровня, соединенных последовательно трубой *4'* (рис. 6.21, *б*) с баком. Реле нижнего уровня предназначено для сигнализации (светом или звуком) об опасном падении уровня воды в баке, а также для включения подпиточной

Электронная библиотека http://tgv.khstu.ru/

установки (клапана или насоса). Реле верхнего уровня служит для прекращения подпитки системы отопления.

Переливную трубу, как и контрольную, в малоэтажных зданиях выводят к раковине в тепловом пункте (см. рис. 6.21, *а*). В крупных зданиях переливную трубу отводят к ближайшему водосточному стояку из чугунных труб.

Полезный объем расширительного бака, ограниченный высотой $h_п$ (см. рис. 6.20), должен соответствовать приросту — увеличению объема воды, заполняющей систему отопления, при ее нагревании до средней расчетной температуры. Изменение объема воды при нагревании в небольшом температурном интервале определяется по уравнению Гей-Люссака

$$V_t = V_0 (1 + \beta t).$$

Отсюда увеличение объема воды в системе отопления $\Delta V_с$ может быть выражено формулой

$$\Delta V_с = \beta \Delta t V_с, \qquad (6.21)$$

где $V_с$ — объем воды в системе при начальной температуре, м³ (л); вычисляют в зависимости от объема воды в основных элементах системы, приходящегося в среднем на единицу ее тепловой мощности; Δt — изменение температуры воды от начальной до средней расчетной, °С; β — среднее значение коэффициента объемного расширения воды (β=0,0006 1/°С).

Полезный объем расширительного бака $V_{пол}$, соответствующий увеличению объема воды в системе $\Delta V_с$, определяют по формуле

$$V_{под} = kV_с, \qquad (6.22)$$

где $k = \beta \Delta t$ (табл. 6.2).

Таблица 6.2. Объемное расширение воды, нагреваемой в системе отопления (в долях первоначального объема)

Наполнение системы водой	Расчетная температура горячей воды в системе, °С			
	95	105	130	135—150
Из водопровода (в среднем 5 °С)	0,045	0,051	0,070	0,084
Из тепловой сети (40—45 °С)	0,024	0,027	0,035	0,042

Электронная библиотека http://tgv.khstu.ru/

Общий объем воды в системе отопления при начальной температуре $V_с$, л, определяют по формуле

$$V_с=(V_{пр}+V_{кал}+V_{тр}+V_{кот})\,Q_с, \qquad (6.23)$$

где $V_{пр}$, $V_{кал}$, $V_{тр}$, $V_{кот}$ — объем воды, л/кВт, соответственно в приборах, калориферах, трубах, котлах, приходящийся на 1 кВт тепловой мощности системы отопления (дан в Справочнике проектировщика в зависимости от расчетной температуры горячей воды); $Q_с$ — тепловая мощность системы водяного отопления, кВт.

Например, в насосной системе отопления с местной котельной и конвекторами «Комфорт» тепловой мощностью 232 кВт полезный объем расширительного бака при $t_г$= =95 °С, вычисленной по формулам (6.22) и (6.23), составит $V_{пол}$=0,045 (0,65+6,9+2,6) 232=106 л.

Полезный объем бака в значительной степени зависит от вида отопительных приборов. Наибольшим он будет при использовании чугунных радиаторов глубиной 90 мм (в нашем примере его потребуется увеличить до 234 л). Кроме того, на объем бака влияет вид выбранной системы отопления. Так, для однотрубной системы насосного водяного отопления с конвекторами требуется открытый расширительный бак, имеющий полезный объем примерно в 3 раза меньший, чем для двухтрубной системы с радиаторами. Это объясняется сокращением вместимости не только отопительных приборов, но и труб уменьшенной длины (см. табл. 6.1).

Закрытый расширительный бак с воздушной или газовой (если используется азот или другой газ, отделенный от воды мембраной) «подушкой» герметичен, способствует уменьшению коррозии труб и приборов, может обеспечить в широком диапазоне переменное давление в системе отопления.

На рис. 6.22, *а* изображена установка в помещении теплового центра закрытого бака без мембраны с регулируемым избыточным давлением. Давление в баке поддерживается либо сжатым воздухом от специального компрессора (вариант *1*), или инертным газом из баллона со сжатым газом (вариант *2*). Действие компрессора автоматизируется.

На рис. 6.22, *б* дана установка подвесного бака с упругой мембраной, разделяющей две среды — воду и инертный газ. Присоединение бака показано после котла, как это принято в зарубежной практике, когда циркуляционный

Электронная библиотека http://tgv.khstu.ru/

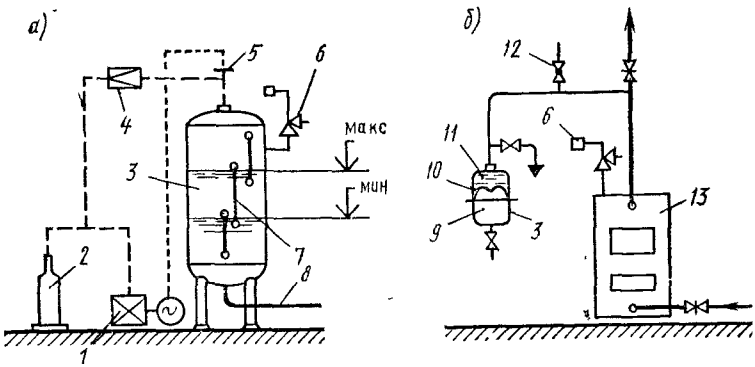

Рис. 6.22. Установка закрытого расширительного бака без мембраны (*а*) и с мембраной (*б*)

1 — воздушный компрессор (1-й вариант); *2* — баллон с инертным газом (2-й вариант); *3* — расширительный бак; *4* — редукционный клапан; *5* — датчик давления; *6* — предохранительный клапан; *7* — водомерное стекло; *8* — соединительная труба; *9* — инертный газ; *10* — мембрана; *11* — вода; *12* — воздушный кран; *13* — котел

насос включается в подающую магистраль системы отопления. Начальное давление газа в баке может быть и атмосферным, и избыточным (например, 50 кПа); в последнем случае мембрана до нагревания воды в системе отопления прилегает к стенкам верхней половины бака.

При нагревании избыток объема воды поступает в бак, сжимая воздух или газ, находящийся в нем (вода действует подобно поршню). При этом повышается давление как в баке, так и в системе в целом. Если объем бака или воздуха (газа) в нем окажется слишком мал, давление в низших точках системы может превысить максимально допустимое. В связи с этим потребуется во избежание аварии выпустить часть воды из системы через предохранительный клапан (показан на рис. 6.22).

С другой стороны, при понижении температуры воды давление в высших точках системы может оказаться ниже минимально необходимого для предупреждения таких недопустимых явлений как вскипание воды или подсос воздуха из атмосферы. Следовательно, объем закрытого расширительного бака строго обусловлен допустимым диапазоном изменения гидравлического давления в системе. Объем бака зависит также от объема и расчетной температуры воды в системе, от давления циркуляционного насоса

Электронная библиотека http://tgv.khstu.ru/

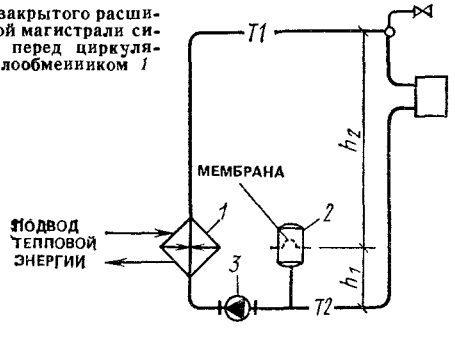

Рис. 6.23. Присоединение закрытого расширительного бака 2 к обратной магистрали системы водяного отопления перед циркуляционным насосом 3 и теплообменником 1

и места включения насоса в теплопровод по отношению к теплообменнику и точке присоединения бака (см. § 7.2).

Полезный объем закрытого расширительного бака определяют по формуле

$$V_{\text{пол}} = \frac{\Delta V_{\text{с}}}{\frac{p_{\text{а}}}{p_{\text{мин}}} - \frac{p_{\text{а}}}{p_{\text{макс}}}}, \qquad (6.24)$$

где $\Delta V_{\text{с}}$ — увеличение объема воды в системе при нагревании; определяют по формуле (6.21); $p_{\text{а}}$ — абсолютное давление в баке до первого поступления воды (в том числе атмосферное давление); $p_{\text{мин}}$ — абсолютное давление в баке при наполнении системы водой (минимально необходимое давление воды в баке при минимальном уровне — см. рис. 6.22, *а*); $p_{\text{макс}}$ — абсолютное давление в баке при повышении температуры воды до расчетной и заполнении бака водой (максимально допустимое давление воды в баке при максимальном уровне — см. рис. 6.22, *а*).

Минимально необходимое давление воды в закрытом расширительном баке равно гидростатическому давлению p_2 на уровне установки бака с некоторым запасом $p_{\text{верх}}$ для создания избыточного давления в верхней точке системы, которое позволит избежать подсоса воздуха из атмосферы или вскипания воды (особенно, если $t_{\text{г}} > 100$ °С):

$$p_{\text{мин}} = p_{\text{а}} + p_2 + p_{\text{верх}}. \qquad (6.25)$$

Максимально допустимое давление воды в баке при обычном присоединении его к обратной магистрали системы перед всасывающим патрубком циркуляционного насоса (рис. 6.23) принимают в зависимости от рабочего давления $p_{\text{раб}}$, допустимого для элементов системы отопления в низшей ее точке (например, для чугунного котла), уменьшенного на сумму давления насоса $\Delta p_{\text{н}}$ и гидростатического

Электронная библиотека http://tgv.khstu.ru/

давления p_1, связанного с расстоянием h_1 от уровня воды в баке до низшей точки системы:

$$p_{\text{макс}} = p_{\text{а}} + p_{\text{раб}} - (\Delta p_{\text{н}} + p_1). \qquad (6.26)$$

Давления p_1 и p_2 пропорциональны вертикальным расстояниям h_1 и h_2 на рис. 6.23.

Объем закрытого расширительного бака при начальном давлении в нем, равном атмосферному, получается больше объема открытого бака. Использование сжатого воздуха для повышения давления $p_{\text{а}}$ сверх атмосферного (для «зарядки» бака) позволяет уменьшить объем закрытого бака. Объем закрытого расширительного бака уменьшается также при переносе его в верхнюю часть здания и присоединении там к магистрали системы отопления.

Современная конструкция бака представляет собой стальной цилиндрический сосуд, разделенный на две части резиновой мембраной: одна часть предназначена для воды системы отопления, вторая заполнена газом под давлением. В ЧСФР, например, выпускаются баки с давлением газа 50, 100 и 150 кПа для систем отопления зданий высотой до 15 м, рассчиганные на максимальное рабочее давление в системах 350 кПа.

Место присоединения закрытого расширительного бака к теплопроводам выбирают с учетом сохранения его гидравлической связи с действующей частью системы при нормальном использовании клапанов, задвижек и прочей запорной арматуры в другой отключаемой части системы отопления.

Закрытые расширительные баки, помещаемые непосредственно в тепловых пунктах зданий или на тепловых станциях, в значительной степени лишены недостатков открытых баков. Однако для сокращения их объема путем искусственного увеличения внутреннего давления требуются дополнительное оборудование и затрата электрической энергии.

§ 6.7. Система отопления с естественной циркуляцией воды

Область применения системы с естественной циркуляцией воды (гравитационной) в настоящее время, как уже известно, ограничена. Ее используют для отопления отдельных жилых квартир, обособленных зданий (особенно в

Электронная библиотека http://tgv.khstu.ru/

сельской местности), зданий при неналаженном снабжении электрической энергией. Применяют также в зданиях, в которых недопустимы вызываемые циркуляционными насосами шум и вибрация конструкций (например, при точных измерениях).

Система с естественной циркуляцией воды может быть устроена для отопления верхних помещений высоких зданий (например, технического этажа при кондиционировании воздуха, совмещенном с отоплением, в основных помещениях здания).

Ограничение области применения связано с тем, что для циркуляции воды используется различие в гидростатическом давлении в вертикальных частях системы, которое только в высоких зданиях достигает значений, соизмеримых с давлением, создаваемым насосом.

В малоэтажных зданиях гравитационная система имеет следующие **недостатки** по сравнению с насосной системой водяного отопления:

а) сокращенный радиус действия (до 20 м по горизонтали), обусловленный небольшим циркуляционным давлением;

б) повышенная первоначальная стоимость (до 5—7% стоимости небольших зданий) в связи с применением труб увеличенного диаметра;

в) увеличенные расход металла и затраты труда на монтаж системы;

г) замедленное включение в действие из-за большой теплоемкости воды и малого циркуляционного давления;

д) повышенная опасность замерзания воды в трубах, проложенных в неотапливаемых помещениях.

Вместе с тем гравитационная система отопления обладает **достоинствами**, определяющими в отдельных случаях ее выбор:

а) относительная простота устройства и эксплуатации;

б) независимость действия от снабжения электрической энергией;

в) отсутствие циркуляционных насосов и соответственно шума и вибраций;

г) сравнительная долговечность (при правильной эксплуатации система может действовать 35—40 лет и более без капитального ремонта);

Электронная библиотека http://tgv.khstu.ru/

д) улучшение теплового режима помещений, обусловленное действием с количественным саморегулированием.

Остановимся на явлении количественного саморегулирования. В гравитационной системе создается своеобразный механизм естественного регулирования: при проведении обычного качественного регулирования, т. е. при изменении температуры воды, самопроизвольно возникают количественные изменения — изменяется расход воды. Действительно, если повышать температуру греющей воды при понижении температуры наружного воздуха (и наоборот), то в системе из-за иного распределения плотности воды будет увеличиваться (уменьшаться) естественное циркуляционное давление, а следовательно, и количество циркулирующей воды. Одновременное изменение температуры и количества воды обеспечивает необходимую теплоотдачу отопительных приборов для поддержания ровной температуры помещений.

В двухтрубной системе усиление или ослабление циркуляции воды в циркуляционном кольце каждого отопительного прибора изменяет теплопередачу в помещение, которая, взаимодействуя с теплопотерями помещения (уменьшаясь или возрастая), сама влияет на расход воды, изменяя температуру обратной воды (а с ней и циркуляционное давление). В результате в каждом помещении сохраняется соответствие между теплоотдачей прибора и теплопотерями, т. е. обеспечивается при действии системы отопления относительно ровный тепловой режим.

В вертикальной однотрубной системе имеет место такое же количественное саморегулирование, но в отличие от двухтрубной системы в циркуляционных кольцах не каждого прибора, а уже стояков в целом с их последовательно соединенными приборами. При этом усиление или ослабление циркуляции воды происходит более интенсивно, чем в двухтрубной системе. В результате в теплый период отопительного сезона наблюдается отклонение от необходимой теплоподачи у части приборов: при движении в стояке сверху вниз сильно уменьшенного количества воды нижние приборы несколько недогревают помещения. Это явление смягчается с увеличением числа этажей здания.

Можно сделать вывод, что при естественной циркуляции воды преимущество в малоэтажных зданиях следует отдавать двухтрубной системе отопления; вертикальная

Электронная библиотека http://tgv.khstu.ru/

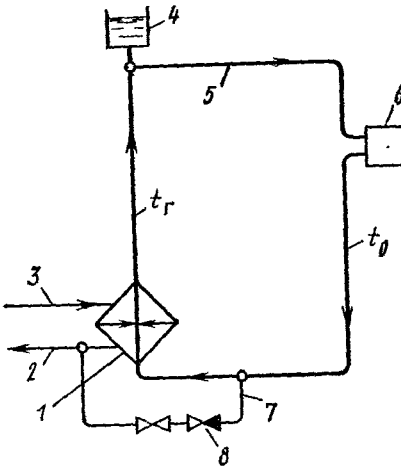

Рис. 6.24. Принципиальная схема гравитационной системы водяного отопления

1 — теплообменник (теплогенератор); *2* и *3* — наружные обратный и подающий теплопроводы; *4* — расширительный бак; *5* — верхняя подающая магистраль; *6* — отопительный прибор; *7* — наполнительно-подпиточная труба; *8* — обратный клапан

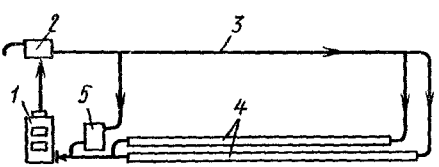

Рис. 6.25. Схема системы водяного отопления железнодорожного пассажирского вагона

1 — котел; *2* — проточный расширительный бачок; *3* — верхняя подающая магистраль; *4* — основные греющие гладкие трубы; *5* — отопительный прибор туалетного отделения

однотрубная система предпочтительна в многоэтажных зданиях, где благодаря увеличению естественного циркуляционного давления можно уменьшить диаметр труб (по сравнению с двухтрубной), а также располагать отдельные отопительные приборы ниже котла или теплообменника.

Схема гравитационной системы во многом подобна разобранной схеме насосной системы отопления. Перечислим лишь **особенности конструкции** гравитационной системы, отражающие природу ее действия.

1. Гравитационная система для улучшения циркуляции воды устраивается, как правило, с верхним расположением подающей магистрали — с верхней разводкой (см. рис. 5.1, *а*).

2. Расширительный бак в гравитационной системе присоединяется непосредственно к главному стояку для непрерывного беспрепятственного удаления воздуха из системы через бак в атмосферу (без воздухосборников и воздухоотводчиков).

Электронная библиотека http://tgv.khstu.ru/

3. Подающая магистраль прокладывается с увеличенным уклоном (не менее 0,005) для сбора воздуха против направления движения воды (см. рис. 5.6, *б*) к точке присоединения расширительного бака.

4. Приборные узлы выполняются для обеспечения движения воды в отопительных приборах по схеме *1* — сверху — вниз (см. рис. 4.17, *а*) с целью повышения коэффициента теплопередачи приборов.

5. Однотрубные стояки устраиваются с замыкающими участками у приборов (см. рис. 5.7, *б*) для уменьшения потерь давления при движении воды через приборные узлы.

На рис. 6.24 изображена принципиальная схема гравитационной системы водяного отопления с верхней разводкой и теплообменником, который применяют при независимом присоединении системы отопления к наружным теплопроводам. Показано, что наполнение и подпитка системы делаются деаэрированной водой из наружного обратного теплопровода без насоса, что возможно при достаточно высоком давлении в нем. При местном теплоснабжении теплообменник заменяется котлом. Подробные схемы стояков двухтрубной системы даны на рис. 6.5, *а*, однотрубной — на рис. 6.2.

Возможно применение гравитационных систем отопления с нижней разводкой обеих магистралей, двухтрубные и однотрубные стояки которых изображены на рис. 6.5, *б* и 6.3. Однако при этом уменьшается циркуляционное давление, что приводит к увеличению диаметра труб; усложняются сбор и удаление воздушных скоплений из системы. Расширительный бак в этом случае присоединен к магистрали в нижней части системы, и его можно использовать для удаления воздуха только при прокладке специальных воздушных труб, показанных на рис. 6.5, *б* и рис. 5.19, *е*.

Система с «опрокинутой» циркуляцией при естественной циркуляции воды не используется, так как в ней иногда возникает «обратное» движение охлажденной воды в стояках.

В двухтрубной гравитационной системе отопления для создания достаточного циркуляционного давления следует увеличивать вертикальное расстояние между нижними отопительными приборами и теплообменником, доводя его хотя бы до 3 м. Если это осуществимо в отдельных зданиях, то при отоплении одноэтажных квартир и домов, а также железнодорожных вагонов теплогенератор (котел) прихо-

Электронная библиотека http://tgv.khstu.ru/

дится располагать на одном уровне с отопительными приборами. В этих случаях рассчитывают на создание циркуляции воды только за счет охлаждения ее в трубах.

Квартирные системы водяного отопления применяются уже более ста лет. За это время изменялись и совершенствовались котлы и их топливо, трубы и отопительные приборы, использовались различные схемы, но принцип устройства и действия оставался одним и тем же: для создания устойчивой циркуляции воды одна из магистралей прокладывается под потолком отапливаемого помещения. Охлаждение воды в этой сравнительно высоко расположенной над котлом магистрали и обеспечивает необходимое циркуляционное давление. Что же касается охлаждения воды в отопительных приборах, то центр охлаждения в них может оказаться не только не выше середины котла, но даже ниже ее, а это будет препятствовать естественной циркуляции воды.

Наиболее распространена двухтрубная схема, при которой подающую магистраль размещают под потолком отапливаемого помещения, обратную прокладывают у пола или в подпольном канале. Отопительные приборы присоединяют к трубам по схеме сверху — вниз.

Теоретически возможна двухтрубная схема, когда не только подающая, но и обратная магистрали помещаются под потолком помещения. При этом для обеспечения циркуляции воды необходимо опускать обратную магистраль петлями до низа каждого отопительного прибора, что увеличивает расход труб и усложняет спуск воды из системы в процессе ее эксплуатации.

Можно применить также горизонтальную однотрубную схему присоединения отопительных приборов, но и в этом случае одна из магистралей должна быть проложена поверху (под потолком помещений).

На рис. 6.25 изображена для примера одна из двух ветвей гравитационной системы водяного отопления железнодорожного пассажирского вагона. Две гладкие трубы $D_у 70$, обогревающие нижнюю зону салона, присоединяют самостоятельно к верхней подающей магистрали для усиления циркуляции воды в каждой из них. Отдельный отопительный прибор предназначен для отопления туалетной комнаты. Подающую магистраль желательно проклады-

Электронная библиотека http://tgv.khstu.ru/

гепловой изоляции для увеличения циркуляцион-
ения и изолировать только главный стояк.
ычисления естественного циркуляционного дав-
гравитационной системе отопления необходимо
пературу и плотность воды в различных ее точ-
овательно, при проектировании квартирной сис-
ления обязателен точный расчет теплопередачи
нки труб для определения степени охлаждения
щей в них воды. Эту особенность теплогидравли-
асчета в необходимых случаях распространяют и
гравитационные системы отопления.
ньшее охлаждение воды, а следовательно, и наи-
естественное циркуляционное давление получает-
уляционном кольце через прибор, ближний к теп-
ору (например, в кольце прибора 5 на рис. 6.25),
е малой длины труб. Поэтому через такой при-
пример потокораспределению в насосной системе,
отекать меньшее количество воды, чем через при-
ленные от теплогенератора.
асчете площади нагревательной поверхности каж-
ора квартирной системы отопления учитывают уже
теплоотдачу труб, проложенных в помещении,
туру воды при входе в прибор и выходе из него.
обенность теплового расчета приборов такой сис-
ления.
ма отопления железнодорожного вагона обычно
ся электрическим насосом для возможности усиле-
уляции воды. В районах, обеспеченных электриче-
гией, квартирная система отопления может так-
ваться с циркуляционным насосом. Для этой цели
чен специальный малошумный насос ЦВЦ
алой мощности. Этот насос рассчитан на подачу
оды при давлении 4 кПа. Насосная квартирная
отопления делается горизонтальной однотрубной
рубной с нижней прокладкой обеих магистралей.

истема водяного отопления высотных зданий

ные здания и санитарно-технические устройства
ируются: делятся на части — зоны определенной
разделенные техническими этажами. Оборудова-
муникации помещаются на технических этажах.

Электронная библиотека http://tgv.khstu.ru/

В системах отопления, вентиляции и водоснабжения допустимая высота зоны определяется значением гидростатического давления воды в нижних отопительных приборах или других элементах и возможностью размещения оборудования, воздуховодов, труб и других коммуникаций на технических этажах.

Для системы водяного отопления высота зоны в зависимости от гидростатического давления, допустимого как рабочего для отдельных видов отопительных приборов (от 0,6 до 1,0 МПа), не должна превышать (с некоторым запасом) 55 м при использовании чугунных и стальных приборов (при радиаторах типа МС — 80 м) и 90 м для приборов со стальными греющими трубами. Высота зоны может быть увеличена при применении термосифонных отопительных приборов (см. § 18.3).

В пределах одной зоны систему водяного отопления устраивают при водяном теплоснабжении по схеме с независимым присоединением к наружным теплопроводам (см. § 6.1), т. е. гидравлически изолированной от наружной тепловой сети и от других систем отопления. Такая система имеет собственные водо-водяной теплообменник, циркуляционный и подпиточный насосы, расширительный бак.

Число зон по высоте здания определяется, как и высота отдельной зоны, допустимым гидростатическим давлением, но не для отопительных приборов, а для оборудования в тепловых пунктах, расположенных при водяном теплоснабжении обычно в подвальном этаже. Основное оборудование этих тепловых пунктов, а именно обычного вида водо-водяные теплообменники и насосы, даже изготовленные по специальному заказу, могут выдерживать рабочее давление не более 1,6 МПа.

Это означает, что при таком оборудовании высота здания при водо-водяном отоплении гидравлически изолированными системами имеет предел, равный 150—160 м. В таком здании могут быть устроены две (по 75—80 м высотой) или три (по 50—55 м высотой) зональные системы отопления. При этом гидростатическое давление в оборудовании системы отопления верхней зоны, находящемся в подвальном этаже, достигнет расчетного предела.

В зданиях высотой 160—250 м может применяться водо-водяное отопление с использованием специального оборудования, рассчитанного на рабочее давление 2,5 МПа. Мо-

Электронная библиотека http://tgv.khstu.ru/

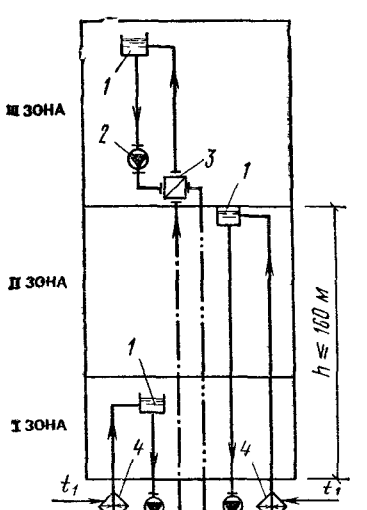

Рис. 6.26. Принципиальная схема водяного отопления высотного здания

I и *II* — зоны здания с водо-водяным отоплением; *III* — зона здания с пароводяным отоплением; *1* — расширительные баки; *2* — циркуляционные насосы; *3* — пароводяной теплообменник; *4* — водо-водяные теплообменники

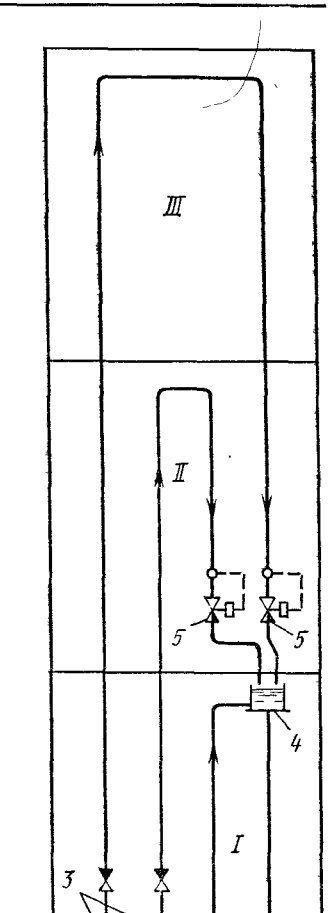

Рис. 6.27. Принципиальная схема единой системы водо-водяного отопления высотного здания

1 — общий теплообменник; *2* — общий циркуляционный насос; *3* — зональные циркуляционно-повысительные насосы; *4* — общий расширительный бак; *5* — регуляторы давления «до себя»

жет быть также выполнено, если имеется в наличии пар, комбинированное отопление (рис. 6.26): помимо водо-водяного отопления в нижних 160 м в зоне сверх 160 м устраивается пароводяное отопление.

Электронная библиотека http://tgv.khstu.ru/

Теплоноситель пар, отличающийся незначительным гидростатическим давлением, подается на технический этаж под верхней зоной, где оборудуют еще один тепловой пункт. В нем устанавливают пароводяной теплообменник, свои циркуляционный насос и расширительный бак, приборы для качественно-количественного регулирования.

В каждой зональной системе отопления имеется свой расширительный бак, оборудованный системой электрической сигнализации и управления подпиткой системы.

Подобный комплекс комбинированного отопления действует в центральной части главного корпуса Московского государственного университета: в нижних трех зонах устроено водо-водяное отопление с чугунными радиаторами, в верхней *IV* зоне — пароводяное отопление.

В зданиях высотой более 250 м предусматривают новые зоны пароводяного отопления или прибегают к электроводяному отоплению, если источника пара не имеется.

Для снижения стоимости и упрощения конструкции возможна замена комбинированного отопления высотного здания одной системой водяного отопления, при которой не требуется второй первичный теплоноситель (например, пар). На рис. 6.27 показано, что в здании может быть устроена гидравлически общая система с одним водо-водяным теплообменником, общими циркуляционным насосом и расширительным баком. Система по высоте здания по-прежнему делится на зональные части по приведенным выше правилам. Вода во *II* и последующие зоны подается зональными циркуляционно-повысительными насосами и возвращается из каждой зоны в общий расширительный бак. Необходимое гидростатическое давление в главном обратном стояке каждой зональной части поддерживается регулятором давления типа «до себя». Гидростатическое давление в оборудовании теплового пункта, в том числе и в повысительных насосах, ограничено высотой установки открытого расширительного бака и не превышает стандартного рабочего давления 1 МПа.

Для систем отопления высотных зданий характерны деление их в пределах каждой зоны по сторонам горизонта (по фасадам) и автоматизация регулирования температуры теплоносителя. Температура теплоносителя воды для зональной системы отопления устанавливается по заданной программе в зависимости от изменения температуры наруж-

Электронная библиотека http://tgv.khstu.ru/

ного воздуха (регулирование «по возмущению»). При этом для части системы, обогревающей помещения, обращенные на юг и запад, предусматривают дополнительное регулирование температуры теплоносителя (для экономии тепловой энергии) на случай, когда при инсоляции температура помещений повышается (регулирование «по отклонению»).

Для опорожнения отдельных стояков или частей системы на технических этажах прокладывают дренажные линии. На время действия системы дренажную линию выключают во избежание неконтролируемой утечки воды общим вентилем перед разделительным водосточным бачком (см. рис. 5.16).

§ 6.9. Децентрализованная система водо-водяного отопления

Среди применяемых систем водяного отопления преобладают системы, в которых температура поверхности отопительных приборов ограничена 95 °С. Выше рассматривались распространенные системы, где местный теплоноситель централизованно нагревается высокотемпературной водой (см. рис. 6.1, *б*, *в*), причем нагревается максимум до 95 °С в двухтрубных и до 105 °С в однотрубных системах. Между тем, система, в которой высокотемпературная вода подводилась бы как можно ближе к отопительным приборам, а температура их поверхности по гигиеническим требованиям сохранялась пониженной, имела бы определенное экономическое преимущество перед обычной системой. Это преимущество достигалось бы за счет уменьшения диаметра труб для перемещения сокращенного количества воды [см. формулу (6.12)] с повышенной скоростью под давлением сетевого (станционного) циркуляционного насоса.

В такой комбинированной водо-водяной системе нагревание теплоносителя происходило бы децентрализованно. В тепловом пункте здания оборудования для нагревания и создания циркуляции воды не потребовалось, там только контролировалось бы действие системы и учитывался расход тепловой энергии (как в системе по схеме на рис. 6.1, *г*).

Разберем некоторые схемы системы децентрализованного нагревания местного теплоносителя высокотемпературной водой, разработанные советскими инженерами, разделив

Электронная библиотека http://tgv.khstu.ru/

их на две группы: с независимым и зависимым присоединением системы к наружным теплопроводам.

Для децентрализованного нагревания местной воды или масла **по независимой схеме** предложены безнапорные стальные или керамические отопительные приборы. Эти приборы, как открытые сосуды, заполняются водой (маслом), нагреваемой через стенки змеевика высокотемпературной водой. Испарение с поверхности воды в приборе способствует повышению влажности воздуха в помещении. Змеевик включен в однотрубную проточно-регулируемую систему с «опрокинутой» циркуляцией высокотемпературной воды (по рис. 6.4). Высокотемпературная вода может иметь температуру при керамических блоках 110 °С, при стальных приборах, заполненных минеральным маслом, 130 °С. При этом температура поверхности приборов не превышает 95 °С.

Децентрализованное смешение высоко- и низкотемпературной воды, т. е. нагревание местного теплоносителя **по зависимой схеме**, может осуществляться в магистралях, стояках и непосредственно в отопительных приборах.

При смешении в магистралях система отопления делится на несколько последовательно соединенных частей (подсистем), состоящих каждая из нескольких однотрубных П-образных стояков (см. рис. 6.3). Попутное подмешивание высокотемпературной воды к охлажденной обратной воде из подсистем (для повышения температуры от 70 до 105 °С) происходит через перемычки с диафрагмами в промежуточные магистрали между отдельными подсистемами.

В системе со смешением воды в основании однотрубных П-образных стояков магистраль с высокотемпературной (температура t_1) водой делается в отличие от известных систем отопления также однотрубной (рис. 6.28, *а*). Вода в ней понижает температуру (например, от температуры t_1 до температуры t_i) в точках смешения (в центрах охлаждения — черная точка на рисунке) и поступает в стояки с различной температурой. В вертикальных стояках возникает в основном естественная циркуляция воды, так как гидравлическое сопротивление замыкающих участков *1* сравнительно невелико.

Для смешения воды в основании двухтрубных стояков (по рис. 6.5, *б*) используются специальные смесители *2* (рис. 6.28, *б*). Вода в обеих магистралях перемещается под

Электронная библиотека http://tgv.khstu.ru/

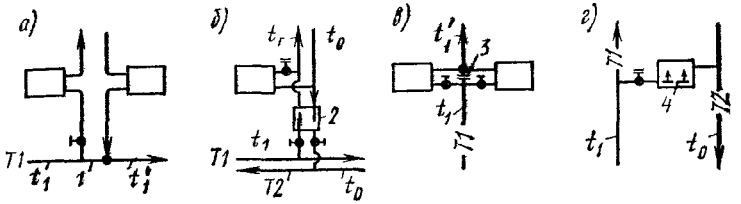

Рис. 6.28. Узлы систем отопления с децентрализованным смешением воды в основании однотрубных и двухтрубных стояков (*а* и *б*), в приборах одно- и двухтрубных стояков (*в* и *г*)

1 — замыкающий участок магистрали; *2* — смеситель; *3* — диафрагма на замыкающем участке *4* — перфорированный коллектор;

давлением сетевого насоса, в стояках происходит естественная циркуляция воды.

При децентрализованном смешении и однотрубных стояках система отопления делится на две части: в первой высокотемпературная вода движется в стояках снизу вверх (по рис. 6.4), охлаждаясь до температуры 95 °С, во второй — сверху вниз (по рис. 6.2). Для обеспечения затекания в приборы необходимого количества высокотемпературной воды на замыкающих участках устанавливают диафрагмы *3* (рис. 6.28, *в*).

При децентрализованном смешении в двухтрубных стояках высокотемпературная вода подается внутрь каждого отопительного прибора через перфорированный коллектор *4* (рис. 6.28, *г*) или через сопло-смеситель, а охлажденная вода удаляется в таком же количестве в обратный стояк.

Описанные системы отопления не получили массового распространения из-за затруднений с прокладкой труб высокотемпературной воды в помещениях, сложности монтажного и эксплуатационного регулирования.

В настоящее время применяется прямоточная система отопления с децентрализованным нагреванием воды, возвращающейся из последовательно соединенных трех-четырех подсистем (групп стояков). В этой так называемой системе со ступенчатой регенерацией температуры (СРТ) (рис. 6.29) высокотемпературная вода нагревает охлажденную воду в двух-трех (между подсистемами) регенераторах температуры (РТ). Регенераторы температуры представляют собой противоточные теплообменники типа «труба в трубе» (например, труба $D_у$25 в корпусе $D_у$40). Вода дважды протекает через каждый РТ; сначала в виде высоко-

Электронная библиотека http://tgv.khstu.ru/

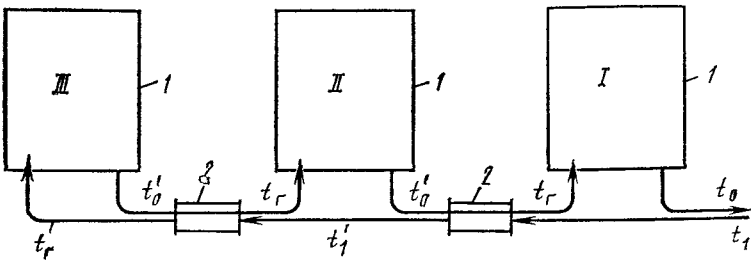

Рис. 6.29. Принципиальная схема системы водяного отопления СРТ, состоящей из трех подсистем *I* и двух регенераторов температуры *2*

температурной по межтрубному пространству, потом в виде охлажденной воды по внутренней трубе. Вода при возвращении из последней подсистемы нагревается высокотемпературной водой до 95—105 °С, затем поступает в предпоследнюю подсистему и т. д., пока из первой подсистемы она охлажденной не возвратится к точке ввода в здание высокотемпературной воды.

Систему отопления СРТ выполняют однотрубной с односторонними унифицированными приборными узлами, с верхней или нижней разводкой подающей магистрали.

КОНТРОЛЬНЫЕ ЗАДАНИЯ И УПРАЖНЕНИЯ

1. Обобщите достоинства и недостатки различных схем присоединения систем водяного отопления к наружиым тепловым сетям.

2. Проаиалнзируйте показатели, приведениые в табл. 6.1, примеиительно к 17-этажному жилому зданию.

3. Составьте ряд известных Вам схем присоединения теплопроводов к радиаторам и конвекторам

4. Изложите функцни циркуляционного, смесительного, повысительного и подпиточного насосов в системах водяного отопления.

5. Устаиовите область применения формулы (6.10), предложенной В. М. Чаплиным в курсе лекций по отоплению, изданиом в 1923 г.

6. Напишите условия включения смесительного насоса: а) в перемычку между магистралями, б) в обратную и в) в подающую магистраль системы водяиого отопления.

7. Определите изменение циркуляционного давления, передаваемого в систему отоплеиня, при понижении расчетной температуры воды, поступающей в водоструйный элеватор, от 150 до 120 °С.

8. Исследуйте зависимость объема закрытого расширительного

Электронная библиотека http://tgv.khstu.ru/

бака: а) от места его присоединения к теплопроводам системы отопления; б) от предварительного повышения в нем давления газа.

9. Опишите явление количественного саморегулирования в системе гравитационного водяного отопления.

10. Разработайте конструкцию системы водяного отопления для садового домика с мезонином.

ГЛАВА 7. РАСЧЕТ ДАВЛЕНИЯ В СИСТЕМЕ ВОДЯНОГО ОТОПЛЕНИЯ

Гидравлическое давление в каждой точке замкнутых циркуляционных колец системы отопления в течение отопительного сезона непрерывно изменяется вследствие непостоянства плотности воды и циркуляционного давления.

Исходное значение давления соответствует гидростатическому давлению в каждой точке системы в состоянии покоя. Наибольшие изменения давления в системе происходят при циркуляции максимального количества воды, температура которой достигает предельного значения при расчетной температуре наружного воздуха. Сравнивая крайние значения при этих двух гидравлических режимах, можно судить о динамике давления в каждой точке при действии системы отопления в течение отопительного сезона.

Изменение гидравлического давления рассматривают с целью выявления в системе отопления мест с чрезмерно низким или высоким давлением, вызывающим нарушение циркуляции воды или разрушение отдельных элементов. Это позволяет предусматривать мероприятия, обеспечивающие нормальное действие системы.

§ 7.1. Изменение давления при движении воды в трубах

Установим, как изменяется гидравлическое давление в горизонтальных и вертикальных трубах, заполненных движущейся водой, применительно к условиям работы вертикального циркуляционного кольца системы отопления.

Запишем значение гидравлического давления в любой точке потока воды — капельной несжимаемой жидкости. При установившемся движении потока воды гидравлическое давление по уравнению Бернулли составит

$$\rho \frac{w^2}{2} + \rho g h + p, \qquad (7.1)$$

Электронная библиотека http://tgv.khstu.ru/

где ρ — плотность воды, кг/м^3; g — ускорение свободного падения, м/с^2; h — вертикальное расстояние от оси потока воды до плоскости сравнения, м; p — давление в потоке воды, Па; w — средняя скорость движения потока воды, м/с.

По уравнению (7.1) полная энергия потока состоит из кинетической и потенциальной энергии. Кинетическая энергия движения потока воды измеряется гидродинамическим давлением. Среднее значение гидродинамического давления — порядок его величины — найдем при скорости движения воды 1,5 м/с, характерной для теплопроводов насосной системы отопления

$$\rho \frac{w^2}{2} = 970 \frac{1{,}5^2}{2} = 1090 \text{ Па}.$$

Потенциальная энергия потока воды складывается из энергии положения потока ρgh и энергии давления p в потоке.

В каком-либо сечении потока воды энергия положения ρgh зависит от размещения этого сечения по отношению к плоскости сравнения. За плоскость сравнения примем свободную поверхность воды в открытом расширительном баке системы отопления, на которую действует атмосферное давление. При этом будем считать уровень, на котором находится вода в баке, неизменным. Тогда в каждом сечении потока будет определяться гидростатическое давление положения, как избыточное и пропорциональное вертикальному расстоянию h (высоте столба воды в состоянии покоя).

Энергия давления p определяется пьезометрической высотой, на которую может подняться вода над рассматриваемым сечением потока. В замкнутой системе отопления проявляется энергия давления, рассматриваемая как гидростатическое давление в каждом сечении теплопроводов, вызывающее циркуляцию воды.

Сопоставим возможное изменение гидродинамического и гидростатического давления в вертикальной системе отопления.

Гидростатическое давление в вертикальной трубе при изменении положения потока только на 1 м возрастает или убывает на

$$\rho gh = 970 \cdot 9{,}81 \cdot 1 \approx 9500 \text{ Па}.$$

Очевидно, что изменение величины гидростатического давления по высоте системы отопления даже одноэтажного

Электронная библиотека http://tgv.khstu.ru/

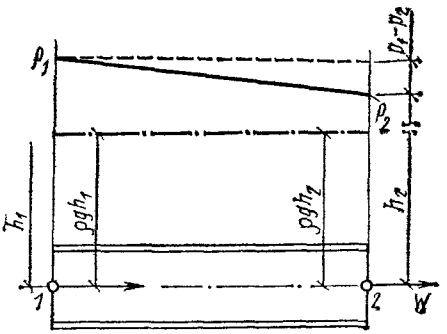

Рис. 7.1. Изменение гидростатического давления в горизонтальной трубе при движении заполняющей ее воды с постоянной скоростью слева направо (давление отложено над трубой)

1 и *2*—начальное и конечное сечения потока; h — вертикальное расстояние от оси потока до свободной поверхности воды

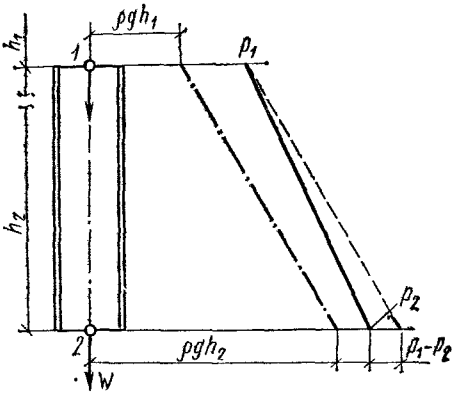

Рис. 7. 2. Изменение гидростатического давления в вертикальной трубе при движении заполняющей ее воды сверху вниз (давление отложено справа от отрезка трубы)

1 и *2* — начальное и конечное сечения потока; h— вертикальное расстояние от сечения до свободной поверхности воды

здания более чем на целый порядок превышает максимально возможное изменение значения гидродинамического давления (1090 Па). Поэтому в дальнейшем для характеристики изменения гидравлического давления в системе отопления будем учитывать изменение только гидростатического давления ($\rho g h + p$), приближенно считая его равным полному, т. е. будем пренебрегать изменением гидродинамического давления ($\rho w^2/2$).

В горизонтальной трубе при движении воды происходит изменение давления в потоке вследствие потерь давления на трение. На рис. 7.1 показано понижение давления в отрезке трубы при движении воды слева направо, причем плотность воды ρ принята постоянной.

Так как вертикальное расстояние от оси потока до свободной поверхности воды $h_1 = h_2$, то гидростатическое дав-

Электронная библиотека http://tgv.khstu.ru/

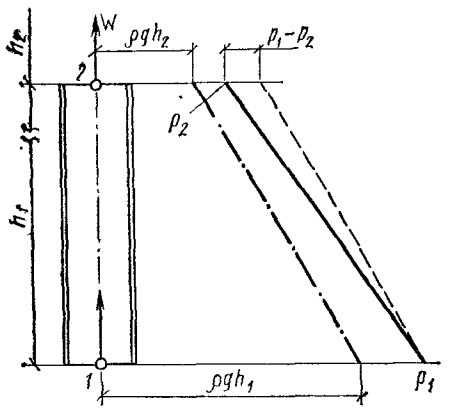

Рис. 7.3. Изменение гидростатического давления в вертикальной трубе при движении заполняющей ее воды снизу вверх (обозначения — см. рис. 7.2)

ление положения потока составляет $\rho g h_1 = \rho g h_2$ (изображено на рисунке штрихпунктирной линией). При движении воды с постоянной скоростью w от начального сечения *1*, где давление в потоке p_1, до конечного сечения *2* давление понижается до p_2. Разность давления равна потерям давления на трение — $p_1 - p_2 = \Delta p_{пот}$.

В горизонтальной трубе гидростатическое давление понижается в направлении движения воды.

В вертикальной трубе при движении воды **сверху вниз** происходит изменение гидростатического давления не только из-за потерь давления на трение, но и вследствие изменения положения сечений потока по отношению к свободной поверхности воды. На рис. 7.2 при тех же условиях штрихпунктирной линией изображено возрастание гидростатического давления в отрезке трубы, связанное с увеличением вертикального расстояния от h_1 до h_2, т. е. $\rho g h_2 > \rho g h_1$. Показано, что несмотря на потери давления на трение $\Delta p_{пот} = p_1 - p_2$, общее гидростатическое давление в сечении *2* возрастает: $\rho g h_2 + p_2 > \rho g h_1 + p_1$.

Из практики известно, что в вертикальных трубах систем отопления давление положения изменяется сильнее, чем давление в потоке, связанное с попутными потерями. Поэтому можно сделать вывод, что в вертикальных трубах систем отопления при движении воды сверху вниз гидростатическое давление возрастает.

В вертикальной трубе при движении воды **снизу вверх** гидростатическое давление уменьшается в результате умень-

Электронная библиотека http://tgv.khstu.ru/

шения как вертикального расстояния (от h_1 до h_2) сечений потока от свободной поверхности воды, так и потерь давления на трение $\Delta p_{пот}=p_1-p_2$. На рис. 7.3 штрихпунктирной линией показано, что $\rho g h_2<\rho g h_1$ (давление по-прежнему отложено справа от отрезка трубы), и сплошной линией, что $p_2<p_1$. Таким образом, в этом случае $\rho g h_2+p_2<\rho g h_1+p_1$.

Можно сделать вывод, что в вертикальных трубах при движении воды снизу вверх происходит наиболее интенсивное падение гидростатического давления.

Перейдем к рассмотрению процесса изменения давления — динамики давления в системе водяного отопления.

§ 7.2. Динамика давления в системе водяного отопления

Рассмотрение динамики давления проведем в системе водяного отопления с естественной и искусственной циркуляцией воды как при наличии расширительного бака (см. рис. 6.1, *а*, *б*), так и без расширительного бака (рис. 6.1, *в*, *г*).

1. ДИНАМИКА ДАВЛЕНИЯ В СИСТЕМЕ ОТОПЛЕНИЯ С РАСШИРИТЕЛЬНЫМ БАКОМ

Примем, как и в § 7.1, свободную поверхность воды в открытом расширительном баке за плоскость отсчета для определения избыточного гидростатического давления и будем считать уровень, на котором находится вода в баке, неизменным при определенных объеме и температуре воды в системе отопления. Тогда в толще воды в каждой точке системы отопления можно определить избыточное гидростатическое давление в зависимости от высоты столба воды, расположенного над рассматриваемой точкой (в связи с изменением положения точки).

В системе отопления (ее замкнутый контур изображен двойными линиями на рис. 7.4) с ненагреваемой водой при бездействии насоса, т. е. с водой равномерной плотности, находящейся в покое, избыточное гидростатическое давление в теплопроводах одинаково на любом рассматриваемом уровне (например, на уровне *I—I* оно равно $\rho g h_i$, где h_i — высота столба воды или глубина погружения под уровень воды в расширительном баке *I*). Наименьшее гидростати-

Электронная библиотека http://tgv.khstu.ru/

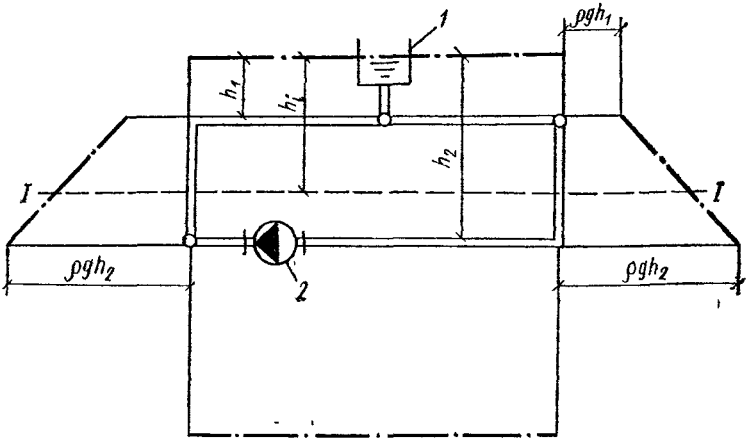

Рис. 7.4. Эпюра гидростатического давления в системе отопления с ненагреваемой водой, находящейся в покое

1 — открытый расширительный бак; *2* — циркуляционный насос (бездействует)

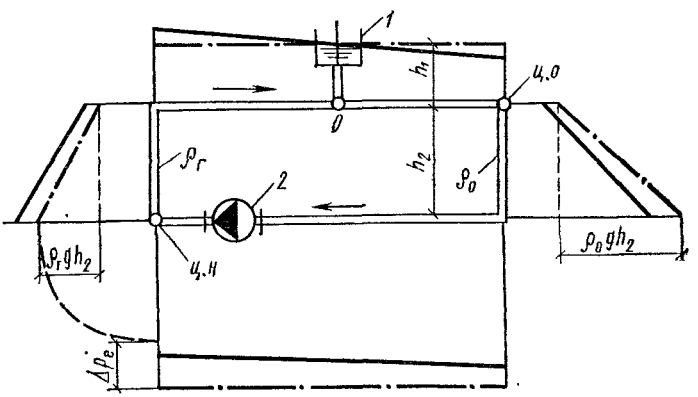

Рис. 7.5. Эпюра гидростатического давления в системе отопления с нагреваемой водой при бездействии насоса

1 — открытый расширительный бак; *2* — циркуляционный насос (бездействует); ц. н. — центр нагревания; ц. о. — центр охлаждения; *О* — точка постоянного давления

ческое давление $\rho g h_1$ действует в верхней магистрали, наибольшее $\rho g h_2$ — в нижней, причем бездействующий насос *2* испытывает, как уже отмечалось, равное давление со стороны и всасывающего и нагнетательного патрубков.

Значения избыточного гидростатического давления в трубах системы отопления нанесем на рис. 7.4 штрихпунк-

Электронная библиотека http://tgv.khstu.ru/

тирными линиями в прямой зависимости от высоты столба воды h. Для ясности изображения проведем линии над верхней магистралью, под нижней магистралью, слева и справа от вертикальных труб. Показанные на рисунке штрихпунктирные линии называются пьезометрическими, а их совокупность — эпюрой гидростатического давления в статическом режиме.

В системе отопления при циркуляции с постоянной скоростью движения воды — вязкой жидкости энергия давления изменяется по длине теплопроводов. Вязкость и деформации потока обусловливают сопротивление движению воды. Они вызывают потери давления в потоке движущейся воды, переходящего в результате трения (линейные потери) и вихреобразования (местные потери) в теплоту. При дальнейших построениях потери давления будем считать, как и в § 7.1, условно равномерными по длине труб.

Рассмотрим динамику гидростатического давления в системе отопления с нагреваемой водой при бездействии насоса — фактически в **гравитационной системе отопления** (рис. 7.5). Представим, что вода в системе отопления, нагреваемая в одной точке (ц. н. — центр нагревания), охлаждается в другой, выше расположенной (ц. о.— центр охлаждения). При этом плотность воды в левом стояке составит $\rho_г$, в правом — $\rho_о$. В такой вертикальной системе отопления при неравномерном распределении плотности воды возникает неуравновешенность гидростатических давлений в стояках и в результате естественная циркуляция воды.

Для определения значений гидростатического давления предположим, что вода в системе на какое-то мгновение неподвижна. Тогда максимальное гидростатическое давление в нижней точке правого стояка с охлажденной водой будет (рис. 7.5)

$$g(\rho_г h_1 + \rho_о h_2), \tag{7.2а}$$

а максимальное гидростатическое давление в левом стояке с нагретой водой

$$g(\rho_г h_1 + \rho_г h_2). \tag{7.2б}$$

Так как $\rho_о > \rho_г$, то гидростатическое давление в правом стояке при отсутствии циркуляции воды будет больше, чем в левом. Штрихпунктирные линии на рис. 7.5 изображают эпюру давления в статическом режиме. Различие в полученных значениях гидростатического давления, вызываю-

Электронная библиотека http://tgv.khstu.ru/

щее циркуляцию воды по направлению часовой стрелки, выражает естественное циркуляционное (гравитационное) давление

$$\Delta p_e = \rho_o g h_2 - \rho_r g h_2, \qquad (7.3)$$

где h_2 — вертикальное расстояние между центрами охлаждения и нагревания воды или высота двух столбов воды — охлажденной и нагретой.

Из уравнения (7.3) можно сделать **выводы**:

а) естественное циркуляционное давление возникает вследствие различия в значениях гидростатического давления двух столбов охлажденной и нагретой воды равной высоты (Δp_e на рис. 7.5);

б) величина естественного циркуляционного давления не зависит от высоты расположения расширительного бака (h_1 на рис. 7.5).

В общем виде **естественное циркуляционное (гравитационное) давление** в системе водяного отопления равняется

$$\Delta p_e = gh(\rho_o - \rho_r) \qquad (7.4)$$

и его значение зависит от разности плотности воды и вертикального расстояния между центрами охлаждения и нагревания воды.

Под влиянием естественного циркуляционного давления в замкнутом кольце системы отопления устанавливается циркуляция воды, при которой давление Δp_e, вызывающее циркуляцию, равно потерям давления при движении воды (Δp_c — потери давления в системе)

$$\Delta p_e = \Delta p_c. \qquad (7.5)$$

Гидростатическое давление в точке присоединения трубы расширительного бака к магистрали, равное $\rho_r g h_1$ (см. рис. 7.5), при постоянном объеме воды в системе измениться не может. Эта точка называется **точкой постоянного давления** или **«нейтральной» точкой** системы отопления.

Во всех остальных точках теплопроводов системы гидростатическое давление при циркуляции воды изменяется вследствие попутной потери давления. Нанесем на рис. 7.5 вторую эпюру гидростатического давления в динамическом режиме — при естественной циркуляции воды в системе отопления (сплошные линии), начав построение с точки постоянного давления O.

Электронная библиотека http://tgv.khstu.ru/

Как видно, гидростатическое давление во всех остальных точках системы при циркуляции воды изменяется следующим образом: перед точкой *О* (считая по направлению движения воды) оно увеличивается, а после точки *О* — уменьшается по сравнению с гидростатическим давлением, предполагавшимся при отсутствии циркуляции. В частности, гидростатическое давление в любой точке левого подъемного стояка (с восходящим потоком воды) возрастает, а правого опускного стояка (с нисходящим потоком) убывает.

Можно констатировать, что при циркуляции воды в замкнутом контуре гравитационной системы отопления гидростатическое давление изменяется во всех точках, за исключением одной точки присоединения к системе трубы расширительного бака.

Перейдем к рассмотрению динамики давления в системе отопления с нагреваемой водой при действии циркуляционного насоса — **в насосной системе отопления.**

Насос, действующий в замкнутом кольце системы отопления, усиливает циркуляцию, нагнетая воду в трубы с одной стороны и засасывая с другой. Уровень воды в расширительном баке при пуске циркуляционного насоса не изменится, так как равномерно работающий лопастной насос обеспечивает лишь циркуляцию в системе неизменного количества практически несжимаемой воды. Поскольку при указанных условиях — равномерности действия насоса и постоянства объема воды в системе — уровень воды в расширительном баке сохраняется неизменным (безразлично, работает насос или нет), то гидростатическое давление в точке присоединения бака к трубам системы будет постоянным. Точка эта по-прежнему остается «нейтральной», т. е. на гидростатическое давление в ней давление, создаваемое насосом, не влияет (давление насоса в этой точке равно нулю).

Следовательно, точка постоянного давления будет местом, в котором давление, развиваемое насосом, меняет свой знак: до этой точки насос, создавая компрессию, воду нагнетает, после нее он, вызывая разрежение, воду всасывает. Все трубы системы от насоса до точки постоянного давления (считая по направлению движения воды) будут относиться к **зоне нагнетания** насоса, все трубы после этой точки — к **зоне всасывания.**

Эпюра гидростатического давления в динамическом режиме — при насосной циркуляции воды в системе отопле-

Электронная библиотека http://tgv.khstu.ru/

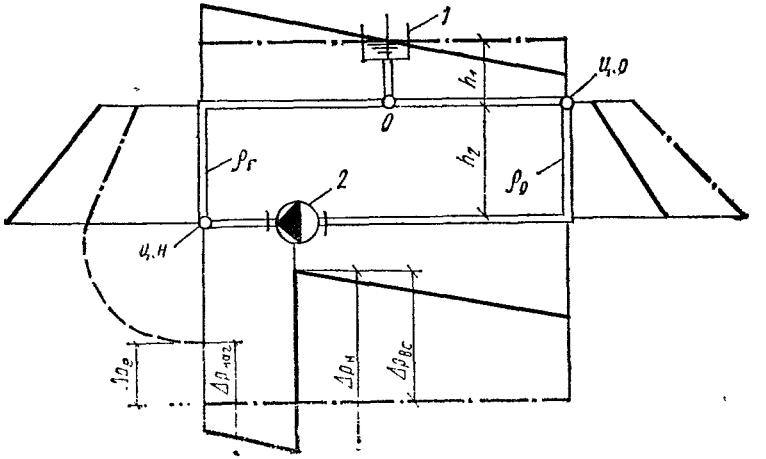

Рис. 7.6. Эпюра гидростатического давления в системе водяного отопления при действии насоса

1 — открытый расширительный бак; *2* — циркуляционный насос; *О* — точка постоянного давления

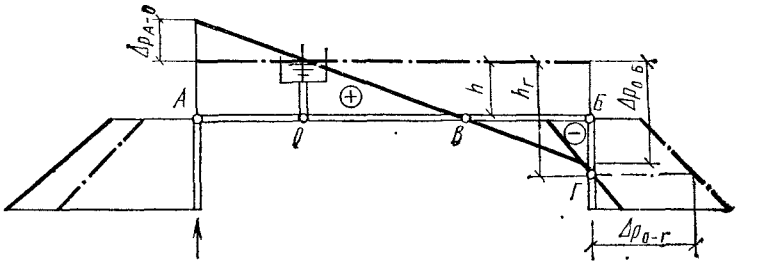

Рис. 7.7. Изменение гидростатического давления в верхней подающей магистрали системы отопления

О — точка постоянного давления; *А* — точка в зоне нагнетания; Б — точка наибольшего разрежения; В—Г — зона разрежения

ния — показана на рис. 7.6 (сплошные линии). Видно, что в зоне нагнетания насоса — от нагнетательного патрубка насоса до точки постоянного давления *О* — гидростатическое давление за счет компрессии насоса увеличивается во всех точках, в зоне всасывания — от точки *О* до всасывающего патрубка насоса — уменьшается в результате разрежения, вызываемого насосом.

Можно расширить **вывод**, сделанный выше для гравитационной системы: при циркуляции воды в замкнутом коль-

Электронная библиотека http://tgv.khstu.ru/

це системы отопления — и гравитационной, и насосной — гидростатическое давление изменяется во всех точках за исключением одной точки — точки присоединения трубы расширительного бака.

Общие потери давления при движении воды в замкнутом кольце системы отопления Δp_c выразим через потери давления в зоне нагнетания (обозначим их $\Delta p_{наг}$) и в зоне всасывания ($\Delta p_{вс}$) как

$$\Delta p_c = \Delta p_{наг} + \Delta p_{вс}. \qquad (7.6)$$

С другой стороны, из формулы (6.9) следует, что $\Delta p_c = \Delta p_н + \Delta p_e$ (на рис. 7.6 показано, что $\Delta p_н$ меньше суммы $\Delta p_{наг}$ и $\Delta p_{вс}$ на величину Δp_e). Следовательно, общее (насосное и гравитационное) циркуляционное давление при установившемся движении воды будет затрачиваться без остатка на преодоление линейных и местных сопротивлений в зонах нагнетания и всасывания.

Сравнивая рис. 7.6 и 7.4, можно установить степень изменения гидростатического давления, связанную с потерями давления при циркуляции воды в системе отопления:

а) увеличение давления в любой точке в зоне нагнетания насоса равно потере давления в трубах от рассматриваемой точки до точки постоянного давления, т. е.

$$p_{i\cdot наг} = \rho g h_i + \Delta p_{i-0}; \qquad (7.7)$$

б) уменьшение давления в любой точке в зоне всасывания насоса равно потере давления в трубах от точки постоянного давления до рассматриваемой точки, т. е.

$$p_{i\cdot вс} = \rho g h_i - \Delta p_{0-i}, \qquad (7.8)$$

где h_i — высота столба воды от рассматриваемой точки до уровня воды в расширительном баке.

Очевидно, что в зоне нагнетания насоса следует считаться (мы к этому вернемся) с повышением гидростатического давления по сравнению с давлением в состоянии покоя. Напротив, в зоне всасывания насоса необходимо учитывать понижение давления. При этом возможен случай, когда гидростатическое давление понизится до атмосферного и ниже.

Рассмотрим такой случай. На рис. 7.7 изображено изменение давления в верхней подающей магистрали системы отопления. В точке постоянного давления *0* гидростатиче-

Электронная библиотека http://tgv.khstu.ru/

ское давление равно ρgh. В промежутке между точками $О$ и $В$ гидростатическое давление убывает в связи с потерей давления при движении воды по зависимости, изображенной на рисунке наклонной пьезометрической линией. В точке $В$ — потеря давления $\Delta p_{О-В}=\rho gh$, т. е. $p_В=0$ (избыточное давление равно нулю, а полное давление, как и на поверхности воды в расширительном баке, равно атмосферному давлению $p_а$). В промежутке между точками $В$ и $Б$ дальнейшая потеря давления вызывает разрежение — давление падает ниже атмосферного (знак минус на рисунке). Наиболее заметно давление понизится и разрежение достигнет наибольшей величины в точке $Б$. Здесь полное давление $p_Б=p_а+\rho gh—\Delta p_{О-Б}=p_а—\Delta p_{В-Б}$. Затем в промежутке между точками $Б$ и $Г$ давление возрастает в связи с увеличением высоты столба воды от h до $h_Г$, а разрежение уменьшается. В точке $Г$, где потеря давления $\Delta p_{О-Г}=\rho gh_Г$, избыточное давление вновь, как в точке $В$, равно нулю ($p_Г=0$), а полное давление равно атмосферному. Ниже точки $Г$ избыточное гидростатическое давление быстро возрастает, несмотря на последующую потерю давления при движении воды (§ 7.1).

В промежутке между точками $В$ и $Г$, особенно в точке $Б$, при давлении ниже атмосферного и при температуре воды, близкой к 100 °С (90—95 °С), возможно вскипание и парообразование. При более низкой температуре воды, исключающей парообразование, возможен подсос воздуха из атмосферы через резьбовые соединения труб и арматуру. Во избежание нарушения циркуляции из-за вскипания воды или подсасывания воздуха при конструировании и гидравлическом расчете системы водяного отопления должно соблюдаться **правило**: в зоне всасывания в любой точке i системы отопления гидростатическое давление при действии насоса должно оставаться избыточным, т. е. $p_i>p_а$; для этого должно удовлетворяться неравенство

$$\rho gh_i > \Delta p_{О-i}. \qquad (7.9)$$

Возможны три способа выполнения этого правила:

— поднятие расширительного бака на достаточную высоту h (рис. 7.8, *а*);

— перемещение расширительного бака к наиболее опасной верхней точке с целью включения верхней магистрали в зону нагнетания (рис. 7.8, *б*);

Электронная библиотека http://tgv.khstu.ru/

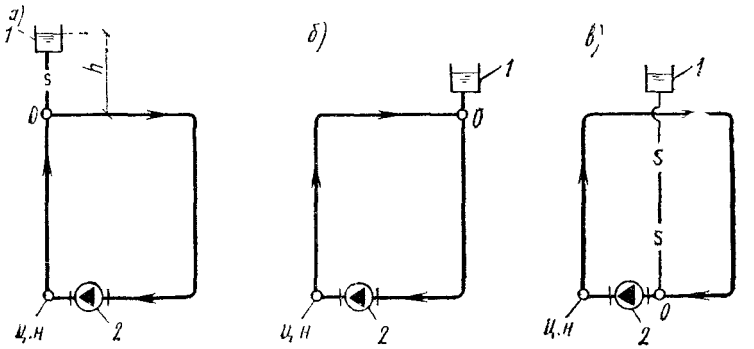

Рис. 7.8. Способы присоединения труб открытого расширительного бака к системе водяного отопления

а — к главному стояку системы; *б* — в верхней точке системы, наиболее удаленной от центра нагревания (ц. н.); *в* — близ всасывающего патрубка циркуляционного насоса; *1* — открытый расширительный бак; *2* — циркуляционный насос; *О* — точка постоянного давления

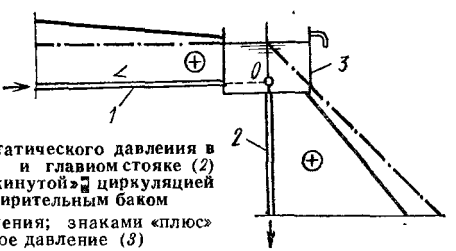

Рис. 7.9. Изменение гидростатического давления в обратных магистралях (*1*) и главном стояке (*2*) системы отопления с «опрокинутой» циркуляцией воды и проточным расширительным баком

О — точка постоянного давления; знаками «плюс» отмечено избыточное давление (*3*)

— присоединение труб расширительного бака близ всасывающего патрубка насоса (рис. 7.8, *в*).

Применение первого способа возможно лишь в отдельных случаях, когда здание имеет повышенную часть, где может быть расположен бак.

Второй способ целесообразен в системе отопления с «опрокинутой» циркуляцией воды (см. рис. 6.4). В такой системе проточный расширительный бак размещен в высшей точке верхней обратной магистрали над главным обратным стояком. Точка постоянного давления *О* в этом случае находится в самом баке (рис. 7.9). Вся верхняя обратная магистраль входит в зону нагнетания насоса. Зона всасывания охватывает главный обратный стояк и нижнюю часть общей обратной магистрали до насоса. Гидростатическое давление в главном обратном стояке превышает ат-

Электронная библиотека http://tgv.khstu.ru/

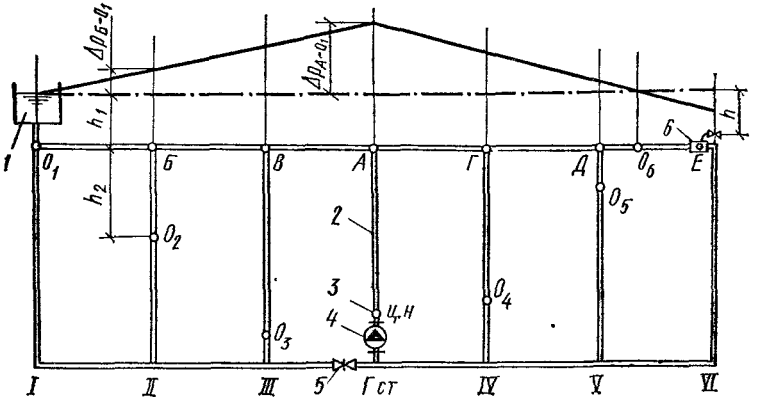

Рис. 7.10. Изменение гидростатического давления в верхней подающей магистрали системы водяного отопления, состоящей из двух частей, при действии насоса

1 — открытый расширительный бак; *2* — главный подающий стояк; *3* — центр нагревания; *4* — циркуляционный насос *5* — задвижка, *6* — проточный воздухосборник с воздушным краном

мосферное давление даже при значительной потере давления в нем (см. пьезометрические линии на рис. 7.9).

Второй способ присоединения расширительного бака приемлем также в неразветвленной системе отопления с верхней подающей магистралью (см. рис. 7.8, *б*). Бак при этом служит еще и воздухоотводчиком. Однако в разветвленной системе отопления второй способ присоединения расширительного бака к верхней подающей магистрали может при определенных условиях вызвать нарушение циркуляции воды в отдельных ее частях.

Для выявления этих условий рассмотрим динамику давления в системе водяного отопления, состоящей из двух частей, с расширительным баком, присоединенным в наиболее удаленной точке от главного подающего стояка. В такой точке — выберем ее в левой части системы отопления на стояке *I* (рис. 7.10) — возникает точка постоянного давления O_1. В подающей магистрали левой части, входящей в зону нагнетания, гидростатическое давление при действии насоса повысится, причем наибольшее изменение давления произойдет в точке *А* — см. сплошную линию с наклоном справа налево и формулу (7.7).

В промежуточной точке *Б* повышение давления равно $\Delta p_{Б-O1}$ (рис. 7.10). При движении воды от точки *Б* по стоя-

Электронная библиотека http://tgv.khstu.ru/

ку *II* найдется точка O_2, для которой справедливо равенство потерь давления — $\Delta p_{Б-O1}=\Delta p_{Б-O2}$. Эта точка O_2, в которой компрессионное давление насоса равно нулю, является второй точкой постоянного давления системы. Гидростатическое давление в точке O_2 — $p_{O_2}=\rho g(h_1+h_2)$ не изменяется как при бездействии, так и работе насоса. Аналогично можно найти точку постоянного давления O_3. Таким образом, в трех циркуляционных кольцах левой части системы в данном случае существуют три точки постоянного давления.

Проведем пьезометрическую линию для подающей магистрали правой части системы (сплошная линия с наклоном слева направо на рис. 7.10) и убедимся, что в каждом циркуляционном кольце этой части (их в данном случае три — через стояки *IV—VI*) также возникают свои точки постоянного давления O_4, O_5 и O_6. В каждой из них действует неизменное (но отличающееся по величине) гидростатическое давление и положение их определяется удовлетворением равенству потерь давления при циркуляции воды

$$\Delta p_{A-O_4}=\Delta p_{A-O_5}=\Delta p_{A-O_6}=\Delta p_{A-O_1}.$$

Это равенство может рассматриваться также как равенство потерь давления давлению, создаваемому насосом в точке *A*. При движении воды по трубам от точки *A* давление насоса убывает, постепенно расходуясь на преодоление сопротивления течению воды, и, наконец, в некоторой точке в каждом циркуляционном кольце системы оно станет равным нулю. Эта точка и будет точкой постоянного давления. Очевидно, что на теплопроводы системы до каждой такой точки распространяется зона нагнетания насоса, на теплопроводы после них — зона всасывания.

Таким образом, в случае, когда расширительный бак присоединяется к верхней подающей магистрали в удалении от главного стояка, в системе возникает несколько точек постоянного давления. В пределе число таких точек равняется числу параллельных циркуляционных колец системы (в нашем примере — шесть точек постоянного давления в шести циркуляционных кольцах через стояки *I—VI*).

В системе отопления, изображенной на рис. 7.10, отметим еще точку *E*, в которой установлен воздухосборник **6**

Электронная библиотека http://tgv.khstu.ru/

с воздушным краном. Точка E находится в зоне всасывания насоса (после точки $O_в$), и гидростатическое давление в ней понижается в соответствии с формулой (7.8) на величину $\Delta p_{O_в-E}$.

Воздуховыпускной кран для надежного действия должен находиться под некоторым внутренним избыточным давлением. Это давление рекомендуют принимать не менее $3 \cdot 10^3$ Па (напор 0,3 м). Тогда для обеспечения такого давления в нашем случае потери давления от точки $O_в$ до точки E или, что то же, понижение гидростатического давления в точке E, могут быть не более

$$\Delta p_{O_в-E} \leqslant 10^4 (h - 0{,}3) \text{ Па}, \qquad (7.10)$$

где h — вертикальное расстояние от верхней точки воздуховыпускного крана до уровня воды в расширительном баке, м.

Покажем, что это условие, выполненное при проектировании, все же может быть нарушено в процессе эксплуатации системы отопления. Действительно, при прекращении циркуляции воды в левой части (закрыта задвижка *5* на рис. 7.10) точкой постоянного давления становится точка A как точка, в которой система соединяется с трубой расширительного бака (попутно заметим, что все шесть точек постоянного давления сольются при этом в одну, общую для трех циркуляционных колец, оставшихся в действии), а давление в точке E понижается [см. формулу (7.8)] до

$$p_E = \rho g h_1 - \Delta p_{A-E}.$$

Это давление не только может оказаться недостаточным для выпуска воздуха из системы, но может быть даже ниже атмосферного, что нарушит нормальную циркуляцию воды.

Третий способ присоединения труб расширительного бака к системе отопления (рис. 7.8, *в*) исключает возможность нарушения циркуляции воды. Точка постоянного давления при этом возникает в обратной магистрали близ насоса как одна, общая для всех циркуляционных колец системы. Зона нагнетания насоса распространяется почти на всю систему, в том числе и на наиболее высоко расположенные и удаленные от насоса трубы, как опасные в отношении вскипания воды. Зона всасывания ограничивается отрезком общей обратной магистрали от точки O до всасывающего патрубка насоса, в котором гидростатическое давление в состоянии покоя достаточно велико и практически мало уменьшается при действии насоса.

Электронная библиотека http://tgv.khstu.ru/

Расширительный бак, как известно, соединяется с системой отопления двумя трубами — расширительной и циркуляционной (см. рис. 6.21, *а*), создающими кольцо циркуляции воды через бак. В этом кольце имеется еще одна верхняя точка постоянного давления, находящаяся непосредственно в расширительном баке. Первая же — нижняя точка постоянного давления размещается в обратной магистрали между точками присоединения к ней расширительной и циркуляционной труб. Положение нижней точки постоянного давления определяется соотношением потерь давления в расширительной и циркуляционной трубах. Если их диаметр и длина равны, то точка постоянного давления находится посередине между точками присоединения труб бака. Если увеличивается диаметр одной из труб, то точка постоянного давления смещается в сторону точки присоединения этой трубы.

Точка присоединения расширительной трубы входит в зону нагнетания насоса и в ней происходит деление общего потока воды на два, один из которых — основной — попрежнему движется по обратной магистрали, а другой — по параллельному пути через бак до точки присоединения циркуляционной трубы, относящейся уже к зоне всасывания.

Если применяются несколько соединительных труб, например три, то верхняя точка постоянного давления попрежнему находится в расширительном баке, а нижняя — между точками присоединения к магистрали системы отопления двух крайних соединительных труб. По одной из них вода из зоны нагнетания направляется в бак, по другой — возвращается из бака в зону всасывания. По средней соединительной трубе вода может двигаться и в бак и из бака в зависимости от положения нижней точки постоянного давления.

Из рассмотрения динамики давления в системе отопления с одним открытым расширительным баком следуют **выводы:**

1) в каждом циркуляционном кольце системы существует только одна точка постоянного давления, в которой зона нагнетания сменяется зоной всасывания. Двух последовательных точек постоянного давления в одном циркуляционном кольце быть не может, ибо для движения воды в заданном направлении в системе отопления создается и

Электронная библиотека http://tgv.khstu.ru/

поддерживается разность давления во всех точках. При этом следует оговориться, что поскольку в самом насосе разрежение переходит в компрессию и в нем существует своя «нейтральная» точка, то при рассмотрении точек постоянного давления имеются в виду лишь точки, возникающие вне насоса;

2) в зоне нагнетания, т. е. до точки постоянного давления, считая по направлению движения воды, гидростатическое давление увеличивается по сравнению с давлением в состоянии покоя; в зоне всасывания, т. е. после точки постоянного давления, оно уменьшается;

3) точка постоянного давления может быть единственной во всей системе отопления, если расширительный бак присоединяется в общей подающей или обратной магистрали. Тогда она принадлежит любому циркуляционному кольцу системы.

В системе отопления может быть несколько точек постоянного давления, если имеются циркуляционные кольца, не включающие в себя точку присоединения расширительного бака. При этом одна из них во всяком случае находится в точке присоединения бака.

2. ДИНАМИКА ДАВЛЕНИЯ В РАЙОННОЙ СИСТЕМЕ ОТОПЛЕНИЯ С РАСШИРИТЕЛЬНЫМ БАКОМ

В районной системе водяного отопления группы зданий при теплоснабжении от собственной тепловой станции расширительный бак устанавливают в самом высоком здании (с учетом рельефа местности). Соединительные трубы бака подсоединяют к наружному обратному теплопроводу, а не к внутренней магистрали здания, чтобы избежать отключения бака от остальной части системы при местном ремонте.

Рассмотрим динамику давления в общей системе отопления, например, четырех зданий, самое высокое из которых удалено от тепловой станции (рис. 7.11).

Гидростатическое давление в теплопроводах этой системы при бездействии циркуляционного насоса, находящегося на тепловой станции (штрихпунктирная линия), определяется положением уровня воды в расширительном баке (точка *О*), установленном в здании *IV*, над рассматриваемой точкой какой-либо части системы. Наибольшим оно будет

Электронная библиотека http://tgv.khstu.ru/

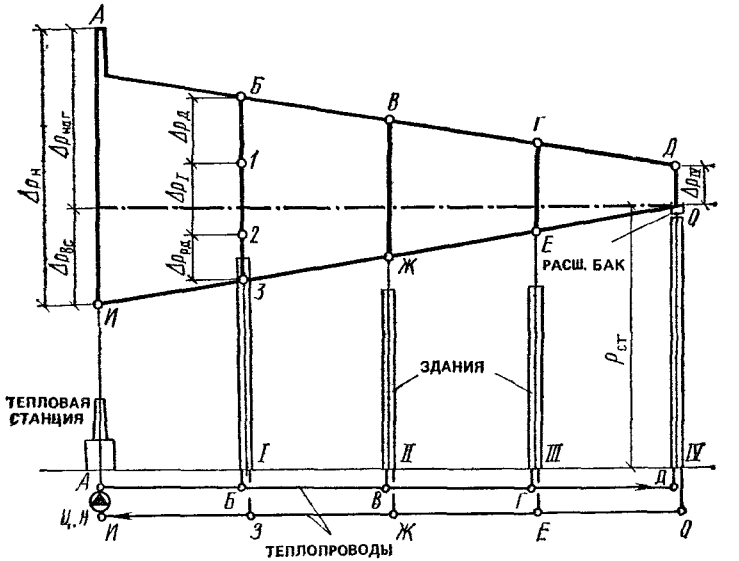

Рис. 7.11. Изменение гидростатического давления в наружных теплопроводах районной системы отопления четырех зданий с расширительным баком в удаленном здании (IV) от тепловой станции

О — точка постоянного давления; *3* — точка самого низкого гидростатического давления во внутренних системах отопления

в наружных теплопроводах и во внутренних трубах в подвалах.

При действии насоса на станции гидростатическое давление изменится, как уже известно, во всех точках системы, кроме точки постоянного давления (точка *О*), находящейся в месте присоединения труб расширительного бака к обратному теплопроводу у здания *IV* (после выходной задвижки во внутреннем тепловом пункте). В зоне нагнетания от нагнетательного патрубка насоса (точка *А*) до точки *О* оно возрастет, в зоне всасывания от точки *О* до всасывающего патрубка насоса (точка *И*) понизится в зависимости от потерь давления в теплопроводах (сплошные наклонные пьезометрические линии на рис. 7.11).

Разность между гидростатическим давлением в подающем и обратном наружных теплопроводах на вводе их в каждое здание определяет насосное циркуляционное давление как располагаемое давление для создания циркуляции

Электронная библиотека http://tgv.khstu.ru/

воды во внутренних системах. На рисунке это циркуляционное давление показано сплошными вертикальными линиями. Видно, что для местной системы отопления здания *IV* насосное циркуляционное давление наименьшее — Δp_{IV}, для здания *I* — наибольшее.

Во внутренней системе отопления здания *I* гидростатическое давление должно измениться от давления в точке *Б* (на вводе подающего теплопровода в здание) до давления в точке *3* (в обратном теплопроводе). На рисунке давление в точке *3* оказалось ниже давления во внутренней системе здания *I*, значение которого определяется высотой системы (приблизительно высотой здания). При этом в верхней части системы возможно скопление воздуха или вскипание воды с нарушением ее циркуляции. Во избежание таких недопустимых явлений необходимо повысить гидростатическое давление в обратной магистрали внутренней системы отопления здания *I* до давления в точке *2* (рис. 7.11).

Это условие может быть выполнено тремя способами. Можно поднять расширительный бак в здании *IV* (что конструктивно затруднительно) и тогда пьезометрические линии, а с ними и давление в точке *3*, поднимутся. Можно уменьшить наклон обратной пьезометрической линии путем увеличения диаметра обратного наружного теплопровода (что повысит стоимость его прокладки и увеличит расход металла). Можно установить в тепловом пункте здания *I* на обратной магистрали (и это технически наиболее приемлемо) регулятор давления типа «до себя» (см. рис. 6.11). Такой регулятор давления должен быть рассчитан на понижение давления от p_2 до p_3 ($\Delta p_{р.д}=p_2-p_3$) при пропуске расчетного расхода воды из системы отопления здания *I*, т. е. на поддержание в обратной магистрали необходимого давления p_2 до регулятора.

Гидростатическое давление со стороны подающего теплопровода (в точке *Б*) не должно превышать предельно допустимого (рабочего) давления для всех элементов (арматуры, отопительных приборов) внутренней системы отопления. В случае необходимости гидростатическое давление в подающем теплопроводе может быть искусственно понижено до допустимого значения (например, p_1 в точке *1*), при котором обеспечиваются прочность этих элементов и вместе с тем необходимая циркуляция воды в системе отопления. Циркуляция воды будет происходить благодаря

Электронная библиотека http://tgv.khstu.ru/

разности давления $\Delta p_1 = p_1 - p_2$. Давление может быть понижено путем установки диафрагмы, причем расчетная разность давления составит $\Delta p_д = p_Б - p_1$.

Циркуляционный насос, установленный на тепловой станции, создает давление, как видно из рис. 7.11, равное сумме потерь давления в зонах нагнетания $\Delta p_{нас}$ и всасывания $\Delta p_{вс}$. При значительной величине $\Delta p_{вс}$ давление во всасывающем патрубке насоса может понизиться настолько, что в насосе возникнет кавитация. Кавитация (лат. cavitas — пустота) — нарушение сплошности потока — заключается в появлении пузырей воздуха (переходящего из растворенного состояния в свободное) и пара (из-за вскипания воды при понижении давления до давления водяного пара при определенной температуре). Кавитационные пузыри, возникая и исчезая, вызывают многократные удары струй воды о стенки насоса Кавитация сопровождается снижением КПД насоса, шумом и разрушением (изъязвлением) поверхности колеса и корпуса насоса.

Практически это нежелательное явление скорее всего может возникать в циркуляционном насосе протяженной системы отопления группы малоэтажных зданий (например, в сельских населенных пунктах).

Для исключения кавитации в насосе величина $\Delta p_{вс}$ должна быть меньше гидростатического давления в бездействующем насосе (в статическом режиме) по крайней мере на 0,05 МПа. Так, например, если разность уровней установки расширительного бака и насоса составляет 7 м (бак размещается в двухэтажном здании и гидростатическое давление составляет 0,07 МПа), то потеря давления в теплопроводах зоны всасывания (от точки *О* до точки *И* на рис. 7.11) не должна превышать 0,02 МПа. Очевидно, что при малоэтажной застройке расширительный бак следует помещать близ тепловой станции.

В районной системе отопления группы многоэтажных зданий скорее возможна не кавитация в насосе, а чрезмерное повышение гидростатического давления. Повышение давления в обратных теплопроводах, опасное для целостности отдельных элементов системы отопления, может произойти как при установке расширительного бака в ближайшем к тепловой станции высоком здании (рис. 7.12), так и при перемещении туда бака из удаленного здания.

Электронная библиотека http://tgv.khstu.ru/

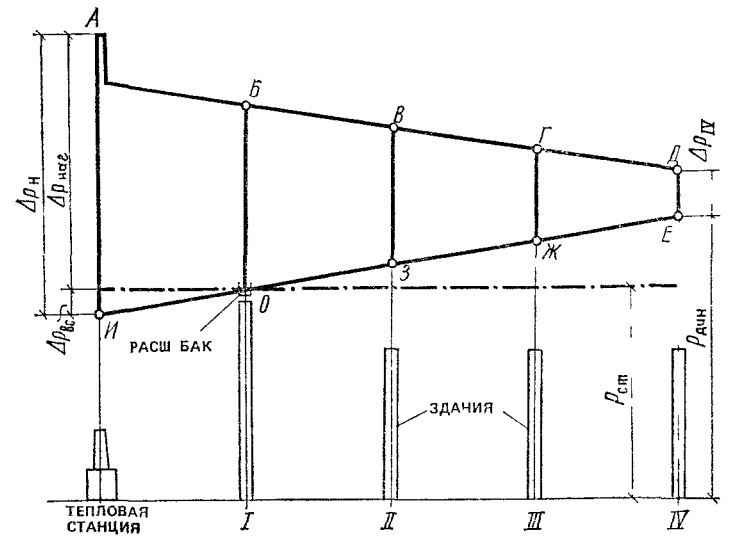

Рис. 7.12. Изменение гидростатического давления в наружных теплопроводах районной системы отопления четырех зданий с расширительным баком в ближайшем здании (I) к тепловой станции

О — точка постоянного давления; *Е* — точка самого высокого гидростатического давления во внутренних системах отопления

Перемещение расширительного бака из одного здания, ближайшего к тепловой станции, в другое, несколько более высокое и удаленное от него, не вызывает заметного изменения гидростатического давления как при бездействии, так и при работе циркуляционного насоса. Однако перемещение бака в здание, более высокое и близко расположенное к тепловой станции, вызывает значительное повышение давления во внутренних системах отопления удаленных зданий (это показано на рис. 7.12). Повышение давления происходит вследствие увеличения не только высоты здания, но и протяженности зоны нагнетания (если бак, как обычно, будет присоединен к обратному теплопроводу). Давление заметно повысится также в теплопроводах и оборудовании тепловой станции.

Для снижения давления в оборудовании тепловой станции в этом случае можно перенести место включения циркуляционного насоса из обратного в общий подающий теплопровод (насос должен быть рассчитан на перемещение горя-

Электронная библиотека http://tgv.khstu.ru/

чей воды); внутренняя система отопления удаленного здания (здание *IV* на рис. 7.12) может быть присоединена к наружным теплопроводам по независимой схеме (рис. 6.1).

3. ДИНАМИКА ДАВЛЕНИЯ В СИСТЕМЕ ОТОПЛЕНИЯ БЕЗ РАСШИРИТЕЛЬНОГО БАКА

Рассмотрим динамику давления во внутренних теплопроводах здания, непосредственно соединенных с наружными теплопроводами. Проделаем это в условиях присоединения здания *I* на рис. 7.11, для системы отопления которого выше была отмечена необходимость изменения начального давления до p_1 и конечного до p_2. Внутренняя система отопления изображена на рис. 7.13 двойными линиями высотой h с верхней подающей магистралью и центром охлаждения в точке B.

Отсутствие расширительного бака с атмосферным давлением над свободной поверхностью воды заставляет поиному подойти к нахождению точки постоянного давления в системе и величины гидростатического давления в ней.

Гидростатическое давление в вертикальной системе отопления, непосредственно присоединенной к наружным теплопроводам, должно быть достаточным не только для заполнения системы водой, но и для создания в наиболее высоко расположенной точке системы некоторого избыточного давления. Это необходимо для надежного удаления воздуха из системы при температуре воды $t_г < 100$ °С и предотвращения вскипания воды при ее температуре $t_г > 100$ °С.

Для выполнения этих условий в статическом режиме (в случае полного прекращения циркуляции воды) проведем на рис. 7.13 пьезометрическую штрихпунктирную линию на достаточной высоте h_1 над верхней подающей магистралью системы отопления. Высота h_1 должна соответствовать гидростатическому давлению при $t_г < 100$ °С не менее 0,01 МПа, т. е. $h_1 \geqslant 1$ м, а при $t_г = 150$ °С — 0,4 МПа. Остальные пьезометрические штрихпунктирные линии (статический режим) наносим исходя из выбранного минимального избыточного давления в верхней подающей магистрали. В результате получаем необходимое гидростатическое давление p_2 в точке $Д$ обратной магистрали.

Если давление p_2 поддерживается на заданном уровне (например, с помощью регулятора давления «до себя»), то точка $Д$ становится искусственной точкой постоянного дав-

Электронная библиотека http://tgv.khstu.ru/

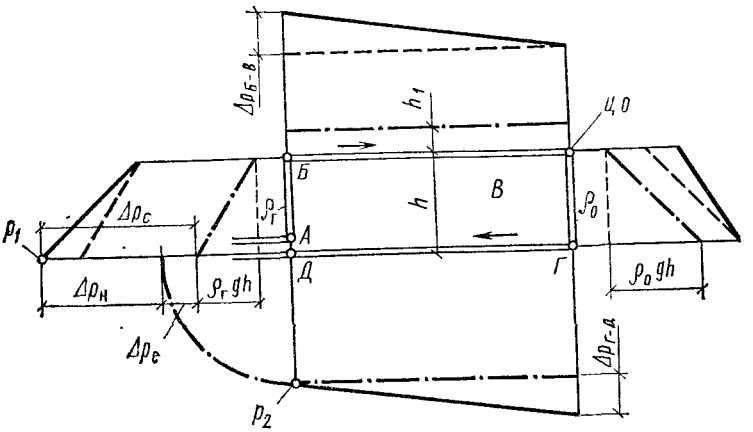

Рис. 7.13. Эпюра гидростатического давления в системе водяного отопления, непосредственно соединенной с наружными теплопроводами (без расширительного бака) *Д* — точка постоянного давления P_2

ления внутренней системы отопления. Давление p_2 является исходным для построения пьезометрических линий в динамическом режиме (сплошные линии на рис. 7.13, выражающие, как и ранее, условно равномерные линейную и местные потери давления в системе отопления).

Найдем изменение гидростатического давления в трех характерных точках системы отопления (не считая точки *Д*, в которой давление p_2 принято постоянным). Это точка *Г* нижней обратной магистрали, наиболее удаленная от наружного обратного теплопровода, точка *В* верхней подающей магистрали, наиболее высоко расположенная и удаленная от ввода наружного теплопровода, и точка *А* в начале подающей магистрали системы.

Гидростатическое давление в точке *Г* выражает наибольшее давление в нижней обратной магистрали (и в системе)

$$p_{макс} = p_2 + \Delta p_{г-д}, \qquad (7.11)$$

где $\Delta p_{г-д}$ — потери давления при перемещении воды от точки *Г* до точки *Д* (рис. 7.13).

Наибольшее давление не должно превышать рабочего давления для каждого элемента системы. Поэтому выражение (7.11) служит для проверки выполнения этого условия. Если, например, давление p_2 близко к 0,6 МПа, то с учетом

Электронная библиотека http://tgv.khstu.ru/

потерь давления в обратной магистрали максимальное гидростатическое давление в чугунной арматуре и отопительных приборах, расположенных на уровне ввода наружных теплопроводов и ниже его, превысит рабочее, что может привести к их разрушению.

Гидростатическое давление в точке B выражает наименьшее давление в верхней подающей магистрали (и в системе) в динамическом режиме

$$p_{B-Д} = p_2 + \Delta p_{мин} - \rho_0 gh, \qquad (7.12)$$

где $\Delta p_{B-Д}$ — потери давления при движении воды от точки B до точки $Д$; ρ_0 — плотность охлажденной воды; h — высота системы.

Выражение (7.12) служит для проверки условия невскипания высокотемпературной воды, если давление p_2 принимают без учета температуры воды.

Покажем на примере необходимость проверки минимального избыточного давления в системе отопления. Если высота системы h=20 м, $\Delta p_{B-Д}$=0,05 МПа, а давление p_2=0,25 МПа, то минимальное давление в верхней точке при циркуляции воды в системе составит

$$P_{мин} = 0{,}25 + 0{,}05 - (977{,}81 \cdot 9{,}81 \cdot 20)\ 10^{-6} \approx 0{,}11 \text{ МПа}.$$

Это давление будет недостаточным для предотвращения вскипания воды, имеющей температуру более 120 °С.

Наконец, гидростатическое давление в точке A (если считать, что точка A находится на одном уровне с точкой $Д$) выражает наибольшее давление в подающей магистрали в динамическом режиме (в точке *1* на рис. 7.11):

$$p_1 = p_2 + \Delta p_{A-Д} - \rho_0 gh + \rho_г gh$$

или

$$p_1 = p_2 + \Delta p_c - \Delta p_e, \qquad (7.13)$$

где $\Delta p_c = \Delta p_{A-Д}$ — потери давления при движении воды от точки A до точки $Д$, т. е. общие потери давления в системе отопления; $\Delta p_e = gh(\rho_0 - \rho_г)$ — по уравнению (7.4).

Переписав выражение (7.13) в виде

$$p_1 - p_2 = \Delta p_c - \Delta p_e \text{ или } \Delta p_н = \Delta p_c - \Delta p_e, \qquad (7.13а)$$

приходим к уравнению (6.9), которое в данном случае означает, что разность гидростатического давления в подающем и обратном наружных теплопроводах на вводе их в здание, вызывающая циркуляцию воды во внутренней сис-

Электронная библиотека http://tgv.khstu.ru/

теме отопления, меньше потерь давления при движении воды в системе на величину естественного циркуляционного давления.

Рассмотренная закономерность изменения давления в теплопроводах внутренней системы водяного отопления без расширительного бака относится и к случаю применения смесительного насоса или водоструйного элеватора на тепловом вводе в здание.

4. ДИНАМИКА ДАВЛЕНИЯ В СИСТЕМЕ ОТОПЛЕНИЯ С ДВУМЯ РАСШИРИТЕЛЬНЫМИ БАКАМИ

Использование в системе отопления двух открытых расширительных баков в случае, например, реконструкции при расширении здания или строительстве новых зданий может быть допущено с соблюдением определенных условий. Для выявления этих условий рассмотрим возможные случаи присоединения двух баков к теплопроводам системы отопления:

а) два расширительных бака присоединяются к одной точке системы отопления, которая является общей точкой постоянного давления. Вода в обоих баках находится на одном уровне. Все ранее сделанные выводы в этом случае остаются в силе;

б) два расширительных бака устанавливаются на одном уровне и присоединяются к двум различным точкам системы отопления **последовательно** по направлению движения воды (рис. 7.14). Новый бак *II*, присоединенный в точке *Б*, отличается по объему от старого бака *I*. На рисунке нанесены пьезометрические линии в статическом (штрихпунктирные) и динамическом (сплошные линии) режимах.

В этом случае до пуска общего циркуляционного насоса в действие вода в баках находится, по закону сообщающихся сосудов, на одном уровне. При работе насоса приходим к заключению, помня о постоянстве объема воды в системе и о существовании только одной точки постоянного давления в замкнутом циркуляционном кольце, что «нейтральная» точка *О* расположится между точками *Б* и *А* (рис. 7.14). Тогда в точке *Б*, попавшей в зону нагнетания насоса, гидростатическое давление увеличится, а в точке *А* — в зоне всасывания — уменьшится. Соответственно уровень воды в баке *II* повысится, а в баке *I* понизится (баки уподобятся водяным манометрам). Разность уровней воды в баках по

Электронная библиотека http://tgv.khstu.ru/

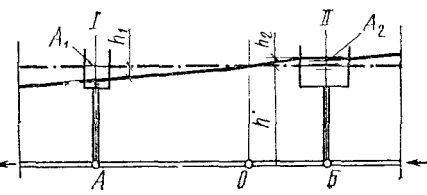

Рис. 7.14. Эпюра гидростатического давления в системе водяного отопления с двумя открытыми расширительными баками, последовательно присоединенными к теплопроводам

О — точка постоянного давления; A_1, A_2 — площадь поперечного сечения соответственно баков *I* и *II*; h_1, h_2 — величина понижения и повышения уровня воды соответственно в баках *I* и *II*

установленной выше зависимости пропорциональна потерям давления в теплопроводе между точками *Б* и *А* [см. формулы (7.7) и (7.8)].

В частном случае, когда объемы и площади поперечного сечения баков A_I и A_{II} равны и трубы к бакам и между точками *Б* и *А* одинакового диаметра, повышение уровня воды в одном баке h_2 равно понижению h_1 в другом, а точка постоянного давления *О* находится посередине участка *Б — А*.

При различной вместимости баков, выраженной в нашем случае различной площадью их поперечного сечения, больше изменится уровень воды в баке, имеющем меньшую площадь поперечного сечения. Понижение уровня воды в первоначальном расширительном баке *I* (рис. 7.14) составит

$$h_1 = \frac{\Delta p_{Б-А}}{\rho g} \frac{A_{II}}{A_I + A_{II}}, \qquad (7.14)$$

где $\Delta p_{Б-А}$ — потери давления в теплопроводе от точки *Б* до точки *А*.

Аналогичный вид имеет выражение для определения повышения уровня воды в новом расширительном баке *II*

$$h_2 = \frac{\Delta p_{Б-А}}{\rho g} \frac{A_I}{A_I + A_{II}}. \qquad (7.15)$$

Видно, что положение точки постоянного давления *О*, как и изменение уровня воды в баках, при прочих равных условиях зависит от соотношения площадей поперечного сечения расширительных баков. При дальнейшем увеличении площади бака *II* точка *О* будет перемещаться по направлению к точке его присоединения (к точке *Б* на рис. 7.14). Если бак *II* сделать столь большим, что можно пренебречь изменением уровня воды в нем, то точка *О* сольется с точкой *Б*, а поднятие уровня в баке *I* малой площади

Электронная библиотека http://tgv.khstu.ru/

достигнет максимальной величины

$$h_{1\text{ макс}} = \frac{\Delta p_{Б-А}}{\rho g}. \qquad (7.16)$$

Практически это случай, когда в расширительный бак, присоединенный к общей обратной магистрали, выводится воздушная труба от верхней точки подающей магистрали системы отопления (рис. 7.15). Такая воздушная труба *3* фактически является вторым расширительным баком с весьма незначительной площадью поперечного сечения, присоединенным в точке *А* зоны нагнетания. При действии насоса в воздушной трубе произойдет поднятие уровня воды, пропорциональное потерям давления от точки *А* до точки постоянного давления *О*, почти совпадающей с точкой присоединения расширительного бака. При этом потери давления могут оказаться столь большими, что в воздушной трубе вода будет не только подниматься, но и выливаться в бак, а затем по соединительной трубе *4* возвращаться в систему. Такое добавочное циркуляционное кольцо может нарушить нормальное действие системы. Следовательно, такой способ удаления воздуха из системы допустим лишь при предварительном рассмотрении изменения давления.

в) Два расширительных бака устанавливаются на одном уровне и присоединяются к двум различным точкам *А* и *Б* системы отопления параллельно. Это значит, что точки *А* и *Б* находятся в различных циркуляционных кольцах системы. В каждом параллельном циркуляционном кольце, как уже установлено, существует своя точка постоянного давления (точки O_1 и O_2 на рис. 7.16). Из условия постоянства объема воды в системе следует, что если после пуска насоса уровень воды в одном расширительном баке (например, в баке *I*) повысится, то в другом (баке *II*) он понизится. Баки, как водяные манометры, присоединенные в точках *А* и *Б*, покажут создаваемое насосом дополнительное давление в точке *А* и разрежение в точке *Б*. В нашем примере это означает, что точка *А* находится перед точкой постоянного давления O_1 своего циркуляционного кольца, т. е. в зоне нагнетания, а точка *Б* — после точки постоянного давления O_2, т. е. в зоне всасывания.

На рис. 7.16 нанесены пьезометрические линии, выражающие изменение давления в зонах нагнетания и всасывания и уровня воды в расширительных баках.

Электронная библиотека http://tgv.khstu.ru/

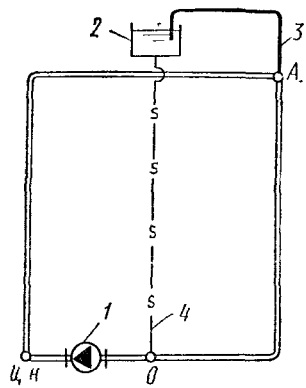

Рис. 7.15. Схема системы водяного отопления с верхней разводкой и воздушной трубой, выведенной в открытый расширительный бак

1 — циркуляционный насос; *2* — расширительный бак; *3* — воздушная труба; *4* — соединительная труба расширительного бака

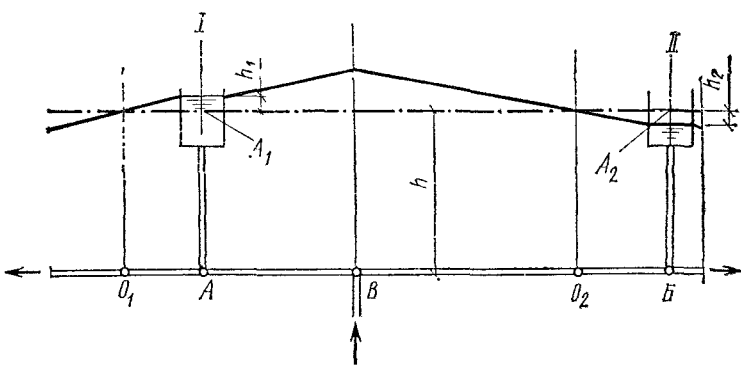

Рис. 7.16. Эпюра гидростатического давления в системе водяного отопления с двумя открытыми расширительными баками, параллельно присоединенными к теплопроводам

O_1 и O_2 — точки постоянного давления; A_1, A_2 — площадь поперечного сечения соответственно баков *I* и *II*; h_1, h_2 — величина повышения и понижения уровня воды соответственно в баках *I* и *II*

Изменение уровня воды в баках *I* и *II* по-прежнему будет пропорционально потерям давления в теплопроводах от точек их присоединения *A* и *Б* до соответствующих точек O_1 и O_2. Положение последних и изменение уровня воды связаны также с соотношением площадей поперечного сечения баков A_I и A_{II}. Отсюда можно выразить высоту подъема воды h_1 в баке *I*, ближнем к общей точке *B* системы отопления,

$$h_1 = \frac{\Delta p_{A-O_1} + \Delta p_{O_2-Б}}{\rho g} \frac{A_{II}}{A_I + A_{II}} \qquad (7.17)$$

Электронная библиотека http://tgv.khstu.ru/

или в более удобном для вычислений виде

$$h_1 = \frac{\Delta p_{B-Б} - \Delta p_{B-A}}{\rho g} \frac{A_{II}}{A_I + A_{II}}. \qquad (7.17а)$$

Аналогичный вид будет иметь и формула для определения величины опускания воды h_2 в баке *II*.

Если площадь одного из баков (например, бака *II*) весьма велика по сравнению с площадью другого, то точка постоянного давления O_2 переместится к точке *Б*, а положение «нейтральной» точки O_1 будет зависеть от разности потерь давления на отрезках теплопроводов $B - Б$ и $B - A$. Когда эта разность положительна, уровень воды в баке *I* повысится, а точка O_1 расположится после точки *A* (по направлению движения воды). Когда она отрицательна, уровень воды в баке *I* понизится, а точка O_1 будет находиться перед точкой *A*.

В частном случае, при равных потерях давления $\Delta p_{B-Б} = \Delta p_{B-A}$ точки постоянного давления совпадут с точками *A* и *Б*, и уровень воды в баках при действии насоса не изменится, каковы бы ни были площади их поперечного сечения.

Практически возможен случай, когда при наличии одного расширительного бака потребуется параллельная установка второго дополнительного бака во вновь присоединенной системе отопления. Применение второго бака влияет на гидростатическое давление в теплопроводах ранее существовавшей системы отопления.

Рассмотрим изменение гидростатического давления в районной системе отопления для этого случая. На рис. 7.17 показано гидростатическое давление в теплопроводах системы отопления группы зданий в статическом режиме (штрихпунктирная линия) и в динамическом режиме, когда к ранее существовавшей системе слева от тепловой станции (т. с.) с тремя зданиями *I—III* и расширительным баком *1* добавлена новая система справа с тремя зданиями *IV—VI* и вторым баком *2*. Первый бак установлен в здании *III*, изменение гидростатического давления в одной левой системе показано сплошными линиями. Второй дополнительный бак помещен в здании *VI* на одном уровне с первым. Характер изменения гидростатического давления в обеих частях объединенной системы изображен пунктирными линиями.

Электронная библиотека http://tgv.khstu.ru/

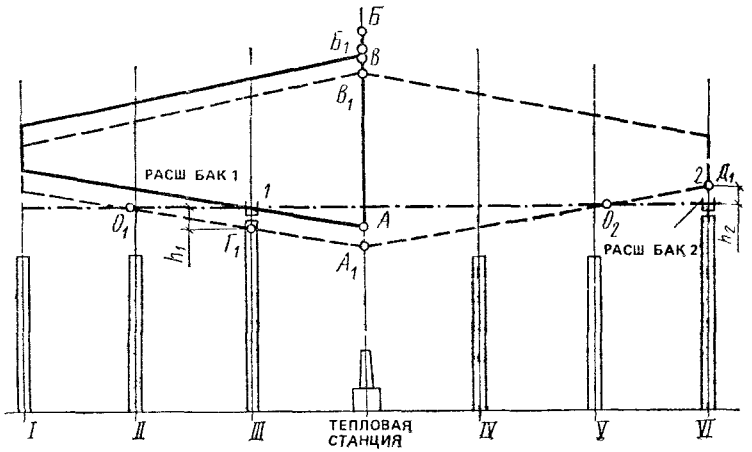

Рис. 7.17. Изменение гидростатического давления в теплопроводах районной системы водяного отопления (сплошные линии) при ее расширении (пунктирные линии) с установкой второго расширительного бака

1 и 2 — существующий и дополнительный расширительные баки; O_1 и O_2 — новые точки постоянного давления

Видно, что точки постоянного давления O_1 и O_2 не совмещаются с точками присоединения расширительных баков к теплопроводам. При этом происходит понижение уровня воды в баке *1* на величину h_1 и повышение уровня в баке *2* на величину h_2, что может привести к утечке воды через бак *2* и нарушению отопления здания *III*.

Отметим недостаток, связанный с установкой двух расширительных баков в удалении друг от друга. При этом почти всегда происходит изменение уровня воды в них, а это влечет за собой уменьшение полезного объема того из баков, в котором уровень воды повышается. Потеря полезного объема одного из баков связана с потерями давления в теплопроводах между точками присоединения к ним баков. Чем больше потери давления в теплопроводах между двумя последовательными (по движению воды) точками присоединения [формула (7.14)] или чем больше различие в потерях давления до двух параллельных точек присоединения [формула (7.17а)], тем значительнее сократится полезный объем одного из баков.

Следовательно, при использовании двух расширительных баков их суммарный объем почти всегда должен вы-

Электронная библиотека http://tgv.khstu.ru/

биратьcя больше объема одного общего бака и это различие в объеме будет возрастать по мере удаления второго бака от первого.

Из рассмотрения динамики давления в насосной системе водяного отопления с двумя расширительными баками можно сделать вывод о необходимости проверять изменение уровня воды в баках. Без такой предварительной проверки колебание уровня воды в баках, даже при точном монтаже и правильной эксплуатации системы отопления, может вызывать нарушение циркуляции воды.

Очевидно, что предпочтение следует отдавать присоединению к системе отопления одного расширительного бака. Однако и при использовании одного открытого бака место его присоединения к теплопроводам, особенно в районной системе отопления группы зданий, должно выбираться с учетом изменения давления в динамическом режиме.

Система водяного отопления может устраиваться и без открытого расширительного бака в том случае, когда обеспечивается необходимое гидростатическое давление во всех ее элементах при различных режимах эксплуатации. При этом возможно применение на тепловой станции закрытого расширительного бака, находящегося под естественным или искусственно повышенным гидростатическим давлением, а также специального насоса или клапана, одновременно осуществляющего подпитку системы.

§ 7.3. Естественное циркуляционное давление

Естественное циркуляционное давление является одним из составляющих расчетного циркуляционного давления в системе водяного отопления. Причина его возникновения уже известна.

Нагревание и охлаждение воды в циркуляционных кольцах системы создают неоднородное распределение ее плотности. В строго горизонтальной системе отопления это явление не вызывает циркуляции воды. Естественная циркуляция воды возникает в вертикальной системе. Значение естественного давления, вызывающего циркуляцию воды, определяется разностью гидростатического давления двух столбов воды одинаковой высоты.

Охлаждение теплоносителя воды в системе отопления происходит непрерывно по мере удаления от теплообмен-

Электронная библиотека http://tgv.khstu.ru/

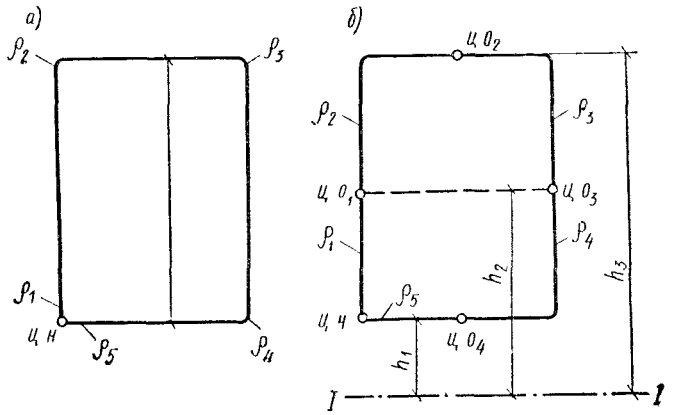

Рис. 7.18. Схемы вертикального циркуляционного кольца теплопроводов без отопительных приборов с центром нагревания (ц. н.)

а — при постепенном охлаждении теплоносителя воды в трубах; *б* — при введении условных центров охлаждения (ц. о.) воды

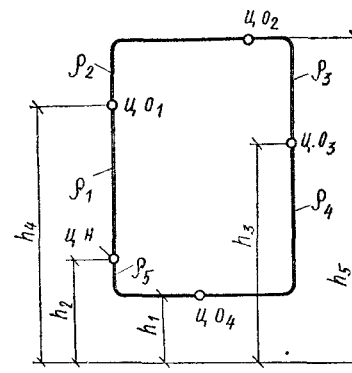

Рис. 7.19. Схема вертикального циркуляционного кольца теплопроводов с произвольно расположенными центрами нагревания (ц. н.) и охлаждения (ц. о.) теплоносителя воды

ника, на выходе из которого температура воды имеет наивысшее значение, и заканчивается при возвращении ее к теплообменнику. Постепенное остывание воды в теплопроводах сменяется быстрым охлаждением ее в отопительных приборах. Поэтому общее естественное циркуляционное давление, возникающее в системе, можно рассматривать как сумму двух величин: давления $\Delta p_{\text{е.пр}}$, образующегося вследствие охлаждения воды в отопительных приборах, и давления $\Delta p_{\text{е.тр}}$, вызываемого охлаждением воды в тру-

Электронная библиотека http://tgv.khstu.ru/

бах

$$\Delta p_{\text{е}} = \Delta p_{\text{е. пр}} + \Delta p_{\text{е. тр}}. \qquad (7.18)$$

В большинстве случаев — в системах отопления многоэтажных зданий — первое слагаемое является основным по значению, второе — дополнительным. В частном случае — в одноэтажных зданиях — основным является $\Delta p_{\text{е. тр}}$.

При рассмотрении значений естественного циркуляционного давления используют понятие о **центре охлаждения** теплоносителя. В центре охлаждения действительное постепенное изменение температуры (и плотности) воды по длине теплопровода или отопительного прибора принимают условно скачкообразным. С введением такой условной границы охлаждения можно считать, что на каждой половине длины отрезка теплопровода или прибора вода имеет свою постоянную плотность. При этом гидростатическое давление не должно изменяться. Подобную условную границу изменения температуры воды в теплообменнике системы отопления называют **центром нагревания**.

Определение естественного циркуляционного давления, возникающего вследствие охлаждения воды в приборах ($\Delta p_{\text{е. пр}}$), связано с видом системы отопления, поэтому его целесообразно произвести совместно с рассмотрением расчетных схем (§ 7.4).

При определении естественного циркуляционного давления, вызываемого охлаждением воды в трубах ($\Delta p_{\text{е. тр}}$), примем, что приборы в циркуляционном кольце отсутствуют и вода охлаждается при теплопередаче только через стенки труб.

Рассмотрим схему такого вертикального циркуляционного кольца теплопровода (рис. 7.18, *а*), в котором при установившемся движении воды ее плотность постепенно возрастает от значения ρ_1 (при температуре после центра нагревания) до значения ρ_5 (при температуре перед центром нагревания). На стыках вертикальных и горизонтальных труб покажем промежуточные значения плотности воды.

Естественное давление, вызывающее движение воды в трубах, найдем как разность гидростатического давления двух столбов воды высотой h, имеющей различную среднюю плотность:

$$\Delta p_{\text{е. тр}} = gh\left(\frac{\rho_3 + \rho_4}{2} - \frac{\rho_1 + \rho_2}{2}\right). \qquad (7.19)$$

Электронная библиотека http://tgv.khstu.ru/

Это же значение циркуляционного давления получим в другом виде с использованием условных центров нагревания и охлаждения воды в трубах (рис. 7.18, *б*), находящихся на некоторой высоте над плоскостью отсчета *I—I*,

$$\Delta p_{\text{е гр}} = g\,[(h_3 - h_2)\,(\rho_3 - \rho_2) + (h_2 - h_1)\,(\rho_4 - \rho_1)]. \qquad (7.20)$$

В более общем случае при произвольном расположении условных центров нагревания и охлаждения в вертикальном циркуляционном кольце теплопроводов (рис. 7.19) естественное давление, возникающее вследствие охлаждения воды в трубах, составит

$$\Delta p_{\text{е гр}} = g\,[(h_5 - h_4)\,(\rho_3 - \rho_2) + (h_4 - h_3)\,(\rho_3 - \rho_1) + (h_3 - h_2) \times (\rho_4 - \rho_1) + (h_2 - h_1)\,(\rho_4 - \rho_5)]$$

или после преобразования

$$\Delta p_{\text{е. тр}} = g\,[h_5\,(\rho_3 - \rho_2) + h_4\,(\rho_2 - \rho_1) + h_3\,(\rho_4 - \rho_3) + h_2\,(\rho_1 - \rho_5) + h_1 \times (\rho_5 - \rho_4)]. \qquad (7.21)$$

По последнему уравнению можно установить, что для получения естественного давления следует вертикальные расстояния от центров охлаждения и нагревания до плоскости отсчета *I—I* умножать на разности плотности воды после и до каждого центра (считая по направлению движения воды). При этом охлаждение над центром нагревания увеличивает циркуляционное давление, нагревание над центром охлаждения его уменьшает (четвертое слагаемое в уравнении получает отрицательное значение, так как $\rho_1 < \rho_5$).

Уравнение (7.21) перепишем в общем виде, используемом при проектировании систем водяного отопления:

$$\Delta p_{\text{е. тр}} = g \sum_{1}^{N} h_i\,(\rho_{i+1} - \rho_i). \qquad (7.22)$$

Можно сделать **вывод:** естественное давление, возникающее вследствие охлаждения воды в трубах циркуляционного кольца, состоящего из N участков, складывается из произведений высоты h_i расположения центра охлаждения или нагревания над некоторой плоскостью на разность плотности воды в концах участка, включающего такой центр.

Видно, что естественное циркуляционное давление тем больше, чем выше расположены центры охлаждения над центром нагревания (обычно за плоскость отсчета прини-

Электронная библиотека http://tgv.khstu.ru/

мают плоскость, проходящую через центр нагревания). При расположении хотя бы одного из центров охлаждения ниже центра нагревания (ц. о.$_4$ на рис. 7.19) естественное циркуляционное давление уменьшается.

Следовательно, в системе отопления с верхней разводкой $\Delta p_{\text{е.тр}}$ всегда больше, чем в системе с нижней разводкой, за счет увеличения вертикального расстояния от центров охлаждения в верхней магистрали до центра нагревания.

§ 7.4. Расчет естественного циркуляционного давления в системе водяного отопления

Общим, многократно повторяющимся элементом каждой вертикальной или горизонтальной системы является стояк или ветвь. В стояке или ветви отдельные узлы соединения отопительных приборов с трубами (приборные узлы), объединенные промежуточными теплопроводами, создают основу системы отопления, определяющую принцип ее действия и величину естественного циркуляционного давления, возникающего вследствие охлаждения воды в приборах. Поэтому расчет естественного циркуляционного давления, связанного с охлаждением воды в отопительных приборах ($\Delta p_{\text{е.пр}}$), рассмотрим при различных приборных узлах, входящих в стояки или ветви систем отопления.

1. ВЕРТИКАЛЬНЫЕ ОДНОТРУБНЫЕ СИСТЕМЫ ОТОПЛЕНИЯ

Однотрубная система отопления с верхней разводкой. На рис. 7.20 приведена расчетная схема части однотрубной системы с верхней разводкой и тупиковым движением воды в магистралях (см. рис. 6.2). Стояки даны для трехэтажного здания с различными наиболее часто применяемыми приборными узлами. В стояке *I* показаны проточные узлы, в стояке *II* — проточно-регулируемые узлы со смещенными обходными участками и трехходовыми регулирующими кранами (КРТ), в стояке *III* — узлы со смещенными замыкающими участками и проходными регулирующими кранами (КРП). Присоединение приборов к стоякам принято односторонним.

Здесь (и далее) система условно изображена со стояками различной конструкции для наглядности при сравнении. Обычно в системе преобладает какой-либо один тип при-

Электронная библиотека http://tgv.khstu.ru/

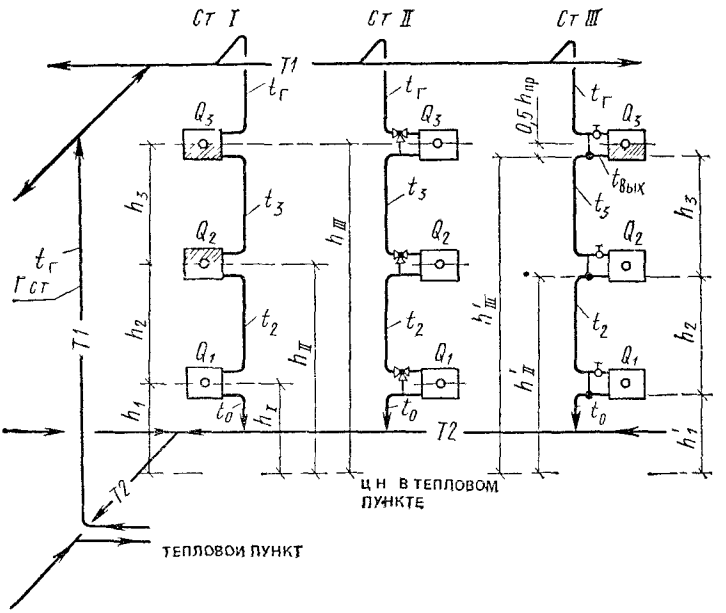

Рис. 7.20. Расчетная схема вертикальной однотрубной системы водяного отопления с верхней разводкой

Ст I — проточный стояк, Ст II — проточно-регулируемый стояк, Ст III — стояк с замыкающими участками (кружки в контуре приборов — центры охлаждения воды в приборах, черные точки на стояке III—центры охлаждения воды в стояке)

борного узла (например, проточно-регулируемые узлы), хотя может встретиться еще и другой тип (например, проточные узлы во вспомогательных помещениях). На рисунке над отопительными приборами нанесена тепловая нагрузка, т. е. теплопотребность помещений, Вт; внутри контура каждого прибора кружком помечен центр охлаждения воды. Проставлено также вертикальное расстояние между центрами охлаждения и центром нагревания (ц. н) воды в тепловом пункте.

Расход воды в стояке $G_{ст}$, кг/ч, при заданных теплопотребности помещений, виде отопительных приборов и температуре теплоносителя воды определяется по формуле, аналогичной формуле (6.7),

$$G_{ст} = \frac{Q_{ст}\beta_1\beta_2}{c\,\Delta t_{ст}}, \qquad (7.23)$$

Электронная библиотека http://tgv.khstu.ru/

где $Q_{ст}=\Sigma Q_{п}$ — тепловая нагрузка стояка, равная суммарной теплопотребности помещений, обслуживаемых стояком (при $Q_{п}$ в Вт вводится множитель 3,6), или, иначе, суммарной тепловой нагрузке приборов; β_1 и β_2 — поправочные коэффициенты [см. формулу (4.21)]; c — удельная теплоемкость воды [4,187 кДж/(кг·К)]; $\Delta t_{ст}$ — расчетный перепад температуры воды в стояке.

Видно, что расход воды в однотрубном стояке прямо пропорционален тепловой нагрузке стояка $Q_{ст}$ и обратно пропорционален расчетному перепаду температуры воды в стояке $\Delta t_{ст}=t_{г}-t_{о}$.

Температура воды на каждом участке стояка будет промежуточной между значениями $t_{г}$ и $t_{о}$ в зависимости от степени ее охлаждения в том или ином помещении. Зная, что расход воды на всех участках однотрубного стояка не изменяется, составим пропорцию для определения температуры t_3 (рис. 7.20)

$$\frac{Q_{ст}}{t_{г}-t_{о}}=\frac{Q_3}{t_{г}-t_3},$$

откуда

$$t_3=t_{г}-\frac{Q_3}{Q_{ст}}(t_{г}-t_{о}).$$

Аналогично

$$t_2=t_{г}-\frac{Q_3+Q_2}{Q_{ст}}(t_{г}-t_{о}).$$

В общем виде *температура воды на* i-м участке однотрубного стояка будет равна:

$$t_i=t_{г}-\frac{\Sigma Q_i}{Q_{ст}}\Delta t_{ст}, \qquad (7.24)$$

где ΣQ_i — суммарная тепловая нагрузка всех отопительных приборов на стояке до рассматриваемого участка (считая по направлению движения воды).

На рис. 7.20 заштрихованы половины высоты двух приборов стояка *1*, в которых температура воды условно принята постоянной и равной t_3. Можно считать, что температура воды t_3 (и плотность ее ρ_3) сохраняется в стояке по высоте h_3, а температура t_2 (и плотность ρ_2) — по высоте h_2.

Гидростатическое давление в стояке при его высоте, равной $h_2+h_2+h_1$ (рис. 7.20), не считая части стояка выше условного центра охлаждения верхнего прибора, где тем-

Электронная библиотека http://tgv.khstu.ru/

пература воды принята равной температуре воды в главном стояке, составит

$$g(h_3\rho_3+h_2\rho_2+h_1\rho_0),$$

где ρ_0 — плотность воды при расчетной температуре t_0 обратной воды в системе.

Гидростатическое давление в главном стояке (Г. ст. на рис. 7.20) с учетом той же высоты при температуре воды $t_г$)

$$g(h_3\rho_г+h_2\rho_г+h_1\rho_г),$$

где $\rho_г$ — плотность воды при расчетной температуре $t_г$ горячей воды в системе.

Естественное циркуляционное давление в вертикальной однотрубной проточной и проточно-регулируемой системе отопления с верхней разводкой (стояки *I* и *II* на рис. 7.20), возникающее вследствие охлаждения воды в приборах, определяется как разность гидростатического давления в рассматриваемом и главном стояках

$$\Delta p_{е.\,пр}=g[h_3(\rho_3-\rho_г)+h_2(\rho_2-\rho_г)+h_1(\rho_0-\rho_г)]. \quad (7.25)$$

При увеличении числа этажей в здании число слагаемых в формуле (7.25), а следовательно, и значение $\Delta p_{е.\,пр}$ будут возрастать.

Выражение для определения $\Delta p_{е.\,пр}$ можно представить в другом виде (более удобном для вычисления, хотя и менее точном), обозначив среднее уменьшение плотности при увеличении температуры воды на 1 °С через $\beta=\frac{\rho_0-\rho_г}{t_г-t_0}$, кг/(м³·К):

$$\Delta p_{е.\,пр}=\beta g[h_3(t_г-t_3)+h_2(t_г-t_2)+h_1(t_г-t_0)]. \quad (7.26)$$

Для получения более общей и краткой записи выразим разности температуры через тепловые нагрузки и расход воды в стояке

$$t_г-t_3=\Delta t_{пр.\,з}=\frac{Q_3}{cG_{ст}}\beta_1\beta_2; \qquad t_г-t_2=\frac{Q_3+Q_2}{cG_{ст}}\beta_1\beta_2;$$

$$t_г-t_0=\frac{Q_3+Q_2+Q_1}{cG_{ст}}\beta_1\beta_2.$$

После подстановки в формулу (7.26) найдем в скобках $Q_3(h_3+h_2+h_1)+Q_2(h_2+h_1)+Q_1h_1$ или $Q_3h_{III}+Q_2h_{II}+Q_1h_I$, так как $h_3+h_2+h_1=h_{III}$ и т. д. (см. рис. 7.20).

Электронная библиотека http://tgv.khstu.ru/

Получим более короткое выражение

$$\Delta p_{\text{е. пр}} = \frac{\beta g}{c G_{\text{ст}}} (Q_3 h_{\text{III}} + Q_2 h_{\text{II}} + Q_1 h_{\text{I}}) \beta_1 \beta_2, \qquad (7.27)$$

где h_{III}, h_{II} и h_{I} — вертикальные расстояния между центрами охлаждения воды в приборах соответственно на *III*, *II* и *I* этажах и центром нагревания.

В общем виде при N отопительных приборах в однотрубном стояке

$$\Delta p_{\text{е. пр}} = \frac{\beta g}{c G_{\text{ст}}} \sum_{1}^{N} (Q_i h_i) \beta_1 \beta_2, \qquad (7.28)$$

где $Q_i h_i$ — произведение тепловой нагрузки i-го прибора на вертикальное расстояние h_i от его условного центра охлаждения до центра нагревания воды в системе.

Пример 7.1. Определим естественное циркуляционное давление, возникающее вследствие охлаждения воды в приборах трехэтажного однотрубного стояка (стояк *I* или *II* на рис. 7.20), если тепловая нагрузка отопительных приборов, включая коэффициенты β_1 и β_2, составляет $Q_3 = 1163$ Вт, $Q_2 = 930$ Вт, $Q_1 = 1396$ Вт; высота $h_3 = h_2 = 3$ м, $h_1 = 2$ м; температура воды $t_{\text{г}} = 95$ °С, $t_0 = 70$ °С; $\beta = 0{,}64$ кг/(м³·К).

Расход воды в стояке по формуле (7.23)

$$G_{\text{ст}} = \frac{Q_{\text{ст}} \beta_1 \beta_2}{c \, \Delta t_{\text{ст}}} = \frac{(1163 + 930 + 1396)\, 3{,}6}{4{,}187\,(95 - 70)} = 120 \text{ кг/ч}.$$

Температура воды на участках стояка по формуле (7.24)

$$t_3 = t_{\text{г}} - \frac{Q_3}{c G_{\text{ст}}} = 95 - \frac{1163 \cdot 3{,}6}{4{,}187 \cdot 120} = 86{,}7 \text{ °С};$$

$$t_2 = t_{\text{г}} - \frac{Q_3 + Q_2}{c G_{\text{ст}}} = 95 - \frac{(1163 + 930)\, 3{,}6}{4{,}187 \cdot 120} = 80 \text{ °С}.$$

Естественное циркуляционное давление по формуле (7.26)

$$\Delta p_{\text{е. пр}} = 0{,}64 \cdot 9{,}81 \,[3\,(95 - 86{,}7) + 3\,(95 - 80) + 2\,(95 - 70)] = 753{,}4 \text{ Па}.$$

Естественное циркуляционное давление по формуле (7.27) при $h_{\text{III}} = h_3 + h_2 + h_1 = 8$ м и $h_{\text{II}} = h_2 + h_1 = 5$ м:

$$\Delta p_{\text{е. пр}} = \frac{0{,}64 \cdot 9{,}81}{4{,}187 \cdot 120} (1163 \cdot 8 + 930 \cdot 5 + 1396 \cdot 2)\, 3{,}6 = 753{,}4 \text{ Па}.$$

В стояках *вертикальной однотрубной системы с замыкающими участками* (стояк *III* на рис. 7.20) температура и плотность воды изменяются не только в отопительных приборах (условные центры охлаждения — кружки внутри контура приборов), но и в точках стояка (черные точки на

Электронная библиотека http://tgv.khstu.ru/

рисунке), где смешивается вода, выходящая из прибора и из замыкающего участка.

Естественное циркуляционное давление в такой системе по аналогии с формулой (7.25) составит

$$\Delta p_{\text{е. пр}} = g\left[h_3(\rho_3 - \rho_г) + h_2(\rho_2 - \rho_г) + h_1'(\rho_о - \rho_г)\right]. \quad (7.29)$$

Некоторое различие в значениях естественного циркуляционного давления по формулам (7.25) и (7.29) определяется тем, что $h_1' < h_1$ на $0{,}5h_{\text{пр}}$. В формуле (7.28) при использовании ее для стояков с замыкающими участками высота h_i определяется вертикальным расстоянием между центрами нагревания и охлаждения в той точке, где в стояке изменяется температура воды.

В стояке с *замыкающими участками* имеются также так называемые *малые циркуляционные кольца* у каждого отопительного прибора, образованные самим прибором, подводками к прибору и замыкающим участком. Положение центра охлаждения в приборе и соответствующего центра охлаждения в стояке отличается на $0{,}5h_{\text{пр}}$ (стояк *III* на рис. 7.20), и в малом циркуляционном кольце возникает собственное естественное циркуляционное давление (в заштрихованной части прибора вода имеет температуру $t_{\text{вых}}$, в замыкающем участке $t_{\text{вх}}$)

$$\Delta p_{\text{е. мал}} = g\frac{h_{\text{пр}}}{2}(\rho_{\text{вых}} - \rho_{\text{вх}}), \quad (7.30)$$

где $\rho_{\text{вых}}$ и $\rho_{\text{вх}}$ — плотность воды, кг/м³, соответственно при температуре $t_{\text{вых}}$ и $t_{\text{вх}}$ (для прибора на *III* этаже на рис. 7.20 — $t_{\text{вх}} = t_г$, $t_{\text{вых}} < t_з$, часто называемой температурой смеси).

Можно также найти естественное давление в малом циркуляционном кольце в другом виде — как разность гидростатического давления по высоте прибора и замыкающего участка

$$\Delta p_{\text{е. мал}} = gh_{\text{пр}}(\rho_{\text{ср. пр}} - \rho_{\text{з. у}}), \quad (7.30а)$$

где $\rho_{\text{ср.пр}}$ и $\rho_{\text{з.у}}$ — плотность воды, кг/м³, соответственно при средней температуре в приборе и при температуре ее в замыкающем участке.

Отметим, что в параллельно соединенных участках малого циркуляционного кольца протекают два различных потока воды. Один поток с расходом $G_{\text{пр}}$, обеспечивая теплоотдачу прибора $Q_{\text{пр}}$, охлаждается до температуры $t_{\text{вых}}$. Другой в количестве $G_{\text{з.у}} = G_{\text{сг}} - G_{\text{пр}}$ сохраняет свою тем-

Электронная библиотека http://tgv.khstu.ru/

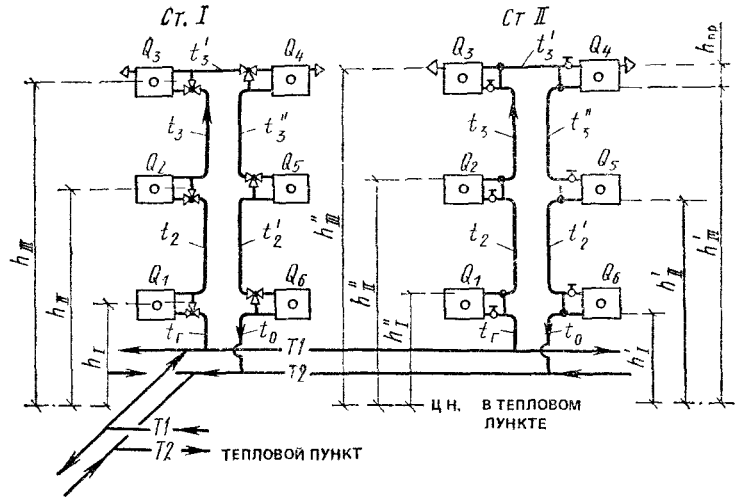

Рис. 7.21. Расчетная схема вертикальной однотрубной системы водяного отопления с нижней разводкой обеих магистралей (с П-образными стояками)

Ст. I — проточно-регулируемый стояк; Ст. II — стояк с замыкающими участками

пературу, равную $t_{вх}$. В точке смешения этих двух потоков один из них нагревается (вода из прибора), второй — охлаждается (вода из замыкающего участка). Поэтому температуру воды в участках стояка (например, $t_з$) и называют температурой смеси.

Естественное давление в малом циркуляционном кольце при движении воды в стояке сверху вниз способствует возрастанию расхода воды в приборе или, как принято говорить, увеличению затекания воды в отопительный прибор.

Однотрубная система отопления с нижней разводкой обеих магистралей (с П-образными стояками — см. рис. 6.3). На рис. 7.21 приведена расчетная схема части такой системы с тупиковым движением воды в магистралях со стояками для трехэтажного здания при теплоснабжении деаэрированной водой. В стояке *I* применены проточно-регулируемые узлы с трехходовыми кранами (КРТ), в стояке *II* — узлы со смещенными замыкающими участками и проходными регулирующими кранами (КРП). На приборах верхнего этажа установлены воздушные краны.

Число приборов на одном этаже здания часто бывает нечетным. Для непарных приборов устраивают П-образные

Электронная библиотека http://tgv.khstu.ru/

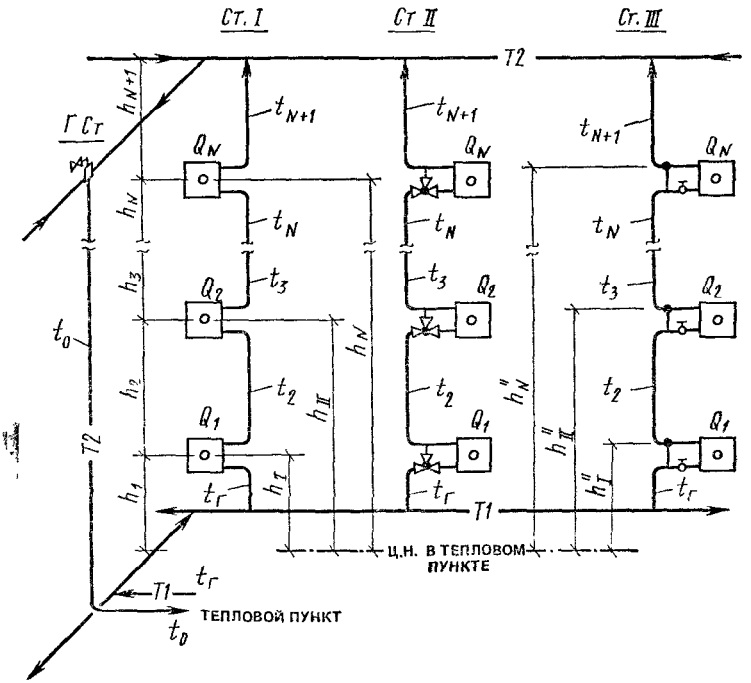

Рис. 7.22. Расчетная схема вертикальной однотрубной системы водяного отопления с «опрокинутой» циркуляцией воды в стояках (с нижней разводкой подающей магистрали и верхней прокладкой обратной магистрали)

Ст. I — проточный стояк; Ст. II — проточно-регулируемый стояк; Ст III — стояк с замыкающими участками

стояки с «холостой» восходящей трубой, либо Т-образные стояки с одной восходящей и двумя нисходящими трубами. Одно время стояки замоноличивались во внутренние бетонные перегородки. Там, где это сделано, стояки фактически превращены в дополнительные проточные бетонные отопительные приборы, а основные приборы присоединены открыто к специально предусмотренным патрубкам на стояках.

Расход и температуру воды в стояках определяют по формулам (7.23) и (7.24).

Естественное циркуляционное давление в любом стояке находят как разность гидростатического давления в нисходящей и восходящей частях стояка. Например, для про-

Электронная библиотека http://tgv.khstu.ru/

точно-регулируемого стояка *I*

$$\Delta p_{\text{е. пр}} = g\,[h_3(\rho_3'' - \rho_3) + h_2(\rho_2' - \rho_2) + h_1(\rho_0 - \rho_г)], \qquad (7.31)$$

где обозначения h_3, h_2 и h_1 — см. на рис. 7.20.

Действительна также формула (7.28) общего вида, причем высота h_i зависит от положения центров охлаждения воды (кружки в контуре приборов на стояке *I* или черные точки в стояке *II* на рис. 7.21).

Естественное давление в малых циркуляционных кольцах приборов в стояке *II* находят по формуле (7.30) или (7.30а). В нисходящей (правой на рис. 7.21) части стояка *II* естественное давление в каждом малом циркуляционном кольце, как было отмечено, способствует затеканию воды в отопительные приборы. Напротив, в восходящей (левой) части стояка, где центры охлаждения выше соответствующих центров охлаждения воды в приборах, оно противодействует затеканию воды и относительно уменьшает расход воды в приборах, что вызывает увеличение их площади. Формула (7.31) относится также к бифилярной схеме стояков.

Однотрубная система отопления с «опрокинутой» циркуляцией воды) с нижней разводкой подающей магистрали и верхней прокладкой обратной магистрали — см. рис. 6.4). На рис. 7.22 изображена расчетная схема части такой системы с тупиковым движением воды в магистралях со стояками, имеющими проточные приборные узлы (стояк *I*), проточно-регулируемые узлы с кранами КРТ (стояк *II*) и узлы с замыкающими участками и кранами КРП (стояк *III*). Обходные и замыкающие участки делают, как правило, смещенными от оси стояков.

Расход и температуру воды в стояках определяют по формулам (7.23) и (7.24). Естественное циркуляционное давление $\Delta p_{\text{е.пр}}$ находят по формуле (7.28) или как разность гидростатического давления в главном обратном стояке (Г. ст на рис. 7.22) и в рассматриваемом стояке в здании, имеющем N этажей:

$$\Delta p_{\text{е. пр}} = g\,[h_{N+1}(\rho_0 - \rho_{N+1}) + h_N(\rho_0 - \rho_N) + \ldots$$
$$\ldots + h_2(\rho_0 - \rho_2) + h_1(\rho_0 - \rho_г)]. \qquad (7.32)$$

По формуле (7.32) можно дополнительно учесть отличие плотности воды при температуре t_{N+1} в рассматриваемом стояке от плотности воды при температуре t_0 в главном обратном стояке.

Электронная библиотека http://tgv.khstu.ru/

Естественное циркуляционное давление в малом циркуляционном кольце каждого отопительного прибора стояка *III* (рис. 7.22) вычисляют по формуле (7.30) или (7.30а). В данной системе это давление противодействует затеканию воды во все вертикальные приборы, что приводит к относительному увеличению площади их нагревательной поверхности.

Для большинства рассмотренных вертикальных однотрубных систем отопления характерно одностороннее присоединение приборов к стоякам. Это хотя и увеличивает число стояков, однако позволяет унифицировать узлы обвязки приборов как по диаметру, так и по длине труб, что необходимо для интенсификации производства при массовом обезличенном изготовлении деталей. Кроме того, отопительные приборы из гладких труб малого диаметра (здесь им уподобляются трубы стояков) имеют повышенный коэффициент теплопередачи по сравнению с другими видами отопительных приборов. Следовательно, при увеличении числа открыто прокладываемых стояков уменьшаются размеры основных отопительных приборов.

На основании полученных формул можно сделать следующие выводы:

1) в циркуляционных кольцах вертикальных однотрубных систем водяного отопления естественное циркуляционное давление, возникающее вследствие охлаждения воды в отопительных приборах, возрастает с увеличением числа последовательно соединенных отопительных приборов и действует как единая величина, влияющая в равной степени на циркуляцию воды через все отопительные приборы каждого стояка;

2) в малых циркуляционных кольцах отопительных приборов в вертикальных однотрубных системах с замыкающими участками возникает дополнительное естественное циркуляционное давление, зависящее от высоты прибора и степени охлаждения воды в нем. Это давление способствует затеканию воды в приборы при движении воды в стояке сверху вниз и противодействует ему при движении воды снизу вверх.

Электронная библиотека http://tgv.khstu.ru/

2. ВЕРТИКАЛЬНЫЕ ДВУХТРУБНЫЕ СИСТЕМЫ ОТОПЛЕНИЯ

Схемы двухтрубной системы отопления с верхней и нижней разводкой изображены на рис. 6.5. В такой системе для каждого из приборов образуется отдельное циркуляционное кольцо, т. е. число циркуляционных колец в системе равно числу приборов.

На рис. 7.23 приведены расчетные схемы двухтрубных стояков с верхней разводкой для двухэтажного (рис. 7.23, *а*), с нижней разводкой для N-этажного здания (рис. 7.23, *б*). Нетрудно заметить, что в подобных кольцах двухтрубных систем как с верхней, так и нижней разводкой возникает одинаковое естественное циркуляционное давление. Его значение в каждом циркуляционном кольце определяется вертикальным расстоянием между центрами охлаждения и нагревания.

В циркуляционных кольцах через отопительные приборы на первом этаже возникает естественное давление [см. вывод формулы (7.25)]

$$\Delta p_{\text{е. пр}}^{\text{I}} = g h_1 (\rho_0 - \rho_\text{г}), \qquad (7.33)$$

где h_1 — вертикальное расстояние между центром охлаждения воды в приборах на первом этаже и центром ее нагревания в системе отопления.

В циркуляционных кольцах через отопительные приборы на втором этаже

$$\Delta p_{\text{е}}^{\text{II}}{}_{\text{пр}} = g (h_1 + h_2) (\rho_0 - \rho_\text{г}), \qquad (7.34)$$

где h_2 — вертикальное расстояние между центрами охлаждения воды в приборах на втором и первом этажах.

При нижней разводке в кольцах через отопительные приборы на верхнем N-м этаже действует максимальное естественное циркуляционное давление

$$\Delta p_{\text{е}}^{N}{}_{\text{пр}} = g (h_1 + h_2 + \ldots + h_N) (\rho_0 - \rho_\text{г}). \qquad (7.35)$$

Сравнивая написанные формулы, установим, что в циркуляционном кольце какого-либо прибора, расположенного выше другого, возникает дополнительное естественное давление, пропорциональное вертикальному расстоянию между центрами охлаждения воды в этих приборах. Положение центра охлаждения в верхних отопительных приборах на рис. 7.23, *б* установлено по оси подводок к ним. Неоднородность плотности воды по высоте этих приборов

Электронная библиотека http://tgv.khstu.ru/

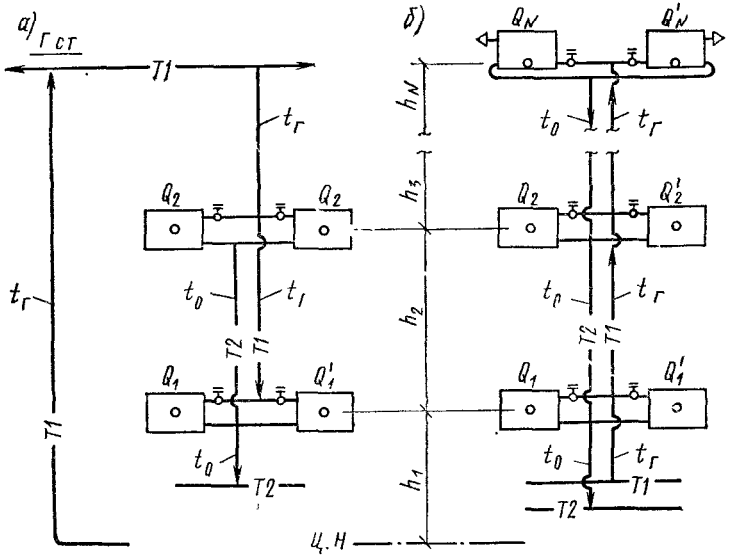

Рис. 7.23. Расчетные схемы вертикальной двухтрубной системы водяного отопления с верхней разводкой (*а*) и нижней разводкой магистралей (*б*)

вызывает лишь внутреннюю циркуляцию в приборах и не отражается на циркуляции воды в стояке.

На основании полученных формул сделаем **вывод,** что в вертикальных двухтрубных системах водяного отопления естественное циркуляционное давление, возникающее вследствие охлаждения воды в отопительных приборах, различно по значению и независимо по действию для циркуляционных колец приборов, находящихся на разной высоте. Следовательно, в таких системах естественное давление неодинаково влияет на циркуляцию воды через каждый прибор, что в результате может нарушать заданное (расчетное) распределение по приборам воды, подаваемой в стояки насосом. В этом причина наблюдаемой на практике вертикальной тепловой неустойчивости неотрегулированных систем отопления с двухтрубными стояками.

Электронная библиотека http://tgv.khstu.ru/

3. ГОРИЗОНТАЛЬНЫЕ ОДНОТРУБНЫЕ СИСТЕМЫ ОТОПЛЕНИЯ

В горизонтальных однотрубных системах отопления многоэтажных зданий (см. рис. 6.6) последовательно соединенные приборы на каждом этаже, образующие ветвь, располагаются на одной и той же высоте над центром нагревания. Промежуточное изменение температуры и плотности в ветви по горизонтали вследствие охлаждения воды в приборах не отражается на значении естественного циркуляционного давления, которое определяется в зависимости от разности гидростатического давления в стояках (вертикальных участках).

В горизонтальных однотрубных системах с приборами, соединенными по проточной (на рис. 7.24, *а* показано на первом этаже) и по проточно-регулируемой схемам (на рис. 7.24, *а* — на втором этаже), естественное циркуляционное давление различно в кольцах через ветви на каждом этаже [формулы (7.33) — (7.35)]:
через ветвь на первом этаже

$$\Delta p^{\mathrm{I}}_{\mathrm{e.\ пр}} = g h_1 (\rho_0 - \rho_{\mathrm{г}});$$

через ветвь на втором этаже

$$\Delta p^{\mathrm{II}}_{\mathrm{e.\ пр}} = g (h_1 + h_2) (\rho_0 - \rho_{\mathrm{г}})$$

и т. д.

В горизонтальной однотрубной системе с замыкающими участками у приборов (на рис. 7.24, *а* — на третьем этаже) также возникает различное естественное циркуляционное давление в кольцах через ветви на каждом этаже (формулы те же, высота — до условных центров охлаждения, изображенных на рисунке точками на ветви). Кроме того, действует дополнительное естественное давление в малом циркуляционном кольце каждого прибора. Его определяют по формуле, написанной по аналогии с формулой (7.30):

$$\Delta p_{\mathrm{e.\ мал}} = g h' (\rho_{\mathrm{вых}} - \rho_{\mathrm{вх}}), \qquad (7.36)$$

где h' — вертикальное расстояние между условными центрами охлаждения воды в приборе и в ветви (рис. 7.24, *а*).

Формулы (7.33)—(7.35) относятся также к горизонтальной бифилярной схеме ветви, изображенной на рис. 7.24, *б*.

В горизонтальных двухтрубных системах отопления естественное циркуляционное давление, возникающее при охлаждении воды в приборах, определяют по формуле

Электронная библиотека http://tgv.khstu.ru/

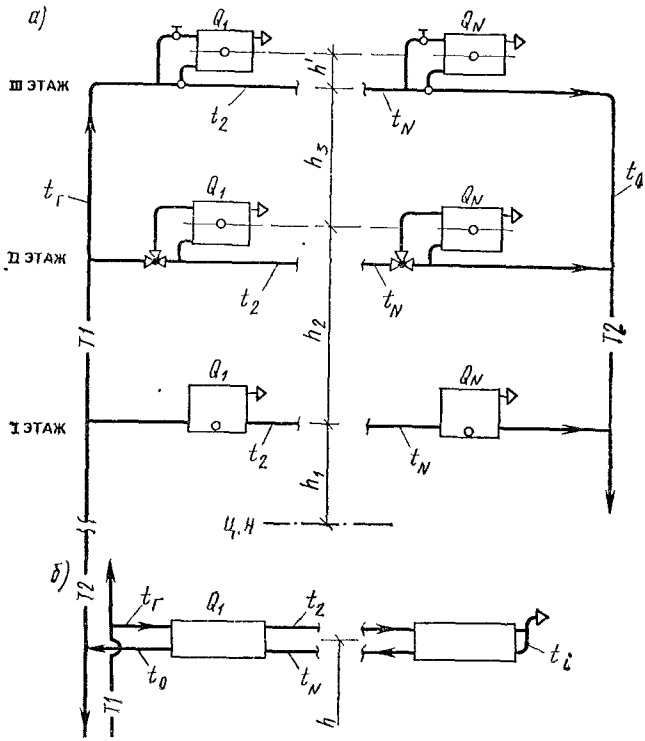

Рис. 7.24. Расчетные схемы горизонтальной однотрубной системы водяного отопления

а — с проточной ветвью на первом этаже, с проточно-регулируемой ветвью на втором этаже, с ветвью, имеющей замыкающие участки, на третьем этаже, *б* — с бифилярными ветвями

(7.33). Величина этого давления незначительна; оно учитывается прежде всего в квартирных системах отопления с естественной циркуляцией воды.

Естественное циркуляционное давление в насосной системе водяного отопления является составной частью общего циркуляционного давления, создающего необходимую циркуляцию воды. Общее циркуляционное давление, действующее в расчетных условиях циркуляции, называют расчетным.

Электронная библиотека http://tgv.khstu.ru/

§ 7.5. Расчетное циркуляционное давление в насосной системе водяного отопления

Итак, под **расчетным** понимают то значение общего циркуляционного давления, которое выбрано для поддержания расчетного гидравлического режима в системе отопления. Расчетное циркуляционное давление выражает располагаемую разность давления (насосного и естественного), которая в расчетных условиях может быть израсходована на преодоление сопротивления движению воды в системе отопления.

Разность давления, создаваемая насосом (насосное циркуляционное давление), постоянна в определенной рабочей точке его характеристики (см. рис. 6.13). Естественная разность давления (естественное циркуляционное давление) переменна — подвержена непрерывному изменению в течение отопительного сезона из-за возрастания или убывания различия в плотности воды в разных частях системы. Следовательно, общее циркуляционное давление также переменно, и задачей является выбор его значения в качестве расчетного.

Расчетное циркуляционное давление $\Delta p_{\text{р}}$ в системе водяного отопления в общем виде можно определить по формуле

$$\Delta p_{\text{р}} = \Delta p_{\text{н}} + Б\, \Delta p_{\text{е}} \qquad (7.37)$$

или

$$\Delta p_{\text{р}} = \Delta p_{\text{н}} + Б\, (\Delta p_{\text{е. пр}} + \Delta p_{\text{е. тр}}), \qquad (7.37\text{а})$$

где $\Delta p_{\text{н}}$ — циркуляционное давление, создаваемое насосом (§ 6.4) или передаваемое в систему отопления через смесительную установку (см. § 6.5); $\Delta p_{\text{е.пр}}$ и $\Delta p_{\text{е.тр}}$ — естественное циркуляционное давление, возникающее вследствие охлаждения воды (нагретой до расчетной температуры) соответственно в отопительных приборах и трубах циркуляционного кольца системы (§ 7.4 и 7.3); $Б$ — поправочный коэффициент, учитывающий значение естественного циркуляционного давления в период поддержания расчетного гидравлического режима в системе ($Б \leqslant 1$).

Воздействие переменного естественного циркуляционного давления вызывает отклонение от расчетного гидравлического режима системы, что отражается на количестве протекающей воды и в итоге на теплопередаче приборов, т. е. вызывает тепловое разрегулирование системы.

По характеру воздействия естественного циркуляционного давления на расход воды (см. выводы в § 7.4) все на-

Электронная библиотека http://tgv.khstu.ru/

сосные системы отопления многоэтажных зданий можно разделить на **две группы:** 1) вертикальные однотрубные и бифилярные; 2) горизонтальные однотрубные и бифилярные, двухтрубные системы. Расчетный гидравлический режим в этих группах систем для смягчения гидравлического разрегулирования при эксплуатации приурочивают к различным периодам отопительного сезона.

Для вертикальных однотрубных и бифилярных насосных систем (а также для любого вида систем отопления с естественной циркуляцией воды) этот период относят к температуре наружного воздуха $t_{н.р}$, расчетной для отопления зданий в данной местности. При этой температуре естественное циркуляционное давление в системах достигает своего максимального значения ($Б=1$). Тогда формула (7.37) для определения расчетного циркуляционного давления в системах отопления **первой группы** принимает вид

$$\Delta p_р = \Delta p_н + \Delta p_е. \qquad (7.38)$$

Для горизонтальных однотрубных и бифилярных, двухтрубных насосных систем отопления расчетный гидравлический режим относят к периоду наиболее длительного стояния одной и той же температуры наружного воздуха (см. рис. 1). Для большинства районов СССР это температура, близкая к средней температуре отопительного сезона. В Москве, например, такая температура наружного воздуха удерживается свыше 2500 ч, т. е. около половины отопительного сезона. При этой температуре наружного воздуха в системе отопления возникает естественное циркуляционное давление, составляющее около 40% максимального его значения. Поэтому для **второй группы** насосных систем отопления в формуле (7.37) принимают $Б=0{,}4$, и тогда

$$\Delta p_р = \Delta p_н + 0{,}4\Delta p_е. \qquad (7.39)$$

Поясним физический смысл выбора значений коэффициента $Б$ в формуле (7.37). Выбор разных периодов отопительного сезона для гидравлического расчета двух различных групп систем водяного отопления делают с целью сохранить возможно дольше необходимую теплоотдачу отопительных приборов. Это одно из мероприятий, способствующих эффективности отопления здания.

Эффективность отопления здания связана с поддержанием заданной температуры помещений в течение требуемо-

Электронная библиотека http://tgv.khstu.ru/

го периода времени при нормальных условиях эксплуатации. Заданная температура помещений может быть обеспечена только при строгом соответствии теплоотдачи отопительных приборов расчетным предположениям в течение всего отопительного сезона. Следовательно, эффективность отопления обусловливается прежде всего **надежностью системы отопления**.

Надежная система отопления, как уже известно, должна быть безотказной и ремонтопригодной. Кроме того, надежная система должна обладать тепловой устойчивостью.

Под **тепловой устойчивостью** системы, структура которой не нарушается (не проводятся отключения частей, изменения площади приборов и т. п.), понимается ее свойство пропорционально изменять теплоотдачу всех отопительных приборов при изменении температуры и расхода теплоносителя в течение отопительного сезона.

Большей тепловой устойчивостью отличаются системы первой группы — вертикальные однотрубные и бифилярные. Однако, чтобы обеспечить достаточно устойчивую работу их, при эксплуатации этих систем нужно уменьшать расход циркулирующей воды одновременно с понижением ее температуры. Так, в теплый период отопительного сезона расход воды в стояках следует уменьшать приблизительно до 60% расчетного (рис. 7.25). Для такого изменения параметров теплоносителя необходимо проведение автоматического качественно-количественного регулирования в течение всего отопительного сезона.

В большинстве случаев автоматического количественного регулирования еще не предусматривают, и роль естественного регулятора расхода воды предоставляют выполнять естественному циркуляционному давлению. Его значения уменьшаются по мере уменьшения разности температуры горячей и охлажденной воды (на рис. 7.25, например, от 25° при $t_н$=—30° до 6,5 °С при $t_н$=10 °С). При этом сокращается расход воды во всех отопительных приборах каждого стояка (что было установлено в § 7.4). Этим объясняется то, что при определении расчетного циркуляционного давления в вертикальных однотрубных и бифилярных насосных системах отопления [формула (7.38)] к насосному давлению полностью прибавляется максимальное значение естественного циркуляционного давления.

Электронная библиотека http://tgv.khstu.ru/

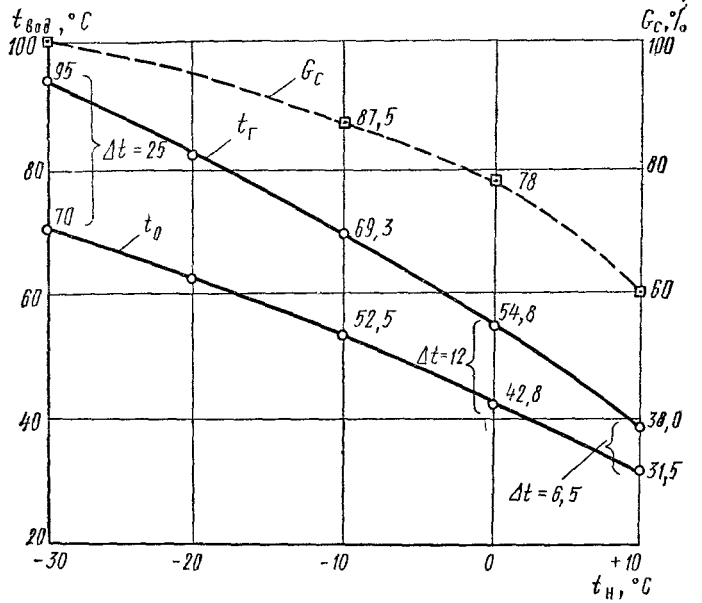

Рис. 7.25. График изменения температуры $t_г$, t_0 и расхода воды G_c в вертикальной однотрубной системе отопления в течение отопительного сезона (расчетные $t_г$ = =95 °С и t_0=70 °С соответствуют $t_{н.р}$ = —30 °С)

Это положение можно пояснить рис. 7.26, где показаны характеристика циркуляционного насоса и отрезок суммарной характеристики двух «насосов» (механического и естественного), вызывающих циркуляцию воды в системе. В рабочей точке *А* пересечения суммарной характеристики с характеристикой системы отопления (§ 6, 4) под совместным влиянием давления двух «насосов» ($\Delta p_н + \Delta p_е$) обеспечивается расчетный расход воды в системе G_c (при расчетной для отопления температуре наружного воздуха). По мере повышения температуры наружного воздуха естественное циркуляционное давление уменьшается (вследствие уменьшения Δt, см. рис. 7.25), сокращается и расход воды в системе (точка *А* на рис. 7.26 стремится к точке *Б*). В рабочей точке *Б* расход воды минимален и равен $G_н$ (естественное давление равно нулю). Используя в качестве «регулятора» изменение естественного циркуляционного давления, можно лишь приблизиться (в среднем наполовину)

Электронная библиотека http://tgv.khstu.ru/

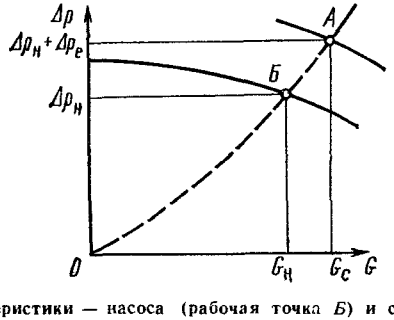

Рис. 7.26. Характеристики — насоса (рабочая точка *Б*) и суммариая (рабочая точка *А* с учетом естественного циркуляционного давления Δp_e) применительно к вертикальиой однотрубиой системе отопления (расход воды изменяется от $G_н$ до G_c)

к надлежащему количественному регулированию вертикальных однотрубных систем отопления, и оптимальный гидравлический режим в них достижим только при автоматическом регулировании.

Меньшая тепловая устойчивость присуща горизонтальным однотрубным и бифилярным, особенно вертикальным двухтрубным системам отопления. В циркуляционных кольцах этих систем в результате изменения различного по величине естественного циркуляционного давления заметно нарушается расчетный гидравлический режим отопительных приборов. Вода, подаваемая циркуляционным насосом в стояки, перераспределяется между ветвями и приборами: в холодный период отопительного сезона ($t_н < t_{с.р.о.с}$) значительно увеличивается расход воды в верхней части систем при сокращении расхода в нижней части; в теплый период ($t_н > t_{с.р.о.с}$) возрастает расход воды в нижней части за счет верхней. Таким образом, в этих системах неизбежно возникает вертикальное гидравлическое и, как следствие, тепловое разрегулирование — нарушение тепловой устойчивости.

Выбор расчетного циркуляционного давления по формуле (7.39) создает условия для длительного действия отопительных приборов горизонтальных однотрубных и бифилярных, вертикальных двухтрубных насосных систем в расчетном гидравлическом режиме с сохранением тепловой устойчивости. Такой подход к выбору $\Delta p_р$ способствует также уменьшению вертикального теплового разрегули-

Электронная библиотека http://tgv.khstu.ru/

рования при низкой и высокой температуре наружного воздуха и сокращению продолжительности этих периодов в процессе эксплуатации систем отопления.

КОНТРОЛЬНЫЕ ЗАДАНИЯ И УПРАЖНЕНИЯ

1. Почему высота расположения открытого расширительного бака, соединенного с системой водяного отопления двумя вертикальными трубами, не влияет на величину естественного циркуляционного давления в системе?

2. Сопоставьте изменение гидростатического давления в насосной системе водяного отопления в зависимости от точек присоединения открытого расширительного бака, традиционных для советской и германской практики.

3. Исследуйте условия, при которых в районной системе водяного отопления возможны в отдельных зданиях: а) подсос воздуха *в трубы; б) разрушение* отопительных приборов.

4. Выведите зависимости для определения предельно целесообразного расстояния между точками параллельного включения двух расширительных баков в различных частях районной системы водяного отопления.

5. Определите относительные значения естественного циркуляционного давления (приняв за единицу его значение при расчетной для отопления температуре наружного воздуха) при температуре наружного воздуха в местных условиях: средней в январе, средней в течение отопительного сезона, в начале и конце отопительного сезона.

6. Выведите формулу (7.27) с включением в нее тепловой нагрузки стояка вместо расхода воды.

7. Установите зависимость естественного циркуляционного давления в малых циркуляционных кольцах вертикальной однотрубной системы водяного отопления от числа последовательно включенных в стояки отопительных приборов.

8. Проанализируйте влияние естественного циркуляционного давления, возникающего вследствие охлаждения воды в приборах двухтрубной насосной системы водяного отопления, на распределение теплоносителя между отопительными приборами, расположенными на различных этажах многоэтажного здания.

9. Сравните в расчетных условиях естественное циркуляционное давление, возникающее в малых циркуляционных кольцах при радиаторах, установленных в вертикальной и горизонтальной однотрубных системах водяного отопления.

10. Оцените относительную тепловую устойчивость вертикальной однотрубной, горизонтальной однотрубной и вертикальной двухтрубной насосных систем водяного отопления многоэтажного здания.

Электронная библиотека http://tgv.khstu.ru/

ГЛАВА 8. ГИДРАВЛИЧЕСКИЙ РАСЧЕТ СИСТЕМЫ ВОДЯНОГО ОТОПЛЕНИЯ

§ 8.1. Основные положения гидравлического расчета системы водяного отопления

Система водяного отопления представляет собой разветвленную закольцованную сеть труб и приборов, заполненных водой. Вода в течение отопительного сезона находится в постоянном кругообороте. По трубам (теплопроводам) нагретая вода распределяется по приборам, охлажденная в приборах вода собирается воедино, нагревается в теплообменнике и вновь направляется к приборам. Теплопроводы предназначены для доставки и передачи в каждое помещение обогреваемого здания необходимого количества тепловой энергии. Так как теплопередача происходит при охлаждении определенного количества воды, требуется выполнить гидравлический расчет системы.

Гидравлический расчет проводится по законам гидравлики. Расчет основан на следующем **принципе:** при установившемся движении воды действующая в системе разность давления (насосного и естественного) полностью расходуется на преодоление сопротивления движению.

Правильный гидравлический расчет предопределяет работоспособность системы отопления. Точный расчет системы связан с решением большого числа нелинейных уравнений. Решение затрудняется при выполнении требований СНиП применять трубы по имеющемуся сортаменту. В этих условиях гидравлический расчет заключается в подборе по сортаменту площади поперечного сечения (диаметра) труб, достаточной для подачи нужного количества воды в приборы системы. Потери давления при перемещении требуемого количества воды по трубам принятого диаметра определяют гидравлическое сопротивление системы.

Гидравлическое сопротивление системы, как установлено, должно соответствовать действующей разности давления, а в расчетных условиях циркуляции воды — расчетному циркуляционному давлению (см. § 7.5).

Гидравлический расчет выполняют по пространственной схеме системы отопления, вычерчиваемой обычно в аксонометрической проекции. На схеме системы выявляют циркуляционные кольца, делят их на участки и наносят тепло-

Электронная библиотека http://tgv.khstu.ru/

вые нагрузки. В циркуляционное кольцо могут быть включены один (двухтрубная система) или несколько (однотрубная система) отопительных приборов и всегда теплогенератор, а также побудитель циркуляции теплоносителя в насосной системе отопления.

Участком называют трубу постоянного диаметра с одним и тем же расходом теплоносителя. Последовательно соединенные участки, образующие замкнутый контур циркуляции воды через теплогенератор, составляют **циркуляционное кольцо** системы.

Тепловая нагрузка прибора (точнее прибора с прилегающим этажестояком) принимается равной расчетным теплопотерям помещений $Q_п$ (за вычетом теплопоступлений, если они имеются).

Тепловая нагрузка участка $Q_{уч}$ составляется из тепловых нагрузок приборов, обслуживаемых протекающей по участку водой:

$$Q_{уч} = \Sigma Q_п. \tag{8.1}$$

Для участка подающего теплопровода тепловая нагрузка выражает запас теплоты в протекающей горячей воде, предназначенной для последующей (на дальнейшем пути воды) теплопередачи в помещения; для участка обратного теплопровода — потери теплоты протекающей охлажденной водой при теплопередаче в помещения (на предшествующем пути воды). Тепловая нагрузка участка предназначена для определения расхода воды на участке в процессе гидравлического расчета.

Расход воды на участке $G_{уч}$ при расчетной разности температуры воды в системе $t_г — t_о$ по аналогии с формулой (6.7) с учетом дополнительной теплоподачи в помещения

$$G_{уч} = \frac{Q_{уч}}{c\,(t_г - t_о)}\,\beta_1\beta_2, \tag{8.2}$$

где $Q_{уч}$ — тепловая нагрузка участка, найденная по формуле (8.1); β_1 и β_2 — поправочные коэффициенты, учитывающие дополнительную теплоотдачу в помещения [см. пояснения к формуле (4.21)]; c — удельная массовая теплоемкость воды, равная 4,187 кДж/(кг·К).

Для получения расхода воды на участке в кг/ч тепловую нагрузку в Вт следует выразить в кДж/ч, т. е. умножить на 3600 : 1000=3,6.

Пример 8.1. Тепловая нагрузка участка равна 7000 Вт (включая поправочные коэффициенты β_1 и β_2). Это означает, что вода,

Электронная библиотека http://tgv.khstu.ru/

протекающая на участке, передаст (или уже передала, если это участок обратного теплопровода) в помещения тепловой поток 7000 Вт. Если при этом вода охладится (или уже охладилась) от 95 до 70 °С, т. е. на 25 °С, то расход воды на участке по формуле (8.2) составит

$$G_{уч}=\frac{7000\cdot 3{,}6}{4{,}187\cdot 25}=240 \text{ кг/ч}.$$

Тепловая нагрузка системы отопления в целом равна сумме тепловых нагрузок всех приборов (теплопотерь помещений). По общей теплопотребности для отопления здания определяют **расход воды в системе** [формула (6.7)]

$$G_с=\frac{Q_с}{c\,(t_г-t_о)}=\frac{\Sigma Q_п}{c\,(t_г-t_о)}\beta_1\beta_2 \qquad (8.3)$$

[пояснения — см. формулу (8.2)].

Гидравлический расчет связан с тепловым расчетом отопительных приборов и труб. Требуется многократное повторение расчетов для выявления действительных расхода и температуры воды, необходимой площади приборов. Для этого используют ЭВМ. При расчете вручную сначала выполняют гидравлический расчет системы, принимая средние значения коэффициента местного сопротивления (КМС) приборов, затем — тепловой расчет труб и приборов.

Если в системе применяют конвекторы, в конструкцию которых входят трубы $D_у=15$ и 20 мм, то для более точного расчета предварительно определяют длину этих труб, а после гидравлического расчета с учетом потерь давления в трубах приборов, уточнив расход и температуру воды, вносят поправки в размеры приборов.

При гидравлическом расчете потери давления на каждом участке $\Delta p_{уч}$, Па, циркуляционных колец системы отопления определяют по формуле Дарси — Вейсбаха, известной из курса гидравлики

$$\Delta p_{уч}=\frac{\lambda}{d_в}l_{уч}\frac{\rho w^2}{2}+\Sigma\zeta_{уч}\frac{\rho w^2}{2}. \qquad (8.4)$$

По формуле (8.4) находят падение гидростатического давления в потоке воды вследствие **линейной потери** (первое слагаемое) при трении о стенки трубы и **местных сопротивлений** (второе слагаемое) из-за деформации потока в фасонных частях, арматуре и приборах.

В формуле (8.4)λ — коэффициент гидравлического трения, определяющий в долях гидродинамического давления ($\rho w^2/2$, Па)

Электронная библиотека http://tgv.khstu.ru/

линейную потерю гидростатического давления на длине трубы, равной ее внутреннему диаметру $d_в$, м; $l_{уч}$ — длина участка, м; $\Sigma\zeta_{уч}$ — сумма КМС на участке, выражающая местные потеря гидростатического давления в долях гидродинамического давления (значения КМС приведены в справочной литературе); ρ и w — соответственно средняя плотность, кг/м³, и скорость движения, м/с, воды на участке.

Коэффициент гидравлического трения λ зависит от режима движения жидкости (ламинарного или турбулентного) в трубах и приборах систем отопления.

При *ламинарном движении* воды коэффициент гидравлического трения по формуле Пуазейля с поправкой на шероховатость труб (действительная в диапазоне изменения числа Рейнольдса от 300 до 7000)

$$\lambda = \frac{64}{Re}\left[1 + 1\left(\frac{d_в}{k_э}\right)^{0,8}\right], \qquad (8.5)$$

где Re — число Рейнольдса ($Re = wd_в/\nu$); $k_э$ — эквивалентная шероховатость внутренней поверхности труб (в системах водяного отопления принимают $k_э = 0,2$ мм).

При *турбулентном движении* воды в трубах (во всей области турбулентного режима от гидравлически гладких до вполне шероховатых труб) наиболее часто (с учетом зарубежной практики) используют формулу Колбрука (в отечественной практике применяют также формулу А. Д. Альтшуля):

$$\frac{1}{\sqrt{\lambda}} = -2\lg\left(\frac{2,51}{Re\sqrt{\lambda}} + \frac{k_э}{3,7d_в}\right). \qquad (8.6)$$

Турбулентное движение воды наблюдается в современных насосных системах (особенно однотрубных) многоэтажных зданий.

Ламинарное движение встречается в чугунных отопительных приборах и в трубах систем с естественной циркуляцией воды малоэтажных зданий.

Коэффициент гидравлического трения дополнительно возрастает при малой скорости движения в связи со значительным охлаждением воды в трубах.

Коэффициент местного сопротивления (КМС) ζ зависит в основном от геометрической формы препятствий движению (арматура, приборы, воздухосборники, грязевики, коллекторы и т. п.), изменения направления движения и расхода воды (в тройниках, крестовинах, отводах, скобах, утках, калачах и других фасонных частях).

Электронная библиотека http://tgv.khstu.ru/

Значения КМС, как правило, определяют опытным путем и при гидравлических расчетах насосных систем отопления усредняют (хотя известно, что ζ увеличивается под влиянием вязкости при малой скорости движения воды). Для тройников и крестовин находят по отдельности значения КМС для прямых проходов и ответвлений, отнесенные к гидродинамическому давлению в потоках до их слияния или после деления в этих фасонных частях, т е к участкам с меньшим расходом воды Например, КМС равностороннего тройника при делении потока воды пополам составляют: на проходе 2,2, на ответвлении 5,4, при слиянии равных потоков соответственно 2,2 и 2,0 (число два означает, что потеря гидростатического давления при слиянии бокового потока с прямым равна двум единицам гидродинамического давления причем гидродинамическое давление подсчитано по значению скорости движения воды в боковом ответвлении).

§ 8.2. Способы гидравлического расчета системы водяного отопления

Гидравлический расчет системы водяного отопления выполняют различными способами. Рассмотрим наиболее распространенные способы.

Первый способ гидравлического расчета — по удельной линейной потере давления, когда подбирают диаметр труб при равных (применяют также термин постоянных) перепадах температуры воды во всех стояках и ветвях $\Delta t_{ст}$, таких же как расчетный перепад температуры воды во всей системе $\Delta t_с$

$$\Delta t_{ст} = \Delta t_с, \tag{8 7}$$

причем $\Delta t_с = t_г - t_о$.

Предварительно вычисляют расход воды на каждом участке по формуле (8 2). Потери давления на трение и местные сопротивления на участке определяют раздельно по преобразованной формуле (8.4)

$$\Delta p_{уч} = \left(\frac{\lambda}{d_в}\frac{\rho w^2}{2}\right) l_{уч} + \Sigma\zeta_{уч}\frac{\rho w^2}{2} = Rl_{уч} + Z, \tag{8 8}$$

где $R = \frac{\lambda}{d_в}\frac{\rho w^2}{2}$ — удельная потеря давления на трение на длине

Электронная библиотека http://tgv.khstu.ru/

1 м, Па/м;

$z=\Sigma\zeta_{уч}\frac{\rho w^2}{2}$ — потери давления на местные сопротивления, Па.

Потери давления в циркуляционном кольце системы: при последовательном соединении N участков

$$\Delta p_{общ}=\sum_{i=1}^{N}(Rl+Z)_i, \qquad (8\ 9)$$

т. е. равны сумме потерь давления на участках, составляющих кольцо;

при параллельном соединении двух участков, стояков или ветвей

$$\Delta p_i=\Delta p_j, \qquad (8\ 10)$$

т. е. потери давления на параллельно соединенных участках, стояках или ветвях равны.

Второй способ гидравлического расчета — **по характеристикам сопротивления и проводимостям**, когда устанавлнвают распределение потоков воды в циркуляционных кольцах системы и получают неравные (употребляют также термины — переменные, скользящие) перепады температуры воды в стояках и ветвях

$$\Delta t_{ст}\leqslant\Delta t_{с}. \qquad (8\ 11)$$

При этом допускают отклонение $\Delta t_{ст}$ от $\Delta t_{с}$ на ± 7 °С (при $t_{г}$ до 115 °С) и ограничивают минимальную температуру воды, уходящей из стояков и ветвей в расчетных условиях, 60 °С. Предварительно выбирают диаметр труб на каждом участке с учетом допустимой скорости движения воды и конструктивных соображений.

Потери давления на трение и местные сопротивления на участке определяют совместно по преобразованной формуле (8 4)

$$\Delta p_{уч}=\left(\frac{\lambda}{d_в}l_{уч}+\Sigma\zeta_{уч}\right)\frac{\rho w^2_{уч}}{2}=\left[A_{уч}\left(\frac{\lambda}{d_в}l_{уч}+\Sigma\zeta_{уч}\right)\right]\times$$

$$\times G^2_{уч}=S_{уч}G^2_{уч}, \qquad (8\ 12)$$

где $w_{уч}=4G_{уч}/(3600\rho\pi d^2_в)$ — скорость движения воды, м/с; $G_{уч}$ — расход воды на рассчитываемом участке, кг/ч; $A_{уч}$ — удельное гидродинамическое давленне на участке, Па/(кг/ч)^2, возникающее прн расходе воды 1 кг/ч, вычисляется по формуле (после подстанов-

Электронная библиотека http://tgv.khstu.ru/

ки значения π и преобразования)

$$A_{уч}=6{,}25/(10^8\rho d_в^4); \tag{8.13}$$

$S_{уч}$ — **характеристика гидравлического сопротивления** участка, Па/(кг/ч)^2, выражающая потери давления на участке при единичном расходе воды (1 кг/ч); определяется по формуле [см. формулу (8.12)]

$$S_{уч}=A_{уч}\left(\frac{\lambda}{d_в}l_{уч}+\Sigma\zeta_{уч}\right). \tag{8.14}$$

Потери давления на участке могут быть найдены помимо формулы (8.12), т. е. по зависимости $\Delta p_{уч}=S_{уч}G_{уч}^2$, еще и исходя из проводимости участка

$$\Delta p_{уч}=\left(\frac{G_{уч}}{\sigma_{уч}}\right)^2, \tag{8.15}$$

где $\sigma_{уч}$ — **проводимость** участка, кг/(ч·Па^{0,5}), показывающая расход воды при единичной потере давления на участке (1 Па).

Проводимость связана с характеристикой сопротивления зависимостью

$$\sigma=1/\sqrt{S}. \tag{8.16}$$

Характеристика сопротивления может быть получена как для отдельного участка, так и для нескольких участков, соединенных между собой последовательно или параллельно. Общая характеристика гидравлического сопротивления **последовательно соединенных** N участков (при одинаковых расходах теплоносителя на всех участках)

$$S_{общ}=\sum_{i=1}^{N}S_i, \tag{8.17}$$

т. е. равна сумме характеристик сопротивления участков.

Общая характеристика гидравлического сопротивления **параллельно соединенных** двух участков (характеристика сопротивления так называемого узла)

$$S_{уз}=\frac{1}{(\sigma_1+\sigma_2)^2}=\frac{1}{\left(\frac{1}{\sqrt{S_1}}+\frac{1}{\sqrt{S_2}}\right)^2}, \tag{8.18}$$

т. е. характеристика сопротивления узла параллельных участков равняется обратной величине квадрата суммы проводимостей участков, его составляющих (при условии равенства естественных циркуляционных давлений, действующих в кольцах, включающих параллельно соединенные участки).

Электронная библиотека http://tgv.khstu.ru/

В данном случае проводимости участков — σ_1 и σ_2. При включении в узел третьего параллельного участка с характеристикой сопротивления S_3 (проводимостью σ_3) в формулу (8.18) вводится третье слагаемое в скобки знаменателя — $1/\sqrt{S_3}$ (или σ_3).

Характеристики сопротивления узлов, соединенных последовательно с участками, суммируют с характеристиками сопротивления этих участков по формуле (8.17). Следовательно, характеристика сопротивления однотрубного стояка, состоящего из последовательно соединенных приборных узлов и участков

$$S_{ст} = \Sigma S_{уч} + \Sigma S_{уз}. \quad (8.19)$$

В сложные узлы могут объединяться параллельно соединенные и стояки и ветви системы для получения $S_с$ — характеристики сопротивления системы. Тогда потери давления в системе $\Delta p_с$ при известном расходе воды $G_с$ могут быть найдены по формуле, аналогичной формуле (8.12):

$$\Delta p_с = S_с G_с^2. \quad (8.20)$$

Гидравлический расчет по первому способу раскрывает физическую картину распределения сопротивлений в системе, но выполняется с невязками потерь давления в смежных циркуляционных кольцах. Вследствие этого на практике после окончания монтажных работ требуется проводить пусконаладочное регулирование системы во избежание нарушения расчетного распределения воды по приборам.

Гидравлический расчет по второму способу применяют при повышенной скорости движения воды в системе, когда возможно использование постоянных значений коэффициентов λ и ζ. В результате расчета определяются действительные значения расхода и температуры воды в ветвях, стояках и приборах системы отопления. Его использование для расчета систем с естественной циркуляцией преуменьшает потери давления и тем более, чем ниже скорость движения воды.

Известны также способы гидравлического расчета систем отопления по приведенным длинам и по динамическим давлениям, основанные также на формуле (8.4).

Приведенные длины участков включают дополнительные длины труб, эквивалентные по потерям давления поте-

Электронная библиотека http://tgv.khstu.ru/

рям на участках в местных сопротивлениях ($l_{пр}=l_{уч}+l_{экв}$). Способ приведенных длин применяется при гидравлических расчетах систем парового отопления высокого давления и наружных теплопроводов.

При гидравлическом расчете по динамическим давлениям ($p_{дин}=\rho w^2/2$), наоборот, к КМС участков прибавляют дополнительные КМС, эквивалентные по потерям давления линейным потерям на участках ($\Sigma\zeta_{пр}=\Sigma\zeta_{уч}+\Sigma\zeta_{экв}$). Способ динамических давлений целесообразно применять для расчета систем водяного отопления с короткими участками и многочисленными местными сопротивлениями.

§ 8.3. Гидравлический расчет системы водяного отопления по удельной линейной потере давления

Расчет начинают с основного циркуляционного кольца системы.

Основным считают циркуляционное кольцо, в котором расчетное циркуляционное давление $\Delta p_р$ (см. § 7.5), приходящееся на единицу длины кольца Σl, имеет наименьшее значение

$$\Delta p_1=\Delta p_р/\Sigma l. \qquad (8.21)$$

В вертикальной однотрубной системе — это кольцо через наиболее нагруженный стояк из удаленных от теплового пункта стояков при тупиковом движении воды или также через наиболее нагруженный стояк, но из средних стояков при попутном движении воды в магистралях.

В вертикальной двухтрубной системе — это кольцо через нижний отопительный прибор наиболее нагруженного из удаленных от теплового пункта стояков при тупиковом движении воды или наиболее нагруженного из средних стояков при попутном движении воды в магистралях.

В горизонтальной однотрубной системе многоэтажного здания основное циркуляционное кольцо выбирают по меньшему значению Δp_1 [выражение (8.21)] в двух циркуляционных кольцах через ветви на верхнем и нижнем этажах. Так же поступают при расчете системы с естественной циркуляцией воды, сравнивая значения Δp_1 в циркуляционных кольцах через отопительные приборы, находящиеся на различных расстояниях от теплового пункта.

Электронная библиотека http://tgv.khstu.ru/

При выборе диаметра труб в циркуляционном кольце исходят из принятого расхода воды и среднего ориентировочного значения удельной линейной потери давления $R_{ср}$, Па/м, определяемого по формуле (считая потери давления на трение равными 65% $\Delta p_р$)

$$R_{ср} = \frac{0{,}65\Delta p_р}{\Sigma l}, \qquad (8.22)$$

где Σl — общая длина последовательно соединенных участков, составляющих основное циркуляционное кольцо, м.

Гидравлический расчет проводят на ЭВМ или вручную, используя вспомогательные таблицы, составленные при усредненной плотности воды $\rho_{ср}$ с учетом зависимости коэффициента гидравлического трения от режима движения воды по формулам (8.5) и (8.6). Для примера ниже приведены выборки из этих таблиц (табл. 8.1 и 8.2).

Таблица 8.1. Удельные линейные потери давления R, Па/м ($t_г = 95 - 105$ °С, $t_о = 70$ °С, $k_э = 0{,}2$ мм)

Потери давления R, Па/м	Расход G, кг/ч (над чертой), и скорость движения воды w, м/с (под чертой), в стальных легких водогазопроводных трубах диаметром условного прохода, мм						
	10	15	20	25	32	40	50
140	128 / 0,273	236 / 0,321	519 / 0,393	1007 / 0,466	2099 / 0,561	3009 / 0,611	5878 / 0,726
150	132 / 0,283	245 / 0,332	538 / 0,407	1044 / 0,483	2175 / 0,581	3118 / 0,636	6090 / 0,752

Таблица 8.2. Потери давления в местных сопротивлениях Z, Па

Скорость движения воды w, м/с	Сумма коэффициентов местных сопротивлений						
	1	2	3	4	5	6	7
0,320	50,0	100	150	200	250	300	350
0,325	51,6	103	155	206	258	310	361
0,330	53,2	106	159	213	266	319	373

Электронная библиотека http://tgv.khstu.ru/

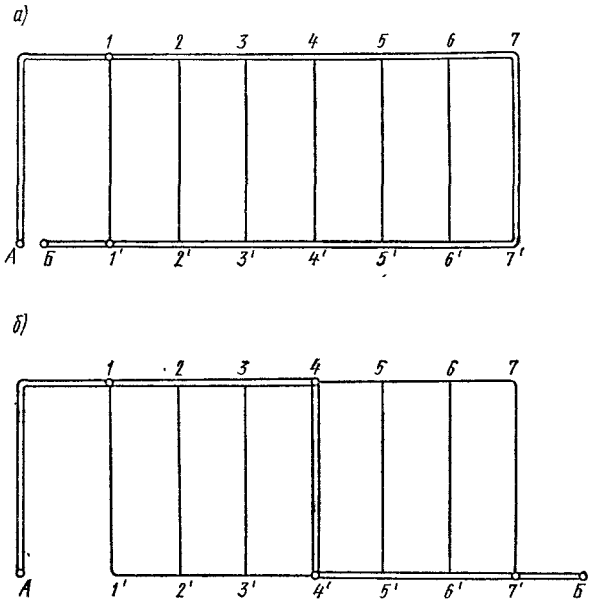

Рис. 8.1. Расчетные схемы циркуляционных колец вертикальных систем отопления с тупиковым (*а*) и попутным (*б*) движением воды в магистралях

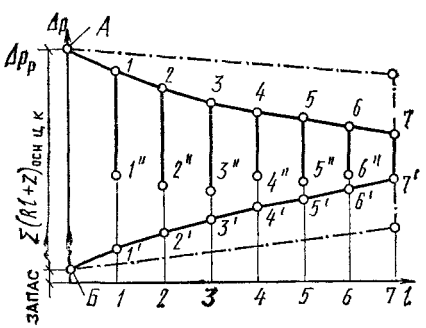

Рис. 8.2. Эпюра циркуляционного давления в системе отопления с тупиковым движением воды в магистралях (*1—7* — номера стояков)

Пример 8.2. По участку из легких водогазопроводных труб длиной 10 м протекает 240 кг/ч воды при температуре 95 °С (см. пример 8.1). При $D_у$ 15 по табл. 8.1 найдем, интерполируя, R = = 144 Па/м и w=0,326 м/с. При сумме коэффициентов местных сопротивлений $\Sigma\xi$=6 потери давления на участке по формуле (8.8) составят

$$\Delta p_{уч} = Rl + Z = 144 \cdot 10 + 312 = 1752 \text{ Па}.$$

Электронная библиотека http://tgv.khstu.ru/

Число 312 найдено по табл. 8.2 при $w=0{,}326$ м/с и $\Sigma\zeta=6$.

Потери давления в основном циркуляционном кольце, состоящем из N последовательно соединенных участков, рассчитанные по рассматриваемому способу по формуле (8.9)

$$\sum_{i=1}^{N}(Rl+Z)_i=(0{,}9\ \ldots\ 0{,}95)\,\Delta p_{\text{р}}, \qquad (8.23)$$

т. е. должны быть меньше расчетного циркуляционного давления $\Delta p_{\text{р}}$ на 5—10% (запас, учитывающий дополнительную потерю давления вследствие отступления от проекта при монтаже системы).

На рис. 8.1, *а* двойными линиями показаны участки основных циркуляционных колец систем отопления с тупиковым, на рис. 8.1, *б* с попутным движением воды в магистралях. Цифрами *1—7* отмечены точки присоединения соответствующих стояков к подающей магистрали, цифрами *1′—7′* — к обратной магистрали.

Гидравлический расчет основного циркуляционного кольца системы с тупиковым движением воды дает возможность установить изменение давления по всей длине подающих и обратных магистралей. После расчета строят эпюру циркуляционного давления в магистралях. По горизонтали наносят длину участков магистралей и отмечают номера стояков, по вертикали откладывают потери давления на участках магистралей и в стояке (стояк *7* на рис. 8.1), входящем в основное циркуляционное кольцо (рис. 8.2). Падение циркуляционного давления по длине каждого участка магистралей считают равномерным (изображено на рисунке наклонными сплошными линиями). Общие потери давления на всех участках стояка *7* выражены вертикальным отрезком *7—7′*.

По эпюре выявляют располагаемое циркуляционное давление в точках присоединения к магистралям промежуточных стояков (стояков *1—6* на рис. 8.2), входящих во второстепенные циркуляционные кольца, к расчету которых переходят после расчета основного циркуляционного кольца.

Второстепенные циркуляционные кольца состоят из общих участков основного кольца (уже рассчитанных) и дополнительных (не общих) участков, еще не рассчитанных. Их гидравлический расчет проводится с увязкой по-

Электронная библиотека http://tgv.khstu.ru/

терь давления. Термин **«увязка»** означает получение равенства потерь давления на параллельно соединенных дополнительных участках какого-либо второстепенного кольца и не общих участках основного кольца [согласно формуле (8.10)]. Следовательно, в каждом новом кольце рассчитываются только дополнительные (не общие) участки, в данном случае только промежуточные стояки. Для увязки потери давления в любом промежуточном стояке $\Sigma (Rl+Z)_{ст}$ должны равняться располагаемому циркуляционному давлению $\Delta p_{р.ст}$, фактически заданному в результате расчета основного кольца (на эпюре выражено разностью давления в точках присоединения стояка к магистралям).

Итак, гидравлический расчет второстепенных циркуляционных колец в системе с тупиковым движением воды в магистралях сводится к расчету промежуточных стояков с получением равенства:

$$\Sigma (Rl+Z)_{ст} = \Delta p_{р.\,ст}, \qquad (8.24)$$

где $\Delta p_{р.ст}$ — располагаемое циркуляционное давление, полученное в результате расчета основного циркуляционного кольца.

Следовательно, располагаемое циркуляционное давление $\Delta p_{р.ст}$ должно быть равно потерям давления (уже известным) на участках основного кольца, замыкающих рассматриваемый стояк. Таким образом, для двухтрубной системы

$$\Delta p_{р\ ст} = \Sigma (Rl+Z)_{ос}; \qquad (8.25)$$

для однотрубной системы

$$\Delta p_{р.\,ст} = \Sigma (Rl+Z)_{ос} + (\Delta p_{е.\,вт} - \Delta p_{е.\,ос}) \qquad (8.26)$$

с поправкой на разность естественного циркуляционного давления во второстепенном и основном кольцах.

Например, для стояка *1* (рис. 8.1, *а*) по формуле (8.25)

$$\Delta p_{р.\,ст} = \Sigma (Rl+Z)_{1-7-7'-1'}.$$

В системах с тупиковым движением воды затруднительно при ограниченном сортаменте труб достигнуть выполнения равенства по формуле (8.24). Поэтому при определении потерь давления в промежуточных стояках допускают невязку до 15% с располагаемым циркуляционным давлением.

Электронная библиотека http://tgv.khstu.ru/

На рис. 8.2 показано, что потери давления в циркуляционных кольцах различной длины не одинаковы. Наибольшие потери давления имеют место в основном циркуляционном кольце через дальний от теплового пункта (и наиболее нагруженный) стояк *7*, наименьшие — во второстепенном кольце через ближний стояк *1*. Избыток циркуляционного давления — невязка (изображенный на рисунке ординатой *1′—1″*) вызовет, если он превышает $0{,}15\Delta p_{\text{р.ст}}$, недопустимое перераспределение количества воды, протекающей в магистралях и стояках. В результате возникнет горизонтальное разрегулирование системы с отклонением от расчетных расхода и температуры воды, а также теплопередачи приборов.

Во избежание разрегулирования системы потери давления (гидравлическое сопротивление) во всех циркуляционных кольцах можно привести в соответствие с расчетным циркуляционным давлением путем поглощения избытка давления диафрагмами на стояках. Возможен и другой, более рациональный путь: вычисляют по второму способу действительные расход и температуру обратной воды в каждом стояке и вносят исправления в расчетную площадь приборов. Для этого по располагаемому циркуляционному давлению $\Delta p_{\text{р.ст}}$ определяют перепад температуры воды в стояках $\Delta t_{\text{ст}}$ по формуле

$$\Delta t_{\text{ст}} = \frac{Q_{\text{ст}}\beta_1\beta_2}{c\sigma_{\text{ст}}\sqrt{\Delta p_{\text{р. ст}}}}, \qquad (8.27)$$

где $\sigma_{\text{ст}}$ — проводимость стояка, кг/(ч·Па^{0,5}), вычисляемая по формулам (8.16) и (8.19).

При гидравлическом расчете системы **с попутным движением воды** в магистралях эпюру циркуляционного давления строят после расчета не только основного, но и еще двух второстепенных циркуляционных колец — через ближний и дальний (от теплового пункта) стояки. Гидравлический расчет второстепенных колец, как уже известно, сводится к расчету только дополнительных (не общих) участков, не входящих в основное кольцо. При этом увязываются потери давления в параллельно соединенных участках второстепенного и основного колец по формулам (8.24)—(8.26). Например, для расчета дополнительных участков, относящихся к второстепенному циркуляционному коль-

Электронная библиотека http://tgv.khstu.ru/

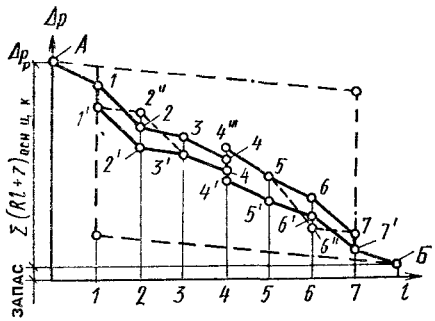

Рис. 8.3. Эпюра циркуляционного давления в двухтрубной системе отопления с попутным движением воды в магистралях (*1—7* — номера стояков)

цу через стояк *1* (см. рис. 8.1, *б*), по формуле (8.25)

$$\Delta p_{\text{р. ст. 1}} = \Sigma\,(Rl + Z)_{1-4-4'},$$

а через стояк *7*

$$\Delta p_{\text{р ст. 7}} = \Sigma\,(Rl + Z)_{4-4'-7'}.$$

В системах с попутным движением воды сравнительно легко при одинаковой длине циркуляционных колец (это их отличительный признак) добиться выполнения равенства по формуле (8.24). Поэтому невязка при расчете допустима не более ±5%.

На рис. 8.3 показана эпюра циркуляционного давления в двухтрубной системе, построенная после гидравлического расчета трех циркуляционных колец через средней, ближний и дальний стояки (на рисунке показаны невязки расчета *4′—4″* и *4—4‴*). Незначительные погери давления в стояках (вертикальные отрезки на рисунке *1—1′*, *2—2′* и т. д.) характерны для двухтрубной системы.

Давление в подающей магистрали должно быть больше, чем в обратной Обратное соотношение давления в магистралях вызовет циркуляцию охлажденной воды через отопительные приборы — «обратную» циркуляцию. Это недопустимое явление станет возможным в стояке *2*, если давление в точке *2′* обратной магистрали в результате ошибочного выбора диаметра двух участков магистрали, прилегающих к точке *2′*, повысится до давления *2″*, или в стояке *6*, если давление в точке *6* подающей магистрали понизится до давления *6″*. На рисунке пунктиром показано изменение давления в участках магистралей, вызывающее «обратную» циркуляцию воды через отопительные приборы стояков *2* и *6*. Опасность опрокидывания циркуляции воды в стоя-

Электронная библиотека http://tgv.khstu.ru/

ках систем с попутным движением ее в магистралях подчеркивает необходимость гидравлического расчета таких систем с невязкой не более ±5%.

Гидравлический расчет промежуточных стояков (стояки *2*, *3*, *5*, *6* на рис. 8.1, *б*), входящих во второстепенные циркуляционные кольца, подобен расчету аналогичных стояков в системе с тупиковым движением воды [формула (8.24)].

Для надежного сохранения расчетной пропорциональности распределения воды между стояками в течение отопительного сезона, т. е. для обеспечения горизонтальной устойчивости системы, потери давления в стояках (или ветвях) должны преобладать: их необходимо принимать не менее 70% общей потери давления в рассчитываемом кольце. Эпюры циркуляционного давления при относительно низком сопротивлении магистралей и высоком сопротивлении стояков схематично даны штрихпунктирными линиями на рис. 8.2 и 8.3. Подобный вид сравнительно легко можно придать эпюре вертикальной однотрубной системы отопления многоэтажного здания, уменьшая диаметр стояков. В двухтрубной системе для этого потребуется увеличить гидравлическое сопротивление подводок ко всем отопительным приборам. Это делают путем установки на подводках кранов КРП с дросселирующим устройством (см. рис. 5.13). Последнее, кроме того, способствует повышению вертикальной тепловой устойчивости двухтрубных стояков.

После гидравлического расчета основного и второстепенных циркуляционных колец вертикальной системы отопления выполняют дополнительные гидравлические расчеты отдельных стояков и малых циркуляционных колец.

При гидравлическом расчете стояков **вертикальной однотрубной системы** каждый стояк рассматривается как один общий расчетный участок. Если применяются унифицированные приборные узлы, то потери давления в них определяются по суммам КМС, приведенным в справочной литературе. Лишь для нетиповых стояков в отдельных случаях приходится рассчитывать распределение потоков воды в трубных узлах, состоящих из неравных по диаметру и длине параллельных участков. В таких случаях (рис. 8.4) предварительно находят расходы воды G_1 и G_2 в параллельных участках (или их отношение, если общий расход не известен), используя зависимость расхода воды от проводи-

Электронная библиотека http://tgv.khstu.ru/

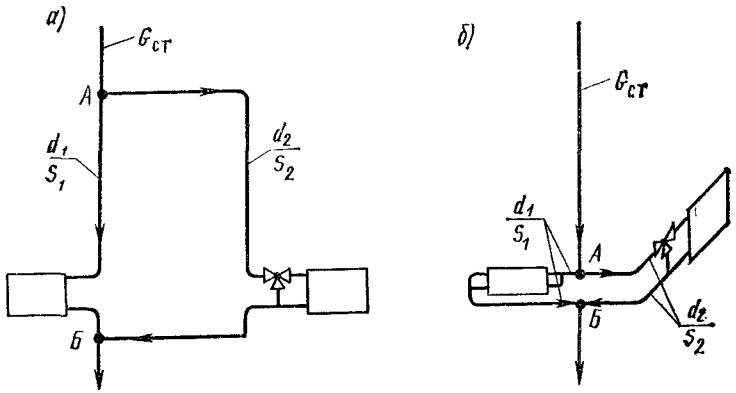

Рис. 8.4. Схемы нетиповых однотрубных узлов

а — с ответвлением к прибору, удаленному от стояка; *б* — с приборами различного вида; S_1 и S_2 — характеристики сопротивления параллельно соединенных участков между точками *А* и *Б*

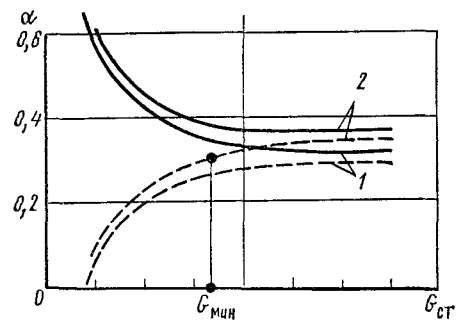

Рис. 8.5. Изменение коэффициента затекания воды в отопительные приборы однотрубных стояков с замыкающими осевыми (*1*) и смещенными (*2*) участками при движении воды в стояках в количестве $G_{ст}$ сверху вниз (сплошные линии) и снизу вверх (пунктирные линии)

мости участков

$$\frac{G_1}{G_2}=\frac{\sigma_1}{\sigma_2}, \qquad (8.28)$$

где σ_1 и σ_2 — проводимости параллельных участков между точками *А* и *Б* (рис. 8.4), кг/(ч·Па^{0,5}); определяются по формуле (8.16).

При гидравлическом расчете однотрубных стояков с замыкающими участками количество воды, затекающее в отопительные приборы, рассчитывается отдельно по формуле (8.28) или принимается по значению коэффициента затекания воды, указанному в справочной литературе.

Отношение расходов воды в приборе $G_{пр}$ и стояке $G_{ст}$ называют **коэффициентом затекания** воды в прибор

$$\alpha = G_{пр}/G_{ст}. \qquad (8.29)$$

Электронная библиотека http://tgv.khstu.ru/

Следует стремиться к повышению коэффициента затекания воды: чем больше α, тем выше будет температура воды в приборе и меньше его площадь.

Значение коэффициента затекания воды зависит прежде всего от направления движения и расхода воды в стояках: при движении воды сверху вниз α возрастает по мере сокращения ее расхода, при движении воды снизу вверх — уменьшается (рис. 8.5). Поэтому в последнем случае устанавливают некоторый минимальный расход воды в стояке, при котором еще целесообразно применение замыкающих участков у приборов ($G_{мин}$ на рис. 8.5). Например, если диаметр труб стояка, замыкающих участков и подводок 15 мм, то при расходе воды менее 200 кг/ч следует переходить к однотрубному стояку проточному или с трехходовыми кранами и обходными участками.

Значения коэффициента затекания воды повышаются в следующих случаях: при смещении замыкающего участка от оси стояка (рис. 8.5), увеличении диаметра и сокращении длины подводок к прибору, уменьшении диаметра замыкающего участка (вследствие этого, например, можно сократить $G_{мин}$ до 150—170 кг/ч, если замыкающий участок имеет диаметр 15 мм при диаметре труб стояка и подводок 20 мм).

При гидравлическом расчете **подводок к приборам однотрубных стояков с замыкающими участками** располагаемое циркуляционное давление, действующее в малом циркуляционном кольце, определяется по формуле

$$\Delta p_{р.мал} = \Sigma (Rl + Z)_{з.у} \pm \Delta p_{е.мал}, \qquad (8.30)$$

где $\Sigma (Rl+Z)_{з.у}$ — потери давления в замыкающем участке, известные из гидравлического расчета стояка; $\Delta p_{е.мал}$ — естественное циркуляционное давление в малом циркуляционном кольце по формуле (7.30) или (7.30*а*); знак плюс соответствует движению воды в стояке сверху вниз, знак минус — снизу вверх.

Если при гидравлическом расчете стояка коэффициент затекания воды α выбран правильно, то потери давления в подводках к приборам должны равняться $\Delta p_{р.мал}$ по формуле (8.30), т. е. будет достигнута увязка действующих давлений. В противном случае находят путем повторных расчетов фактические значения α, необходимые для уточнения площади приборов.

Пример 8.3. Выполним гидравлический расчет основного циркуляционного кольца из легких водогазопроводных труб вертикаль-

Электронная библиотека http://tgv.khstu.ru/

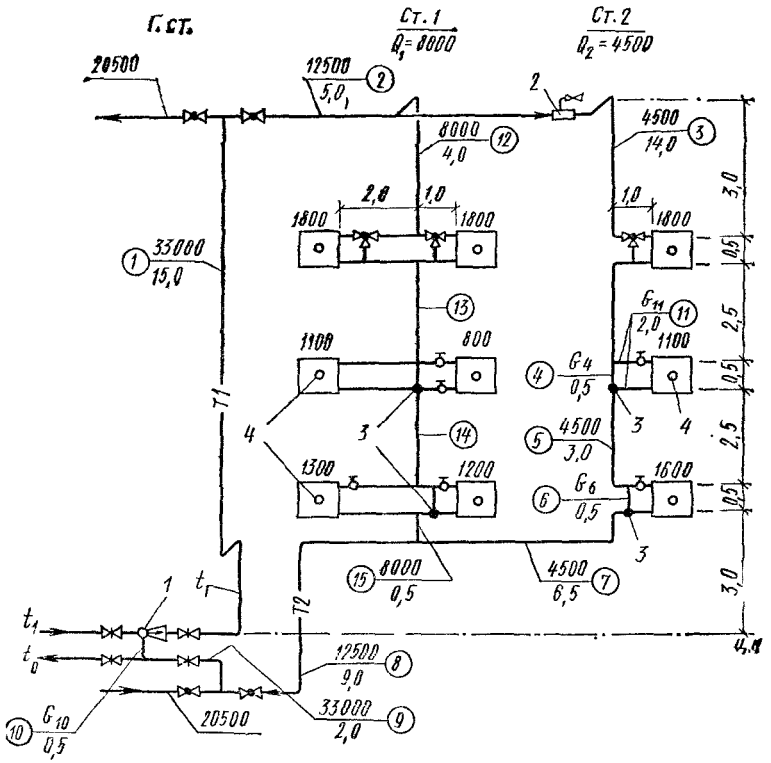

Рис. 8.6. Схема вертикальной однотрубной системы водяного отопления с верхней разводкой и тупиковым движением воды в магистралях (к примеру 8.3)

1 — водоструйный элеватор; *2* — воздухосборник; *3* и *4* — центры охлаждения воды соответственно в стояках и приборах; ц. н. — центр нагревания воды

ной однотрубной системы водяного отопления трехэтажного здания, присоединенной через водоструйный элеватор к наружным теплопроводам, при параметрах теплоносителя t_1=150 °С, $t_г$= =95 °С, t_0=70 °С. Тепловые нагрузки приборов, стояков и участков (Вт), длины участков указаны на схеме (рис. 8.6). Приборы (радиаторы РСВ) установлены у остекления световых проемов, присоединены к стоякам без уток со смещениями обходными участками в третьем этаже (с кранами КРТ), с осевыми замыкающими участками во втором и со смещенными замыкающими участками в первом (с кранами КРП) этаже.

Основное циркуляционное кольцо выбираем при тупиковом движении воды в магистралях через стояк 2; длина кольца 56 м (принимая, что правая ветвь системы значительно длиннее левой).

Электронная библиотека http://tgv.khstu.ru/

Расчетное циркуляционное давление по формуле (7.38), пренебрегая как незначительной величиной $\Delta p_{\text{е. тр}}$, $\Delta p_{\text{р}} = \Delta p_{\text{н}} + \Delta p_{\text{е. пр}} = 5600 + 980 = 6580$ Па, принимая $\Delta p_{\text{н}} = 5600$ Па по формуле (6.10) и определяя по формуле (7.28) и по таблицам Справочника проектировщика

$$\Delta p_{\text{е. пр}} = \frac{0{,}64 \cdot 9{,}81}{4{,}187 \cdot 180}(1600 \cdot 3 + 1100 \cdot 6 + 1800 \cdot 9{,}25)\, 3{,}6 \cdot 1{,}06 \cdot 1{,}10 = 980 \text{ Па}$$

при расходе воды в стояке по формуле (7.23)

$$G_{\text{ст}} = \frac{4500 \cdot 3{,}6 \cdot 1{,}06 \cdot 1{,}10}{4{,}187\,(95 - 70)} = 180 \text{ кг/ч}.$$

Средняя удельная линейная потеря давления по формуле (8.22)

$$R_{\text{ср}} = \frac{0{,}65 \cdot 6580}{56} = 76 \text{ Па/м}.$$

Результаты гидравлического расчета (по табл. II.1, II.3 в Справочнике проектировщика) вносим в бланк (табл. 8.3).

Таблица 8.3. Гидравлический расчет основного циркуляционного кольца вертикальной одиотрубной системы водяного отопления

Данные по схеме				Принято						
участок	Q, Вт	G, кг/ч	l, м	$D_{\text{у}}$, мм	w, м/с	R, Па/м	Rl, Па	$\Sigma\zeta$	Z, Па	$Rl+Z$, Па
1	33 000	1320	15,0	32	0,355	57	855	2,0	123	978
2	12 500	500	5,0	20	0,38	130	650	11,9	840	1490
3	4500	180	14,0	15	0,245	83	1162	15,35	450	1612
4	—	120	0,5	15	0,16	39	20	2,3	29	49
5	4500	180	3,0	15	0,245	83	249	0,8	24	273
6	—	90	0,5	15	0,12	23	12	7,4	52	64
7	4500	180	6,5	15	0,245	83	540	6,4	188	728
8	12 500	500	9,0	25	0,23	37	333	10,5	272	605
9	33 000	1320	2,0	32	0,355	57	114	1,0	62	176
10	—	907,5	0,5	25	0,42	115	58	1,2	103	161
			$\Sigma l = 56{,}0$				$\Sigma Rl = 3993$	$\Sigma Z = 2143$		6136

Примечания: 1. Расход воды на участке *4* при $\alpha = 0{,}33$ (по табл. 9.3) $G_4 = (1 - 0{,}33)\ 180 = 120$ кг/ч; 2. Расход воды на участке *6* при $\alpha = 0{,}5$. $G_6 = 0{,}5 \cdot 180 = 90$ кг/ч. 3. Расход воды на участке *10* по формулам (6.12) и (6.15) —

$$G_{10} = G_{\text{с}} - G_1 = 1320 - \frac{33000 \cdot 3{,}6 \cdot 1{,}06 \cdot 1{,}10}{4{,}187\,(150 - 70)} = 907{,}5 \text{ кг/ч},$$

Электронная библиотека http://tgv.khstu.ru/

По Справочнику проектировщика проверим правильность выбора коэффициентов затекания воды в приборы. По формуле (10.39) найдем для приборов:

на втором этаже $S_e = 31 \cdot 0{,}64 \cdot 0{,}5 \cdot 1100 : 180^3 = 18{,}7 \cdot 10^{-4}$;

на первом этаже $S_e = 31 \cdot 0{,}64 \cdot 0{,}5 \cdot 1600 : 180^3 = 27{,}2 \cdot 10^{-4}$.

Так как полученные значения S_e меньше предельных, указанных в табл. 10.11, то коэффициенты затекания воды α (см. примечания 1 и 2 к табл. 8.3) могут быть оставлены без изменения.

Запас давления в основном циркуляционном кольце

$$\frac{6580 - 6136}{6580} 100 = 6{,}75\ \%$$

удовлетворяет условию, выраженному формулой (8.23).

При расчете приняты следующие значения коэффициентов местных сопротивлений на участках (по табл. II.10—II.15 Справочника проектировщика), причем для смежных участков местное сопротивление тройника отнесено к участку с меньшей тепловой нагрузкой.

Участок 1: задвижка D_y 40	0,5
отводы D_y 32, 3 шт.	$0{,}5 \cdot 3 = 1{,}5$
	$\Sigma\zeta_1 = 2{,}0$
Участок 2: тройник на растекании при $\overline{G}_{отв} = G_{отв}/G_{ств} = 500 : 1320 = 0{,}38$	10,1
кран пробочный проходной D_y 20 . . .	1,8
	$\Sigma\zeta_2 = 11{,}9$
Участок 3: тройник на проходе при $\overline{G}_{прох} = 180 : 500 = 0{,}36$	4,8
воздухосборник	1,5
отводы D_y 15, 4 шт.	$0{,}8 \cdot 4 = 3{,}2$
тройник на проходе при $\overline{G}_{прох} = 1$ . .	0,7
радиатор РСВ при D_y 15	0,75
кран трехходовой D_y 15 при проходе . .	4,4
	$\Sigma\zeta_3 = 15{,}35$
Участок 4: два тройника на проходе при $\overline{G}_{прох} = 1 - \alpha = 1 - 0{,}33 = 0{,}67$	$\Sigma\zeta_4 = 1{,}14 \times 2 \approx 2{,}3$
Участок 5: отвод D_y 15	$\zeta_5 = 0{,}8$
Участок 6: тройник на ответвлении при $\overline{G}_{отв} = 1 - 0{,}5 = 0{,}5$ и делении потока .	5,4
то же, при слиянии потоков	2,0
	$\Sigma\zeta_6 = 7{,}4$
Участок 7: отводы D_y 15, 2 шт.	$0{,}8 \cdot 2 = 1{,}6$
тройник на проходе при $\overline{G}_{прох} = 0{,}36$.	4,8
	$\Sigma\zeta_7 = 6{,}4$

Электронная библиотека http://tgv.khstu.ru/

Участок 8: отводы $D_у$ 25, 2 шт.	$0,5 \cdot 2 = 1,0$
кран пробочный проходной $D_у$ 25	1,7
тройник на противотоке при $\bar{G}_{отв} = 500:1320 = 0,38$	7,8
	$\Sigma\zeta_8 = 10,5$
Участок 9: отвод $D_у$ 32	0,5
задвижка $D_у$ 40	0,5
	$\Sigma\zeta_9 = 1,0$
Участок 10: тройник на ответвлении при $\bar{G}_{отв} = 907,5:1320 = 0,7$ и делении потока	$\zeta_{10} = 1,2$

Пример 8.4. Определим располагаемое циркуляционное давление и среднюю удельную линейную потерю давления для гидравлического расчета второстепенного циркуляционного кольца однотрубной системы отопления, изображенной на рис. 8.6.

Гидравлический расчет второстепенного кольца через стояк *1* сводится в данном случае к расчету самого стояка *1*. Располагаемое циркуляционное давление для расчета стояка *1* определяем по формуле (8.26)

$$\Delta p_{р\ ст.\ 1} = \Sigma (Rl + Z)_{3-7} + (\Delta p_{е.\ ст.\ 1} - \Delta p_{е.\ ст.\ 2}) = 2726 + (1027 - 980) = 2773 \text{ Па},$$

где $\Delta p_{е.\ ст.\ 1} = \dfrac{0,64 \cdot 9,81}{4,187 \cdot 320}(2500 \cdot 3 + 1900 \cdot 6 + 3600 \cdot 9,25)\, 3,6 \cdot 1,06 \cdot 1,10 = 1027$ Па.

Среднее значение линейной потери давления $R_{ср}$ вычисляем по формуле (8.22) при $\Sigma l = 15,5$ м

$$R_{ср} = 0,65 \cdot 2773 : 15,5 = 116 \text{ Па/м}.$$

В результате гидравлического расчета аналогично расчету в примере 8.3 определяем $d_{ст} = 20$ мм, $d_{з\ у} = d_{подв} = 15$ мм.

Пример 8.5. Выполним гидравлический расчет малого циркуляционного кольца отопительного прибора на втором этаже в стояке *2* рассмотренной в примере 8.3 однотрубной системы отопления (рис. 8.7). Расход воды в стояке $G_{ст} = 180$ кг/ч.

Располагаемое циркуляционное давление в малом кольце определяем по формуле (8.30) при движении воды сверху вниз

$$\Delta p_{р.\ мал} = \Sigma (Rl + Z)_{з.\ у} + \Delta p_{е.\ мал} = 49 + 29 = 78 \text{ Па},$$

где $\Sigma (Rl + Z)_{з.\ у} = \Sigma (Rl + Z)_4 = 49$ Па

(по табл. 8.3 исходя из коэффициента затекания воды в прибор $\alpha = 0,33$);

$\Delta p_{е.\ мал} = 0,5 \beta g h_{пр} (t_{вх} - t_{вых}) = 0,5 \cdot 0,64 \cdot 9,81 \cdot 0,5 \cdot 18,5 = 29$ Па по формуле (7.30), принимая $\rho_{вых} - \rho_{вх} = \beta (t_{вх} - t_{вых})$;

$$t_{вх} - t_{вых} = \frac{Q_т}{cG_{пр}} = \frac{1100 \cdot 3,6 \cdot 1,06 \cdot 1,10}{4,187 \cdot 0,33 \cdot 180} = 18,5\ ^\circ\text{C}$$

из формулы (4.3).

Электронная библиотека http://tgv.khstu.ru/

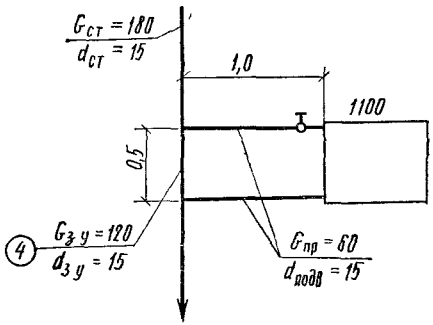

Рис. 8.7. Схема малого циркуляционного кольца в стояке с замыкающими участками вертикальной однотрубной системы водяного отопления с верхней разводкой (к примеру 8.5); 1100 — тепловая нагрузка, Вт

Результаты гидравлического расчета (по табл. II.1, II.3 в Справочнике проектировщика) вносим в табл. 8.4.

Таблица 8.4. Гидравлический расчет подводок к отопительному прибору на втором этаже (стояк *2*)

Участок	Q, Вт	G, кг/ч	l, м	$D_у$, мм	w, м/с	R, Па/м	Rl, Па	$\Sigma\zeta$	Z, Па	$Rl+Z$, Па
11	—	60	2	15	0,081	10	20	14,6	47	67

Значения коэффициентов местных сопротивлений (по табл. II.10—II.15) в Справочнике проектировщика):

тройник на ответвлении при $\alpha = 0{,}33$ и делении потока	11,1
то же, при слиянии потоков	—1,65
радиатор РСВ при $D_у$ 15	0,75
кран КРП $D_у$ 15	4,4
	$\Sigma\zeta = 14{,}6$

Получено $\Sigma(Rl+Z)_{подв} < \Delta p_{р.\,мал}$.

Следовательно, действительный коэффициент затекания воды будет несколько больше принятого при расчете. Невязка не превышает 15%, поэтому расчет оставляем без изменения.

Пример 8.6. Выполним гидравлический расчет основного циркуляционного кольца насосной (элеваторной) двухтрубной системы водяного отопления с нижней разводкой и попутным движением воды в магистралях из труб по ГОСТ 10704—76* (рис. 8.8) при расчетной температуре воды $t_г = 95$ °С, $t_о = 70$ °С. Отопительные приборы — стальные панельные радиаторы РСГ-2, размещенные у остекления световых проемов.

Насосное циркуляционное давление, передаваемое в систему через элеватор, составляет $\Delta p_н = 10$ кПа.

Электронная библиотека http://tgv.khstu.ru/

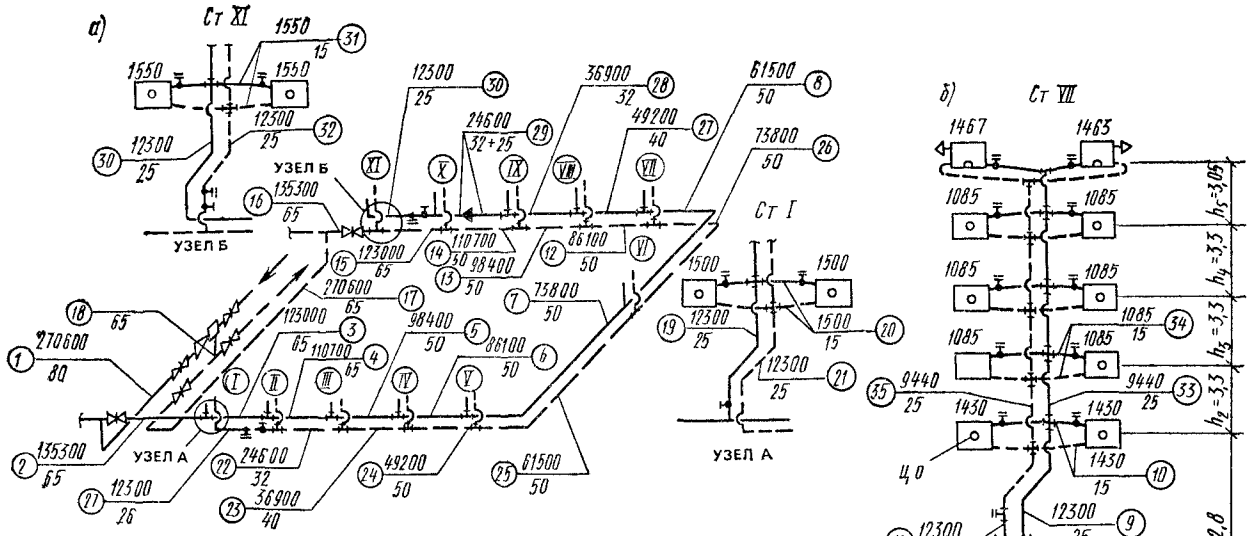

Рис. 8.8. Расчетная схема насосной (элеваторной) двухтрубной системы водяного отопления с нижней разводкой и попутным движением воды в магистралях (к примеру 8.6)

а — схема магистралей; *б* — схема стояка *VII* (остальные стояки аналогичны по конструкции и тепловой нагрузке); *1, 2, . . .* — номера расчетных участков; *I, II, ...* — номера стояков, ц. н. — центр нагревания воды

Электронная библиотека http://igv.khstu.ru/

Выбираем **основное циркуляционное кольцо** через один из средних стояков VII и отопительный прибор на первом этаже.

Вычисляем по формулам (7.39) и (7.33) расчетное циркуляционное давление, заменяя $\rho_0-\rho_г=\beta(t_г-t_0)$ [см. формулу (7.26)] и принимая $\beta=0{,}64$ кг/(м³·°С) по табл. 10.4 Справочника проектировщика и $h_1=2{,}8$ м:

$$\Delta p_р=10\,000+0{,}4\cdot0{,}64\cdot9{,}81\cdot2{,}8\,(95-70)=10176\text{ Па}.$$

Определяем по формуле (8.22) среднее ориентировочное значение удельной линейной потери давления

$$R_{ср}=\frac{0{,}65\cdot10176}{123{,}7}=53{,}5\text{ Па/м}.$$

Заполняем в расчетном бланке (табл. 8.5) первые четыре колонки, беря показатели со схемы системы (рис. 8.8) и вычисляя расход воды на участках G по формуле (8.2) при $\beta_1=1{,}06$ и $\beta_2=1{,}10$. Общая длина участков основного циркуляционного кольца 123,7 м.

По расходу воды на участках выбираем диаметр труб $D_у$, ориентируясь на значение $R_{ср}$, записываем в таблицы скорость движения воды w и действительные значения удельной линейной потери давления R. Затем вычисляем линейные потери давления на участках Rl.

Первоначальный запас $\dfrac{10176-8138}{10176}100=20\,\%$.

После уменьшения диаметра участка *17* запас циркуляционного давления в системе

$$\frac{\Delta p_р-\sum^{N}(Rl+Z)}{\Delta p_р}100=\frac{10176-(8138+1018)}{10176}100=10\,\%.$$

Сумма коэффициентов местных сопротивлений на участках магистралей и стояка найдена как и для системы в примере 8.3; например, для подводок к радиатору (участок *10*) она составляет:

крестовина на ответвлении при делении потока при $\bar{d}_{отв}=15:25=0{,}59$, $\bar{G}_{отв}=57:492=0{,}11$ и $\bar{G}_{отв.1}=\bar{G}_{отв.2}$	15,3
кран двойной регулировки $D_у$ 15 мм	14,0
радиатор РСГ-2 при $D_у$ 15 мм	1,2
крестовина на ответвлении при слиянии потоков при $\bar{d}_{отв}=0{,}59$, $\bar{G}_{отв.1}=\bar{G}_{отв.2}=0{,}11$	−2,4
$\Sigma\zeta_{10}=28{,}1$	

В результате расчета для получения равенства (8.23) потребовалось уменьшить диаметр участка *17* (устаревшие данные в табл. 8.5 заключены в скобки), так как первоначально был получен запас циркуляционного давления (20%), значительно превышающий 10%.

Пример 8.7. Выполним гидравлический расчет двух **второстепенных** циркуляционных колец системы отопления по условиям

Электронная библиотека http://tgv.khstu.ru/

Таблица 8.5. Гидравлический расчет основного циркуляционного кольца двухтрубной системы водяного отопления

Участок	Данные по схеме			Принято							Разница $Rl+Z$, Па
	Q, Вт	G, кг/ч	l, м	$D_у$, мм	w, м/с	R, Па/м	Rl, Па	$\Sigma\zeta$	Z, Па	$Rl+Z$, Па	
Основное циркуляционное кольцо через стояк *УП* и прибор на первом этаже, $\Delta p_р = 10\,176$ Па, $R_{ср} = 53{,}5$ Па/м											
1	270 600	10 800	9,0	80	0,56	48	432	0,8	123	555	
2	135 300	5400	8,0	65	0,39	30	240	6,8	506	746	
3	123 000	4920	8,0	65	0,355	25	200	0,2	12	212	
4	110 700	4430	8,0	65	0,32	21	168	0,2	10	178	
5	98 400	3930	8,0	50	0,52	78	624	0,2	26	650	
6	86 100	3450	6,0	50	0,46	60	360	0,2	21	381	
7	73 800	2950	12,0	50	0,39	45	540	0,5	37	577	
8	61 500	2460	12,0	50	0,33	31	372	0,5	27	399	
9	12 300	493	1,8	25	0,24	42	76	8,4	236	312	
10	1 430	57	3,0	15	0,083	12	36	28,1	95	131	
11	12 300	493	1,4	25	0,24	42	59	3,4	96	155	
12	86 100	3450	6,0	50	0,46	60	360	0,7	72	432	
13	98 400	3930	8,0	50	0,52	78	624	0,7	93	717	
14	110 700	4430	8,0	50	0,59	98	784	0,7	119	903	
15	123 000	4920	8,0	65	0,355	25	200	0,5	31	231	
16	135 300	5400	4,0	65	0,39	30	120	5,5	408	528	
17	270 600	10 800	12,0	(80)	(0,56)	(48)	(576)	(1,4)	(214)	(790)	
				65	0,78	116	1392	1,4	416	1808	+1018
18	—	7425	0,5	65	0,54	56	28	1,5	213	241	
		$\Sigma l = 123{,}7$						$\Sigma(Rl+Z) = 8138$			+1018

Электронная библиотека http://tgv.khstu.ru/

примера 8.6 и построим эпюру циркуляционного давления в ее магистралях.

Выбираем вначале **второстепенное циркуляционное кольцо через** ближний к тепловому пункту **стояк** *I* (рис. 8.8) и отопительный прибор на первом этаже.

Располагаемое циркуляционное давление для гидравлического расчета не общих участков, параллельно соединенных с участками основного циркуляционного кольца, т. е. еще не рассчитанных участков *19—26*, определяем путем сложения известных потерь давления на участках от *3* до *11* [применительно к формуле (8.25)]:

$$\Delta p_{\text{р}} = \Sigma (Rl + Z)_{3-11} = 2995 \text{ Па}.$$

Находим по формуле (8.22)

$$R_{\text{ср}} = \frac{0{,}65 \cdot 2995}{60{,}2} = 32 \text{ Па/м},$$

и расчет потерь давления на участках *19—26* заносим в табл. 8.6.

Таблица 8.6. Гидравлический расчет второстепенного циркуляционного кольца через стояк *I* двухтрубной системы отопления

Участок	Данные по схеме			Принято							Разница $Rl+Z$, Па
	Q, Вт	G, кг/ч	l, м	$D_{\text{у}}$, мм	w, м/с	R, Па/м	Rl, Па	$\Sigma\zeta$	Z, Па	$Rl+Z$, Па	
19	12 300	492	1,8	25	0,24	42	76	8,4	235	311	
20	1400	56	3,0	15	0,081	11	33	28,1	90	123	
21	12 300	492	9,4	25	0,24	42	395	6,9	194	589	
22	24 600	984	8,0	32	0,305	48	384	1,5	68	452	
23	36 900	1440	8,0	40	0,31	38	304	1,2	56	360	
24	49 200	1968	6,0	50	0,26	20	120	0,7	23	143	
25	61 500	2460	12,0	50	0,33	31	372	1,0	53	425	
26	73 800	2950	12,0	50	0,39	45	540	1,0	74	614	
			$\Sigma l = 60{,}2$							$\Sigma (Rl+Z) = 3017$	

Невязка $\frac{2995-3017}{2995} 100 = -0{,}7\%$, что допустимо.

Затем выбираем **второстепенное циркуляционное кольцо через** наиболее удаленный от теплового пункта **стояк** *XI* и прибор на первом этаже.

Располагаемое циркуляционное давление для гидравлического расчета не общих участков (еще не рассчитанных) этого кольца определяем, как и ранее, применительно к формуле (8.25) путем сло-

Электронная библиотека http://tgv.khstu.ru/

жения уже известных потерь давления от *9* до *15* участка основного кольца

$$\Delta p_{\text{р}} = \Sigma (Rl + Z)_{9-15} = 2881 \text{ Па}$$

Вычисляем по формуле (8.22) $R_{\text{ср}} = \dfrac{0{,}65\ 2881}{36{,}2} = 52$ Па/м,

и расчет потерь давления на участках *27—32* заносим в табл. 8.7.

Таблица 8.7. Гидравлический расчет второстепенного циркуляционного кольца через стояк XI двухтрубной системы отопления

Участок	Данные по схеме			Принято							Разница $Rl+Z$, Па
	Q, Вт	G, кг/ч	l, м	$D_{\text{у}}$, мм	ω, м/с	R, Па/м	Rl, Па	$\Sigma\xi$	Z, Па	$Rl+Z$, Па	
27	49 200	1968	6,0	(50)	(0,26)	(20)	(120)	(0,2)	(7)	(127)	
				40	0,42	70	420	0,2	17	437	+310
28	36 900	1440	8,0	32	0,45	100	800	0,3	30	830	
29	24 600	984	(8,0)	(25)	(0,45)	(131)	(1048)	(0,3)	(30)	(1078)	
			4,0	32	0,305	48	192	0,3	14	205	−318
			4,0	25	0,45	131	524	—	—	524	
30	12 300	492	9,8	25	0,24	42	412	4,4	123	535	
31	1550	62	3,0	15	0,091	14	42	28,1	114	156	
32	12 300	492	1,4	25	0,24	42	59	8,4	96	155	
			$\Sigma l = 36{,}2$							$\Sigma (Rl+Z) = 2881$	−8

Невязка $\dfrac{2881-2881}{2881} 100 = 0$.

На рис. 8 9 представлена эпюра циркуляционного давления в магистралях системы отопления, построенная на основании гидравлического расчета трех циркуляционных колец через приборы на первом этаже ближнего *I*, среднего *VII* (см. пример 8.6) и дальнего *XI* стояков. На рисунке отмечены запас *А* циркуляционного давления в основном кольце (О.К) системы и невязки *Б* (—0,7%) и *В*(0), полученные при расчете не общих участков второстепенных колец соответственно через стояки *I* и *XI*.

Из эпюры видно, что разности давления во всех промежуточных стояках обеспечивают необходимое направление движения теплоносителя. Однако для стояков *VIII* и особенно *IX* разности давления в подающей и обратной магистралях слишком велики (по сравнению с разностями в расчетных стояках). Для уменьшения разностей давления изменяем диаметр участков *27* и *29* (см. табл. 8.7, где устаревшие числа заключены в скобки), причем участок *29* состав-

Электронная библиотека http://tgv.khstu.ru/

Рис. 8.9. Расчетная эпюра циркуляционного давления в двухтрубной системе отопления с попутным движением воды в магистралях (к примеру 8.6).

А — запас циркуляционного давления; *Б* и *В* — невязки расчета; *1, 2, ...* — номера расчетных участков; I, II, ... — номера стояков

ляем из труб $D_у$ 32 мм (l_1=4,0 м) и $D_у$ 25 мм (l_2=4,0 м). Окончательная линия изменения давления в подающей магистрали между стояками *VII* и *X* показана на рис. 8.9 пунктиром. Невязка после изменения диаметра участков *27* и *29* составляет

$$\frac{2881-(2881-8)}{2881}100=0{,}3\ \%.$$

При гидравлическом расчете вертикальной двухтрубной системы отопления после расчета основного и второстепенных циркуляционных колец через отопительные приборы на нижнем этаже дополнительно рассчитывают стояки. Расчет **стояков двухтрубной системы** сводится к выбору диаметра труб с увязкой потерь давления на параллельно соединенных участках [согласно формуле (8.10)], так как общие участки циркуляционных колец уже рассчитаны. При этом учитывается изменение естественного циркуляционного давления для приборов, размещаемых на различных этажах.

На рис. 8.10 изображены двухтрубные стояки систем с верхней (рис. 8.10, *а*) и нижней (рис. 8.10, *б*) разводками. Двойными линиями отмечены участки (пусть $Q_2>Q_1$), потери давления на которых известны из предшествующего расчета циркуляционных колец через приборы на первом этаже. Располагаемое циркуляционное давление для расчета дополнительных (не общих) участков, обеспечивающих теплоносителем приборы на втором этаже, параллельно соединенных с рассчитанными участками, составит:

Электронная библиотека http://tgv.khstu.ru/

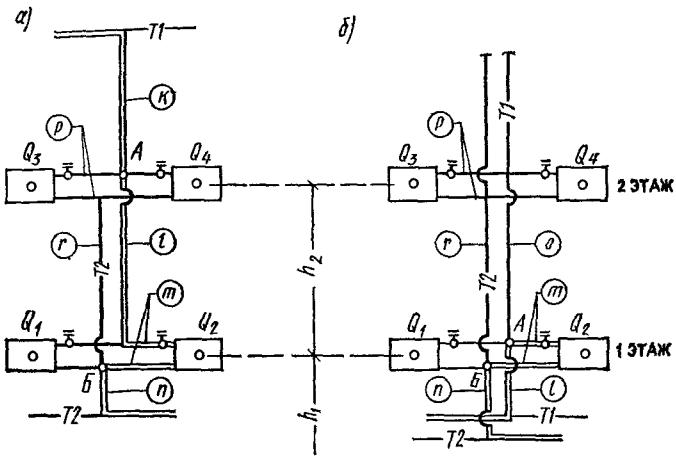

Рис. 8.10. Схемы двухтрубных стояков с расчетными участками в системах водяного отопления с верхней (*а*) и нижней (*б*) разводками

при верхней разводке

$$\Delta p^{II}_{р.в} = \Sigma (Rl + Z)_{l,\,m} + 0{,}4gh_2(\rho_0 - \rho_г); \qquad (8.31а)$$

при нижней разводке

$$\Delta p^{II}_{р.н} = \Sigma (Rl + Z)_m + 0{,}4gh_2(\rho_0 - \rho_г), \qquad (8.31б)$$

где h_2 — вертикальное расстояние между центрами охлаждения воды в отопительных приборах на втором и первом этажах.

Вторые слагаемые учитывают дополнительное естественное циркуляционное давление по формулам (7.34) и (7.39). Видно, что $\Delta p^{II}_{р.н} < \Delta p^{II}_{р.в}$ за счет потерь давления на участке *l*. С другой стороны, расчетных участков в стояках при нижней разводке больше (три участка — *о*, *р* и *г* между точками *А* и *Б* на рис. 8.10, *б* — пусть $Q_3 > Q_4$), чем при верхней (два участка — *р* и *г* между точками *А* и *Б* на рис. 8.10, *а*). Следовательно, увязка располагаемого и потерянного давления в стояках системы с нижней разводкой вполне достижима и система поэтому работает более устойчиво. Этим объясняется то, что при насосной циркуляции воды в многоэтажных зданиях применяются если не однотрубные, то двухтрубные системы с нижней разводкой, а двухтрубные системы с верхней подающей магистралью используются ограниченно — лишь в малоэтажных зданиях.

Электронная библиотека http://tgv.khstu.ru/

Пример 8.8. Выполним гидравлический расчет труб стояка *VII* для теплоснабжения отопительных приборов на втором этаже по условиям примера 8.6. Тепловые нагрузки участков стояка и отопительных приборов указаны на рис. 8.8.

Располагаемое циркуляционное давление для расчета не общих участков, параллельно соединенных с участком *10* основного циркуляционного кольца, находим по формуле (8,31б), заменяя в ней, как и раньше, $\rho_0-\rho_г$ на $\beta(t_г-t_0)$.

При $\Sigma(Rl+Z)_{10}=131$ Па, $\beta=0{,}64$ кг/(м³·°С) и $h_2=3{,}3$ м (рис. 8.8) получим

$$\Delta p_{р.\,н}^{II}=131+0{,}4\cdot 9{,}81\cdot 3{,}3\cdot 0{,}64\,(95-70)=131+207=338\text{ Па}.$$

Определяем по формуле (8,22)

$$R_{ср}=\frac{0{,}65\cdot 338}{9{,}6}=23\text{ Па/м},$$

и расчет потерь давления на участках *33—35* сводим в табл. 8.8.

Таблица 8.8. Гидравлический расчет циркуляционного кольца через стояк *VII* и отопительный прибор на втором этаже

Участок	Данные по схеме			Принято							Разница $Rl+Z$, Па
	Q, Вт	G, кг/ч	l, м	$D_у$, мм	w, м/с	R, Па/м	Rl, Па	$\Sigma\zeta$	Z, Па	$Rl+Z$, Па	
33	9440	378	3,3	25	0,185	25	83	1,5	25	108	
34	1085	43	3,0	15	0,063	4,9	15	28,1	55	70	
35	9440	378	3,3	25	0,185	25	83	2,4	40	123	
			$\Sigma l=9{,}6$							$\Sigma(Rl+Z)=301$	

Невязка $\dfrac{338-301}{338}100=10{,}9\%$, что допустимо.

Гидравлический расчет циркуляционных колец через отопительные приборы, расположенные на вышележащих этажах, выполняют аналогично. При этом потери давления на уже рассчитанных вертикальных участках стояка в располагаемое циркуляционное давление не включают.

При гидравлическом расчете ветвей **горизонтальных однотрубных систем** необходим предварительный расчет отопительных приборов, так как расчетная длина участков в

Электронная библиотека http://tgv.khstu.ru/

ветвях зависит от длины приборов. Длину приборов определяют ориентировочно исходя из значений номинального теплового потока, приведенных в справочной литературе.

Отопительные приборы с трубчатыми нагревательными элементами $D_у$=15—20 мм включают в каждую горизонтальную ветвь как последовательно соединенные расчетные участки (см. приборы ветви *II* на рис. 6.6). Длину проточных отопительных приборов с каналами и трубами $D_у$= =32—100 мм (приборы ветви *I* на рис. 6.6) вычитают из длины ветвей, т. е. они уменьшают расчетную длину соединяющих их труб. Расчетная длина труб при приборных узлах с замыкающими и обходными участками зависит от расположения этих участков (например, ветви на втором и третьем этажах на рис. 7.24). Если замыкающие участки находятся под приборами (см. рис. 5.10, *а*), то их длина определяется длиной приборов.

Для придания горизонтальной однотрубной системе многоэтажного здания вертикальной устойчивости при гидравлическом расчете поэтажных ветвей исходят из условия

$$\Delta p_{вет} \geqslant \Delta p_{е.\,макс}, \qquad (8.32)$$

которое означает, что потери давления в горизонтальной ветви не должны быть меньше максимального значения естественного циркуляционного давления, возникающего при охлаждении воды в приборах на верхнем этаже здания [см. формулу (7.35)]. При этом скорость движения воды в трубах ветви должна превышать 0,25 м/с для обеспечения надежного уноса воздуха.

При гидравлическом расчете ветвей возможны два случая.

1. Основное циркуляционное кольцо выбрано по выражению (8.21) и рассчитано через горизонтальную ветвь на первом этаже. Тогда располагаемое циркуляционное давление для гидравлического расчета дополнительных параллельных участков, соединяющих ветвь приборов на втором этаже с горизонтальной ветвью приборов на первом этаже, определяется по формуле (8.31а) или (8.31б), причем потерей давления на участке *m* в формуле будет потеря давления во всей горизонтальной ветви на первом этаже.

2. Основное циркуляционное кольцо выбрано и рассчитано через горизонтальную ветвь на верхнем *N*-м этаже. Тогда располагаемое циркуляционное давление для гид-

Электронная библиотека http://tgv.khstu.ru/

равлического расчета лежащей ниже горизонтальной ветви на $(N-1)$-м этаже составит

$$\Delta p_{\text{р}}^{N-1} = \Sigma (Rl+Z)_N - 0{,}4gh_N(\rho_0 - \rho_{\text{г}}), \qquad (8.33)$$

где $\Sigma (Rl+Z)_N$ — потери давления (ранее вычисленные) на участках, параллельно соединенных с новой ветвью, Па; h_N — вертикальное расстояние между условными центрами охлаждения воды в ветвях на N-м и $(N-1)$-м этажах, м.

Невязка потерь давления в параллельно соединенных горизонтальных однотрубных ветвях допустима до 15%.

На основании гидравлического расчета выполняют окончательный тепловой расчет отопительных приборов с учетом теплоотдачи труб.

§ 8.4. Гидравлический расчет системы водяного отопления по характеристикам сопротивления и проводимостям

Расчет по характеристикам сопротивления и проводимостям применяют при проектировании **насосных однотрубных** систем отопления.

При гидравлическом расчете вертикальных однотрубных систем отопления многоэтажных зданий, состоящих из однотипных по конструкции стояков, практически допустимо не считаться с различиями в значениях естественного циркуляционного давления в отдельных кольцах. Тогда при известных диаметре и длине труб распределение потоков воды между стояками будет определяться их проводимостью.

Точные значения потокораспределения в однотрубной системе между стояками и приборами получают в том случае, если гидравлический расчет выполнен при скорости движения воды в трубах 0,8 м/с и более. Если же гидравлический расчет по характеристикам сопротивления и проводимостям сделан при скорости движения воды 0,3—0,8 м/с, то в натуре в такой системе фактический расход воды будет несколько меньше расчетного (на 5—10%). Это произойдет вследствие больших потерь давления (из-за фактического увеличения коэффициентов гидравлического трения и местного сопротивления). Чтобы уменьшения расхода воды не происходило, гидравлический расчет рекомендуется выполнять не для легких, а для обыкновенных

Электронная библиотека http://tgv.khstu.ru/

водогазопроводных труб, т. е. для труб с несколько уменьшенным внутренним диаметром (§ 5.1). Тогда в однотрубной системе, смонтированной, как требуют СНиП, из легких труб, действительный расход воды будет достаточно близок к расчетному.

I. Рассмотрим гидравлический расчет по характеристикам сопротивления и проводимостям **вертикальной однотрубной системы отопления с тупиковым движением воды в магистралях.**

При расчете возможны, как известно (см. § 6.4), различные исходные положения: в одном случае давление, создаваемое циркуляционным насосом, $\Delta p_н$ известно, т. е. может считаться заданным, в другом — $\Delta p_н$ не известно. Давление $\Delta p_н$ фактически задано при известном типоразмере используемого насоса, а также при зависимом присоединении системы отопления к наружным теплопроводам, когда известна разность давления воды в подающем и обратном теплопроводах в месте их ввода в здание.

Давление $\Delta p_н$ не задано при местном теплоснабжении системы отопления, а также при независимом ее присоединении к наружным теплопроводам, хотя и в этом случае типоразмер циркуляционного насоса может быть выбран до гидравлического расчета системы и тогда $\Delta p_н$ также может считаться заданным.

1. **Основной случай:** $\Delta p_н$ — **задано.**

Гидравлический расчет начинают с основного циркуляционного кольца (§ 8.3), для которого определяют $R_{ср}$ по формуле (8.22).

Для выбора диаметра труб на каждом участке находят расчетное значение **удельной характеристики сопротивления,** Па/м(кг/ч)^2:

$$S_{уд.р} = R_{ср}/G_{ор}^2, \qquad (8.34)$$

где $R_{ср}$ — средняя удельная линейная потеря давления, Па/м; $G_{ор}$ — ориентировочный расход воды на участке, кг/ч, вычисленный по формуле (8.2).

Диаметр труб назначают, сопоставляя расчетные значения $S_{уд.р}$ с величинами $S_{уд.тр}$ для стандартных диаметров труб, найденными по формуле

$$S_{уд.тр} = A_{уч}\lambda/d_в, \qquad (8.35)$$

где $A_{уч}$ — удельное гидродинамическое давление, Па/(кг/ч)^2,

Электронная библиотека http://tgv.khstu.ru/

При выборе диаметра принимают: для стояков — ближайший меньший диаметр, для магистралей — ближайший больший диаметр труб (чтобы увеличить потери давления в стояках относительно потерь в магистралях).

Гидравлический расчет проводят, используя вспомогательную таблицу (табл. 10.7 в Справочнике проектировщика), составленную при усредненных значениях плотности воды $\rho_{ср}$ и коэффициента гидравлического трения λ. Для примера приведем часть этой таблицы (табл. 8.9) и найдем потерю давления на участке системы отопления (пример 8.9).

Таблица 8.9. Характеристика обыкновенных водогазопроводных труб, применяемых в системах водяного отопления

Диаметр трубы, мм		G/ω, кг/ч / м/с	$\lambda/d_в$, 1/м	$A_{уч} \cdot 10^4$, Па / (кг/ч)^2	$S_{уд.тр} \cdot 10^4$, Па / м (кг/ч)^2
условный проход	внутренний $d_в$				
10	12,6	425	3,6	26,50	95,40
15	15,7	690	2,7	10,60	28,62
20	21,2	1250	1,8	3,19	5,74
25	27,1	2000	1,4	1,23	1,72

Пример 8.9. Определим потерю давления на участке системы отопления по условиям примера 8.2 при $R=144$ Па/м.

Удельная характеристика сопротивления по формуле (8.34)

$$S_{уд.р} = 144 : 240^2 = 25 \cdot 10^{-4} \text{ Па/м (кг/ч)}^2.$$

Принимаем, ориентируясь на значения $S_{уд.тр}$ в табл. 8.9, $D_у = 15$ мм. Данные для расчета и результаты вносим в табл. 8.10.

Таблица 8.10. Расчет потери давления на участке системы отопления

Номер участка	Q, Вт	G, кг/ч	l, м	$D_у$, мм	$\lambda/d_в$, 1/м	$\Sigma\zeta$	$A_{уч} \cdot 10^4$, Па/(кг·ч)^2	$S_{уч} \cdot 10^4$, Па/(кг/ч)^2	$\Delta p_{уч}$, Па
1	—	240	10	15	2,7	6	10,6	349,8	2015

Электронная библиотека http://tgv.khstu.ru/

Характеристика сопротивления участка получена по формуле (8.14)

$$S_{уч} = 10{,}6\,(2{,}7 \cdot 10 + 6)\,10^{-4} = 349{,}8 \cdot 10^{-4},$$

где значения $\lambda/d_в$ и $A_{уч}$ приняты по табл. 8.9.

Потеря давления на участке найдена по формуле (8.12)

$$\Delta p_{уч} = 349{,}8 \cdot 10^{-4} \cdot 240^2 = 2015 \text{ Па}.$$

Несовпадение результатов расчета в примерах 8.2 и 8.9 закономерно: в примере 8.2 расчет проделан для легких, в примере 8.9— для обыкновенных водогазопроводных труб.

При гидравлическом расчете вертикальной однотрубной системы отопления по характеристикам сопротивления и проводимостям допустимо, как известно, отклонение перепада температуры воды в стояках в пределах до ± 7 °С от принятого перепада для системы. На этом основании при тупиковом движении воды в магистралях найдено, что потери давления в ближнем и дальнем от теплового пункта стояках (в стояках *1* и *7* на рис. 8.1, *а*) могут отличаться приблизительно на 20%. Следовательно, для увязки циркуляционного давления в системе примерно 30% потерь давления в дальнем стояке должно быть израсходовано на участках магистралей между крайними стояками. Остальная часть расчетного циркуляционного давления может быть потеряна на участках магистралей между тепловым пунктом и ближним к нему стояком. Тогда эпюра циркуляционного давления примет вид, изображенный штрихпунктирными линиями на рис. 8.2.

Потери давления в дальнем стояке, входящем в основное циркуляционное кольцо, определяют по его характеристике сопротивления, задаваясь расходом воды в нем, соответствующим несколько большему перепаду температуры (в пределах 7 °С) по сравнению с принятым для системы. При вычислении характеристики сопротивления стояка характеристики сопротивления отдельных узлов находят по проводимости участков, составляющих каждый узел [см. формулу (8.18)].

При известной проводимости участков, составляющих приборный узел, можно установить значение коэффициента затекания воды в отопительный прибор.

Преобразовав формулу (8.28), получим выражение для определения **коэффициента затекания воды** в один из участков узла, состоящего из двух параллельно соединенных

Электронная библиотека http://tgv.khstu.ru/

участков

$$\alpha_1 = \frac{G_1}{G_{общ}} = \frac{\sigma_1}{\sigma_1 + \sigma_2} = \frac{1}{1 + \frac{\sigma_2}{\sigma_1}} \qquad (8.36а)$$

или через характеристики сопротивления

$$\alpha_1 = \frac{1}{1 + (S_1/S_2)^{0,5}}. \qquad (8.36б)$$

В более общем случае — при параллельном соединении нескольких участков — знаменатели формул (8.36) составляют из проводимостей или характеристик сопротивления всех участков, входящих в узел.

Пример 8.10. Определим характеристику сопротивления и потери давления в стояке *2* (см. рис. 8.6) по условиям примера 8.3.

Расход воды в стояке найдем по формуле (7.23), задаваясь перепадом температуры, увеличенным на 3 °С по сравнению с принятым в системе (25 °С):

$$G_{ст} = \frac{4500 \cdot 3,6 \cdot 1,06 \cdot 1,10}{4,187\,(25+3)} \approx 160 \text{ кг/ч}.$$

Стояк состоит из последовательно соединенных трех участков и двух приборных узлов (на первом и втором этажах).

Удельная характеристика сопротивления при $R_{ср} = 76$ Па/м по формуле (8.34)

$$S_{уд.\,р} = 76 : 160^2 = 29,7 \cdot 10^{-4} \text{ Па/м (кг/ч)}^2.$$

По табл. 8.9 принимаем $D_у$ 15.

Характеристика сопротивления участка *3* при $l = 14$ м, $\Sigma\zeta = 15,35$ (включая приборный узел с трехходовым краном на третьем этаже) по формуле (8.14)

$$S_3 = 10,60\,(2,7 \cdot 14 + 15,35)\,10^{-4} = 563,4 \cdot 10^{-4} \text{ Па/(кг/ч)}^2.$$

Для определения характеристики сопротивления узла на втором этаже, состоящего из параллельно соединенных подводок с прибором с одной стороны и замыкающего участка с другой, найдем характеристики сопротивления [по формуле (8.14)] и проводимости [по формуле (8.16)] этих участков

$$S''_п = 10,60\,(2,7 \cdot 2 + 14,6)\,10^{-4} = 212 \cdot 10^{-4};$$

$$\sigma''_п = 100 : \sqrt{212} = 6,87;\ S''_{з.\,у} = 10,60\,(2,7 \cdot 0,5 + 2,3)\,10^{-4} =$$

$$= 38,7 \cdot 10^{-4};\ \sigma''_{з.\,у} = 100 : \sqrt{38,7} = 16,1.$$

Характеристика сопротивления узла по формуле (8.18)

$$S''_{уз} = 1 : (6,87 + 16,1)^2 = 19 \cdot 10^{-4}.$$

Электронная библиотека http://tgv.khstu.ru/

Попутно вычислим коэффициент затекания воды в прибор на втором этаже по формуле (8.36а):

$$\alpha''_{\text{п}} = 6{,}87 : (6{,}87 + 16{,}1) = 0{,}3.$$

Коэффициент затекания, как и следовало ожидать, получился меньше, чем в примере 8.3 (0.33), так как найден без учета естественного циркуляционного давления в малом кольце, способствующего затеканию воды в прибор.

Аналогично определяем:

$$S_{\text{б}} = 10{,}60\,(2{,}7 \cdot 3 + 0{,}8)\,10^{-4} = 94{,}3 \cdot 10^{-4};$$

$$S'_{\text{п}} = 10{,}60\,(2{,}7 \cdot 1 + 9{,}65)\,10^{-4} = 130{,}9 \cdot 10^{-4};\ \sigma'_{\text{п}} = 8{,}74;$$

$$S'_{\text{э.у}} = 10{,}60\,(2{,}7 \cdot 0{,}5 + 7{,}4)\,10^{-4} = 92{,}75 \cdot 10^{-4};\ \sigma'_{\text{э. у}} = 10{,}4;$$

$$S'_{\text{уз}} = 1 : (8{,}74 + 10{,}4)^2 = 27{,}3 \cdot 10^{-4};$$

$$\alpha'_{\text{п}} = 8{,}74 : (8{,}74 + 10{,}4) = 0{,}46 \text{ (в примере 8.3—0,5)};$$

$$S_{\text{т}} = 10{,}6\,(2{,}7 \cdot 6{,}5 + 6{,}4)\,10^{-4} = 253{,}9 \cdot 10^{-4}.$$

Таким образом, характеристика сопротивления стояка по формуле (8.19)

$$S_{\text{ст}} = (563{,}4 + 19 + 94{,}3 + 27{,}3 + 253{,}9)\,10^{-4} = 957{,}9 \cdot 10^{-4} \text{ Па/(кг/ч)}^2.$$

Проводимость стояка по формуле (8.16)

$$\sigma_{\text{ст}} = 100 : \sqrt{957{,}9} = 3{,}23 \text{ кг/(ч} \cdot \text{Па}^{0{,}5}).$$

Потери давления в стояке по формуле (8.12)

$$\Delta p_{\text{ст}} = 957{,}9 \cdot 10^{-4} \cdot 160^2 = 2452 \text{ Па}.$$

Потери давления в стояке уменьшились (в примере 8.3—2726 Па) главным образом в связи с сокращением расхода воды.

По приведенным в примере 8.10 расчетам можно сделать **вывод,** что при смещении замыкающего участка от оси стояка значительно увеличивается затекание воды в приборы; однако при этом возрастает сопротивление приборных узлов.

После гидравлического расчета дальнего (последнего) стояка переходят к расчету предпоследнего стояка (стояка *6* на рис. 8.1, *а*). Потери давления в этом стояке должны быть равны потерям давления в уже рассчитанном последнем стояке, если пренебречь различием в значениях естественного циркуляционного давления [второе слагаемое в формуле (8.26)]. Исходя из $\Delta p_{\text{ст}}$, выбрав диаметр труб предпоследнего стояка и вычислив характеристику сопротивления, находят расход и перепад температуры воды в нем. Если перепад температуры отличается от принятого для

Электронная библиотека http://tgv.khstu.ru/

системы не более чем на ± 7 °С (при большем отличии изменяют диаметр труб предпоследнего стояка), то переходят к расчету прилегающих парных участков магистралей. Сумма расходов воды в двух стояках определяет расход воды на прилегающих участках магистралей (*5—6* и *5′—6′* на рис. 8.1, *а*). По расходу выбирают их диаметр и находят потери давления.

Пример 8.11. Определим характеристику сопротивления и расход воды в стояке *1* (см. рис. 8.6) по данным примера 8.10.

Найдем из формулы (8.12) необходимую характеристику стояка при $\Delta p_{ст}=2452$ Па и ориентировочном расходе воды 500—160= =340 кг/ч (см. пример 8.3)

$$S'_{ст}=2452:340^2=212\cdot10^4 \text{ Па/(кг/ч)}^2.$$

Принимаем диаметр труб стояка $D_у$ 20 мм, приборных узлов $D_у$ 15 мм (см. пример 8.4).

Отдельно запишем еще не встречавшееся определение характеристики сопротивления приборного узла, состоящего из трех параллельно соединенных участков (узел на втором этаже):

$$S_{п.1}=10{,}60\,(2{,}7\cdot4+14{,}9)\,10^{-4}=272{,}4\cdot10^{-4};$$

$$\sigma_{п.1}=6{,}06;$$

$$S_{п.2}=10{,}60\,(2{,}7\cdot2+18{,}4)\,10^{-4}=252{,}3\cdot10^{-4};\quad \sigma_{п.2}=6{,}3;$$

$$S_{э.у}=10{,}60\,(2{,}7\cdot0{,}5+1{,}5)\,10^{-4}+3{,}19\cdot4{,}5\cdot10^{-4}=44{,}55\cdot10^{-4};$$

$$\sigma_{э.у}=14{,}98.$$

При суммариой проводимости узла $\sigma_{уз}=6{,}06+6{,}3+14{,}98=$ $=27{,}34$ коэффициент затекания воды в первый прибор $\alpha_{п.1}=6{,}06$:

Таблица 8.11. Расчет характеристики сопротивлеиии стояка $Q_{ст\cdot1}=8000$ Вт

Номер участка	l, м	$D_у$, мм	$\lambda/d_в$, 1/м	$\lambda l/d_в$	$\Sigma\zeta$	$A_{уч}\cdot10^4$, Па/(кг/ч)^2	$S_{уч}\cdot10^4$, Па/(кг/ч)^2
12	4,0	20	1,8	7,2	2,45	3,19	30,80
Узел III *	—	15	2,7	—	—	10,60	69,45
13	2,5	20	1,8	4,5	—	3,19	14,35
Узел II *	—	15	2,7	—	—	10,60	13,40
14	2,5	20	1,8	4,5	—	3,19	14,35
Узел I *	—	15	2,7	—	—	10,60	32,30
15	0,5	20	1,8	0,9	1,68	3,19	8,20
							$S_{ст}=182{,}85$

* По отдельному расчету.

Электронная библиотека http://tgv.khstu.ru/

:27,34=0,22, во второй — $\alpha_{п.в}=6,3:27,34=0,23$ и характеристика сопротивления узла *II* $S_{уз}=1:27,34^2=13,4\cdot10^{-4}$.

Результаты остальных расчетов сведем в табл. 8.11.

По проводимости стояка [формула (8.16)] $\sigma_{ст}=100:\sqrt{182,85}=7,395$ найдем из формулы (8.15) расход воды

$$G_{ст}=\sigma_{ст}\sqrt{\Delta p_{ст}}=7,395\sqrt{2452}=366 \text{ кг/ч}.$$

Перепад температуры воды в стояке по формуле (8.27)

$$\Delta t_{ст}=\frac{8000\cdot3,6\cdot1,06\cdot1,10}{4,187\cdot366}=21,9\,^{\circ}\text{C},$$

что допустимо.

Пример 8.12. Определим диаметр и потери давления на участках магистралей системы отопления (на участках *2* и *8* по рис. 8.6), исходя из данных примеров 8.3, 8.10 и 8.11.

Общий расход воды по расчету $G_{маг}=160+366=526$ кг/ч.

Удельная характеристика сопротивления при $R_{ср}=76$ Па/м по формуле (8.34) $S_{уд.р}=76:526^2=2,75\cdot10^{-4}$ Па/м (кг/ч)^2.

Принимаем по табл. 8.9 $D_у$ 25 мм.

Характеристики сопротивления участка *2* при $l=5$ м, $\Sigma\zeta=11,9$ и участка *8* при $l=9$ м, $\Sigma\zeta=10,5$ (см. табл. 8.3) по формуле (8.14)

$$S_2=1,23\,(1,4\cdot5+11,9)\,10^{-4}=23,25\cdot10^{-4};$$

$$S_8=1,23\,(1,4\cdot9+10,5)\,10^{-4}=28,4\cdot10^{-4} \text{ Па/(кг/ч)}^2.$$

Общие потери давления на двух участках магистралей по формуле (8.12)

$$\Delta p_{2,6}=(23,25+28,4)\,10^{-4}\cdot526^2=1429 \text{ Па}.$$

Располагаемый перепад давления для третьего от конца системы стояка (стояка *5* на рис. 8.1, *а*) будет равен сумме потерь давления в последнем стояке (стояке *7*) и на двух прилегающих участках магистралей (т. е. от точки *5* через точки *6*, *7*, *7′*, *6′* до точки *5′*). Исходя из перепада давления, по характеристике сопротивления определяют расход и перепад температуры воды в стоике. Таким образом продолжают вести расчет остальных стояков и участков магистралей. Наконец, находят общие расход воды G_c' и потери давления $\Delta p_c'$ в системе.

Итак, вкратце последовательность гидравлического расчета вертикальной однотрубной системы водяного отопления с тупиковым движением воды в магистралях при заданном $\Delta p_н$ следующая:

а) определяют расчетное циркуляционное давление $\Delta p_р$ с включением в него $\Delta p_е$, вычисленного для среднего стояка при $\Delta t_{ст}=\Delta t_c$;

б) находят $R_{ср}$ в основном циркуляционном кольце через наиболее удаленный и нагруженный стояк (тупиковый стояк);

Электронная библиотека http://tgv.khstu.ru/

в) рассчитывают расход воды в тупиковом стояке при условии, что $\Delta t_{ст} > \Delta t_{с}$ на 3—5 °С;

г) вычисляют $S_{уд.р}$ для тупикового стояка;

д) выбирают диаметр труб тупикового стояка $d_{ст}$ при условии $S_{уд.тр} > S_{уд.р}$;

е) определяют $S_{ст}$ для тупикового стояка;

ж) находят потери давления $\Delta p_{ст}$ в тупиковом стояке;

з) вычисляют для предпоследнего стояка $S_{ст}$, $G_{ст}$, $\Delta t_{ст}$ исходя из $\Delta p_{ст}$;

и) рассчитывают $\Delta p_{маг}$ в парных участках магистралей, прилегающих к предпоследнему стояку, выбрав $d_{маг}$ при условии $S_{уд.тр} < S_{уд.р}$;

к) определяют для системы в целом $G'_{с}$ и $\Delta p'_{с}$, продолжая расчет по п. 8 и 9 остальных стояков и участков магистралей.

Необходимость дальнейших уточняющих расчетов выявляется при сопоставлении полученных значений $G'_{с}$ и $\Delta p'_{с}$ с исходными (заданными) величинами $G_{с}$ [по формуле (8.3)] и $\Delta p_{р}$. Если они достаточно близки (расхождение не превышает 5—10%), то определяют уточненное значение насосного циркуляционного давления по формуле (6.9) и на этом гидравлический расчет заканчивают.

При значительном расхождении с исходными данными дальнейшие уточняющие расчеты могут проводиться в двух направлениях в зависимости от предъявляемых требований:

а) если потребуется потери давления в системе $\Delta p'_{с}$ *привести в соответствие с расчетным циркуляционным давлением* $\Delta p_{р}$ (с запасом 10%), то в зависимости от их соотношения необходимо будет пересчитать и расход воды в системе. Новый расчетный расход воды $G_{р}$ в этом случае определяют по формуле

$$G_{р} = G'_{с} (0{,}9\ \Delta p_{р}/\Delta p'_{с})^{0{,}5}. \qquad (8.37)$$

Этот расчетный расход воды в системе $G_{р}$ не будет равен исходному расходу $G_{с}$, поэтому конечная температура обратной воды в системе будет отличаться от обычной (например, от 70 °С). При изменении общего расхода воды в системе изменится и расход воды на всех ее участках пропорционально коэффициенту

$$k_{р} = G_{р}/G'_{с}. \qquad (8.38)$$

Электронная библиотека http://tgv.khstu.ru/

Установив действительный расход воды на участках, пересчитывают перепады температуры воды в стояках и переходят к определению площади отопительных приборов;

б) если необходимо *сохранить исходный расход воды* в системе G_c, то расход воды на всех ее участках следует изменить пропорционально коэффициенту

$$k_G = G_c / G'_c. \tag{8.39}$$

Тогда действительные потери давления в системе Δp_c при расходе воды G_c составят:

$$\Delta p_c = k_G^2 \, \Delta p'_c. \tag{8.40}$$

Потери давления в системе Δp_c по формуле (8.40) будут отличаться от расчетного циркуляционного давления Δp_p. Площадь отопительных приборов и в этом случае вычисляют после пересчета перепадов температуры воды в стояках по измененному ее расходу.

Пример 8.13. Определим действительные расходы воды, перепады температуры в стояках и температуру обратной воды в части системы отопления (участки *2—8* на рис. 8.6), приняв за первоначально заданные расход воды $G_c = 500$ кг/ч и циркуляционное давление $\Delta p_p = 6136 - 1315 = 4821$ Па (см. пример 8.3).

В примерах 8.10—8.12 получены, исходя из выбранных диаметров труб, другие показатели: $G'_c = 526$ кг/ч, $\Delta p'_c = 2452 + 1429 = 3881$ Па (потери давления меньше заданного циркуляционного давления приблизительно на 20%).

Проведем пересчет теплогидравлических показателей при выполнении следующих требований:

вариант I — потери давления должны соответствовать (без запаса) заданному циркуляционному давлению (4821 Па). Тогда общий расход воды по формуле (8.37) $G_p = 526 \, (4821 : 3881)^{0,5} = 586$ кг/ч и коэффициент пересчета расхода по формуле (8.38) $k_p = 586 : 526 = 1,114$;

вариант II — общий расход воды должен соответствовать заданному (500 кг/ч). Тогда коэффициент пересчета расхода по формуле (8.39)

$$k_G = 500 : 526 = 0,95$$

и потери давления по формуле (8.40)

$$\Delta p_c = 0,95^2 \cdot 3881 = 3503 \text{ Па}.$$

Результаты пересчета сведем в табл. 8.12.

Видно, что при увеличении потерь давления (вариант I) сокращаются перепады температуры воды в стояках, что способствует уменьшению площади приборов, хотя и сопровождается ростом расхода и температуры обратной воды;

Электронная библиотека http://tgv.khstu.ru/

Таблица 8.12. Теплогидравлические показатели части однотрубной системы водяного отопления

Показатель	Вариант расчета		
	основной	I	II
Общие потери давления, Па	3881	4821	3503
Общий расход воды, кг/ч	526	586	500
Расход воды, кг/ч:			
в стояке *1*	366	408	348
» *2*	160	178	152
Перепад температуры, °С:			
в стояке *1*	21,9	19,7	23,0
» *2*	28,2	25,3	29,7
Общая температура обратной воды, °С	71,2	73,6	70,0

обеспечение t_0=70 °С (вариант II) приводит к значительному увеличению перепада температуры воды в стояке *2*.

2. **Второй случай: $\Delta p_в$— не задано.**

В этом случае давление, создаваемое циркуляционным насосом, устанавливают по формуле (6.9) после выполнения гидравлического расчета с определением потерь давления как в системе отопления, так и в оборудовании теплового пункта.

Диаметр труб при гидравлическом расчете подбирают таким образом, чтобы скорость движения воды в них приближалась, но не превышала предельно допустимую по акустическому ограничению (см. § 6.4). Этот случай гидравлического расчета системы отопления часто называют расчетом по предельно допустимой скорости.

Для проверки скорости движения воды при выборе диаметра труб используют отношение G/ω (см. табл. 8.9), выражающее расход воды при скорости 1 м/с. Ориентировочную скорость движения воды в трубах ω, м/с, можно вычислить также по формуле

$$\omega=\frac{G}{22}\sqrt{A_{уч}}, \qquad (8.41)$$

где G — расход воды, кг/ч; $A_{уч}$ — удельное гидродинамическое давление на участке, Па/(кг/ч)^2, принимаемое по табл. 8.9.

Электронная библиотека http://tgv.khstu.ru/

Пример 8.14. Определим скорость движения воды в обыкновенной водогазопроводной трубе $D_у$ 15 по условиям примера 8.9.

Скорость движения воды при $G=240$ кг/ч найдем двумя путями:

1) по табл. 8.9 при $D_у$ 15 $G/w=690$; следовательно, $w=240:690=0{,}35$ м/с;

2) по формуле (8.41)

$$w=\frac{240}{22}\sqrt{\frac{10{,}6}{10^4}}=0{,}355 \text{ м/с}$$

(в примере 8.2 в легкой трубе, т. е. в трубе большего диаметра, $w=0{,}326$ м/с).

Последовательность гидравлического расчета системы отопления в случае, если $\Delta p_н$ не задано, остается такой же, как в первом случае, за исключением первоначальных действий по определению удельной характеристики сопротивления $S_{уд.р}$, необходимой для выбора диаметра труб. Вместо этого диаметр труб, как уже сказано, назначают, используя условие $w_{тр} \leqslant w_{пред}$, т. е. что скорость движения воды в них $w_{тр}$ не должна превышать предельно допустимой $w_{пред}$ по акустическому ограничению.

Порядок гидравлического расчета вертикальной однотрубной системы водяного отопления с тупиковым движением воды в магистралях поясним в этом случае на примере.

Пример 8.15. Выполним гидравлический расчет вертикальной однотрубной системы водяного отопления 5-этажного лечебного здания с верхней разводкой, состоящей из двух симметричных пофасадных частей тепловой мощностью по 127,5 кВт и отдельной ветви для отопления конференц-зала мощностью 40 кВт (рис. 8.11).

Система присоединяется по независимой схеме к наружным теплопроводам; параметры первичного теплоносителя воды $t_1=150$ °С, $t_2=70$ °С.

Отопительные приборы — радиаторы МС-140 с тепловой нагрузкой 1275 Вт каждый — устанавливаются у стены под окнами и с двух сторон присоединяются к стоякам с кранами КРТ и утками.

Параметры теплоносителя воды в системе отопления принимаем: $t_г=85$ °С, $t_о=65$ °С.

Гидравлический расчет системы отопления начинаем с наиболее удаленного от теплового пункта стояка 5 (см. рис. 8.11).

Расход воды в стояке 5 при его тепловой нагрузке $1275 \cdot 10=12\,750$ Вт найдем по формуле (7.23), принимая увеличенный на 4 °С перепад температуры воды в нем (по сравнению с перепадом температуры воды в системе в целом)

$$G_{ст.5}=\frac{12\,750 \cdot 3{,}6 \cdot 1{,}04 \cdot 1{,}02}{4{,}187\,(85-65+4)}=485 \text{ кг/ч},$$

Электронная библиотека http://tgv.khstu.ru/

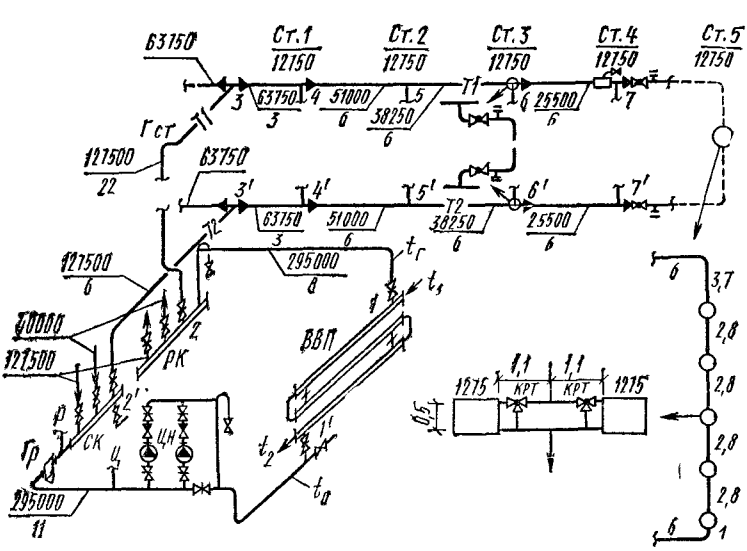

Рис. 8.11. Схема вертикальной однотрубной системы водяного отопления с верхней разводкой и тупиковым движением воды в магистралях (к примеру 8.12)

КРТ — кран регулирующий трехходовой; ВВП — водо-водяной подогреватель; ЦН — циркуляционные насосы типа ЦВЦ; Ц — циркуляционная труба расширительного бака; Гр — грязевик; Р — расширительная труба; СК — сборный коллектор; РК — распределительный коллектор; цифры — тепловые нагрузки, Вт, и длины участков, м

Характеристику гидравлического сопротивления стояка 5 определим, суммируя характеристики пяти двойных приборных узлов и шести последовательно соединяющих их участков [по формуле (8.19)].

Выбираем по табл. 8.9 диаметр труб стояка $D_у$ 15, при котором скорость движения воды в них будет менее предельно допустимой (485 : 690 = 0,7 м/с).

Рассчитаем сначала характеристику сопротивления левой (или правой, что то же) половины двойного приборного узла по формуле (8.14) при длине труб 2,2 м

$$S_1 = 10{,}6\,[(2{,}7 \cdot 2{,}2) + 18{,}4]\,10^{-4} = 258 \cdot 10^{-4}\ \text{Па/(кг/ч)}^2,$$

принимая следующие коэффициенты местного сопротивления (КМС): тройника на растекании — 6,3; двух уток — 1,6; крана КРТ на проходе — 3,5; радиатора — 1,3; тройника на проходе — 0,7; тройника на противотоке — 5,0; всего — 18,4.

Тогда общая характеристика сопротивления двойного приборного узла по формуле (8.18)

$$S_{уз} = S_1 : 4 = 258 \cdot 10^{-4} : 4 = 64{,}5 \cdot 10^{-4}.$$

Электронная библиотека http://tgv.khstu.ru/

Найдем характеристику сопротивления шести последовательно соединенных участков стояка общей длиной 27,9 м

$$\Sigma S_{уч} = 10{,}6\,(2{,}7 \cdot 27{,}9 + 15{,}9)\,10^{-4} = 967 \cdot 10^{-4}$$

при КМС: двух тройников на проходе — 4,4; двух пробочных кранов — 7,0; двух спускных тройников на проходе — 1,4; двух отводов — 1,6; виезапных расширения и сужения — 1,5; всего — 15,9.

Отсюда характеристика сопротивления всего стояка *5* по формуле (8.19)

$$S_{ст.\,5} = [(64{,}5 \cdot 5) + 967]\,10^{-4} = 1289{,}5 \cdot 10^{-4}\ \text{Па/(кг/ч)}^2.$$

Потери давления в стояке *5* по формуле (8.12) составят

$$\Delta p_{ст.\,5} = 1289{,}5 \cdot 10^{-4} \cdot 485^2 = 30\,332\ \text{Па}.$$

Перейдем к гидравлическому расчету стояка 4 (см. рис. 8.11), где при известном циркуляционном давлении найдем расход воды. Для этого определим характеристику сопротивления стояка, который состоит из таких же пяти двойных приборных узлов и участков общей длиной 17,9 м.

При том же диаметре труб стояка $D_у$ 15 характеристика сопротивления участков стояка *4* составит

$$\Sigma S_{уч} = 10{,}6\,[(2{,}7 \cdot 17{,}9) + 14{,}0]\,10^{-4} = 660{,}7 \cdot 10^{-4},$$

где 14,0 — сумма следующих КМС: тройника на ответвлении при делении потока — 1,34; четырех отводов — 3,2; двух пробочных кранов — 7,0; двух тройников на проходе — 1,4; тройника на ответвлении при слиянии потоков — 1,1.

Характеристика сопротивления стояка *4*

$$S_{ст.\,4} = [(64{,}5 \cdot 5) + 660{,}7]\,10^{-4} = 983{,}2 \cdot 10^{-4}\ \text{Па/(кг/ч)}^2.$$

Определим расход воды в стояке *4* при циркуляционном давлении 30 332 Па из формулы (8.12)

$$G_{ст.\,4} = 100\,(30\,332 : 983{,}2)^{0{,}5} = 555\ \text{кг/ч}.$$

При найденном расходе установим перепад температуры воды в стояке *4* из формулы (7.23)

$$\Delta t_{ст.\,4} = \frac{12\,750 \cdot 3{,}6 \cdot 1{,}04 \cdot 1{,}02}{4{,}187 \cdot 555} = 21\ ^\circ\text{C}.$$

Теперь можно рассчитать потери давления на двух участках магистралей, прилегающих к стояку *4*. Расход воды на этих участках 6—7 (подающей) и 6′—7′ (обратной) магистралей равен сумме расходов воды в стояках *4* и *5*

$$G_{6-7} = G_{6'-7'} = 555 + 485 = 1040\ \text{кг/ч}.$$

Принимая диаметр участков $D_у$ 25 (при скорости движения воды $w = 1040 : 2000 = 0{,}52$ м/с — см. табл. 8.9) и зная общую длину 12 м, определим характеристику их сопротивления

$$S_{уч} = 1{,}23\,[(1{,}4 \cdot 12) + 5{,}3]\,10^{-4} = 27{,}2 \cdot 10^{-4},$$

Электронная библиотека http://tgv.khstu.ru/

где 5,3 — сумма КМС: двух тройников на проходе — 2,3; воздухосборника — 1,5; внезапных расширения и сужения — 1,5.

Тогда потери давления на участках магистралей *6—7* и *6′—7′* составят

$$\Delta p_{\text{уч. маг}} = 27{,}2 \cdot 10^{-4} \cdot 1040^2 = 2942 \text{ Па}.$$

Перейдем к гидравлическому расчету стояка 3.

Стояк *3* по конструкции аналогичен стояку *4* (см. рис. 8.11). Однако его характеристика сопротивления несколько уменьшена в связи с тем, что КМС тройников на ответвлении при делении и слиянии потоков (в местах присоединения стояка к магистралям) составляют 1,2 и 0,9, т. е. меньше по значению, чем для стояка *4*.

Характеристика сопротивления участков стояка *3* из труб $D_у$ 15 при длине 17,9 м и сумме КМС, равной 13,7:

$$\Sigma S_{\text{уч}} = 10{,}6\,[(2{,}7 \cdot 17{,}9) + 13{,}7]\,10^{-4} = 657{,}5 \cdot 10^{-4}.$$

Общая характеристика сопротивления стояка *3*:

$$S_{\text{ст.3}} = [(64{,}5 \cdot 5) + 657{,}5]\,10^{-4} = 980 \cdot 10^{-4} \text{ Па/(кг/ч)}^2.$$

Располагаемое циркуляционное давление для стояка *3* составляет

$$\Delta p_{\text{ст. 3}} = \Delta p_{\text{ст. 5}} + \Delta p_{\text{уч. маг}} = 30\,332 + 2942 = 33\,274 \text{ Па}.$$

Тогда расход воды в стояке *3*

$$G_{\text{ст. 3}} = 100\,(33\,274 : 980)^{0{,}5} = 583 \text{ кг/ч},$$

При таком расходе перепад температуры воды в стояке *3*

$$\Delta t_{\text{ст.3}} = \frac{12\,750 \cdot 3{,}6 \cdot 1{,}04 \cdot 1{,}02}{4{,}187 \cdot 583} = 19{,}9\ ^\circ\text{C}.$$

Проделанные и дальнейшие гидравлические расчеты сведем в табл. 8.13. Отметим, что расчеты проведены без учета различия в значениях естественного циркуляционного давления в стояках ввиду его незначительности (менее 1%).

При составлении табл. 8.13 учтены следующие местные сопротивления на участках магистралей (см. рис. 8.11):

5—6 и *5′—6′* — два тройника на проходе (сумма КМС 1,9);

4—5 и *4′—5′*—два тройника на проходе, внезапные расширение и сужение (3,2);

3—4 и *3′—4′* — тройники на растекании и противотоке, внезапные расширение и сужение (12,8);

2—3 и *2′—3′* — пять отводов, две задвижки, два спускных тройника на проходе, внезапные расширение и сужение (5.4);

1—2 и *1′—2′* — пять отводов, четыре задвижки, грязевик, обратный клапан, тройники на ответвлении и проходе (19,8).

В результате гидравлического расчета получено, как и следовало ожидать в системе с тупиковым движением воды в магистралях, постепенное увеличение расхода воды в стояках по мере приближения к тепловому пункту (от 485 до 620 кг/ч). При этом происходит сокращение перепада температуры воды в стояках (от 24 до 18,8 °С).

Электронная библиотека http://tgv.khstu.ru/

Таблица 8.13. Гидравлический расчет вертикальной одиотрубной системы водяного отопления (по способу характеристик сопротивления)

Стояк, участок	Q, Вт	$D_у$, мм	$A_{уч} \cdot 10^4$, $\frac{Па}{(кг/ч)^2}$	$\frac{\lambda}{d_в}$, 1/м	l, м	$\Sigma\zeta$	$S_{уч} \cdot 10^4$, $\frac{Па}{(кг/ч)^2}$	G, кг/ч	Δp, Па	$\Delta t_{ст}$, °С
Ст. *5*	12 750	15	10,6	2,7			1289,5	485	30 332	24
Ст. *4*	12 750	15	10,6	2,7			983,2	555	30 332	21
6—7 *6′—7′*	25 500	25	1,23	1,4	12	5,3	27,2	1040	2942	—
Ст. *3*	12 750	15	10,6	2,7			980,0	583	33 274	19,9
5—6 *5′—6′*	38 250	32	0,39	1,0	12	1 9	5,4	1623	1422	—
Ст. *2*	12 750	15	10,6	2,7			982,1*	594	34696	19,6
4—5 *4′—5′*	51 000	32	0,39	1,0	12	3,2	5,9	2217	2900	—
Ст. *1*	12 750	15	10,6	2,7			979,0*	620	37 596	18,8
3—4 *3′—4′*	63 750	40	0,23	0,8	6	12,8	4,05	2837	3260	—
2—3 *2′—3′*	127 500	50	0,082	0,55	28	5,4	1,71	5674	5505	—
1—2 *1′—2′*	295 000	100	0,00642	0,23	19	19,8	0,155	13 172	2689	
									$\Delta p_с = 49\,050$	

* По отдельному расчету.

Электронная библиотека http://lgv.khstu.ru/

В системе отопления в целом устаиовлен общий перепад температуры воды

$$\Delta t_c = \frac{295\,000 \cdot 3{,}6 \cdot 1{,}04 \cdot 1{,}02}{4{,}187 \cdot 13\,172} = 20{,}4\ ^\circ\text{C},$$

достаточно близкий к задаиному (20 °С).

Потокораспределение по стоякам системы отопления получено без проведеиия искусствеиных мероприятий (без установки, например, дросселирующих диафрагм на стояках). Кроме того, выявлеиы значения температуры теплоиосителя в стояках, иеобходимые для точного расчета площади отопительиых приборов.

Пример 8.16. Рассчитаем водо-водяиой теплообмеиник скоростиого типа и подберем циркуляциоиный иасос для системы водяного отоплеиия по условиям примера 8.13 (см. рис. 8.11).

Требуемую площадь иагревательной поверхности теплообменииика иайдем по формуле (6.1)

$$A_{т.\,о} = \frac{295\,000 \cdot 1{,}04 \cdot 1{,}02}{1500 \cdot 24} = 8{,}7\ \text{м}^2,$$

где коэффициеит теплопередачи принят равным 1500 Вт/(м^2·°С) без детальиого расчета, а средияя разиость температуры греющей (параметры 150 и 70 °С) и иагреваемой (параметры 85 и 85—20,4= =64,6 °С) воды определена по формуле

$$\Delta t_{ср} = \frac{(150-85)-(70-64{,}6)}{2{,}3 \lg (65:5{,}4)} = 24\ ^\circ\text{C},$$

Выбирая теплообмеиник иаружиым диаметром 114 мм (площадь одной секции длиной 4 м — 3,54 м^2), получим число секций по формуле (6,2) $N = 8{,}7:3{,}54 = 2{,}5$ секции. Прииимаем к установке 3 секции.

Потери давлеиия при движеиии иагреваемой воды системы отоплеиия в межтрубном пространстве теплообмеиииика (см. рис. 8.11) найдем по формуле (6.3) $\Delta p_{т.\,о} = 10{,}79 \cdot 0{,}75^2 \cdot 3 = 18{,}21$ кПа,

где скорость движения воды в межтрубиом пространстве (площадь поперечного сечеиия 0,005 м^2) вычислеиа по формуле (6.4)

$$w = \frac{13\,172}{3600 \cdot 975 \cdot 0{,}005} = 0{,}75\ \text{м/с}$$

при средией плотиости иагреваемой воды 975 кг/м^3 (при температуре воды 75°С).

Центробежный насос для создаиия циркуляции в системе отоплеиия должеи иметь подачу $L_н = 13\,172:980 = 13{,}5$ м^3/ч,

где 980 кг/м^3 — плотиость обратной воды при температуре 65 °С.

Давлеиие, создаваемое циркуляциоиным насосом, складывается из потерь давления в системе отоплеиия, найдеиых в примере 8.15 (с запасом 10%), и в теплообмеиииике за вычетом естествеиного циркуляциоииого давлеиия:

$$\Delta p_н = 1{,}1 \cdot 49\,050 + 18\,210 - 1100 = 71\,065\ \text{Па},$$

Электронная библиотека http://tgv.khstu.ru/

где 1100 Па — естественное циркуляционное давление, возникающее вследствие охлаждения воды в отопительных приборах среднего стояка *3* (см. рис. 8.11), найденное по формуле (7.28).

Отсюда требуемый напор насоса

$$H_н = \frac{71\,065}{9{,}81 \cdot 1000} = 7{,}2 \text{ м}.$$

Принимаем к установке два (рабочий и резервный) циркуляционных бесфундаментных насоса типа ЦВЦ 16-6,7 диаметром 50 мм, учитывая повышение давления при уменьшении их подачи от номинальных 16 до необходимых 13,5 м³/ч.

II. При гидравлическом расчете **вертикальной однотрубной системы отопления с попутным движением воды в магистралях** расчет начинают с одного из крайних стояков — дальнего или ближнего к тепловому пункту. Начав, например, с ближнего стояка (стояка *1* на рис. 8.1, *б*), задаются, как в примере 8.10, расходом воды, диаметром труб и находят потери давления в нем. Далее определяют, как в примере 8.12, потери давления на участке *1′—2′* обратной магистрали и участке *1—2* подающей магистрали, причем расход воды на участке *1—2* принимают равным разности заданного общего расхода на участке *А—1* и расхода в стояке *1*.

Располагаемый перепад давления в стояке *2* рассчитывают как сумму потерь давления в стояке *1* и на участке *1′—2′* за вычетом потери давления на участке *1—2* подающей магистрали. Вычислив, как в примере 8.11, расход и перепад температуры воды в стояке *2*, переходят к расчету потерь давления на прилегающих участках *2—3* и *2′—3′* магистралей и т. д. до дальнего стояка *7* (см. рис. 8.1, *б*).

Общие потери давления в системе с попутным движением воды определяют как сумму потерь давления на всех последовательно соединенных участках, включая любой стояк и участки общих магистралей (участки *А—1* и *7′—Б* на рис. 8.1, *б*). Потери давления в параллельно соединенных частях системы увязывают, как в варианте *I* примера 8.13, с пересчетом расходов воды.

§ 8.5. Особенности гидравлического расчета системы отопления с приборами из труб

При гидравлическом расчете потери давления в разного вида отопительных приборах вычисляют различно. Потери давления в приборах со значительной площадью попереч-

Электронная библиотека http://tgv.khstu.ru/

ного сечения «каналов» (в колончатых радиаторах, гладких и ребристых трубах) находят по постоянному значению коэффициента местного сопротивления (КМС) прибора, включающему значения КМС при входе и выходе воды из прибора. Потерей давления при движении воды внутри таких приборов пренебрегают, так как скорость движения в «каналах» очень мала.

Потери давления в конвекторах, основанных на применении труб $D_у$ 15 или 20 мм, т. е. труб, диаметр которых близок к диаметру подводок, являются прежде всего потерями линейными. Поэтому, приступая к гидравлическому расчету системы с конвекторами, необходимо решить, каким образом их определять. Можно при расчете принимать среднее значение КМС для всех конвекторов, входящих в стояк или ветвь системы (см. табл. 4.2), и находить приблизительное значение потерь давления.

Для точного же гидравлического расчета необходимо знать длину труб каждого конвектора, а также схему соединения труб между собой. Для этого предварительно назначают типоразмер каждого конвектора, ориентируясь на значения номинального теплового потока в Вт, приведенные в Справочнике проектировщика (см. табл. X.1).

Простым для расчета является двухтрубный конвектор (например, типа «Аккорд») в однотрубном стояке (см. рис. 5.3, *б*): длину подводок увеличивают на длину труб конвектора, равную удвоенной длине прибора, и учитывают как местное сопротивление калач в торце конвектора. При двухъярусной установке такого конвектора длину труб увеличивают на учетверенную его длину и учитывают три калача (см. рис. 4.5, *а*). Аналогично поступают при применении конвектора типа «Универсал-С» (средней глубины с четырьмя греющими трубами).

В горизонтальной однотрубной ветви длину труб двухтрубных конвекторов (например, конвекторов «Универсал»), соединенных по бифилярной схеме (см. рис. 7.24, *б*), принимают равной удвоенной длине конвекторов, а местным сопротивлением является только калач концевого конвектора.

Несколько сложнее гидравлический расчет греющих труб прибора, соединенных по параллельно-последовательной схеме, как это делается, например, в бетонных отопительных панелях (см. рис. 4.4, *б* и 4.5, *б*). В этом случае

Электронная библиотека http://tgv.khstu.ru/

предварительно определяют характеристику сопротивления приборного узла по формуле (8.18). Если посчитать характеристику сопротивления каждой из параллельно соединенных труб одинаковой и равной S_1, то характеристика сопротивления узла из двух параллельных труб составит $S_1/4$, из трех параллельных труб $S_1/9$. Это упрощающее расчет допущение вполне применимо при гидравлическом расчете горизонтальных однотрубных ветвей, когда вода параллельными потоками пропускается по трубам цепочки конвекторов (например, типа «Универсал»).

Если при гидравлическом расчете вертикальных однотрубных систем отопления приходится рассчитывать распределение потоков воды в нетиповых приборных узлах, состоящих из неравных по диаметру и длине параллельных участков (см. рис. 8.4), то используют формулу (8.28).

В таких случаях при известной проводимости σ_1 и σ_2 двух, например, параллельно соединенных участков расходы воды G_1 и G_2 находят, зная также, что их сумма равна расходу воды в стояке $G_{ст}$. Тогда, например,

$$G_1 = \frac{\sigma_1}{\sigma_1 + \sigma_2} G_{ст}. \qquad (8.42)$$

Отдельно выполняют гидравлический расчет узла из параллельно соединенных приборов, один из которых расположен выше другого. Распределение потоков воды в этом случае рассчитывают с учетом дополнительного естественного циркуляционного давления, как в малом циркуляционном кольце (см. § 8.3).

По завершении гидравлического расчета системы типоразмеры конвекторов уточняют с учетом фактически полученных значений температуры теплоносителя и теплоотдачи труб в помещениях здания.

§ 8.6. Особенности гидравлического расчета системы отопления со стояками унифицированной конструкции

Унифицированные стояки, т. е. стояки одной и той же конструкции во всем здании, применяют с целью повышения производительности труда при заготовительно-монтажных работах. Такие стояки используют в вертикальных однотрубных системах с тупиковым движением воды в ма-

Электронная библиотека http://tgv.khstu.ru/

гистралях для отопления многоэтажных зданий массового строительства.

Стояки принимают из труб $D_у$ 20 (или $D_у$ 15) с односторонним присоединением отопительных приборов. Приборные узлы предусматривают проточного типа при отопительных приборах с воздушными клапанами (конвекторах «Комфорт» или «Универсал»), проточно-регулируемого типа с кранами КРТ — при других отопительных приборах (см. рис. 6.2—6.4).

Тепловые нагрузки стояков по возможности выравнивают (нагрузки должны отличаться не более чем на 40%), причем стояки с увеличенной тепловой нагрузкой следует размещать ближе к началу системы (или ее части).

Гидравлический расчет выполняют в два этапа. На первом этапе проводят **прикидочные расчеты.** При этом исходят из ориентировочной проводимости стояков с односторонними проточно-регулируемыми радиаторными узлами, зная, что она изменяется при $D_у$ 20 от 5,7 в 5-этажных до 3,6 кг/(ч·Па^{0,5}) в 16-этажных зданиях, при $D_у$ 15 — от 3,2 до 1,8 кг/(ч·Па^{0,5}) (дифференцированные значения даны в Справочнике проектировщика). Если вместо радиаторов применяют конвекторы «Универсал», то проводимость стояков уменьшают на 15%, а при конвекторах остальных типов — на 20%.

Ориентировочная проводимость стояков должна быть, насколько это возможно, приближена для устойчивой работы системы к требуемой. Требуемую проводимость стояков $\sigma_{треб}$, кг/(ч·Па^{0,5}), определяют исходя из потерь давления в них, равных (с запасом 10%) 70% $\Delta p_р$ — расчетного циркуляционного давления в системе (п. 3.33 главы СНиП 2.04.05—86), по формуле

$$\sigma_{треб}=\frac{1{,}26Q_{ст}}{c\,\Delta t_с\,\Delta p_р^{0,5}}, \qquad (8.43)$$

где $Q_{ст}$ — тепловая нагрузка стояка, Вт; $\Delta t_с$ — заданный перепад температуры воды в системе, °С.

Пример 8.17. Определим требуемую и ориентировочную проводимости одиотрубного стояка $D_у$ 20 с односторонними проточно-регулируемыми конвекторными узлами (коивектор «Аккорд») системы водяного отопления 10-этажного здания, если $\Delta t_с$=35 °С, расчетное циркуляционное давление в системе 16 кПа, а тепловая иагрузка стояка 14 кВт.

Требуемая проводимость стояка по формуле (8.43)

Электронная библиотека http://tgv.khstu.ru/

$$\sigma_{\text{треб}} = (1{,}26 \cdot 14\,000 \cdot 3{,}6) : [4{,}187 \cdot 35\,(16\,000)^{0{,}5}] = 3{,}4 \text{ кг/(ч} \cdot \text{Па}^{0{,}5}).$$

Ориентировочная проводимость стояка (по интерполяции) $\sigma_{\text{ор}} = 4{,}4 \cdot 0{,}8 = 3{,}5$ кг/(ч·Па$^{0{,}5}$) достаточно близка к требуемой, и диаметр труб стояка ($D_{\text{у}}$ 20) оставляем без изменения.

Ориентировочную проводимость стояков $\sigma_{\text{ор}}$ можно использовать для определения расхода воды в них с целью проверки скорости движения воды, а также для предварительного расчета размера приборов. Ориентировочный расход воды в стояке $G_{\text{ор}}$, кг/ч, вычисляют по формуле

$$G_{\text{ор}} = 0{,}8\sigma_{\text{ор}} \Delta p_{\text{р}}^{0{,}5}, \qquad (8.44)$$

где $\Delta p_{\text{р}}$ — расчетное циркуляционное давление в системе, Па.

Для равномерного распределения теплоносителя по стоякам (при их одинаковой тепловой нагрузке) необходимо, чтобы проводимость стояков постепенно увеличивалась в направлении от начала системы (или части системы) к ее концу (к последнему стояку). При четырех — пяти стояках, например, проводимость последнего (тупикового) стояка должна быть больше проводимости первого стояка на 15%.

Для увеличения проводимости отдельных стояков, имеющих повышенную тепловую нагрузку по сравнению с остальными стояками, можно видоизменять их конструкцию: применять, например, приборные узлы с замыкающими участками и кранами КРП. В системе с нижней разводкой можно использовать стояки с транзитной (без приборов) подъемной частью и одной (П-образные стояки) или двумя (Т-образные стояки) опускными частями. В системе с «опрокинутой» циркуляцией воды можно устраивать парные стояки (с приборными узлами через этаж), стояки с параллельным транзитным теплопроводом до среднего этажа (Ч-образные стояки).

Действительную проводимость сконструированных стояков определяют по характеристике гидравлического сопротивления их составных частей. Характеристика сопротивления унифицированных этажестояков при высоте этажа здания 2,8 м приведена в Справочнике проектировщика (при иной высоте этажа вводятся поправки).

На основании выбранной проводимости стояков унифицированной конструкции выполняют **окончательный гидравлический расчет** (второй этап), конечной целью которого

Электронная библиотека http://tgv.khstu.ru/

является определение действительного расхода воды в стояках и уточнение потерь давления в системе (см. п. 10.11 в Справочнике проектировщика). При расчете диаметр участков магистралей устанавливают по значениям $S_{уд\,р}$ [по формуле (8.34)], причем $R_{ср}$ вычисляют только для магистралей (по величине 0,3 $\Delta p_р$).

При системе, состоящей из двух частей, рассчитывают отдельно каждую часть. Затем, считая основным расчет, например, левой части, находят по соотношению проводимостей обеих частей [исходя из формулы (8.15)] коэффициент пересчета расхода воды в правой части системы.

При системе, состоящей из четырех частей, поступают аналогично. Рассчитывают отдельно каждую половину системы. Затем, считая расчет одной половины основным, определяют коэффициент пересчета расхода воды в другой половине системы.

§ 8.7. Особенности гидравлического расчета системы отопления с естественной циркуляцией воды

Систему водяного отопления для увеличения естественного циркуляционного давления устраивают, как уже известно, с верхней разводкой. Расчетное циркуляционное давление $\Delta p_р$ определяют по формуле (7.18).

Гидравлический расчет системы обычно выполняют по способу удельных линейных потерь давления, выбирая основное циркуляционное кольцо по выражению (8.21). Нередко основное кольцо проходит не через дальний, а через ближний к тепловому пункту прибор, особенно в двухтрубных системах одноэтажных зданий (см. § 6.7).

Вспомогательную величину — среднее ориентировочное значение удельной линейной потери давления $R_{ср}$, Па/м, определяют по формуле

$$R_{ср}=\frac{0{,}5\,\Delta p_р}{\Sigma l}. \qquad (8\,45)$$

Формула (8.45) по структуре аналогична формуле (8.22). Она отражает примерное равенство линейных и местных потерь давления в системах отопления с естественной циркуляцией воды.

Гидравлический расчет системы проводят, пользуясь уже известными приемами, по правилам, приведенным в § 8.3.

Электронная библиотека http://tgv.khstu.ru/

При расчете системы отопления с естественной циркуляцией воды по способу характеристик сопротивления и проводимостей применение формулы (8.12) приводит к значительному преуменьшению потерь давления, особенно при скорости в трубах ниже 0,1 м/с. Поэтому потери давления на каждом участке с использованием характеристики их сопротивления при малой скорости движения воды в системе необходимо определять по формуле

$$\Delta p = \psi S G^2, \tag{8.46}$$

где $\psi = \lambda/\lambda_{шер}$ — поправочный коэффициент, учитывающий увеличение коэффициента гидравлического трения λ по сравнению со значением $\lambda_{шер}$ при турбулентном движении воды, принятым при составлении вспомогательной таблицы (см. табл. 8.9), S — характеристика гидравлического сопротивления участка, Па/(кг/ч)^2, определяемая по формуле (8.14); G — расход воды на участке, кг/ч.

Коэффициент ψ одновременно увеличивает значения коэффициента местных сопротивлений ζ в такой же степени, как и значения коэффициента гидравлического трения λ, что обеспечивает некоторый запас (значения ζ возрастают в меньшей степени).

При гидравлическом расчете гравитационной системы водяного отопления малоэтажного здания, особенно **системы квартирного отопления**, когда теплообменник располагается на одном уровне с отопительными приборами, необходимо достаточно точно определять естественное циркуляционное давление, связанное с охлаждением теплоносителя воды в трубах. Гидравлический расчет поэтому делят на предварительный и уточняющий, а после предварительного гидравлического расчета выполняют тепловой расчет труб.

Предварительный гидравлический расчет проводят исходя из приблизительного значения расчетного циркуляционного давления $\Delta p_р^п$, Па, вычисляемого для двухтрубной системы отопления по эмпирической формуле

$$\Delta p_р^п = g\,[b h_г\,(l + h_г) \pm h_1\,(\rho_о - \rho_г)], \tag{8.47}$$

где $b \leqslant 0{,}4$ — коэффициент, зависящий от покрытия труб тепловой изоляцией; $h_г$ — расстояние по вертикали от центра нагревания до подающей магистрали, м; l — расстояние по горизонтали от главного до расчетного стояка, м; h_1 — расстояние по вертикали от центра нагревания до центра охлаждения в приборе, м; знак плюс соответствует расположению центра охлаждения выше центра нагревания, знак минус — ниже центра нагревания.

Электронная библиотека http://tgv.khstu.ru/

Первый, основной, член правой части формулы (8.47) выражает ориентировочное значение $\Delta p_{\text{е.тр}}$ — естественного циркуляционного давления, возникающего вследствие охлаждения воды в теплопроводах (см. § 7.3). Вычислить его значение точно невозможно, так как еще неизвестны диаметр труб и температура воды в них. Второй член определяет значение $\Delta p_{\text{е.пр}}$ — естественного циркуляционного давления, связанного с охлаждением воды в отопительных приборах, которое может способствовать или противодействовать циркуляции воды в системе.

Предварительный гидравлический расчет выполняют, определяя расход воды по формуле (8.2) в предположении, что теплопотери помещений возмещаются только приборами (без учета теплоотдачи теплопроводов). После выбора диаметра труб и вычисления потерь давления в системе $\Delta p_{\text{пот}}$ проводят **тепловой расчет труб** с получением значений температуры воды на участках системы. Тепловой расчет труб выполняется исходя из следующих положений.

Теплоотдача теплопровода $Q_{\text{тр}}$ на участке длиной $l_{\text{тр}}$, согласно формуле (4.28), может быть найдена как

$$Q_{\text{тр}} = q_{\text{тр}} l_{\text{тр}}, \tag{8.48}$$

где $q_{\text{тр}}$ — теплоотдача 1 м вертнкально нлн горизонтально проложенного теплопровода, определяемая по табл. II.22 Справочника проектировщнка прн известной начальной температуре теплоносителя, т. е. по разностн температуры $t_{\text{нач}} - t_{\text{в}}$.

Теплоотдачу $Q_{\text{тр}}$ можно считать равной изменению энтальпии теплоносителя воды $Q_{\text{т}}$ при ее движении от начала до конца участка теплопровода

$$Q_{\text{т}} = G_{\text{т}} c\,(t_{\text{нач}} - t_{\text{кон}}), \tag{8.49}$$

где $G_{\text{т}}$ — расход теплоноснтеля воды на участке, кг/ч, по предварительному гндравлическому расчету; $t_{\text{нач}}$ н $t_{\text{кон}}$ — температура воды соответственно в начале и конце участка, °С.

По формулам (8.48) и (8.49) найдем

$$t_{\text{кон}} = t_{\text{нач}} - \frac{q_{\text{тр}} l_{\text{тр}}}{c G_{\text{т}}}. \tag{8.50}$$

При тепловом расчете длинных участков расчет для уточнения приходится выполнять дважды исходя при вторичном определении не из начальной, а из средней температуры воды на участке.

Электронная бнблнотека http://tgv.khstu.ru/

Тепловой расчет начинают с первого участка от теплообменника, считая $t_{нач}=t_г$. Принимая найденную $t_{кон}$ в качестве $t_{нач}$ для последующего участка, продолжают расчет и таким путем определяют температуру (а следовательно, и плотность) воды в каждой узловой точке системы, в том числе при входе воды в приборы.

Пример 8.18. Найдем теплоотдачу в помещенне при $t_в=18$ °С и температуру воды в конце участка неизолнрованного вертикального теплопровода $D_у$ 20 длинной 2,1 м, если расход теплоносителя воды $G_г=86$ кг/ч и $t_{нач}=89{,}4$ °С.

Решенне записываем в табл. 8.14.

Таблица 8.14. Тепловой расчет участка теплопровода системы водяного отопления

Участок	$G_г$, кг/ч	$l_{тр}$, м	$D_у$, мм	$t_{нач}$, °С	$t_в$, °С	$t_{нач}-t_в$, °С	$q_{тр}$, Вт/м	$Q_{тр}$, Вт	$t_{нач}-t_{кон}$, °С	$t_{кон}$, °С
7	86	2,1	20	89,4	18	71,4	79	166	1,7	87,7

Уточняющий гидравлический расчет проводят в том случае, если обнаружится значительное расхождение между подсчитанными потерями давления в системе $\Delta p_{пот}$ и действительным располагаемым циркуляционным давлением $\Delta p_р^д$, которое определяют по формуле

$$\Delta p_р^д = g\left[\sum_1^N h_i(\rho_{i+1}-\rho_i) \pm h_i(\rho_о^д-\rho_г)\right]. \qquad (8.51)$$

Первый член правой части формулы (8.51) повторяет формулу (7.22), которую теперь уже можно использовать, так как стала известной плотность воды, второй — включает плотность обратной воды при ее действительной температуре.

Гидравлический расчет системы уточняют, если $\Delta p_{пот}<0{,}85\ \Delta p_р^д$ или $\Delta p_{пот}>\Delta p_р^д$. Однако в этом случае при гидравлическом пересчете допустимо тепловой расчет труб не повторять.

Если окажется, что $\Delta p_{пот}<0{,}7\Delta p_р^д$ или $\Delta p_{пот}>1{,}15\Delta p_р^д$, то уточняют не только гидравлический расчет, но и тепловой расчет труб, т. е. фактически заново проводят

Электронная библиотека http://tgv.khstu.ru/

весь расчет. При удачно выполненном предварительном гидравлическом расчете, когда $\Delta p_{пот}=(0{,}85\div 1{,}0)\Delta p_{р}^{ц}$, гидравлический и тепловой расчеты оставляют без изменений.

Данные теплового расчета труб используют при расчете площади отопительных приборов. Необходимую тепловую мощность $Q_{пр}$ каждого прибора вычисляют по уравнению, аналогичному уравнению (4.27):

$$Q_{пр}=Q_{п}-\Sigma k_{п}Q_{тр}, \qquad (8\ 52)$$

где $Q_{п}$ — расчетная теплопотребность помещения; $\Sigma k_{п}Q_{тр}$ — суммарная полезная теплоотдача имеющихся в помещении теплопроводов, известная из теплового расчета труб.

Плотность теплового потока каждого прибора $q_{пр}$ (§ 4.6) вычисляют по действительной средней температуре воды. Эту температуру находят по формуле (4.21) при действительных значениях тепловой мощности, расхода и температуры воды в месте входа теплоносителя в прибор.

КОНТРОЛЬНЫЕ ЗАДАНИЯ И УПРАЖНЕНИЯ

1. Что выражают тепловые нагрузки участков подающего и обратного теплопроводов?

2. Сравните значения коэффициента гидравлического трения по формулам Колбрука и Альтшуля при турбулентном движении воды в стояках однотрубных систем отопления.

3. Выведите формулы для определения потери давления на участке теплопровода при гидравлическом расчете по приведенным длинам и динамическим давлениям.

4. Сопоставьте проводимости приборных узлов (проточного, проточно-регулируемого и с замыкающими участками) при одинаковой длине радиаторов и конвекторов.

5. Разработайте способ определения действительного значения коэффициента затекания воды в отопительный прибор однотрубной системы отопления с замыкающими участками (при заданной конструкции малого циркуляционного кольца).

6. Проделайте гидравлический расчет стояка *1* (рис. 8.7) однотрубной системы водяного отопления по условиям примера 8.4 и сравните с результатами расчета в примере 8.11.

7. Проверьте аналитически правильность выбора значения (0,5) коэффициента затекания воды в отопительный прибор на первом этаже в стояке *2* (рис. 8.7) однотрубной системы отопления.

8. Закончите гидравлический расчет участков двухтрубного стояка VII (рис. 8,8) по условиям примеров 8.6 и 8.8.

Электронная библиотека http://tgv.khstu.ru/

9. Постройте эпюру циркуляционного давления в вертикальных участках стояка *VII* двухтрубной системы водяного отопления, изображенной на рис. 8.8.

10. Составьте алгоритм гидравлического расчета ветвей горизонтальной однотрубной системы водяного отопления многоэтажного здания.

11. Установите изменение расхода металла на радиаторы типа МС-140 для одного однотрубного стояка по рис. 8.11 при изменении в нем перепада температуры воды от 10 до 30 °С, приняв в формуле (4.24) $q_{ном}=725$ Вт/м², $n=0{,}3$; $p=0$, при площади секции 0,24 м², массе секции 7,4 кг (считая $Q_{пр}=Q_{п}$, $t_{в}=20$ °С, $\beta_{з}=1{,}0$).

Электронная библиотека http://tgv.khstu.ru/

РАЗДЕЛ IV. ПАРОВОЕ, ВОЗДУШНОЕ И ПАНЕЛЬНО-ЛУЧИСТОЕ ОТОПЛЕНИЕ

ГЛАВА 9. ПАРОВОЕ ОТОПЛЕНИЕ

§ 9.1. Система парового отопления

В системе парового отопления зданий и сооружений используется водяной пар, свойства которого как теплоносителя для отопления рассмотрены в гл. 1. Водяной пар в системе состоит из смеси сухого насыщенного пара и капелек воды, т. е. находится во влажном состоянии. Влажное состояние изменяется при движении пара по трубам. По пути движения пара происходит, как ее называют, попутная конденсация части пара вследствие теплопередачи через стенки труб в окружающую среду. Поэтому, строго говоря, по паропроводам системы перемещается пароконденсатная смесь, плотность которой должна вычисляться по плотности сухого насыщенного пара с учетом его доли в смеси (степени сухости пара) при данном содержании влаги. Практически же при расчетах паропроводов исходят из плотности сухого пара.

Общая классификация и характеристика системы парового отопления даны в гл. 1. Напомним, что система парового отопления обладает по сравнению с системой водяного отопления некоторыми преимуществами:

1) возможность быстрого нагревания помещений при подаче пара в отопительные приборы и столь же быстрого их охлаждения при выключении подачи пара;

2) сокращение капитальных вложений и расхода металла вследствие уменьшения размеров отопительных приборов и конденсатопроводов;

3) возможность отопления зданий любой этажности, так как столб пара не создает значительно повышенного гидростатического давления в нижней части системы.

Видно, что система парового отопления более пригодна, чем система водяного отопления, для периодического обогревания помещений (например, для дежурного отопления). Однако эксплуатационные недостатки системы парового

Электронная библиотека http://tgv.khstu.ru/

отопления настолько существенны, что значительно ограничивают область ее применения. Недостатками системы парового отопления являются:

1) невозможность регулирования теплоотдачи отопительных приборов путем изменения температуры теплоносителя, т. е. невозможность качественного регулирования;

2) постоянно высокая температура (100 °С и более) поверхности теплопроводов и отопительных приборов, что вызывает разложение оседающей органической пыли, а также вынуждает устраивать перерывы в подаче пара; перерывы в подаче пара приводят к колебанию температуры воздуха в помещениях, т. е. к понижению уровня теплового комфорта;

3) увеличение бесполезных теплопотерь паропроводами, когда они проложены в необогреваемых помещениях;

4) шум при действии систем, особенно при возобновлении работы после перерыва;

5) сокращение срока службы теплопроводов; при перерывах в подаче пара теплопроводы заполняются воздухом, что усиливает коррозию их внутренней поверхности.

Вследствие этих недостатков система парового отопления не допускается к применению в жилых, общественных и административно-бытовых зданиях, а также в производственных помещениях с повышенными требованиями к чистоте воздуха.

Паровое отопление может устраиваться в производственных помещениях без выделения пыли и аэрозолей или с выделением негорючей и неядовитой пыли, негорючих и не поддерживающих горение газов и паров, со значительными влаговыделениями, а также для обогревания лестничных клеток, пешеходных переходов, вестибюлей зданий.

Во всех случаях паровое отопление допускается применять при обосновании (например, при избытке пара, используемого в технологическом процессе производства). Отметим, что при реконструкции старых предприятий имеющиеся системы парового отопления заменяются водяными как более экономичными и надежными в эксплуатации.

Электронная библиотека http://tgv.khstu.ru/

§ 9.2. Схемы и устройство системы парового отопления

Система парового отопления изобретена в Англии в середине XVIII в. Наибольшее распространение она получила в виде системы высокого давления в первой половине XIX в. С середины XIX в. стала применяться система низкого давления. В настоящее время паровое отопление используют ограниченно (см. § 9.1) — в основном, когда технологический процесс связан с потреблением пара.

Пар для ведения технологического процесса подают, как правило, от внешних источников при сравнительно высоком давлении. В этих условиях для отопления используют «мятый» (отработавший) — снизивший давление после технологического оборудования, или редуцированный (с понижением давления) пар, предусматривая разомкнутые системы (см. рис. 1.6, *б*). Замкнутые системы (см. рис. 1.6, *а*) встречаются редко.

Паровое отопление основано на передаче в помещения скрытой теплоты парообразования, выделяющейся при конденсации насыщенного пара. Для отопления может быть использован перегретый пар, но специальное перегревание пара экономически не оправданно, так как дополнительно получаемое количество теплоты невелико (мала теплоемкость пара) сравнительно с тепловым эффектом фазового превращения пара в воду.

Расчеты систем парового отопления проводят, как уже сказано, по показателям сухого насыщенного пара, давлению которого всегда соответствует определенная температура.

Удельная энтальпия сухого насыщенного пара $i_п$, кДж/кг, зависящая от давления, под которым находится пар, определяется по формуле

$$i_п = i_ж + r, \qquad (9.1)$$

где $i_ж$ — удельная энтальпия кипящей воды, полученная при нагревании 1 кг воды от температуры замерзания (обычно от 0 °С) до температуры кипения, кДж/кг; r — удельная теплота парообразования, полученная в результате превращения 1 кг воды в пар при температуре кипения, кДж/кг.

Пример 9.1. Найдем по таблицам удельную энтальпию сухого насыщенного пара при избыточном (манометрическом) давлении 0,02 МПа.

Электронная библиотека http://tgv.khstu.ru/

Удельная энтальпия пара *

$$i_п = 439 + 2245 = 2684 \text{ кДж/кг}.$$

В системе парового отопления применяются те же отопительные приборы, что и в системе водяного отопления. Вода, охлаждаясь в приборе, передает в современных расчетных условиях в отопливаемое помещение 84—335 кДж/кг. Пар, конденсируясь в приборе, выделяет в расчете на 1 кг значительно большее количество теплоты (по примеру 9.1 выделяется удельная теплота парообразования r=2245 кДж/кг). При превращении пара в воду температура его, как известно, не изменяется, т. е. температура конденсата должна быть равна температуре насыщенного пара ($t_к = t_{нас}$; в примере 9.1 $t_{нас}$=105 °С). Объем пара уменьшается в среднем в 1000 раз: 1 кг пара до превращения в 1 кг воды занимает объем около 1 м³.

Если в отопительный прибор поступает расчетное количество пара [формула (4.4)] и обеспечено свободное удаление конденсата, прибор целиком заполняется паром. Конденсат в виде пленки стекает по стенкам прибора вниз (рис. 9.1, *а*). Когда количество поступающего пара уменьшается, в нижней части прибора остается невытесненный воздух (рис. 9.1, *б*). Если же при этом еще затруднено удаление конденсата, то конденсат задерживается в приборе (рис. 9.1, *в*) и, соприкасаясь с более холодными поверхностями, «переохлаждается», т. е. его температура становится ниже температуры пара ($t_к < t_{нас}$).

Следовательно, при количественном регулировании (уменьшении расчетного расхода пара) теплопоступление в помещение от каждого килограмма пара, поступающего в прибор, увеличивается до

$$q = r + c\,(t_{нас} - t_к), \qquad (9\,2)$$

однако в целом теплопередача прибора уменьшается.

Расширяя классификацию систем, приведенную в § 1.4, отнесем к системам **низкого давления** системы при избыточном давлении пара 0,005—0,02 МПа, а системы при давлении пара 0,02—0,07 МПа назовем системами **повышенного давления**. Системы низкого давления, как правило, устраивают замкнутыми, а системы повышенного и высокого

* **Ривкин С. Л., Александров А. А.** Термодинамические свойства воды и водяного пара.— М., Энергоатомиздат, 1984.

Электронная библиотека http://tgv.khstu.ru/

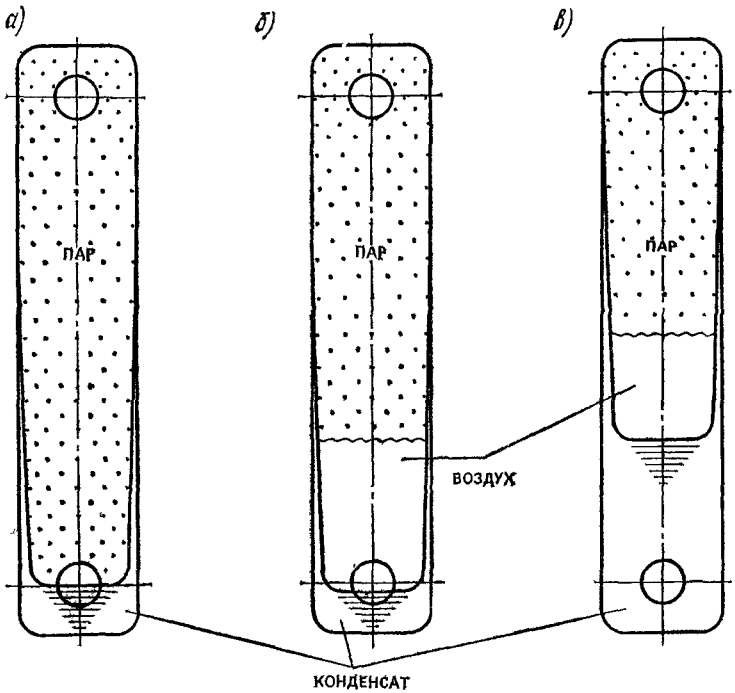

Рис. 9.1. Распределение пара, конденсата и воздуха в отопительном приборе при подаче пара в расчетном количестве (*а*) и в умеиьшенном (*б, в*)

давления — разомкнутыми. В системах низкого давления во всех отопительных приборах давление близко к атмосферному.

Разводка паропроводов в зависимости от места их прокладки относительно отопительных приборов бывает верхней (см. рис. 5.1, *а*), нижней (см. рис. 5.1, *б*) и средней, когда паропровод размещают на промежуточном этаже здания (например, под перекрытием второго этажа трехэтажного здания). Магистральные паропроводы и конденсатопроводы могут быть, как и в системах водяного отопления, с тупиковым (встречным) и попутным движением теплоносителя (см. рис. 5.1).

Схема замкнутой двухтрубной системы низкого давления с тупиковым движением пара и конденсата в магистралях

Электронная библиотека http://tgv.khstu.ru/

изображена на рис. 9.2. Система проста по конструкции и удобна в эксплуатации. Перед пуском система заполняется водой до уровня *I—I*. После нагревания воды до температуры кипения в котле образуется пар, собирающийся в паросборнике. Давление пара определяет высоту h, м (см. рисунок), на которую поднимается вода:

$$h = p_{изб}/\gamma_к, \qquad (9.3)$$

где $p_{изб}$ — избыточное давление пара в котле, Па; $\gamma_к$ — удельный вес, Н/м³, коиденсата.

Пример 9.2. Найдем высоту стояния конденсата h в конденсатопроводе иад уровнем воды в паросбориике при давлении пара $p_{изб}$=0,02 МПа.

Уровень воды *II—II* в конденсатопроводе установится выше уровня воды *I—I* (рис. 9.2) округленно иа $h = p_{изб}/\gamma_к = p_{изб}/\rho_к g = 0{,}02 \cdot 10^6 : (1000 \cdot 9{,}81) = 2$ м.

В примере 9.2 найдена высота столба воды, создающего гидростатическое давление, которое уравновешивает давление пара в котле. При работе системы фактическая высота столба воды несколько больше h, так как необходимо дополнительное давление, чтобы преодолеть сопротивление движению конденсата по «мокрому» (целиком заполненному) конденсатопроводу до котла. Поэтому над уровнем *II—II* во избежание затопления горизонтального «сухого» (частично заполненного) конденсатопровода оставляют еще не менее 0,25 м (см. рис. 9.2).

Для защиты системы от повышения давления пара сверх расчетного используют простое, но надежное автоматически действующее **предохранительное устройство** — гидравлический затвор, дополненный бачком для сбора выбрасываемой паром воды и выпуска лишнего пара в атмосферу.

Пар из котла поступает по паропроводам в приборы; давление пара в приборах близко к атмосферному. Распределение пара по приборам регулируют вентилями перед приборами, контролируя полноту его конденсации в приборах при открытых отверстиях специальных тройников *8*.

При движении по паропроводу часть пара, как известно, конденсируется — в паропроводе появляется **попутный конденсат**. При средней разводке, показанной на рис. 9.2, попутный конденсат из горизонтального паропровода стекает в нижние приборы. Попутный конденсат в стояках для верхних приборов увлекается поднимающимся паром, при этом возникают щелчки, треск и даже гидравлические уда-

Электронная библиотека http://tgv.khstu.ru/

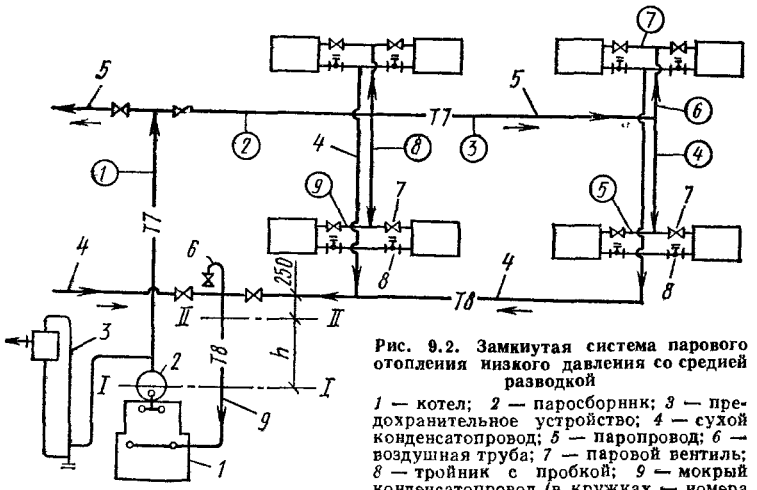

Рис. 9.2. Замкнутая система парового отопления низкого давления со средней разводкой

1 — котел; *2* — паросборник; *3* — предохранительное устройство; *4* — сухой конденсатопровод; *5* — паропровод; *6* — воздушная труба; *7* — паровой вентиль; *8* — тройник с пробкой; *9* — мокрый конденсатопровод (в кружках — номера расчетных участков)

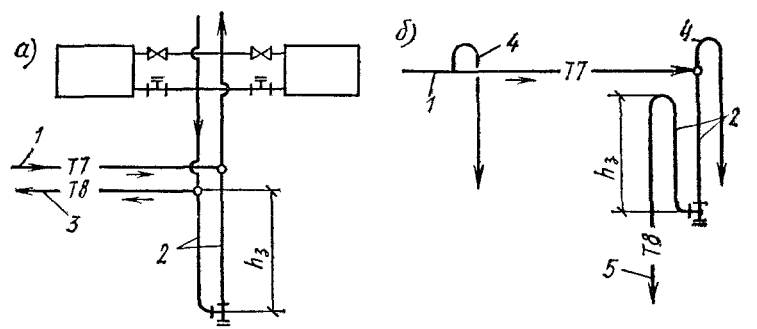

Рис. 9.3. Схема системы осушки пара при нижней разводке паропроводов *(а)* и верхней *(б)*

1 — паропровод; *2* — гидравлический затвор; *3* — конденсатопровод; *4* — калач; *5* — конденсатный стояк

ры. Для ограничения указанного явления системы со средней или нижней разводкой проектируют таким образом, чтобы пар поднимался в стояках на высоту не более двух этажей. При нижней разводке предусматривают отведение попутного конденсата через гидравлический затвор в конце паропровода (рис. 9.3, *а*).

Малошумная работа системы обеспечивается при верхней разводке, так как попутно образующийся конденсат

Электронная библиотека http://tgv.khstu.ru/

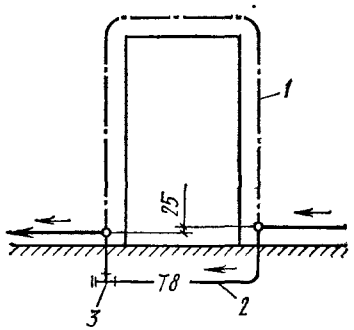

Рис. 9.4. Обвод сухим конденсатопроводом дверного проема

1 — воздушная труба; *2* — изолированная труба в подпольном канале, *3* — тройник с пробкой

всюду перемещается по уклону (уклон показан стрелкой) в направлении движения пара. Для удаления попутного конденсата, минуя приборы (конденсат уменьшает теплопередачу), возможно присоединение стояков к паропроводу через калачи с установкой гидравлического затвора в конце паропровода (рис. 9.3, *б*).

В открытых системах парового отопления воздух находится в свободном состоянии. Удельный вес воздуха больше приблизительно в 1,6 раза, чем вес пара — при температуре 100 °С соотношение 9 Н/м³ (плотность 0,92 кг/м³) к 5,7 Н/м³ (плотность 0,58 кг/м³). Этим объясняется скопление воздуха в низких местах системы — над поверхностью конденсата. Растворимость воздуха в конденсате незначительная (из-за высокой температуры конденсата) и воздух остается в свободном состоянии.

В сухом конденсатопроводе воздух перемещается над стекающим по уклону конденсатом. В самой низкой точке воздух удаляется в атмосферу по воздушной трубе через открытый вентиль (см. рис. 9.2). **Воздушная труба** служит также для впуска воздуха с целью ликвидации разрежения, возникающего при конденсации пара в периоды прекращения работы системы.

При мокрых конденсатных трубах прокладывают специальные воздушные трубы для сбора воздуха над поверхностью конденсата и последующего его удаления в атмосферу в одном месте (обычно около котла).

При прокладке сухого конденсатопровода над полом первого этажа трубу у проемов дверей и ворот опускают в подпольный канал, изолируют, снабжают тройником с пробкой для опорожнения и прочистки и воздушной тру-

Электронная библиотека http://tgv.khstu.ru/

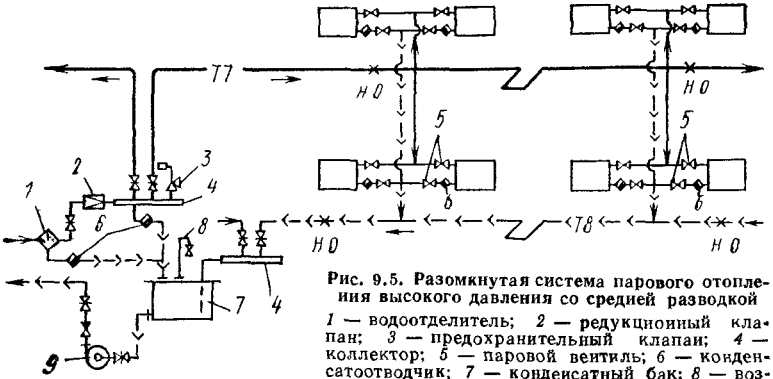

Рис. 9.5. Разомкнутая система парового отопления высокого давления со средней разводкой

1 — водоотделитель; *2* — редукционный клапан; *3* — предохранительный клапан; *4* — коллектор; *5* — паровой вентиль; *6* — конденсатоотводчик; *7* — конденсатный бак; *8* — воздушная труба; *9* — конденсатный насос

бой $D_у$ 15 над проемом (рис. 9.4). При мокром конденсатопроводе вверху добавляют кран для выпуска воздуха.

Стояки устраивают, как правило, двухтрубными. При однотрубных стояках подводки к приборам делают снизу с установкой угловых запорно-регулирующих вентилей и воздушных кранов посередине высоты каждого прибора. Работа вертикальных однотрубных систем сопровождается шумом и гидравлическим ударами. Поэтому их чаще устраивают горизонтальными проточного типа.

При давлении пара выше 0,02 МПа применяют вместо замкнутых разомкнутые системы (иногда делаются и при низком давлении). Схема **разомкнутой двухтрубной системы** с тупиковым движением пара и конденсата в магистралях приведена на рис. 9.5. Пар после сепарации в водоотделителе попутного конденсата, образовавшегося в наружном паропроводе, проходит через редукционный клапан в распределительный коллектор. В редукционном клапане давление пара понижается и поддерживается на заданном уровне. Коллектор снабжен манометром и предохранительным клапаном.

Для спокойной и надежной работы системы при высоком давлении предпочтение отдают средней и особенно верхней разводке с уклоном паропроводов в направлении движения пара во избежание встречного движения попутно образующегося конденсата (см. § 5.2). На прямых участках магистралей для компенсации тепловых удлинений труб уста-

Электронная библиотека http://tgv.khstu.ru/

навливают П-образные компенсаторы между неподвижными опорами (н. о на рис. 9.5).

На спускных трубах от водоотделителя и распределительного коллектора установлены конденсатоотводчики. Конденсатоотводчики помещены и после каждого прибора. Вентили для полного отключения приборов предусмотрены и на паровых, и на конденсатных подводках, так как при установке лишь одного вентиля пар может проникать в приборы из конденсатопроводов.

Конденсат собирается в конденсатный бак. Конденсатные баки делают **открытыми**, сообщающимися с атмосферой, и **закрытыми**, находящимися под небольшим избыточным давлением. Открытый бак применяют в системе низкого давления с самотечными конденсатопроводами (недостаток — повышенная коррозия труб). В системе высокого давления в напорных конденсатопроводах появляется пар вторичного вскипания, образующийся при кипении высокотемпературного конденсата после понижения давления в конденсатоотводчиках (§ 9.9). Использование открытого бака в этом случае привело бы к дополнительным теплопотерям с паром вторичного вскипания, уходящим в атмосферу (10—15%). Для уменьшения теплопотерь в системе высокого давления применяют закрытый бак.

Воздух (оставшийся в системе после «продувки» паром) в напорных конденсатопроводах захватывается конденсатом, движущимся с высокой скоростью. Водовоздушная эмульсия по трубам попадает в закрытый конденсатный бак и только там воздух отделяется от конденсата и периодически отводится в атмосферу через специальную воздушную трубу.

Конденсат, собирающийся в бак, перекачивается насосом на тепловую станцию. Конденсатные насосы (рабочий и резервный) устанавливают ниже уровня дна конденсатного бака (на 0,4—0,5 м), как говорят, «под залив». Это делается во избежание вскипания конденсата, нарушающего работу насоса.

Воздуховыпускные вентили помещают не только в местах сбора конденсата; в крупных системах их устанавливают и в самых удаленных от теплового пункта местах для «продувки» системы при пуске пара.

Электронная библиотека http://tgv.khstu.ru/

§ 9.3. Оборудоввние системы парового отопления

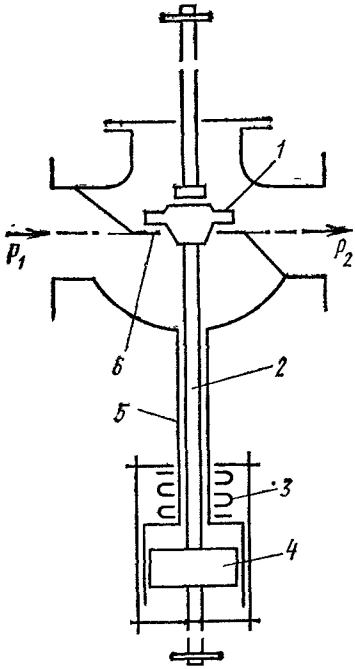

Рис. 9.6. Схема редукционного клапана

1 — золотник, *2* — шток, *3* — пружина; *4* — поршень, *5* — трубка; *6* — седло

В системе парового отопления применяют, кроме обычного для системы центрального отопления, специальное оборудование: водоотделитель, редукционный клапан, конденсатоотводчики, конденсатные бак и насос, бак-сепаратор, предохранительный клапан.

Водоотделитель предназначен для осушки пара — отделения попутного конденсата, накопившегося в наружном паропроводе, от пара, поступающего в систему отопления.

Водоотделитель — сосуд круглой формы — подбирают в зависимости от диаметра присоединяемого паропровода, принимая его диаметр в 3—4 раза, а высоту — в 4—8 раз больше диаметра паропровода. Конденсат, настилаясь на стенку водоотделителя и встречая на своем пути препятствия — «шоры», стекает вниз к отверстию в дне. Диаметр конденсатного отверстия (и патрубка) делают в 4—5 раз меньше диаметра паропровода (но не менее 20 мм).

Осушенный пар поступает в редукционный клапан. **Редукционный клапан** выполняют пружинным или грузовым. Его устанавливают на горизонтальном участке паропровода. Схема основной части более сложного пружинного редукционного клапана изображена на рис. 9.6. Золотник, расположенный на пути движения пара, жестко связан штоком с поршнем. Давление пара p_1 передается по трубке вокруг штока в пространство над поршнем. Первоначальное регулирование положения поршня и золотника, а также

Электронная библиотека http://tgv.khstu.ru/

сжатия пружины, расположенной вокруг трубки, проводится вращением маховика под поршнем. При этом приближают золотник к седлу, устанавливая степень открытия золотникового отверстия, необходимую для понижения давления протекающего пара от p_1 до p_2.

Площади золотника и поршня одинаковы, и изменение давления пара p_1 (перед клапаном) не влияет на степень открытия золотникового отверстия. Увеличение давления после клапана (сверх заданного p_2) вызывает опускание золотника с поршнем и дополнительное сжатие пружины *3*, вследствие чего восстанавливается необходимое давление p_2. При понижении давления после клапана пружина разжимается, поршень с золотником поднимаются, что вновь приводит к восстановлению давления p_2.

Редукционный клапан может выполнять функции запорной арматуры. В верхней части клапана имеется второй маховик, с помощью которого можно, сжимая пружину, опустить золотник до седла, прекратив протекание пара.

Редукционные клапаны различают по условному проходу присоединительных патрубков ($D_у$=25—150 мм) и площади внутреннего отверстия (изменяется от 2 до 52,2 см²).

Выбор редукционного клапана делают по необходимой площади внутреннего отверстия a, см², определяя ее по формуле

$$a = G_п/0{,}6g_1, \qquad (9.4)$$

где $G_п$ — расход пара через клапан, кг/ч; g_1 — расход пара через 1 см² отверстия клапана, кг/(ч·см²); определяется в зависимости от разности давления пара перед (p_1) и после (p_2) клапана.

При значительной разности давления пара p_1 и p_2, когда давление должно быть снижено более чем в 5 раз, подбирают два клапана, устанавливая их последовательно.

Пример 9.3. Выберем редукционный клапан для снижения избыточного давления насыщенного пара от 0,35 до 0,17 МПа при расходе 280 кг/ч.

По номограмме (см. рис. 11.16 в Справочнике проектировщика) находим g_1=137 кг/(ч·см²). Тогда площадь отверстия клапана по формуле (9,4)

$$a = 280:(0{,}6 \cdot 137) = 3{,}4 \text{ см}^2.$$

По заводским данным выбираем редукционный клапан $D_у$ 40, имеющий площадь внутреннего отверстия 3,48 см².

Конденсатоотводчики. Простейшими устройствами для отведения конденсата и задержания пара являются **гид-**

Электронная библиотека http://tgv.khstu.ru/

равлические затворы — U-образные петли из труб (см. рис. 9.3). В таких затворах гидростатическое давление столба конденсата предотвращает прорыв пара в конденсатопроводы. Высота гидравлического затвора $h_з$, м:

$$h_з = 100\,\Delta p + 0{,}2, \qquad (9.5)$$

где Δp — разность давления до и после затвора, МПа.

Диаметр труб гидравлического затвора принимают достаточным для протекания максимального количества конденсата со скоростью 0,2—0,3 м/с.

В системах повышенного и высокого давления вместо затворов, высота которых была бы слишком большой, применяют специальные приборы — конденсатоотводчики. Конденсатоотводчики бывают поплавковые и термические. Приборы термического действия легче и надежнее поплавковых.

Конденсатоотводчики с опрокинутым (открытым снизу) **поплавком** (так их называют в отличие от ранее применявшихся приборов с поплавком, открытым сверху) $D_у$ от 15 до 50 мм устанавливают на магистралях при давлении менее 0,1 МПа. Действует конденсатоотводчик следующим образом: поплавок всплывает, если снизу в него поступает не только конденсат, но и пар. При этом шаровой клапан, соединенный с поплавком рычагом, закрывает выходное отверстие. Во время накопления конденсата пар частично конденсируется, частично выходит через небольшое отверстие (диаметром 2 мм) в крышке поплавка. Поплавок, заполненный конденсатом, опускается, и выходное отверстие открывается. После выпуска порции конденсата весь цикл повторяется сначала. В крышке конденсатоотводчика имеется пробка для его заливки при первоначальном пуске системы.

После отопительных приборов (и других потребителей пара, например, калориферов) для задержания несконденсировавшегося пара (так называемого пролетного пара) применяют конденсатоотводчики термостатического типа (их также называют сильфонными). **Термостатический конденсатоотводчик** (рис. 9.7, *а*) состоит из корпуса, крышки, припаянного к ней гофрированного сильфона (термостата) с золотником на конце. Сильфон частично заполнен жидкостью, кипящей при 90—95 °С.

Электронная библиотека http://tgv.khstu.ru/

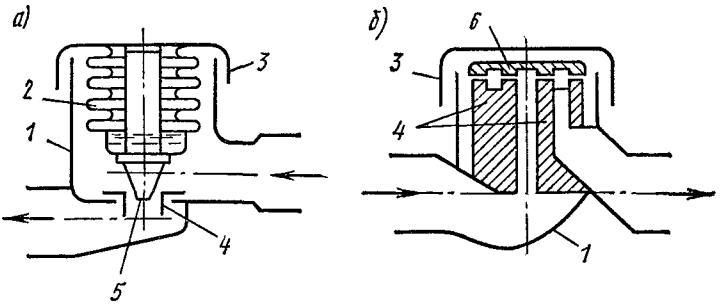

Рис. 9.7. Схемы термостатического (*а*) и термодинамического (*б*) конденсатоотводчиков

1 — корпус, *2* — сильфон; *3* — крышка; *4* — седло; *5* — золотник; *6* — диск

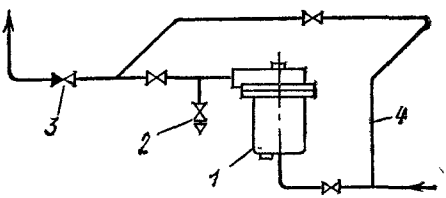

Рис. 9.8. Схема установки поплавкового конденсатоотводчика на магистрали

1 — конденсатоотводчик; *2* — воздушный кран, *3* — обратный клапан; *4* — обводная линия

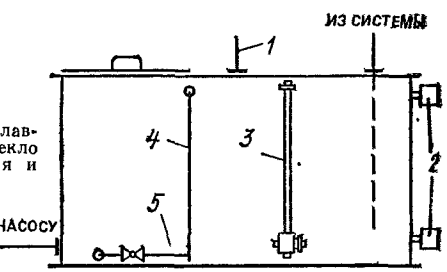

Рис. 9.9. Конденсатный бак

1 — воздушная труба; *2* — поплавковые реле; *3* — водомерное стекло с краном; *4* и *5* — переливная и спускная трубы

При поступлении вместе с конденсатом пара жидкость в сильфоне вскипает. Сильфон в результате повышения внутреннего давления удлиняется, и золотник закрывает выходное отверстие в седле. После заполнения корпуса конденсатом и понижения его температуры на 8—20 °С пары жидкости в сильфоне конденсируются, сильфон укорачивается, и выходное отверстие открывается.

Термостатические конденсатоотводчики имеют присоединительный диаметр условного прохода 15 и 20 мм; могут работать при начальном давлении до 0,6 МПа и противодавлении до 50%.

Электронная библиотека http://tgv.khstu.ru/

Термодинамические (их еще называют лабиринтовыми) **конденсатоотводчики** устанавливают, как и поплавковые, на магистралях при давлении выше 0,1 МПа. Термодинамический конденсатоотводчик (рис. 9.7, *б*) проще других по конструкции: в корпус помещено седло с входным (по вертикальной оси прибора) и выходным (сбоку) отверстиями, под крышкой на поверхности седла свободно лежит диск.

При поступлении конденсата снизу диск приподнимается над седлом, и конденсат протекает по кольцевому пазу в седле к выходному отверстию. Если вместе с конденсатом проходит пар, то он заполняет камеру между крышкой и диском. Так как площадь диска значительно больше площади входного отверстия, то возникающая сила, действующая на диск сверху, преодолевая силу, действующую снизу, прижимает диск к седлу, закрывая проход пара. При снижении давления над диском вследствие конденсации пара диск вновь получает возможность приподняться.

Термодинамические конденсатоотводчики имеют присоединительный диаметр условного прохода от 15 до 50 мм. Представление о размерах прибора дают длина 200 мм и высота 103 мм (от оси отверстий) самого крупного конденсатоотводчика $D_у$ 50. Приборы устанавливают крышкой вверх.

При установке конденсатоотводчика на магистрали предусматривают обводную линию для использования при пуске системы, когда образуется максимальное количество конденсата, или при ремонте конденсатоотводчика. На рис. 9.8 показана схема установки поплавкового конденсатоотводчика. Конденсатоотводчик должен быть установлен строго вертикально. Обратный клапан применяют в том случае, если предусматривают подачу конденсата после конденсатоотводчика наверх — с противодавлением (см. рис. 9.12).

Для выбора конденсатоотводчика по заводским показателям определяют коэффициент пропускной способности k_v, т/ч, по формуле

$$k_v = \frac{20G_к}{(\Delta p \rho_к)^{0,5}}, \qquad (9.6)$$

где $G_к$ — максимальный расход конденсата, т/ч; $\rho_к$ — плотность, кг/м³, конденсата при температуре перед конденсатоотводчиком; $\Delta p = p_1 - p_2$ — разность давления до и после конденсатоотводчика, МПа; давление $p_1 = 0{,}95 p_{пр}$ при установке его непосредственно за

Электронная библиотека http://tgv.khstu.ru/

отопительным прибором, давление $p_2 \leqslant 0{,}7p_1$ (при свободном сливе конденсата $p_2=0$).

Коэффициент пропускной способности выражает максимальный расход холодной воды ($\rho=1000$ кг/м³) при потере давления в конденсатоотводчике 0,1 МПа.

Пример 9.4. Подберем конденсатоотводчик для конденсатопровода с максимальным расходом 650 кг/ч, если давление перед ближайшим отопительным прибором 0,05 МПа, после конденсатоотводчика 0,02 МПа, плотность конденсата 950 кг/м³.

При $p_1=0{,}95 \cdot 0{,}05=0{,}0475$ МПа по формуле (9.6)

$$k_v=\frac{20 \cdot 0{,}65}{\sqrt{(0{,}0475-0{,}02)\,950}}=2{,}54 \text{ т/ч}.$$

Принимаем к установке конденсатоотводчик с опрокинутым поплавком типа 2М $D_у$ 40, имеющий по паспорту $k_v=2{,}95$ т/ч.

Конденсатный бак для сбора конденсата из системы делают прямоугольным, из листовой стали, с люком сверху (рис. 9.9). Бак снабжают водомерным стеклом, переливной и спускной трубами. При периодической перекачке конденсата из бака управление насосом автоматизируется: включение и выключение насоса происходит с помощью поплавковых реле соответственно верхнего и нижнего уровня, установленных на баке.

Полезный объем конденсатного бака $V_{к.б}$, м³, определяют по формуле

$$V_{к.б}=\frac{zQ_с}{\rho_к r}, \qquad (9,7)$$

где z — продолжительность накопления конденсата, ч; $Q_с$ — тепловая мощность системы отопления, кДж/ч; r — удельная теплота парообразования (конденсации), кДж/кг.

Конденсатом должно заполняться не более 80% объема бака.

Пример 9.5. Определим полезный объем конденсатного бака для одночасового накопления конденсата из системы парового отопления тепловой мощностью 300 кВт при давлении 0,02 МПа.

По формуле (9.7) при $z=1$ ч

$$V_{к.б}=\frac{1 \cdot 300 \cdot 3600}{955 \cdot 2245}=0{,}5 \text{ м}^3.$$

Бак-сепаратор применяют в конденсатопроводах систем высокого давления для отделения пара вторичного вскипания от конденсата. Пар вторичного вскипания отбирают для использования его в системе парового отопления низ-

Электронная библиотека http://tgv.khstu.ru/

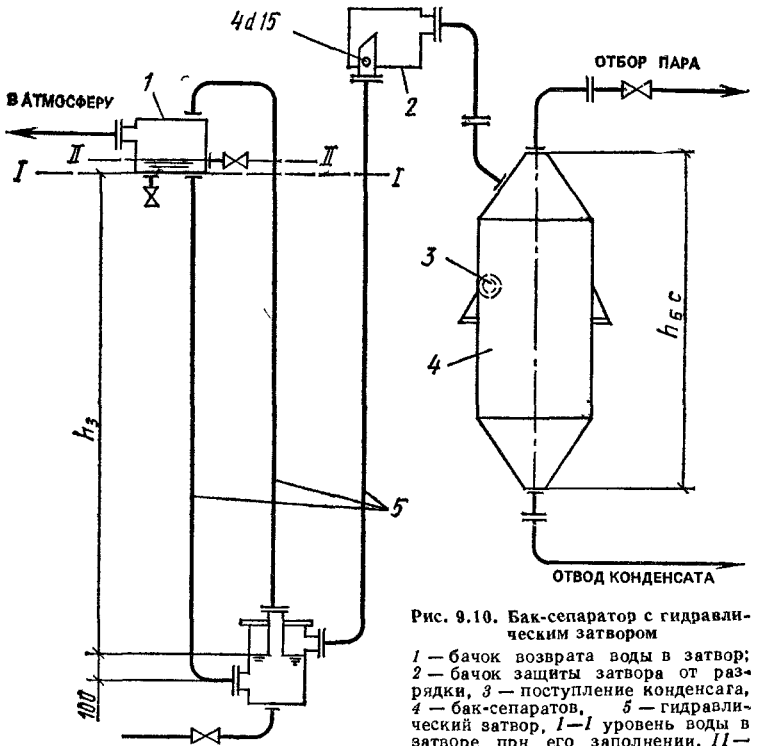

Рис. 9.10. Бак-сепаратор с гидравлическим затвором

1 — бачок возврата воды в затвор; *2* — бачок защиты затвора от разрядки, *3* — поступление конденсата, *4* — бак-сепаратов, *5* — гидравлический затвор, *I—I* уровень воды в затворе при его заполнении, *II—II* — то же, при давлении пара

кого давления или для нагревания воды в системе горячего водоснабжения. В баке-сепараторе поддерживают с помощью гидравлического затвора или предохранительного клапана избыточное давление 0,02—0,05 МПа, скорость движения пара в нем должна быть не более 2 м/с, конденсата не более 0,25 м/с. Конденсатом должно заполняться не более 20% объема бака. Бак-сепаратор и соединенный с ним гидравлический затвор изготовляют из труб и листовой стали (рис. 9.10). Ориентировочно объем бака-сепаратора определяют по паровой нагрузке, принимая ее от 200 до 400 м³/ч на 1 м³ бака.

Более точно объем бака-сепаратора $V_{б.с}$, м³, вычисляют по формуле

$$V_{б.с} = 0{,}5 x G_к / \rho_п, \qquad (9.8)$$

Электронная библиотека http://tgv.khstu.ru/

где x — доля содержания пара в конденсате (сухость влажного пара); $G_к$ — расход конденсата, т/ч, $\rho_п$ — плотность пара при давлении в баке, кг/м³.

Бак-сепаратор целесообразно размещать поблизости от сборного конденсатного бака, устанавливая его выше конденсатоотводчиков для лучшего отделения образовавшегося вторичного пара.

Дросселирующие шайбы применяют для погашения излишнего давления в параллельных частях системы. Шайба представляет собой металлический диск толщиной 2—5 мм с отверстием в центре. Диаметр отверстия определяют по расчету в зависимости от количества теплоносителя и величины погашаемого давления (но не менее 4 мм во избежание засорения). Шайбы устанавливают в муфте корпуса парового вентиля перед прибором или во фланцевом соединении труб.

Предохранительный клапан, как и предохранительное устройство в системе низкого давления, предотвращает повышение давления в системе сверх расчетного. Предохранительные клапаны бывают пружинными и рычажными (с одним или двумя рычагами). У распространенных рычажных клапанов тарелка прижимается к седлу под действием силы, передаваемой через рычаг от груза. Чем больше длина рычага и масса груза, тем больше давление пара, при котором клапан остается закрытым. При увеличении давления избыток пара через приоткрывающийся клапан удаляется в атмосферу, и заданное давление пара восстанавливается.

Конденсатный насос для перекачки конденсата из бака на тепловую станцию выбирают для подачи в 1 ч не менее, чем удвоенное количество накапливающегося конденсата [см. формулу (9.7)]. Развиваемого насосом давления должно быть достаточно для подъема конденсата и преодоления конечного давления в точке, куда подается конденсат, с учетом потерь давления в трубах $\Delta p_{пот}$ по пути от конденсатного бака.

Если конденсат подается из бака в котел, то давление насоса $\Delta p_н$, Па, определяют по формуле

$$\Delta p_н = 10^6 p_п + \gamma_к (h+1) + \Delta p_{пот}, \qquad (9.9)$$

где $\gamma_к$ — удельный вес, Н/м³, конденсата; $p_п$ — давление пара в котле, МПа; h — вертикальное расстояние между уровнями конденсата — верхним в котле и нижним в баке, м (с запасом 1 м).

Электронная библиотека http://tgv.khstu.ru/

Мощность электродвигателя к насосу вычисляют по формуле (6.11).

Пример 9.6. Найдем подачу, давление и мощность насоса для перекачки конденсата из бака в котел по условиям примера 9.5, если $p_{\text{п}}=0{,}1$ МПа, $h=5$ м, $\Delta p_{\text{пот}}=5000$ Па.

Примем подачу насоса $L_{\text{н}}=2\cdot0{,}5=1{,}0$ м³/ч.

Давление, развиваемое насосом, по формуле (9.9) $\Delta p_{\text{н}}=10^6\times$ $\times0{,}1+955\cdot9{,}81\ (5+1)+5000=161210$ Па.

Мощность насоса (без запаса) по формуле (6.11)

$$N_{\text{н}}=\frac{1{,}0\cdot161\,210}{3600\cdot0{,}6}=75\text{ Вт}.$$

§ 9.4. Системы вакуум-парового и субатмосферного отопления

Паровое отопление даже низкого давления обладает известным гигиеническим недостатком — высокой и практически неизменяемой температурой поверхности отопительных приборов в течение всего отопительного сезона. При этом понижается уровень теплового комфорта в помещениях по сравнению с водяным отоплением.

Можно несколько понизить температуру поверхности отопительных приборов, если создать в них смесь пара и воздуха. Температура внешней поверхности приборов понизится вследствие уменьшения коэффициента теплообмена на их внутренней поверхности. В этом случае пар нужно подавать в радиатор снизу, так как воздух имеет плотность выше, чем пар при тех же давлении и температуре. Пар подается в радиатор через вкладной патрон — перфорированный патрубок. Струйки пара, выходящие из мелких отверстий в патроне, равномерно перемешиваются с воздухом. Конденсат может выводиться из радиатора как со стороны ввода пара (через кольцевое отверстие вокруг патрона), так и с противоположной стороны.

Однако, устанавливая таким образом температуру поверхности отопительных приборов ниже 100 °С, не устраняют все же еще один серьезный недостаток парового отопления — невозможность проведения качественного регулирования в системе в течение отопительного сезона.

Проведение качественного регулирования с получением температуры пара в приборах ниже 100 °С возможно, если понижать давление ниже атмосферного. Для этого исполь-

Электронная библиотека http://tgv.khstu.ru/

зуют вакуумный насос, создающий различной глубины разрежение в конденсатопроводах и приборах. Если, например, абсолютное давление пара понизить до 0,07 МПа, то температура пара составит 90 °С; если же еще уменьшить абсолютное давление, например, до 0,03 МПа, то температура пара дойдет до 69,1 °С.

Следовательно, изменяя величину вакуума в системе, можно, как и в системе водяного отопления, изменять температуру пара в зависимости от температуры наружного воздуха, т. е. проводить качественное регулирование.

Различают два вида таких систем отопления — вакуум-паровую и субатмосферную.

В **вакуум-паровой** системе пар до отопительных приборов движется под действием небольшого избыточного давления в котлах (0,005—0,01 МПа), а затем пар в приборах и конденсат перемещаются под влиянием пониженного давления, создаваемого специальным вакуум-насосом. Изменяя величину вакуума с помощью этого насоса, откачивающего из системы конденсат, а также воздух, можно централизованно регулировать температуру пара в отопительных приборах. Если это делать в зависимости от наружных атмосферных условий, то теплоотдача приборов может в течение длительного времени соответствовать теплопотерям помещений. Температуру пара для этого принято изменять в пределах от 90 до 60 °С.

В **субатмосферной** системе парового отопления под влиянием разрежения, создаваемого вакуум-насосом, теплоноситель перемещается и по паропроводам, и по конденсатопроводам. В системе происходит не только качественное, но и количественное регулирование — одновременно изменяются и температура, и количество пара, поступающего в отопительные приборы. Для этого при средней, например, температуре отопительного сезона давление в системе должно быть ниже атмосферного, составляя по абсолютной величине около 0,06 МПа.

Централизованно регулируемые системы парового отопления применяются в США, особенно при отоплении высотных зданий (устраняя чрезмерное гидростатическое давление в системе, как при водяном отоплении).

Системы вакуум-парового и субатмосферного отопления подлежат особо тщательному монтажу с обеспечением герметичности соединений. Недостатками являются необхо-

Электронная библиотека http://tgv.khstu.ru/

димость применения специального оборудования и арматуры, а также трудность обнаружения мест подсоса воздуха, нарушающего их действие. К недостаткам относится также ускоренная внутренняя коррозия труб вследствие проникания воздуха через неплотности, значительный расход электроэнергии вакуумными насосами.

В нашей стране вакуум-паровые и субатмосферные системы отопления не применяются. Известно лишь существование в прежние годы такой системы для отопления фабрики швейных машин, построенной в г. Подольске фирмой «Зингер».

§ 9.5. Выбор начального давления пара в системе

Давление пара в начале системы обусловливается допустимой температурой теплоносителя, схемой и радиусом действия системы, способом возвращения конденсата на тепловую станцию. При выборе давления исходят прежде всего из нормативного ограничения температуры пара в отопительных приборах: как известно, максимальная температура не должна превышать 130 °С, а во взрыво- и пожароопасных помещениях даже 110 °С.

В **замкнутой системе** с непосредственным возвращением конденсата в котел начальное давление пара $p_п$, МПа, определяют исходя из высоты помещения котельной

$$p_п = 10^{-2}[h_{пом} - (h_{кот} + 0{,}5D + 0{,}55)], \qquad (9.10)$$

где $h_{пом}$ — высота помещения котельной, м; $h_{кот}$ и D — высота котла и диаметр его паросборника, м.

Помещения котельных обычно имеют высоту 3,5—4 м. Начальное давление пара при этом не будет превышать 0,02 МПа.

Пример 9.7. Определим давление пара в котле замкнутой системы отопления с сухим конденсатопроводом при $h_{пом}=4{,}0$ м, $h_{кот}=1{,}7$ м, $D=0{,}5$ м.

Давление пара по формуле (9.10)

$$p_п = 10^{-2}[4{,}0 - (1{,}7 + 0{,}5 \cdot 0{,}5 + 0{,}55)] = 0{,}015 \text{ МПа}.$$

В разомкнутой системе с возвращением конденсата через сборный конденсатный бак начальное давление пара зависит от конечного давления и потерь давления в системе.

Электронная библиотека http://tgv.khstu.ru/

При *открытом конденсатном баке* и самотечном конденсатопроводе начальное давление пара

$$p_{\text{п}} = \Delta p_{\text{пар}} + p_{\text{пр}}, \qquad (9.11)$$

где $\Delta p_{\text{пар}}$ — потери давления в паропроводе от теплового пункта до наиболее удаленного (концевого) отопительного прибора; $p_{\text{пр}}$ — необходимое давление перед вентилем концевого прибора, принимаемое равным 2000 Па при отсутствии конденсатоотводчика за прибором и 3500 Па при использовании термостатического конденсатоотводчика.

При *закрытом конденсатном баке* и напорном конденсатопроводе начальное давление пара

$$p_{\text{п}} = \Delta p_{\text{пар}} + \Delta p_{\text{конд}} + p_{\text{кон}}, \qquad (9\,12)$$

где $\Delta p_{\text{конд}}$ — потери давления в напорном конденсатопроводе (включая конденсатоотводчик); $p_{\text{кон}}$ — конечное избыточное давление в закрытом баке, принимаемое равным 0,02—0,05 МПа.

Потери давления в напорном конденсатопроводе равняются разности давления в концевом отопительном приборе и в конденсатном баке. При этом давление в отопительном приборе предопределяется значением максимально допустимой температуры пара для конкретного помещения.

Потери давления в паропроводах зависят от параметров движущегося пара и характера внутренней поверхности труб. Формулы, используемые для гидравлического расчета, одинаковы для систем водяного и парового отопления.

§ 9.6. Гидравлический расчет паропроводов низкого давления

При движении пара по длине участка его количество уменьшается вследствие попутной конденсации, снижается также его плотность из-за потери давления. Снижение плотности сопровождается увеличением, несмотря на частичную конденсацию, объема пара к концу участка, что приводит к возрастанию скорости движения пара.

В системе низкого давления при давлении пара 0,005—0,02 МПа эти сложные процессы вызывают практически незначительные изменения параметров пара. Поэтому принимают расход пара постоянным на каждом участке, а плотность пара постоянной на всех участках системы. При этих двух условиях гидравлический расчет паропроводов

Электронная библиотека http://tgv.khstu.ru/

проводят по уже известному способу расчета по удельной линейной потере давления (см. § 8.3), исходя из тепловых нагрузок участков.

Расчет начинают с ветви паропровода наиболее неблагоприятно расположенного отопительного прибора, каковым является прибор, наиболее удаленный от котла.

Для гидравлического расчета паропроводов низкого давления используют табл. II.4 и II.5 (см. Справочник проектировщика), составленные при плотности 0,634 кг/м³, соответствующей среднему избыточному давлению пара 0,01 МПа, и эквивалентной шероховатости труб $k_э$=0,0002 м (0,2 мм). Эти таблицы, по структуре аналогичные табл. 8.1 и 8.2, отличаются величиной удельных потерь на трение, обусловленной иными значениями плотности и кинематической вязкости пара, а также коэффициента гидравлического трения λ для труб. В таблицы внесены тепловые нагрузки Q, Вт, и скорость движения пара ω, м/с.

В системах низкого и повышенного давления во избежание шума установлена предельная скорость пара: 30 м/с при движении пара и попутного конденсата в трубе в одном и том же направлении, 20 м/с при встречном их движении.

Для ориентации при подборе диаметра паропроводов вычисляют, как и при расчете систем водяного отопления, среднее значение возможной удельной линейной потери давления $R_{ср}$ по формуле

$$R_{ср}=\frac{0{,}65\,(p_п-p_{пр})}{\Sigma l_{пар}}, \qquad (9.13)$$

где $p_п$ — начальное избыточное давление пара, Па; $\Sigma l_{пар}$ — общая длина участков паропровода до наиболее удаленного отопительного прибора, м.

Для преодоления сопротивлений, не учтенных при расчете или введенных в систему в процессе ее монтажа, оставляют запас давления до 10% расчетной разности давления, т. е. сумма линейных и местных потерь давления по основному расчетному направлению должна составлять около 0,9 $(p_п-p_{пр})$.

После расчета ветви паропровода до наиболее неблагоприятно расположенного прибора переходят к расчету ветвей паропровода до других отопительных приборов. Этот расчет сводится к увязке потерь давления на параллельно

Электронная библиотека http://tgv.khstu.ru/

Таблица 9.1. Гидравлический расчет паропроводов системы отопления низкого давления

Участок	$Q_{уч}$, Вт	l, м	$D_у$, мм	w, м/с	R, Па/м	Rl, Па	$\Sigma\zeta$	Z, Па	$Rl+Z$, Па
Расчет паропроводов к нижнему прибору дальнего стояка $\Delta p_р = 8000$ *Па*									
1	64 000	6	50	20,4	75	450	1,2	158	608
2	32 000	14	32	22,1	146	2044	10,5	1632	3676
3	16 000	9	25	19,5	165	1485	2,0	241	1726
4	8000	4	20	15,9	155	620	1,5	120	740
5	4000	1	15	14,5	194	194	3,0	200	394
	$\Sigma l_{пар} = 34$				$\Sigma Rl = 4793$		$\Sigma Z = 2351$		7144

Запас давления: $100\,(8000-7144):8000 = 10{,}7\%$.

Расчет паропроводов к верхнему прибору дальнего стояка $\Delta p_р = 1134$ *Па*									
6	8000	2	20	15,9	155	310	2,7	216	526
7	4000	1	15	14,5	194	194	3,0	200	394
									920

Невязка: $100\,(1134-920):1134 = 18{,}9\% > 15\%$.

Расчет паропроводов к нижнему прибору ближнего стояка $\Delta p_р = 2860$ *Па*									
8	8000	4	20	15,9	155	620	3,0	240	860
9	4000	1	15	14,5	194	194	3,0	200	394
									1254

Невизка: $100\,(2860-1254):2860 = 56\% > 15\%$.

соединенных участках основной (уже рассчитанной) и второстепенной (подлежащей расчету) ветвях.

При увязке потерь давления на параллельно соединенных участках паропроводов допустима невязка до 15%. В случае невозможности увязки потерь давления применяют дросселирующую шайбу (§ 9.3). Диаметр отверстия дросселирующей шайбы $d_ш$, мм, определяют по формуле

$$d_ш = 0{,}92\,(Q^2_{уч}/\Delta p_ш)^{0{,}25}, \qquad (9.14)$$

Электронная библиотека http://tgv.khstu.ru/

где $Q_{уч}$ — тепловая нагрузка участка, Вт; $\Delta p_ш$ — излишек давления, Па, подлежащий дросселированию.

Шайбы целесообразно применять для погашения излишнего давления, превышающего 300 Па.

Пример 9.8. Выполним гидравлический расчет одной из двух одинаковых частей паропроводов замкнутой системы отопления низкого давления (см. рис. 9.2). Давление пара в котле 0,01 МПа. Тепловая нагрузка каждого из 16 приборов 4000 Вт. Длины участков приведены в табл. 9.1.

Средняя удельная линейная потеря давления по формуле (9.13)

$$R_{ср}=\frac{0{,}65\,(10\,000-2000)}{34}=153 \text{ Па/м}.$$

Ориентируясь на значение $R_{ср}$, по тепловым нагрузкам участков (нагрузку участка *1* принимаем равной удвоенной нагрузке участка *2*) вычисляем диаметр труб, скорость движения пара и действительные значения R. Данные расчета сводим в табл. 9.1.

Потери давления на участках *6* и *7* должны быть равны потерям на участках *4* и *5* (1134 Па). В результате расчета получена невязка 18,9%. Сократить ее путем уменьшения диаметра участка *6* до 15 мм нельзя, так как скорость движения пара при встречном движении попутного конденсата превысит допустимую 20 м/с. Дросселирующие шайбы не устанавливаем, так как разница в потерях давления меньше 300 Па.

Потери давления на участках *8* и *9* должны быть равны потерям на участках *3*, *4* и *5* (2860 Па). В результате расчета получен излишек давления 2860—1254=1606 Па. Для его устранения предусматриваем установку дросселирующих шайб в муфтах вентилей у обоих нижних приборов, имеющих тепловую нагрузку по 4000 Вт. Диаметр отверстия каждой шайбы по формуле (9.14)

$$d_ш=0{,}92\,(4000^2:1606)^{0{,}25}=9{,}2 \text{ мм}.$$

§ 9.7. Гидравлический расчет паропроводов высокого давления

Расчет паропроводов систем повышенного и высокого давления проводят с учетом изменения объема и плотности пара при изменении его давления и уменьшения расхода пара вследствие попутной конденсации. В случае, когда известно начальное давление пара $p_п$ и задано конечное давление перед отопительными приборами $p_{пр}$, расчет паропроводов выполняют до расчета конденсатопроводов.

Конечный расход пара $G_{кон}$ находят по формуле (4.4) в зависимости от тепловой нагрузки и давления пара у прибора. Средний расчетный расход пара на участке определяют

Электронная библиотека http://tgv.khstu.ru/

по транзитному расходу $G_{кон}$ с прибавлением половины расхода пара, теряемого при попутной конденсации:

$$G_{уч}=G_{кон}+0{,}5G_{п.к}, \tag{9.15}$$

где $G_{п.к}$ — дополнительное количество пара в начале участка, определяемое по формуле

$$G_{п.к}=Q_{тр}/r; \tag{9.16}$$

r — удельная теплота парообразования (конденсации) при давлении пара в конце участка; $Q_{тр}$ — теплопередача через стенку трубы на участке; определяют по формуле (8.48), когда уже известен диаметр труб; ориентировочно принимают по следующим зависимостям: при $D_у=15—20$ мм $Q_{тр}=0{,}116Q_{кон}$; при $D_у=25—50$ мм $Q_{тр}=0{,}035Q_{кон}$; при $D_у>50$ мм $Q_{тр}=0{,}023Q_{кон}$ ($Q_{кон}$ — количество теплоты, которое требуется доставить в прибор или в конец участка паропровода).

Гидравлический расчет выполняют по **способу приведенных длин,** который применяется в том случае, когда линейные потери давления являются основными (около 80%), а потери давления в местных сопротивлениях сравнительно малы. Исходная формула для определения потерь давления на каждом участке приведена в § 8.1 [формула (8.4)].

При расчете линейных потерь давления в паропроводах используют табл. II.6 из Справочника проектировщика составленную для труб с эквивалентной шероховатостью внутренней поверхности $k_э=0{,}2$ мм, по которым перемещается пар, имеющий условно постоянную плотность 1 кг/м³ [избыточное давление такого пара 0,076 МПа, температура 116, 2 °С, кинематическая вязкость $21\cdot10^{-6}$ м²/с]. В таблицу внесены расход G, кг/ч, и скорость движения ω, м/с, пара. Для подбора диаметра труб по таблице вычисляют среднее условное значение удельной линейной потери давления

$$R_{ср.\,усл}=\frac{0{,}8\,(p_п-p_{пр})\,\rho_{ср}}{\Sigma l_{пар}}, \tag{9.17}$$

где $\rho_{ср}$ — средняя плотность пара, кг/м³, при среднем его давлении в системе 0,5 $(p_п+p_{пр})$; остальные пояснения даны к формулам (9.11) и (9.13).

По вспомогательной таблице получают в зависимости от среднего расчетного расхода пара условные значения удельной линейной потери давления $R_{усл}$ и скорости движения пара $\omega_{усл}$. Переход от условных значений к

Электронная библиотека http://tgv.khstu.ru/

действительным, соответствующим параметрам пара на каждом участке, делают по формулам

$$R = R_{усл}/\rho_{ср.\,уч};\ w = w_{усл}/\rho_{ср.\,уч}, \qquad (9\,18)$$

где $\rho_{ср\,уч}$ — действительное среднее значение плотности пара на участке, кг/м³; определяемое по его среднему давлению на том же участке

Действительная скорость пара не должна превышать 80 м/с (30 м/с в системе повышенного давления) при движении пара и попутного конденсата в одном и том же направлении и 60 м/с (20 м/с в системе повышенного давления) при встречном их движении.

Итак, гидравлический расчет проводится с усреднением значений плотности пара на каждом участке, а не в целом для системы, как это делается при гидравлических расчетах систем водяного отопления и парового отопления низкого давления.

Потери давления в местных сопротивлениях, составляющие всего около 20% общих потерь, определяют через эквивалентные им потери давления по длине труб. Эквивалентную местным сопротивлениям, дополнительную длину трубы находят по формуле

$$l_{экв} = \Sigma\zeta\,(d_в/\lambda). \qquad (9\,19)$$

Значения $d_в/\lambda$ приведены в табл. II.7 в Справочнике проектировщика. Видно, что эти значения должны возрастать с увеличением диаметра труб. Действительно, если для трубы $D_у$15 $d_в/\lambda$=0,33 м, то для трубы $D_у$ 50 они составляют 1,85 м. Эти цифры показывают *длину трубы, при которой потеря давления на трение равна потере в местном сопротивлении с коэффициентом* ζ=*1,0*.

Общие потери давления $\Delta p_{уч}$ на каждом участке паропровода с учетом эквивалентной длины определяют по формуле

$$\Delta p_{уч} = R\,(l + l_{экв}) = Rl_{прив}, \qquad (9\,20)$$

где $l_{прив} = l + l_{экв}$ — расчетная приведенная длина участка, м, включающая фактическую и эквивалентную местным сопротивлениям длины участка.

Для преодоления сопротивлений, не учтенных при расчете по основным направлениям, принимают запас не менее 10% расчетного перепада давлений. При увязке потерь давления в параллельно соединенных участках допустима,

Электронная библиотека http://tgv.khstu.ru/

как и при расчете паропроводов низкого давления, невязка до 15%.

В системах высокого давления в большинстве случаев гидравлический расчет паропроводов выполняют после расчета конденсатопроводов, в результате которого определяется давление перед отопительными приборами $p_{пр}$ (с проверкой его допустимости по температуре $t_п$). Далее, если известно начальное давление пара $p_п$ в распределительном коллекторе, расчет паропроводов делают как указано выше. Если же давление $p_п$ не задано, то его находят, проводя расчет по предельно допустимой скорости движения пара.

§ 9.8. Гидравлический расчет конденсатопроводов

Диаметр самотечных сухих и мокрых конденсатопроводов подбирают без расчета (по специальной таблице в справочной литературе) в зависимости от количества теплоты, выделенного паром при образовании конденсата, положения (горизонтальные, вертикальные) и длины труб.

Пропускная способность конденсатопроводов различна. Например, при $D_у$ 15 по горизонтальному сухому конденсатопроводу в 1 ч может быть пропущено 7 кг, по вертикальному сухому — 11 кг, а по мокрому — 52 кг конденсата. Следовательно, для того чтобы пропустить одно и то же определенное количество конденсата наибольший диаметр трубы потребуется для горизонтального сухого, наименьший — для мокрого вертикального конденсатопровода.

Если необходимо провести детальный гидравлический расчет сухого самотечного конденсатопровода в системе с давлением пара до 0,07 МПа, располагаемый перепад давления $\Delta p_р$, Па, вычисляют по формуле

$$\Delta p_р = 0{,}5\rho g h = 0{,}5\gamma h, \qquad (9.21)$$

где 0,5 — поправочный коэффициент, учитывающий наличие двухфазной среды (кроме конденсата в трубах имеется воздух или движется пароводяная эмульсия); при давлении пара в системе более 0,07 МПа поправочный коэффициент увеличивают до 0,65; γ — удельный вес конденсата, Н/м^3; h — вертикальное расстояние между начальной и конечной точками конденсатопровода, м.

Детальный расчет проводят аналогично расчету теплопроводов систем водяного отопления.

Электронная библиотека http://tgv.khstu.ru/

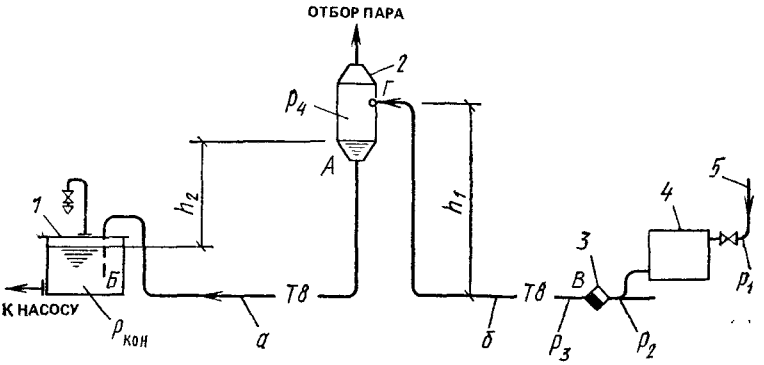

Рис. 9.11. Схема прокладки напорного (*а*) и двухфазного (*б*) конденсатопроводов *1* — конденсатный бак; *2* — бак-сепаратор; *3* — конденсатоотводчик; *4* — отопительные приборы системы парового отопления высокого давления; *5* — паропровод

Пример 9.9. Найдем диаметр конденсатопроводов ветви замкнутой системы парового отопления низкого давления (см. рис. 9.2) по условиям примера 9.8.

По табл. 11.4 в Справочнике проектировщика выбираем диаметр труб:

конденсатные подводки ко всем приборам (горизонтальные сухие) при тепловой нагрузке 4000 Вт — $D_у$ 15;

конденсатные стояки (вертикальные сухие) при тепловых нагрузках 8000 и 16000 Вт — $D_у$ 20;

сборный конденсатопровод горизонтальный сухой при тепловых нагрузках 16000 Вт — $D_у$ 20, при 32000 Вт — $D_у$ 25;

то же, мокрый при тепловой нагрузке 64000 Вт — $D_у$ 20 (для сравнения отметим, что паропровод при аналогичной нагрузке имеет $D_у$ 50 — см. пример 9.8).

Конденсатопроводы в системе парового отопления с закрытым конденсатным баком могут быть напорными и двухфазными.

Напорными называют конденсатопроводы, целиком заполненные конденсатом, движущимся под давлением пара за отопительным прибором, в баке или создаваемым насосом, **двухфазными** или эмульсионными — конденсатопроводы, по которым движутся одновременно и конденсат, и пар вторичного вскипания.

На рис. 9.11 показана схема прокладки конденсатопроводов. После конденсатоотводчика вследствие снижения давления при протекании конденсата через суженное отверстие происходит вторичное его вскипание с образованием

Электронная библиотека http://tgv.khstu.ru/

пара вторичного вскипания; труба *б* является двухфазным конденсатопроводом. Вторичное вскипание приводит к тому, что по конденсатопроводу движется пароводяная смесь, плотность которой меньше плотности воды. Пар вторичного вскипания отделяется от конденсата в баке-сепараторе и направляется в систему теплоиспользования. Конденсат по напорному конденсатопроводу *а* направляется в конденсатный бак и далее к конденсатному насосу для перекачки на тепловую станцию.

Расчетный расход конденсата $G_к$, кг/ч, определяют по формуле

$$G_к = 1{,}25\,(G_{кон} + G_{п.к}), \qquad (9.22)$$

где 1,25 — повышающий коэффициент для учета увеличения расхода конденсата в период прогревания системы при пуске; в скобках — максимальное количество пара в начале паропровода [формулы (9.15) и (9.16)].

Для конденсатопроводов характерно значительное увеличение шероховатости их внутренней поверхности — потери давления на трение по меньшей мере в 1,3—1,4 раза больше потерь в трубах систем водяного отопления. Поэтому для гидравлического **расчета напорных конденсатопроводов** используют вспомогательную таблицу, составленную при эквивалентной шероховатости $k_э$=0,0005 м (0,5 мм). В таблицу внесены расход G, кг/ч, и скорость движения w, м/с, конденсата. При выборе диаметра труб ориентируются на максимально возможную скорость движения конденсата (до 1—1,5 м/с).

Потери давления $\Delta p_{уч}$ на каждом участке напорного конденсатопровода определяют по формуле (9.20), прибавляя к действительной длине участка дополнительную, эквивалентную местным сопротивлениям длину по формуле (9.19).

Если потери давления на участках известны, то давление в начале конденсатопровода находят с учетом разности геодезических отметок его конца и начала:

$$p_{нач} = p_{кон} + \Sigma\,\Delta p_{уч} + \gamma h, \qquad (9.23)$$

где $p_{кон}$ — давление, необходимое в конце конденсатопровода; γ — удельный вес, Н/м³, при плотности пароконденсатной смеси, перемещаемой по конденсатопроводу; при определении диаметра труб удельный вес принимают равным 9,81 кН/м³ с учетом периода пуска системы, когда плотность конденсата ρ=1000 кг/м³; h — разность отметок конца и начала конденсатопровода, м (получается

Электронная библиотека http://tgv.khstu.ru/

со знаком плюс при движении конденсата вверх, со знаком минус — при движении по трубе вниз).

Например, давление в баке-сепараторе по схеме на рис. 9.11 составит $p_4 = p_{\text{ко н}} + \Delta p_{\text{уч а}} - \gamma h_2$, а давление за конденсатоотводчиком $p_3 = p_4 + \Delta p_{\text{уч б}} + \gamma h_1$, если $\Delta p_{\text{уч а}}$ и $\Delta p_{\text{уч б}}$ — потери давления в напорных конденсатопроводах соответственно от бака-сепаратора до конденсатного бака (участок *А—Б*) и от конденсатоотводчика до бака-сепаратора (участок *В—Г*). Высоту подъема конденсата h_1 ограничивают 5 м. Можно также исходить из необходимого давления в баке-сепараторе.

При гидравлическом расчете разветвленных напорных конденсатопроводов следует обеспечивать одинаковое давление в каждом ответвлении перед слиянием конденсата в общий конденсатопровод (невязка потерь давления на параллельных участках не должна превышать 10%), применяя в случаях необходимости дросселирующие шайбы.

По конденсатопроводам может двигаться пароконденсатная смесь вследствие образования пара вторичного вскипания или попадания «пролетного» пара. Тогда объем перемещаемой смеси будет больше, а плотность меньше, чем при движении только расчетного количества конденсата.

При гидравлическом расчете **двухфазных конденсатопроводов** диаметр труб определяют дважды. Сначала диаметр труб и потери давления находят как для напорных чисто водяных конденсатопроводов. Затем пересчитывают диаметр труб на каждом участке, с тем чтобы оставить потери давления без изменения при пропуске действительного объема пароконденсатной смеси пониженной плотности:

$$d_{\text{см}} = \beta d_{\text{к}}, \qquad (9\ 24)$$

где $d_{\text{см}}$ — диаметр двухфазного конденсатопровода; $d_{\text{к}}$ — расчетный диаметр напорного конденсатопровода, полученный при расходе конденсата $G_{\text{к}}$ [по форуле (9.22)]; β — поправочный коэффициент, учитывающий увеличение объема и уменьшение плотности пароконденсатной смеси по сравнению с объемом и плотностью конденсата:

$$\beta = 0{,}9\,(1000/\rho_{\text{см}})^{0{,}19}; \qquad (9\ 25)$$

$\rho_{\text{см}}$ — плотность пароконденсатной смеси, кг/м^3, принимаемая по таблице в справочной литературе.

Электронная библиотека http://tgv.khstu.ru/

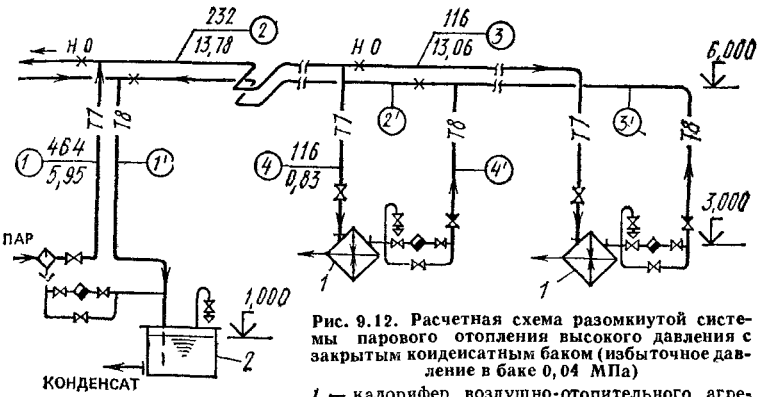

Рис. 9.12. Расчетная схема разомкнутой системы парового отопления высокого давления с закрытым конденсатным баком (избыточное давление в баке 0,04 МПа)

1 — калорифер воздушно-отопительного агрегата, *2* — конденсатный бак

§ 9.9. Последовательность расчета системы парового отопления

Последовательность гидравлического расчета системы парового отопления высокого давления разберем на примере.

Пример 9.10. Выполним гидравлический расчет одной из двух симметричных ветвей разомкнутой системы парового отопления высокого давления (рис. 9.12) с закрытым конденсатным баком, находящимся под избыточным давлением 0,04 МПа. Паро- и конденсатопроводы проложены по колоннам цеха на высоте 6 м. Отопительными приборами являются калориферы воздушно-отопительных агрегатов тепловой мощностью по 116 кВт.

Начальное давление пара не задано. Примем, что пар подходит к калориферам с давлением 0,17 МПа, при котором температура пара (130 °С) допустима для цеха, где горючая и взрывоопасная пыль не выделяется.

Расчет начинаем с **конденсатопровода**, который является двухфазным. Для определения общего расхода конденсата (с учетом попутного) зададимся диаметром участков паропровода: *1* — 50 мм, *2* и *3*—32 мм, *4*—25 мм (см. рис. 9.12). Тогда, например, для участка *3* попутные теплопотери по формуле (8.48) составят (с использованием табл. 11.23 в Справочнике проектировщика). $Q_{тр}=242\times\times54\cdot10^{-3}=13{,}06$ кВт.

Попутные теплопотери проставлены на рис. 9.12 у номера каждого участка паропровода в знаменателе, а в числителе приведено количество теплоты, которое потребуется доставить в конец каждого участка.

Расчетный расход конденсата на участках *3'* и *4'* вычисляем

Электронная библиотека http://tgv.khstu.ru/

Таблица 9.2. Гидравлический расчет конденсатопровода системы парового отопления высокого давления

Участок	$G_к$, кг/ч	l, м	$D_у$, мм	w, м/с	R, кПа/м	$l_{прив}$, м	$\Delta p_{уч}$, кПа	$p_{кон}$, кПа	γh, кПа	$p_{нач}$, кПа	β	$D_{см}$, мм
1′	1074	15,2	20	0,88	0,909	18,0	16,36	40	—49	7,36	1,98	50
2′	537	50,6	15	0,80	1,154	53,6	61,85	7,36	—	69,21	2,25	32
3′	267	55,6	15	0,40	0,286	63,2	18,08	69,21	29,43	116,72	1,84	32
							96,29	40	—19,57	116,72		
4′	270	5,5	15	0,40	0,292	12,8	3,74	69,21	29,43	102,38	1,84	32

Электронная библиотека http://lgv.khstu.ru/

по формуле (9.22):

$$G_{к.\ 3'}=1{,}25\cdot 3600\,(116+13{,}06):2175=267;$$
$$G_{к.\ 4'}=1{,}25\cdot 3600\,[(116+0{,}83):2175+13{,}78:2163]=270\ \text{кг/ч},$$

причем на участке *4'* добавляем попутный конденсат из участка *2*.

Результаты расчета участков конденсатопровода (по табл. II.8 в Справочнике проектировщика) вносим в табл. 9.2.

Общая приведенная длина участков $l_{прив}$ в табл. 9.2 найдена путем добавления к действительной длине эквивалентной длины по формуле (9.19): $l'_1=15{,}2+0{,}56\cdot 5=18{,}0$ м (учтены местные сопротивления — два отвода, тройник на проходе, внезапное расширение); $l'_2=50{,}6+0{,}33\cdot 9=53{,}6$ м (четыре отвода, тройник на противотоке); $l'_3=55{,}6+0{,}33\cdot 23=63{,}2$ м (вентиль, тройник на ответвлении, обратный клапан, отвод, тройник на проходе); $l'_4=5{,}5+0{,}33\cdot 22=12{,}8$ м (вентиль, два тройника на ответвлении, обратный клапан).

Потери давления на участках конденсатопровода получены по формуле (9.20). Гидростатическое давление составляет: при движении конденсата вниз $\gamma h=9{,}81\ (1-6)=-49$ кПа, при подъеме конденсата — $9{,}81\ (6-3)=29{,}43$ кПа. Давление в начале каждого участка найдено по формуле (9.23). Например, для участка *1'*: $p_{нач}=40+16{,}36-49=7{,}36$ кПа. Полученное давление в начале участка *1'* является конечным для участка *2'*.

В результате расчета оказалось, что давление за конденсатоотводчиком после калорифера дальнего агрегата составляет 116,72кПа или 116,72 : 170=0,69 принятого давления перед калорифером (т. е. меньше рекомендуемого предела 0,7).

Значения поправочного коэффициента β для диаметра участков двухфазного конденсатопровода найдены по табл. 11.7 в Справочнике проектировщика. Они зависят от разности давления перед калориферами и в конце рассчитываемого участка конденсатопровода [чем больше эта разность, тем больше значение коэффициента β вследствие уменьшения плотности пароконденсатной смеси — см. формулу (9.25)]. Окончательный диаметр участков двухфазного конденсатопровода определен по формуле (9.24). Как видно, диаметр участков пришлось увеличить на 3—4 торговых размера (например, на участке *1'* — с 20 до 50 мм).

Перейдем к расчету паропровода, имея в виду, что на участке *1* допустима предельная скорость движения пара 60 м/с, на остальных участках — 80 м/с.

Расчетный расход пара на участках паропровода вычисляем по формуле (9.15)

$$G_4=3600\,(116+0{,}5\cdot 0{,}83):2175=193;$$
$$G_3=3600\,(116+0{,}5\cdot 13{,}06):2175=203;$$
$$G_2=3600\,[(232+0{,}83+13{,}06):2175+(0{,}5\cdot 13{,}78):2163]=418;$$
$$G_1=3600\,[(464+2\cdot 0{,}83+2\cdot 13{,}06):2175+$$
$$+(2\cdot 13{,}78):2163+(0{,}5\cdot 5{,}95):2120]=865\ \text{кг/ч}.$$

Результаты расчета участков паропровода (с использованием табл. II.6 в Справочнике проектировщика) вносим в табл. 9.3.

Электронная библиотека http://tgv.khstu.ru/

Таблица 9.3. Гидравлический расчет паропровода системы парового отопления высокого давления

Участок	$G_п$, кг/ч	l, м	$D_у$, мм	$w_{усл}$, м/с	$R_{усл}$, кПа/м	$p_{кон}$, кПа	$\rho_{ср.\ уч}$, кг/м³	w, м/с	R, кПа/м	$l_{прив}$, м	$\Delta p_{уч}$, кПа	$p_{нач}$, кПа
3	203	54	32	55,3	1,350	170	1,62	34,1	0,833	56,1	46,73	216,73
2	418	50	32	113,1	5,710	216,73	2,13	53,1	2,681	57,5	154,16	370,89
1	865	15	50	107,7	3,103	370,89	2,57	41,9	1,207	16,8	20,28	391,17
											221,17	
4	193	4	25	92,2	5,444	200,08	1,70	54,2	3,202	5,2	16,65	216,73

Электронная библиотека http://tgv.khstu.ru/

В табл. 9.3 действительные значения скорости движения пара w и удельной линейной потери давления R найдены по формуле (9.18) при плотности пара $\rho_{ср.\,уч}$, вычисленной при среднем давлении на участках.

Общая приведенная длина участков $l_{прин}$ получена с применением формулы (9.19): $l_4=4+0{,}83\cdot1{,}5=5{,}2$ м (учтено местное сопротивление — тройник на ответвлении); $l_3=54+1{,}07\cdot2{,}0=56{,}1$ м (тройник на проходе, отвод); $l_2=50+1{,}07\cdot7=57{,}5$ м (тройник на растекании, четыре отвода); $l_1=15+1{,}85\cdot1{,}0=16{,}8$ м (задвижка, отвод).

Потери давления на участках найдены по формуле (9.20). Полученное давление в начале участка *3* принято не только за конечное для участка *2*, но и за начальное давление для участка *4*, параллельно соединненного с участком *3*. При гидравлическом расчете участка *4* получена невязка: 100 (46,73—16,65) : 46,73= =64% (>15%).

Для устранения излишка давления (30,1 кПа) предусматриваем установку на участке *4* дросселирующей шайбы. Диаметр шайбы по формуле (9.14)

$$d_ш=0{,}92\,(116\,000^2:30\,100)^{0{,}25}=23{,}8\text{ мм}.$$

Полученные потери давления в паропроводе и конденсатопроводе системы отопления (с учетом потерь давления в калорифере и конденсатоотводчике) позволяют установить необходимое начальное давление. Начальное давление пара в системе с запасом 10% составит по формуле (9.12)

$$p_п=1{,}1\cdot391{,}17\cdot10^{-3}+0{,}04=0{,}47\text{ МПа}.$$

Пар при давлении 0,47 МПа имеет температуру около 157 °С и плотность 3 кг/м³.

§ 9.10. Использование пара вторичного вскипания

Пар вторичного вскипания, как известно, появляется в напорных конденсатопроводах систем высокого давления. Условием вскипания конденсата является значительное понижение давления (например, в конденсатоотводчике или при подъеме конденсата), когда фактическая температура конденсата становится выше температуры насыщенного пара (при пониженном давлении). Появившийся излишек энтальпии конденсата вызывает частичное превращение его в пар. Чем значительнее понижение давления, тем больше доля повторно испарившегося конденсата.

Удельное количество пара вторичного вскипания, получившегося из 1 кг конденсата (долю пара), определяют по формуле

$$g_{в.\,п}=\frac{i_{нач}-i_{кон}}{r_{кон}}, \qquad (9.26)$$

Электронная библиотека http://tgv.khstu.ru/

где $i_{нач}$ и $i_{кон}$ — удельная энтальпия конденсата, кДж/кг, при давлении соответственно перед конденсатоотводчиком и в конце конденсатопровода (за конденсатоотводчиком, в баке-сепараторе или закрытом конденсатном баке); $r_{кон}$ — удельная теплота парообразования, кДж/кг, при давлении в конце конденсатопровода.

Полное количество пара вторичного вскипания $G_{в.п}$, кг/ч, в конденсатопроводах системы высокого давления

$$G_{в.п} = g_{в.п} G_к, \qquad (9.27)$$

где $G_к$ — расход конденсата в системе, кг/ч, определяемый по формуле (9.22) без учета коэффициента 1,25.

Пример 9.11. Найдем количество пара вторичного вскипания, получающегося в двухфазном конденсатопроводе системы парового отопления высокого давления по условиям примера 9.10.

Принимаем давление перед конденсатоотводчиком [с учетом пояснений к формуле (9.6)]

$$p_{нач} = 0{,}95 p_{пр} = 0{,}95 \cdot 170 = 161{,}5 \text{ кПа}.$$

Удельная энтальпия конденсата при этом давлении $i_{нач} = 541{,}7$ кДж/кг; при давлении в конденсатном баке (40 кПа) $i_{кон} = 458{,}4$ кДж/кг (удельная теплота парообразования $r = 2232{,}4$ кДж/кг).

Удельное количество пара вторичного вскипания по формуле (9.26)

$$g_{в.п.} = (541{,}7 - 458{,}4) : 2232{,}4 = 0{,}0373 \text{ кг/кг конденсата}.$$

Расчетное количество конденсата в системе $G_к = 1074 : 1{,}25 = 859$ кг/ч (см. табл. 9.2).

Полное количество пара вторичного вскипания по формуле (9.27)

$$G_{в.п} = 0{,}0373 \cdot 859 = 32{,}0 \text{ кг/ч}.$$

Этот пар может быть использован во вспомогательной системе отопления, имеющей тепловую мощность

$$Q_с = \frac{0{,}9 \cdot 32{,}0 \cdot 2232{,}4}{3600} = 17{,}86 \text{ кВт}.$$

Расчеты по примеру 9.11 справедливы для коротких конденсатопроводов, когда можно пренебречь теплопотерями через стенки труб. При значительном расстоянии между местами вскипания конденсата и отбора пара попутные теплопотери заметно сокращают количество теплоты, которое идет на образование вторичного пара.

Пар вторичного вскипания целесообразно также использовать для нагревания воды, применяемой в технологическом процессе, или в системе горячего водоснабжения, особенно при круглосуточной работе предприятия.

Электронная библиотека http://tgv.khstu.ru/

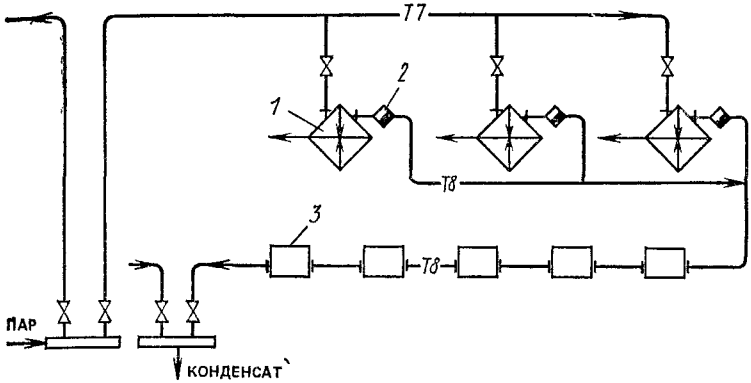

Рис. 9.13. Схема системы парового отопления высокого давления с использованием пароконденсатной смеси в местных отопительных приборах

1 — калорифер отопительного агрегата; *2* — конденсатоотводчик; *3* — местный отопительный прибор

При желании избежать вторичного вскипания применяют «переохлаждение» конденсата до 90—100 °С. Для этого напорный конденсатопровод прокладывают через второстепенные помещения, где устанавливают местные отопительные приборы (рис. 9.13). Переохлаждения конденсата можно достигнуть также непосредственно в местных отопительных приборах и калориферах воздушно-отопительных агрегатов, развивая площадь их нагревательной поверхности. Возможна подача пароконденсатной смеси в калориферы систем приточной вентиляции, где будет происходить конденсация вторичного пара с последующим охлаждением конденсата.

Применяя переохлаждение конденсата в системах отопления высокого давления, можно сократить расход пара и обеспечить нормальную работу конденсатных насосов.

§ 9.11. Система пароводяного отопления

Пароводяную систему отопления применяют при централизованном теплоснабжении промышленного предприятия паром и необходимости устройства в одном из зданий водяного отопления, отличающегося пониженной (и переменной в течение отопительного сезона) температурой теплоносителя.

Электронная библиотека http://tgv.khstu.ru/

Систему пароводяного отопления применяют также в верхней части высотных зданий, куда без больших затруднений может быть подан первичный теплоноситель — пар. При вертикальном подъеме пара — теплоносителя малой плотности — обеспечивают лишь отведение попутно образующегося конденсата. Конденсат удаляется через конденсатоотводчики в конденсатопровод, по которому стекает конденсат из вышерасположенного теплообменника. Так устроено, в частности, отопление верхней (четвертой) зоны центральной части главного корпуса Московского государственного университета.

Подобная система пароводяного отопления называется централизованной. В **централизованной системе** вода может нагреваться в емкостном или скоростном теплообменнике.

В емкостном теплообменнике вода заполняет цилиндрический корпус, а пар поступает в змеевик, находящийся в нижней части корпуса. Пар подается в верхний патрубок змеевика, где превращается в конденсат, который удаляется через нижний патрубок змеевика, не смешиваясь с водой, циркулирующей в системе отопления. Нагреваемая вода попадает в теплообменник снизу, нагретая более легкая вода через верхний патрубок поступает в систему отопления.

Емкостные теплообменники отличаются незначительным сопротивлением ($\zeta=2{,}0$) движению через них воды, поэтому применяются в системе отопления с естественной циркуляцией воды. Система может быть выполнена по любой известной схеме с верхней разводкой подающей магистрали.

Существенным недостатком емкостных теплообменников является их громоздкость, обусловленная тем, что коэффициент теплопередачи змеевиков не превышает при стальных трубах 700 Вт/(м²·К), при латунных или медных трубах — 840 Вт/(м²·К). Благодаря большому объему находящейся в теплообменниках воды пар в них может подаваться с большими или меньшими перерывами в зависимости от температуры наружного воздуха.

Существенно меньшие размеры имеют скоростные теплообменники, в которых нагреваемая вода движется последовательно через два пучка стальных или латунных трубок с большой скоростью (от 0,5 до 2,5 м/с). Теплоноситель пар подается сверху в межтрубное пространство цилиндрического корпуса, конденсат отводится снизу. Площадь

Электронная библиотека http://tgv.khstu.ru/

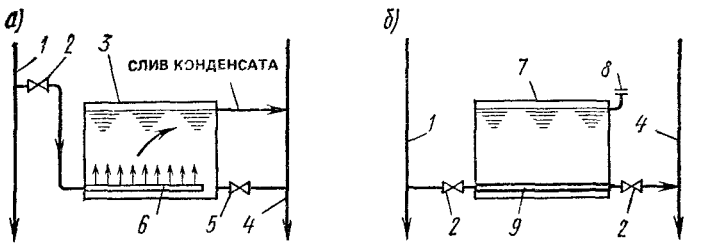

Рис. 9.14. Радиаторы децентрализованной пароводяной системы отопления
а — стандартный чугунный; *б* — безнапорный стальной; *1* — паровой стояк; *2* — паровой вентиль; *3* — чугунный радиатор; *4* — конденсатный стояк; *5* — вентиль (нормально закрыт); *6* — перфорированная труба; *7* — стальной радиатор; *8* — водоналивной патрубок; *9* — водонагревательная труба

нагревательной поверхности трубок скоростных теплообменников значительно меньше площади змеевика емкостных теплообменников в связи с повышением (примерно в 3 раза) коэффициента теплопередачи. Вместе с тем вследствие большого гидравлического сопротивления скоростные теплообменники могут применяться только в системе отопления с насосной циркуляцией воды. Для регулирования температуры воды, поступающей в систему отопления, вокруг теплообменников устраивают обводную линию с регулирующим клапаном.

В системе пароводяного отопления для обеспечения бесперебойной работы устанавливают два теплообменника, каждый из которых рассчитывается на половину тепловой мощности системы.

В **децентрализованной системе** пароводяного отопления вода нагревается паром непосредственно в отопительных приборах.

В одной из конструкций децентрализованной системы применяются стандартные чугунные радиаторы, в нижнюю часть которых закладываются перфорированные трубы (рис. 9.14, *а*) с заглушенным концом. С одной стороны в эти трубы подается пар, который через ряд мелких отверстий выходит в радиатор (см. также § 9.4). Образующийся конденсат заполняет радиаторы, и во время работы системы отопления радиаторы всегда залиты конденсатом до уровня верхней сливной подводки.

Необходимая температура воды в радиаторах поддерживается путем впуска в них большего или меньшего коли-

Электронная библиотека http://tgv.khstu.ru/

чества пара через подводку, начинающуюся от парового стояка несколько выше верха приборов. Излишек конденсата сливается в конденсатный стояк.

Выпуск воды из радиаторов в случае необходимости осуществляется через нормально закрытый вентиль на нижней конденсатной подводке в конденсатный стояк.

В другой конструкции децентрализованной системы (рис. 9.14, *б*) пар из парового стояка подается в водонагревательную трубу (без отверстий), помещенную также в нижней части приборов (см. также § 18.4). Безнапорные стальные приборы — радиаторы заполняются водой через специальный патрубок в их верхней части.

Вода в радиаторах нагревается при теплопередаче через стенки трубы в процессе конденсации пара. Конденсат удаляется через конденсатную подводку в стояк.

Достоинствами децентрализованной системы пароводяного отопления являются меньший расход металла по сравнению с обычными системами водяного отопления и температура поверхности радиаторов ниже 100 °С (в системе парового отопления даже низкого давления она составляет 100 °С и выше).

Недостатки этой системы существенны. К ним относятся сложное регулирование, шум и вероятность гидравлических ударов в отопительных приборах. Децентрализованная система пароводяного отопления распространения не получила.

КОНТРОЛЬНЫЕ ЗАДАНИЯ И УПРАЖНЕНИЯ

1. Укажите условия применения замкнутой системы парового отопления.

2. Обоснуйте необходимость удаления воздуха из системы парового отопления.

3. Перечислите функции редукционного клапана в системе парового отопления.

4. Сравните принципы действия поплавкового и термодинамического конденсатоотводчиков.

5. Укажите способ проведения центрального качественного регулирования в системе парового отопления.

6. На сколько снизится давление пара низкого давления при его передвижении со скоростью 15 м/с по прямолинейному паропроводу $D_у$ 25 длиной 20 м? Какую тепловую мощность для отопления несет в себе этот пар?

Электронная библиотека http://tgv.khstu.ru/

7. Сравните диаметры паропровода (скорость 60 м/с) и конденсатопровода (скорость 1,5 м/с) для пропуска адекватного количества пара и конденсата.

8. Объясните необходимость поддержания определенного избыточного давления пара (2 кПа) перед регулировочным вентилем у отопительного прибора системы низкого давления.

9. В чем заключается способ гидравлического расчета системы по приведенным длинам? Когда применяется этот способ?

10. Определите предельно возможную разность давления в расчетном отопительном приборе и в закрытом конденсатном баке в двух случаях, когда максимально допустимая температура пара в приборе составляет, во-первых, 130 °С, и, во-вторых, 110 °С.

11. Сформулируйте условия появления в конденсатопроводе пара вторичного вскипания и укажите места наиболее вероятного его появления.

12. Назовите признаки централизованной и децентрализованной систем пароводяного отопления.

Глава 10. Воздушное отопление

§ 10.1. Система воздушного отопления

В системах воздушного отопления используется атмосферный воздух, свойства которого как теплоносителя рассмотрены в гл. 1.

Воздушное отопление имеет много общего с другими видами централизованного отопления. И воздушное, и водяное отопление основано на передаче теплоты в отапливаемые помещения от охлаждающегося теплоносителя. В центральной системе воздушного отопления, как и в системах водяного и парового отопления, имеются теплогенератор — центральная установка для нагревания воздуха — и теплопроводы — каналы для перемещения теплоносителя воздуха.

Воздух для отопления обычно является вторичным теплоносителем, так как нагревается в калориферах (см. § 4.3) другим, первичным теплоносителем — горячей водой или паром. Таким образом, система воздушного отопления фактически становится комбинированной — водовоздушной или паровоздушной. Для нагревания воздуха используют также другие отопительные приборы и иные теплоисточники. Например, в ранее распространенной системе огневоздушного отопления воздух нагревался в огневых печах.

Электронная библиотека http://tgv.khstu.ru/

В системе воздушного отопления воздух, нагретый до температуры более высокой, чем температура воздуха в помещениях, отдает избыток теплоты и, охладившись, возвращается для повторного нагревания. Этот процесс может осуществляться двумя способами:

1) нагретый воздух, попадая в обогреваемое помещение, смешивается с окружающим воздухом и охлаждается до температуры этого воздуха;

2) нагретый воздух не попадает в обогреваемое помещение, а перемещается в окружающих помещение каналах, нагревая их стенки.

В настоящее время распространен первый способ (рассматриваемый в данной главе). Второй способ после натурной проверки в жилых зданиях в начале второй половины XX в не получил широкого распространения. Эксперименты показали, что в процессе эксплуатации системы нарушается плотность каналов. В стенках и стыках каналов, расширяющихся при нагревании и сжимающихся при охлаждении, появляются трещины, в результате чего искажается необходимое воздухораспределение. Это, в свою очередь, приводит к перегреванию одних и недогреванию других помещений

Известно одно из достоинств применяемой **центральной системы** воздушного отопления — отсутствие отопительных приборов в обогреваемых помещениях. Однако, если радиус действия системы воздушного отопления сужается до одного помещения, то воздухонагреватель может устанавливаться непосредственно в этом помещении, и тогда система становится **местной.** Отличие ее от системы водяного отопления будет в том, что тепловая мощность воздухонагревателя значительно больше мощности одного обычного отопительного прибора, и в помещении создается интенсивная циркуляция воздуха

Местной делают систему воздушного отопления в том случае, если в помещении отсутствует центральная система приточной вентиляции, а также при незначительном объеме приточного воздуха, подаваемого в течение 1 ч (менее половины объема помещения).

Для воздушного отопления характерно повышение санитарно-гигиенических показателей воздушной среды помещения Могут быть обеспечены подвижность воздуха, благоприятная для нормального самочувствия людей,

Электронная библиотека http://tgv.khstu.ru/

равномерность температуры помещения, а также смена, очистка и увлажнение воздуха. Кроме того, при устройстве местной системы воздушного отопления достигается экономия металла.

Свойство системы воздушного отопления — быстро изменять теплоподачу в помещение — используется при осуществлении периодического или дежурного отопления.

Вместе с тем, воздушное отопление не лишено существенных недостатков. Как известно (см. табл. 1.1), площадь поперечного сечения и поверхности воздуховодов из-за малой теплоаккумулирующей способности воздуха во много раз превышает площадь сечения и поверхности жидкостных теплопроводов. В сети значительной протяженности заметно охлаждается воздух, несмотря на то, что воздуховоды покрывают тепловой изоляцией. По этим причинам применение центральной системы воздушного отопления в сравнении с другими системами может оказываться экономически нецелесообразным. Местное воздушное отопление не имеет перечисленных недостатков, однако не лишено отрицательных черт, обусловленных размещением отопительного оборудования непосредственно в помещении.

Необходимость устранения отопительных приборов из помещения может препятствовать использованию местного воздушного отопления. Если к тому же требуется обеспечить ряд помещений приточной вентиляцией, то только при центральной системе воздушного отопления совместно выполняются оба эти условия.

Возможность совмещения воздушного отопления с приточной вентиляцией в холодный период, с охлаждением помещений в летний период сближает воздушное отопление с вентиляцией и кондиционированием воздуха и предопределяет дополнительное рассмотрение общих вопросов при изучении соответствующих дисциплин.

В настоящее время системы воздушного отопления устраивают в производственных, гражданских и сельскохозяйственных зданиях, применяя рециркуляцию воздуха или совмещая отопление с общеобменной приточной вентиляцией. Известно также использование нагретого воздуха для отопления жилых зданий и гостиниц (например, отопление корпусов пансионата на Клязьминском водохранилище под Москвой).

Электронная библиотека http://tgv.khstu.ru/

§ 10.2. Схемы системы воздушного отопления

На рис. 10.1 даны принципиальные схемы **местной системы** воздушного отопления. Чисто отопительная система с полной рециркуляцией теплоносителя воздуха может быть бесканальной (рис. 10.1, *а*) и канальной (рис. 10.1, *б*). При бесканальной системе внутренний воздух, имеющий температуру $t_в$, нагревается первичным теплоносителем в калорифере до температуры $t_г$ и перемещается вентилятором. Наличие вертикального канала для горячего воздуха вызывает естественную циркуляцию внутреннего воздуха через помещение и калорифер. Эти две схемы применяют для местного воздушного отопления помещений, не нуждающихся в искусственной приточной вентиляции.

Для местного воздушного отопления помещения одновременно с его приточно-вытяжной вентиляцией используют две другие схемы, изображенные на рис. 10,1, *в*, *г*. По схеме на рис. 10.1, *в* с частичной рециркуляцией часть воздуха забирается снаружи, другая часть внутреннего воздуха подмешивается к наружному (осуществляется частичная рециркуляция воздуха). Смешанный воздух догревается в калорифере и подается вентилятором в помещение. Помещение обогревается всем поступающим в него воздухом, а вентилируется только той его частью, которая забирается снаружи. Эта часть воздуха удаляется из помещения в атмосферу (по каналу 7 на рис. 10.1, *в*).

Схема на рис. 10.1, *г* — прямоточная: наружный воздух в количестве, необходимом для вентиляции помещения, дополнительно нагревается для отопления, а после охлаждения до температуры помещения удаляется в таком же количестве в атмосферу.

Центральная система воздушного отопления — канальная. Воздух нагревается до необходимой температуры в тепловом центре здания и выпускается в помещения через воздухораспределители. Принципиальные схемы центральной системы приведены на рис. 10.2.

В схеме на рис. 10.2, *а* нагретый воздух по специальным каналам распределяется по помещениям, а охладившийся воздух по другим каналам возвращается для повторного нагревания в теплообменнике — калорифере. Совершается, как и в схеме на рис. 10.1, *а*, полная рециркуляция воздуха без вентиляции помещений. Теплопередача в калори-

Электронная библиотека http://tgv.khstu.ru/

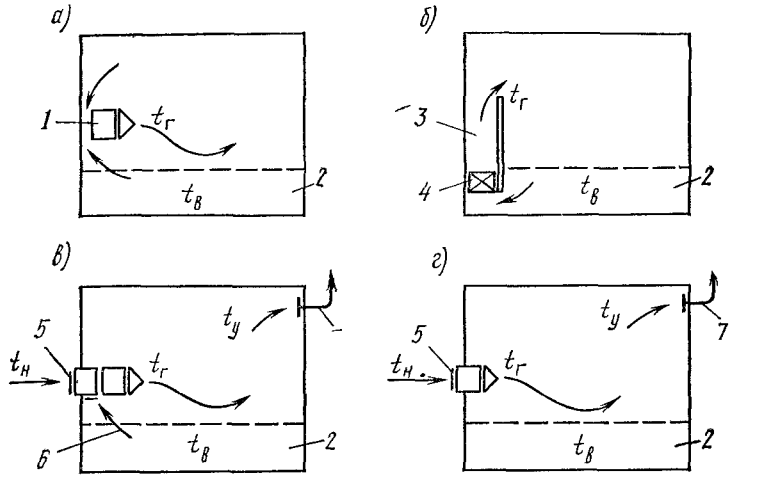

Рис. 10.1. Принципиальные схемы местной системы воздушного отопления

а, б — полностью рециркуляционные; *в* — частично рециркуляционная; *г* — прямоточная; *1* — отопительный агрегат; *2* — рабочая зона; *3* — канал нагретого воздуха; *4* — теплообменник-калорифер; *5* — воздухозабор; *6* — рециркулирующий воздух; *7* — канал вытяжной вентиляции

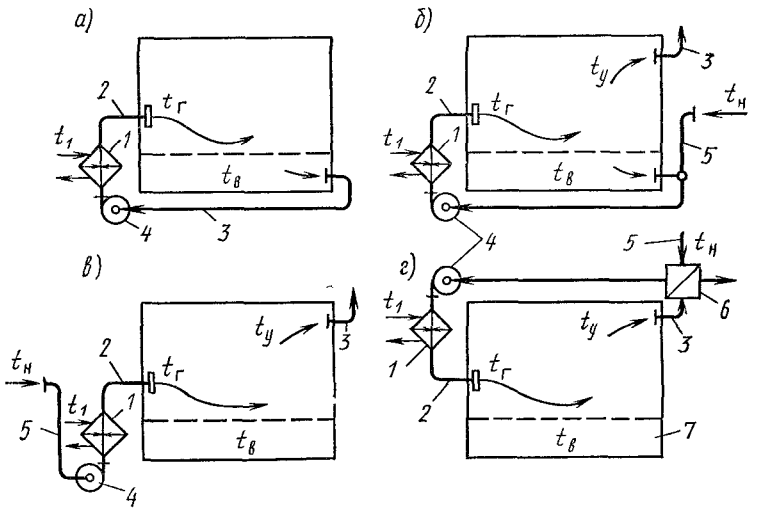

Рис. 10.2. Принципиальные схемы центральной системы воздушного отопления

а — полностью рециркуляционная; *б* — частично рециркуляционная; *в* — прямоточная; *г* — рекуперативная; *1* — теплообменник-калорифер, *2* — канал нагретого воздуха с воздухораспределителем на конце; *3* — канал внутреннего воздуха; *4* — вентилятор; *5* — канал наружного воздуха, *6* — воздухо-воздушный теплообменник; *7* — рабочая зона

Электронная библиотека http://tgv.khstu.ru/

фере соответствует теплопотерям помещений, т. е. схема является чисто отопительной.

Схема на рис. 10.2, *б* с частичной рециркуляцией по действию не отличается от схемы на рис. 10.1, *в*. На рис. 10.2, *в* изображена прямоточная схема центральной системы воздушного отопления, аналогичная схеме на рис. 10.1, *г*.

В схемах на рис. 10.1, *а*, *б* и 10.2, *а* теплозатраты на нагревание воздуха определяются только теплопотерями помещений; в схемах на рис. 10.1, *в* и 10.2, *б* они возрастают в результате предварительного нагревания части воздуха от температуры наружного воздуха $t_н$ до температуры $t_в$; в схемах на рис. 10.1, *г* и 10.2, *в* теплозатраты наибольшие, так как весь воздух необходимо нагреть сначала от температуры $t_н$ до $t_в$, а потом перегреть до $t_г$ (тепловая энергия расходуется и на отопление, и на полную вентиляцию помещений).

Рециркуляционная система воздушного отопления отличается меньшими первоначальными вложениями и эксплуатационными затратами. Система может применяться, если в помещении допускается рециркуляция воздуха, а температура поверхности нагревательных элементов соответствует требованиям гигиены, пожаро- и взрывобезопасности этого помещения. Радиус действия центральной системы с естественной циркуляцией (без вентилятора) ограничен 8—10 м, считая по горизонтальному пути от теплового центра до наиболее удаленного вертикального канала. Объясняется это незначительностью действующего естественного циркуляционного давления, составляющего даже при значительной температуре нагретого воздуха всего лишь около 2 Па на каждый метр высоты канала.

Система воздушного отопления с частичной рециркуляцией устраивается с механическим побуждением движения воздуха и является наиболее гибкой. Она может действовать в различных режимах; в помещениях помимо частичной могут осуществляться полная замена, а также полная рециркуляция воздуха. При этих трех режимах система работает как отопительно-вентиляционная, чисто вентиляционная и чисто отопительная. Все зависит от того, забирается ли и в каком количестве воздух снаружи и до какой температуры нагревается воздух в калорифере.

Прямоточная система воздушного отопления отличается самыми высокими эксплуатационными затратами. Ее приме-

Электронная библиотека http://tgv.khstu.ru/

няют, когда требуется вентиляция помещений в объеме не меньшем, чем объем воздуха для отопления (например, в помещениях категорий *А* и *Б*, где выделяются вещества, взрывоопасные и пожароопасные, а также вредные для здоровья людей, обладающие неприятным запахом). Для уменьшения теплозатрат в прямоточной системе при сохранении ее основного преимущества — полной вентиляции помещений — используют схему с рекуперацией (см. рис. 10.2, *г*), где применен дополнительный воздухо-воздушный теплообменник, позволяющий утилизировать часть теплоты уходящего воздуха для нагревания наружного воздуха.

§ 10.3. Количество и температура воздуха для отопления

Воздух для отопления подается в помещение нагретым до такой температуры $t_г$, чтобы в результате его смешения с внутренним воздухом и теплообмена с поверхностью ограждений поддерживалась заданная температура помещения. Следовательно, количество аккумулированной воздухом теплоты должно быть равно $Q_п$ — максимальной теплопотребности для поддержания в помещении расчетной $t_р$

$$G_{от} c (t_г - t_в) = Q_п.$$

Отсюда расход нагретого воздуха $G_{от}$, кг/с, для отопления помещения

$$G_{от} = \frac{Q_п}{c (t_г - t_в)}, \qquad (10.1)$$

где c — удельная массовая теплоемкость воздуха, равная 1005 Дж/(кг·К).

Для получения расхода воздуха в кг/ч теплопотребность помещения в Вт (Дж/с) следует выразить в Дж/ч, т. е. умножить на 3600 с.

Объем подаваемого воздуха $L_{от}$, м³/ч, при температуре $t_г$ нагретого воздуха

$$L_{от} = G_{от}/\rho_г. \qquad (10.2)$$

Воздухообмен $L_п$, м³/ч, в помещении несколько отличается от $L_{от}$, так как определяется при температуре $t_в$ внутреннего воздуха

$$L_п = G_{от}/\rho_в, \qquad (10.3)$$

Электронная библиотека http://tgv.khstu.ru/

где $\rho_г$ и $\rho_в$ — плотность воздуха, кг/м³, при его температуре $t_г$ и $t_в$

Температура воздуха $t_г$ должна быть возможно более высокой для уменьшения, как это видно из уравнения (10.1), количества подаваемого воздуха. В связи с этим соответственно сокращаются размеры каналов, а также снижается расход электроэнергии при механическом побуждении движения воздуха

Однако правилами гигиены устанавливается определенный верхний предел температуры — воздух не следует нагревать выше 60 °С, чтобы он не терял своих свойств как среда, вдыхаемая людьми. Эта температура и принимается как предельная для систем воздушного отопления помещений с постоянным или длительным (более 2 ч) пребыванием людей. Отклонения от этого общего правила делают для воздушно-тепловых завес. Для завес у внешних ворот и технологических проемов, выходящих наружу, допускается повышение температуры подаваемого воздуха до 70 °С; для завес у наружных входных дверей — понижение температуры до 50 °С.

Конкретные значения температуры воздуха при воздушном отоплении связаны со способами его подачи из воздухораспределителей, а именно зависят от того, подается ли воздух вертикально сверху вниз, наклонно в направлении рабочей зоны или горизонтально в верхней зоне помещения.

В пределе, если люди подвергаются длительному непосредственному влиянию струи нагретого воздуха, температуру нагретого воздуха рекомендуется понижать до 25 °С.

По формуле (10.1) определяют **количество воздуха**, подаваемого в помещение только с целью его отопления, и систему устраивают рециркуляционной. Когда же воздушная система отопления является одновременно и системой вентиляции, количество вводимого в помещение воздуха устанавливают следующим образом:

если $G_{от} \geqslant G_{вент}$ (количество воздуха для отопления оказывается равным количеству воздуха, необходимому для вентиляции, или превышает его), то сохраняют количество и температуру отопительного воздуха, а систему выбирают прямоточной или с частичной рециркуляцией;

если $G_{вент} > G_{от}$ (количество вентиляционного воздуха превышает количество воздуха, которое необходимо для отопления), то принимают количество воздуха, потребное для вентиляции, систему делают прямоточной, а темпера-

Электронная библиотека http://tgv.khstu.ru/

туру подаваемого воздуха вычисляют по формуле

$$t_г = t_в + \frac{Q_п}{cG_{вент.}}, \quad (10.4)$$

полученной из уравнения (10.1).

Количество воздуха для отопления помещения или его температуру уменьшают, если в помещении имеются постоянные тепловыделения.

При центральной отопительно-вентиляционной системе температура нагретого воздуха, определяемая по формуле (10.4), может оказаться для каждого помещения различной. Подача в отдельные помещения воздуха при различной температуре технически осуществима. Однако проще подавать во все помещения воздух при одинаковой температуре. Для этого общую температуру нагретого воздуха принимают равной низшей из расчетных для отдельных помещений, а количество подаваемого воздуха пересчитывают по формуле (10.1).

После уточнения воздухообмена определяют теплозатраты на нагревание воздуха по формулам:

для рециркуляционной системы воздушного отопления

$$Q = G_{от}c\,(t_г - t_в); \quad (10.5)$$

для частично рециркуляционной отопительно-вентиляционной системы

$$Q = G_{от}c\,(t_г - t_в) + G_{вент}c\,(t_в - t_н); \quad (10.6)$$

для прямоточной отопительно-вентиляционной системы

$$Q = G_{вент}c\,(t_г - t_н), \quad (10.7)$$

где $G_{от}$ и $G_{вент}$ — расход воздуха, кг/с, для целей отопления и вентиляции; $t_н$ — температура наружного воздуха для проектирования отопления.

В формуле (10.6) количество рециркуляционного воздуха $G_{рец} = G_{от} - G_{вент}$, так как $G_{от}$ выражает количество смешанного воздуха, нагретого до температуры $t_г$ с целью отопления.

Пример 10.1. Определим количество воздуха, подаваемого при $t_г = 45$ °С, для поддержания в помещении температуры 20 °С, если его теплопотери составляют 2000 Вт.

Количество подаваемого воздуха по формуле (10.1)

$$G_{от} = \frac{2000 \cdot 3600}{1005\,(45 - 20)} = 287 \text{ кг/ч}.$$

Электронная библиотека http://tgv.khstu.ru/

Объем подаваемого воздуха по формуле (10.2)

$$L_{от} = 287 : 1{,}11 = 259 \text{ м}^3/\text{ч}.$$

Воздухообмен в помещении по формуле (10.3)

$$L_{п} = 287 : 1{,}205 = 238 \text{ м}^3/\text{ч}.$$

Пример 10.2. Найдем теплозатраты на нагревание воздуха по условиям примера 10.1, если объем наружного воздуха, подаваемого для вентиляции помещения, $L_{вент} = 100$ м³/ч. Температура наружного воздуха $t_{н} = -25$ °С.

Теплозатраты в частично рециркуляционной системе по формуле (10.6)

$$Q = \frac{1005}{3600}[287(45-20) + 100 \cdot 1{,}205(20+25)] = 3517 \text{ Вт или}$$

$$12\,660 \text{ кДж/ч}.$$

Объем рециркуляционного воздуха составляет

$$L_{п} - L_{вент} = \frac{287}{1{,}205} - 100 = 138 \text{ м}^3/\text{ч},$$

а дополнительные (сверх теплопотерь помещения) теплозатраты на нагревание вентиляционного воздуха — 3517—2000=1517 Вт.

Прямоточная система в данном случае неприменима, так как температура нагретого воздуха превысила бы допустимую, даже при подаче воздуха в верхнюю зону. В самом деле, по формуле (10.4)

$$t_{г} = 20 + \frac{2000 \cdot 3600}{1005 \cdot 100 \cdot 1{,}205} = 20 + 59{,}5 = 79{,}5 \text{ °С} > 60 \text{ °С}.$$

§ 10.4. Местное воздушное отопление

Местное воздушное отопление предусматривают в зданиях в следующих случаях:

в рабочее время при отсутствии центральной системы приточной вентиляции, причем система отопления может быть чисто отопительной и совмещенной с местной приточной вентиляцией;

в нерабочее время при отсутствии и невозможности или экономической нецелесообразности использования для отопления имеющейся центральной системы приточной вентиляции.

Для местного воздушного отопления применяют:

1) рециркуляционные отопительные агрегаты с механическим побуждением движения воздуха (рис. 10.1, *а*);

2) отопительно-вентиляционные агрегаты с частичной рециркуляцией воздуха и прямоточные, также с механическим побуждением движения воздуха по схемам на

Электронная библиотека http://tgv.khstu.ru/

рис. 10.1, *в*, *г* (рассматриваются главным образом в дисциплине «Вентиляция»);

3) рециркуляционные воздухонагреватели с естественным движением воздуха (рис. 10.1, *б*).

Отопительные агрегаты предназначены для отопления производственных помещений категорий В, Г и Д, технологический процесс в которых не сопровождается выделением пыли, крупных помещений общественных и сельскохозяйственных зданий. Специальные отопительно-вентиляционные агрегаты применяют для отопления жилых квартир. Рециркуляционные воздухонагреватели служат для отопления лестничных клеток многоэтажных зданий и отдельных помещений общественных зданий.

§ 10.5. Отопительные агрегаты

Отопительным агрегатом называется комплекс стандартных элементов, собираемых воедино на заводе, имеющий определенную воздушную, тепловую и электрическую мощность. Агрегаты изготовляют для установки непосредственно в отапливаемых помещениях. Они представляют собой компактное, мощное и сравнительно недорогое оборудование. Недостатком агрегатов является шум при действии вентилятора, что ограничивает возможность их применения в рабочее время.

Отопительные агрегаты подразделяются на подвесные и напольные. **Подвесной отопительный агрегат** представлен на рис. 10.3. Корпус, имеющий воздухозаборное отверстие, соединен с воздухонагревателем (калорифером). Внутри корпуса находится осевой вентилятор с электродвигателем.

Воздух, забираемый из помещения вентилятором, пропускается через калорифер, нагреваемый высокотемпературной водой, и выпускается снова в помещение в нужном направлении через створки регулирующего многостворчатого клапана. Агрегат снабжен кронштейнами для подвески его в помещении.

В зависимости от модели один подвесной отопительный агрегат при небольшой электрической мощности двигателя может нагревать до 20 тыс. м³/ч воздуха, тепловая мощность достигает 250 кВт. На рис. 10.3 изображен отопительный агрегат модели АО2-4 тепловой мощностью 47,7 кВт; воздух нагревается в пластинчатом многоходовом калорифере

Электронная библиотека http://tgv.khstu.ru/

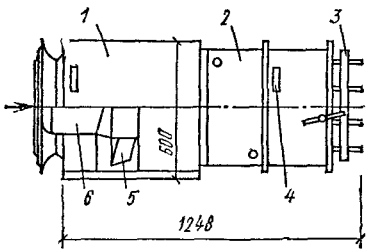

Рис. 10.3. Подвесной воздушно-рециркуляционный отопительный агрегат АО2-4 (боковой вид)

1 — корпус; *2* — воздухонагреватель; *3* — многостворчатый клапан; *4* — кронштейн; *5* — осевой вентилятор; *6* — электродвигатель

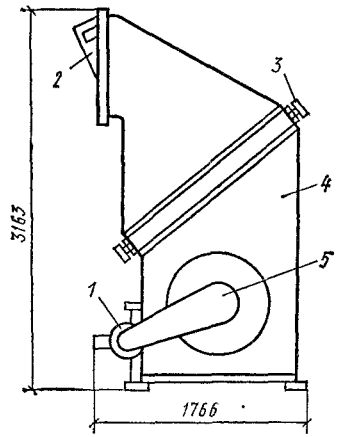

Рис. 10.4. Напольный воздушно-рециркуляционный агрегат СТД-300М

1 — электродвигатель; *2* — воздуховыпускной патрубок; *3* — воздухонагреватель; *4* — корпус; *5* — ременная передача в защитном кожухе

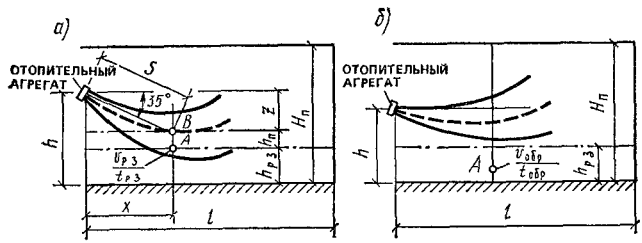

Рис. 10.5. Схемы наклонной (*а*) и сосредоточенной (*б*) подачи нагретого воздуха отопительным агрегатом, установленным на высоте *h*

A — расчетная точка в рабочей зоне; *B* — вершина воздушной струи

марки КВБ-7п. Агрегат рассчитан на подачу 4000 м³/ч (индекс «4») воздуха при температуре 51 °С, если температура входящего в него воздуха 16 °С. В агрегате установлен осевой вентилятор типа 06-300 с электродвигателем 0,37 кВт.

Электронная библиотека http://tgv.khstu.ru/

Скорость воздуха на выходе из агрегата 4,4 м/с. Гидравлическое сопротивление калорифера (по теплоносителю) 2207 Па.

Подобным же образом характеризуется каждый из остальных трех моделей (индексы 6,3; 10; 20) выпускаемых подвесных отопительных агрегатов А02. Большей дальнобойностью обладают агрегаты типа АОД2 с обводным воздушным каналом над калорифером. Общим недостатком агрегатов А02 является высокий уровень звуковой мощности (88 дБА).

Подвесной отопительный агрегат другой модели СТД-300п тепловой мощностью 349 кВт, рассчитанный на подачу 24600 м³/ч нагретого до 60 °С воздуха, отличается повышенной до 10,2 м/с скоростью выпуска воздуха.

В **напольных отопительных агрегатах** используют не только осевые, но и центробежные вентиляторы (рис. 10.4); их мощность может превышать мощность подвесных агрегатов. Воздух нагревается не только водой, но и паром, а также при сжигании газообразного топлива. Схема напольного газовоздушного отопительного агрегата тепловой мощностью 9,65 кВт изображена на рис. 1.3.

Для отопления помещения устанавливают не менее двух агрегатов, причем их тепловую мощность выбирают достаточной для поддержания температуры не ниже 5 °С при выходе из строя одного из агрегатов.

При выпуске воздуха в свободное пространство крупного помещения через регулирующий многостворчатый клапан агрегата образуется так называемая компактная струя. Воздушная струя превращается в неполную веерную в том случае, когда регулирующий клапан дополняют рассеивающей решеткой.

Подачу нагретого воздуха при использовании отопительных агретатов осуществляют двумя способами: наклонными струями сверху в направлении рабочей зоны (рис. 10.5, *а*) или горизонтальными струями выше рабочей зоны (рис. 10.5, *б*). **Наклонной подаче** отдается предпочтение, так как нагретый воздух попадает непосредственно в рабочую зону. Для этого воздух выпускается под углом 35° к горизонту, что обеспечивает наибольшую дальнобойность нагретых струй.

Горизонтальную подачу, получившую название **сосредоточенной,** применяют, когда при наклонной подаче

Электронная библиотека http://tgv.khstu.ru/

температура и скорость движения воздуха в рабочей зоне (в точке A на рис. 10.5, *а*) превышают допустимые значения. Агрегаты для горизонтальной (или под малым углом к горизонту, как показано на рис. 10.5, *б*) подачи помещают на высоте от пола $h=(0{,}35\div0{,}65)\ H_{\text{п}}$, т. е. в средней зоне по высоте помещения. Воздушные струи при этом получаются ненастилающимися (настилаются они на потолок при $h>0{,}85\ H_{\text{п}}$, и это в высоких помещениях вызывает перегревание верхней зоны).

При сосредоточенной подаче под воздушной струей в нижней части помещения возникает обратный поток воздуха. В месте, где расширяющаяся воздушная струя наиболее близко проходит своей нижней границей к рабочей зоне, обратный поток движется с максимальной скоростью. В этом месте (точка A на рис. 10.5, *б*) и проверяют допустимость получающихся значений скорости движения и температуры воздуха.

В крупных помещениях отопительные агрегаты размещают так, чтобы получалось несколько параллельных компактных или неполных веерных воздушных струй. При параллельных компактных струях (рис. 10.6, *а*) агрегаты располагают на расстоянии $b\leqslant3H_{\text{п}}$ ($H_{\text{п}}$ — высота помещения), при неполных веерных струях — до 10 $H_{\text{п}}$ (рис. 10.6, *б*). В плане агрегаты устанавливают с учетом расположения колонн и крупногабаритного оборудования, которые могут нарушать свободное развитие воздушных струй в помещении.

Выбор модели отопительных агрегатов для крупных помещений делают в предположении, что будет принята наклонная подача воздуха, исходя из длины l, м, зоны обслуживания одним агрегатом, рекомендуемой в справочной литературе (например, для модели А02-4 $l=9$—12 м). Предварительно принимая ширину этой зоны $b=l$, сопоставляют теплопотери обслуживаемой части помещения (с повышающим коэффициентом 1,10) с тепловой мощностью агрегатов. Выбрав окончательно модель агрегата, уточняют объем части помещения, приходящийся на один агрегат, и число агрегатов.

При наклонной подаче воздуха допустимо получение размера $b=(0{,}5\div2{,}0)\ l$.

Экономически выгоднее применять укрупненные отопительные агрегаты. При использовании крупных отопи-

Электронная библиотека http://tgv.khstu.ru/

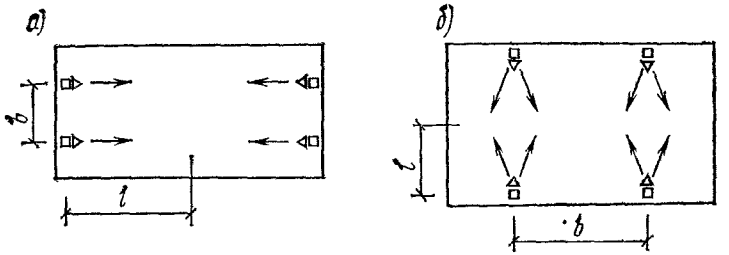

Рис. 10.6. Схемы расположения отопительных агрегатов в плане помещения при параллельных воздушных струях (*а*) и при неполных веерных воздушных струях (*б*)

тельных агрегатов температура воздуха в помещении может остаться довольно равномерной (отличие в верхней зоне от расчетной в рабочей зоне не более чем на 2—3 °С допустимо во многих производственных зданиях), особенно если там обеспечивается 2—3-кратный воздухообмен.

§ 10.6. Расчет подачи воздуха, нагретого в отопительном агрегате

В высоком помещении нагретый воздух, подаваемый отопительными агрегатами, образует свободно развивающиеся, постепенно всплывающие круглые воздушные струи. В такой воздушной струе, подаваемой как наклонно вниз, так и горизонтально, происходит теплоаэродинамический процесс затухания скорости ее движения и понижения температуры при подмешивании окружающего воздуха.

Рассмотрим методику расчета каждого из способов подачи нагретого воздуха в помещение.

1. РАСЧЕТ НАКЛОННОЙ ПОДАЧИ НАГРЕТОГО ВОЗДУХА

Траектория и параметры круглой неизометрической воздушной струи зависят от расчетных показателей выбранной модели отопительного агрегата. Перечислим эти показатели: площадь воздухораспределяющего устройства A_0, м², начальная скорость подаваемого воздуха v_0, м/с, избыточная температура воздуха $(t_г—t_в)$, °С. Например, для отопительного агрегата модели А02-4 (рис. 10.3) A_0=0,25 м², v_0= =4,4 м/с, $t_г—t_в$=35,8 °С.

Расчет подачи начинается с определения геометрической характеристики воздушной струи H, создаваемой

Электронная библиотека http://tgv.khstu.ru/

агрегатом. Значение H, м, круглой воздушной струи вычисляется по формуле

$$H=5{,}45\frac{mv_0A_0^{0,25}}{[n(t_г-t_в)]^{0,5}}, \qquad (10.8)$$

где m и n — скоростной и температурный коэффициенты воздушной струи, зависящие от конструкции воздухораспределительного устройства (для многостворчатого клапана агрегатов модели АО2— $m=4{,}5$; $n=3{,}8$; модели СТД-300—$m=6{,}0$; $n=4{,}5$).

Скоростной коэффициент характеризует интенсивность затухания скорости движения воздушной струи при применении воздухораспределительного устройства той или иной конструкции (клапана, решетки и т. п.), температурный— интенсивность понижения температуры воздуха в струе.

Пример 10.3. Найдем геометрическую характеристику круглой воздушной струи, создаваемой отопительным агрегатом модели АО2-4.

По формуле (10.8)

$$H=5{,}45\frac{4{,}5\cdot4{,}4\cdot0{,}25^{0,25}}{(3{,}8\cdot35{,}8)^{0,5}}=6{,}54 \text{ м}.$$

По значению геометрической характеристики струи проверяется выбранная длина l зоны обслуживания агрегатом

$$l=1{,}58H. \qquad (10.9)$$

Выражение (10.9) получено как среднее для соотношения $x/l=0{,}3\div0{,}5$, где x— координата вершины воздушной струи (точка B на рис. 10.5, *а*), определяемая по формуле

$$x=0{,}635H. \qquad (10.10)$$

Вторую координату вершины струи находят по формуле

$$z=0{,}307H; \qquad (10.11)$$

тогда длина пути струи s от агрегата до ее вершины составит

$$s=0{,}7H. \qquad (10.12)$$

Пример 10.4. Определим по условиям примера 10.3 длины зоны обслуживания агрегатом и пути воздушной струи от агрегата до ее вершины.

По формулам (10.9) — (10.12) найдем длину зоны обслуживания отопительным агрегатом $l=1{,}58\cdot6{,}54=10{,}3$ м, а также длину пути струи до ее вершины $s=0{,}70\cdot6{,}54=4{,}6$ м при $x=0{,}635\cdot6{,}54=4{,}15$ м и $z=0{,}307\cdot6{,}54=2{,}0$ м.

В вершине воздушной струи максимальная скорость ее движения v_s, м/с, и избыточная температура Δt_s, °С, опре-

Электронная библиотека http://tgv.khstu.ru/

деляются по формулам

$$v_s = \frac{mv_0 A_0^{0,5}}{s}; \quad (10.13)$$

$$\Delta t_s = \frac{n(t_г - t_в) A_0^{0,5}}{s}. \quad (10.14)$$

Получаемые по формулам (10.13) и (10.14) значения скорости движения и температуры в вершине воздушной струи сопоставляют с соответствующими предельно допустимыми (нормативными) значениями для рабочей зоны помещения. Если они не превышают нормативных значений, то предварительно выбранную высоту установки отопительного агрегата (на z м выше вершины струи) можно оставить без изменения. Если же вычисленные значения скорости v_s и температуры Δt_s превышают нормируемые, то для их уменьшения следует поднять вершину воздушной струи над уровнем рабочей зоны помещения.

Пример 10.5. Вычислим скорость движения и избыточную температуру в вершине воздушной струи (в точке B на рис. 10.5, *а*) по условиям примеров 10.3 и 10.4.

По формуле (10.13) и (10.14) получим

$$v_s = \frac{4,5 \cdot 4,4 \cdot 0,25^{0,5}}{4,6} = 2,15 \text{ м/с и}$$

$$\Delta t_s = \frac{3,8 \cdot 35,8 \cdot 0,25^{0,5}}{4,6} = 14,8 \,^{\circ}\text{C}.$$

Найденные значения скорости движения и избыточной температуры в вершине воздушной струи превышают предельно допустимые.

В этом случае определяют величину дополнительного превышения ($h_п$ на рис. 10.5, *а*) вершины воздушной струи над уровнем рабочей зоны. Дополнительное превышение $h_п$ вычисляют из двух нижеследующих формул (подставляя в них нормативные значения скорости $v_{норм}$ и избыточной температуры $\Delta t_{норм}$)

$$v_{норм} = v_s e^{-74,4(h_п/s)^2}; \quad (10.15)$$

$$\Delta t_{норм} = \Delta t_s e^{-37,2(h_п/s)^2}. \quad (10.16)$$

Выбирая большее из полученных значений $h_п$ (но не более 2 м), выбирают окончательно высоту установки

Электронная библиотека http://tgv.khstu.ru/

отопительного агрегата над поверхностью пола

$$h = h_{р.з} + h_п + z. \qquad (10.17)$$

Во всех расчетах h—$h_{р.з}$ должно быть не менее 2 м. В развитие примера 10.5 расчетами по приведенным формулам получено, что при наклонной подаче нагретого воздуха отопительный агрегат модели А02-4 следует установить на высоте 4,7 м от поверхности пола. При этом в рабочей зоне помещения (в точке A на рис. 10.5, *а*) скорость движения воздуха составит $v_{р.з} = 0{,}4$ м/с, а его избыточная температура — $\Delta t_{р.з} = 6$ °С.

Если полученное по формулам (10.15) и (10.16) значение $h_п$ превышает 2 м, то рекомендуется либо уменьшить отклонение оси выпускаемой воздушной струи от горизонтали (угол $\alpha = 35°$ на рис. 10.5, *а*), либо понизить температуру подаваемого воздуха $t_г$, используя более общую формулу

$$t_г \leqslant t_в + 13\left[\frac{mv_0 \sin^3\alpha}{h - h_{р.з}}\right]^2 \frac{A_0^{0,5}}{n}. \qquad (10.18)$$

Наконец, можно заменить наклонную подачу нагретого воздуха сосредоточенной.

2. ТЕПЛОАЭРОДИНАМИЧЕСКИЙ РАСЧЕТ СОСРЕДОТОЧЕННОЙ ПОДАЧИ ВОЗДУХА, НАГРЕТОГО В ОТОПИТЕЛЬНОМ АГРЕГАТЕ

При сосредоточенной подаче начальная температура струи нагретого воздуха во избежание быстрого ее «всплывания» не должна превышать полученной по формуле

$$t_г \leqslant t_в + \frac{1300 v_0^2 A_0^{0,5}}{mnbH_п}, \qquad (10.19)$$

где b — расстояние между отопительными агрегатами, м; $H_п$ — высота помещения, м [остальные обозначения см. формулу (10.8)].

Агрегаты устанавливают на высоте над поверхностью пола помещения, вычисляемой по формуле

$$h = h_{р.з} + 0{,}3\,(bH_п)^{0,5}. \qquad (10.20)$$

Расчет сосредоточенной подачи воздуха сводится к определению максимальной скорости движения воздуха в рабочей зоне помещения, т. е. в обратном потоке воздуха (в

Электронная библиотека http://tgv.khstu.ru/

точке A на рис. 10.5, *б*) по формуле

$$v_{обр} = kv_0 (A_0/bH_п)^{0,5}, \quad (10.21)$$

где k — поправочный коэффициент, учитывающий число отопительных агрегатов, устанавливаемых в один ряд (изменяется от 1,15 при двух агрегатах и 1,05 при четырех до 0,9 при десяти агрегатах в ряду).

Определяется также максимальная избыточная температура обратного потока воздуха в рабочей зоне

$$\Delta t_{обр} = 1,4 (t_г - t_в) (A_0/bH_п)^{0,5}. \quad (10.22)$$

Скорость движения обратного потока воздуха в рабочей зоне не должна превышать 0,7 м/с, избыточная температура обратного потока 2 °С.

При выборе тепловой мощности модели отопительных агрегатов, предназначенных для сосредоточенной подачи нагретого воздуха, к теплопотерям помещения вводят повышающий коэффициент 1,25 (при наклонной подаче воздуха— 1,10). Это объясняется тем, что в горизонтальной нагретой воздушной струе действует сила, вызывающая ее подъем. При ускоренном (по сравнению с наклонной подачей) подъеме нагретого воздуха перегревается верхняя зона, вследствие чего увеличиваются теплопотери через покрытие помещения и недогревается рабочая зона.

Равномерность температуры воздуха по площади и высоте связана с кратностью воздухообмена в помещении

$$k_п = L_п/V_п, \quad (10.23)$$

где $L_п$ — воздухообмен, м³/ч, в помещении объемом $V_п$, м³.

Температура воздуха по высоте помещения выравнивается с увеличением кратности воздухообмена от 1 до 3. Дальнейшее увеличение кратности воздухообмена практически не влияет на температуру воздуха в верхней зоне. При соблюдении описанных выше условий в отношении высоты выпуска воздуха и кратности воздухообмена сосредоточенная подача нагретого воздуха вызывает изменение температуры воздуха всего на 0,1—0,15 °С на 1 м высоты и температура воздуха в верхней зоне высоких цехов отличается от температуры в рабочей зоне не более чем на 3 °С.

Длину обслуживаемого одним отопительным агрегатом объема помещения (дальнобойность воздушной струи) проверяют по выражению

$$l \leqslant 0,7m (bH_п)^{0,5}, \quad (10.24)$$

Электронная библиотека http://tgv.khstu.ru/

Расчетами при $bH_п=21$ м² применительно к ранее выбранной модели отопительного агрегата А02-4 (примеры 10.3—10.5) получено, что для обеспечения примерно тех же параметров воздуха в рабочей зоне помещения как и при наклонной подаче агрегат при сосредоточенной подаче воздуха следует установить на высоте 3,4 м от поверхности пола (на 1,3 м ниже), а дальнобойность воздушной струи составит 12—15 м (на 3 м больше, чем при наклонной подаче).

Пример 10.6. Рассчитаем систему воздушного отопления агрегатами, обогреваемыми водой (температура 150—70 °С), с наклонной подачей воздуха в цехе длиной 50, шириной 20 и высотой 9 м, если теплопотери цеха 170 кВт, $t_в=15$°С, $v_{норм}=0,5$ м/с и $\Delta t_{норм}=3$ °С.

Выбираем подачу воздуха четырьмя отопительными агрегатами по схеме, изображенной на рис. 10.6, *а*, когда зона обслуживания $l=10$ м.

Необходимая тепловая мощность отопительных агрегатов

$$Q_1=1,1\cdot 170:4=46,8 \text{ кВт}.$$

Принимаем к установке агрегаты модели А02-4 тепловой мощностью по 47,7 кВт при подаче 4000 м³/ч воздуха.

Получающаяся кратность возбухообмена по формуле (10.23)

$$k_п=4000\cdot 4:(50\cdot 20\cdot 9)=1,8$$

удовлетворяет условию равномерности температуры воздуха в цехе.

Найдем необходимую высоту установки отопительных агрегатов над поверхностью пола цеха, используя результаты расчетов в примерах 10.3—10.5.

Определим дополнительное превышение вершины воздушной струи над уровнем рабочей зоны по формулам (10.15) и (10.16).

Из формулы (10.15) при $v_s=2,15$ м/с и $s=4,6$ м получим $h_п=0,65$ м. Из формулы (10.16) при $\Delta t_s=14,8$ °С найдем $h_п=0,95$ м.

Тогда при высоте рабочей зоны 2,0 м определим высоту установки отопительных агрегатов по формуле (10.17)

$$h=2,0+0,95+2,0\approx 5,0 \text{ м}.$$

Пример 10.7. Проверим, можно ли использовать отопительные агрегаты модели А02-4, принятые к установке по условиям примера 10.6, для отопления того же цеха при сосредоточенной горизонтальной подаче нагретого воздуха.

Максимальная скорость движения воздуха в обратном потоке в рабочей зоне составит по формуле (10.21)

$$v_{обр}=1,15\cdot 4,4\,[0,25:(25\cdot 9)]^{0,5}=0,17 \text{ м/с} < v_{норм}.$$

Максимальную избыточную температуру обратного потока в рабочей зоне найдем по формуле (10.22)

$$\Delta t_{обр}=1,4\cdot 35,8\,[0.25:(25\cdot 9)]^{0,5}=1,7 \text{ °С} < \Delta t_{норм}.$$

Электронная библиотека http://tgv.khstu.ru/

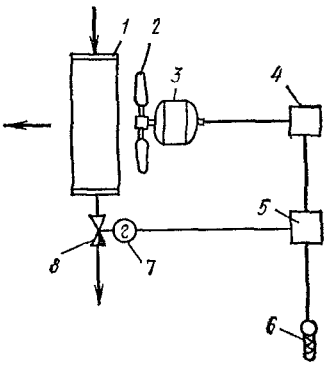

Рис. 10.7. Принципиальная схема автоматизации работы воздушного отопительного агрегата

1 — калорифер; *2* — вентилятор; *3* — электродвигатель; *4* — магнитный пускатель; *5* — промежуточное реле; *6* — датчик температуры; *7* — исполнительный механизм; *8* — регулирующий орган

Однако тепловая мощность агрегатов принятой модели (47,7кВт) недостаточна, так как при сосредоточенной подаче нагретого воздуха потребуются отопительные агрегаты, имеющие тепловую мощность не менее

$$Q_1 = 1{,}25 \cdot 170 : 4 = 53{,}1 \text{ кВт}.$$

Воздушное отопление крупных помещений автоматизируется. Принципиальная схема автоматизации работы отопительного агрегата дана на рис. 10.7. Для регулирования температуры воздуха в помещениях применяют биметаллические датчики двухпозиционного действия, которые обеспечивают точность поддержания температуры воздуха $\pm 1{,}5$ °С.

§ 10.7. Квартирная система воздушного отопления

Квартирное воздушное отопление можно отнести к канальной системе местного воздушного отопления. Ее принципиальная схема близка к схеме, изображенной на рис. 10.1, *в*. Нагретый воздух подается в жилые комнаты, обеспечивая не только их отопление, но и вентиляцию; охладившийся воздух из комнат поступает во вспомогательные помещения квартиры — в кухню, ванную и уборную, откуда он удаляется наружу.

Отопительно-вентиляционный агрегат квартирного воздушного отопления (рис. 10.8) состоит из водовоздушного теплообменника — калорифера, электровентилятора, фильтра, воздушных клапанов наружного, рециркуляционного и обводного для регулирования температуры подаваемого

Электронная библиотека http://tgv.khstu.ru/

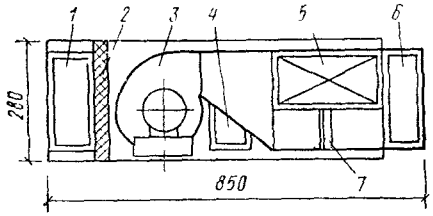

Рис. 10.8. Квартирный отопительно-вентиляционный агрегат
1 — клапан наружного воздуха; *2* — фильтр; *3* — вентилятор; *4* — рециркуляционный клапан; *5* — теплообменник-калорифер; *6* — канал нагретого воздуха; *7* — обводной клапан

воздуха. Вентилятор приводится в действие однофазным электродвигателем мощностью 18 Вт, рассчитанным на перемещение 85—170 м³/ч воздуха и создание давления 118 Па.

Кроме агрегата, размещаемого в подшивке под потолком коридора квартиры, прокладываются еще воздуховод наружного воздуха с воздухозаборной решеткой, рециркуляционный воздуховод и приточные воздуховоды с регулирующим клапаном в каждой жилой комнате.

В жилые комнаты может подаваться только наружный воздух, воздух при частичной и полной рециркуляции (например, при отсутствии людей). Агрегат может также использоваться для летнего охлаждения воздуха в одной из комнат квартиры при наличии хладоносителя.

Часто, особенно для отопления малоэтажных зданий в США, применяют чисто рециркуляционную квартирную систему воздушного отопления. Нагретый до 40—45 °С воздух выпускается, как правило, в нижнюю зону комнат— на высоте 0,3—0,5 м от пола. Возможна также подача воздуха, нагретого до более высокой температуры, на высоте 1,5 м от пола и под потолком помещений.

В рециркуляционной квартирной системе воздух может забираться из отапливаемых комнат, а также из прилегающих к комнатам коридоров. В первом случае обеспечивается более ровная температура помещений.

Преимуществами квартирного воздушного отопления являются: независимое отопление отдельных квартир, малая тепловая инерция, простое регулирование, экономное расходование тепловой энергии. К его недостаткам относятся шум, возникающий при действии электровентилятора, особенно ощутимый ночью, и отсутствие увлажнения воздуха.

Электронная библиотека http://tgv.khstu.ru/

§ 10.8. Рециркуляционные воздухонагреватели

Рециркуляционный воздухонагреватель с естественным движением воздуха — это отопительный прибор типа высокого конвектора, обогреваемый теплоносителем— водой (см. рис. 4.11). По способу отопления помещения, связанному с интенсивной циркуляцией воздуха при сосредоточенном его нагревании, рециркуляционный воздухонагреватель считают прибором местного водовоздушного отопления.

Рециркуляционные воздухонагреватели по тепловой мощности занимают промежуточное место между обычными отопительными приборами систем водяного и парового отопления и отопительными агрегатами систем воздушного отопления. Их мощность составляет от 5 до 20—25 кВт. Применяют их для отопления отдельных помещений, не имеющих постоянных рабочих мест у наружных ограждений и периодически используемых людьми, в первую очередь для отопления лестничных клеток многоэтажных зданий.

В лестничной клетке, отапливаемой рециркуляционным воздухонагревателем, помещенным близ наружной входной двери (рис. 10.9, *а*), обеспечивается более ровная температура воздуха, чем при водяном отоплении приборами, расположенными на нескольких лестничных площадках. Этому способствует усиленное прогревание наружного воздуха, проникающего через открываемую входную дверь.

В общественных и вспомогательных помещениях (в вестибюлях, холлах, торговых залах, складах и т. п.), имеющих значительную площадь при ограниченной высоте и сообщающихся с наружным воздухом, рециркуляционные воздухонагреватели устанавливают при входах (рис. 10.9, *б*). Они поддерживают равномерную температуру, вовлекая в циркуляцию и нагревая как внутренний, так и холодный наружный воздух, поступающий в помещения.

Рециркуляционные воздухонагреватели применяют также для отопления помещений, окруженных по периметру постоянно отапливаемой частью здания и охлаждающихся в основном через покрытия (рис. 10.9, *в*). К таким помещениям относятся зрительные залы театров, концертные и другие залы, а также цехи.

Электронная библиотека http://tgv.khstu.ru/

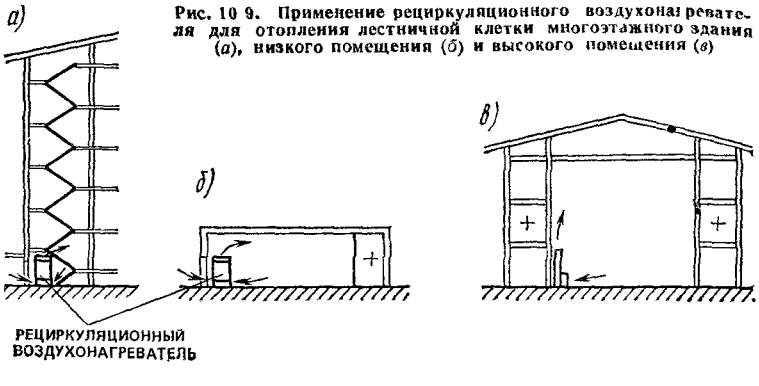

Рис. 10 9. Применение рециркуляционного воздухонагревателя для отопления лестничной клетки многоэтажного здания (*а*), низкого помещения (*б*) и высокого помещения (*в*)

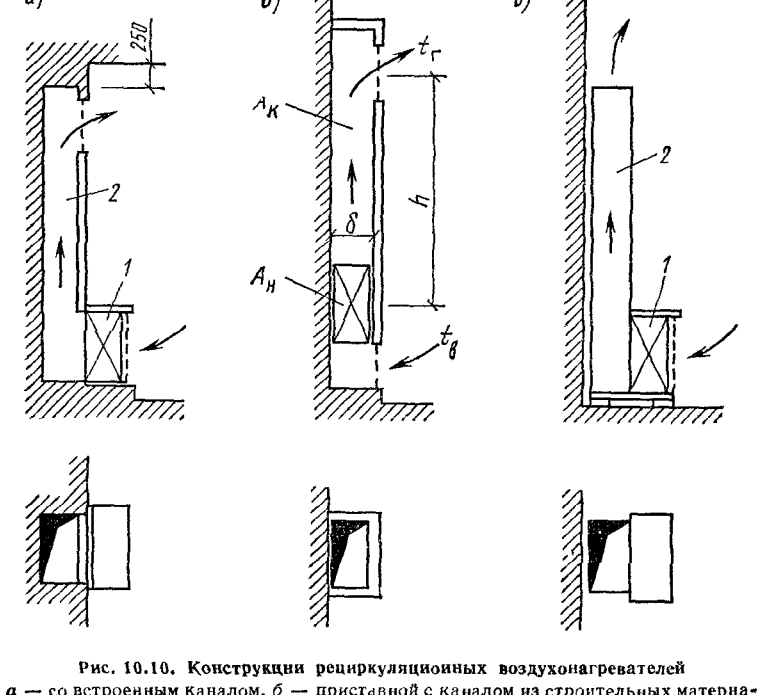

Рис. 10.10. Конструкции рециркуляционных воздухонагревателей

а — со встроенным каналом, *б* — приставной с каналом из строительных материалов, *в* — приставной металлический, *1* — нагреватель, *2* — канал горячего воздуха, $A_н$ — площадь нагревателя, $A_к$ — площадь поперечного сечения канала

Электронная библиотека http://tgv.khstu.ru/

Конструкция рециркуляционного воздухонагревателя. Как каждый конвектор, этот прибор состоит из двух элементов — нагревателя и канала. **Нагреватель** собирают из стандартных отопительных приборов — ребристых труб, радиаторов или калориферов. Ребристые трубы и радиаторы используют для нагревателей меньшей мощности (до 8 кВт), калориферы — для получения более мощных нагревателей. При равной площади, занимаемой в помещении, тепловая мощность рециркуляционных нагревателей с калориферами получается в несколько раз больше их тепловой мощности с нагревателями из ребристых труб и радиаторов, что объясняется значительной площадью поверхности калориферов. Калориферы выбирают пластинчатого типа для уменьшения аэродинамического сопротивления и многоходовые для увеличения скорости движения теплоносителя.

Канал высотой 1,5—3 м выполняют встроенным во внутреннюю стену (рис. 10.10, *а*) или приставным из неметаллических (рис. 10.10, *б*) и металлических (рис. 10.10, *в*) строительных материалов. Ширина канала равняется длине нагревателя, а его глубина определяется в зависимости от количества циркулирующего воздуха или ширины нагревателя (как на рис. 10.10, *б*).

Достоинствами рециркуляционных воздухонагревателей являются:

1) создание сильного восходящего потока нагретого воздуха, вызывающего интенсивную циркуляцию воздуха с выравниванием температуры по площади и высоте помещения;

2) простота устройства и эксплуатации, надежность действия без специального наблюдения;

3) пониженные стоимость (например, для отопления лестничной клетки в 1,5 раза по сравнению с радиаторным отоплением) и расход металла (в том же примере — почти в 2 раза) на отопительную установку;

4) количественное саморегулирование, характерное для системы отопления с естественной циркуляцией воды (см. § 6.7).

Количественное саморегулирование в данном случае заключается в изменении количества циркулирующего воздуха по мере изменения его температуры. Температура нагретого воздуха определяется температурой теплоноси-

Электронная библиотека http://tgv.khstu.ru/

теля в нагревателе. Если этим теплоносителем является горячая вода, то изменение ее температуры (по графику регулирования в зависимости от температуры наружного воздуха) отражается в результате на интенсивности циркуляции воздуха в помещении. При этом по мере изменения температуры наружного воздуха усиливается теплопередача от теплоносителя к воздуху и возрастает кратность воздухообмена в помещении.

Это ценное свойство улучшать прогревание помещений при низкой температуре наружного воздуха отличает рециркуляционные воздухонагреватели от отопительных установок с искусственной циркуляцией воздуха.

Наряду с этими достоинствами при отоплении рециркуляционными воздухонагревателями возможно (если не проведены необходимые расчеты и мероприятия) перегревание верхней зоны и, как следствие, возрастание теплопотерь через покрытие помещения. В таком случае отмечается пониженная температура воздуха в рабочей зоне помещения.

В качестве **теплоносителя** для рециркуляционных воздухонагревателей в первую очередь используется высокотемпературная вода. Увеличение разности температуры греющей воды и нагреваемого воздуха дает возможность сократить площадь поверхности нагревателя.

Нагреватели присоединяют к теплопроводам систем водяного отопления по различным схемам. Они могут быть присоединены как обычные отопительные приборы в пределах основной системы, но это приводит к значительному увеличению их площади вследствие уменьшения температуры теплоносителя. Поэтому, если допустимо использование высокотемпературной воды, прежде всего применяются другие схемы (рис. 10.11) соединения воздухонагревателей с системой отопления.

По **первой** из двух основных схем осуществляется последовательное соединение (предвключение) воздухонагревателя с системой водяного отопления здания (рис. 10.11, *а*). Все количество высокотемпературной воды, необходимой для отопления здания, предварительно пропускают через воздухонагреватель *1* (задвижка *2* закрыта), и ее температура понижается от t_1 до t_1'. Включение воздухонагревателя перед основной системой отопления позволяет максимально увеличить в нем температурный напор и скорость движения воды, что способствует уменьшению его площади.

Электронная библиотека http://tgv.khstu.ru/

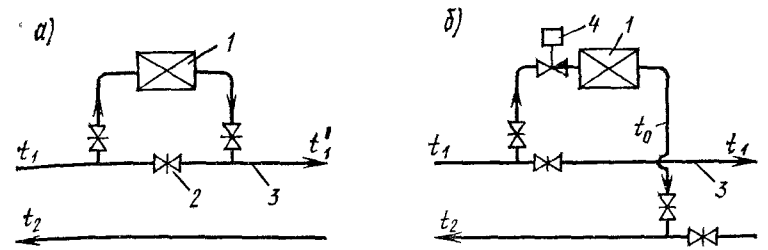

Рис. 10.11. Последовательная (*а*) и параллельная (*б*) схемы присоединения воздухонагревателя к теплопроводам

1 — воздухонагреватель; *2* — задвижка на обводной трубе; *3* — подающая магистраль основной системы отопления; *4* — регулятор расхода воды

Схему используют для присоединения постоянно действующего нерегулируемого рециркуляционного воздухонагревателя, если он расположен вблизи теплового пункта.

Температура воды, выходящей из предвключенного нагревателя

$$t_1' = t_1 - \frac{Q_{\text{р. в}}}{cG_1}, \tag{10.25}$$

где $Q_{\text{р.в}}$ — тепловая мощность рециркуляционного воздухонагревателя; G_1 — расход высокотемпературной воды на вводе в здание и воздухонагреватель, определяемый по формуле

$$G_1 = \frac{Q_{\text{р. в}} + Q_{\text{с}}}{c\,(t_1 - t_2)}; \tag{10.26}$$

$Q_{\text{с}}$ — тепловая мощность основной системы водяного отопления.

По **второй** из основных схем автоматически управляемый воздухонагреватель соединяют с системой водяного отопления здания параллельно (рис. 10.11, *б*). Регулирование и полное выключение подачи воды в воздухонагреватель при этом не отражаются на действии основной системы отопления, но площадь нагревателя возрастает вследствие понижения средней температуры и скорости движения воды. Расход греющей воды в таком воздухонагревателе определяется по формуле (4.3).

Теплоаэродинамический расчет рециркуляционного воздухонагревателя заключается в выборе размеров канала и площади нагревателя, достаточных для необходимой теплопередачи и создания усиленной циркуляции воздуха в помещении [не менее однократной по формуле (10.23)].

Электронная библиотека http://tgv.khstu.ru/

Зная тепловую нагрузку, расход и температуру греющей воды и задаваясь размерами канала, можно найти температуру и скорость движения горячего воздуха в канале.

Температура горячего воздуха $t_г$, °С, в канале глубиной $b_к$ при расчетной высоте h (см. рис. 10.10, *б*) определяется по формуле

$$t_г = t_в + \left(\frac{0{,}9q_1}{c\rho b_к}\right)^{2/3}\left(\frac{\Sigma\zeta}{2gh\beta}\right)^{1/3}; \qquad (10{,}27)$$

скорость движения горячего воздуха $v_г$, м/с,

$$v_г = \left(\frac{0{,}9q_1}{c\rho b_к}\frac{2gh\beta}{\Sigma\zeta}\right)^{1/3}, \qquad (10{,}28)$$

где q_1 — тепловая мощность, кВт, приходящаяся на единицу длины нагревателя; β — коэффициент объемного расширения воздуха; $\Sigma\zeta$ — сумма коэффициентов местного сопротивления по пути движения воздуха в рециркуляционном воздухонагревателе.

В процессе конструирования рециркуляционного воздухонагревателя с выбором размеров нагревателя проводят аэродинамический расчет для уточнения расхода рециркулирующего воздуха.

Аэродинамический расчет основан на равенстве естественного циркуляционного давления, возникающего при нагревании воздуха, аэродинамическим потерям давления в рециркуляционном нагревателе

$$\Delta p_е = \Delta p_с. \qquad (10{,}29)$$

Равенство (10.29) аналогично выражению (7.5) для водяного отопления.

Естественное циркуляционное давление, создающее движение воздуха, находят в соответствии с формулой (7.4)

$$\Delta p_е = gh(\rho_в - \rho_г). \qquad (10{,}30)$$

Плотность воздуха в интервале температуры от 15 до 60 °С уменьшается в среднем на 0,0036 кг/м³ при увеличении температуры на 1 °С. Принимая это значение для расчета, с учетом формулы (10.1) получим

$$\Delta p_е = 0{,}0036gh(t_г - t_в) = 0{,}0036gh\frac{Q_{р.в}}{cG_{от}}, \qquad (10{,}31)$$

где $G_{от}$ — расход рециркуляционного нагретого воздуха, кг/с, предназначенного для отопления помещения.

Аэродинамические потери давления в рециркуляционном воздухонагревателе слагаются из потерь давления в

Электронная библиотека http://tgv.khstu.ru/

канале и нагревателе

$$\Delta p_{\text{с}} = \Delta p_{\text{к}} + \Delta p_{\text{н}}. \qquad (10.32)$$

Пренебрегая весьма малыми потерями давления, возникающими при трении о стенки канала воздуха, движущегося с низкой массовой скоростью [$v\rho = 1—1{,}5$ кг/(с·м^2)], найдем потери давления в канале

$$\Delta p_{\text{к}} \approx \zeta_{\text{к}} \rho \frac{v_{\text{к}}^2}{2} = \frac{\zeta_{\text{к}}}{2\rho} \left(\frac{G_{\text{от}}}{A_{\text{к}}} \right)^2, \qquad (10.33)$$

где $A_{\text{к}}$ — площадь поперечного сечения канала, м^2.

Потери давления в нагревателе описываются зависимостью, устанавливаемой в результате обработки экспериментальных данных

$$\Delta p_{\text{н}} = m (v\rho)^p = m \left(\frac{G_{\text{от}}}{A_{\text{н}}} \right)^p, \qquad (10.34)$$

где $A_{\text{н}}$ — площадь живого сечения нагревателя по воздуху, м^2; m, p — экспернментальные чнсловые показателн.

Подставляя найденные выражения в равенство (10.29), получим уравнение для определения расхода рециркуляционного нагретого воздуха

$$0{,}0036gh \frac{Q_{\text{р. в}}}{cG_{\text{от}}} = \frac{\zeta_{\text{к}}}{2\rho} \left(\frac{G_{\text{от}}}{A_{\text{к}}} \right)^2 + m \left(\frac{G_{\text{от}}}{A_{\text{н}}} \right)^p. \qquad (10.35)$$

Уравнение легко решается при $p=2$, в других случаях расход подбирается. Решение уравнения (10.35) возможно также относительно высоты h, если задаться температурой горячего воздуха и этим самым предопределить его расход.

Рассмотрим примеры расчета рециркуляционных воздухонагревателей для крупного помещения с нагревателем — калорифером и для лестничных клеток с нагревателем — ребристыми трубами.

Пример 10. 8. Рассчитаем предвключенный рециркуляционный воздухонагреватель для поддержания в помещении объемом 630 м^3 температуры $t_{\text{в}} = 18$ °С, если тепловые мощности нагревателя 15 кВт, основной системы отопления 225 кВт, расчетная температура теплоносителя воды $t_1 = 150$ °С, $t_2 = 70$ °С.

1. Расход греющей воды в воздухонагревателе находим по формуле (10,26)

$$G_1 = \frac{15 + 225}{4{,}187\,(150 - 70)} = 0{,}72 \text{ кг/с}.$$

Электронная библиотека http://tgv.khstu.ru/

2. Температуру воды, выходящей из воздухонагревателя, вычисляем по формуле (10.25)

$$t_1' = 150 - \frac{15}{4,187 \cdot 0,72} = 150 - 5 = 145\ ^\circ\text{C}.$$

Следовательно, средняя температура греющей воды в воздухонагревателе равняется $0,5((150+145)=147,5\ ^\circ\text{C}$.

3. Задаемся температурой нагретого воздуха $t_г=60\ ^\circ\text{C}$ и массовой скоростью воздуха в канале $v\rho=1,2$ кг/(с·м²). Тогда количество воздуха для отопления помещения по формуле (10.1) будет равно

$$G_{от} = \frac{15}{1,005\,(60-18)} = 0,36 \text{ кг/с}.$$

4. Кратность воздухообмена в помещении при этом с учетом формул (10.3) и (10.23) составит

$$k_п = \frac{L_п}{V_п} = \frac{G_{от}}{\rho_в V_п} = \frac{0,36 \cdot 3600}{1,213 \cdot 630} = 1,7,$$

т. е. является приемлемой для воздушного отопления.

5. Требуемая площадь поперечного сечения канала и живого сечения воздухонагревателя по воздуху при выбранной массовой скорости должна равняться

$$A_к = A_н = \frac{G_{от}}{v\rho} = \frac{0,36}{1,2} = 0,30 \text{ м}^2.$$

6. Выбираем по справочнику многоходовой пластинчатый калорифер типа КВС-П, имеющий необходимую площадь живого сечения по воздуху $A_н=0,3033$ м², а именно КВС10-П площадью нагревательной поверхности 25,08 м² и длиной 1155 мм. Тогда глубина канала при его ширине 1155 мм (равной длине нагревателя) составит

$$b_к = A_к / l_к = 0,30/1,155 = 0,26 \text{ м}.$$

7. Зная коэффициенты местного сопротивления при входе и выходе воздуха из канала (с поворотом потока), составляющие $\zeta_к=0,6+1,3=1,9$, найдем потери давления в канале по формуле (10.33) при средней плотности воздуха $\rho=1,13$ кг/м³

$$\Delta p_к \approx \frac{\zeta_к}{2\rho}(v\rho)^2 = \frac{1,9}{2 \cdot 1,13} 1,2^2 = 1,2 \text{ Па}.$$

8. Потери давления в воздухонагревателе вычислим по формуле вида (10.34), выбранной по справочнику для пластинчатого калорифера типа КВС-П

$$\Delta p_н = 2,16\,(v\rho)^{1,62} = 2,16 \cdot 1,2^{1,62} = 2,9 \text{ Па}.$$

Правильность выбора площади нагревательной поверхности калорифера можно проверить по формуле (6.1).

9. Расчетную высоту канала (вертикальное расстояние между серединами калорифера и воздуховыпускного отверстия) определим из формулы (10.31) при условии, выраженном равенствами (10.29)

Электронная библиотека http://tgv.khstu.ru/

и (10.32)

$$\Delta p_e = \Delta p_к + \Delta p_н = 1{,}2 + 2{,}9 = 4{,}1 \text{ Па};$$

$$h = \frac{\Delta p_e}{0{,}0036 g (t_г - t_в)} = \frac{4{,}1}{0{,}0036 \cdot 9{,}81 (60 - 18)} = 2{,}8 \text{ м}.$$

10. Температуру нагретого воздуха проверяем по формуле (10 27) при глубиие канала $b_к = 0{,}26$ м и расчетной высоте $h = 2{,}8$ м, учитывая, что тепловая мощность нагревателя приходится на 1,155 м его длины

$$t_г = 18 + \left(\frac{0{,}9 \cdot 15}{1{,}005 \cdot 1{,}044 \cdot 0{,}26 \cdot 1{,}155}\right)^{2/3} \left(\frac{6{,}45 \cdot 273}{2 \cdot 9{,}81 \cdot 2{,}8}\right)^{1/3} = 18 + 39 = 57 \text{ °C}.$$

Температура получилась достаточно близкой к первоначально принятому значению $t_г = 60$ °С. Сумма коэффициентов местного сопротивления рециркуляционного воздухонагревателя при расчете принята равной

$$\Sigma\zeta = \zeta_к + \zeta_н = \zeta_к + \frac{2\rho \Delta p_н}{(v\rho)^2} = 1{,}9 + \frac{2 \cdot 1{,}13 \cdot 2{,}9}{1{,}2^2} = 1{,}9 + 4{,}55 = 6{,}45.$$

11. Скорость движения нагретого воздуха в канале по формуле (10.28)

$$v_г = \left(\frac{0{,}9 \cdot 15 \cdot 2 \cdot 9{,}81 \cdot 2{,}8}{1{,}005 \cdot 1{,}13 \cdot 0{,}26 \cdot 6{,}45 \cdot 273 \cdot 1{,}155}\right)^{1/3} = 1{,}1 \text{ м/с}$$

также близка к предварительно выбранной скорости. Следует отметить, что проверка по пп. 10 и 11 не является обязательной

Пример 10.9. Рассчитаем предвключенные рециркуляционные воздухонагреватели для отопления четырех лестинчных клеток пятиэтажного жилого здания, если теплопотери здаиня, включая лестничные клетки, составляют 200 кВт, отдельно одной лестничной клетки 6,5 кВт, расчетная температура теплоиосителя воды $t_1 = 150$ °С, $t_2 = 70$ °С, $t_в = 16$ °С. Высота канала воздухонагревателя 1,5 м.

1. Расход высокотемпературной воды на вводе в здание находим по формуле (10.26)

$$G_1 = \frac{200}{4{,}187 (150 - 70)} = 0{,}6 \text{ кг/с}.$$

2. Выбираем попарно последовательное соединение теплопроводов воздухонагревателей по схеме, приведеииой на рис. 10 12. Тогда температура воды, выходящей из воздухонагревателей *2* и *3*, по формуле (10.25)

$$t_1' = 150 - \frac{6{,}5}{4{,}187 \cdot 0{,}5 \cdot 0{,}6} = 150 - 5{,}2 = 144{,}8 \text{ °С};$$

температура воды, выходящей из воздухонагревателей *1* и *4*

$$t_1'' = 150 - 5{,}2 \cdot 2 = 139{,}6 \text{ °С}.$$

3. Принимаем в качестве нагревателей круглые ребристые трубы (наружный диаметр ребер 175 мм, диаметр канала для теплоносителя 70 мм) — см. рис. 4.7.

Электронная библиотека http://tgv.khstu.ru/

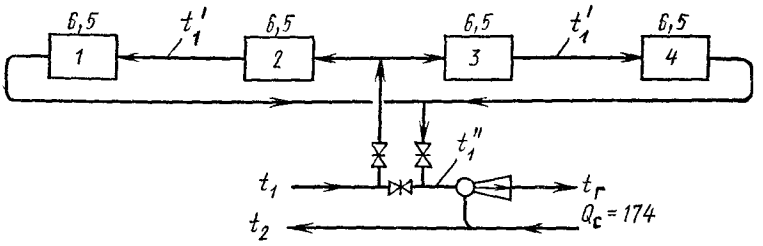

Рис. 10.12. Схема теплопроводов рециркуляционных воздухонагревателей для отопления лестничных клеток жилого здания с элеваторной системой водяного отопления (к примеру 10.9)

1 — 4 — рециркуляционные воздухонагреватели

Скорость движения воды в канале ребристых труб

$$w = \frac{0{,}5 \cdot 0{,}6 \cdot 4}{950 \cdot 3{,}14 \cdot 0{,}07^2} = 0{,}082 \text{ м/с}.$$

4. Расчет проведем для воздухонагревателей *1* и *4* при пониженной температуре греющей воды. Задаваясь скоростью движения воздуха в живом сечении ребристой трубы $v = 1$ м/с, определяем по графику в специальной литературе * коэффициент теплопередачи $k_{пр} = 10{,}7$ Вт/(м^2·°С). Вычисляем требуемую площадь нагревательной поверхности ребристых труб

$$A = \frac{Q_{р.в}}{k_{пр}\,\Delta t_{ср}} = \frac{6{,}5 \cdot 1000}{10{,}7\,(142{,}2 - 33)} = 5{,}6 \text{ м}^2,$$

где $\Delta t_{ср}$ находим по формуле (4.17) при $t_{ср.вд} = 0{,}5 \times (144{,}8 + 139{,}6) = 142{,}2$ °С и $t_{ср.вз} = 0{,}5\,(50 + 16) = 33$ °С, принимая температуру нагретого воздуха $t_г = 50$ °С.

5. Выбираем две ребристые трубы длиной по 1,5 м для установки в два яруса общей площадью 6 м^2. Получаем площадь живого сечения нагревателя по воздуху $A_н = 0{,}15$ м^2, воздушного канала $A_к = 0{,}18 \cdot 1{,}83 = 0{,}33$ м^2 (ширина канала $\delta = 0{,}175 + 0{,}005 = 0{,}18$ м — см. рис. 10.10, б, длина 1,83 м с учетом калача).

6. Напишем, используя выражение (10.35), уравнение для определения расхода циркулирующего воздуха в воздухонагревателе с ребристыми трубами

$$0{,}0036gh\,\frac{Q_{р.в}}{cG_{от}} = \left(\frac{\zeta_к}{A_к^2} + \frac{\zeta_н}{A_п^2}\right)\frac{G_{от}^2}{2\rho}, \qquad (10{,}36)$$

где $\zeta_н$ — коэффициент местного сопротивления нагревателя, определяемый для ребристых труб в зависимости от числа ярусов n по эмпирической формуле

$$\zeta_{р.т} = 2{,}3n - 1{,}5. \qquad (10{,}37)$$

---

* **Щекин Р. В. и др.** Расчет систем центрального отопления.— Киев: «Вища школа», 1975 (рис. 59).

Электронная библиотека http://tgv.khstu.ru/

Подставляя в уравнение (10.36) значения $\zeta_к = 1+1,3=2,3$ и $\zeta_{р.т}=2,3\cdot 2-1,5=3,1$, а также другие известные величины, найдем $G_{от}=0,17$ кг/с. Воздухообмен в лестничной клетке при этом получается близким к двухкратному в 1 ч.

7. Определим действительные значения скорости движения воздуха в живом сечении ребристой трубы

$$v=\frac{0,17}{1,15\cdot 0,15}=0,98 \text{ м/с}$$

и температуры нагретого воздуха по формуле (10.4)

$$t_г=16+\frac{6,5}{1,005\cdot 0,17}=16+38=54 \text{ °С}.$$

8. Фактическая тепловая мощность воздухонагревателей *1* и *4* при уточненном значении коэффициента теплопередачи $k_{пр}=10,6$ Вт/(м²·°С) составит

$$Q_{р.в}=k_{пр}A\,\Delta t_{ср}=10,6\cdot 6,0\,[142,2-0,5\,(16+54)]=6818 \text{ Вт},$$

т. е. больше заданной на 5%. Для воздухонагревателей *2* и *3* запас тепловой мощности увеличивается до 10%.

§ 10.9. Центральное воздушное отопление

Центральное воздушное отопление применяют в помещениях производственных, гражданских и агропромышленных зданий при наличии центральной системы приточной вентиляции. Отопление осуществляют по трем описанным выше схемам: с полной рециркуляцией (рис. 10.2, *а*), с частичной рециркуляцией (рис. 10.2, *б*) и прямоточной (рис. 10.2, *в*).

Полную рециркуляцию воздуха применяют главным образом в нерабочее время для дежурного отопления или для нагревания помещений перед началом работы при прерывистом отоплении. Так поступают, если полная рециркуляция не противоречит требованиям гигиены, пожаро- и взрывобезопасности помещений. При этом используется имеющаяся центральная система приточной вентиляции, но воздух забирается не снаружи, а из отапливаемых помещений и нагревается до температуры, определяемой по формуле (10.4).

В рабочее время центральное воздушное отопление подчиняется условиям вентилирования помещений. Приточный воздух нагревается до температуры более высокой, чем температура помещений в зависимости от теплопотребности, выявленной при составлении теплового баланса этих помещений.

Электронная библиотека http://tgv.khstu.ru/

В системе центрального воздушного отопления используются все конструктивные элементы системы приточной вентиляции: фильтр, калориферы, электровентилятор, воздуховоды и пр. Тепловая мощность калориферов в совмещенной системе отопления и вентиляции повышается на величину тепловой мощности системы отопления. Другим отличием является установка резервного вентилятора, электродвигатель которого должен автоматически включаться при остановке основного вентилятора.

Если для крупного помещения предусмотрено несколько совмещенных систем отопления и вентиляции, то резервные вентиляторы не устанавливаются, а головные участки воздуховодов отдельных систем соединяются перемычками — перепускными воздуховодами с нормально закрытыми клапанами. Тепловая мощность таких систем подбирается в расчете на поддержание в помещении режима дежурного отопления при выходе одной из них из строя.

Нагретый воздух может подаваться в обогреваемые помещения одной или несколькими горизонтальными струями, т. е. уже известным способом **сосредоточенной подачи.** В высокие помещения (высотой $H_п$ более 8 м) воздух выпускается через воздухораспределительные устройства, размещаемые в средней зоне $[(0{,}35 \div 0{,}65)H_п]$ на высоте от поверхности пола, определяемой по формуле (10.20). Предельное значение начальной температуры струи нагретого воздуха вычисляется по формуле (10.19).

Нагретый воздух может также подаваться **вертикально** сверху вниз. Начальную температуру воздуха $t_г$, °С, для обеспечения такой подачи принимают не более получаемой по формуле

$$t_г \leqslant t_в + 6\left[\frac{mv_0}{H_п - h_{р.з}}\right]^2 \frac{A_0^{0,5}}{n}, \qquad (10.38)$$

где m и n — скоростной и температурный коэффициенты воздушной струи, зависящие от конструкции воздухораспределительного устройства.

В помещениях при такой подаче образуются так называемые **ненастилающиеся** воздушные струи.

В случаях, когда нагретый воздух выпускается под потолком помещений ($h \geqslant 0{,}85H_п$), например в относительно низких помещениях (при высоте $H_п$ менее 8 м), воздушные струи становятся **настилающимися.**

Электронная библиотека http://tgv.khstu.ru/

Настилающиеся воздушные струи получаются также при подаче нагретого воздуха снизу вдоль вертикальных наружных ограждений, особенно вдоль стекла световых проемов. Так поступают в холодных районах нашей страны, если рабочие места людей расположены близ этих проемов.

Рассмотрим расчет воздушного отопления помещений в этих двух случаях — при образовании ненастилающихся и настилающихся воздушных струй.

При расчете центрального воздушного отопления с ненастилающимися струями устанавливают начальные параметры и число воздушных струй в помещении (при расчете местного отопления агрегатами — см. § 10.6 — исходными являются тепловая мощность, начальные температура и скорость воздуха, выпускаемого из агрегатов). Определяют диаметр, число воздухораспределителей и начальную скорость v_0 воздушных струй для обеспечения скорости движения воздуха в рабочей зоне не более нормируемой $v_{норм}$. Определяют также начальную температуру воздуха $t_г$, которая не должна превышать максимально допустимой.

Расчет начинают с вычисления предварительного значения шага b', м, размещения воздухораспределителей в помещении по формуле

$$b' = \frac{1{,}58}{H_п}\left[\frac{10^6}{lmnq\,(t_{р.з} - t_н)}\left(\frac{v_{норм}}{k}\right)^3\right]^2, \qquad (10.39)$$

при условии, что длина обогреваемого одной воздушной струей объема помещения l, м, соответствует выражению (10.24).

В формуле (10.39) $t_{р.з}$ и $t_н$ — расчетная температура, °С, соответственно рабочей зоны и наружного воздуха; q — удельная тепловая характеристика помещения, Вт/(м³·°С); k — поправочный коэффициент [см. формулу (10.21)].

Затем устанавливают число воздухораспределителей N, исходя из длины помещения и полученного значения b' (если соблюдается условие $b' \leqslant 3H_п$).

Вычисляют площадь выходного отверстия A_0, м², одного воздухораспределителя по формуле

$$A_0 = bH_п\left(\frac{v_{норм}}{v_0 k}\right)^2, \qquad (10.40)$$

где v_0 — начальная скорость воздушной струи, м/с, выбираемая с учетом акустических требований, предъявляемых к помещению.

Электронная библиотека http://tgv.khstu.ru/

В формулу (10.40) подставляют уточненный размер l в зависимости от выбранного числа воздухораспределителей.

Наконец, определяют начальную температуру подаваемого воздуха по формуле

$$t_г = t_{р.з} + \frac{1{,}25Q_п}{c\rho A_0 v_0 N}, \qquad (10.41$$

где $Q_п$ — теплопотребность, Вт, для поддержания в помещении расчетной температуры рабочей зоны $t_{р.з}$; c и ρ — теплоемкость Дж/(кг·°С), и плотность, кг/м³, воздуха [при расчетах принимают $c\rho = 1200$ Дж/(м³·°С)].

Пример 10.10. Рассчитаем систему центрального воздушного отопления с сосредоточенной подачей воздуха через цилиндрические трубы ($m=6{,}8$; $n=4{,}8$) по условиям примера 10.6, если удельная тепловая характеристика цеха 0,54 Вт/(м³·°С) при $t_н = -20$ °С.

Найдем предварительное значение шага размещения воздухораспределителей по формуле (10.39) при длине зоны обслуживания струн, равной ширине цеха ($l=20$ м), т. е. при установке воздухораспределителей в один ряд вдоль продольной стены цеха

$$b' = \frac{1{,}58}{9}\left[\frac{10^6}{20\cdot 6{,}8\cdot 4{,}8\cdot 0{,}54(15+20)}\left(\frac{0{,}5}{1{,}05}\right)^3\right]^2 = 13{,}4 \text{ м}.$$

Принимая к установке четыре воздухораспределителя с шагом $b = 50 : 4 = 12{,}5$ м ($< 3\ H_п = 3\cdot 9 = 27$ м), определим площадь выходного отверстия одного воздухораспределителя по формуле (10.40)

$$A_0 = 12{,}5\cdot 9\left(\frac{0{,}5}{12\cdot 1{,}05}\right)^2 = 0{,}18 \text{ м}^2,$$

где начальная скорость воздушной струи принята равной 12 м/с. Отсюда диаметр цилиндрической трубы каждого воздухораспределителя $d = 0{,}48 \approx 0{,}5$ м. Принятая дальнобойность воздушной струи (20 м) меньше предельной по формуле (10.21)

$$l = 0{,}7\cdot 6{,}8\,(12{,}5\cdot 9)^{0{,}5} = 50 \text{ м}.$$

Начальная температура подаваемого в цех воздуха по формуле (10.41)

$$t_г = 15 + \frac{1{,}25\cdot 170\cdot 10^3}{1200\cdot 0{,}18\cdot 12\cdot 4} = 15 + 20{,}5 = 35{,}5\ °\text{С}$$

меньше предельно допустимой (36,6 °С), полученной по формуле (10.19).

Кратность воздухообмена в цехе по формуле (10.23)

$$k_п = \frac{0{,}18\cdot 12\cdot 4\cdot 3600}{50\cdot 20\cdot 9} = 3{,}5$$

приемлема для воздушного отопления.

Рассмотренный способ распределения нагретого приточного воздуха ненастилающимися струями распространен в

Электронная библиотека http://tgv.khstu.ru/

производственных и коммунальных (гаражи, прачечные) зданиях.

В помещениях общественных и административно-бытовых зданий (сравнительно низких) чаще встречается подача воздуха вдоль ограждений, при которой получаются настилающиеся струи. При выпуске в таких условиях нагретого воздуха из щелевидного отверстия воздухораспределителя образуется плоская неизотермическая струя, настилающаяся на поверхность наружного ограждения — стены, потолка или стекла светового проема. Связанное с этим повышение температуры внутренней поверхности наружного ограждения благоприятно сказывается на самочувствии людей, хотя и вызывает увеличение теплопотерь наружу.

Геометрическая характеристика **плоской воздушной струи** H, м, определяется по формуле

$$H = 9{,}6\,(mv_0)^{4/3}\,b_0^{1/3}\,[n\,(t_г - t_в)]^{-2/3}, \qquad (10.42)$$

где b_0 — ширина воздуховыпускного отверстия, м. Остальные обозначения приведены к формуле (10.8).

Из формулы (10.42) можно установить, что между геометрической характеристикой плоской нагретой струи и числом Архимеда существует определенная связь: характеристика H пропорциональна

$$\frac{m^{4/3} b_0}{(n\,Ar)^{2/3}}.$$

При подаче воздуха из открытого щелевидного отверстия или из отверстия с параллельными направляющими лопатками коэффициенты m и n в формуле (10.42) для плоской воздушной струи равны: $m=3{,}5$ и $n=2{,}8$. Тогда геометрическая характеристика плоской воздушной струи приобретает вид —

$$H = 25{,}7\,\frac{v_0^{4/3}\,b_0^{1/3}}{(t_0 - t_в)^{2/3}}. \qquad (10.42, а)$$

Расчет плоской настилающейся струи заключается в проверке допустимости начальных и конечных параметров воздуха. Обычно определяют начальную скорость движения воздуха и температуру воздуха в струе на расчетном расстоянии x от места ее выпуска (например, в точке входа

Электронная библиотека http://tgv.khstu.ru/

струи в рабочую зону). Начальную скорость движения плоской воздушной струи v_0, м/с, при условии, что $x \leqslant 6l_0$ (l_0 — длина отверстия щелевого воздухораспределителя), находят по формуле

$$v_0 = \frac{v_x}{3{,}5k_c}\left(\frac{x}{b_0}\right)^{0,5}, \qquad (10.43)$$

где v_x — скорость движения воздуха в расчетной точке помещения, м/с; k_c — поправочный коэффициент учета стеснения струи, зависящий от соотношения между расчетным расстоянием x и высотой помещения $H_п$; $k_c = 1$ при $x < H_п$; $k_c < 1$ при $x \geqslant H_п$ (см. рис. 10.13).

Объемное количество воздуха L_1, м³/с, подаваемого из отверстия длиной 1 м щелевого воздухораспределителя, при известных ширине щели b_0 и начальной скорости v_0 составляет

$$L_1 = b_0 v_0. \qquad (10.44)$$

Длина одного воздухораспределителя l_0 и число воздухораспределителей в помещении определяются количеством подаваемого нагретого воздуха $L_{от}$ и необходимостью выполнить условие $x \leqslant 6l_0$.

В помещении возможно ограничение скорости выпуска воздуха из приточного отверстия по акустическим условиям; тогда ширина и длина щели могут увеличиваться.

Максимальная температура воздуха t_x, °С, в плоской настилающейся струе на расчетном расстоянии x от места ее выпуска рассчитывается по формуле

$$t_x = t_в + 2{,}8(t_г - t_в)\left(\frac{b_0}{x}\right)^{0,5}. \qquad (10.45)$$

В зоне прямого воздействия приточной струи допустимо отклонение температуры в струе от нормируемой для жилых, общественных и административно-бытовых помещений на 3 °С, для производственных помещений на 5 °С.

Пример 10.11. Рассчитаем подачу воздуха в объеме $L_{от} = 0{,}27$ м³/с, нагретого до 35 °С, через плоский воздухораспределитель с щелью шириной $b_0 = 0{,}03$ м, располагаемый под потолком общественного помещения (рис. 10.13, *а*) высотой $H_п = 3{,}5$ м, для обеспечения на расстоянии $x = 8$ м от места выпуска струи (6 м по горизонтали и 2 м по вертикали) скорости движения $v_x = 0{,}5$ м/с и температуры $t_x = t_в + 3 = 18 + 3 = 21$ °С.

1. Начальную скорость плоской настилающейся воздушной струи определяем по формуле (10.43)

$$v_0 = \frac{0{,}5}{3{,}5 \cdot 0{,}77}\left(\frac{8}{0{,}03}\right)^{0,5} = 3 \text{ м/с},$$

Электронная библиотека http://tgv.khstu.ru/

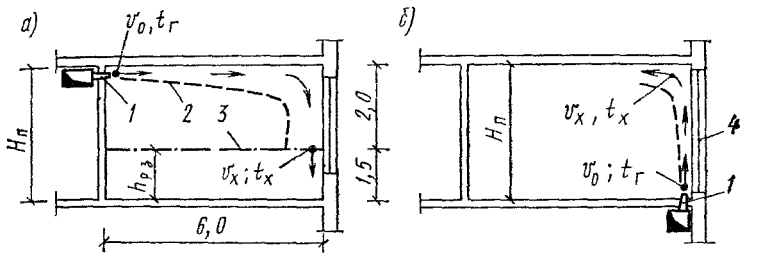

Рис. 10.13. Центральное воздушное отопление помещения с подачей нагретого воздуха через подпотолочный (*а*) и напольный (*б*) щелевой воздухораспределитель
1 — воздухораспределитель; 2 — граница настилающейся воздушной струи; 3 — граница рабочей зоны, 4 — наружное ограждение

так как при $x/H_п = 8 : 3{,}5 = 2{,}3 k_c = 0{,}77$ (по специальной литературе).

2. Значение геометрической характеристики плоской воздушной струи по формуле (10.42а) составит

$$H = \frac{25{,}7 \cdot 3^{4/3} \cdot 0{,}03^{1/3}}{(35-18)^{2/3}} = 5{,}2 \text{ м}.$$

3. Объемное количество воздуха, подаваемого из отверстия длиной 1 м щелевого воздухораспределителя, находим по уравнению (10.44)

$$L_1 = 0{,}03 \cdot 3 = 0.09 \text{ м}^3/\text{с}.$$

4. Общая длина воздуховыпускной щели составит

$$l = L_{от}/L_1 = 0{,}27/0{,}09 = 3 \text{ м}.$$

Для обеспечения условия $x \leqslant 6 l_0$ принимаем к установке два щелевых воздухораспределителя длиной по $l_0 = 1{,}5$ м.

Проверяем температуру в воздушной струе на расстоянии $x = 8$м от щели по формуле (10.45)

$$t_x = 18 + 2{,}8\,(35-18)\left(\frac{0{,}03}{8}\right)^{0{,}5} = 18 + 2{,}9 = 20{,}9 < 21\ ^\circ\text{C}.$$

В системе центрального воздушного отопления нагретая струя, выпускаемая из сравнительно узкой щели, характеризуется числом $A_г < 0{,}001$, т. е. относится к категории слабо неизотермических струй. На основном участке такой струи интенсивно падает скорость движения воздуха и относительно медленно снижается температура.

Температура воздуха понижается более заметно при движении нагретой струи вдоль наружного ограждения, особенно вдоль стекла светового проема. Понижение температуры воздушной струи ускоряется вследствие интенсификации конвективного теплообмена на внутренней поверхности ограждения. Это дополнительное понижение

Электронная библиотека http://tgv.khstu.ru/

температуры в изложенном выше методе расчета нагретой плоской настилающейся струи во внимание не принималось.

Однако при усилении теплообмена на внутренней поверхности повышается ее температура и увеличиваются теплопотери через ограждение наружу. Для возмещения дополнительных теплопотерь следует соответственно повысить начальную температуру воздушной струи.

В случае подачи нагретого воздуха плоской настилающейся струей снизу вверх значение коэффициента конвективного теплообмена $\alpha_к$, Вт/(м²·°С), между струей и внутренней поверхностью, среднее по высоте ограждения $H_п$ (при $H_п \geqslant 14{,}5b_0$), может быть найдено при температуре окружающего воздуха около 20 °С по формуле

$$\alpha_к = \frac{50}{H_п^{0,6}} (b_0 v_0^2)^{0,4}. \qquad (10.46)$$

При известном коэффициенте $\alpha_к$ можно уточнить теплопотери через наружное ограждение и начальную температуру воздушной струи.

В этом же случае нагретая воздушная струя не только возмещает теплопотери помещения, но и защищает рабочую зону от ниспадающего потока воздуха, охлаждающегося у наружного ограждения. Струя должна лишь оставаться настилающейся по всей высоте помещения $H_п$ (рис. 10.13, *б*).

Для выполнения этого условия начальная скорость нагретой струи, выпускаемой из щели в полу шириной b_0, должна удовлетворять соотношению, полученному в результате исследований

$$v_0^2 = \frac{0,72}{10^3 b_0} (t_в - \tau_в)^{0,91} H_п^{1,73}, \qquad (10.47)$$

где $(t_в - \tau_в)$ — разность температуры при $t_п \approx 20$ °С и температуре внутренней поверхности наружного ограждения $\tau_в$, вычисленной для обычных условий естественной конвекции.

Пример 10.12. Найдем начальную скорость нагретой воздушной струи, выпускаемой из щели в полу шириной $b_0 = 0{,}01$ м, препятствующей образованию ниспадающего потока воздуха у двойного стеклянного витража высотой 5 м, если температура воздуха $t_в = 18$ °С, внутренней поверхности стекла 3,4 °С (см. рис. 10.13,*б*).

Начальную скорость движения воздушной струи при $t_в - \tau_в = 18 - 3{,}4 = 14{,}6$ °С определяем из уравнения (10.47)

$$v_0^2 = \frac{0,72}{10^3 \cdot 0,01} 14,6^{0,91} \cdot 5^{1,73};$$

$$v_0 = (13,5)^{0,5} = 3,7 \text{ м/с}.$$

Электронная библиотека http://tgv.khstu.ru/

Среднее значение коэффициента конвективного теплообмена на поверхности внутреннего стекла витража по формуле (10.46) составит

$$\alpha_к = \frac{50}{5^{0,6}}(0,01 \cdot 13,5)^{0,4} = 8,6 \text{ Вт/(м}^2 \cdot °\text{C)}.$$

Для данного примера коэффициент конвективного теплообмена получился приблизительно в 2 раза бо́льшим, чем при естественной конвекции. При этом коэффициент теплообмена $\alpha_в$ на внутренней поверхности ограждения повышается в 1,5 раза и возрастает тепловой поток наружу. В рассмотренном случае тепловой поток через двойной витраж увеличивается на 13,3%. Очевидно, что должна быть соответственно повышена и начальная температура воздушной струи.

§ 10.10. Особенности расчета воздуховодов центрального воздушного отопления

Аэродинамический расчет воздуховодов, расчет и подбор оборудования рассматриваются в дисциплине «Вентиляция». Здесь остановимся лишь на особенностях тепло-аэродинамического расчета воздуховодов, предназначенных для подачи нагретого воздуха в отапливаемые помещения.

В системах центрального воздушного отопления в отличие от систем центральной приточной вентиляции перемещается воздух меньшей и переменной плотности по сравнению с плотностью воздуха, окружающего воздуховоды. В связи с этим можно отметить две особенности действия систем центрального воздушного отопления: нагретый воздух заметно охлаждается по пути его движения; количество воздуха, поступающего в помещения, изменяется в течение отопительного сезона, особенно при естественном движении.

В вентиляторных системах воздушного отопления ограниченной длины и высоты эти два фактора обычно во внимание не принимаются. В разветвленных протяженных системах воздушного отопления крупных зданий, особенно высоких, необходимо ограничивать как охлаждение воздуха в воздуховодах, так и перераспределение воздуха, поступающего в помещения, под влиянием изменяющегося естественного циркуляционного давления.

Для ограничения и учета охлаждения воздуха выполняют тепловой расчет воздуховодов, устанавливают начальную температуру воздуха и уточняют его расчетный расход.

Электронная библиотека http://tgv.khstu.ru/

Для ограничения отклонения расхода нагретого воздуха от расчетного, т. е. для повышения тепловой устойчивости систем отопления, проверяют аэродинамический режим воздуховодов. При необходимости увеличивают потери давления в концевых ответвлениях воздуховодов для непосредственной подачи воздуха в помещения. Помимо уменьшения диаметра ответвлений, на них устанавливают диафрагмы, а также увеличивают коэффициент местного сопротивления (КМС) воздухораспределительных клапанов. При этом имеют в виду, что при потере давления в клапане, равной 20 Па, повышение или понижение температуры наружного воздуха на 20 °С (от 0 °С) значительно отражается на пропускной способности клапанов. По шведским данным, в 10-этажном здании с естественной вентиляцией такое изменение температуры наружного воздуха вызывает изменение расхода воздуха в клапанах на 40%. Для того чтобы сократить это изменение в тех же условиях до допустимых 7% в Швеции применяют клапаны, рассчитанные на потерю давления, равную 160 Па.

1. ТЕПЛОВОЙ РАСЧЕТ ВОЗДУХОВОДОВ

Тепловой поток через стенки воздуховода длиной l представим как

$$Q_{охл} = q_1 l, \tag{10.48}$$

где q_1 — тепловой поток через стенки воздуховода длиной 1 м, определяемый по формуле

$$q_1 = kA_1 (t_{ср} - t_в) = \frac{t_{ср} - t_в}{R_1}; \tag{10.49}$$

R_1 — сопротивление теплопередаче от нагретого воздуха, имеющего среднюю температуру $t_{ср}$, через площадь A_1 стенок длиной 1 м воздуховода в помещении при температуре $t_в$.

Сопротивление теплопередаче находят по общей формуле (2.19) с дополнениями, которые изложены в гл. 11. Дополнения относятся к условиям теплопередачи через 1 м воздуховода, у которого площадь внешней поверхности может быть значительно больше внутренней и может отделяться от последней промежуточными слоями. Величины, слагающие R_1, вычисляют по формулам (11.33) — (11.37).

Тепловой поток через стенки воздуховода при установившемся состоянии соответствует степени охлаждения потока нагретого воздуха, перемещающегося по воздухо-

Электронная библиотека http://tgv.khstu.ru/

воду. Поэтому можно написать уравнение теплового баланса, выражая q_1 в кДж/ч:

$$q_1 l = G_{от} c (t_{нач} - t_г), \qquad (10.50)$$

где $G_{от}$ — количество воздуха для отопления помещения, кг/ч, $t_{нач}$ и $t_г$ — температура нагретого воздуха соответственно в начале воздуховода и выпускаемого в помещение, °С; c — удельная теплоемкость воздуха, кДж/(кг·К).

Уравнение теплового баланса (10.50) дает возможность установить начальную температуру воздуха в воздуховоде по заданной конечной или, наоборот, уточнить температуру воздуха, выпускаемого в помещение, и при необходимости расход воздуха.

Температура нагретого воздуха в начале воздуховода на основании формулы (10.4) равна

$$t_{нач} = t_в + \frac{Q_п + (1-\eta) Q_{охл}}{Q_п} (t_г - t_в), \qquad (10\,51)$$

где η — доля от $Q_{охл}$, поступающая в отапливаемое помещение; причем $Q_{охл}$ в первом приближении можно определять по формулам (10.48) и (10 49), подставляя известную температуру $t_г$ вместо температуры $t_{ср}$.

Уточненный расход горячего воздуха в воздуховоде, кг/ч, с учетом формулы (10.1) составит

$$G_{от} = \frac{Q_п + (1-\eta) Q_{охл}}{c (t_{ср} - t_в)}. \qquad (10.52)$$

Пример 10.13. Найдем начальную температуру воздуха в воздуховоде (R_1=0,23 К·м/Вт) длиной 10 м, проложенном вне отапливаемого помещения, в которое для возмещения теплопотерь, равных 6 кВт при $t_в$=16 °С, подается по воздуховоду 600 м³/ч нагретого воздуха.

1. Температуру воздуха для отопления помещения определяем по формуле (10.4)

$$t_г = 16 + \frac{6 \cdot 3600}{1,0 \cdot 1,076 \cdot 600} = 16 + 33,5 = 49,5 \text{ °С}.$$

2. Ориентировочный тепловой поток через стенки воздуховода длиной 1 м по формуле (10.49), принимая $t_{ср} = t_г$, составит

$$q_1' = \frac{49,5 - 16}{0,23} = 146 \text{ Вт/м}.$$

3. Предварительную температуру воздуха в начале воздуховода находим по формуле (10.51) при η=0

$$t'_{нач} = 16 + \frac{6 \cdot 10^3 + 146 \cdot 10}{6 \cdot 10^3} (49,5 - 16) = 16 + 41,7 = 57,7 \text{ °С}.$$

Электронная библиотека http://tgv.khstu.ru/

4. Уточненный тепловой поток через стенки воздуховода определяем по формуле (10.48) при $t_{ср}=0{,}5(57{,}7+49{,}5)=53{,}6$ °С

$$Q_{охл}=\frac{53{,}6-16}{0{,}23}10=1635 \text{ Вт}.$$

5. Окончательная температура воздуха в начале воздуховода будет равна

$$t_{нач}=16+\frac{6\cdot10^3+1635}{6\cdot10^3}(49{,}5-16)=16+42{,}6=58{,}6 \text{ °С}.$$

Таким образом, получено, что горячий воздух в воздуховоде длиной 10 м при малом сопротивлении теплопередаче его стенки охлаждается почти на 10 °С. Для уменьшения охлаждения теплоносителя воздуха, если теплопотери через стенки не используются для отопления, воздуховод вне отапливаемого помещения нужно покрывать тепловой изоляцией.

2. АЭРОДИНАМИЧЕСКИЙ РЕЖИМ ВОЗДУХОВОДОВ

В течение отопительного сезона в воздуховодах прямоточной механической системы центрального воздушного отопления и в помещениях отапливаемого ею здания непрерывно колеблется давление под влиянием изменения температуры наружного и горячего воздуха, скорости и направления ветра, индивидуального регулирования воздухообмена. При этом возможно нарушение расчетного распределения горячего воздуха по помещениям, т. е. аэродинамическое разрегулирование, приводящее, в свою очередь, к тепловому разрегулированию системы отопления.

Для сохранения теплового режима помещений с допустимой степенью отклонения от расчетных условий фактическое количество горячего воздуха $G_ф$, поступающего в каждое помещение, может быть больше, но должно быть достаточно близким к расчетному количеству воздуха $G_{от}$.

Это условие может быть выполнено путем ограничения изменения избыточного давления в воздуховодах. Напишем аэродинамическую зависимость между давлением в воздуховоде и количеством воздуха при его механическом перемещении в виде

$$\frac{p+\Delta p}{p}=\left(\frac{G_ф}{G_{от}}\right)^2, \qquad (10.53)$$

где p — избыточное давление в воздуховоде по отношению к давлению в помещении, создаваемое вентилятором для подачи воздуха в количестве $G_{от}$; Δp — дополнительное избыточное давление в воздуховоде, возникающее под влиянием перечисленных выше факторов и вызывающее увеличение расхода воздуха до $G_ф$.

Электронная библиотека http://tgv.khstu.ru/

Отношение фактического расхода воздуха $G_ф$ к расчетному $G_{от}$ является показателем аэродинамического разрегулирования системы центрального воздушного отопления. Обозначив его $k_р$, перепишем уравнение (10.53), решив его относительно избыточного давления, создаваемого вентилятором,

$$p=\frac{\Delta p}{k_р-1}. \tag{10.54}$$

Показатель разрегулирования $k_р=G_ф/G_{от}$ в последней формуле выражает отклонение фактического расхода воздуха от расчетного под влиянием величины Δp при определенном давлении вентилятора. Очевидно, что $k_р>1$, и чем больше он отличается от единицы, тем значительнее будет аэродинамическое, а с ним и тепловое разрегулирование системы центрального воздушного отопления. Наоборот, чем ближе будет значение $k_р$ к единице, тем более постоянными станут аэродинамический режим воздуховодов и воздухораспределение. Вместе с этим, будет уменьшаться отклонение температуры воздуха в помещениях от расчетной. Для выражения показателя разрегулирования через температуру используем формулу (10.1), написав ее в форме, отвечающей тепловому балансу в помещении при подаче горячего воздуха в количестве $G_ф$

$$G_ф=\frac{\Sigma (kA)[(t_в+\Delta t_в)-t_н]}{c[t_г-(t_в+\Delta t_в)]}, \tag{10.55}$$

где $\Delta t_в$ — повышение температуры воздуха в помещении при увеличении расхода его от $G_{от}$ до $G_ф$.

Придав аналогичный вид формуле для вычисления расчетного расхода воздуха $G_{от}$, после преобразования получим

$$k_р=\frac{G_ф}{G_{от}}=\frac{(t_в-t_н)+\Delta t_в}{t_в-t_н}\,\frac{t_г-t_в}{(t_г-t_в)-\Delta t_в}. \tag{10.56}$$

Из последней формулы видно, что показатель разрегулирования может быть распространен на всю систему центрального воздушного отопления здания в конкретных климатических условиях, если ограничить повышение температуры воздуха против расчетной в помещениях, заведомо наиболее неблагоприятных в отношении разрегулирования воздушно-теплового режима. Это обеспечит

Электронная библиотека http://tgv.khstu.ru/

воздушно-тепловой режим с меньшим отклонением от расчетного во всех остальных помещениях здания.

В системе центрального воздушного отопления многоэтажного здания такими неблагоприятными являются помещения верхнего этажа. Именно в эти помещения под влиянием дополнительного избыточного давления в воздуховодах поступает относительно большее количество горячего воздуха по сравнению с расчетным, чем в другие ниже расположенные помещения.

Дополнительное избыточное давление в воздуховодах определяется главным образом климатическими особенностями местности и высотой здания. Максимальное дополнительное избыточное давление в вертикальных воздуховодах для помещений верхнего этажа можно считать (с достаточной для данного расчета точностью) равным разности аэростатического давления снаружи здания высотой $H_{зд}$, м, и внутри воздуховодов в расчетных условиях, т. е.

$$\Delta p = H_{зд}(\gamma_н - \gamma_г), \qquad (10.57)$$

где $\gamma_н$ и $\gamma_г$ — удельный вес воздуха, Н/м³, соответственно при температуре наружного и горячего воздуха.

Пример 10.14. Найдем избыточное давление, которое следует поддерживать вентилятором в вертикальных воздуховодах системы центрального воздушного отопления для подачи воздуха, нагретого до температуры 40 °С, в помещения здания высотой 25 м, если при $t_н = -15$ °С допускается увеличение $t_в = 20$ °С в помещениях верхнего этажа на 2 °С.

Показатель разрегулирования системы воздушного отопления устанавливаем по формуле (10.56)

$$k_р = \frac{20-(-15)+2}{20-(-15)} \frac{40-20}{40-20-2} = 1{,}175.$$

Значение $k_р = 1{,}175$ показывает, что для выполнения заданных условий количество горячего воздуха, поступающего в помещения верхнего этажа здания, не должно увеличиваться более чем на 17,5% расчетного.

Дополнительное избыточное давление в вертикальных воздуховодах для этих помещений вычисляем по формуле (10.57)

$$\Delta p = 25\,(13{,}42 - 11{,}065) = 58{,}9 \text{ Па}.$$

Избыточное давление в этих воздуховодах, создаваемое вентилятором, определяем по формуле (10.54)

$$p = \frac{58{,}9}{1{,}175^2 - 1} = 155 \text{ Па}.$$

Следовательно, в заданных условиях требуется создание аэродинамического режима в вертикальных воздуховодах системы

Электронная библиотека http://tgv.khstu.ru/

воздушного отопления, который характеризуется изменением избыточного давления в этих воздуховодах в течение отопительного сезона в пределах от 155 до 213,9 Па.

Поддержание значительного избыточного давления возможно при использовании достаточно плотных воздуховодов (например, из листовой стали), а также воздухораспределительных клапанов повышенного аэродинамического сопротивления с шумоглушителями, что отражается на стоимости системы воздушного отопления. Кроме того, при эксплуатации такой системы возрастает расход электрической энергии для создания повышенного давления в воздуховодах. Поэтому наряду с расчетами аэродинамического и теплового режимов проводятся экономические расчеты, учитывающие как положительные, так и отрицательные показатели конкретной системы центрального воздушного отопления.

§ 10.11. Смесительные воздушно-тепловые завесы

При движении людей или транспорта через входные двери и ворота, перемещении материалов через открытые технологические проемы в здание поступает холодный наружный воздух. Частое открывание дверей и ворот приводит к чрезмерному охлаждению прилегающих к ним помещений, если не осуществляются мероприятия по ограничению количества и нагреванию проникающего наружного воздуха. Одним из таких мероприятий является создание воздушной или воздушно-тепловой завесы в открытом проеме входа.

В воротах, открытых технологических проемах производственных зданий создаются высокоскоростные (скорость выпуска воздуха 25 м/с) **воздушные завесы шиберующего типа**, выполняющие роль шибера, ограничивающего и даже предотвращающего врывание холодного воздуха. Такие воздушные завесы рассматриваются в дисциплине «Вентиляция».

Во входах общественных и административно-бытовых зданий устраивают низкоскоростные (скорость выпуска воздуха не более 8 м/с) **воздушно-тепловые завесы смесительного типа**, рассчитанные на нагревание холодного воздуха, проникающего снаружи. Ограничение поступления наружного воздуха достигают, изменяя конструкцию

Электронная библиотека http://tgv.khstu.ru/

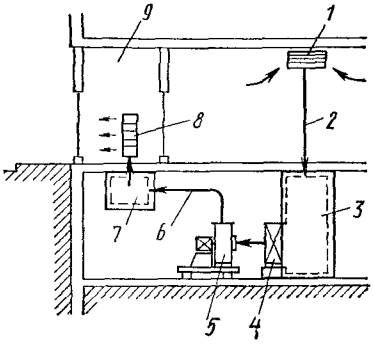

Рис. 10.14. Смесительная воздушно-тепловая завеса у наружного входа здания с двойными дверями, разделенными тамбуром

1 — воздухозаборное отверстие; *2* — канал; *3* — приемная камера; *4* — калорифер; *5* — радиальный вентилятор; *6* — воздуховод; *7* — воздухораспределительная камера; *8* — воздуховыпускные решетки; *9* — тамбур

входа, в результате чего повышается сопротивление воздухопроницанию.

Воздушно-тепловые завесы смесительного типа применяют в холодных районах страны, где расчетная температура наружного воздуха для проектирования отопления ниже —15 °С, при значительном числе проходящих людей. Так, например, воздушно-тепловые завесы предусматривают у входных дверей при расчетной температуре от —26 °С до —40 °С, если через двери в течение 1 ч проходит 250 чел. и более, или у входов в предприятия общественного питания, имеющие не менее 100 посадочных мест в залах. Завесы предусматривают также у наружных дверей зданий, если к вестибюлю примыкают помещения без тамбура, оборудованные системами кондиционирования воздуха, или помещения с мокрым режимом.

Воздушно-тепловая завеса создается рециркуляционной установкой местного [схема на рис. 10.1, *а*) или центрального (рис. 10.2, *а*) воздушного отопления. Внутренний воздух забирается обычно из вестибюля в верхней зоне и подогревается до температуры не выше 50 °С, так как он непосредственно воздействует на проходящих людей.

На рис. 10.14 на разрезе по подвальному и первому этажам здания показана примерная конструкция канальной системы смесительной воздушно-тепловой завесы. Внутренний воздух через отверстие и канал попадает в приемную камеру с внутренней звукопоглощающей облицовкой. После нагревания в калорифере воздух радиальным вентилятором по воздуховоду направляется в воздухораспределительную камеру также с звукопоглощающей облицов-

Электронная библиотека http://tgv.khstu.ru/

кой. Из камеры воздух выпускается в нижнюю зону (до 1,5 м от пола) тамбура сбоку от входных дверей. Воздуховыпускные решетки конструируют так, чтобы нагретый воздух для лучшего перемешивания с холодным подавался параллельно полу по направлению к наружной двери.

Нагретый воздух иногда выпускается у внутренних дверей тамбура со стороны вестибюля. При таком способе его подачи устраняется усиленное движение воздуха через внутренние двери тамбура, однако увеличивается зона пониженной температуры в вестибюле.

Количество воздуха $G_з$, кг/ч, нагретого до температуры $t_г$ для создания воздушно-тепловой завесы, определяют по формуле

$$G_з = \frac{Q_{вх}}{c\,(t_г - t_в)}, \qquad (10.58)$$

где $Q_{вх}$ — теплозатраты на нагревание наружного воздуха, проникающего через вход:

$$Q_{вх} = G_{вх}\,c\,(t_в - t_н). \qquad (10.59)$$

Подставляя выражение (10.59) в формулу (10.58), получим

$$G_з = G_{вх}\frac{t_в - t_н}{t_г - t_в}, \qquad (10.58а)$$

где $G_{вх}$ — количество холодного наружного воздуха, поступающего в здание через вход, кг/ч.

Количество холодного воздуха, проникающего в здание, зависит от разности давления воздуха снаружи и внутри и от сопротивления воздухопроницанию ограждающей конструкции, в данном случае сопротивления конструкции входа.

Разность аэростатического давления на наружной поверхности ограждения и внутри помещения возникает, как известно, под совместным действием сил гравитации и ветра. Кроме того, на аэростатическое давление внутри помещения может влиять воздушный дебаланс, возникающий при действии вентиляции.

При низкой температуре наружного воздуха скорость ветра, как правило, понижается. По многолетним наблюдениям в средней полосе Советского Союза при температуре от —15 до —21 °С скорость ветра в городах даже на высоте 50—75 м от земли не превышает 3,9—4,5 м/с, а при температуре от —21 до —30 °С — 3,4—4 м/с.

Электронная библиотека http://tgv.khstu.ru/

В этих условиях, расчетных для отопления, разность давления, создаваемая ветром во входах, сравнительно невелика даже на наветренной стороне зданий. С некоторым приближением для зданий высотой до 50 м ее можно выразить через гравитационную разность давления, возникающую по высоте всего лишь одного этажа. Тогда расчетная разность давления $\Delta p_{вх}$, Па, на уровне середины высоты входных дверей при сбалансированном действии вентиляции в здании составит

$$\Delta p_{вх} = 0{,}5\,(H_{зд} + 2h_{эт} - h_{дв}\,(\gamma_н - \gamma_в), \qquad (10.60)$$

где $H_{зд}$ — высота здания от поверхности земли до верха лестничной клетки; $h_{эт}$ — полная высота одного этажа; $h_{дв}$ — высота створки входных дверей, м; $\gamma_н$ и $\gamma_в$ — удельный вес воздуха, Н/м³, соответственно при расчетной температуре наружного и внутреннего воздуха.

Под влиянием этой разности давления во входе при открывании дверей устанавливается поток холодного воздуха, скорость которого зависит от сопротивления воздухопроницанию конструкции входа (при открытых дверях с учетом влияния тамбуров). Если, пренебрегая трением воздуха о стенки тамбуров входа, считать сопротивление конструкции входа пропорциональным коэффициенту местного сопротивления $\zeta_{вх}$, то потери давления во входе

$$\Delta p_{вх} = (1 + \zeta_{вх})\rho_н \frac{v_{вх}^2}{2} = (1 + \zeta_{вх}) \frac{j_{вх}^2}{2\rho_н}, \qquad (10.61)$$

где $v_{вх}$ — средняя скорость движения холодного воздуха в открытом проеме наружной входной двери, м/с; $\zeta_{вх}$ — коэффициент местного сопротивления конструкции входа, вычисленный при проведении экспериментов по потере статического давления во входе, отнесенной к динамическому давлению при $v_{вх}$; $j_{вх}$ — удельный поток холодного воздуха, кг/(с·м²), через 1 м² открытого проема наружной входной двери.

Из уравнения (10.61) находим выражение для удельного потока холодного воздуха

$$j_{вх} = \left(\frac{2\rho_н \Delta p_{вх}}{1 + \zeta_{вх}}\right)^{0,5} = \mu_{вх}\,(2\rho_н \Delta p_{вх})^{0,5}, \qquad (10.62)$$

где $\mu_{вх} = \frac{1}{(1 + \zeta_{вх})^{0,5}}$ — коэффициент расхода воздуха во входе без учета действия воздушной завесы и влияния фигуры человека, проходящего через вход.

Электронная библиотека http://tgv.khstu.ru/

Уменьшение коэффициента расхода воздуха отражает возрастание сопротивления воздухопроницанию входа. Путем конструктивного изменения обычного входа с двойными дверями, разделенными тамбуром (создав зигзагообразный путь), можно сократить его воздухопроницание почти на 30%; при замене его входом с тройными дверями можно уменьшить расход холодного воздуха в 2 раза. При установке во входе вращающейся (турникетной) двери количество наружного воздуха, проникающего в здание, снижается в 7—7,5 раза.

Для большинства общественных зданий характерно многократное открывание входных дверей. В отдельных случаях входные двери остаются постоянно открытыми (например, в крупном магазине), и тогда удельный поток холодного воздуха по формуле (10.62) определяет мощность воздушно-тепловой завесы. Во всех других случаях тепловая мощность завесы может быть снижена пропорционально времени поступления холодного воздуха в течение 1 ч. Тогда при периодическом открывании дверей небольшие, часто поступающие порции холодного воздуха будут быстро прогреваться горячим воздухом непрерывно действующей завесы умеренной мощности, и в помещениях, прилегающих ко входу, может поддерживаться достаточно ровная температура (в вестибюлях общественных и административно-бытовых зданий допустима температура воздуха 12 °С).

Следовательно, для выбора тепловой мощности завесы необходимо знать общее время, в течение которого входные двери будут открытыми. При проходе одного человека створка входных дверей в течение некоторого промежутка времени (до 10 с) раскрывается и вновь закрывается. Общее время постепенного раскрывания и закрывания створки, когда площадь открытого проема непрерывно изменяется, можно привести к эквивалентному (по воздухопроницанию) времени нахождения створок дверей входа в полностью раскрытом состоянии, условно считая, что створки мгновенно распахиваются и столь же быстро закрываются.

Экспериментально установлено, что эквивалентное время $\tau_э$ при одиночном проходе человека через одинарные двери составляет 2 с, через двойные 1,5 с и через тройные 1—1,2 с.

Зная число людей, проходящих через вход в течение 1 ч, можно определить общее количество холодного воздуха $G_{вх}$,

Электронная библиотека http://tgv.khstu.ru/

кг/ч, входящее в формулу (10.58а):

$$G_{вх}=0{,}9j_{вх}A_{дв}\tau_э N, \qquad (10.63)$$

где $j_{вх}$ — удельный поток холодного воздуха, кг/(с·м²), определяемый по формуле (10.62); $A_{дв}$ — площадь одной открываемой створки дверей входа, м²; $\tau_э$ — эквивалентное время открывания дверей, с; N — число людей, проходящих через вход в 1 ч.

В формуле (10.63) коэффициент 0,9 учитывает задерживающее влияние фигуры человека, проходящего через дверной проем площадью около 2 м², на количество одновременно протекающего воздуха.

Из рассмотрения формул (10.58а), (10.62) и (10.63) можно сделать вывод, что технико-экономические показатели воздушно-тепловой завесы (мощность и связанные с ней капитальные и эксплуатационные затраты) зависят от параметров наружного воздуха, высоты здания, конструкции входа и режима его использования. При прочих равных условиях мощность завесы в значительной степени определяется величиной сопротивления воздухопроницанию выбранной конструкции входа.

Тепловая мощность калориферов $Q_з$ рециркуляционной смесительной установки воздушно-тепловой завесы равна теплозатратам на нагревание наружного воздуха, проникающего через вход [см. формулу (10.59)], т. е.

$$Q_з=Q_{вх}. \qquad (10.64)$$

Иногда воздух для воздушно-тепловой завесы забирают снаружи и предусматривают использование также для вентиляции помещений, прилегающих ко входу. В этом случае теплозатраты на нагревание воздуха в калориферах увеличиваются и вычисляются по формуле

$$Q_з=G_з c(t_г-t_н), \qquad (10.65)$$

где c — удельная массовая теплоемкость воздуха, равная 1005 Дж/(кг·К).

Пример 10.15. Рассчитаем рециркуляционную воздушно-тепловую завесу для входа в девятиэтажное здание гостиницы в Москве при высоте этажа 3 м и числе проходящих людей 1000 чел. в 1 ч. Вход состоит из трех дверей, расположенных под углом 90° друг к другу, со створками размером 0,8×2,5 м, разделенных двумя тамбурами ($\zeta_{вх}=3{,}8$).

Расчетную разность давления по обе стороны входа при $t_н=-26$ °С определяем по формуле (10.60)

$$\Delta p_{вх}=0{,}5\,(3\cdot 9+2\cdot 3-2{,}5)\,(14{,}02-11{,}82)=33{,}5 \text{ Па},$$

Электронная библиотека http://tgv.khstu.ru/

Удельный поток холодного воздуха находим по формуле (10.62)

$$j_{вх}=\left(\frac{2\cdot 1,429\cdot 33,5}{1+3,8}\right)^{0,5}=4,5 \text{ кг/(с}\cdot\text{м}^2\text{)}.$$

Количество холодного воздуха, поступающего в здание, по формуле (10.63)

$$G_{вх}=0,9\cdot 4,5\cdot 0,8\cdot 2,5\cdot 1,1\cdot 1000=8910 \text{ кг/ч}.$$

Теплозатраты на нагревание холодного ноздуха по формуле (10.59)

$$Q_{вх}=8910\cdot\frac{1005}{3600}(20+26)=114\,420 \text{ Вт}.$$

Расход воздуха, подаваемого для воздушно-тепловой завесы, нагретого до $t_г=50$ °С, по формуле (10.58а)

$$G_з=8910\frac{20+26}{50-20}=13\,660 \text{ кг/ч},$$

Объем подаваемого воздуха по формуле (10,2)

$$L_з=\frac{13\,660}{1,098}=12\,440 \text{ м}^3\text{/ч}.$$

КОНТРОЛЬНЫЕ ЗАДАНИЯ И УПРАЖНЕНИЯ

1. Устаиовите целесообразность применения нагретого сжатого воздуха для целей отопления помещений.

2. Охарактеризуйте известные Вам модели отопительиых агрегатов, предназначениых для воздушного отопления.

3. Перечислнте условия применения иаклонной подачи нагретого воздуха из воздухораспределителей систем воздушного отоплеиия.

4. Определите при равиых условиях значения предельно допустимой температуры нагретого воздуха, подаваемого из воздухораспределителя вертикально, наклонно н горизонтально.

5. Сравните способы расчета цеитрального воздушного отопления помещения при настилающихся и ненастилающихся воздушных струях.

6. Как обеспечить саморегулирование работы рециркуляционного воздухонагревателя?

7. Постройте график изменения количества воздуха, нагреваемого в рециркуляционном воздухонагревателе, в течеиие отопительного сезоиа.

8. Разработайте схему воздухораспределительного клапана повышенного аэродинамического сопротивления со звукопоглощающим вкладышем для центральных систем воздушного отопления многоэтажных зданий.

9. Сравните способы подачи воздуха для смесительной воздушно-тепловой завесы сверху, снизу и сбоку от входиых дверей в здание.

Электронная библиотека http://tgv.khstu.ru/

ГЛАВА 11. ПАНЕЛЬНО-ЛУЧИСТОЕ ОТОПЛЕНИЕ

§ 11.1. Система панельно-лучистого отопления

Лучистым, как уже известно, называют способ отопления, при котором радиационная температура помещения превышает температуру воздуха. Для получения лучистого отопления применяют греющие панели — отопительные приборы со сплошной гладкой нагревательной поверхностью. Греющие панели совместно с теплопроводами образуют систему панельно-лучистого отопления. При использовании такой системы в помещениях создается температурная обстановка, характерная для лучистого способа отопления.

Итак, условиями, определяющими получение лучистого отопления в помещении, служат применение панелей и выполнение неравенства

$$t_R > t_в \qquad (11.1)$$

где t_R — радиационная температура (осредненная температура поверхности всех ограждений — наружных и внутренних — и отопительных панелей, обращенных в помещение); $t_в$ — температура воздуха помещения.

При панельно-лучистом отоплении помещение обогревается главным образом за счет лучистого теплообмена между отопительными панелями и поверхностью ограждений. Излучение от нагретых панелей, попадая на поверхность ограждений и предметов, частично поглощается, частично отражается. При этом возникает так называемое вторичное излучение, также в конце концов поглощаемое предметами и ограждениями помещения.

Интенсивность облучения отопительной панелью поверхности различных ограждений помещения характеризуется данными, приведенными в табл. 11.1, полученными при замерах освещенности облучаемой поверхности световой моделью панели.

Из таблицы видно, что ограждение, в плоскости которого установлена отопительная панель, получает путем вторичного излучения всего 9—12% общего лучистого потока. При расположении отопительной панели у наружной стены под окном или под потолком соответственно усиливается облучение пола (26%) или потолка (42%) помещения.

Электронная библиотека http://tgv.khstu.ru/

Таблица 11.1. Распределение (в долях единицы) лучистого потока от отопительной панели между ограждениями помещения

Место распределения панели	Наружная стена и окно	Пол	Потолок	Внутренние стены		
				левая	правая	торцовая
У наружной стены:						
под окном	0,1	0,26	0,18	0,207	0,207	0,046
» потолком	0,09	0,153	0,42	0,135	0,135	0,067
У правой внутренней стены	0,32	0,125	0,177	0,15	0,12	0,108

Благодаря лучистому теплообмену повышается температура внутренней поверхности ограждений по сравнению с температурой при конвективном отоплении и в большинстве случаев она превышает температуру воздуха помещения.

Лучистое отопление может быть устроено при низкой (до 70 °С), средней (от 70 до 250 °С) и высокой (до 900 °С) температуре излучающей поверхности. Система отопления делается при этом местной и центральной.

К местной системе (§ 1.2) относят отопление помещений панелями и отражательными экранами, если энергоносителями для них являются электрический ток и горючий газ, а также твердое топливо (при сжигании его в каминах). В настоящее время нормами предусмотрено применение излучателей при температуре их поверхности не выше 250 °С.

В центральной системе панельно-лучистого отопления применяются низко- и среднетемпературные панели и отражательные экраны с централизованным теплоснабжением при помощи нагретых воды и воздуха, пара высокого и низкого давления.

Отопительные приборы размещают в потолке или полу, у потолка или стен помещения. Систему панельно-лучистого отопления соответственно называют **потолочной, напольной или стеновой.** Местоположение панелей и отражательных экранов выбирают на основании технологических, гигиенических и технико-экономических соображений.

Электронная библиотека http://tgv.khstu.ru/

Теплопередача только излучением возможна лишь в безвоздушном пространстве. В помещении лучистый теплообмен всегда сопровождается конвективным. Теплоизлучения распределяются по поверхности ограждений неравномерно: по закону Ламберта они пропорциональны косинусу угла направления излучения к нормали излучающей поверхности. При этом вследствие различия температуры поверхностей возникает движение воздуха в помещении, которое усиливается благодаря развитию нисходящих потоков воздуха у охлаждающихся поверхностей. В результате отопительная панель часть теплоты передает конвекцией воздуху, перемещающемуся у ее поверхности.

Размещение отопительной панели в потолке затрудняет конвективный теплоперенос, и в теплопередаче панели теплообмен излучением составляет 70—75%. Греющая панель в полу активизирует теплоперенос конвекцией, и на долю теплообмена излучением приходится всего 30—40%. Вертикальная панель в стене в зависимости от высоты передает излучением 30—60% всей теплоты, причем доля теплообмена излучением возрастает с увеличением высоты панели.

Лишь потолочное панельное отопление, во всех случаях передающее в помещение излучением более 50% теплоты, могло бы быть названо лучистым. При напольном отоплении, а также почти всегда при стеновом в общей теплопередаче панелей преобладает конвективный теплоперенос. Однако способ отопления — лучистое оно или конвективное — характеризуется не доминирующим способом теплоподачи, а температурной обстановкой в помещении [см. выражение (11.1)].

Действительно, при низкотемпературных (26—38 °С), а следовательно, развитых по площади потолочных и напольных панелях увеличивается температура поверхности ограждений помещения, и способ обогревания всегда относится к лучистому. При стеновых же панелях в зависимости от их размеров и температуры поверхности способ отопления помещения может быть отнесен и к лучистому, и к конвективному (если радиационная температура окажется ниже температуры воздуха). Однако по общности конструктивной схемы и способа отопления помещений потолочному, напольному и стеновому панельному отоплению дается общее наименование — **панельно-лучистое.**

Электронная библиотека http://tgv.khstu.ru/

В системах панельно-лучистого отопления применяют металлические панели с отражательными экранами и бетонные панели.

Металлические панели предназначены для отопления широких производственных помещений, перекрытых фермами, не нуждающихся в усиленной вентиляции (механические, инструментальные, модельные цехи, ангары, склады и т. п. помещения). Излучающие панели, подвешиваемые в верхней зоне таких помещений, состоят из металлического отражательного экрана с козырьками, к нижней поверхности которого прикреплены греющие трубы, а верхняя поверхность покрыта слоем тепловой изоляции.

Конструкция подвесных панелей должна быть такой, чтобы теплоотдача излучением вниз составляла не менее 60% общей теплоотдачи. Только тогда достигается равномерность температуры воздуха по высоте помещений и экономится тепловая энергия по сравнению с конвективным отоплением обычного вида, особенно воздушным.

Бетонные панели с замоноличенными стальными греющими трубами применяются в стеновых системах панельно-лучистого отопления в основном в полносборных зданиях массового строительства. В год с панельным отоплением сооружалось жилых зданий площадью около 2 млн. м². Бетонные панели сейчас используются для отопления общественных и производственных зданий преимущественно с ограждающими конструкциями из стеновых панелей и плит, особенно когда к помещениям этих зданий предъявляются повышенные санитарно-гигиенические требования.

Приоритет по конструированию и применению на практике, на основании идеи проф. В. М. Чаплина, системы отопления с заделкой стальных труб в толщу стен, потолков и полов, а также колонн, пилястр и даже лестничных перил и балясин (г. Саратов, 1905 г.) принадлежит русскому инженеру В. А. Яхимовичу. Эта система была названа им панельным отоплением (английский патент 1907 г.). За короткий срок (1907—1911 гг.) по проектам В. А. Яхимовича такими системами отопления были оборудованы в Поволжье свыше 20 крупных больничных, школьных и общественных зданий. В качестве теплоносителя в этих системах использовались горячая вода и пар.

Электронная библиотека http://tgv.khstu.ru/

В том же 1907 г. английский инженер Баркер также получил патент на устройство систем отопления с плоскими нагревательными поверхностями.

В дальнейшем, в конце 20-х годов, подобные системы панельного отопления получили распространение в зарубежной практике под названием лучистого отопления.

В Советском Союзе бетонные греющие панели стали использоваться в массовом строительстве с 50-х годов в связи с переходом к индустриальным методам возведения зданий. При отопительных панелях, скрытых в строительных конструкциях, обеспечиваются повышенные санитарно-гигиенические требования (см. табл. 4.1), не занимается полезная площадь помещений. Температура поверхности греющих панелей значительно ниже температуры теплоносителя, при этом исключается пригорание пыли, ослаблен ее разнос. Уменьшается расход металла по сравнению с расходом на чугунные радиаторы, на гладкотрубные приборы; выравнивается температура воздуха по высоте обогреваемых помещений.

К **достоинствам** систем панельно-лучистого отопления можно также отнести сокращение затрат труда на месте строительства зданий при заводском изготовлении конструкций с замоноличенными греющими элементами. Возможно сокращение теплозатрат на отопление помещений при относительном понижении температуры воздуха.

Недостатками систем панельно-лучистого отопления являются трудность ремонта замоноличенных греющих элементов, сложность регулирования теплоотдачи отопительных панелей, увеличение бесполезных теплопотерь при размещении панелей в наружных ограждениях, повышение капитальных вложений (по сравнению с конвективным отоплением) при низкой температуре теплоносителя.

Панельно-лучистое отопление применяют в жилых зданиях, общих комнатах на первом этаже детских дошкольных учреждений, в операционных, родовых, наркозных и тому подобных помещениях лечебно-профилактических учреждений, в помещениях и вестибюлях (теплые полы) общественных зданий.

Отопительные панели используют также для обогревания основных помещений вокзалов, аэропортов, ангаров, высоких сборочных цехов, помещений категорий *Г* и *Д* (кроме помещений со значительным влаговыделением),

Электронная библиотека http://tgv.khstu.ru/

применяют в производственных помещениях с особыми требованиями к чистоте (производство пищевых продуктов, сборка точных приборов и т. п.).

§ 11.2. Температурная обстановка в помещении при панельно-лучистом отоплении

При панельно-лучистом отоплении температура каждой поверхности ограждений, участвующих в лучистом теплообмене, повышается. При этом создается температурная обстановка, более благоприятная для человека.

Известно, что самочувствие человека значительно улучшается при повышении доли конвективного теплопереноса в общей теплоотдаче его тела и уменьшении излучения на холодные поверхности (радиационного охлаждения). Это как раз и обеспечивается при системе панельно-лучистого отопления, когда теплоотдача человека путем излучения уменьшается вследствие повышения температуры поверхности ограждений.

Одновременно несколько понижают против обычной температуру воздуха в помещении, в связи с чем происходит дальнейшее увеличение конвективного теплообмена человека, что опять-таки способствует улучшению его самочувствия.

Таким образом, при применении системы панельно-лучистого отопления возрастает средняя температура поверхности ограждений. Отметим некоторое повышение относительной влажности при снижении температуры воздуха, что также благоприятствует созданию комфортных условий в помещениях.

Обычную (нормативную для конвективного отопления) температуру воздуха в помещениях допустимо понижать на 1—3 °С. Установлено, что в обычных условиях хорошее самочувствие людей обеспечивается при температуре воздуха в помещении 17,4 °С при стеновых отопительных панелях и 19,3 °С при конвективном отоплении.

В табл. 11.2 приведены средняя температура поверхности ограждений и тела человека, температура воздуха в различных помещениях при панельно-лучистом отоплении (для сравнения дана температура воздуха помещений при конвективном отоплении).

Электронная библиотека http://tgv.khstu.ru/

Таблица 11.2. Средняя температура, °С, внутренней поверхности ограждений, тела человека, воздуха (допустимая) в помещениях при панельно-лучистом отоплении

Помещения	Средняя теплоотдача человека, Вт	Средняя температура поверхности		Температура воздуха $t_в$ при отоплении	
		ограждений $\tau_в$	тела человека $\tau_ч$	лучистом	конвективном
Вестибюли, коридоры, лестничные клетки, магазины и т. п. (люди в верхней одежде)	151	13—17,5	18—23,3	8—14	12—16
Жилые и общие места пребывания людей (люди в обычной одежде)	128	21	24,6—25,6	16—18	18—20
Ванные, операционные (люди в одежде)	105	23,5—22	26,4—27,5	20—24	22—26

Данные табл. 11.2 подтверждают, что при панельно-лучистом отоплении допустимо понижение температуры воздуха помещений в среднем на 2 °С против температуры воздуха при конвективном (радиаторами и конвекторами) отоплении; средняя температура внутренней поверхности ограждений в большинстве случаев получается выше температуры воздуха.

Температурный комфорт в помещении при нормальных влажности и подвижности воздуха определяется, как известно, не только температурой воздуха $t_в$, но и средней температурой нагретых и охлажденных поверхностей, обращенных в помещение (радиационной температурой t_R, воздействие которой с точки зрения теплоотдачи человека равноценно воздействию температуры окружающих его поверхностей).

Радиационную температуру для человека, находящегося в середине помещения, можно найти по формуле [см. формулу (2.7)]

$$t_R = \Sigma \tau_i \varphi_{ч-i}, \qquad (11.2)$$

где $\varphi_{ч-i}$ — коэффициент облученности с поверхности тела человека (индекс «ч») в сторону i-й поверхности, имеющей температуру τ_i.

Электронная библиотека http://tgv.khstu.ru/

Для упрощения часто принимают температуру поверхности внутренних ограждений равной температуре воздуха $t_в$, а радиационную температуру t_R определяют как средневзвешенную по площадям

$$t_R = \frac{\Sigma \tau_i A_i}{\Sigma A_i}. \qquad (11.3)$$

Значение радиационной температуры t_R, найденное по формулам (11.2) или (11.3), для выполнения первого условия температурной комфортности должно находиться в строго определенных пределах (см. § 2.1).

В помещениях с греющими панелями наряду с обеспечением общего температурного комфорта (первого условия температурной комфортности) может возникнуть опасность интенсивного облучения или нагревания отдельных частей тела человека, прежде всего головы и ступней ног.

Исследованиями установлено, что комфортными относительно нагретой поверхности являются условия, когда находящаяся против этой поверхности часть головы человека теряет излучением около 11,6 Вт/м². Следовательно, для температурного комфорта человека, находящегося под греющей **потолочной** панелью, температура поверхности последней должна быть ограничена (второе условие температурной комфортности — см. § 2.1).

Предельно допустимая температура поверхности потолочной греющей панели $\tau_п$, °С, определяется в зависимости от ее размера и расстояния до головы человека по формуле (2.3)

$$\tau_п \leqslant 19{,}2 + \frac{8{,}7}{\varphi_{ч-п}}, \qquad (11.4)$$

где $\varphi_{ч-п}$ — коэффициент облученности с поверхности головы человека на потолочную панель, приблизительно (для значений $\varphi > 0{,}2$) равный

$$\varphi_{ч-п} = 1 - 0{,}8\frac{y}{l}; \qquad (11.5)$$

y — расстояние от головы человека до потолочной отопительной панели; l — осредненный размер отопительной панели (при известной площади панели $A_п$ равный $A_п^{0,5}$, м).

При коэффициенте облученности около 0,2 допустимая температура поверхности потолочной отопительной панели приближается к 60 °С, т. е. к предельному значению для

Электронная библиотека http://tgv.khstu.ru/

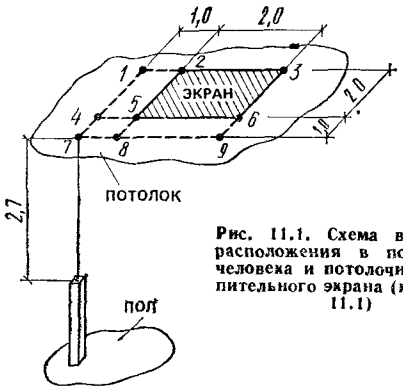

Рис. 11.1. Схема взаимного расположения в помещении человека и потолочного отопительного экрана (к примеру 11.1)

низкотемпературных панелей. Возможность дальнейшего повышения температуры излучающей поверхности связана с уменьшением размеров панелей — переходом от панелей, занимающих всю или почти всю площадь потолка, к греющим экранам ограниченных размеров. Уменьшающееся при этом значение коэффициента облученности должно определяться более точно, чем по формуле (11.5), с учетом взаимного расположения в помещении рабочего места человека и экрана. Рассмотрим такой случай на примере.

Пример 11.1. Проверим допустимость принятой температуры поверхности потолочного экрана размером 2,0×2,0 м (70 °С) для человека, выполняющего в помещении умеренную работу, если вертикальное расстояние от головы человека до точки *7* на потолке (рис. 11.1) составляет 2,7 м, а ближние к этой точке края экрана отстоят от нее по горизонтали на 1,0 м.

Коэффициент облученности с элементарной площадки на голове человека на поверхность отопительного экрана найдем, используя график, приведенный в учебнике *, обозначив нижеследующие четыре площадки на потолке, примыкающие к точке *7*, цифрами по их углам (рис. 11.1):

1) коэффициент облученности на первую площадку (*1—3—9—7*) $\varphi_{ч-п.1}=0{,}145$;

2) то же, на вторую площадку (*4—6—9—7*) $\varphi_{ч-п.2}=0{,}075$;

3) то же, на третью площадку (*1—2—8—7*) $\varphi_{ч-п\ 3}=0{,}075$;

4) то же, на четвертую площадку (*4—5—8—7*) $\varphi_{ч-п.4}=0{,}037$.

Действительный коэффициент облученности на нагретую поверхность экрана (на площадку *2—3—6—5*) $\varphi_{ч-э}=\varphi_{ч-п.1}-\varphi_{ч-п.2}-$

---

* **Богословский В. Н.** Строительная теплофизика. Учеб. для вузов.— 2-е изд.— М.: Высш. школа, 1982, рис. 1.9.

Электронная библиотека http://tgv.khstu.ru/

$-(\varphi_{ч=п\,з}-\varphi_{ч=п.4})=0,145-0,075-(0,075-0,037)=0,032.$

Максимальная допустимая температура поверхности экрана в рассматриваемых условиях по формуле (11.4)

$$\tau_{э\ макс}=19,2+(8,7:0,032)=291>70\ °C.$$

Следовательно, принятая температура поверхности потолочного отопительного экрана допустима

Среднюю температуру поверхности **напольных отопительных панелей** также ограничивают во избежание перегревания ног человека. В нормах установлена максимальная температура 26 °С для полов помещений с постоянным пребыванием людей (31 °С для полов помещений с временным их пребыванием, 22 °С для полов в игровых детских комнатах). Кроме того, оговаривается, что температура поверхности пола по оси нагревательного элемента в детских учреждениях, жилых зданиях и плавательных бассейнах не должна превышать 35 °С.

Итак, при применении системы панельно-лучистого отопления обеспечивается повышение температуры внутренней поверхности ограждений. Температура поверхности отопительных панелей не должна превышать допустимой, определяемой с учетом взаимного расположения панелей и рабочих мест. При этом условии в помещениях в результате лучисто-конвективного теплообмена может устанавливаться комфортная температура.

Происходящее изменение радиационного режима помещений при панельно-лучистом отоплении используют в районах с суровым климатом для компенсации радиационного охлаждения людей в сторону ограждений с пониженной температурой внутренней поверхности.

§ 11.3. Теплообмен в помещении при панельно-лучистом отоплении

Теплообмен в помещении рассчитывают при установившемся состоянии и тепловые потоки от греющей панели в помещение и из помещения наружу считают равными. При этом исходят из известных: температуры наружного $t_н$ и внутреннего $t_в$ воздуха, температуры помещения $t_п$ (принимают при спокойном состоянии человека 23 °С, легкой работе 21 °С, умеренной работе 18,5 °С, тяжелой — 16 °С), температуры греющей панели $\tau_п$, сопротивления теплопередаче наружных ограждений R_0.

Электронная библиотека http://tgv.khstu.ru/

Задачей расчета является нахождение температуры внутренней поверхности ограждений с учетом лучистого теплообмена между отопительной панелью и остальными взаимно параллельными и перпендикулярными поверхностями и конвективного теплообмена между воздухом и ограждениями. Знание этих температур позволяет проверить соблюдение комфортной температурной обстановки, уточнить теплопотери помещения и тепловую мощность отопительной панели. В зависимости от полученных значений температуры поверхности наружных ограждений теплопотери помещения будут отличаться от теплопотерь при конвективном отоплении.

Напишем в общем виде уравнение теплового баланса для внутренней поверхности наружного ограждения *1* площадью A_1 при установившемся состоянии

$$Q_{\text{и}} = Q_{\text{л}} + Q_{\text{к}}. \tag{11.6}$$

В уравнении (11.6) $Q_{\text{н}}$ выражает тепловой поток от внутренней поверхности ограждения *1* (температура τ_1) к наружному воздуху (температура $t_{\text{н}}$)

$$Q_{\text{и}} = \int_{A_1} \frac{\tau_{dA_1} - t_{\text{н}}}{R'_{\text{о}.dA_1}} dA_1, \tag{11.7}$$

где $R'_{\text{о}.dA_1} = R_{\text{о}.dA_1} - R_{\text{в}.dA_1}$ — неполное (без сопротивления теплообмену на внутренней поверхности) сопротивление теплопередаче ограждения.

Лучистый теплообмен поверхности ограждения *1* площадью A_1 с другими поверхностями ограждений i площадью A_i выражается уравнением

$$Q_{\text{л}} = \sum_i \int_{A_i} \int_{A_1} \varphi_{dA_i - dA_1} \left(E_{dA_i} - E_{dA_1}\right) dA_i\, dA_1 \approx$$

$$\approx \sum_i \int_{A_i} \int_{A_1} \varphi_{dA_i - dA_1}\, \varepsilon_{\text{пр}} C_0 \left[\left(\frac{T_{dA_i}}{100}\right)^4 - \left(\frac{T_{dA_1}}{100}\right)^4\right] dA_i\, dA_1. \tag{11.8}$$

В это уравнение включается сумма лучистых потоков с других поверхностей на поверхность A_1 и собственный лучистый поток с поверхности A_1 на остальные поверхности A_i без учета отраженного излучения.

Электронная библиотека http://tgv.khstu.ru/

Конвективный теплообмен между воздухом и поверхностью A_1 составляет

$$Q_к = \int_{A_1} \alpha_{к.\,dA_1} (t_в - \tau_{dA_1})\, dA_1, \tag{11.9}$$

где $\alpha_{к.dA_1}$ — локальное значение коэффициента теплообмена конвекцией на элементе поверхности dA_1.

Уравнение теплового баланса для поверхности площадью A_1 после подстановок на основании выражений (11.6) — (11.9) имеет вид

$$\int_{A_1} \frac{\tau_{dA_1} - t_н}{R'_{0\,dA_1}} dA_1 = \sum_i \iint_{A_i A_1} \varphi_{dA_i - dA_1}\, \varepsilon_{пр} C_0 \left[\left(\frac{T_{dA_i}}{100}\right)^4 - \left(\frac{T_{dA_1}}{100}\right)^4\right] \times$$

$$\times dA_i\, dA_1 + \int_{A_1} \alpha_{к.\,dA_1} (t_в - \tau_{dA_1})\, dA_1. \tag{11.10}$$

Уравнение (11.10) составлено с использованием известного принципа распределительности лучистых потоков, согласно которому лучистый поток от первого тела на второе арифметически складывается из лучистых потоков между отдельными частями этих тел. Здесь также по другому принципу расчета лучистого теплообмена — замыкаемости лучистых потоков — может быть принято, что сумма коэффициентов облученности

$$\sum_{i=1}^{N} \varphi_{п-i} = 1. \tag{11.11}$$

Выражение (11.11) справедливо для случая, когда излучающая поверхность $A_п$ полностью окружена другими поверхностями. Отметим, что в помещении, где происходит теплообмен одной плоской поверхности панели со всеми остальными поверхностями, суммарный коэффициент облученности равняется единице.

В помещении обычной конструкции имеются поверхности пяти видов, участвующие в теплообмене (кроме отопительной панели): наружные стены, окна, пол, потолок, внутренние стены. Для определения температуры всех поверхностей в помещении потребуется составить столько уравнений теплового баланса, сколько ограждений участвует в теплообмене. Сюда еще необходимо добавить урав-

Электронная библиотека http://tgv.khstu.ru/

нение конвективного теплообмена между отопительной панелью и воздухом помещения.

Все эти уравнения теплового баланса для ограждений потребуется еще дополнить, если имеется приточная вентиляция, уравнением теплового баланса для приточного вентиляционного воздуха при отличии его температуры от температуры внутреннего воздуха.

Напишем уравнение теплового баланса для приточного вентиляционного воздуха (температура притока $t_{пр} < t_{в}$), поступающего в помещение в количестве $G_{пр}$, кг/с:

$$G_{пр} c (t_{в} - t_{пр}) = \sum_{i=1}^{N} \int_{A_i} \alpha_{к.\, dA_i} (\tau_{dA_i} - t_{пр})\, dA_i. \qquad (11.12)$$

В уравнении (11.12) теплозатраты на нагревание приточного воздуха (левая часть уравнения) равняются суммарной теплоподаче в воздух при конвективном теплообмене с N поверхностями ограждений и отопительной панели помещения (правая часть).

Решение уравнений теплового баланса, подобных уравнению (11.10), связано с вычислением коэффициента облученности φ. Точного определения коэффициента облученности, связанного с интегрированием по площади поверхности каждого ограждения, в практических расчетах для плоских поверхностей в помещении не проводят. В таких расчетах ограничиваются определением среднего по площади значения коэффициента облученности. При этом упрощении **система интегральных уравнений** теплового баланса, состоящая из уравнений типа (11.10), сводится к системе алгебраических уравнений.

Система алгебраических уравнений теплового баланса для каждой поверхности может быть ограничена уравнениями для трех характерных групп поверхностей в помещении — теплотеряющих (наружные ограждения), адиабатных (внутренние ограждения) и теплоподающих (отопительные панели).

Для дальнейшего упрощения практических расчетов систему алгебраических уравнений можно привести к **одному уравнению,** определяющему теплообмен между нагретой поверхностью, остальными поверхностями и воздухом помещения, с добавлением, правда, еще одного уравнения теплового баланса для воздуха.

Электронная библиотека http://tgv.khstu.ru/

Приведем два способа замены системы уравнений теплообмена в помещении одним уравнением: по первому способу лучистый теплообмен в помещении представлен как теплообмен излучением между отопительной панелью и осредненной наружной поверхностью, считая внутренние поверхности отражающими; по второму способу рассматривают лучистый теплообмен в помещении между отопительной панелью и одной условной поверхностью, имеющей осредненную радиационную температуру.

По **первому способу** уравнение теплового баланса отопительной панели записывается в виде

$$k'_0 A_н (\tau_{н.о} - t_н) = \alpha_л A_п (\tau_п - \tau_{н.о}) + \alpha_к A_п (\tau_п - t_в), \quad (11.13)$$

где в левой части, как и в выражении (11.7), учитывается тепловой поток от внутренней поверхности наружных ограждений (стен, окон) общей площадью $A_н$ со средним неполным коэффициентом теплопередачи k'_0 и средней температурой $\tau_{н.о}$ к наружному воздуху, имеющему температуру $t_н$. Этот тепловой поток есть теплопотери помещения через наружные ограждения.

В правой части уравнения (11.13) первое слагаемое выражает лучистый, второе — конвективный теплообмен отопительной панели, имеющей площадь $A_п$ при температуре поверхности $\tau_п$, соответственно с наружными ограждениями (средняя температура поверхности $\tau_{н.о}$) и с воздухом (температура $t_в$) помещения.

Коэффициент теплообмена излучением $\alpha_л$, Вт/(м²·К), определяют по несколько видоизмененной формуле (2.6)

$$\alpha_л = \varepsilon_{пр} C_0 \frac{\left[\left(\frac{T_п}{100}\right)^4 - \left(\frac{T_{н.о}}{100}\right)^4\right]}{\tau_п - \tau_{н.о}} \Phi = C_{пр} b \Phi, \quad (11.14)$$

где $\varepsilon_{пр}$ — приведенный коэффициент относительного излучения; для строительных материалов изменяется в небольших пределах и может быть принят равным 0,90—0,91; $C_0 = 5{,}78$ Вт/(м²·К⁴) — коэффициент излучения абсолютно черного тела; $C_{пр} = \varepsilon_{пр} C_0$ — приведенный коэффициент излучения; для строительных материалов может быть принят равным 5,1—5,2 Вт/(м²·К⁴); b — температурный коэффициент; выражение для его определения ясно из формулы (11.14); приближенно значение коэффициента b, К³, может быть найдено по формуле

$$b = 0{,}81 + 0{,}005 (\tau_п + \tau_{н.о}); \quad (11.15)$$

Ф — коэффициент полной облученности наружных ограждений отопительной панелью, вычисляемый по формуле

$$\Phi = \varphi_{л\text{-}н} + \varphi'_{п\text{-}н} = \frac{A_н/A_п - \varphi^2_{п\text{-}н}}{A_н/A_п - 2\varphi_{п\text{-}н} + 1}, \quad (11.16)$$

Электронная библиотека http://tgv.khstu.ru/

с учетом коэффициентов как прямой облученности отопительной панелью наружных ограждений ($\varphi_{п-н}$), так и косвенной облученности панелью тех же наружных ограждений ($\varphi'_{п-н}$) путем отражения от поверхности внутренних ограждений.

В формулу (11.13) входит также коэффициент конвективного теплообмена $\alpha_к$, Вт/(м²·К), вычисляемый по формуле (2.8). Для предварительных расчетов его значение принимают: для потолочной отопительной панели 2,3—2,9; для стеновой панели 5,0—7,0; для напольной панели 4,1—5,5 Вт/(м²·К).

По **второму способу** теплообмен отопительной панели площадью $A_п$ с воздухом и одной условной поверхностью площадью $(A_о—A_п)$ всех ограждений помещения определяется уравнением теплового баланса, сходным с уравнением (11.13):

$$k'_э(A_о—A_п)(t'_R—t_н)=\alpha_л A_п(\tau_п—t'_R)+\alpha_к A_п(\tau_п—t_в), \qquad (11.17)$$

где $k'_э$ — неполный эквивалентный коэффициент теплопередачи, Вт/(м²·К) (без учета сопротивления теплообмену на внутренней поверхности ограждений, которое при лучистом отоплении ориентировочно может быть принято $R_в=0{,}107$ К·м²/Вт), вычисляемый по формуле

$$k'_э=\frac{1}{(1/k_э)—R_в}. \qquad (11.18)$$

В формулу (11.18) входит эквивалентный коэффициент теплопередачи $k_э$ условного ограждения, найденный в предположении, что вся площадь внутренней поверхности помещения $A_о$ составлена из двух частей: из отопительной панели площадью $A_п$ и остальной площади $(A_о—A_п)$, не обогреваемой теплоносителем.

Эквивалентный коэффициент теплопередачи условного ограждения, не обогреваемого теплоносителем, можно найти по формуле

$$k_э=\left[\frac{(kA)_{н.с}+(kA)_{ок}}{A_о—A_п}\right](1+\beta)+\frac{n_1(kA)_{в.с}+n_2(kA)_{пл}+n_3(kA)_{пт}}{A_о—A_п}. \qquad (11\ 19)$$

Формула (11.19) написана в наиболее полном виде, когда в помещении имеются теплотеряющие не только наружные стены и окна, но и внутренние стены, пол и потолок (их коэффициенты теплопередачи k и площади A соответственно помечены в формуле индексами «н. с», «ок» и т. д.). В фор-

Электронная библиотека http://tgv.khstu.ru/

муле β — коэффициент учета дополнительных теплопотерь через вертикальные наружные ограждения (см. § 3.3). n_1, n_2, n_3 — коэффициенты учета уменьшения температурного напора в ограждении по сравнению с расчетной разностью температуры $(t_в - t_н)$.

Левая часть уравнения (11.17), как и уравнения (11.13), выражает тепловой поток от внутренней поверхности условного ограждения площадью $(A_о - A_п)$ к наружному воздуху, т. е. теплопотери помещения через наружные ограждения.

В правой части управления (11.17) первое слагаемое определяет полный лучистый поток от греющей панели на поверхность условного ограждения, имеющего температуру t'_R. При замене реальных ограждений одним условным ограждением используется выражение (11.11) — коэффициент облученности панелью этого условного ограждения равен единице.

Второе слагаемое учитывает конвективный теплообмен отопительной панели с воздухом помещения или, что то же, конвективный теплообмен воздуха помещения с поверхностью условного ограждения, так как

$$\alpha_к A_п (\tau_п - t_в) = \alpha'_к (A_о - A_п)(t_в - t'_R). \qquad (11.20)$$

При использовании этого равенства возникают затруднения с определением коэффициента конвективного теплообмена $\alpha'_к$ для поверхности условного ограждения, тогда как коэффициент $\alpha_к$ находится сравнительно просто в зависимости от положения панели в помещении и температуры ее поверхности.

По уравнению (11.17) при известных площади, положении в помещении и температуре поверхности отопительной панели может быть установлена средняя радиационная температура поверхности условного ограждения, т. е. всех ограждений помещения, не обогреваемых теплоносителем:

$$t'_R = \frac{[\alpha_л \tau_п + \alpha_к (\tau_п - t_в) - k'_э t_н] A_п + k'_э t_н A_о}{(\alpha_л - k'_э) A_п + k'_э A_о}. \qquad (11.21)$$

Эта температура на практике получается несколько ниже температуры воздуха в помещении (в среднем примерно на 1 °С). Она используется для уточнения теплопотерь помещения.

Электронная библиотека http://tgv.khstu.ru/

При расчетах по двум изложенным способам процессы теплообмена между отопительной панелью и остальными поверхностями помещения заменяются взаимодействием между двумя поверхностями — панелью и наружным (первый способ) или условным (второй способ) ограждением. Тогда вместо вычисления коэффициентов облученности панелью всех остальных поверхностей ограничиваются в первом способе определением одного коэффициента полной облученности, а во втором, если панель одна, можно вообще обойтись без их определения.

§ 11.4. Конструкция отопительных панелей

Отопительная панель, как уже известно, представляет собой элемент, в котором имеются нагревательные каналы для теплоносителя змеевиковой или колончатой формы (рис. 11.2). При змеевиковой форме (рис. 11.2, *а*) обеспечивается последовательное движение всей массы теплоносителя по каналам, что способствует удалению из них воздуха. Поэтому змеевиковая форма греющих труб используется преимущественно при горизонтально располагаемых панелях.

При колончатой форме нагревательных элементов (рис. 11.2, *б*), применяемой в вертикальных панелях, поток теплоносителя делится на части в зависимости от числа параллельно расположенных греющих труб, присоединенных к колонкам. Достоинство панелей с нагревательными элементами колончатой формы — незначительные потери давления при протекании теплоносителя.

Нагревательные элементы в вертикальных панелях могут быть устроены и без колонок. При этом параллельные греющие трубы прокладываются через панели насквозь и соединяются подводками либо по проточной, либо по бифилярной схемам. При бифилярной схеме предусматривают движение теплоносителя по двум из четырех, например параллельных, труб слева направо, а по двум другим трубам — наоборот, справа налево.

В системах панельно-лучистого отопления зданий встречаются отопительные панели двух видов:

1) **совмещенные**, представляющие одно целое с ограждающими конструкциями здания, когда каналы для теплоносителя устраивают в наружных стенах, несущих пли-

Электронная библиотека http://tgv.khstu.ru/

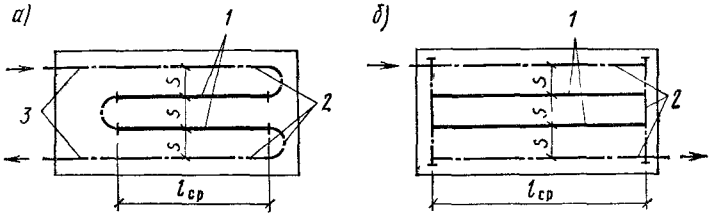

Рис. 11.2. Схемы нагревательных элементов отопительной панели змеевиковой (*а*) и регистровой (*б*) формы
1, 2, 3 — соответственно средние, крайние и одиночные трубы

тах перекрытий и лестничных площадок при их изготовлении (ранее они устраивались также во внутренних панельных стенах);

2) **подвесные и приставные,** изготовленные отдельно и смонтированные рядом, в специальных нишах строительных конструкций или под ними.

Совмещенные панели наиболее полно отвечают задачам комплексной механизации строительства зданий — система отопления монтируется в процессе сборки здания. При использовании подвесных и приставных панелей степень индустриальности монтажа зависит от конструкции панелей. Так, монтаж потолочных или напольных панелей требует бóльших затрат ручного труда, чем монтаж стеновых панелей.

В подвесных **металлических отопительных панелях** каналами змеевиковой формы являются стальные трубы $D_у 20$, прижатые к тонкостенному алюминиевому или стальному экрану. При наличии воздушного зазора между греющей трубой и экраном теплоотдача панелей заметно уменьшается. Эти четыре — шесть греющих труб размещаются по площади панели с шагом s=100—200 мм.

Экран может быть плоским или волнообразной формы. Плоский экран (рис. 11.3, *а*) проще в изготовлении, но не исключает взаимного облучения труб, уменьшающего теплоотдачу излучением. Коэффициент облученности для отопительной панели с плоским экраном составляет 0,57.

При экране волнообразной формы (рис. 11.3, *б*) коэффициент облученности возрастает до 0,63. Следовательно, в этом случае большая доля теплоотдачи панели передается в рабочую зону, а конвективная теплоотдача в верхнюю зону помещения значительно уменьшается (на 20—25%).

Электронная библиотека http://tgv.khstu.ru/

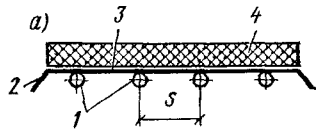

Рис. 11.3. Подвесная металлическая отопительная панель с плоским экраном (*а*) и с экраном волнообразной формы (*б*)

1 — греющие трубы, *2* — козырек, *3* — плоский экран, *4* — тепловая изоляция; *5* — волнообразный экран

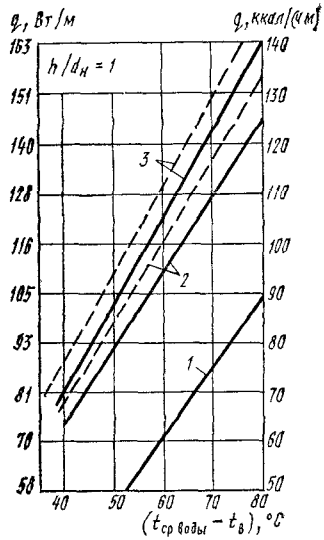

Рис. 11.4. Теплопередача 1 м одиночной трубы $D_у$15—20 мм в воздухе и в отопительной панели с односторонней (сплошные линии) и двусторонней (пунктирные линии) теплоотдачей

1 — труба в воздухе, *2* и *3* — труба в бетоне [соответственно при λ=1,05 и 1,28 Вт/(м °С)]

Металлические отопительные панели обогреваются высокотемпературным теплоносителем — паром высокого давления или водой с параметрами 150—70 °С. При воде при средней разности температуры $\Delta t_{ср}=t_{ср}-t_в=0{,}5(150+70)-15=95$ °С поверхностная плотность общей теплоотдачи металлических панелей составляет 800 Вт/м².

Для изготовления более распространенных **бетонных отопительных панелей** используют тяжелый бетон, обладающий сравнительно высокой теплопроводностью [например, 1,5 Вт/(м·°С) при 0 °С и плотности в сухом состоянии 2400 кг/м³] и коэффициентом линейного расширения $1{,}15\times10^{-5}$ м/(м·°С).

Нагревательные элементы чаще всего устраивают из стальных труб, коэффициент линейного расширения которых $(1{,}2\cdot10^{-5})$ весьма близок к коэффициенту расширения бетона. Разница между коэффициентами теплового расши-

Электронная библиотека http://tgv.khstu.ru/

рения этих материалов компенсируется в отопительной панели тем, что температура стали (с меньшим значением коэффициента линейного расширения) выше, чем температура бетона.

Заделка труб в бетон дает существенный теплотехнический эффект — теплопередача труб увеличивается в среднем на 60% по сравнению с открыто проложенными. Это явление закономерно: теплопередача нагретой трубы, изолированной снаружи теплопроводным материалом, возрастает с увеличением толщины слоя покрытия. Возрастание происходит до некоторого «критического» значения внешнего диаметра $d_{кр}$ изолированной трубы, которое приблизительно можно определить по формуле

$$d_{кр}=2\lambda/\alpha_{н}. \qquad (11.22)$$

Для бетонного цилиндра вокруг трубы при теплопроводности бетона $\lambda=1{,}28$ Вт/(м·°С) и коэффициенте наружного теплообмена $\alpha_{н}=11\,6$ Вт/(м²·°С) «критический» диаметр равен ~220 мм. Возрастание теплопередачи обетонированной трубы объясняется увеличением площади внешней теплоотдающей поверхности, которая с ростом диаметра развивается быстрее, чем растет термическое сопротивление слоя бетона.

На рис. 11.4 показано изменение теплопередачи 1 м одиночной трубы диаметром 15—20 мм: линия *1* характеризует теплопередачу трубы в воздухе, линии *2* и *3* — той же трубы в бетоне при различной его теплопроводности. Как видно, теплопередача трубы возрастает с увеличением теплопроводности бетона, в который она заделана; двусторонняя теплоотдача (пунктирные линии) выше односторонней. Можно сделать вывод о целесообразности заделки нагревательных элементов в тяжелый бетон.

Теплопередача не одной, а ряда труб в бетонной панели, приведенная к 1 м, несколько ниже теплопередачи одиночной трубы в бетоне и зависит от расстояния между трубами (шага труб) и их положения в панели (см. рис. 11.2).

Благодаря повышению теплопередачи стальных труб, находящихся в бетоне, можно сократить расход металла на отопительные приборы. При применении бетонных отопительных панелей со стальными трубами вместо чугунных радиаторов расход металла на отопительные приборы снижается примерно в 2 раза.

Электронная библиотека http://tgv.khstu.ru/

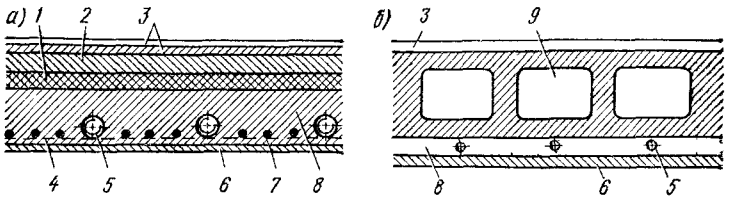

Рис. 11.5. Совмещенные потолочные бетонные отопительные панели с расположением греющих труб в несущем бетонном слое (*а*) и под несущими пустотелыми блоками (*б*)

1 — теплоизоляция, *2* — стяжка, *3* — покрытие, *4* — сетка, *5* — греющая труба, *6* — штукатурка, *7* — арматура, *8* — бетонный слой, *9* — пустотелый блок

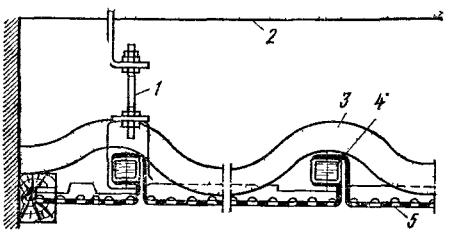

Рис. 11.6. Подвесная потолочная отопительная панель

1 — подвеска, *2* — перекрытие, *3* — тепловая изоляция, *4* — труба для теплоносителя, *5* — перфорированный металлический лист

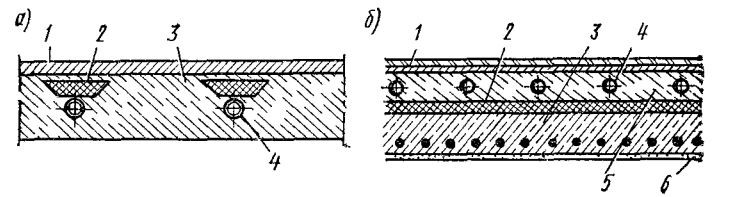

Рис. 11.7. Напольные бетонные отопительные панели с расположением греющих труб в несущей части перекрытия (*а*) и над ней (*б*)

1 — покрытие пола, *2* — теплоизоляционный материал, *3* — железобетонное несущее перекрытие, *4* — греющая труба, *5* — бетонная панель, *6* — штукатурка

Стальные трубы в бетонных панелях имеют срок амортизации, значительно превышающий срок службы открыто проложенных труб. Сравнительная долговечность обетонированных стальных труб объясняется незначительной коррозией их внешней поверхности при отсутствии контакта с воздухом

Все же следует отметить, что поверхностная плотность теплоотдачи отопительных панелей меньше плотности теплоотдачи металлических отопительных приборов, и это приводит к значительному увеличению длины греющих

Электронная библиотека http://tgv.khstu.ru/

труб. Для сокращения расхода стальных труб возможна заделка в бетон чугунных элементов, пластмассовых и стеклянных труб или даже создание пустот в плотном бетоне, образующих систему каналов для протекания теплоносителя.

§ 11.5. Описание бетонных отопительных панелей

Потолочные отопительные панели могут быть совмещенными и подвесными. Совмещенные панели изображены на рис. 11.5, где в одной из конструкций греющие трубы включены в бетон несущей части междуэтажного перекрытия (рис. 11.5, *а*). Это делается таким образом, чтобы под ними было бы достаточно места для размещения арматуры, необходимой для увеличения несущей способности и теплопроводности бетона. Также для усиления теплопередачи вниз в верхней части перекрытия помещают теплоизоляционный слой.

В качестве теплоизоляции применяют твердые малотеплопроводные материалы, способные выдерживать давление со стороны пола. Пол устраивают из рулонных материалов по цементной стяжке или деревянным.

На рис. 11.5, *б* показана другая конструкция совмещенной потолочной панели, расположенной в перекрытии из пустотелых блоков. Пустоты выполняют роль теплоизоляции.

Совмещенные потолочные отопительные панели применяют при условии, что температура теплоносителя поддерживается на невысоком уровне (до 55—60 °С). При температуре теплоносителя выше 60 °С (60—90 °С) отопительные панели приведенных конструкций размещают в помещениях длительного пребывания людей не по всей площади, а только по периметру потолка или по контуру здания, вдоль его наружных стен.

Известен недостаток совмещенных отопительных панелей — большая тепловая инерция и связанная с ней трудность регулирования теплоотдачи, так как изменение температуры теплоносителя проявляется на греющей поверхности только по истечении значительного промежутка времени.

Потолочное панельно-лучистое отопление может быть устроено с малой тепловой инерцией. Для этого греющие

Электронная библиотека http://tgv.khstu.ru/

трубы располагают в нижнем штукатурном слое или применяют металлические листы, соединенные с трубами для развития теплоотдающей поверхности.

Подобная подвесная потолочная отопительная панель приведена на рис. 11.6. Тонкие перфорированные стальные или алюминиевые листы прикрепляются к греющим трубам, со стороны перекрытия покрываются звуко- и теплоизоляционным слоем. При такой конструкции подвесных отопительных панелей помимо обеспечения передачи основного теплового потока через потолок и звукоизоляции помещений появляется возможность автоматизировать действие системы отопления, повышать температуру теплоносителя, не достигая предельно допустимых значений для их поверхности.

Пространство над подвесными отопительными панелями может использоваться для прокладки труб и кабелей, размещения светильников и воздуховодов.

Подвесные нагреваемые панели можно ремонтировать в процессе эксплуатации системы отопления без вскрытия основных строительных конструкций. Однако они не лишены недостатков: междуэтажные перекрытия усложняются по конструкции, возрастают их масса и толщина, а следовательно, высота и стоимость здания. Монтаж соответствующей системы отопления может проводиться только после возведения основных строительных конструкций, а при такой последовательности работ увеличиваются сроки строительства здания.

Напольные отопительные панели могут быть совмещенными и приставными (рис. 11.7). Конструкция совмещенной напольной панели показана на рис. 11.7, *а*. Греющие трубы заделаны, как и в потолочной совмещенной панели, в бетон несущей части (монолитной или сборной) междуэтажного перекрытия при ее изготовлении. Над трубами со стороны пола помещены теплоизоляционные вкладыши, способствующие равномерному распределению температуры по поверхности пола. Такая конструкция напольных панелей распространена в Корее.

Данную конструкцию отопительной панели следует отнести скорее к напольно-потолочной, так как часть теплового потока от труб направляется вниз через потолок. В тех случаях, когда необходимо бóльшую часть теплового потока передавать через пол (например, при устройстве

Электронная библиотека http://tgv.khstu.ru/

теплого пола в вестибюле здания), под перекрытием подвешивают дополнительный слой тепловой изоляции.

Приставные бетонные отопительные панели (рис. 11.7, *б*) изготовляют в заводских условиях отдельно от несущей части перекрытия в виде секций ограниченных размеров (для удобства транспортирования и монтажа). Эти секции укладывают и соединяют одну с другой на строительстве. Возможна также укладка поверх несущей части перекрытий змеевиков, которые после сварки и гидравлического испытания покрывают на месте слоем бетона. При втором способе производства работ увеличивается срок строительства здания, что является его недостатком.

Стеновые отопительные панели. Горизонтальные потолочные и напольные отопительные панели, сложные в монтаже, устраивают сравнительно редко. Бóльшее распространение имеют стеновые отопительные панели двух типов — плинтусные и подоконные. Раньше, как уже сказано, широко применяли панели совмещенного вида: перегородочные панели, частично заменяющие внутренние стены, и стеновые панели, встроенные в наружные стены зданий.

Перегородочные отопительные панели, устанавливавшиеся впритык к наружным стенам, включали в себя помимо греющих труб отопительные стояки, благодаря чему открыто расположенные трубы в помещениях отсутствовали. Теплоотдача этих панелей была двусторонней и целиком «полезной», тепловая изоляция не требовалась.

Недостатками перегородочных отопительных панелей являлись одинаковая теплоотдача в два смежных помещения обычно с различными теплопотерями и невозможность регулирования теплопоступления в каждое помещение. Кроме того, существовали ограничения в расстановке предметов в помещениях, появлялись щели в местах примыкания панелей к внутренним стенам.

Совмещенные стеновые отопительные панели бетонируют вместе с отопительными стояками в заводских условиях одновременно с изготовлением наружных стен для полносборных зданий. Стояк, заделанный в бетон, служит частью нагревательной поверхности отопительной панели.

Для примера на рис. 11.8 показано расположение греющих труб, выполненных по бифилярной схеме, в трехслойной наружной стене, предназначенной для верхнего этажа

Электронная библиотека http://tgv.khstu.ru/

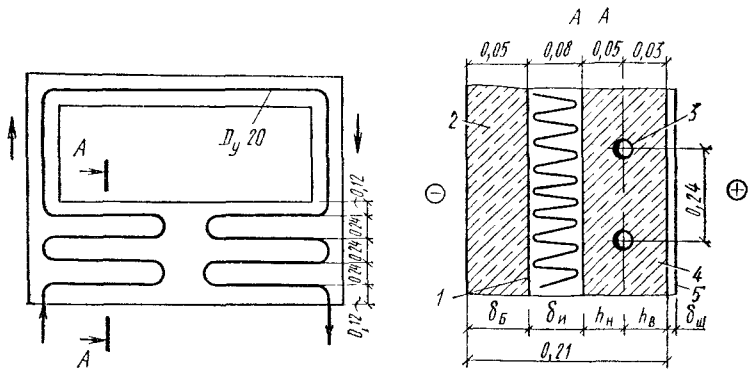

Рис. 11.8. Бифилярный стояк системы водяного отопления и греющие элементы змеевиковой формы, совмещенные с трехслойной наружной стеной

1 — тепловая изоляция; *2* — наружный железобетонный слой; *3* — греющая труба; *4* — внутренний железобетонный слой; *5* — штукатурка

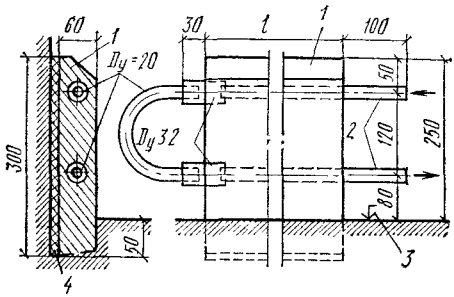

Рис. 11.9. Плинтусная приставная бетонная отопительная панель

1 — бетон; *2* — концы греющих труб для присоединения к стояку; *3* — поверхность чистого пола; *4* — тепловая изоляция

здания. Греющие трубы размещены во внутреннем бетонном слое с некоторым смещением к внутренней поверхности стены ($h_в$=30 мм при толщине внутреннего бетонного слоя 80 мм).

Бетонные отопительные панели, совмещенные с наружными стенами, стали применять в массовом строительстве зданий ограниченно для сокращения теплопотерь, бесполезных для отопления помещений.

Плинтусные отопительные панели, заменяющие собой плинтус, распространены в странах с умеренным климатом (США, Англия) для отопления магазинов, выставочных залов и других подобных помещений. Там применяются чугунные или стальные плинтусные панели, представляющие собой большей частью пустотелые элементы с глад-

Электронная библиотека http://tgv.khstu.ru/

кой поверхностью глубиной 45—60 мм и высотой 150—300 мм, по форме напоминающие обычные деревянные плинтусы. Панели с двусторонней теплоотдачей такого типа снабжены с тыльной стороны вертикальными ребрами, и теплоотдача их возрастает на 60% по сравнению с плоскими плинтусными панелями с односторонней теплоотдачей.

В нашей стране плинтусные панели используют для отопления детских учреждений, причем применяют панели из бетона марки 150—200 с односторонней теплоотдачей (рис. 11.9). Для уменьшения бесполезных теплопотерь между плинтусной панелью и наружной стеной помещают слой тепловой изоляции.

При использовании для отопления плинтусных панелей уменьшается вертикальный градиент температуры воздуха. Установлено, что разность температуры воздуха под потолком и у пола помещений, обогреваемых плинтусными панелями, составляет не более 1 °С, тогда как при радиаторном отоплении она доходит до 3 °С. Кроме того, наблюдается относительное повышение температуры воздуха у пола и температуры поверхности пола и стен в нижней зоне помещений, что особенно важно для детских комнат.

При отоплении помещений плинтусными панелями температуру воздуха по условиям теплового комфорта принимают равной расчетной температуре воздуха для конвективного отопления.

Подоконные бетонные отопительные панели устанавливают в тех местах под окнами помещений, где принято размещать металлические отопительные приборы. Панели могут быть приставными или вставленными в выемку (нишу) в стене. Такие панели бывают с односторонней (рис. 11.10, *а*) и двусторонней (рис. 11.10, *б*) теплоотдачей с их поверхности. Соединяются они с трубами системы отопления как обычные отопительные приборы.

При использовании панели с двусторонней теплоотдачей увеличивается теплопередача в помещение в расчете на единицу длины панели, а также сокращаются бесполезные теплопотери наружу по сравнению с панелью, вплотную приставленной к стене. Однако такая панель с труднодоступным конвективным каналом уступает в санитарно-гигиеническом отношении панели с односторонней теплоотдачей.

Электронная библиотека http://tgv.khstu.ru/

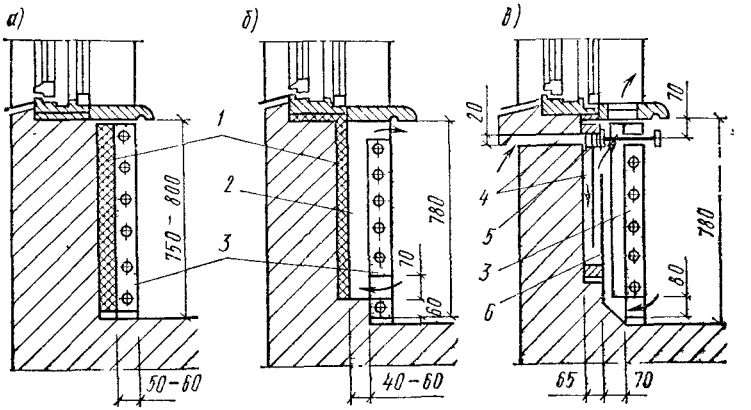

Рис. 11.10. Подоконные приставные бетонные отопительные панели с односторонней теплоотдачей (*а*), двусторонней теплоотдачей (*б*) и с двусторонней теплоотдачей и каналом для подачи подогретого наружного воздуха (*в*)

1 — тепловая изоляция; *2* — конвективный канал; *3* — отопительная панель; *4* — приточный канал; *5* — запорный клапан; *6* — стальной экран

На рис. 11.10, *в* показана конструкция, сочетающая отопительную панель с каналом для подачи подогретого свежего воздуха в отапливаемое помещение. Тепловая изоляция здесь отсутствует, а часть теплового потока, уходящего наружу, используется для нагревания приточного воздуха. Такую конструкцию панелей можно использовать в малоэтажных зданиях. В многоэтажных зданиях их применять не рекомендуется из-за неравномерности и неустойчивости движения воздуха в приточных каналах на различных этажах.

Низкие подоконные панели, поверхность которых из-за этого может иметь относительно более высокую температуру, получаются меньших размеров, чем панели других типов. При использовании подоконных панелей сокращается площадь охлажденной поверхности наружных стен, уменьшаются радиационное охлаждение людей и зона распространения холодного воздуха от окон, не затрудняется, как при перегородочных панелях, расстановка предметов в помещениях.

Электронная библиотека http://tgv.khstu.ru/

§ 11.6. Теплоносители и схемы системы панельного отопления

Теплоносителем в системах панельного отопления является преимущественно **горячая вода.** При использовании воды вследствие относительно невысокой температуры разогревание бетонных панелей происходит медленно и не сопровождается возникновением трещин, что бывает при быстром нагревании панелей **паром.** Применение воды позволяет проводить центральное качественное регулирование систем. При циркуляции воды по стальным трубам панелей внутренняя коррозия их происходит менее интенсивно, чем при использовании пара. Вследствие значительной тепловой инерции бетонных панелей важное свойство пара — быстро нагревать помещения — в известной степени утрачивает свое значение. По этим причинам пар редко применяют в центральных системах панельного отопления.

Использование **нагретого воздуха** как теплоносителя в системах панельного отопления позволяет экономить металл, не создает опасности течей. Однако для применения воздуха в системах панельного отопления необходимо устраивать каналы значительных размеров как во внутренних стенах, так и в перекрытиях, и поддерживать их плотность при эксплуатации зданий. Следует отметить, что в качестве таких каналов могут быть использованы пустоты блочных и панельных внутренних стен, а также железобетонных настилов.

Известной попыткой в этом направлении было осуществление в 1951 г. системы потолочно-лучистого отопления трехэтажного жилого дома в Севастополе, заброшенной впоследствии из-за дефектов монтажа и замененной системой водяного отопления. Более удачными оказались подобные системы, сданные в эксплуатацию в 1959—1960 гг. в Харькове. Но и их пришлось заменить вследствие нарушения плотности сопряжения каналов.

Нагревание панелей **электричеством** может быть осуществлено без больших затруднений (см. гл. 14). В частности, могут применяться греющие панели из токопроводящей листовой резины и слоистого пластика при температуре поверхности, не превышающей 40 °С; панели из

Электронная библиотека http://tgv.khstu.ru/

электропроводного бетона с заданными электрическими свойствами (так называемый «Бетэл»).

Расчетная температура воды, обогревающей стеновые бетонные панели, обычно не выходит за пределы 100 °С. Расчеты и исследования показывают, что средняя температура поверхности бетонных панелей ниже температуры теплоносителя на 20—40 °С, поэтому при температуре воды 130 °С температура поверхности низких стеновых панелей могла бы быть на допустимом уровне 90—95 °С. Однако опасность дегидратации и снижения прочности бетона заставляет ограничивать предельную температуру воды 100 °С. И только при применении подвесных металлических панелей расчетная температура греющей воды может превышать 100 °С.

Если в системе отопления зданий используют только бетонные отопительные панели, то расчетную температуру горячей воды принимают при стеновых панелях 95 °С, при напольно-потолочных панелях — ниже 95 °С в зависимости от конструкции, размещения и размеров панелей, которые влияют на допустимую температуру их поверхности.

Если бетонные отопительные панели устанавливают только в отдельных помещениях, то расчетную температуру горячей воды выбирают по условиям отопления основных помещений зданий, а бетонные панели присоединяют, если это возможно, к подающей магистрали (обычно стеновые панели) или к обратной магистрали (обычно напольно-потолочные панели) системы отопления. Например, для нагревания напольных панелей в вестибюле здания используют обратную воду основной системы отопления с расчетной температурой 70 °С. При этом понижение температуры воды в панелях определяют в зависимости от тепловой мощности панелей и количества воды, пропускаемой через них (чаще всех понижение температуры выдерживают в пределах 5—10 °С).

Системы водяного отопления с бетонными панелями выполняют однотрубными и двухтрубными с нижней и верхней разводкой магистралей.

При напольно-потолочных бетонных отопительных панелях используются двухтрубные системы. На рис. 11.11 изображена часть двухтрубного стояка с «опрокинутой» циркуляцией воды: обратная вода поднимается наверх.

Электронная библиотека http://tgv.khstu.ru/

Рис. 11.11. Схема стояка двухтрубной системы панельного отопления с «опрокинутой» циркуляцией воды

1 — обратный стояк; *2* — напольно-потолочные отопительные панели, *3* — запорно-регулирующие краны, *4* — спускной кран, *5* — подающий стояк

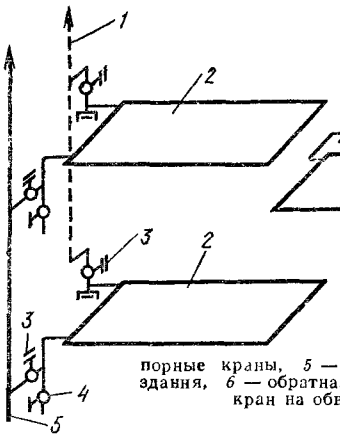

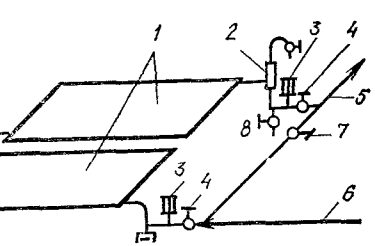

Рис. 11.12. Схема присоединение напольных панелей к обратной магистрали системы водяного отопления

1 — напольные отопительные панели; *2* — воздухосборник, *3* — термометры, *4* — запорные краны, *5* — обратная магистраль в тепловой пункт здания, *6* — обратная магистраль системы, *7* — регулирующий кран на обводной трубе, *8* — спускной кран

Движение воды снизу вверх способствует уносу воздуха из труб горизонтальных панелей. Каждую отопительную панель независимо от другой можно отключать, опорожнять, ремонтировать и промывать.

По такой схеме была выполнена система отопления пятиэтажного лечебного здания в Москве. Напольно-потолочные панели с змеевиками $D_у 20$ были забетонированы поверх сборных пустотных железобетонных настилов перекрытий. Система успешно работала в течение нескольких отопительных сезонов, пока не была засорена в результате нарушения правил ее эксплуатации.

На рис. 11.12 показано присоединение двух напольных бетонных панелей к обратной магистрали основной системы водяного отопления. Количество воды в напольных панелях регулируется при помощи крана на обводной трубе, а степень ее охлаждения контролируется термометрами. Воздух удаляется через воздухосборник, установленный в повышенной части обратной трубы панелей перед ее опуском к основной обратной магистрали. Панели могут отключаться и опорожняться через спускной кран.

По такой схеме присоединения панелей к основной системе водяного отопления устроено напольное панельное

Электронная библиотека http://tgv.khstu.ru/

отопление главных входных вестибюлей основных зданий МГУ в Москве.

Плинтусные бетонные отопительные панели чаще всего соединяют по несколько штук в горизонтальные цепочки, в которых вода движется по бифилярной схеме. Цепочки плинтусных панелей присоединяют к двухтрубным стоякам.

При вертикальных подоконных бетонных отопительных панелях стояки системы водяного отопления преимущественно делают однотрубными. Схемы стояков не отличаются от рассмотренных в гл. 6. При совместном использовании в системе отопления бетонных панелей и металлических отопительных приборов последние снабжают кранами повышенного сопротивления, так как потери давления в греющих змеевиках панелей заметно превышают потери давления в приборах.

§ 11.7. Площадь и температура поверхности отопительных панелей

Площадь нагревательной поверхности отопительной панели связана прежде всего с ее тепловой мощностью. Расчеты панельных систем отопления показывают, что доля нагреваемой части общей площади ограждений помещения может изменяться в различных условиях от 8 до 20%. При равной тепловой мощности площадь панели зависит от температуры ее поверхности.

Температура поверхности бетонной отопительной панели $\tau_п$ определяется диаметром d и шагом s греющих труб, глубиной h их заложения и теплопроводностью λ бетона, температурой теплоносителя $t_т$ и помещения $t_п$, т. е.

$$\tau_п = f(d,\ s,\ h,\ \lambda,\ t_т,\ t_п). \qquad (11.23)$$

Среди этих шести переменных четыре изменяются в сравнительно узких пределах или могут быть заранее определены: диаметр труб (обычно $D_у$ равен 15 и 20 мм), теплопроводность бетона, температура теплоносителя и помещения. Следовательно, для каждого диаметра труб при определенных λ, $t_т$ и $t_п$ температура поверхности отопительной панели зависит от шага труб s и глубины h заложения их в бетон. Эта зависимость видна на рис. 4.15, где дается термическое сопротивление массива бетона ($\lambda_м = 1{,}0$) при различных s и h.

Электронная библиотека http://tgv.khstu.ru/

В массиве бетона вокруг каждой греющей трубы образуется температурное поле, на котором можно построить линии, показывающие направление тепловых потоков.

В простейшем случае для отдельно расположенной тонкой панели с симметрично заделанными греющими трубами допустимо предположение о линейном (одномерном) распространении тепловых потоков от труб к середине расстояния между ними ($s/2$). При этом тонкой считается бетонная панель, для которой число Био не превышает 0,3, т. е.

$$\mathrm{Bi}=\frac{\alpha_{\text{н}}}{\lambda_{\text{м}}}h\leqslant 0{,}3, \qquad (11.24)$$

где $\alpha_{\text{н}}$ — коэффициент теплообмена на поверхности панели, Вт/(м²××°С); $\lambda_{\text{м}}$ — теплопроводность массива бетона, Вт/(м·°С); h — расстояние от поверхности панели до оси греющих труб, м

Если принять средние значения $\alpha_{\text{н}}=10$ Вт/(м²·°С) и $\lambda_{\text{м}}=1$ Вт/(м·°С), то при $\mathrm{Bi}=0{,}3$ получим $h=0{,}03$ м. Следовательно, тонкой можно считать бетонную панель толщиной до $\delta=2h=0{,}06$ м.

Для тонких бетонных панелей среднюю избыточную температуру их поверхности, т. е. разность средней температуры поверхности панелей и температуры окружающей среды $\Delta\tau_{\text{п}}$, °С, определяют по формуле *

$$\Delta\tau_{\text{п}}=\Delta\tau_{\text{тр}}\frac{\operatorname{th}\left[\frac{s}{2}\left(\frac{\alpha_{\text{лиц}}+\alpha_{\text{тыл}}}{h\lambda_{\text{м}}}\right)^{0,5}\right]}{\frac{s}{2}\left(\frac{\alpha_{\text{лиц}}+\alpha_{\text{тыл}}}{h\lambda_{\text{м}}}\right)^{0,5}}, \qquad (11,25)$$

где $\Delta\tau_{\text{тр}}=\tau_{\text{тр}}-t_{\text{в}}$ — избыточная температура поверхности греющих труб (для металлических труб $\tau_{\text{тр}}$ можно считать равной $t_{\text{т}}$ — температуре теплоносителя); $\alpha_{\text{лиц}}$ и $\alpha_{\text{тыл}}$ — коэффициент теплообмена, Вт/(м²·°С), соответственно на лицевой и тыльной поверхностях панели.

В случаях, когда тонкие бетонные отопительные панели прилегают к слоям других материалов или покрываются дополнительными слоями, при определении температуры наружной поверхности (с лицевой или тыльной стороны панели) учитывают термическое сопротивление таких слоев. Тогда формула (11.25) применительно к определению избыточной температуры лицевой (обращенной в помещение)

* Банхиди Л., Мачкаши А. Лучистое отопление.— М.: Стройиздат, 1985.

Электронная библиотека http://tgv.khstu.ru/

поверхности конструкции (после покрытия панели дополнительными слоями материалов) принимает вид

$$\Delta\tau_{\text{п}}=\frac{\Delta\tau_{\text{тр}}}{1+\alpha_{\text{лиц}}(R_{\text{м}}+\Sigma R_i)}\,\frac{\text{th}\left[\frac{s}{2}\left(\frac{k'_{\text{лиц}}+k'_{\text{тыл}}}{h\lambda_{\text{м}}}\right)^{0,5}\right]}{\frac{s}{2}\left(\frac{k'_{\text{лиц}}+k'_{\text{тыл}}}{h\lambda_{\text{м}}}\right)^{0,5}}, \quad (11.26)$$

где $R_{\text{м}}$ — термическое сопротивление массива бетона; $\Sigma R_i=\Sigma(\delta_i/\lambda_i)$ — сумма термических сопротивлений дополнительных слоев, °С·м²/Вт; $k'_{\text{лиц}}$ и $k'_{\text{тыл}}$ — неполный коэффициент теплопередачи, Вт/(м²·°С), для дополнительных слоев материалов, прилегающих соответственно к лицевой и тыльной сторонам панели, определяется для дополнительных слоев, например на лицевой стороне панели, по формуле

$$k'_{\text{лиц}}=\frac{1}{(1/\alpha_{\text{лиц}})+\Sigma R_i}. \quad (11.27)$$

Напомним, что при выводе формул (11.25) и (11.26) принято, что в относительно тонком бетонном слое отопительной панели наблюдается только линейная теплопроводность. Дальнейшее распространение теплоты происходит через прилегающие или покрывающие слои материалов только в направлении, перпендикулярном поверхности панели.

Для утолщенных бетонных отопительных панелей, когда получают по формуле (11.24) число Bi>0,3 (практически при толщине панелей 0,08 м и более), необходимо уже считаться с двухмерностью теплопроводности их массива. Графически картина двухмерной теплопроводности в толще отопительной панели представлена на рис. 11.13, где показаны концентрические линии — изотермы и линии тепловых потоков, перпендикулярные на исходе к поверхности панели.

Двухмерное температурное поле в массиве панели в стационарных условиях теплопередачи при постоянной температуре теплоносителя описывается дифференциальным уравнением Лапласа в частных производных.

Аналитическое решение дифференциального уравнения для построения температурного поля представляет собой сложную задачу. Обычно используют приближенные численные методы решения уравнения Лапласа, в том числе метод решения в виде конечных разностей. Этот метод заключается в составлении системы уравнений для опре-

Электронная библиотека http://tgv.khstu.ru/

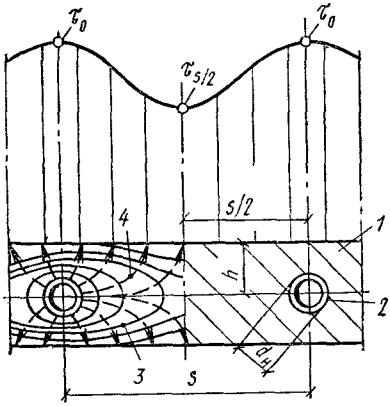

Рис. 11.13. Схема изотерм и тепловых потоков в массиве бетона и график изменения температуры поверхности отопительной панели с двухсторонней теплоотдачей

1 — бетонная панель, *2* — греющая труба, *3* — изотерма, *4* — линия теплового потока

деления температуры в заданных точках поверхности (обычно с последовательным приближением).

Изменение термического сопротивления массива бетона по различным направлениям от греющих труб делает поверхность отопительной панели неизотермичной. На рис. 11.13 показан характер изменения температуры поверхности бетонной панели: наиболее высокая температура τ_0 наблюдается непосредственно над трубами, наиболее низкая температура $\tau_{s/2}$ — посередине между трубами (на расстоянии $s/2$ от оси труб).

Приблизительно среднюю температуру поверхности бетонной отопительной панели можно определять по эмпирической формуле, если известна температура в двух характерных точках — над трубами τ_0 и между трубами $\tau_s/_2$:

$$\tau_п = \tau_{s/2} + k(\tau_0 - \tau_{s/2}), \qquad (11,28)$$

где k — коэффициент, характеризующий изменение температуры поверхности панели между греющими трубами.

Коэффициент k зависит от шага s и глубины заложения h труб в бетоне. Для отопительных панелей с шагом труб до 250 мм и глубиной заложения до 40 мм k=0,45, при шаге труб более 250 мм коэффициент k уменьшается до 0,33.

В расчетах лучисто-конвективного теплообмена учитывается средняя температура нагревательной поверхности панелей, отнесенная к условиям определения теплопотерь помещений. Эта расчетная средняя температура является наивысшей температурой греющей поверхности в течение

Электронная библиотека http://tgv.khstu.ru/

отопительного сезона. С другой стороны, максимальная расчетная температура поверхности панелей не должна превосходить допустимую по условиям температурной комфортности для людей в помещениях (см. § 2.1).

Для потолочных панелей допустимую температуру вычисляют по формуле (11.4). Ее значение тем выше, чем больше размеры помещения и меньше ширина, а также площадь панели. В нормах указана предельная температура всего нагретого потолка: при высоте помещения 2,5—2,8 м она не должна быть выше 28 °С, до 3 м — 30 °С, до 3,5 м — 33 °С, до 4 м — 36 °С, до 6 м — 38 °С.

Допустимая средняя температура поверхности напольных панелей зависит от назначения помещений и подвижности людей в них.

Для низких стеновых отопительных панелей допустима более высокая температура поверхности, такая же, как и для металлических отопительных приборов. Лишь для панелей радиационного обогревания рабочих мест температура их поверхности ограничена 60 °С.

Принимая допустимую температуру поверхности за расчетную, можно определить **предварительную площадь** поверхности отопительной панели $A'_{\text{п}}$, м², по формуле

$$A'_{\text{п}} = \frac{Q'_{\text{пот}}}{\alpha_{\text{н}}(\tau_{\text{п}} - t_{\text{в}})}, \qquad (11.29)$$

где $Q'_{\text{пот}}$ — теплопотери помещения, Вт, вычисленные по методике, приведенной в гл. 3; $t_{\text{в}}$ — расчетная температура воздуха при лучистом отоплении, °С; $\alpha_{\text{н}}$ — коэффициент теплообмена на поверхности панели, определяемый по формуле (2.11).

Среднее значение коэффициента $\alpha_{\text{н}}$ (в пределах практически возможного изменения температуры поверхности панели $\tau_{\text{п}}$), Вт/(м²·°С), составляет:

для потолочной панели	7,9
» напольной »	9,9
» стеновой »	11,6

Площадь панели, найденная по формуле (11.29), называется предварительной не только потому, что вычисляется на основании приблизительных величин, а скорее из-за того, что она обычно несколько отличается от окончательной, которую устанавливают в процессе конструирования панели с учетом конкретных условий размещения, подвода теплоносителя, типизации размеров и тому подоб-

Электронная библиотека http://tgv.khstu.ru/

ных ограничений. Предварительную площадь отопительной панели необходимо знать для проверки условий температурного комфорта в помещении и дальнейшего проектирования.

При размещении отопительной панели в помещении помимо известных уже положений (см. гл. 2 и 3) необходимо учитывать следующее. В помещении с развитым остеклением целесообразно для уменьшения радиационного охлаждения людей и локализации ниспадающего потока холодного воздуха размещать отопительную панель с повышенной температурой поверхности под остеклением или в узкой полосе пола, прилегающей к наружному ограждению.

Если в помещении должна обогреваться только часть пола или потолка, то рекомендуется для приблизительно одинакового облучения людей располагать отопительную панель в виде полосы по периметру помещения. При этом, как уже отмечалось, расчетная температура поверхности панели может быть несколько повышена.

Пример 11.2. Найдем площадь потолочной отопительной панели, радиационную температуру и проверим условия температурного комфорта в палате площадью 36 м², расположенной на среднем этаже больницы. Наружная стена размером 6,4×3,9 м и два двойных окна в ней размером 2×2,5 м имеют коэффициенты теплопередачи соответственно 1,05 и 2,68 Вт/(м²·°С). Общая площадь наружной и трех внутренних стен 86,4 м². Теплопотери через наружные стену и окна, подсчитанные по методике, приведенной в гл. 3, при температуре наружного воздуха —26 °С составляют 2267 Вт.

1. Задаемся средней температурой поверхности потолочной отопительной панели $\tau_п = 32$ °С и находим по формуле (11.29) предварительную площадь панели

$$A'_п = \frac{2267}{7{,}9\,(32-18{,}5)} = 21{,}2 \text{ м}^2.$$

Температуру воздуха при лучистом отоплении принимаем на 1,5 °С ниже нормативной для палат при конвективном отоплении — $t_в = 20 - 1{,}5 = 18{,}5$ °С.

2. Лучисто-конвективный теплообмен в палате рассчитаем по способу с применением эквивалентного коэффициента теплопередачи условного ограждения. Определяем эквивалентный коэффициент теплопередачи по формуле (11.19), принимая $\beta = 0{,}16$, при общей площади ограждений помещения $A_о = 86{,}4 + (36 \cdot 2) = 158{,}4$ м²

$$k_э = \frac{(1{,}05 \cdot 6{,}4 \cdot 3{,}9) + (2{,}68 - 1{,}05) 2 \cdot 2{,}5 \cdot 2}{158{,}4 - 21{,}2} 1{,}16 = 0{,}359 \text{ Вт/(м}^2 \cdot \text{°С)},$$

Электронная библиотека http://tgv.khstu.ru/

3. Находим неполный эквивалентный коэффициент теплопередачи по формуле (11.18)

$$k'_э = \frac{1}{\frac{1}{0,359} - 0,107} = 0,373 \text{ Вт/(м}^2\cdot\text{°C)}.$$

4. Определяем радиационную температуру внутренней поверхности ограждений палаты, не обогреваемых теплоносителем, по формуле (11.21)

$$t'_R = \frac{[5,41\cdot 32 + 2,77\,(32-18,5) + 0,373\cdot 26]\,21,2 - 0,373\cdot 26\cdot 158,4}{(5,41-0,373)\,21,2 + 0,373\cdot 158,4} =$$
$$= 18,8 \text{ °C}.$$

Здесь по формулам (11.14) и (11.15) с учетом формулы (11.11) $\alpha_л = 5,1\cdot 1,06\cdot 1 = 5,41$ Вт/(м^2·°C); $b = 0,81 + 0,005(32 + 18,8) = 1,06$; по формуле (2.8) $\alpha_к = 1,16(32-18,5)^{1/3} = 2,77$ Вт/(м^2·°C).

5. Вычисляем действительные теплопотери через наружные ограждения палаты, используя левую часть формулы (11.17),

$$Q_{пот} = 0,373\,(158,4 - 21,2)\,(18,8 + 26) = 2293 \text{ Вт},$$

получившиеся весьма близкими к рассчитанным обычным способом (2267 Вт).

6. Находим действительную усредненную радиационную температуру поверхности всех ограждений палаты, включая отопительную панель, по формуле (11.3)

$$t_R = \frac{21,2}{158,4}\,32 + \frac{158,4-21,2}{158,4}\,18,8 = 20,6 \text{ °C} > t_в = 18,5 \text{ °C}.$$

Так как по выражению (11.1) $t_R > t_в$, то способ отопления палаты относится к лучистому.

7. Определяем температуру помещения как полусумму температуры воздуха и радиационной температуры

$$t_п = 0,5\,(18,5 + 20,6) = 19,56 \text{ °C}$$

и проверяем обеспечение первого условия температурной комфортности, вычисляя необходимую для этого радиационную температуру по формуле (2 2)

$$t_R^{тр} = 1,57\cdot 19,55 - 0,57\cdot 18,5 \pm 1,5;\quad t_R^{тр} = 20,15 \pm 1,5 \text{ °C}.$$

Действительная радиационная температура (20,6 °C) достаточно близка (отклонение менее 1,5 °C) к требуемой радиационной температуре помещения, т. е. первое условие температурной комфортности выполняется.

8. Проверяем правильность предварительного выбора температуры поверхности панели (32 °C) с учетом ее площади (21,2 м^2).

При среднем размере панели $l = 21,2^{0,5} = 4,6$ м коэффициент облученности для стоящего человека высотой 1,7 м находим по формуле (11 5)

$$\varphi_{ч-п} = 1 - 0,8\,\frac{3,6-1,7}{4,6} = 0,67.$$

Электронная библиотека http://tgv.khstu.ru/

Предельно допустимая температура поверхности потолочной отопительной панели по формуле (11.4)

$$\tau_п = 19{,}2 + \frac{8{,}7}{0{,}67} = 32{,}2\ °C.$$

оказалась несколько выше предварительно выбранной температуры. Для сидящего человека (y=2,3 м) допустимая температура повышается до 33,7 °С, для лежащего (y=2,9 м) — до 36,7 °С. Таким образом, выполняется и второе условие температурной комфортности

Пример 11.3. Определим площадь низкой стеновой отопительной панели, радиационную температуру и проверим температурную комфортность в палате по условиям примера 11 2.

1. Задаваясь температурой поверхности низкой отопительной панели $\tau_п$=75 °С (как и для металлических приборов), находим по формуле (11.29) ее предварительную площадь

$$A'_п = \frac{2267}{12{,}89\,(75-20)} = 3{,}2\ м^2,$$

где по формулам (2 8), (11.4) и (11.15) с учетом формулы (11.11)

$$\alpha_н = (5{,}1 \cdot 1{,}29\ 1) + 1{,}66\,(75-20)^{1/3} = 6{,}58 + 6{,}31 = 12{,}89\ Вт/(м^2 \cdot °C);$$

$$b = 0{,}81 + 0{,}005\,(75+21) = 1{,}29\ .$$

Температуру воздуха принимаем равной нормативной температуре для палат, предполагая наличие конвективного отопления, т. е. $t_в$=20 °С.

2. Определяем эквивалентный коэффициент теплопередачи условного ограждения по формуле (11.19), принимая β=0,08,

$$k_в = \frac{(1{,}05 \cdot 6{,}4 \cdot 3{,}9) + (2{,}68 - 1{,}05)\,2 \cdot 2{,}5 \cdot 2}{158{,}4 - 3{,}2}\,1{,}08 = 0{,}296\ Вт/(м^2 \cdot °C)$$

и неполный эквивалентный коэффициент теплопередачи по формуле (11.18), считая $R_в$=0,114 м²·°С/Вт при конвективном отоплении

$$k'_э = \frac{1}{\frac{1}{0{,}296} - 0{,}114} = 0{,}31\ Вт/(м^2 \cdot °C).$$

3. Вычисляем радиационную температуру внутренней поверхности ограждений, не обогреваемых теплоносителем, по формуле (11.21)

$$t'_R = \frac{[6{,}58 \cdot 75 + 6{,}31\,(75-20) + 0{,}31 \cdot 26]\,3{,}2 - 0{,}31 \cdot 26 \cdot 158{,}4}{(6{,}58 - 0{,}31)\,3{,}2 + 0{,}31 \cdot 158{,}4} = 20{,}8\ °C.$$

4. Находим действительные теплопотери через наружные ограждения палаты, применяя левую часть формулы (11 17),

$$Q_{пот} = 0{,}31\,(158{,}4 - 3{,}2)\,(20{,}8 + 26) = 2252\ Вт,$$

получившиеся, как и в примере 11.2, близкими к рассчитанным обычным способом (2267 Вт).

5. Определяем действительную радиационную температуру поверхности всех ограждений палаты, включая отопительную панель,

Электронная библиотека http://tgv.khstu.ru/

по формуле (11.3)

$$t_R=\frac{3,2}{158,4}75+\frac{158,4-3,2}{158,4}20,8=21,9\ ^\circ\text{C} > t_в=20\ ^\circ\text{C}.$$

Так как по выражению (11.1) $t_R > t_в$, то, вопреки первоначальному предположению, способ отопления палаты следует отнести к лучистому.

6. Проверяем выполнение первого условия температурной комфортности в палате, приняв температуру помещения $t_п=0,5\times(20+21,9)=21\ ^\circ\text{C}$ и определив требуемую радиационную температуру по формуле (2.2)

$$t_R^{тр}=1,57\cdot21-0,57\cdot20\pm1,5;\quad t_R^{тр}=21,6\pm1,5\ ^\circ\text{C}.$$

Видно, что действительная радиационная температура поверхности ограждений (21,9 °С) соответствует требуемой радиационной температуре помещения, т. е. первое условие комфортности выполняется.

Проверку второго условия температурной комфортности не делаем, так как принятая температура поверхности низкой отопительной панели (75 °С) рекомендуется нормами для больничных палат, т. е. для помещений, к которым предъявляются повышенные санитарно-гигиенические требования.

§ 11.8. Расчет теплопередачи отопительных панелей

Рассмотрим расчет теплопередачи для распространенных бетонных отопительных панелей.

Каждая отопительная панель передает теплоту со всей внешней поверхности. Однако принято называть, подчеркивая величину основного теплового потока, панели приставные или подвесные панелями с **односторонней теплоотдачей**, панели, встроенные в перекрытия или имеющие конвективный канал (см. рис. 11.10, *б*, *в*), панелями с **двусторонней теплоотдачей**. Фактически же для любой отопительной панели следует рассчитывать теплопередачу в обе стороны.

Для панели с односторонней теплоотдачей общая теплопередача складывается из основного теплового потока с лицевой поверхности, направленного в отапливаемое помещение,— **лицевой теплоотдачи** $Q_{лиц}$ и дополнительного тыльного теплового потока, направленного, например, для приставных стеновых панелей, наружу,— **тыльной теплоотдачи** $Q_{тыл}$ (рис. 11.14):

Электронная библиотека http://tgv.khstu.ru/

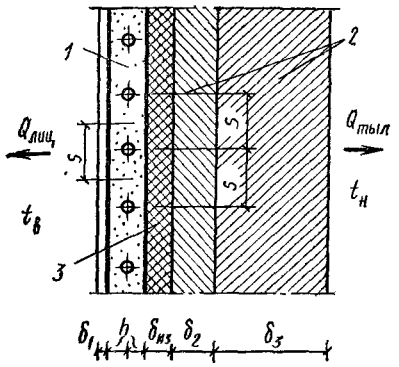

Рис. 11.14. Разрез наружного ограждения с приставной бетонной отопительной панелью

1 — отопительная панель с односторонней теплоотдачей; 2 — слои ограждения; 3 — тепловая изоляция

$$Q_п = Q_{лиц} + Q_{тыл}. \qquad (11.30)$$

Для панели с двусторонней теплоотдачей второе слагаемое в уравнении (11.30) выражает теплопередачу в соседнее помещение или в конвективный канал. Например, для напольно-потолочной панели

$$Q_п = Q_{пл} + Q_{пт}; \qquad (11.30а)$$

при теплопередаче в конвективный канал (приблизительно)

$$Q_п = 1{,}7Q_{лиц}. \qquad (11.30б)$$

При расчетах теплоотдачи **тонких** отопительных панелей (толщиной до 0,06 м) определяют, как изложено в § 11.7, среднюю избыточную температуру их поверхности. Зная избыточную температуру и коэффициент теплообмена на поверхности панели, находят удельный тепловой поток, поступающий от панели в помещение.

При практических расчетах лицевой и тыльной теплоотдачи **утолщенных** отопительных панелей (толщиной 0,08 м и более) применяют способ, основанный на расчете теплопередачи 1 м каждой греющей трубы.

Лицевая теплоотдача бетонной отопительной панели по этому способу рассматривается как слагающаяся из теплопередачи отдельных греющих труб, различным образом расположенных в панели. На рис. 11.2 отмечено различие в положении труб, отражающееся на их теплопередаче: трубы названы средними, крайнимии одиночными. Наиболее интенсивна теплоотдача одиночных труб, тепло-

Электронная библиотека http://tgv.khstu.ru/

отдача крайних и особенно средних труб тормозится взаимным прогреванием бетонного массива соседними трубами.

Если известна теплопередача 1 м трубы, то лицевая теплоотдача отопительной панели составит

$$Q_{лиц}=q_{ср}l_{ср}+q_{кр}l_{кр}+q_{од}l_{од}, \qquad (11.31)$$

где $q_{ср}$, $q_{кр}$, $q_{од}$ — теплопередача 1 м средних, крайних и одиночных труб в бетонном массиве; $l_{ср}$, $l_{кр}$, $l_{од}$ — длина соответствующих труб в панели.

Лицевую теплоотдачу 1 м трубы $q_{лиц}$, Вт/м, определяют с учетом термического сопротивления отдельных слоев в конструкции панели и ограждения, отделяющих теплоноситель с температурой $t_т$ от помещения:

$$q_{лиц}=\frac{t_т-t_п}{R_{лиц}}, \qquad (11.32)$$

где $t_п$ — температура помещения; $R_{лиц}=R_в+R_{ст}+R_м+\Sigma R_i+R_н$ — общее сопротивление теплопередаче от теплоносителя в помещение.

Сопротивление теплопередаче находят по общей для всех отопительных приборов формуле (4.7). Особенность заключается в увеличенном термическом сопротивлении массива бетона, как отмечалось в гл. 4, по сравнению с сопротивлением чугунной или стальной стенки прибора. Добавочные слои конструкции панели и ограждения являются также дополнительным термическим сопротивлением.

В формуле (11.32) все сопротивления — теплообмену на внутренней поверхности трубы $R_в$, термические стенки трубы $R_{ст}$, массива бетона $R_м$, добавочных слоев R_i и теплообмену на внешней поверхности панели $R_н$ — относятся к 1 м трубы. Поэтому при их определении учитывают площадь поверхности теплообмена на длине 1 м, а результат выражают в °С·м/Вт.

Сопротивление теплообмену на внутренней поверхности 1 м трубы с учетом формулы (4.8) составляет

$$R_в=\frac{1}{\alpha_в A_в}, \qquad (11.33)$$

где $A_в$ — площадь внутренней поверхности теплообмена 1 м трубы. При внутреннем диаметре трубы $d_в$ для панелей с односторонней теплоотдачей $A_в=\pi d_в$, с двусторонней $A_в=0{,}5\pi d_в$, м²/м.

Электронная библиотека http://tgv.khstu.ru/

Термическое сопротивление стенки 1 м трубы с учетом формулы (4.9)

$$R_{ст}=\frac{\delta_{ст}}{\lambda_{ст}A_{ст}}, \qquad (11.34)$$

где $\delta_{ст}$ — толщина стенки трубы, $A_{ст}$ — средняя площадь стенки 1 м трубы. При наружном диаметре трубы $d_н$ для панелей с односторонней теплоотдачей $A_{ст}=0{,}5\pi(d_в+d_н)$, с двусторонней $A_{ст}=0{,}25\pi(d_в+d_н)$, м²/м.

Термическое сопротивление массива бетона с учетом формулы (4.10)

$$R_м=R'_м/\lambda_м, \qquad (11.35)$$

где $R'_м$ — термическое сопротивление массива бетона при коэффициенте теплопроводности бетона, равном 1,0 (это сопротивление зависит от расположения греющих труб в бетоне — см. рис. 4.15); $\lambda_м$ — действительное значение теплопроводности массива бетона.

Термическое сопротивление добавочных слоев панели (на рис. 11.14 изображен один добавочный слой толщиной δ_1) вычисляется по формуле

$$\Sigma R_i=\frac{1}{s}\Sigma\frac{\delta_i}{\lambda_i}, \qquad (11.36)$$

где s — площадь внешней поверхности, приходящаяся на 1 м длины трубы (см. рис. 11.14), м²/м.

Наконец, сопротивление теплообмену на внешней поверхности панели

$$R_н=\frac{1}{\alpha_н s}, \qquad (11.37)$$

где $\alpha_н$ — коэффициент внешнего теплообмена, определяемый по формуле (2.11).

Для одиночных греющих труб в бетоне считают, что теплоотдающая поверхность составляет полосу шириной 0,4 м.

Пример 11. 4. Определим лицевую теплоотдачу 1 м средних стеклянных труб диаметром 18×2,7 мм, заделанных с шагом 0,08 м в бетонную стеновую панель толщиной 0,08 м с односторонней теплоотдачей, если расход воды 30 кг/ч и разность температуры $t_т-t_п=65$ °С. Панель оклеена обоями толщиной 0,002 м. Теплопроводность: бетона 1,37, стекла 0,815, бумаги 0,175 Вт/(м·°С).

1. Сопротивление теплообмену на внутренней поверхности трубы при $d_в=12{,}6$ мм находим по рис. 4.13 — $R_в=0{,}043$ °С·м/Вт.

Электронная библиотека http://tgv.khstu.ru/

2. Термическое сопротивление стенки стеклянной трубы длиной 1 м по формуле (11.34)

$$R_{ст}=\frac{0{,}0027}{0{,}815\cdot 0{,}5\cdot 3{,}14\,(0{,}0126+0{,}018)}=0{,}069\ °C\cdot м/Вт.$$

3. Термическое сопротивление массива бетона определяем при $h=0{,}08:2=0{,}04$ м; $h/d_н=0{,}04:0{,}018=2{,}22$; $s/d_н=0{,}08:0{,}018=4{,}44$ по рис. 4.15, *а* — $R'_м=0{,}56\ °C\cdot м/Вт$.

Действительное сопротивление, отнесенное к 1 м трубы, находим по формуле (11.35)

$$R_м=0{,}56:1.37=0{,}409\ °C\cdot м/Вт.$$

4. Термическое сопротивление слоя бумаги (обоев) вычисляем по формуле (11.36)

$$R_б=0{,}002:(0{,}08\cdot 0{,}175)=0{,}143\ °C\cdot м/Вт.$$

5. Определяем предварительное значение сопротивления теплообмену на внешней поверхности панели по формуле (11.47), принимая $\alpha_н=11{,}6$ Вт/(м$^2\cdot$°С) [по примечанию к формуле (11.29)]

$$R'_н=1:(11{,}6\cdot 0{,}08)=1{,}078\ °C\cdot м/Вт.$$

6. Находим избыточную температуру лицевой поверхности панели (разность температуры поверхности панели и помещения)

$$\Delta\tau_п=\frac{R'_н\,(t_т-t_п)}{R_в+R_{ст}+R_м+R_б+R'_н}=$$

$$=\frac{1{,}078\cdot 65}{0{,}043+0{,}069+0{,}409+0{,}143+1{,}078}=40{,}2\ °C.$$

7. Рассчитываем действительные значения коэффициента $\alpha_н$ при полученной избыточной температуре по формулам (2.6) и (2.8)

$$\alpha_н=5{,}1\cdot 1{,}2+1{,}66\cdot 40{,}2^{1/3}=11{,}8\ Вт/(м^2\cdot °C)$$

и сопротивления теплообмену по формуле (11.37)

$$R_н=\frac{1}{11{,}8\cdot 0{,}08}=1{,}059\ °C\cdot м/Вт.$$

8. Определяем лицевую теплоотдачу 1 м средней стеклянной трубы в бетонной панели по формуле (11.32)

$$q_{лиц}=\frac{65}{0{,}043+0{,}069+0{,}409+0{,}143+1{,}059}=37{,}7\ Вт/м.$$

Тыльная теплоотдача бетонной отопительной панели в наружный воздух, так же как и лицевая теплоотдача, складывается из теплопередачи отдельных греющих труб, т. е. определяется по формуле (11.31).

Тыльную теплоотдачу 1 м трубы приставной, подвесной или совмещенной панели $q_{тыл}$, Вт/м, находят с учетом термического сопротивления не только слоев панели, но и

Электронная библиотека http://tgv.khstu.ru/

слоев конструкции наружного ограждения, отделяющих панель от наружного воздуха, по формуле

$$q_{\text{тыл}}=\frac{t_{\text{т}}-t_{\text{н}}}{R_{\text{тыл}}+R_{\text{из}}}, \qquad (11.38)$$

где $t_{\text{н}}$ — расчетная температура наружного воздуха; $R_{\text{тыл}}=R_{\text{в}}+R_{\text{ст}}+R_{\text{м}}+\Sigma R_i+R_{\text{н}}$ — общее сопротивление теплопередаче от теплоносителя в наружный воздух, отнесенное к 1 м трубы, °С·м/Вт; $R_{\text{из}}$ — термическое сопротивление дополнительного слоя тепловой изоляции для уменьшения теплопотерь через наружное ограждение (см. рис. 11.14).

Сопротивления теплообмену на внутренней поверхности трубы $R_{\text{в}}$, термические стенки трубы $R_{\text{ст}}$ и массива бетона $R_{\text{м}}$ вычисляют как для панели с двусторонней теплоотдачей. Поэтому при определении тыльной теплоотдачи формула (11.33) записывается в виде

$$R_{\text{в}}=\frac{2}{\alpha_{\text{в}}\pi d_{\text{в}}}, \qquad (11.33а)$$

а формула (11.34) принимает вид

$$R_{\text{ст}}=\frac{4\delta_{\text{ст}}}{\lambda_{\text{ст}}\pi\,(d_{\text{в}}+d_{\text{н}})}. \qquad (11.34а)$$

Тыльная теплоотдача в большей степени, чем лицевая, зависит от термического сопротивления слоев ограждающей конструкции (на рис. 11.14 изображены два слоя толщиной δ_2 и δ_3). Тепловая изоляция увеличивает это сопротивление. Все же тыльная теплоотдача по площади панели может быть больше основных теплопотерь через наружное ограждение той же площади при отсутствии панели. Если считать возмещение этих теплопотерь полезной теплоотдачей панели, то дальнейшее возрастание тыльной теплоотдачи панели будет связано с бесполезной затратой тепловой энергии.

Установим, что полезная теплоотдача через наружное ограждение площадью s, м², имеющее коэффициент теплопередачи $k_{\text{огр}}$, равна $k_{\text{огр}}s(t_{\text{п}}-t_{\text{н}})$. Тогда дополнительная бесполезная теплоотдача через наружное ограждение, связанная с установкой отопительной панели, в расчете на 1 м длины греющей трубы панели составит

$$q_{\text{доп}}=q_{\text{тыл}}-k_{\text{огр}}s\,(t_{\text{п}}-t_{\text{н}}). \qquad (11.39)$$

Чтобы свести дополнительную бесполезную теплоотдачу к нулю, следует по уравнению (11.39) приравнять

Электронная библиотека http://tgv.khstu.ru/

тыльную теплоотдачу 1 м трубы основным теплопотерям через наружное ограждение, подсчитанным обычным путем

$$q_{тыл} = k_{огр} s (t_п - t_н)$$

или

$$q_{тыл} = \frac{s(t_п - t_н)}{R_{огр}}.$$

Подставляя это значение $q_{тыл}$ в формулу (11.38), получим

$$\frac{s(t_п - t_н)}{R_{огр}} = \frac{t_г - t_н}{R_{тыл} + R_{из}}.$$

Отсюда найдем необходимое термическое сопротивление тепловой изоляции $R_{из}$, °С·м/Вт, помещаемой за панелью,

$$R_{из} = \frac{R_{огр}}{s} \frac{t_т - t_н}{t_п - t_н} - R_{тыл} \qquad (11.40)$$

и толщину слоя $\delta_{из}$, м, этой тепловой изоляции

$$\delta_{из} = R_{из} \lambda_{из} s. \qquad (11.41)$$

Расчетами установлено, что для уменьшения тыльной теплоотдачи отопительных панелей (считая, что дополнительные теплопотери помещений не должны превышать 10% основных) термическое сопротивление запанельных участков наружных ограждений в средней полосе СССР следует увеличивать не менее чем до 2 °С·м²/Вт. Это значение термического сопротивления относится к приставным стеновым панелям. Оно должно быть еще более увеличено при напольных панелях в нижнем этаже и потолочных в верхнем этаже зданий.

Пример 11.5. Определим общую теплоотдачу подоконной бетонной отопительной панели и толщину слоя тепловой изоляции при условии исключения дополнительных (бесполезных) теплопотерь, если сопротивление теплопередаче наружной стены $R_{н.с} = 0{,}95$ °С·м²/Вт, теплопроводность тепловой изоляции $\lambda_{из} = 0{,}07$ Вт/(м·°С). Приставная панель площадью $A_п = 1{,}6$ м² имеет 14,3 средних греющих стеклянных труб и 5,8 м крайних труб, расположенных с шагом $s = 80$ мм. Расчетная температура: теплоносителя $t_т = 85$ °С, помещения $t_п$ равна температуре внутреннего воздуха $t_в = 20$ °С, наружного воздуха $t_н = -26$ °С.

1. Принимаем лицевую теплоотдачу 1 м средних труб по расчету в примере 11.4 равной 37,7 Вт/м.

Определяем лицевую теплоотдачу 1 м крайних труб по отдельному расчету в количестве 73,5 Вт/м.

Электронная библиотека http://tgv.khstu.ru/

2. Вычисляем лицевую теплоотдачу всей отопительной панели по формуле (11.31)

$$Q_{\text{лиц}} = q_{\text{ср}} l_{\text{ср}} + q_{\text{кр}} l_{\text{кр}} = 37{,}7 \cdot 14{,}3 + 73{,}5 \cdot 5{,}8 = 965 \text{ Вт}.$$

3. Находим тыльную теплоотдачу отопительной панели, которая по условию должна быть равна основным теплопотерям через наружную стену

$$Q_{\text{тыл}} = \frac{A_{\text{п}}(t_{\text{в}} - t_{\text{н}})}{R_{\text{н.с}}} = \frac{1{,}6\,[20 - (-26)]}{0{,}95} = 77 \text{ Вт}.$$

4. Определяем общую полезную теплоотдачу отопительной панели по формуле (11.30)

$$Q_{\text{п}} = 965 + 77 = 1042 \text{ Вт}.$$

5. Рассчитываем сопротивление тыльной теплопередаче от теплоносителя в наружный воздух, отнесенное к 1 м средней трубы, с учетом результатов расчетов в примере 11.4 и формул (11.33а) и (11.34а).

$$R_{\text{тыл}} = R_{\text{в}} + R_{\text{ст}} + R_{\text{м}} + \Sigma R_i + R_{\text{н}} = 2 \cdot 0{,}043 + 2 \cdot 0{,}069 +$$
$$+ 0{,}409 + \left[0{,}95 - \left(\frac{1}{8{,}7} + \frac{1}{23}\right)\right] : 0{,}08 + [1 : (23 \cdot 0{,}08)] = 11{,}070 \text{ °С·м/Вт}.$$

6. Вычисляем термическое сопротивление слоя тепловой изоляции по формуле (11.40)

$$R_{\text{из}} = \frac{0{,}95}{0{,}08}\frac{85 - (-26)}{20 - (-26)} - 11{,}07 = 17{,}58 \text{ °С·м/Вт},$$

7. Определием толщину запанельного слоя тепловой изоляции по формуле (11.41)

$$\delta_{\text{из}} = 17{,}58 \cdot 0{,}07 \cdot 0{,}08 \approx 0{,}1 \text{ м},$$

§ 11.9. Особенности проектирования системы панельного отопления

Проектирование системы отопления здания с бетонными панелями начинается с выбора вида панелей и мест их расположения в помещениях. Отопительные панели в помещениях с увеличенной площадью остекления целесообразно для уменьшения радиационного охлаждения людей и локализации потоков холодного воздуха разме-

Электронная библиотека http://tgv.khstu.ru/

щать, как уже сказано, под световыми проемами или в узкой полосе пола, прилегающей к наружным ограждениям. Если в помещении должна обогреваться только часть пола или потолка, то отопительную панель следует располагать в виде полосы по периметру помещения.

Установив тепловую мощность и температуру поверхности панелей, рассчитывают их предварительную площадь. После проверки выполнения условий температурного комфорта уточняют теплопотери через ограждающие конструкции характерных помещений.

Затем выбирают необходимое количество типоразмеров отопительных панелей. Тип бетонной панели определяется числом параллельных (средних и двух крайних) труб, размер — длиной панели (например, типоразмер панели, обозначенный П-6-1,6, имеет шесть параллельных труб, длина панели 1,6 м). Рекомендуется ограничивать число типов панелей в здании двумя—тремя при общем числе типоразмеров четыре—шесть.

Для выбора типоразмеров панелей значения предварительной площади панелей (теплопотери всех помещений) объединяют в группы. Средняя величина теплопотерь в пределах каждой группы не должна отличаться более чем на 15% от аналогичной величины в соседних группах, а теплопередача панелей, предназначенных для каждого помещения, на +10 и —5% расчетных теплопотерь (например, отопительную панель с полезной теплоотдачей 700 Вт можно устанавливать в помещениях с теплопотерями 637—737 Вт).

Как известно, температура поверхности бетона значительно ниже температуры труб. Возникающее различие в удлинении вызывает растяжение бетона. Для предотвращения образования трещин в бетоне расстояние между трубами панелей не должно быть слишком большим. В частности, для стеновых панелей оптимальным с учетом также экономических показателей считается шаг труб, равный 100—150 мм.

Площадь отдельных напольно-потолочных панелей желательно принимать до 10—15 м^2 при длине не более 5 м, исходя из удобства транспортирования и размещения панелей в помещениях.

После выбора параметров теплоносителя (как правило, воды) в трубах панелей в зависимости от принятой схемы

Электронная библиотека http://tgv.khstu.ru/

системы отопления проводят окончательные конструирование и расчет теплопередачи панелей с уточнением принятого расположения их в помещениях. Детальную разработку панелей выполняют с расчетом заложенной в них несущей арматуры. Бетонные отопительные панели включают в общую номенклатуру изделий для сооружения здания.

При проектировании системы отопления с теплоносителем водой обращают внимание на обеспечение полного удаления воздуха из панелей, особенно горизонтальных, что достигается при совпадении направлений движения воды и воздуха в трубах панелей.

Завершается проектирование панельного отопления гидравлическим расчетом труб с учетом длины, изгибов и соединений нагревательных элементов панелей. Тепловую нагрузку панелей принимают с учетом дополнительных бесполезных теплопотерь через наружные ограждения, если они имеются.

В случае совместного использования в системе отопления различных отопительных приборов металлические радиаторы и конвекторы снабжают кранами повышенного сопротивления, так как гидравлическое сопротивление труб бетонных панелей заметно превышает сопротивление параллельно присоединенных обычных приборов.

Электронная библиотека http://tgv.khstu.ru/

КОНТРОЛЬНЫЕ ЗАДАНИЯ И УПРАЖНЕНИЯ

1. Обоснуйте возможность понижения температуры воздуха в помещении при лучистом отоплении по сравнению с температурой воздуха при конвективном отоплении.

2. В чем отличие радиационной температуры помещения, вычисленной относительно человека, находящегося посередине помещения, и относительно отопительной панели?

3. Установите закономерность изменения среднего значения коэффициента конвективного теплообмена на поверхности стеновой отопительной панели при изменении ее высоты.

4. Составьте систему алгебраических уравнений теплового баланса для трех групп поверхностей в помещении (теплотеряющих, адиабатных и теплоотдающих).

5. Дайте критическую оценку приведенным в гл. 11 способам расчета теплообмена в помещении при помощи одного уравнения теплового баланса.

6. Сопоставьте коэффициенты теплопередачи греющих труб одинакового диаметра — открыто проложенных в помещении и замоноличенных в бетон.

7. Выведите формулу (11.22).

8. Проведите реферативное исследование применения неметаллических нагревательных элементов в бетонных отопительных панелях.

9. Напишите формулу для определения неполного коэффициента теплопередачи через дополнительные слои материалов, прилегающие к тыльной стороне бетонной отопительной панели.

10. Составьте, используя дополнительную литературу, систему уравнений для определения температуры в заданных точках поверхности бетонной отопительной панели.

Электронная библиотека http://tgv.khstu.ru/

РАЗДЕЛ V. МЕСТНОЕ ОТОПЛЕНИЕ

ГЛАВА 12. ПЕЧНОЕ ОТОПЛЕНИЕ

§ 12.1. Характеристика печного отопления

Печное отопление относится к местным системам отопления, при которых получение, перенос и передача теплоты происходят в одном и том же обогреваемом помещении. Теплота генерируется при сгорании топлива в топливнике печи. Горячие дымовые газы нагревают внутреннюю поверхность каналов — дымооборотов, теплота через стенки каналов передается в отапливаемое помещение. Охладившиеся дымовые газы удаляются через дымовую трубу в атмосферу.

Топливо сжигается в печи периодически, поэтому теплота поступает в помещение неравномерно, и в нем наблюдается **нестационарный тепловой режим**. Наибольшая теплоотдача печи приходится на конец топки, когда температура ее стенок достигает максимума; наименьшая теплоотдача относится ко времени перед началом очередной топки.

Изменение теплоподачи в помещение характеризуют коэффициентом неравномерности теплопередачи печи M, выражающим отношение полуразности максимальной и минимальной теплопередачи печи к ее среднему значению [формула (2.59)]. Коэффициент неравномерности теплопередачи зависит от числа топок в сутки; определяется для каждой конструкции печи экспериментально.

Колебания теплоподачи вызывают изменение температуры воздуха и радиационной температуры помещения. При печном отоплении происходит постоянное изменение температуры помещения, зависящее от его теплоустойчивости. Как известно, чем больше способность ограждений и оборудования помещения поглощать теплоту, тем выше его теплоустойчивость. Достаточно теплоустойчивым считают помещение, в котором при неравномерно передающей теплоту отопительной печи обеспечиваются колебания температуры воздуха в пределах ± 3 °С.

Электронная библиотека http://tgv.khstu.ru/

Печное отопление имеет распространение и в настоящее время. В нашей стране почти треть жилого фонда (в основном за счет старых домов в сельской местности) оборудована печами. При новом капитальном строительстве печное отопление применяется ограниченно.

По действующим нормам (глава СНиП 2.04.05-86) не допускается применение печей для отопления производственных помещений категорий А, Б и В. Устройство печного отопления в городах и населенных пунктах городского типа должно специально обосновываться.

Печное отопление допускается в жилых домах, зданиях сельских советов и управлений при числе этажей не более двух (не считая цокольного этажа), небольших общественных зданиях (например, в общеобразовательных школах при числе мест не более 80), производственных помещениях категорий Г и Д площадью не более 500 м². Печное отопление часто устраивается в садовых домиках.

Распространение печного отопления объясняется его **достоинствами:** меньшей стоимостью устройства по сравнению с другими видами отопления, малой затратой металла (только на колосниковую решетку, дверцы, задвижки, иногда на каркас), простотой устройства и обслуживания, независимостью отопления отдельных помещений, одновременным обеспечением вентиляции помещений.

Достоинства печного отопления свидетельствуют о его широкой доступности. Однако установленные ограничения в отношении дальнейшего распространения (отметим еще раз, что печное отопление иногда допускается, но никогда не рекомендуется) отражают его серьезные недостатки.

Недостатки печного отопления: пониженный уровень теплового комфорта по сравнению с водяным отоплением (нестационарный тепловой режим, а также переохлаждение нижней зоны помещения), затруднения при эксплуатации (заботы о топливе, уход за печью, загрязнение помещения), повышенная пожарная опасность, возможность отравления окисью углерода при неправильном уходе за печью, потеря (до 5%) рабочей площади помещения.

При печном отоплении печи обычно размещают в помещениях у внутренних стен, используя эти стены для прокладки дымовых каналов. При этом облегчается вывод дымовых каналов в атмосферу, сокращается длина оголов-

Электронная библиотека http://tgv.khstu.ru/

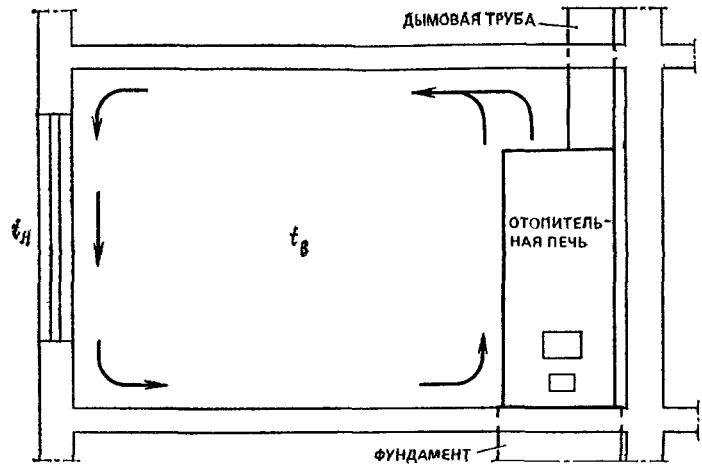

Рис. 12.1. Направление движения воздуха в помещении при расположении отопительной печи у внутренней стены

ков (участков каналов над кровлей), что улучшает тягу в печах.

Однако при таком расположении печей переохлаждается нижняя зона помещений. Потоки воздуха, нагревающегося у поверхности печи, поднимаются к потолку помещения. Потоки воздуха, охлаждающегося у поверхности наружных ограждений, опускаются к полу. В помещении устанавливается циркуляция воздуха, показанная на рис. 12.1. В результате охлажденный воздух перемещается вдоль пола в сторону печи, нарушая нормальное самочувствие людей, находящихся в помещении.

Такой циркуляции воздуха с холодным дутьем по ногам людей можно избежать, переместив печь в помещении к наружным ограждениям. Но в этом случае потребуется утепление дымовых каналов в наружных стенах во избежание конденсации на их внутренней поверхности влаги из отводимых дымовых газов. При этом все же неизбежны ухудшение тяги в печи, дополнительное загрязнение помещения при переносе топлива, золы и шлака.

При устройстве печного отопления не допускаются отвод дымовых газов в вентиляционные каналы, а также установка вентиляционных решеток на дымовых каналах.

Электронная библиотека http://tgv.khstu.ru/

Следовательно, каналы обеих систем — печного отопления и естественной вытяжной вентиляции — должны быть обособлены во избежание нарушения их действия.

Печи в здании размещают так, чтобы одна печь обогревала не более трех помещений, расположенных на одном этаже. В здании с коридорной системой связи помещений печи устанавливают таким образом, чтобы обслуживание осуществлялось из коридоров или подсобных помещений, имеющих окна с форточками и оборудованных естественной вытяжной вентиляцией. В двухэтажных зданиях можно устраивать двухъярусные печи как обособленные, так и с одной общей топкой на первом этаже.

§ 12.2. Общее описание отопительных печей

Печи предназначаются для различных целей: для отопления (отопительные печи), нагревания воды (печи-каменки, приготовления пищи (варочные печи),сушки продуктов, одежды, материалов (сушильные печи). Эти функции могут выполняться отдельно и могут быть совмещены в одной конструкции печи. В учебнике рассматриваются одноцелевые отопительные печи.

К конструкции отопительной печи предъявляются следующие требования:

1) обеспечение достаточно равномерной температуры воздуха в обогреваемом помещении в течение суток (допустимое отклонение ± 3 °С);

2) экономичное сжигание топлива [с возможно более высоким коэффициентом полезного действия (КПД)];

3) безопасность при эксплуатации;

4) ограничение температуры поверхности: 90 °С в помещениях детских дошкольных и лечебно-профилактический учреждений, в других помещениях 110 °С на площади не более 15% (120 °С — не более 5%) общей площади поверхности печи; в помещении с временным пребыванием людей допустимо применение печи при температуре ее поверхности выше 120 °С.

Печь состоит из трех основных элементов: топливника (топки), газоходов (дымооборотов) и дымовой трубы. В топливнике может сжигаться твердое (как правило, на колосниковой решетке), жидкое и газообразное (см. § 13.2) топливо. В зависимости от вида топлива изменяются размер

Электронная библиотека http://tgv.khstu.ru/

и форма топливника. Под топливником устраивают поддувало (зольник при твердом топливе), через которое воздух из помещения поступает к горящему топливу. Регулирование количества поступающего воздуха осуществляется поддувальной дверкой.

Массивные печи возводят на собственном фундаменте, не связанном с фундаментом стен, отделяя фундамент от кладки печи слоем гидроизоляции. Облегченные печи могут устанавливаться без фундамента — непосредственно на полу помещения. В этих случаях под поддувалом устраивают шанцы — небольшие сквозные каналы, предотвращающие перегрев пола вследствие циркуляции через них воздуха помещения.

Горячие дымовые газы под влиянием естественной тяги перемещаются из топливника по газоходам печи Газоходы могут состоять из одного или нескольких дымооборотов, по которым дымовые газы движутся и снизу вверх, и сверху вниз. Над верхним перевалом дымовых газов устраивают перекрытие — перекрышу печи. В нижних точках дымооборотов (в подвертке, где газы совершают поворот снизу вверх) помещают небольшие прочистные дверцы — чистки для удаления сажи и летучей золы В последнем газоходе перед дымовой трубой помещают задвижки для регулирования скорости движения дымовых газов и полного прекращения их движения после окончания топки печи.

Для ускоренного нагревания помещений в начальный период отопления в массиве печей иногда устраивают тепловоздушные камеры, представляющие собой открытые в помещения полости, не сообщающиеся с дымооборотами. Для лучшего обогревания нижней зоны отапливаемых помещений печи (особенно расположенные у внутренних стен) часто делают с подтопочным дымооборотом, что обеспечивает усиленный прогрев нижней их части.

§ 12.3. Классификация отопительных печей

Конструктивное исполнение печей чрезвычайно разнообразно. На конструкцию оказывают влияние вид используемого топлива и технология возведения печей. Отличаются основные материалы массива, толщина его стенок, форма печей в плане и их высота. Различны могут быть

Электронная библиотека http://tgv.khstu.ru/

схемы движения дымовых газов внутри печей и способы их отвода в атмосферу.

Печи рассчитывают на различную периодичность использования их в течение суток. Периодичность использования печи зависит от ее **теплоемкости**, т. е. от того количества теплоты, которое накапливается (аккумулируется) в массиве печи во время топки и передается затем в помещение вплоть до начала следующей топки. Принято считать, что новую топку печи необходимо начинать, когда средняя температура ее внешней поверхности понизится до температуры, превышающей на 10° температуру воздуха в помещении. Период времени от конца одной топки до начала другой называется **сроком остывания печи**.

По теплоемкости печи делят на **теплоемкие** и **нетеплоемкие.** Понятие о сроке остывания относится к теплоемким печам, так как нетеплоемкие печи теплоту не аккумулируют и требуют постоянной топки.

Теплоемкие печи в зависимости от срока их остывания подразделяют на печи большой теплоемкости (со сроком остывания до 12 ч), средней (8 ч) и малой (3—4 ч) теплоемкости. Таким образом, печи большой теплоемкости потребуется протапливать при расчетной температуре наружного воздуха для проектирования отопления (параметры Б по главе СНиП 2.04.05-86) 2 раза в сутки, печи средней теплоемкости — 3 раза, печи малой теплоемкости — топить с незначительными перерывами.

Более точно теплоемкость печей характеризует их активный объем, от которого зависит и коэффициент неравномерности теплопередачи печей M (см. § 12.1). Печи, имеющие активный объем 0,2 м³ и более, относят к теплоемким; при активном объеме менее 0,2 м³ печи считают нетеплоемкими.

Активным объемом называют объем нагревающегося массива печи (включая пустоты), определяемый произведением площади печи на уровне низа топки на активную (расчетную) высоту. Активная высота печи принимается от низа топки или дна нижележащего подтопочного канала (см. рис. 12.3, *б*) до верхней (при толщине перекрыши до 140 мм) или нижней (>140 мм) плоскости перекрыши.

Теплоемкие печи применяют для отопления жилых и общественных зданий, нетеплоемкие — для отопления зданий с кратковременным пребыванием людей.

Электронная библиотека http://tgv.khstu.ru/

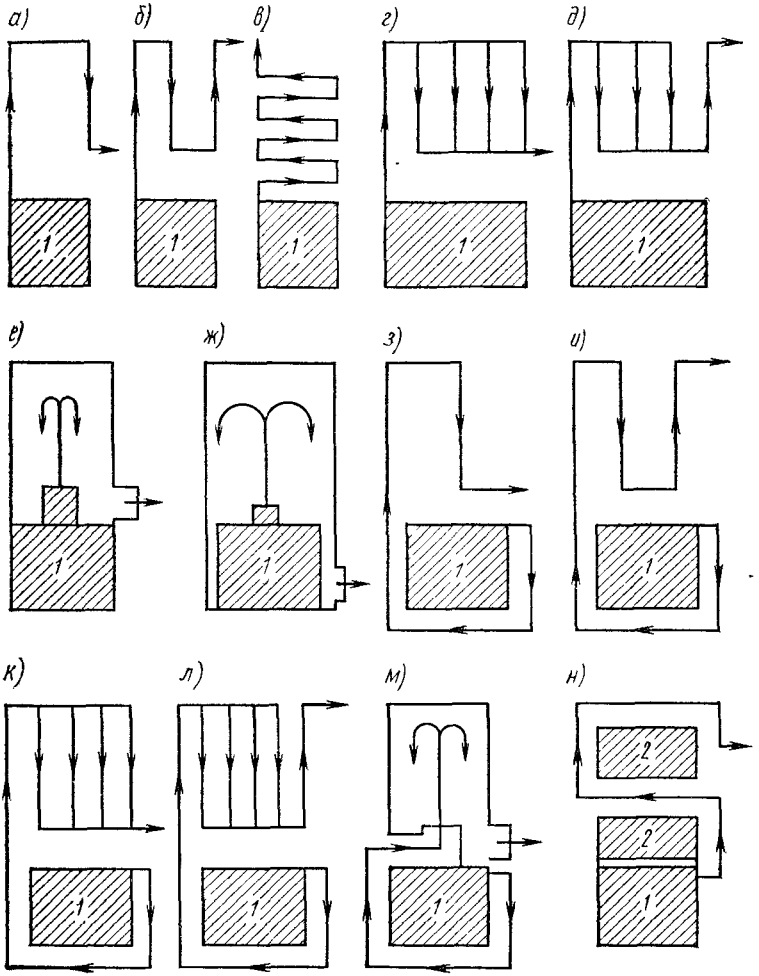

Рис. 12.2. Схемы движения дымовых газов в отопительных печах
1 — топливник; *2* — тепловоздушная камера

По **температуре теплоотдающей поверхности** в соответствии с предъявляемыми требованиями различают *печи умеренного прогрева* (толстостенные печи с толщиной стенок 120 мм и более, нагревающиеся в отдельных местах

Электронная библиотека http://tgv.khstu.ru/

до температуры 90 °С), *повышенного прогрева* (тонкостенные печи с толщиной стенок газохода до 70 мм, температура поверхности которых в отдельных точках доходит до 110—120 °С) и *высокого прогрева* (печи, температура поверхности которых не ограничена).

По схеме движения дымовых газов печи устраивают:

с движением газов по каналам, соединенным *последовательно*: однооборотные (рис. 12.2, *а*) с одним подъемным каналом, двухоборотные (рис. 12.2, *б*) с двумя подъемными каналами, многооборотные с восходящим движением газов (рис. 12.2, *в*) по нескольким подъемным каналам;

с движением газов по каналам, соединенным *параллельно*: однооборотные (рис. 12.2, *г*), двухоборотные (рис. 12.2, *д*);

со свободным движением газов — *бесканальные* (колпаковые) (рис. 12.2, *е*, *ж*);

с движением газов по *комбинированной* системе каналов с нижним прогревом (с подтопочным дымооборотом) — последовательных (рис. 12.2, *з*, *и*), параллельных (рис. 12.2, *к*, *л*), с бесканальной надтопочной частью (рис. 12.2, *м*);

с движением газов по каналам, соединенным последовательно вокруг *тепловоздушных камер* (рис. 12.2, *н*).

По **материалу массива и отделке внешней поверхности** печи бывают (в порядке убывания теплоемкости): 1) кирпичные изразцовые; 2) кирпичные оштукатуренные; 3) бетонные из жаростойких блоков; 4) кирпичные в металлических футлярах; 5) стальные с внутренней футеровкой из огнеупорного кирпича; 6) чугунные без футеровки.

По **форме в плане** печи выполняют прямоугольными, квадратными, круглыми, угловыми (треугольными).

По способу отвода дымовых газов различают печи с удалением газов через внутристенные каналы, через насадные и коренные дымовые трубы. Внутристенные домовые каналы устраивают в кирпичной кладке стен зданий. Печи соединяют с каналами горизонтальными металлическими патрубками длиной не более 400 мм. Насадные трубы возводят непосредственно над печами (см. рис. 12.1). Коренные трубы сооружают относительно редко на самостоятельных фундаментах.

При массовом строительстве обычно используют **типовые печи**, заранее разработанные для сжигания определенного вида топлива, причем печи могут быть рассчитаны на

Электронная библиотека http://tgv.khstu.ru/

периодическую топку, на непрерывное или затяжное горение топлива. Конструкции таких печей имеют теплотехнические характеристики, полученные на основе лабораторных испытаний.

§ 12.4. Конструирование и расчет топливников теплоемких печей

Топливники печей представляют собой камеры, в которые для горения топлива подводится воздух, где поддерживается высокая температура и откуда отводятся нагретые продукты сгорания. При этом имеют место частичная теплоаккумуляция в массиве топок и теплопередача через их стенки в помещения. Топливники должны обеспечивать получение расчетных количеств теплоты, создавать условия для наиболее полного сжигания топлива (с КПД не менее 90%) и регулирования интенсивности горения, обеспечивать удобство и безопасность эксплуатации.

Топочные процессы горения аналогичны процессам, рассматриваемым в дисциплине «Теплогенерирующие установки». При конструировании топливников и их тепловом расчете ориентируются на усредненные параметры выбранного вида топлива, причем исходят из его низшей теплоты сгорания ($Q_н^р$,кДж/кг).

Топливники печей подразделяют на **слоевые** (горение в основном в слое твердого топлива) и **факельные** (горение газообразного топлива, опилок, лузги и другого пылевидного топлива во взвешенном состоянии).

В зависимости от вида применяемого топлива различают топливники для сжигания дров, бурого и каменного угля, антрацита, торфа, горючих сланцев, а также соломы, лузги, шелухи, опилок, кизяка и других местных горючих веществ.

Рассмотрим конструкции топливников наиболее распространенных теплоемких печей, предназначенных для сжигания твердого топлива.

Топливники старой конструкции **для сжигания дров** делали с глухим подом (рис. 12.3, *а*). Дрова, лежащие на поде, плохо омывались воздухом, поступавшим только через открытую топочную дверцу. Поэтому значительная часть воздуха не участвовала в процессе горения топлива и охлаждала топочное пространство. Избыток воздуха до-

Электронная библиотека http://tgv.khstu.ru/

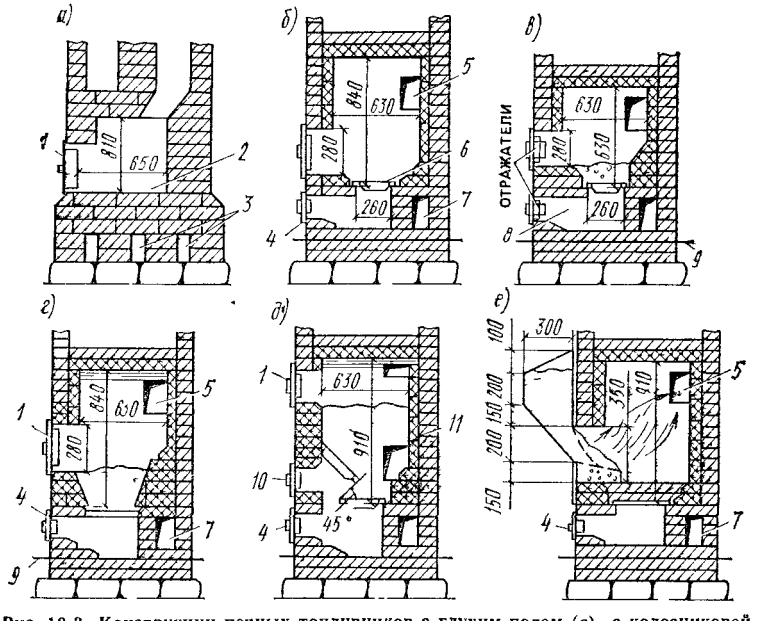

Рис. 12.3. Конструкции печных топливников с глухим подом (*а*), с колосниковой решеткой для сжигания дров (*б*), каменного угля (*в*), антрацита (*г*), влажного торфа (*д*), с бункером для сжигания местных горючих веществ (*е*)

1 — топочная дверца, *2* — под топки *3* — шанцы, *4* — поддувальная дверца; *5* — проем для отвода продуктов сгорания топлива, *6* — колосниковая решетка, *7* — подтопочный канал для нижнего прогрева печи, *8* — поддувало и зольник; *9* — гидроизоляция, *10* — шуровочная дверца, *11* — футеровка

стигал большой величины. КПД топливника с глухим подом не превышал 35%.

На рис. 12.3, *б* представлен топливник для сжигания дров с колосниковой решеткой. Воздух через поддувало снизу довольно равномерно пронизывает весь слой горизонтально уложенных поленьев. Избыток воздуха уменьшается, повышается температура горения, в результате увеличивается КПД топливника. Топливник делают сравнительно высоким для дожигания летучих веществ топлива. На рисунке изображен топливник печи с нижним прогревом: продукты горения из топки сначала опускаются в подтопочный канал и лишь затем поднимаются в надтопочную часть печи. Топливники тепловой мощностью более 3000 Вт футеруют изнутри огнеупорным или тугоплавким кирпичом.

Электронная библиотека http://tgv.khstu.ru/

Топливник **для сжигания каменного угля** (рис. 12.3, *в*) оборудуют колосниковой решеткой с увеличенной площадью живого сечения (для горения требуется большее количество воздуха, чем для дров). Толщина слоя угля доходит до 200 мм, поэтому колосниковую решетку несколько опускают по отношению к низу загрузочной дверцы. Выход летучих веществ при горении угля небольшой, и высоту топливника делают несколько меньшей, чем при сжигании дров.

При сжигании бурого угля, топлива, имеющего высокую зольность (12% и более), необходимо увеличивать размеры зольника.

Топливник **для сжигания антрацита** (рис. 12.3, *г*) устраивают с неглубокой шахтой, в основании которой помещают колосниковую решетку увеличенной площади. Это способствует образованию слоя топлива, в котором развивается высокая температура. Антрацит горит с малым выходом летучих веществ, поэтому объем топливника значительно сокращается по сравнению с его объемом при сжигании дров.

Для сжигания влажного торфа (рис. 12.3, *д*) применяют полушахтный топливник, имеющий наклонную и горизонтальную колосниковые решетки. В передней стенке топливника помещают третью дверцу — шуровочную. На наклонной решетке торф подсушивается. Выделяющийся в процессе сушки водяной пар отводится через паровыпускную щель в верхней части топки. Сгорание высушенного сползающего торфа происходит на горизонтальной решетке.

Подобным же образом устраивают топливники для сжигания кизяка.

Топливник **для сжигания соломы, опилок, подсолнечной лузги** (рис. 12.3, *е*) дополняется наружным бункером для топлива. Под бункером помещается стальной конус с отверстиями диаметром 6 мм для подвода воздуха к топливу, поступающему в топку. Частички топлива подхватываются струями воздуха и сгорают налету. Дополнительный воздух может подаваться через щели в поде с регулированием при помощи поддувальной дверцы.

Сжигание твердого топлива в топливниках теплоемких печей происходит при нестационарном режиме горения. **Тепловой расчет топливников** выполняют для основного периода интенсивного горения топлива, хотя при горении

Электронная библиотека http://tgv.khstu.ru/

топлива наблюдаются начальный период, когда температура в топке нарастает, и завершающий период, когда температура понижается.

Размеры топливника определяют в зависимости от тепловой мощности печи и удельного теплового напряжения объема топки (прил. 1), допустимого для выбранного вида топлива.

Расход топлива G, кг, за время одной топки печи

$$G = 3{,}6Q_{\text{п}}(m+n)/Q_{\text{н}}^{\text{р}}\eta_{\text{п}}, \qquad (12.1)$$

где $Q_{\text{п}}$ — расчетные теплопотери, Вт, отапливаемых печью помещений или, что то же, тепловая мощность печи; $m+n$ — продолжительность топки и срок остывания печи, ч; для основных видов топлива продолжительность топки печи m может быть принята по табл. 12.1; $Q_{\text{н}}^{\text{р}}$ — низшая теплота сгорания топлива, кДж/кг

Таблица 12.1. Средняя продолжительность топки теплоемких печей умеренного прогрева m

Топливо	Значения m, ч, при тепловой мощности печи $Q_{\text{п}}$, Вт			
	менее 1750	1750—3500	3500—6000	более 6000
Дрова	1	1,25	1,6	2
Каменный уголь	1,5	1,9	2,4	3
Антрацит	2	2,5	3,2	4

(прил. 1); $\eta_{\text{п}}$ — КПД печи; для печей с колосниковой решеткой при сжигании антрацита $\eta_{\text{п}}=0{,}75$, при сжигании топлива других видов — 0,7, для печей с глухим подом — 0,35.

Затем, зная количество загружаемого в печь топлива, определяют **площадь ее пода** $A_{\text{под}}$, м²:

$$A_{\text{под}} = G/\rho h_{\text{сл}}, \qquad (12.2)$$

где ρ — плотность топлива, кг/м³; $h_{\text{сл}}$ — толщина слоя топлива, м. Средние значения двух последних величин приведены в прил. 1.

При использовании типового проекта печи площадь пода не рассчитывают, а принимают по чертежам и сразу переходят к уточнению высоты топливника.

Электронная библиотека http://tgv.khstu.ru/

Площадь колосниковой решетки, размещаемой в пределах пода $A_{к.р}$, м², вычисляют по формуле

$$A_{к.р.} = G/mB_р, \qquad (12.3)$$

где $B_р$ — допустимое удельное напряжение колосниковой решетки, кг/(ч·м²); средние значения даны в прил. 1.

Размеры пода и колосниковой решетки выбирают в зависимости от размеров кирпича, блоков.

Далее находят или уточняют (имея типовые чертежи) **высоту топливника** печи. Топливник по высоте должен вмещать слой топлива необходимой толщины и свободное пространство над этим слоем. Объем свободного пространства должен быть тем больше, чем выше содержание в топливе летучих веществ.

Высоту топливника $h_т$, м, определяют, используя зависимость удельного теплового напряжения объема топливника $Q_т/V_т$, Вт/м³, от вида топлива:

$$h_т = \frac{GQ^р_н\eta_т}{3{,}6mA_{под}(Q_т/V_т)}, \qquad (12.4)$$

где $\eta_т$ — КПД топливника, учитывающий неполное сгорание и провал в зольник части топлива; принимают при колосниковой решетке равным 0,9, при глухом поде — 0,7; m — продолжительность топки, ч (см. табл. 12.1); $Q_т/V_т$ — допустимое удельное тепловое напряжение объема топливника, Вт/м³ (прил. 1).

Высоту топливника, полученную по формуле (12.4), округляют, ориентируясь при кирпичных печах на целое число рядов уложенного плашмя кирпича (толщина одного ряда 70 мм), при блочных печах — на целое число блоков. При этом для поддержания высокого КПД топки фактическое удельное тепловое напряжение объема топливника не должно отличаться от принятого более чем на 15%.

Наконец, рассчитывают площадь поддувального отверстия $A_{п.о}$, м²

$$A_{п.о} = \frac{GL_0(1 + t_в/273)}{3600mv}, \qquad (12.5)$$

где L_0 — объем воздуха, практически необходимого при его температуре 0 °С и нормальном атмосферном давлении для сжигания 1 кг топлива, м³/кг (прил. 1); $t_в$ — температура воздуха в помещении, °С; v — скорость движения воздуха в живом сечении поддувального отверстия; принимают равной 1—2 м/с.

Электронная библиотека http://tgv.khstu.ru/

§ 12.5. Конструирование и расчет газоходов теплоемких печей

Горячие дымовые газы поступают под действием естественной тяги из топливника в газоходы печи. Газоходы, как видно из классификации печей, представляют собой разветвленную систему дымооборотов, внутренние поверхности которых, непосредственно омываемые дымовыми газами, являются **тепловоспринимающими**.

Газоходы конструируют таким образом, чтобы за счет теплообмена на тепловоспринимающих поверхностях температура дымовых газов понижалась до 110—130 °С, т. е. до уровня, ниже которого возможны недопустимые явления — конденсация водяного пара и интенсивное выпадение сажи.

В помещение теплота передается при теплообмене на наружных теплоотдающих поверхностях печи. **Теплоотдающими** называют наружные поверхности газоходов, омываемые с внутренней стороны дымовыми газами, а с наружной — воздухом помещения. Наружную поверхность перекрыши считают теплоотдающей, если ее толщина меньше 210 мм, а высота печи не превышает 2100 мм.

Теплоотдающие поверхности печи могут быть открытыми, обращенными в отступку (полость между стеной помещения и поверхностью печи) или в тепловоздушную камеру. Теплоотдача в открытую с двух сторон широкую (шириной 130 мм и более) отступку отличается незначительно от теплоотдачи с открытой поверхности печи. При закрытой по бокам отступке теплоотдача с поверхности выходящей в отступку стенки печи заметно уменьшается (на 25—50%).

При конструировании теплоемких печей придерживаются следующих **общих правил:**

1) площадь теплоотдающих поверхностей должна соответствовать площади тепловоспринимающих;

2) скорость движения дымовых газов должна быть, с одной стороны, возможно большей для увеличения плотности теплового потока на тепловоспринимающей поверхности; с другой стороны, ограничена для того, чтобы потери давления при движении газов соответствовали возникающему естественному циркуляционному давлению (тяге);

Электронная библиотека http://tgv.khstu.ru/

3) объем массива должен быть достаточен для поддержания заданного теплового режима помещений.

При конструировании **печей с последовательными дымооборотами** (см. рис. 12.2, *а*, *б*) число оборотов ограничивают. В старых многооборотных печах (см. рис. 12.2, *в*) наблюдался неравномерный прогрев газоходов, вызывавший появление трещин в кладке; вследствие повышения потерь давления в печах приходилось увеличивать высоту дымовых труб; также увеличенным было число мест, где скапливалась сажа.

Последовательные дымообороты делают преимущественно вертикальными, а не горизонтальными, избегая явления недогрева нижних стенок горизонтальных каналов, что приводит к понижению КПД печей.

Печи с параллельными дымооборотами введены в практику русским архитектором И. И. Свиязевым (см. рис. 12.2, *г*, *д*). При их конструировании подъемный канал предусматривают одиночным, опускных каналов устраивают несколько. Кроме того, каналы прокладывают с попутным движением дымовых газов, в результате чего обеспечиваются равномерность распределения газов по спускным каналам (и их прогревания), а также саморегулирование этого распределения. Напротив, равномерность прогревания нарушается, если параллельные каналы сделать подъемными или с тупиковым движением газов в них.

Преимуществами печей с параллельными дымооборотами являются уменьшение потерь давления в газоходах, увеличение теплоаккумулирующего массива.

Для устранения недостатка таких печей — перегревания их верхней зоны — предусматривают направление наиболее горячих газов из топливника в подтопочный канал, т. е. печи устраивают с нижним прогревом.

Бесканальные (колпаковые) печи разработаны русским инженером В. Е. Грум-Гржимайло (см. рис. 12.2, *е*, *ж*). В надтопочной части такой печи газоходы отсутствуют. Горячие газы из топливника поднимаются в виде активной центральной струи. Дойдя до перекрыши печи и далее, соприкасаясь с тепловоспринимающей поверхностью стенок, газы охлаждаются и, утяжеляясь, опускаются вниз. При этом газы частично подмешиваются к восходящей струе, частично внизу удаляются из печи в дымовой канал.

Электронная библиотека http://tgv.khstu.ru/

Для увеличения массива внутрь печи вводят контрфорсы — устраивают колодцевую кладку.

Основными достоинствами бесканальных печей являются простота конструкции, высокая теплоотдача вследствие повышения КПД, незначительные потери давления. К недостаткам их (помимо общих) относится перегрев верхней части, а следовательно, верхней зоны помещений. Для уменьшения перегрева устраивают комбинированные газоходы — перед колпаками газы пропускают через подтопочный канал (см. рис. 12.2, *м*).

Теплоаэродинамический расчет газоходов печей выполняют, как и тепловой расчет топливников, для основного периода интенсивного горения топлива.

При расчете газоходов сконструированной печи или печи выбранной типовой конструкции исходят из результатов теплового расчета топливника. Предварительно, после уточнения высоты топливника по формуле (12.4), соответственно увеличивают или уменьшают высоту надтопочной части печи с тем, чтобы обеспечить условия теплового расчета газоходов.

Теплоаэродинамический расчет газоходов заключается в проверках:

1) тепловосприятия стенками топливника и каналов;
2) скорости движения газов в каналах;
3) теплоаккумулирующей способности массива печи;
4) плотности теплового потока на теплоотдающей поверхности печи.

1. **Расчет тепловосприятия печи.** Проверяется соответствие действительного тепловосприятия печи необходимому тепловосприятию. За период времени от начала одной топки до начала другой, т. е. с учетом срока остывания, от печи в помещение должно быть передано общее количество теплоты $Q_{общ}$, кДж, равное теплопотерям помещения за этот же период [показаны в числителе формулы (12.1)]:

$$Q^{тр}_{от щ} = 3{,}6 Q_п (m + n). \qquad (12.6)$$

Это общее количество теплоты должно быть воспринято внутренними поверхностями топливника и газоходов за период времени от начала до конца одной топки печи (за m часов), т. е. должно удовлетворяться равенство

$$Q_{общ} = m Q_{воспр}, \qquad (12.7)$$

Электронная библиотека http://tgv.khstu.ru/

где $Q_{\text{воспр}}$ — действительное тепловосприятие стенками топливника и газоходов печи, кДж/ч; практически вычисляется по формуле

$$Q_{\text{воспр}} = 3{,}6\,(q_{\text{т}}a_{\text{т}} + q_1a_1 + q_{\text{к}}a_{\text{к}} + q_{\text{пр}}a_{\text{пр}} + q_{\text{посл}}a_{\text{посл}}); \quad (12.8)$$

$q_{\text{т}}$, q_1, $q_{\text{к}}$, $q_{\text{пр}}$, $q_{\text{посл}}$ — плотность воспринимаемого теплового потока, Вт/м² (прил. 2), соответственно на внутренней поверхности топливника (индекс «т»), первого газохода («1»), колпака («к»), промежуточных («пр») и последнего («посл») газоходов; $a_{\text{т}}$, a_1, $a_{\text{к}}$, $a_{\text{пр}}$, $a_{\text{посл}}$ — площадь, м², соответствующих газоходов.

2. **Расчет скорости движения газов в каналах печи.** Проверяется скорость движения газов в характерных местах газоходов.

Скорость движения газов $v_{\text{г}}$, м/с, определяют по видоизмененной формуле (12.5)

$$v_{\text{г}} = \frac{GL_0(1 + t_1/273)}{3600mA_{\text{кан}}}, \quad (12.9)$$

где $t_{\text{г}}$ — среднее значение температуры дымовых газов в отдельных частях газоходов печи, °С; при расчетах принимают по прил. 2; $A_{\text{кан}}$ — площадь поперечного сечения каналов, м².

Получаемые при расчетах значения скорости движения должны находиться в пределах, указанных в прил. 2, что будет свидетельствовать о их допустимости в отношении возможных потерь давления в печи при естественной тяге.

3. **Расчет теплоаккумуляции печи.** Проверяется соответствие действительной теплоаккумуляции массивом печи необходимой теплоаккумуляции.

За период времени от начала до конца одной отдельной топки (за m часов) помимо восполнения теплопотерь помещения, в массиве печи должно быть аккумулировано количество теплоты $Q_{\text{акк}}$, кДж, равное теплопотерям помещения за период времени от конца одной топки до начала другой (за срок остывания n, ч), т. е.

$$Q_{\text{акк}}^{\text{тр}} = 3{,}6Q_{\text{п}}n. \quad (12.10)$$

Действительную теплоаккумулирующую способность сплошного массива печи вычисляют по формуле

$$Q_{\text{акк}} = (V_{\text{а}} - V_{\text{п}})\,\rho_{\text{м}}c_{\text{м}}\Delta t, \quad (12.11)$$

где $V_{\text{а}}$ — активный объем печи, м³; $V_{\text{п}}$ — объем полостей в пределах активного объема, м³; при предварительных расчетах принимают долю полостей в $V_{\text{а}}$ для толстостенных круглых печей — 0,25, толстостенных прямоугольных — 0,3, тонкостенных бескаркасных — 0,35, тонкостенных каркасных — 0,38; $\rho_{\text{м}}$ — плотность массива, кг/м³; $c_{\text{м}}$ — удельная теплоемкость массива, кДж/(кг·°С); Δt —

Электронная библиотека http://tgv.khstu.ru/

среднее изменение температуры массива, °С, в промежутке времени от начала топки до максимально разогретого состояния массива печи; изменение температуры приблизительно составляет 80 °С для толстостенных печей, 120 °С для тонкостенных печей массой свыше 1000 кг, 160 °С для более легких тонкостенных печей.

4. **Проверка теплоотдачи печи.** Проверяется соответствие действительной теплоотдачи печи средней необходимой (заранее установленной) теплоотдаче. Для проверки определяют плотность теплового потока на теплоотдающей поверхности сконструированной печи или печи выбранной типовой конструкции (с учетом изменений, внесенных в нее при уточнении высоты топливника). Плотность теплового потока на теплоотдающей поверхности печи $q_{отд}$, Вт/м², вычисляют по формуле

$$q_{отд} = Q_п / A_п, \qquad (12.12)$$

где $Q_п$ — тепловая мощность печи, Вт; $A_п$ — суммарная расчетная площадь теплоотдающей поверхности печи, м²; при расчете учитывают не только площадь открытой поверхности печи, но и боковой поверхности, обращенной в отступку (с коэффициентом 0,75 при узкой — шириной 0,07—0,13 м — или закрытой с боков отступке; с коэффициентом 0,5 при полностью закрытой отступке с решетками), а также перекрыши (с коэффициентом 0,75 при ее толщине 0,14 м).

Полученное значение плотности теплового потока сопоставляют со средними значениями плотности, указанными в специальной литературе (например, в Справочнике проектировщика, 3-е изд., 1975 г.). К примеру, плотность теплового потока толстостенной печи при двукратной в сутки топке дровами должна находиться в пределах 460—640 Вт/м², для тонкостенной печи эти значения увеличиваются на 20%.

Одновременно удовлетворить трем уравнениям (12.7), (12.10) и (12.12), выражающим требования по тепловосприятию, теплоаккумуляции и теплоотдаче печи, затруднительно. Поэтому при тепловых расчетах по указанным уравнениям допускаются отклонения до ±15%.

§ 12.6. Конструирование дымовых труб для печей

Для каждой печи прокладывают отдельный дымовой канал в стене или дымовую трубу. Как исключение, к одной дымовой трубе можно присоединить две печи, расположенные в одной квартире на одном этаже здания, но с

Электронная библиотека http://tgv.khstu.ru/

устройством в трубе рассечки высотой не менее 1 м от низа присоединительных патрубков печей. Предпочтение отдают дымовым каналам в стенах, и только в тех случаях, когда их устроить невозможно, применяют насадные и коренные трубы.

Размер поперечного сечения дымовых каналов и труб зависит от тепловой мощности печей и определяется исходя из скорости движения дымовых газов 1,5—2 м/с. На практике принимают каналы и трубы размером 0,14×0,14 м при тепловой мощности печей до 3,5 кВт, 0,14×0,2 м — от 3,5 до 5,2 кВт, 0,14×0,27 — от 5,2 до 7 кВт.

Дымовые трубы должны быть вертикальными, хотя в случае необходимости возможно отклонение трубы от вертикали в сторону (увод), которое делают под углом 30°, с относом по осям не более 1 м.

Трубы выкладывают из глиняного кирпича на известковом растворе со стенками толщиной 0,12 м или из жаростойкого бетона толщиной не менее 0,06 м. Высоту дымовых труб (включая высоту печей от уровня колосниковой решетки) принимают не менее 5 м для создания достаточной естественной тяги. При этом оголовок труб устраивают таким образом, чтобы их устье возвышалось не менее чем на 0,5 м над плоской кровлей, парапетом или коньком скатной крыши при выводе труб на расстояние до 1,5 м от конька; располагалось не ниже парапета или конька кровли — при расстоянии от 1,5 до 3 м и не ниже линии, проведенной от конька вниз под углом 10° к горизонту,— при расстоянии более 3 м. По этим же правилам выводят оголовки печей по отношению к кровле более высокого здания, пристроенного к зданию с печным отоплением.

Зонты и другие насадки над устьем дымовых труб не устраивают. Предусматривают лишь искроуловители из металлической сетки с отверстиями не более 5×5 мм, если здание имеет кровлю, выполненную из горючих материалов. Устье кирпичных труб покрывают на высоту 0,02 м слоем цементного раствора.

Естественная тяга возникает вследствие различия в плотности относительно холодного наружного воздуха и горячих дымовых газов по высоте печи и дымовой трубы. Чем больше разность температуры газов и воздуха, а следовательно, и их плотности и удельного веса, тем больше естественная тяга как разность аэростатического давления.

Электронная библиотека http://tgv.khstu.ru/

Разность аэростатического давления наружного воздуха и дымовых газов (естественное циркуляционное давление при воздушном отоплении — см. § 10.8) Δp_e, Па, при высоте печи h_1, м (от колосниковой решетки до верха газоходов) и дымовой трубы h_2, м (от верха газоходов печи до устья дымовой трубы) можно считать равной

$$\Delta p_e = g\,[h_1(\rho_н - \rho_1) + h_2(\rho_н - \rho_2)] = h_1(\gamma_н - \gamma_1) + h_2(\gamma_н - \gamma_2), \quad (12.13)$$

где $\gamma_н$, γ_1, γ_2 — средний удельный вес, Н/м^3, соответственно наружного воздуха, дымовых газов по высоте печи и дымовой трубы.

Располагаемую для расчетов разность давления определяют при сравнительно высокой температуре наружного воздуха (0 °С), имея в виду, что печь при этой температуре должна исправно действовать, обеспечивая необходимую тягу.

Дальнейшие расчеты заключаются в проверке соответствия располагаемой разности давления суммарным потерям давления при входе воздуха под колосниковую решетку, в слое топлива, при движении дымовых газов в газоходах печи и по дымовой трубе вплоть до их выхода в атмосферу. Расчет потерь давления в воздушно-газовом тракте выполняют так же, как они рассчитываются в газоходах котельных установок.

Соответствие суммарных потерь давления в печи и дымовой трубе располагаемой разности давления в большинстве случаев обеспечивается при соблюдении правил конструирования дымовых труб, а также скоростей движения дымовых газов, приведенных в прил. 2.

§ 12.7. Современные теплоемкие отопительные печи

В процессе многовекового применения в нашей стране печного отопления печи технически совершенствовались, происходил отбор перспективных конструкций печей. В настоящее время после проверки теплотехнических свойств, эффективности использования топлива, прогреваемости нижней части наиболее часто применяемых типов печей были выбраны печи, предназначенные для массового и индивидуального строительства. Создан «Перечень рекомендуемых отопительных печей для жилых и общественных зданий тепловой мощностью 1400—7000 Вт». В перечень включены 37 конструкций печей умеренного и повышенного прогрева

Электронная библиотека http://tgv.khstu.ru/

как одноярусных, так и двухъярусных (для двухэтажных зданий) с указанием коэффициента неравномерности теплопередачи. В печах предусмотрено применение унифицированной печной гарнитуры (дверок, заслонок, колосниковых решеток).

Типовые конструкции теплоемких отопительных печей обозначены ПТО (печи типовые одноярусные), ПТД (двухъярусные), ПТК (каркасные), ПТИ (изразцовые) с добавлением значений тепловой мощности печей в Вт при двух топках в сутки (например, ПТО-3300). Печи ПТО и ПТД — умеренного прогрева, печи ПТК и ПТИ — повышенного прогрева.

Печи ПТО, ПТД, ПТК устраивают в основном прямоугольными из полнотелого глиняного кирпича (плотностью более 1600 кг/м^3); для кладки топливника применяют также огнеупорные материалы Печи ПТИ выполняют из полнотелых керамических элементов заводского изготовления размером 0,22×0,2 м.

Рассмотрим конструкции толстостенных одноярусных кирпичных печей типа ПТО.

На рис. 12.4 представлена двухоборотная отопительная печь умеренного прогрева марки ПТО-2500 (M=0,3; $\eta_п$= =0,65 при сжигании дров), компактная, простая по конструкции, с хорошим прогревом средней части. Топливник предназначен для сжигания дров, но в нем можно сжигать также торф, каменный уголь, антрацит. Двухъярусная система дымооборотов обеспечивает повышение КПД, увеличение объема массива и теплоемкости печи.

Движение дымовых газов происходит по следующей схеме: продукты сгорания поднимаются из топливника по короткому вертикальному надтопочному каналу, затем в средней части опускаются от нижнего перевала к нижней подвертке, вновь поднимаются к верхнему перевалу и после верхней подвертки поступают в последний газоход, переходящий в насадную дымовую трубу.

Для отключения печи от дымовой трубы в последнем газоходе устанавливают две последовательно расположенные задвижки (при сжигании угля и торфа их заменяют одной задвижкой с отверстием в ней диаметром 15 мм). Для удаления сажи из подверток имеются две прочистные дверцы (чистки). Особенностью печи является скопление газов в области верхнего перевала, разобщающих печь

Электронная библиотека http://tgv.khstu.ru/

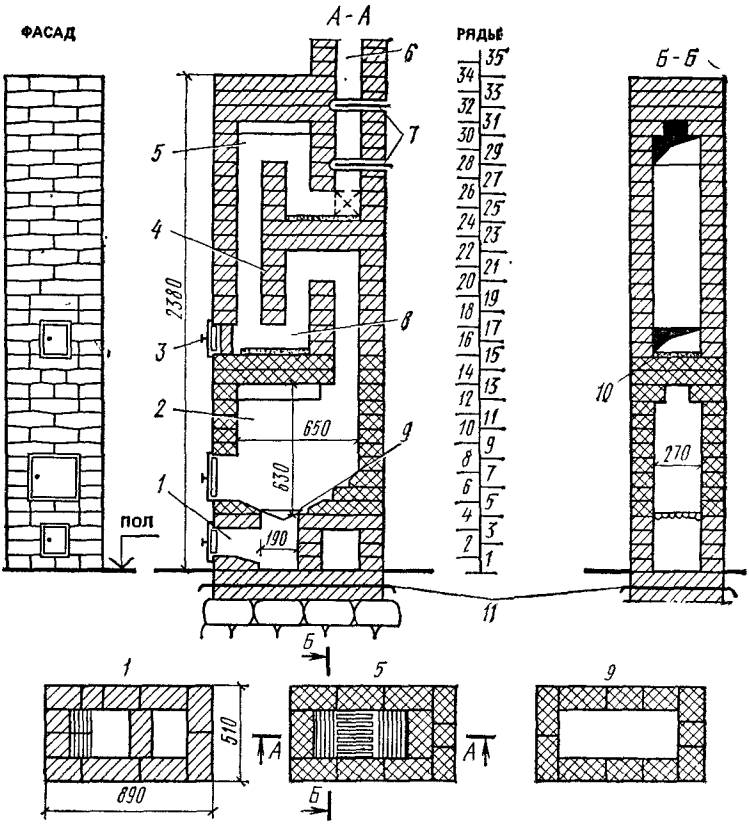

Рис. 12.4. Толстостенная отопительная печь умеренного прогрева марки ПТО-2500 с двумя последовательными дымооборотами

1 — поддувало; *2* — топливник; *3* — чистка; *4* — рассечка; *5* — верхний перевал; *6* — дымовая труба; *7* — задвижки; *8* — нижняя подвертка; *9* — колосниковая решетка; *10* — слой глинопесчаного раствора; *11* — гидроизоляция

с наружным воздухом при неплотно закрытых задвижках.

Печь сооружают из глиняного кирпича (245 шт.), топливник печи с 5 по 15 ряд — из тугоплавкого кирпича (110 шт.). На рис. 12.4 показана выкладка в плане кирпича на 1, 5 и 9 рядах. Недостатком печи является слабый прогрев ее нижней части, что, как известно, отрицательно влияет на температурные условия в обогреваемом помещении.

Электронная библиотека http://tgv.khstu.ru/

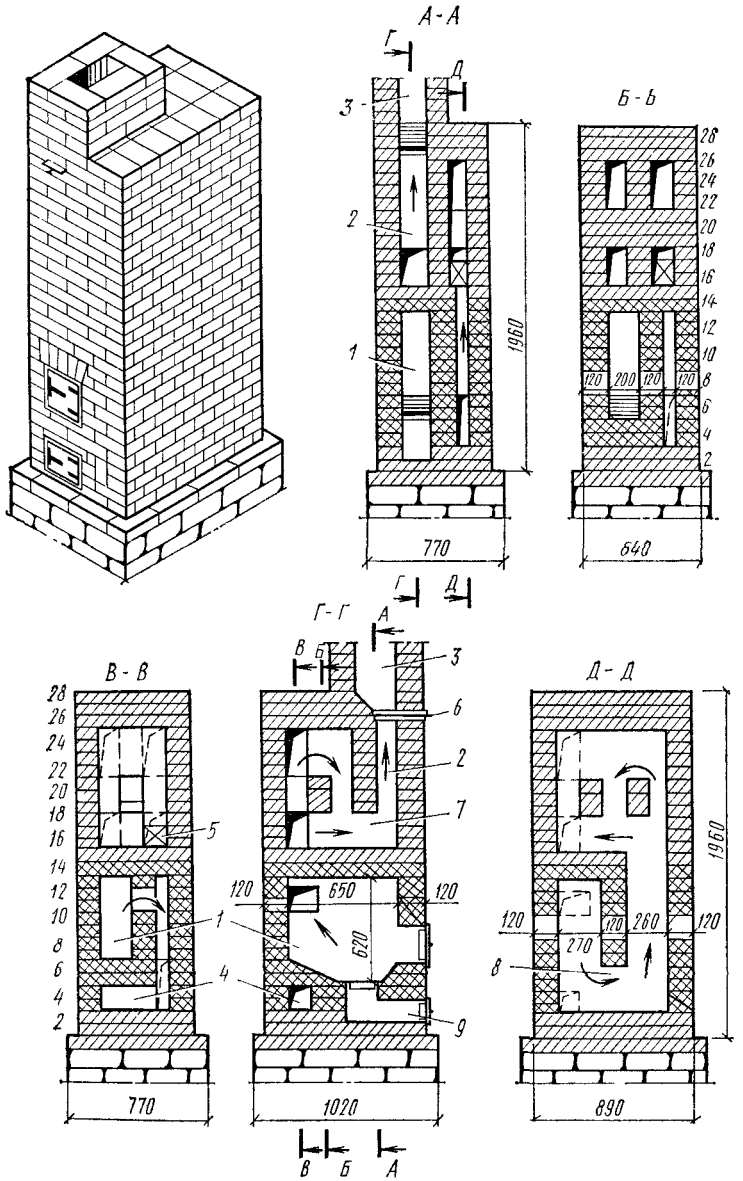

Рис. 12.5. Толстостенная отопительная печь умеренного прогрева марки ПТО-3300 с нижним прогревом

1 — топливник; *2* — последний газоход; *3* — насадная дымовая труба; *4* — подтопочный газоход; *5* — чистка; *6* — задвижка; *7, 8* — подверткн; *9* — поддувало

Электронная библиотека http://tgv.khstu.ru/

На рис. 12.5 изображена толстостенная отопительная печь умеренного прогрева марки ПТО-3300 (масса 1500 кг, M=0,3; $\eta_п$=0,7 при сжигании дров), отличающаяся улучшенным нижним прогревом.

Дымовые газы из топливника этой печи через отверстие в боковой стенке, показанное на разрезах *В—В* и *Г—Г*, опускаются через перевал по узкому каналу в подтопочную часть. Из газохода, находящегося под топливником, газы попадают в вертикальный канал и поднимаются в верхнюю часть печи (разрезы *А—А* и *Д—Д*) до перекрыши. В насадную дымовую трубу газы уходят через верхнюю подвертку на 16—18 рядах кирпича. Топливник печи выкладывают из огнеупорного кирпича. Ширина печи 0,64 м, длина 0,89 м.

Печь, рассчитанную на обогрев нижней зоны помещения, применяют в первую очередь для отопления жилых зданий, лечебных и детских учреждений. Недостатком печи является зауженный топливник, что вызывает эксплуатационные неудобства, особенно при использовании угля и торфа.

Толстостенные двухъярусные кирпичные печи принципиально не отличаются от одноярусных печей. Они могут иметь один (общий) топливник или отдельные топливники на каждом этаже зданий. Сооружение толстостенных печей умеренного прогрева требует значительных затрат труда. Поэтому в тех случаях, когда допустимо применение печей повышенного прогрева, многодельным толстостенным печам предпочитают облегченные быстромонтируемые печи, собираемые в каркасе и из керамических элементов и бетонных блоков.

Рассмотрим конструкцию **тонкостенных каркасных отопительных печей типа ПТК.** Сварной или сборный металлический каркас является пространственной конструкцией из угловой и полосовой стали, к которой прикрепляют загрузочную и другие дверцы. Печь полосовой связкой каркаса разделяют по высоте на нижний и верхний пояса. Каркас фундамента не имеет, его устанавливают на ножках непосредственно на пол помещения. Зольниковую (поддувальную) коробку и дымовыпускной патрубок с задвижкой изготовляют заранее из металла. Если каркасную печь предусмотрено облицевать асбестоцементными или металлическими листами, то эти листы вкладывают в каркас

Электронная библиотека http://tgv.khstu.ru/

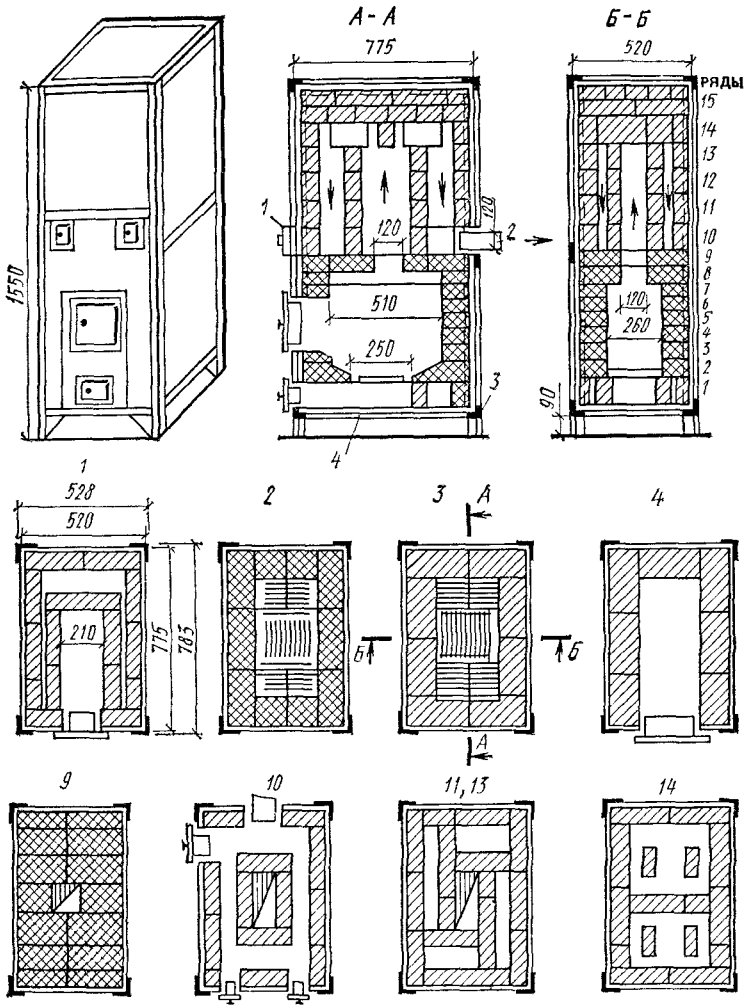

Рис. 12.6. Тонкостенная каркасная отопительная печь повышенного прогрева марки ПТК-3000

1 — чистка; *2* — дымовыпускной патрубок; *3* — каркас; *4* — *стальной лист* толщиной 1 мм

по мере сборки сначала нижнего, а затем верхнего пояса печи.

Электронная библиотека http://tgv.khstu.ru/

При наличии каркаса и облицовки надтопочную часть печей (для маломощных печей — и топочную) устраивают тонкостенной — из кирпича, устанавливаемого на ребро, т. е. со стенками толщиной 65 мм. В результате каркасные печи получаются значительно менее массивными, чем толстостенные печи. Однако при этом заметно возрастает неравномерность их теплопередачи. Следовательно, при пользовании каркасными печами увеличивается колебание температуры воздуха в обогреваемых помещениях. С другой стороны, единица активного объема каркасных печей характеризуется увеличенной теплоотдачей, что позволяет уменьшать габариты таких печей по сравнению с размерами толстостенных.

На рис. 12.6 дана тонкостенная каркасная отопительная печь повышенного прогрева марки ПТК-3000 (масса 780 кг, $M=0{,}44$; $\eta_п=0{,}7$ при сжигании дров). Показана однооборотная печь с параллельными опускными каналами и удалением газов через внутристенный дымовой канал или коренную дымовую трубу. Каркас ее выполняют из угловой стали 30×4 мм, кладку облицовывают асбестоцементными листами толщиной 5 мм. В нижнем поясе печи располагают топливник, складываемый из огнеупорного кирпича для сжигания кускового твердого топлива, со стенками толщиной 125 мм.

Дымовые газы из топливника через проем в своде поднимаются по центральному каналу в верхнем поясе печи до перекрыши толщиной 140 мм. После перевала поток газов разделяется и по четырем периметральным каналам опускается вдоль стенок толщиной 65 мм. Над топливником газы собираются в горизонтальном канале, снабженном тремя чистками, и направляются к дымовыпускному патрубку.

Каркасная печь — компактная и сравнительно легкая; ее масса в 2 раза меньше массы толстостенной печи ПТО такой же мощности. Недостатком печи является неравномерность теплопередачи — коэффициент неравномерности теплопередачи M при двух топках в сутки составляет 0,44 (вместо $M=0{,}3$ для печи ПТО-3300).

Тонкостенные сборно-блочные отопительные печи типа ПТИ лишены этого недостатка. Печи из изразцовых блоков для увеличения теплоемкости снабжают насадками и рассечками в газоходах. На рис. 12.7 показана тонкостенная

Электронная библиотека http://tgv.khstu.ru/

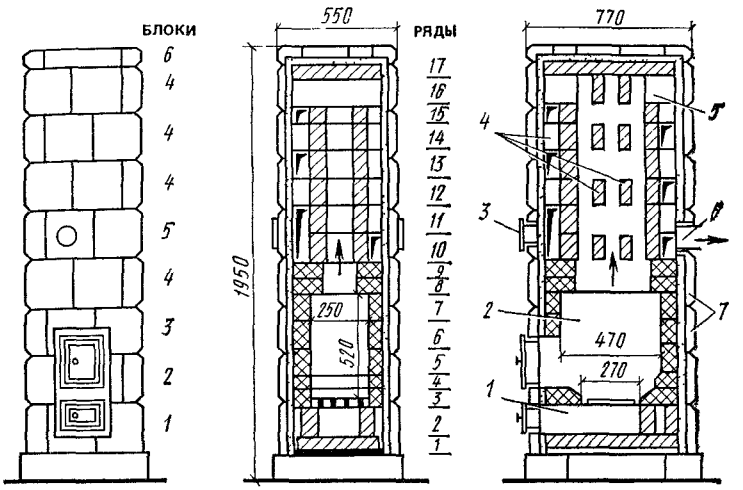

Рис. 12.7. Тонкостенная сборно-блочная отопительная печь повышенного прогрева марки ПТИ-3500

1 — зольник; *2* — топливник, *3* — чистка, *4* — рассечки, *5* — перевал, *6* — дымовыпускной патрубок; *7* — изразцовые блоки

отопительная печь ПТИ-3500 ($M=0{,}32$) повышенного прогрева, собираемая из изразцовых блоков. Печь однооборотная с удалением охлажденных газов через внутристенный дымовой канал.

Печь устанавливают на подставках, на которые помещают стальной лист по двум прокладкам из угловой стали. Над зольником, находящимся в пределах первого ряда блоков, выкладывают топливник из огнеупорного кирпича на ребро внутри второго, третьего и четвертого рядов блоков. Внутри последующих четырех рядов блоков устраивают подъемный и опускные каналы с рассечками из обыкновенного кирпича. Стенки печи образуют изразцовые блоки толщиной 90 мм, укладываемые, как и кирпичи, на глиняном растворе. Блоки перекрыши защищают одним рядом кирпича. Дымовыпускной патрубок устанавливают по месту в любой боковой стенке печи.

Дымовые газы из топливника печи ПТИ-3500, как и в каркасной печи, поступают по центральному каналу до перекрыши, после перевала опускаются у наружных стенок и поверх топливника направляются к дымовыпускному патрубку.

Электронная библиотека http://tgv.khstu.ru/

В индивидуальном дачном строительстве целесообразно применять **малогабаритные тонкостенные отопительные печи повышенного прогрева**, рассчитанные на периодическое использование, отличающиеся сравнительно высоким КПД и равномерной теплоотдачей. К печам такого типа относится отопительная печь марки П-1600, имеющая размер в плане 0,5×0,57 м. Печь проста по конструкции, так как устраивается бесканальной (колпаковой) с внутренней насадкой. При ее малой высоте (всего 1,6 м) смягчается недостаток колпаковых печей — перегрев верхней части помещений.

Печь П-1600 (масса 820 кг) можно устанавливать без фундамента на пол по усиленным балкам. Однако печь не рассчитана на нагрузку от насадной дымовой трубы, и для удаления из нее газов необходимо сооружение коренной дымовой трубы.

Для кладки указанных печей используют следующие основные материалы и изделия: кирпич и глину обыкновенные, тугоплавкие и огнеупорные, изразцовые и бетонные жаростойкие блоки, песок, шамотный порошок, печную гарнитуру, печную проволоку толщиной 1,5 мм.

Кирпичные печи выкладывают из отборного (правильной формы, полномерного), хорошо обожженного, полнотелого глиняного кирпича. Силикатный кирпич не применяют, так как он разрушается при высокой температуре. Обыкновенный красный кирпич перед укладкой на место выдерживают в воде в течение 2—3 мин, а огнеупорный увлажняют. Кирпичи и блоки кладут на глиняном растворе, представляющем собой жидкую смесь глины и песка в соотношении 1 : 1 или 1 : 2. При кладке огнеупорного кирпича вместо песка используют шамотный порошок.

Тугоплавкий кирпич (типа гжельского) применяют при возведении стенок или футеровки топливников для сжигания дров, огнеупорный кирпич (шамотный) — для сжигания угля и антрацита. Укладываемые кирпичи футеровки с основной кладкой печи не перевязывают.

Все кирпичи или блоки укладывают обязательно с перевязкой швов (как правило, в пределах полукирпича или полублока). Толщина швов при кладке обыкновенного кирпича должна быть не более 5 мм, огнеупорного — не более 3 мм. Все горизонтальные и вертикальные швы подлежат тщательному заполнению раствором.

Электронная библиотека http://tgv.khstu.ru/

Одновременно с возведением печи устанавливают чугунные печные приборы: загрузочную, поддувальную, прочистные дверцы, колосниковую решетку, задвижки, скрепляя их в необходимых случаях с кладкой отожженной проволокой.

Внутреннюю поверхность топливника и газоходов делают гладкой, без штукатурки, с затертыми швами. Наружная поверхность толстостенных печей может быть выполнена с декоративной расшивкой швов; чаще поверхность оштукатуривают глиняным раствором с добавлением волокнистых материалов (асбеста, стекловолокна). Тонкостенные печи заключают в металлический футляр или отделывают асбестоцементными листами (см. рис. 12.6). В старину печи покрывали декоративными изразцами.

§ 12.8. Нетеплоемкие отопительные печи

Теплоемкие печи с развитым теплоаккумулирующим массивом громоздки, занимают рабочую площадь в помещениях. **Простейшие нетеплоемкие печи** (так называемые «времянки») имеют малые габариты, бесфундаментные, их можно устанавливать в помещениях только на отопительный сезон. К таким печам относятся металлические печи, изготовляемые из листовой стали или отливаемые из чугуна. Металлические стенки могут защищаться футеровкой. Печи обычно состоят из одного топливника без внутренних газоходов.

Печи такого типа быстро нагревают помещения, но поддерживают необходимую температуру воздуха только в период топки. Температура отходящих газов чрезмерно высока, поэтому КПД печей понижен (0,4—0,5). Кроме того, эти печи неудовлетворительны в гигиеническом, эстетическом и пожарном отношениях. Применяют их ограниченно для отопления временных сооружений и помещений при периодическом пребывании людей.

Более совершенны и распространены **нетеплоемкие печи длительного горения**, в которые топливо загружается периодически, но при этом обеспечивается их продолжительная работа в течение 6—8 ч. Печи имеют незначительный массив и шахтный топливник увеличенного объема.

На рис. 12.8 изображена стационарная каркасная отопительная печь длительного горения тепловой мощностью

Электронная библиотека http://tgv.khstu.ru/

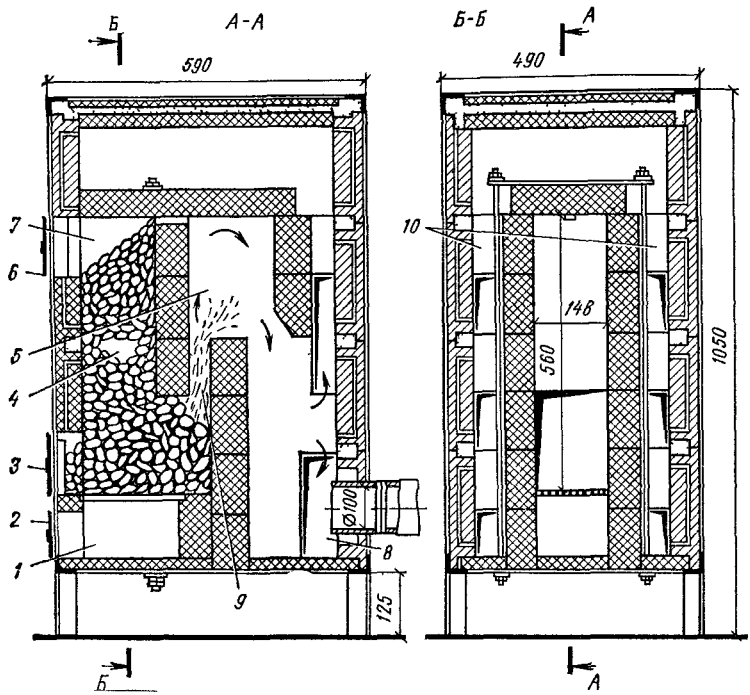

Рис. 12.8. Каркасная отопительная печь длительного горения АКХ-9 тепловой мощностью 2790 Вт

1 — зольник, *2* — поддувальная дверца· *3* — шуровочная дверца, *4* — топливник с колосниковой решеткой; *5* — промежуточная камера, *6* — топочная дверца *7* — шахта; *8* — коллектор, *9* — средний канал, *10* — боковые каналы

2790 Вт (масса 350 кг, площадь нагревательной поверхности 2,4 м², КПД печи 0,85—0,88) Топливник печи выполняют в виде узкой внутренней шахты из огнеупорного кирпича на ребро; кладку топливника стягивают двумя болтами. Подом шахты служит подвижная колосниковая решетка. В верхней части шахты устраивают отверстие для удаления водяного пара и частично газов, выделяющихся при подсушке и горении топлива. Поддувальную дверцу снабжают приспособлением для регулирования подачи воздуха и, таким образом, интенсивности горения топлива (0,26—1,0 кг/ч).

Горение происходит на поверхности естественного откоса топлива. В процессе горения топливо постепенно сполз-

Электронная библиотека http://tgv.khstu.ru/

зает вниз, и слой горящего топлива сохраняет постоянную толщину, т. е. в печи поддерживается постоянный режим горения.

При расчете нетеплоемких печей определяют площадь наружной нагревательной поверхности при известной тепловой мощности, задаваясь величиной удельного теплового потока по опытным данным (например, 3500 Вт/м² для гладкой металлической поверхности печи при сжигании угля). При этом учитывают также теплоотдачу стальных печных труб, если они имеются.

Расход топлива G_1, кг/ч, находят по формуле [обозначения см. формулу (12.1)]

$$G_1 = 3{,}6Q_{\text{п}}/Q_{\text{н}}^{\text{р}}\eta_{\text{п}}, \qquad (12\ 14)$$

где $\eta_{\text{п}}$ принимают равным 0,4 для кустарных металлических печей; 0,65 — для футерованных печей.

Зная расход топлива, устанавливают объем топливника $V_{\text{т}}$, м³, печи

$$V_{\text{т}} = kG_1/\rho_{\text{т}}, \qquad (12.15)$$

где k — коэффициент запаса топлнва, применяется при печах длительного горения; $\rho_{\text{т}}$ — плотность топлива, кг/м³.

К нетеплоемким печам относят **камины**, представляющие собой нишу для открытого сжигания топлива. Нишу оформляют в виде прямоугольного или полукруглого портала. Очаг для сжигания топлива лишь частично ограждают стенками. В помещение поступает излучение от сгорающего топлива и нагретых стенок.

Камин является декоративным элементом интерьера, благоприятно воздействует на людей, ускоренно обогревает помещение, способствует увеличению в нем воздухообмена. Однако как отопительное устройство камин несовершенен — его КПД не превышает 0,15—0,2.

По конструкции чаще встречаются камины с односторонним излучением от наклонной задней и развернутых боковых стенок (рис. 12.9), хотя возможно устройство менее эффективных по теплотехническим показателям каминов с двух- и трехсторонним излучением.

На рисунке даны общий вид и разрезы по камину, находящемуся на промежуточном этаже здания. Под камина снабжают колосниковой решеткой. Заднюю стенку выполняют наклонной (см. разрез на рис. 12.9) для уси-

Электронная библиотека http://tgv.khstu.ru/

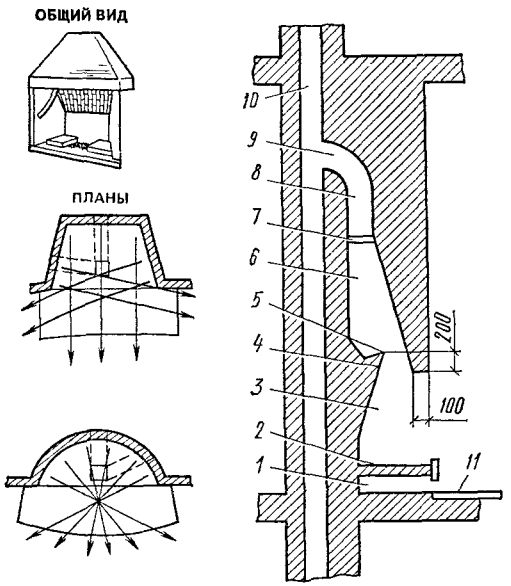

Рис. 12.9. Камин с односторонним излучением

1 — зольник, *2* — под с колосниковой решеткой посередине, *3* — топливник; *4* — наклонная задняя стенка; *5* — дымовой карниз; *6* — дымовая камера; *7* — задвижка; *8* — дымовая горловина; *9* — отвод, *10* — дымовая труба; *11* — подтопочный лист

ления излучения в нижнюю зону помещения. Над задней стенкой устраивают выступ — дымовой карниз для сбора конденсата, выпадающего из газов при растопке камина. Выше карниза помещают дымовую камеру для сбора продуктов сгорания топлива перед горловиной. Боковые и заднюю стенки, а также под камина футеруют огнеупорным кирпичом.

§ 12.9. Проектирование печного отопления

Прежде всего выбирают печь, подходящую для отопления помещения, с учетом требований, предъявляемых к ее конструкции (§ 12.2). Желателен выбор печи типовой конструкции, причем тепловая мощность, указанная в ее техническом паспорте, должна равняться расчетным теплопотерям помещения. Точного совпадения этих показателей

Электронная библиотека http://tgv.khstu.ru/

обычно не достигают (при выборе печи допустимо отклонение ±15%), поэтому после выбора теплоемкой печи приходится приводить ее теплоотдачу в соответствие с теплопотерями помещения. Для этого уточняют размеры и показатели элементов печи с учетом вида топлива и расположения ее в помещении: проверяют высоту топливника (см. § 12.4), тепловосприятие и скорость движения газов в каналах, теплоаккумулирующую способность и плотность теплового потока на теплоотдающей поверхности (см. § 12.5).

Затем выявляют влияние неравномерности теплопередачи печи на изменение температуры воздуха в помещении. Известно, что при эксплуатации одной и той же печи в различных по конструкции помещениях колебания температуры воздуха в них могут значительно отличаться. Поэтому проделанные расчеты дополняют проверкой на теплоустойчивость помещения, характеризующуюся амплитудой колебания температуры воздуха в этом помещении.

Амплитуду колебания температуры воздуха A_t, °С, при печном отоплении помещения определяют по формуле

$$A_t = \frac{0{,}7MQ_п}{\sum_{i=1}^{n}(BA)_i}, \qquad (12.16)$$

где M — коэффициент неравномерности теплопередачи, принимаемый по паспорту печи; B — коэффициент теплопоглощения i-й ограждающей конструкции помещения, Вт/(м²·°С); вычисляется по формулам, приведенным в гл. 2; A — площадь внутренней поверхности i-й ограждающей конструкции, м².

В формуле (12.16) числитель выражает тепловой поток, недодаваемый или излишне подаваемый печью в помещение при периодической топке; знаменатель — тепловой поток, выделяемый или поглощаемый поверхностью всех ограждений при изменении на 1 °С температуры воздуха в том же помещении.

Значение A_t, вычисленное по формуле (12.16), не должно превышать 3 °С. Если $A_t > 3$ °С, то, несмотря на удовлетворительное выполнение предыдущих проверок, необходимо вновь возвратиться к выбору печи, но более массивной с пониженным значением коэффициента M.

Проектирование печного отопления завершают разработкой **противопожарных мероприятий** по проверенным на практике правилам.

Электронная библиотека http://tgv.khstu.ru/

Печи устанавливают так, чтобы расстояние от топочной дверцы до противоположной стены было не менее 1250 мм, от поверхности пола до дна зольника и газооборотов — не менее 210 мм, от верха перекрыши до незащищенного от возгорания потолка — не менее 350 мм для печей с периодической топкой и 1000 мм для печей длительного горения (при защищенном потолке было 250 и 700 мм).

Конструкции здания из горючих или трудногорючих материалов, примыкающие к печам и дымовым трубам, защищают от возгорания «разделками» — вставками из негорючих материалов. Вертикальные разделки у печей и дымовых труб, установленных в проемах стен из горючих материалов, предусматривают на всю их высоту в пределах помещений, причем толщину разделок принимают не менее толщины стены. Горизонтальные разделки устраивают в тех местах, где конструкции здания из горючих или трудногорючих материалов примыкают к дымовым каналам. Разделки выполняют в виде утолщения кладки каналов по правилам, указанным в прил. 15 к гл. СНиП 2.04.05-86. Верх разделки делают выступающим на 70 мм над полом вышерасположенного помещения.

При расположении печей и дымовых труб вдоль стен устраивают воздушные полости — «отступки» на всю их высоту (шириной не менее 130 мм при толстостенных печах и 250 мм при тонкостенных). Стены и перегородки в отступках из горючих или трудногорючих материалов защищают теплоизоляционными негорючими материалами.

В чердачных помещениях расстояние от наружной поверхности дымовых каналов до конструкции из горючих и трудногорючих материалов принимают в свету не менее 130 мм; при конструкциях из металла или железобетона расстояние не менее 130 мм считают от внутренней поверхности стенок каналов.

Пол из горючих или трудногорючих материалов перед фронтом печей защищают металлическими листами; пол под каркасными печами на ножках — металлическими листами по асбестовому картону толщиной 10 мм.

Пример 12.1. Проверим пригодность тонкостенной печи повышенного прогрева марки ПТК-3000 (см. рис. 12.6) для отопления углового помещения деревянного здания. Помещение имеет размер в плаие 5,25×3,55 м, высоту 3 м, двойные окна площадью 4,8 м², внутреннюю дверь площадью 1,8 м²; теплопотери $Q_п$=3100 Вт.

Электронная библиотека http://tgv.khstu.ru/

Топливо для печи — дрова с $Q_н^р = 12600$ кДж/кг. Печь массой 780 кг обладает коэффициентом $M = 0{,}44$ при двух топках в сутки.

Принимаем продолжительность топки печи по табл. 12.1 с поправочным коэффициентом 1,5 для печи повышенного прогрева, т. е. $m = 1{,}25 \cdot 1{,}5 = 1{,}9$ ч. При двух топках в сутки промежуток времени между топками $n = 12 - 1{,}9 = 10{,}1$ ч.

1. **Расчет топливника.** Расход дров за одну топку по формуле (12.1) составляет

$$G = \frac{3{,}6 \cdot 3100 \cdot 12}{12600 \cdot 0{,}7} = 15{,}2 \text{ кг}.$$

Расчетная площадь пода печи по формуле (12.2) при $\rho = 400$ кг/м³ и $h_{сл} = 0{,}3$ м (прил. 1)

$$A_{под} = \frac{15{,}2}{400 \cdot 0{,}3} = 0{,}127 \text{ м}^2$$

близка к фактической площади пода (см. рис. 12.6), равной $0{,}51 \times 0{,}26 = 0{,}133$ м².

В топливнике печи установлена колосниковая решетка размером $0{,}25 \times 0{,}15$ м. Удельное напряжение колосниковой решетки найдем из формулы (12.3)

$$B_р = \frac{15{,}2}{1{,}9 \cdot 0{,}25 \cdot 0{,}15} = 213 \text{ кг/(ч} \cdot \text{м}^2),$$

что меньше допустимого напряжения, 250 кг/(ч·м²).

Требуемую высоту топливника вычислим по формуле (12.4) при $Q_т / V_т = 405000$ Вт/м³ (прил. 1)

$$h_т = \frac{15{,}2 \cdot 12600 \cdot 0{,}9}{3{,}6 \cdot 1{,}9 \cdot 0{,}133 \cdot 405000} = 0{,}47 \text{ м}.$$

Высоту топливника печи по рис. 12.6 (0,42—0,49 м) оставляем без изменения.

Площадь поддувального отверстия печи составляет $A_{п.о} = 0{,}12 \cdot 0{,}12 = 0{,}0144$ м². Скорость движения воздуха в поддувальном отверстии определим из формулы (12.5) при $L_0 = 10$ м³/кг (прил. 1) и $t_в = 20$ °С.

$$v = \frac{15{,}2 \cdot 10\,[1 + (20:273)]}{3600 \cdot 1{,}9 \cdot 0{,}0144} = 1{,}7 \text{ м/с}.$$

Скорость движения воздуха в допустимых пределах.

2. **Проверка тепловосприятия печи.** Печь за срок нагревания и остывания (12 ч) должна передать в помещение общее количество теплоты, найденное по формуле (12.6),

$$Q_{общ}^{тр} = 3{,}6 \cdot 3100 \cdot 12 = 133920 \text{ кДж}.$$

По рис. 12.6 установим площадь внутренней поверхности топливника и газоходов печи, по прил. 2 — плотность воспринимаемого теплового потока;

Электронная библиотека http://tgv.khstu.ru/

топливник . . . . . $a_т = 0{,}9$ м², $q_т = 7000$ Вт/м²
первый газоход с перевалом . . . . . $a_1 = 1{,}03$ », $q_1 = 5200$ »
промежуточные газоходы $a_{пр} = 1{,}5$ », $q_{пр} = 2670$ »

Тепловосприятие внутреннми стенками печи в течение 1 ч вычислим по формуле (12.8)

$$Q_{воспр} = 3{,}6\,(7000 \cdot 0{,}9 + 5200 \cdot 1{,}03 + 2670 \cdot 1{,}5) = 56380 \text{ кДж/ч}.$$

В течение одной топки (1,9 ч) тепловосприятие печи составит

$$Q_{общ} = mQ_{воспр} = 1{,}9 \cdot 56380 = 107120 \text{ кДж},$$

что значительно меньше требуемого тепловосприятия (133920 кДж).

Увеличим высоту газоходов печи на 0,13 м (один ряд кирпича на ребро). Площадь восприятия возрастет: первого газохода на 0,10 м², промежуточных на 0,46 м², тогда

$$mQ_{воспр} = 1{,}9 \cdot 3{,}6\,(7000 \cdot 0{,}9 + 5200 \cdot 1{,}13 + 2670 \cdot 1{,}96) = 119\,080 \text{ кДж},$$

(отклонение от $Q^{тр}_{общ}$, равное 11%, допустимо).

Таким образом, принимаем высоту печи $1{,}55 + 0{,}13 = 1{,}68$ м.

3. **Расчет скорости движении газов в каналах печи.** Скорость движения газов найдем по формуле (12.9):

в первом газоходе (см. рис. 12.6) при температуре газов 700 °С (прил. 2)

$$v_1 = \frac{15{,}2 \cdot 10\,[1 + (700:273)]}{3600 \cdot 1{,}9 \cdot 0{,}13 \cdot 0{,}26} = 2{,}34 \text{ м/с};$$

в промежуточных газоходах при температуре газов 500 °С

$$v_{пр} = \frac{15{,}2 \cdot 10\,[1 + (500:273)]}{3600 \cdot 1{,}9\,[(0{,}445 \cdot 0{,}06) + (0{,}255 \cdot 0{,}125)]2} = 0{,}54 \text{ м/с}.$$

Скорость двнжения газов находится в допустимых пределах (прил. 2).

4. **Проверка теплоаккумулиции печи.** Печь должна аккумулировать количество теплоты, вычисленное по формуле (12.10)

$$Q^{тр}_{акк} = 3{,}6 \cdot 3100 \cdot 10{,}1 = 112716 \text{ кДж}.$$

Активный объем (см. рис. 12.6) с учетом увеличения высоты печи $V_а = 0{,}775 \cdot 0{,}52\,(1{,}35 + 0{,}13) = 0{,}596$ м³.

Объем полостей в печи:

в топливнике — $0{,}51 \cdot 0{,}26 \cdot 0{,}42 = 0{,}0557$ м³;

в вертикальных каналах — $0{,}255 \cdot 0{,}58\,(0{,}51 + 0{,}13) = 0{,}0946$ м³;

в каналах 14-го ряда — $0{,}34 \cdot 0{,}39 \cdot 0{,}13 \cdot 2 - 0{,}21 \cdot 0{,}065 \times 0{,}13 \cdot 4 = 0{,}028$ м³;

у загрузочной дверцы — $0{,}2 \cdot 0{,}4 \cdot 0{,}12 = 0{,}0096$ м³.

Общий объем полостей в пределах активного объема печи $V_п = 0{,}188$ м³.

Действительная теплоаккумулиция печи по формуле (12.11)

$$Q_{акк} = (0{,}596 - 0{,}188)\,1650 \cdot 0{,}88 \cdot 160 = 94\,787 \text{ кДж},$$

(отклонение от $Q^{тр}_{акк}$, равное 15%, допустимо).

Электронная библиотека http://tgv.khstu.ru/

5. **Проверка плотности теплоотдачи печи.** Площадь наружной нагревательной поверхности, относящейся к активному объему печи, составляет:

боковых стенок (включая теплоотдачу в широкую отступку)

$$(0{,}775+0{,}52)\,2\,(1{,}35+0{,}13)=3{,}83\ м^2;$$

перекрыши (с поправочным коэффициентом 0,75) —$0{,}775\cdot0{,}52\times$ $\times0{,}75=0{,}30\ м^2$.

Общая «приведенная» площадь $A_п=4{,}13\ м^2$.

Плотность теплового потока на «приведенной» теплоотдающей поверхности печи повышенного прогрева, вычисленная по формуле (12.12),

$$q_{отд}=3100:4{,}13=750\ Вт/м^2,$$

находится в допустимых пределах

6. **Расчет амплитуды колебаний температуры воздуха в** обогреваемом помещении. Для определения амплитуды вычислим сумму произведений коэффициента теплопоглощения B на площадь A всех ограждений помещения, используя значения B, приведенные в гл. «Печное отопление» Справочника проектировщика, 1975 г.

наружные стены дощатые с известковой штукатуркой

$$(BA)_{н.\,с}=4{,}3\,[(5{,}25+3{,}55)\,3-4{,}8]=92{,}9;$$

двойные окна

$$(BA)_{ок}=2{,}67\cdot4{,}8=12{,}8;$$

внутренние стены дощатые с известковой штукатуркой

$$(BA)_{в.\,с}=4{,}21\,[(5{,}25+3{,}55)\,3]=111{,}1;$$

дверь

$$(BA)_{дв}=2{,}9\cdot1{,}8=5{,}2;$$

пол деревянный

$$(BA)_{пл}=2{,}99\cdot5{,}25\cdot3{,}55=55{,}7;$$

потолок деревянный

$$(BA)_{пт}=3{,}62\cdot5{,}25\cdot3{,}55=67{,}5\ Вт/°C.$$

Всего $\Sigma\,(BA)=345{,}2$ Вт/°С.

Амплитуду колебаний температуры воздуха в помещении найдем по формуле (12.16)

$$A_t=0{,}7\cdot0{,}44\cdot3100/345{,}2=2{,}8°C<3°C.$$

Вывод: печь марки ПТК-3000 (см. рис. 12.6) пригодна для отопления заданного помещения при условии увеличения высоты ее газоходов на 0,13 м, т. е. на один ряд кладки кирпича на ребро.

КОНТРОЛЬНЫЕ ЗАДАНИЯ И УПРАЖНЕНИЯ

1. Составьте порядовки кладки кирпича, начиная с 10-го ряда печи, представленной на рис. 12.7 двумя разрезами.

2. Изобразите расположение оголовков дымовых труб, удаленных от конька крыши здания на 1, на 2 и более 3 м.

Электронная библиотека http://tgv.khstu.ru/

3. Какого вида песок применяют для приготовления глиняного раствора?

4. Разработайте конструкцию кирпичной разделки дымовой трубы (дополнительно используя негорючие материалы) в месте соприкосновения ее с перекрытием из горючего материала толщиной 210 мм.

5. Рассчитайте плотность теплового потока, воспринимаемого стенками газохода печи при температуре газов 700 °С и скорости их движения 2 м/с.

6. Выполните аэродинамический расчет печи, изображенной на рис. 12.4, при температуре наружного воздуха 0 °С, сжигании в печи дров и расстоянии от устья дымовой трубы до колосниковой решетки 5 м.

7. Подсчитано, что при печном отоплении амплитуда колебаний температуры воздуха в проектируемом помещении превышает 3 °С. Какими способами можно довести амплитуду до 3 °С?

8. Опишите по литературным источникам особенности конструкции русской печи с обогревательным щитком.

Глава 13. Газовое отопление

§ 13.1. Общие сведения

Из всех видов топлива газ — экологически наиболее чистое, так как при правильной организации процесса его сжигания содержание вредных веществ (канцерогенов, окислов азота, оксида углерода) в продуктах сгорания минимально. Около 30% потребляемого в СССР газа расходуется на нужды теплоснабжения. Использование газа экономически выгодно, что обусловлено повышением КПД агрегатов и сокращением расхода топлива, более легким регулированием температурных полей и состава газовой среды в рабочем пространстве отопительных установок. Значительно упрощается и эксплуатация агрегатов.

В СССР используют природные и сжиженные газы. Природные газы состоят в основном из метана, других углеводородов метанового ряда, а также небольшого количества азота и диоксида углерода (углекислого газа). Низшая теплота сгорания сухих природных газов $Q_н^с$=36 000—40 000 кДж/м³, плотность ρ=0,73—1,0 кг/м³. Сжиженные углеводородные газы (СУГ), которые получают на специальных заводах в результате переработки нефти и природных газов, состоят из пропана и бутанов. Хранят и тран-

Электронная библиотека http://tgv.khstu.ru/

спортируют пропан-бутаны на большие расстояния в сжиженном виде, а перед использованием жидкий газ испаряют. Низшая теплота сгорания паров СУГ (смесь 50% пропана и 50% бутанов) примерно 110 000 кДж/м³, а плотность 2,35 кг/м³.

Газовое топливо имеет два основных недостатка — взрывоопасность газовоздушных смесей и токсичность самого газа (особенно продуктов его неполного сгорания), в связи с чем необходимо предусматривать систему безопасности, а также предъявлять повышенные требования при эксплуатации установок газового отопления.

Для отопления газ используют в различных установках: обычных или специальных котлах, комнатных печах, приборах квартирного или местного отопления, в газовых отопительно-вентиляционных агрегатах. Под термином «газовое отопление» понимают системы отопления:

1) с комнатными печами, работающими на газе;
2) с газовыми водонагревателями;
3) с газовыми нетеплоемкими отопительными приборами;
4) с газовоздушными теплообменниками;
5) с газовоздушными излучателями;
6) с газовыми горелками инфракрасного излучения.

Первый и третий виды систем газового отопления — местные, остальные могут устраиваться как центральными, так и местными.

§ 13.2. Газовые отопительные печи

Газовые печи наиболее экономичны среди других видов печей (их КПД примерно в 1,3 раза выше КПД печей на твердом топливе), работа их может быть полностью автоматизирована Сейчас в стране около 2 млн. отопительных печей, работающих на газе.

В теплоемкой печи АКХ-14 (рис. 13.1) стенки топливника при установке горелок непрерывного действия выкладывают из глиняного кирпича, горелок периодического действия — из огнеупорного. В верхней части топливника устанавливают решетку из огнеупорного кирпича. Излучение от нее дополнительно нагревает стены топливника, что способствует более равномерному нагреванию помещения по высоте.

Электронная библиотека http://tgv.khstu.ru/

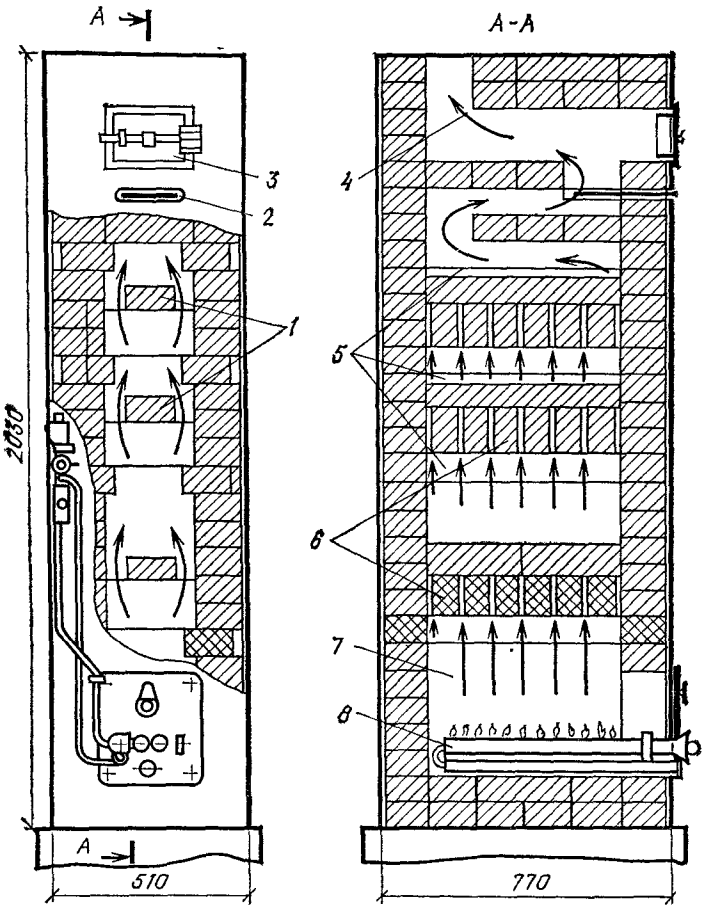

Рис. 13.1. Газовая отопительная печь АКХ-14

1 — рассекатель, *2* — заслонка, *3* — герметичная дверка, *4* — путь движения продуктов сгорания газа, *5* — сборные коллекторы, *6* — кирпичи насадки, *7* — топливник; *8* — горелка

Каналы печи выкладывают из кирпича в три яруса для развития тепловоспринимающей поверхности на коротком пути движения продуктов сгорания газа. В центре восходящих потоков горючих газов расположены один над другим три ряда рассекателей, которые направляют продукты сгорания к боковым стенам печи. Печь сверху дополняют

Электронная библиотека http://tgv.khstu.ru/

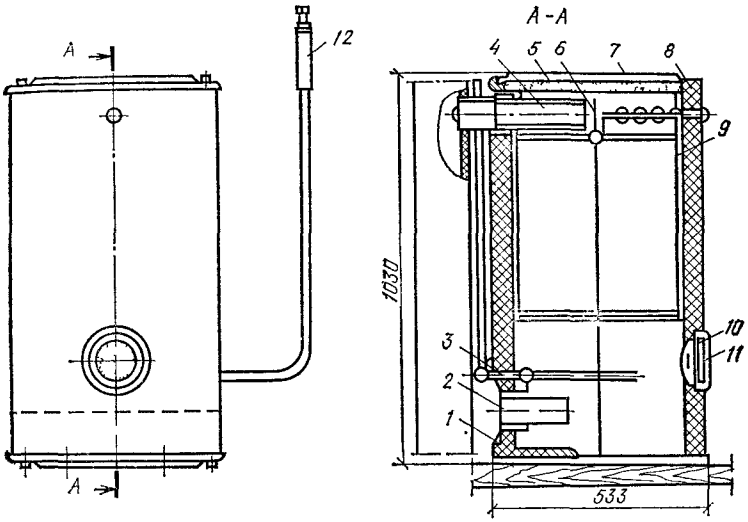

Рис 13.2. Отопительная печь заводского изготовления АКХ-СМ-1

1 — корпус печи, *2* — поддувало, *3* — горелка; *4* — выходной патрубок, *5* — шлаковата, *6* — заслонка, *7* — крышка, *8* — муфта, *9* — металлическая полая камера, *10* — съемная оправа, *11* — стекло; *12* — терморегулятор

тягопрерывателем, который предохраняет ее от избыточной и обратной тяги, что важно для устойчивой работы горелки (показан на рис. 13.3). Кроме того, через тягопрерыватель осуществляется постоянное вентилирование верхней зоны помещения.

Тепловая мощность печи АКХ-14 при двух топках в сутки (продолжительностью не более 2 ч подряд) составляет 2600 Вт, КПД достигает 90%. При работе с горелками непрерывного действия теплоотдача печи увеличивается на 30%. Недостатком печи является ее кустарное изготовление.

Печь АКХ-СМ-1 (рис. 13.2) тепловой мощностью 2000 Вт сконструирована для заводского изготовления и рассчитана на непрерывную топку. Ее доставляют в готовом виде и устраивают без фундамента. Топливник печи не футеруют огнеупорным кирпичом, так как его внутренняя поверхность нагревается не выше 250 °С. В нижней зоне печи устанавливают горелку и металлический патрубок для подачи воздуха в топливник. Для наблюдения за горением в нижней части печи расположено смотровое окно. Над горелкой

Электронная библиотека http://tgv.khstu.ru/

установлена металлическая полая камера. Продукты сгорания газа поднимаются вверх по кольцевому каналу между корпусом печи и камерой и передают теплоту стенкам печи. В верхней зоне продукты сгорания проходят в газосборник и, минуя заслонку, через стальной соединительный патрубок попадают в дымоход. Подачу воздуха в печь регулируют заслонкой, установленной непосредственно перед выходным патрубком.

Разработана также печь АКХ-СМ-2 большей мощности (4300 Вт), диаметром 693 мм и высотой 2000 мм, которая по конструкции принципиально не отличается от печи АКХ-СМ-1.

В печах АКХ устанавливают горелочное устройство, главные элементы которого — основная и запальная горелки и автоматика безопасности. Основная горелка — эжекционная, первичный воздух (50% необходимого для полного сжигания) проходит в горелку, остальная часть воздуха подмешивается к пламени непосредственно в топке. Подача газа на запальную горелку начинается при нажатии пусковой кнопки автоматики безопасности. Автоматика безопасности предназначена для прекращения подачи газа на основную и запальную горелки в следующих случаях: при отсутствии тяги в дымоходе печи, погасании пламени на запальной горелке, падении давления газа перед горелкой ниже допустимого предела (последнее может привести к проскоку пламени внутрь горелки или погасанию его).

Для поддержания заданной температуры воздуха в помещении устанавливают терморегулятор (см. рис. 13.2), и теплоотдачу печи регулируют изменением расхода газа. Внутри цилиндрического корпуса терморегулятора помещен баллон, заполненный керосином, в который впаян сильфон. Шток затвора находится внутри сильфона. При повышении температуры воздуха в помещении керосин расширяется, сжимает сильфон, и затвор закрывает седло. В этом случае газ идет через малое отверстие в количестве, необходимом для устойчивого горения. При понижении температуры затвор отходит от седла, и расход газа увеличивается.

Электронная библиотека http://tgv.khstu.ru/

§ 13.3 Газовые водонагреватели

При неплотной застройке жилых районов одно-двухэтажными зданиями применяют системы квартирного отопления (см. § 6.7). Источником теплоты в квартирной системе водяного отопления может быть газовый водонагреватель.

Автоматический газовый водонагреватель АГВ-80 (вместимость бака 80 л, тепловая мощность 7 кВт, КПД не менее 81%) используют для отопления помещений площадью 50—60 м². Водонагреватель (рис. 13.3) состоит из внешнего цилиндра (кожуха), внутреннего бака из стального оцинкованного листа толщиной 3 мм, основной и запальной газовых горелок и газоотводящего устройства. В центре бака расположена теплообменная жаровая труба. Холодная вода поступает в бак внизу и, постепенно нагреваясь, поднимается к выходному патрубку в верхней его части. В нижней части аппарата расположены основная и запальная горелки. Основная горелка — эжекционная, где происходит частичное предварительное смешивание газа с воздухом. Первичный воздух (в количестве 55% теоретически необходимого для полного сжигания) поступает из помещения в горелку, эжектируясь струей газа. Газовоздушная смесь, выходя из огневых отверстий чугунной головки горелки, поджигается пламенем запальной горелки. Вторичный воздух поступает к пламени уже в самой топке.

При работе основной горелки вода нагревается до требуемой температуры (80—90 °С), после чего терморегулятор автоматически прекращает доступ газа к основной горелке. Запальная горелка работает постоянно, и при понижении температуры воды воспламеняет газовоздушную смесь, вновь выходящую из основной горелки. Подача газа в аппарат автоматически прекращается при недопустимом снижении давления газа, а также при уменьшении разрежения в дымоходе.

В АГВ-120 (вместимость бака 120 л, тепловая мощность 14 кВт) нижнее днище образует водяную рубашку, которая повышает КПД аппарата на 5% и одновременно снижает температуру нижней части кожуха.

Для водяного отопления используют также комбинированные аппараты с водяным контуром типа АКГВ с двумя

Электронная библиотека http://tgv.khstu.ru/

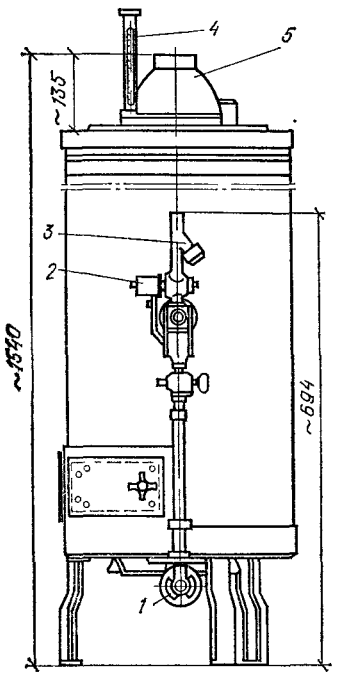

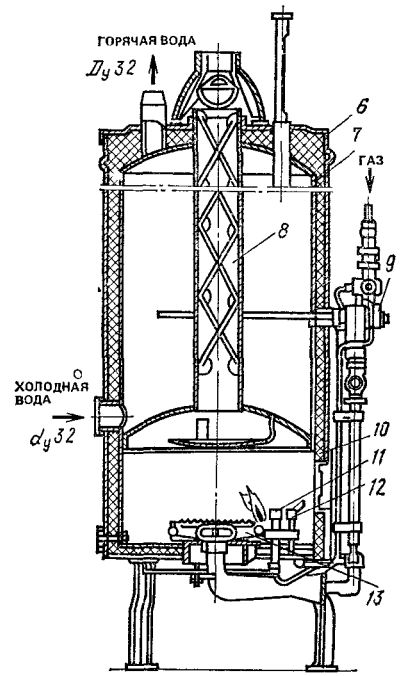

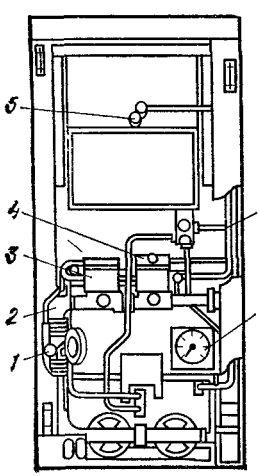

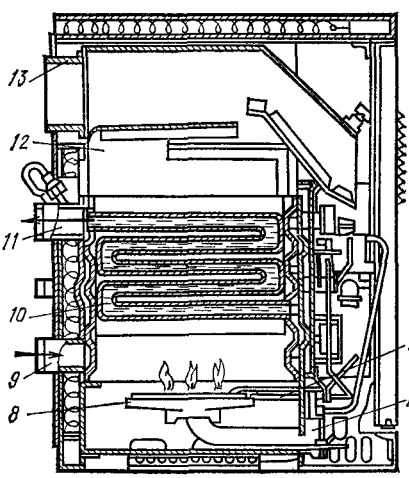

Электронная библиотека http://tgv.khstu.ru/

Рис. 13.3. Автоматический газовый емкостный водонагреватель АГВ-80М

1 — регулятор первичного воздуха основной горелки; *2* — электромагнитный клапан, *3* — газовый фильтр; *4* — термометр; *5* — тягопрерыватель; *6* — кожух; *7* — резервуар; *8* — жаровая труба; *9* — терморегулятор; *10* — тепловая изоляция; *11* — запальная горелка; *12* — термопара; *13* — основная горелка

Рис. 13.4. Газовый отопительный аппарат с водяным контуром АОГВ-23,2

1 — газовый кран; *2* — газопровод; *3* — блок автоматики регулирования; *4* — блок автоматики безопасности; *5* — датчик тяги; *6* — датчик температуры воды; *7* — термометр; *8* — основная горелка; *9* — патрубок входа; *10* — змеевик теплообменника; *11* — выход горячей воды; *12* — короб дымоотвода; *13* — патрубок дымоотвода; *14* — запальная горелка; *15* — регулятор первичного воздуха основной горелки

отдельными теплообменниками для горячего водоснабжения и отопления. Основные характеристики аппарата: тепловая мощность — 29 кВт, температура нагретой воды 50—90 °С, КПД не менее 83%. Габаритные размеры: глубина 570, ширина 750, высота 850 мм.

Применяют также специальные отопительные газовые аппараты с водяным контуром типа АОГВ, предназначенные для работы на природном и сжиженном газе. Эти компактные приборы длиной 550 мм и высотой 850 мм, тепловой мощностью 11,6—29 кВт предназначены для отопления помещений площадью 80—200 м^2.

Отопительный аппарат АОГВ-6 разработан на базе АГВ-80 тепловой мощностью 6 кВт с измененной конструкцией теплообменника. Аппарат выполнен в виде прямоугольной тумбы длиной 415, шириной 380, высотой 800 мм.

На рис. 13.4 показан отопительный аппарат АОГВ-23,2, представляющий собой напольный шкаф из листовой стали. В конструкцию отопителя входят теплообменник, горелочные устройства с эжекционной горелкой, блоки автоматики. Теплообменник выполнен в виде сварного штампованного радиатора, размещенного горизонтально и имеющего со стороны задней стенки аппарата трубы входа и выхода воды. Перед патрубком дымоотвода создана специальная полость — короб, служащий для стабилизации тяги в камере сгорания.

§ 13.4. Газовые нетеплоемкие отопительные приборы

Для сезонного обогревания жилых помещений в южных районах страны используют газовые воздухонагреватели — камины радиационного и конвективного действия.

Электронная библиотека http://tgv.khstu.ru/

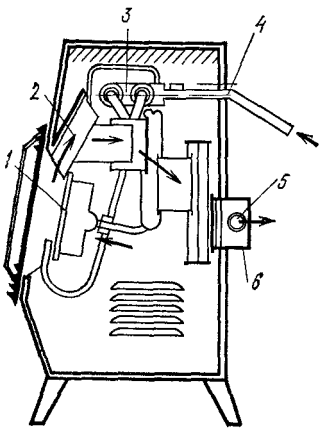

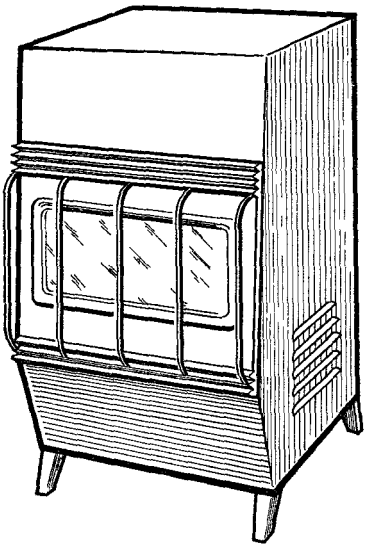

Рис. 13.5. Газовый отопительный камин «Амра» радиационного действия

1 — горелка инфракрасного излучения *2* — теплообменник, *3* — блок автоматики безопасности, *4* — газопровод· *5* — автоматический регулятор тяги, *6* — дымоотводящий патрубок

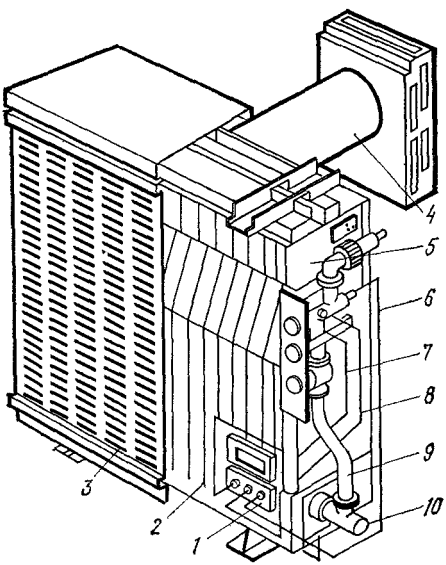

Рис. 13.6. Газовый отопительный камин АОГ-5 конвективного действия

1 — запальное устройство, *2* — камера сгорания, *3* — облицовка, *4* — канал стеиной, *5* — экран, *6* — термопара, *7* — провод пьезоэлектрического запальиого устройства, *8* — трубка запальника; *9* — газопровод, *10* — горелка

Электронная библиотека http://tgv.khstu.ru/

Камин «Амра» (рис. 13.5), предназначенный для местного отопления помещений с теплопотерями до 3,5 кВт, является аппаратом радиационного действия с отводом продуктов сгорания в дымоход. Аппарат состоит из горелки инфракрасного излучения с керамической насадкой (см. § 13.7), теплообменника, через который проходят продукты сгорания, отходящие от горелки и нагревающие воздух, дымоотводящего патрубка, в котором установлен регулятор тяги, и блока автоматики безопасности, отключающего подачу газа в горелку при погасании пламени.

Камин КГ (или АОГ-5) конвективного действия устанавливается у наружной стены помещения (рис. 13.6). Камера сгорания камина конструктивно состоит из трех отсеков: собственно камеры сгорания, камеры уходящих газов и воздушного канала. Стенной канал выполнен из наружного и внутреннего коробов с фасадной решеткой. Через один короб выбрасываются продукты сгорания наружу, а через другой — подсасывается воздух к горелке.

Эжекционная горелка, установленная в нижней части камеры сгорания, состоит из корпуса со смесителем и огневой насадки. На корпусе имеется заслонка, которая служит для регулирования подачи воздуха.

Пределы регулирования температуры воздуха в помещении от 10 до 35 °С. Тепловая мощность камина 5 кВт, КПД не менее 80%.

§ 13.5. Газовоздушные теплообменники

В системах воздушного отопления (см. гл. 10) воздух может нагреваться в газовоздушных теплообменниках, когда теплота продуктов сгорания газа частично или полностью передается холодному воздуху. При теплопередаче через стенку КПД прямоточных или циркуляционных газовоздушных теплообменников составляет 70—90%, а при нагревании воздуха в результате непосредственного смешения с продуктами сгорания газа КПД смесительных теплообменников возрастает до 100%.

Особое значение такие воздухоподогреватели приобретают при отоплении объектов на Крайнем Севере, где при низкой температуре наружного воздуха возможны замерзание теплоносителя и длительная остановка систем водя-

Электронная библиотека http://tgv.khstu.ru/

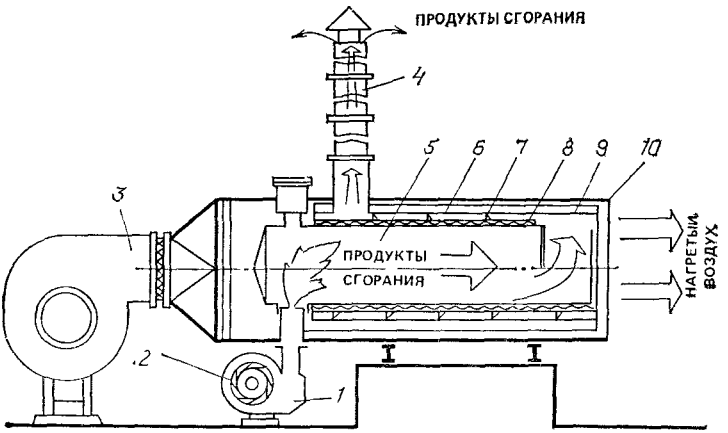

Рис. 13.7. Газовоздушный теплообменник ТГ-450

1 — газовая горелка; *2* — воздушный патрубок горелки, *3* — радиальный вентилятор для подачи воздуха, *4* — дымовая труба; *5* — камера сгорания; *6* — кольцевой теплообменник; *7* — винтообразная перегородка; *8* — проволочная сетка; *9* — экран; *10* — наружный кожух

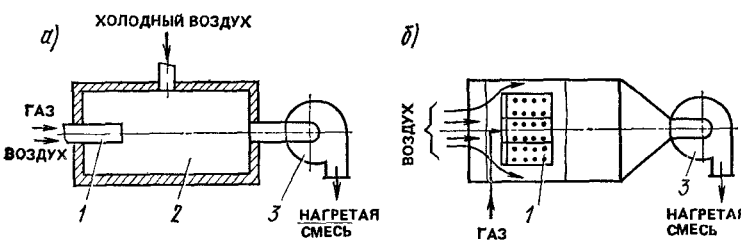

Рис. 13.8. Принципиальные схемы смесительных газовоздушных нагревателей ВГС с разбавлением продуктов сгорания в специальной камере (*а*) и сжиганием газа непосредственно в потоке воздуха (*б*)

1 — блок газовых горелок; *2* — камера смешения; *3* — вентилятор

ного отопления, что приносит большой экономический и социальный ущерб.

Прямоточные или рециркуляционные газовоздушные теплообменники разработаны тепловой мощностью до 6 МВт. На рис. 13.7 приведен теплообменник ТГ-450. В этом теплогенераторе установлена вихревая газовая горелка. Из камеры сгорания газы по радиальному каналу поступают в кольцевой теплообменник, откуда через дымовую трубу удаляются в атмосферу. Стенки кольцевого тепло-

Электронная библиотека http://tgv.khstu.ru/

обменника с обеих сторон омываются нагреваемым воздухом, нагнетаемым радиальным вентилятором. Воздух в количестве до 16 000 м³/ч, не смешиваясь с продуктами сгорания, нагревается на 100—110 °С и поступает в систему воздушного отопления. Теплогенератор снабжен системой автоматики, регулирования, которая обеспечивает двухступенчатое регулирование тепловой мощности (50 и 100% номинальной нагрузки). Автоматика безопасности предусматривает автоматический пуск теплогенератора и аварийное отключение газа. Номинальная тепловая мощность теплогенератора 450 кВт, электрическая до 22 кВт.

Смесительные газовоздушные теплообменники (ВГС) применяют для совместного отопления и вентиляции производственных помещений, когда вентиляционная тепловая нагрузка превышает отопительную, что характерно для большинства промышленных зданий. Смесительные воздухонагреватели находят (особенно за рубежом) широкое применение в качестве децентрализованных теплоисточников В помещения подают смесь наружного воздуха с продуктами сгорания газа, причем рециркуляция воздуха исключается.

В смесительных воздухонагревателях газ можно сжигать при небольшом коэффициенте избытка воздуха (1,05—1,2), а продукты сгорания далее смешивать с потоком холодного воздуха (рис. 13.8, *а*). Можно сжигать непосредственно в потоке нагреваемого воздуха, при этом коэффициент разбавления продуктов сгорания воздухом определяется температурой нагреваемого воздуха (рис. 13.8, *б*).

Чаще применяют ВГС второго типа. Смесительные воздухонагреватели из-за того, что температура наружного воздуха переменна, имеют широкий диапазон регулирования. В нагревателях установлены диффузионные горелки (без предварительного смешения газа с воздухом). ВГС разработаны трех типоразмеров с номинальной тепловой мощностью 1,0—6,4 МВт при количестве нагреваемого воздуха 50—250 тыс. м³/ч.

Все нагреватели оснащены автоматикой регулирования температуры смеси, а также автоматикой безопасности.

Основные достоинства ВГС — практически полное использование химической теплоты сжигания газа (КПД около 100%), значительное снижение затрат на сооружение котельных и тепловых сетей из-за уменьшения их мощ-

Электронная библиотека http://tgv.khstu.ru/

ности и протяженности. Основной недостаток ВГС — повышенное содержание вредных веществ (в основном CO) в воздухе, подаваемом в помещение.

В производственных и вспомогательных зданиях промышленных предприятий ВГС применяют также в качестве первой ступени нагревания воздуха (с последующим догреванием его до требуемой температуры в водяных калориферах) или второй ступени нагревания воздуха после первичного нагревания в утилизаторах теплоты выбросного вентиляционного воздуха.

§ 13.6. Газовоздушное лучистое отопление

В системе газовоздушного отопления с излучателями функцию отопительных приборов выполняют теплоизлучающие трубы, проложенные в верхней зоне (не ниже 5 м от поверхности пола) помещения (рис. 13.9). Внутри замкнутого контура теплоизлучающих труб циркулирует смесь нагретого воздуха с продуктами сгорания. Теплоотдача с поверхности труб в помещение происходит преимущественно излучением (58%).

Излучатели собирают на фланцах из тонкостенных стальных труб (толщина стенки 0,7 мм) диаметром 400 мм и длиной 6 м. Для уменьшения теплопотерь в верхнюю зону помещения теплоизлучающие трубы покрывают сверху теплоизоляцией (рис 13.9), а сбоку устанавливают продольные вертикальные стальные экраны (козырьки).

Смесь воздуха с продуктами сгорания газа проходит через теплогенератор. Принципиальная схема движения потоков в теплогенераторе ТГЛ-0,5 показана на рис. 13.10. Охладившийся в системе отопления до температуры 80—90 °С теплоноситель в теплогенераторе разделяется на два потока. Основной смешивается с новой порцией продуктов сгорания газа Газ сгорает в дутьевой горелке, которая может работать с переменным коэффициентом расхода воздуха. Далее нагретая смесь с температурой до 340 °С поступает в систему отопления. Другая часть теплоносителя в объеме, равном объему продуктов сгорания, проходит через утилизационный теплообменник (ТУ) и выбрасывается в атмосферу. В ТУ за счет теплоты теплоносителя нагревается воздух, забираемый из помещения и направляемый в горелку для сжигания газа. При этом несколько

Электронная библиотека http://tgv.khstu.ru/

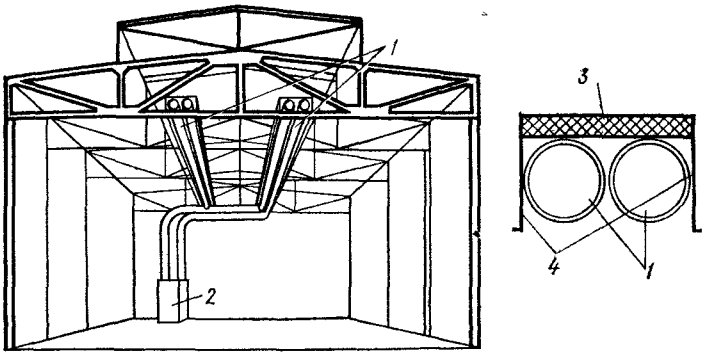

Рис. 13.9. Схема системы воздушного лучистого отопления с теплоизлучающими трубами в межферменном пространстве цеха

1 — теплоизлучающие трубы $d=400$; *2* — теплогенератор; *3* — теплоизоляция; *4* — козырьки

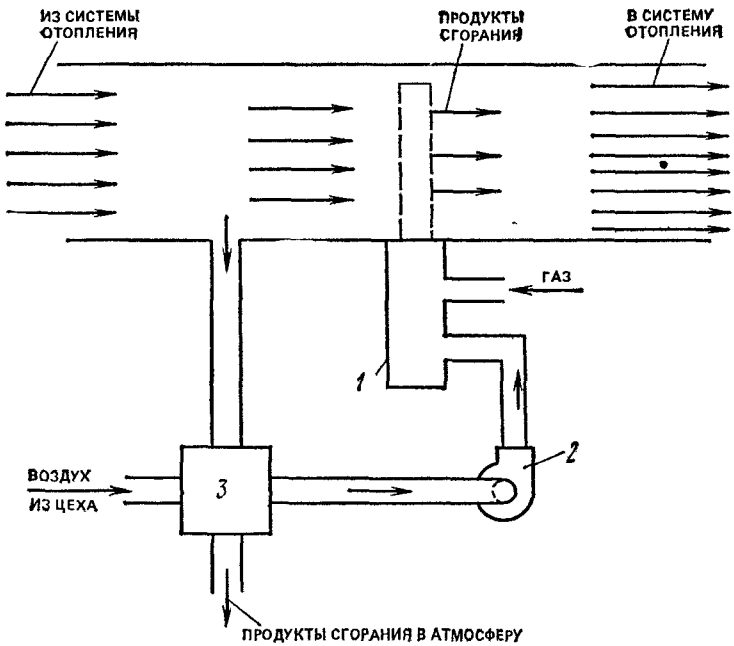

Рис. 13.10. Принципиальная схема потоков газа, воздуха и газовоздушной смеси в теплогенераторе ТГЛ-0,5

1 — газовая горелка, *2* — дутьевой вентилятор, *3* — теплоутилизатор

Электронная библиотека http://tgv.khstu.ru/

снижается расход газа и повышается КПД установки (до 96%).

Теплогенератор ТГЛ-0,5 тепловой мощностью 500 кВт имеет следующее основное оборудование: дымосос ДА-9, выполняющий роль циркуляционного вентилятора (подача 10 000 м³/ч), мощностью 13 кВт; дутьевой вентилятор Ц 10-28 мощностью 4 кВт; газовая горелка ПИВ 450; пластинчатый теплоутилизатор СТД.

Преимущества газовоздушного лучистого отопления по сравнению с воздушным отоплением — экономия тепловой энергии за счет уменьшения градиента температуры по высоте помещения; возможность снижения температуры воздуха в рабочей зоне при сохранении условий теплового комфорта; автономность, незамерзаемость, удобство регулирования.

§ 13.7. Газовое лучистое отопление

Отопительными приборами в этой системе являются горелки инфракрасного излучения. Систему лучистого отопления наиболее целесообразно применять в больших помещениях со значительными теплопотерями. Особенно эффективна она при обогревании частично или полностью открытых рабочих площадок (монтажных, сборочных, открытых стоянок автомобилей и т. д.). Небольшие размеры и масса инфракрасных горелок делают их удобными для размещения в отапливаемых помещениях. Их теплопередающая поверхность по площади почти в 10 раз меньше, чем площадь нагревательной поверхности отопительных приборов водяного отопления. Газовое лучистое отопление применяется также в различных сельскохозяйственных и складских помещениях. Существуют системы газолучистого отопления крупных сборочных, прокатных и литейных цехов машиностроительных заводов.

На рис. 13.11 показана унифицированная газовая горелка инфракрасного излучения тепловой мощностью 3,7—4,4 кВт. Излучающая огнеупорная огневая насадка горелки собрана из 10 керамических плиток размером 65×45×12 мм каждая. В каждой плитке имеется большое количество (около 1000) цилиндрических каналов диаметром 1,5 мм.

Электронная библиотека http://tgv.khstu.ru/

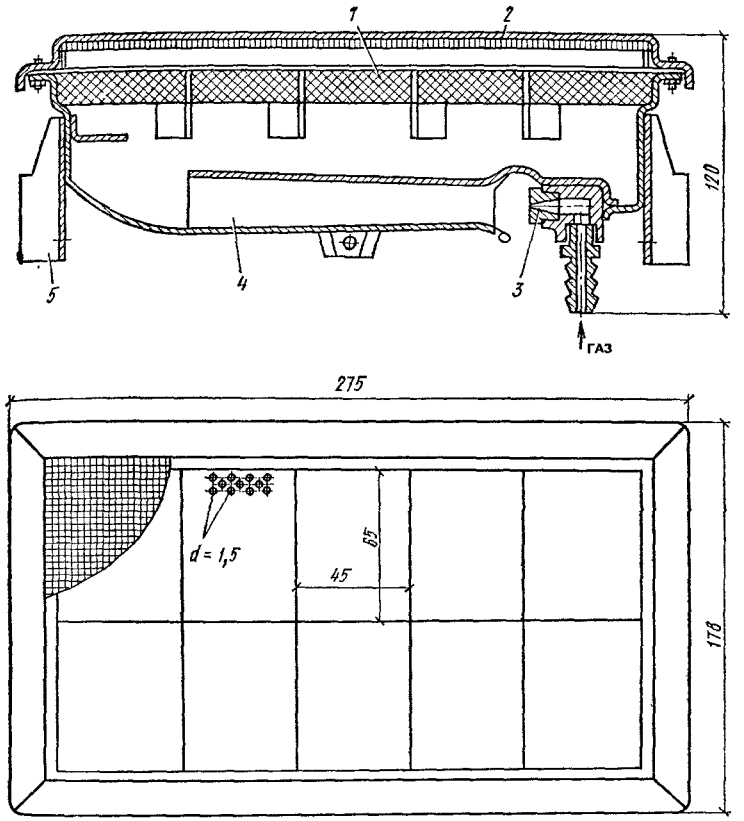

Рис. 13.11. Газовая горелка инфракрасного излучения
1 — излучатель; *2* — сетка; *3* — сопло; *4* — смеситель; *5* — кронштейн

Применяется горелка эжекционного типа для газа низкого давления с полным предварительным смешиванием газа и воздуха. Газ, выходя из сопла, засасывает окружающий воздух в количестве, необходимом для полного сжигания ($\alpha=1{,}05$), и перемешивается с ним в смесителе.

Газовая смесь после диффузора смесителя поступает в распределительную камеру относительного большого объема. Скорость потока смеси значительно уменьшается, чем обеспечивается почти одинаковое статическое давление на внутреннюю поверхность плиток. При этом газовоздуш-

Электронная библиотека http://tgv.khstu.ru/

ная смесь движется с примерно равной скоростью во всех огневых цилиндрических каналах и, следовательно, создает факелы одинаковой длины.

При работе горелки керамические плитки прогреваются на некоторую глубину и подогревают газовоздушную смесь в огневых каналах. Газовоздушная смесь сгорает в тонком слое над наружной поверхностью плиток, которая разогревается примерно до 850 °С. Металлическая сетка, расположенная над керамическим излучателем, при работе горелки нагревателя становится сама дополнительным излучателем и, кроме того, служит стабилизатором горения, предотвращая отрыв пламени.

При температуре излучающей поверхности 850 °С около 60% теплоты, выделившейся при сгорании газа, передается излучением, при этом в основном в виде инфракрасных лучей с длиной волны 2,5—2,7 мкм.

Расчеты систем отопления с излучающими горелками для помещений различного назначения могут значительно отличаться. Так, для помещений с мало- или нетеплоемкими ограждающими конструкциями, а также для отопления рабочих мест на открытом воздухе или в случае зонного обогрева отопительную нагрузку можно определить по условию комфортной облученности человека. В остальных случаях нагрузку следует определять с учетом теплопотерь помещения и лучисто-конвективного теплообмена системы отопления с помещением.

При инфракрасном отоплении сельскохозяйственных помещений существенное значение имеет плотность облученности животных, растений, а также обслуживающего персонала, которая не должна превышать 348 Вт/м². При превышении этого значения влияние радиационных теплоизбытков уменьшают воздушным душированием с подачей наружного воздуха на места постоянного пребывания работающих.

Размещение горелок (число рядов, расстояние между горелками в ряду, высоту их подвески над полом, угол наклона горелок) определяют исходя из норм облученности и в зависимости от типа горелок.

Электронная библиотека http://tgv.khstu.ru/

КОНТРОЛЬНЫЕ ЗАДАНИЯ И УПРАЖНЕНИЯ

1. Для отопительного аппарата АОГВ-29 тепловой мощностью 29 кВт определите необходимый часовой расход природного газа ($V_г$, м³/ч) или паров СУГ.

2. В помещениях, где установлены газовые приборы, необходима вытяжная вентиляция. Из какой зоны помещения (верхней или нижней) необходимо удалять больше воздуха при использовании природного газа или паров СУГ?

3. Для повышения КПД агрегатов, в которых сжигается топливо, необходимо максимально снижать температуру уходящих газов. Почему для газовых водонагревателей температура продуктов сгорания на выходе из аппарата должна быть: при эксплуатации в районах с умеренным климатом — не менее 110 °С, а в районах с холодным климатом — не менее 200 °С?

4. Зачем в нижней части двери помещения, где устанавливают газовые водонагреватели (например, кухни), нужно предусматривать решетку или зазор между дверью и полом площадью не менее 0,02 м²?

5. Исходя из стехиометрического уравнения реакции горения, определите теоретически необходимое количество воздуха для сжигания 1 м³ метана (V_0, м³ воздуха/м³ газа), приняв состав воздуха: 79% азота и 21% кислорода.

6. Для смесительного газового воздухонагревателя (ВГС), пренебрегая потерями в окружающую среду, можно считать, что теплота смеси нагретого наружного воздуха и продуктов сгорания газа $Q_{см}$ равна сумме химической теплоты газа $Q_г$ и теплоты, вносимой наружным воздухом. Следовательно, уравнение теплового баланса ВГС: $Q_г + Q_в = Q_{см}$.

Из этого уравнения получите выражение для коэффициента разбавления K — отношения объема нагреваемого воздуха к объему воздуха, необходимого для сжигания газа в стехиометрических условиях. При выводе можно принять, что объемные теплоемкости воздуха и смеси примерно равны.

7. Определите значения коэффициента разбавления (см. п. 6) для ВГС, работающих в климатических условиях Москвы, Норильска, Баку, при сжигании природного газа ($Q_н^с = 36000$ кДж/м³, $V_0 = 9{,}5$ м³/м³). Температура смеси на выходе из ВГС $t_{см} = +25$ °С, средняя теплоемкость воздуха и смеси $c = 1{,}25$ кДж/(м³·°С).

8. Сколько выделяется водяных паров и CO_2 (м³/ч) в помещение, где установлена одна горелка инфракрасного излучения, работающая на природном газе (метане)?

Электронная библиотека http://tgv.khstu.ru/

ГЛАВА 14. ЭЛЕКТРИЧЕСКОЕ ОТОПЛЕНИЕ

§ 14.1. Общие сведения

При электрическом отоплении получение теплоты связано с преобразованием электрической энергии. По способу получения теплоты электрическое отопление может быть с прямым преобразованием электрической энергии в тепловую и с трансформацией электричества в теплоту в тепловых насосах.

Системы электрического отопления подразделяются на местные, когда электроэнергия преобразуется в тепловую в обогреваемых помещениях или в непосредственной близости от них, и центральные с электрокотлами.

По степени использования электроэнергии для отопления различают системы с полным покрытием отопительной нагрузки и с частичным ее покрытием (комбинированное отопление — см. § 14.5 и 18.4) в качестве как фоновой (базисной), так и догревающей частей системы.

Системы электрического отопления могут работать по свободному и вынужденному (например, только ночью) графикам.

Достоинствами систем электрического отопления являются высокие гигиенические показатели, малый расход металла, простота монтажа при сравнительно небольших капитальных вложениях, управляемость в широких пределах с автоматизацией регулирования. Возможность гибкого управления процессом получения теплоты позволяет создавать системы отопления, быстро реагирующие на изменение теплопотребности помещений.

Высокая транспортабельность создает условия для использования электрической энергии в системах отопления зданий и сооружений в отдаленных районах, не имеющих других источников теплоты, а отсутствие продуктов сгорания — в экологически чистых зонах.

К **недостаткам** электрического отопления относят высокую температуру греющих элементов, повышенную пожарную опасность. Распространение электрического отопления в стране сдерживается неэкономичным использованием топлива, а также ограниченным уровнем выработки электроэнергии. Отпускная стоимость энергии высокая из-за значительных капитальных вложений в электростанции и линии передач, потерь при транспортировании.

Электронная библиотека http://tgv.khstu.ru/

Полное электроотопление зданий требует значительного расхода электроэнергии. Годовой расход электроэнергии для отопления 100 м² площади гражданского здания колеблется от 35 на юге страны до 125 ГДж на севере.

Для уменьшения расхода топлива целесообразно применять отопительные установки с использованием тепловых насосов. Так, если принять расход топлива на ТЭЦ мощностью 150 МВт за единицу, то на тепловых станциях расходуется топлива: районных — 1,25, домовых — 1,42; для электрического отопления с приборами прямого преобразования в теплоту требуется затратить топлива 1,6—2,3, а при электрическом отоплении с тепловыми насосами — всего 1,08.

Целесообразность применения электрического отопления в конкретном случае определяют путем сравнения технико-экономических показателей различных вариантов отопления здания. При сравнении исходят из стоимости топлива или электроэнергии с учетом их транспортирования и потерь при этом, коэффициента использования топлива, стоимости сооружения и эксплуатации систем отопления и теплоснабжения. Принимают также во внимание возможность регулирования теплоотдачи приборов и понижения температуры помещения в нерабочее время. Оценивают улучшение социально-гигиенических условий при применении электроотопления.

В современных условиях применение электрического отопления экономически целесообразно в районах расположения крупных гидростанций, а также при отсутствии местного топлива (отдаленные районы Восточной Сибири, Крайнего Севера). В будущем следует ожидать использования электроэнергии для отопления рассредоточенных потребителей сельских районов страны.

§ 14.2. Электрические отопительные приборы

Электрические приборы с прямым преобразованием электрической энергии в тепловую, как и обычные отопительные приборы (см. гл. 4), подразделяют по преобладающему способу теплоотдачи на радиационные, конвективные и радиационно-конвективные. При температуре греющей поверхности ниже 70 °С их относят к низкотемпературным, выше 100 °С — к высокотемпературным.

Электронная библиотека http://tgv.khstu.ru/

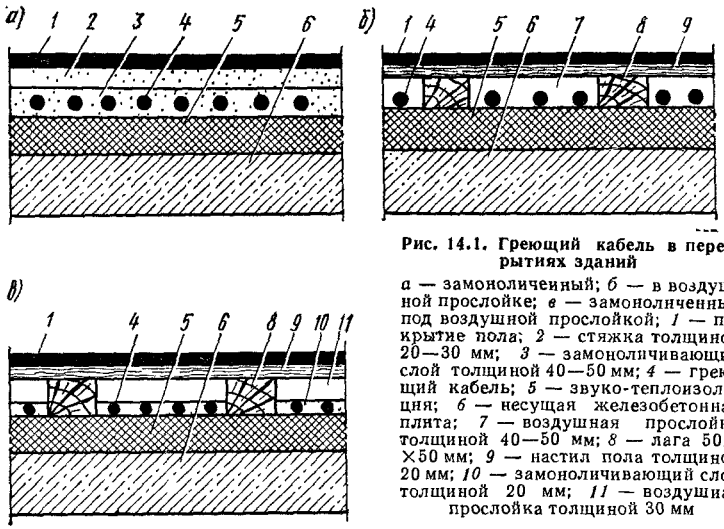

Рис. 14.1. Греющий кабель в перекрытиях зданий

а — замоноличенный; *б* — в воздушной прослойке; *в* — замоноличенный под воздушной прослойкой; *1* — покрытие пола; *2* — стяжка толщиной 20—30 мм; *3* — замоноличивающий слой толщиной 40—50 мм; *4* — греющий кабель; *5* — звуко-теплоизоляция; *6* — несущая железобетонная плита; *7* — воздушная прослойка толщиной 40—50 мм; *8* — лага 50×50 мм; *9* — настил пола толщиной 20 мм; *10* — замоноличивающий слой толщиной 20 мм; *11* — воздушная прослойка толщиной 30 мм

Электроотопительные приборы могут быть стационарными и переносными (напольными, настольными, настенными, потолочными); безынерционными и с аккумуляцией теплоты; нерегулируемыми и со ступенчатым, бесступенчатым и автоматическим регулированием. В зависимости от конструкции электрические отопительные приборы называют электроконвекторами, электрокалориферами, электротепловентиляторами. Выпускают также электрические печи, подвесные панели, греющие обои, панели с греющим кабелем.

Панели электрического отопления с греющим кабелем делают совмещенными со строительными конструкциями и приставными к ним (см. гл. 11). В панели закладывают греющие провода или кабели диаметром 2—6 мм. Провода обогревательные с полиэтиленовой (ПОСХП) или поливиниилхлоридной (ПОСХВ) изоляцией выполняют из оцинкованной стальной проволоки диаметром 1,1 или 1,4 мм. Кабели нагревательные с магнезиальной изоляцией и стальной оболочкой (КНМС) выпускают с токопроводящими жилами из нержавеющей стали (С), никеля (Н) и нихрома (НХ). Применяют также провода и кабели другого типа с никелевой жилой диаметром 1 и 1,2 мм. Электрическое сопротивление изоляции проводов и кабелей изменяется

Электронная библиотека http://tgv.khstu.ru/

от 1 до 60 ТОм·м *, а термическое сопротивление — от 0,6 до 1,2 °С·м²/Вт. Минимально допустимые радиусы изгиба — 5—7,5 диаметров кабеля. Напряжение, на которое рассчитана изоляция, 380 В и выше. Монтаж кабелей производят при температуре не ниже —15 °С.

За рубежом известны греющие кабели, в которых токопроводящая жила выполнена из сплавов, обладающих низким температурным коэффициентом сопротивления, что значительно упрощает тепловые расчеты. В настоящее время разрабатывают принципиально новую конструкцию кабелей, теплоотдача которых определяется только напряжением питания. При таких кабелях необходимая плотность теплового потока будет достигаться варьированием шага их раскладки.

Наибольшее распространение получили потолочно-напольные системы электроотопления, при которых кабель или провод закладывается в междуэтажное перекрытие. При значительных теплопотерях дополнительные нагревательные панели размещают в нижней зоне вертикальных ограждений (высотой до 0,5 м) помещения.

На рис. 14.1 показаны варианты заложения греющих кабелей в междуэтажные перекрытия, предложенные Промстройниипроектом.

В общественных зданиях применяют замоноличивание греющего кабеля в конструкцию пола (рис. 14.1, *а*). Для помещений, где возможно увлажнение пола, над греющим кабелем предусматривают укладку экранирующей сетки, которая предотвращает вынос электрического напряжения на поверхность пола. Термическое сопротивление слоев, расположенных между кабелем и покрытием пола, принимают в пределах 0,045—0,2 °С·м²/Вт.

В жилых зданиях, а также в детских учреждениях греющий кабель располагают в воздушной прослойке (рис. 14.1, *б*) для выравнивания температуры поверхности пола; при этом менее вероятно местное перегревание кабеля. Для интенсификации конвективного теплообмена в воздушной прослойке в углах помещения оставляют вентиляционные отверстия, перекрытые решетками. Недостатком конструкции является перерасход кабеля из-за уменьшения его теплоотдачи.

* ТОм·м (тераом·метр) — единица удельного электрического сопротивления, равная 10^{12} Ом·м

Электронная библиотека http://tgv.khstu.ru/

В жилых зданиях применяют также замоноличивание кабеля и устройство воздушной прослойки над замоноличивающим слоем (рис. 14.1, *в*). Такая конструкция совмещает в себе преимущества первых двух: увеличенную теплоотдачу и предотвращение местного перегревания кабеля.

Расчетная температура токопроводящих жил кабелей по условиям пожарной безопасности не должна превышать 70 °С, а при применении проводов с поливинилхлоридной изоляцией — 60 °С.

Регулирование теплоотдачи панели электрического отопления выполняют двухпозиционно по отклонению температуры воздуха в помещении от заданного значения. В качестве датчиков используют терморегуляторы с чувствительным элементом в виде биметаллической пластинки *.

Все большее распространение находят греющие панели, часто используемые как греющие обои. В них нагревательный элемент замоноличен в теплопроводную и электроизоляционную массу. К таким панелям относятся **греющая резина** (выпускается в Курске), **пластины из токопроводящей пластмассы** (в Ташкенте), нагревательные **элементы Слотерм** (в Ленинграде). Листы греющей резины состоят из электродов (медная сетка), заложенных в термопроводную резину и покрытых защитным слоем резины толщиной 1,5—2 мм. Элементы Слотерм представляют собой листовой слоистый пластик с внутренним токопроводящим слоем из карболоволокнистой бумаги с заделанным электрическим сопротивлением. Греющие панели применяют для локального обогревания рабочих мест в холодных производственных помещениях. Температура поверхности панели не превышает 45 °С.

Для отопления производственных помещений большого объема применяют **подвесные электропанели.** Тепловую мощность подвесных панелей рассчитывают по балансам теплоты в верхней (над панелью) и нижней (под панелью) частях помещения. При этом считают, что теплопотери верхней зоны компенсируются теплоотдачей панели вверх, а теплопотери нижней зоны — теплоотдачей вниз. На рис. 14.2 дана схема конструкции подвесной панели (разработана в Красноярске). При изолированном кабеле плотность теп-

* Более подробно см. **Орлов В. А., Квач И. К., Кротов Ю. Г.** Электроотопление зданий на Севере.— Л.: Стройиздат, 1981.

Электронная библиотека http://tgv.khstu.ru/

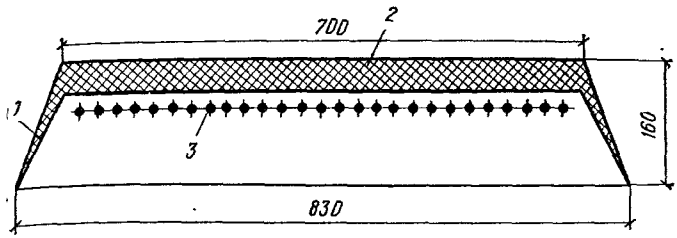

Рис. 14.2. Подвесная панель с электрообогревом изолированным кабелем
1 — стальной кожух; 2 — теплоизоляция из пенопласта; 3 — нагреватель

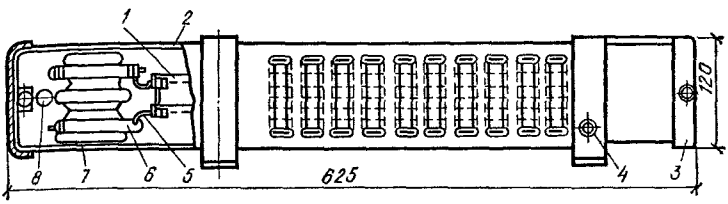

Рис. 14.3. Печь электронагревательная ПЭТ (боковой вид)
1 — трубчатые электронагреватели; 2 — стальной кожух; 3 — крышки; 4 — болт заземления; 5 — перемычки; 6 — токоведущие шпильки; 7 — дно; 8 — отверстие d=20 мм для ввода электропитания

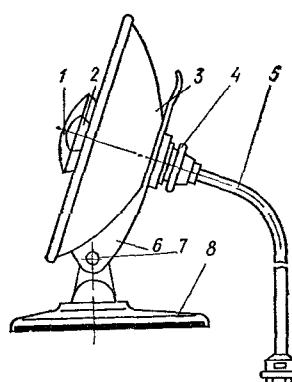

Рис. 14.4. Электрокамин со сферическим отражателем
1 — защитная декоративная решетка; 2 — нагревательный элемент; 3 — сферический отражатель; 4 — патрон; 5 — шнур электропитания; 6 — кронштейн; 7 — поворотный винт; 8 — подставка

лового потока в них составляет 465 Вт/м² (теплоотдача вниз 85%), при неизолированном кабеле — 840 Вт/м² (теплоотдача вниз около 88%).

Для отопления отдельных помещений используют **электронагревательные печи ПЭТ** (рис. 14.3). В печи под перфорированным кожухом помещены на фарфоровых ко-

Электронная библиотека http://tgv.khstu.ru/

лодках трубчатые электронагревательные элементы (ТЭН) мощностью 0,5—1 кВт. Температура поверхности ТЭН на 130—150 °С выше температуры окружающего воздуха При монтаже печи как в горизонтальном, так и вертикальном положении (с электропитанием снизу) к болту заземления присоединяют заземляющий провод.

Переносные электроотопительные приборы применяют для дополнительного отопления жилых и общественных зданий, садовых домиков. В нашей стране ежегодно выпускают около 2 млн. электроприборов 30 типоразмеров.

Распространенным электроотопительным прибором является **электрокамин,** который по исполнению может быть настенным, напольным, универсальным. Нагревательные элементы бывают сосредоточенными или линейными с температурой 750—800 °С.

Выпускают электрокамины чисто функциональные, предназначенные только для отопления, и декоративно-функциональные, являющиеся, кроме того, частью интерьера. На рис. 14.4 показана конструкция функционального электрокамина со сферическим отражателем. Для изменения направления радиационного теплового потока отражатель может поворачиваться. В декоративно-функциональном электрокамине (рис. 14.5) имитируется горение дров. Теплый воздух вращает вертушку с прорезями, и на панель и экран падают блики света от красной лампы.

Электрорадиаторы делают напольными (с промежуточным теплоносителем минеральным маслом) мощностью 0,5—1,25 кВт. Они бывают панельными (рис. 14.6) и секционными, когда корпус собирается из отдельных секций, сваренных между собой.

Теплоотдача электрорадиатора излучением составляет 50% общего теплового потока. Максимальная температура поверхности радиатора достигает 110 °С, а средняя — 85—95 °С. Электрорадиаторы, как правило, имеют термоограничитель, отключающий прибор при достижении температуры 130 °С на корпусе. Выносной терморегулятор, которым укомплектовано большинство электрорадиаторов, позволяет поддерживать необходимую температуру в обогреваемом помещении.

В **электроконвекторах** теплоотдача осуществляется преимущественно (90%) естественной конвекцией. Наиболее распространенной является напольная модель (рис. 14.7).

Электронная библиотека http://tgv.khstu.ru/

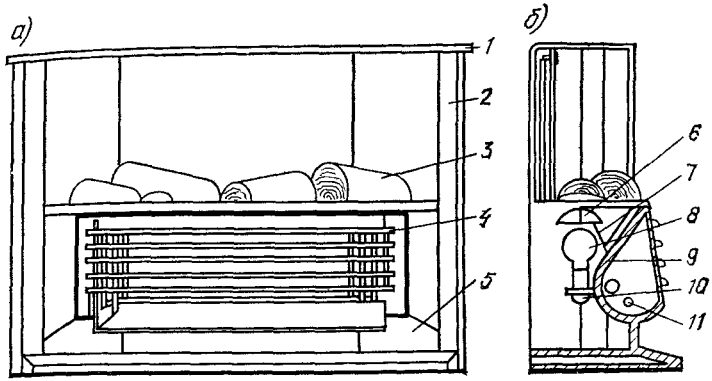

Рис. 14.5. Декоративно-функциональный электрокамин

а — вид спереди; *б* — вид сбоку; *1* — деревянный корпус; *2* — металлический корпус; *3* — панель имитации дров; *4* — декоративно-защитная решетка, *5* — полупрозрачный экран; *6* — вертушка; *7* — кронштейн с иглой; *8* — красная лампа; *9* — отражатель; *10* — патрон; *11* — нагревательные элементы

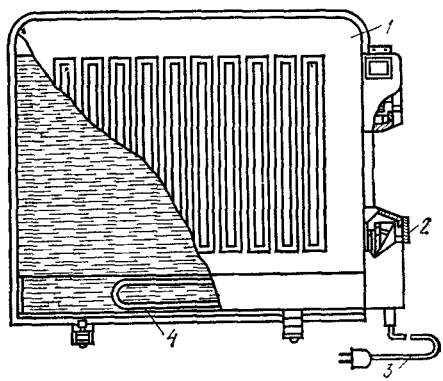

Рис. 14.6. Электрорадиатор панельного типа

1 — герметичный корпус, заполненный маслом; *2* — регулятор температуры; *3* — шнур питания; *4* — ТЭН

Электроконвектор мощностью 0,75—1,25 кВт представляет собой корпус, внутри которого расположены нагревательные элементы — спираль из сплава высокого сопротивления (как правило, нихрома) или трубчатый электронагреватель. Температура открытой спирали 600—900 °С, трубчатого нагревателя — 450—500 °С. Температура выходящего из конвектора воздуха не превышает температуры окружающего воздуха более чем на 85 °С. Новые конструкции конвекторов оснащают терморегуляторами.

Электротепловентилятор — отопительный прибор с теплоотдачей при вынужденной конвекции, создаваемой встро-

Электронная библиотека http://tgv.khstu.ru/

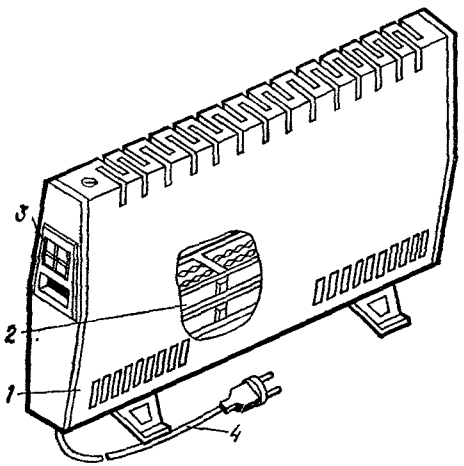

Рис. 14.7. Электроконвектор
1 — корпус прибора; *2* — нагревательный элемент из стальных пластин; *3* — выключатели; *4* — шнур

енным вентилятором. Нагревательные элементы в электротепловентиляторах такие же, как в электроконвекторах. Приборы имеют ступени регулирования мощности и, как правило, две частоты вращения вентилятора. Для защиты от перегрева в цепь нагревательных элементов включают термоограничитель.

Выпускают также комбинированные электроприборы: электрокамины-конвекторы и электрокамины-радиаторы.

В основе расчетов тепловой мощности Q, Вт, отопительных приборов с прямым преобразованием электрической энергии в тепловую лежит закон Джоуля — Ленца, применительно к переменному току имеющий следующее выражение

$$Q = I^2 r = UIk = U^2 k^2 / r, \qquad (14.1)$$

где I — сила тока, проходящего по проводнику, А; r — активное сопротивление проводника, Ом; U — напряжение, подаваемое на проводник, В; k — коэффициент мощности проводника (при частоте тока 50 Гц k изменяется от 0,96 до 0,98 и его приравнивают к единице, но вводят некоторый запас мощности).

В расчетах количества теплоты, выделяемой греющим кабелем, учитывают зависимость активного сопротивления проводника от его температуры. Для металлических (из стали, алюминия, меди) токопроводящих жил греющих кабелей сопротивление r_t, Ом, при температуре до 100 °С

Электронная библиотека http://tgv.khstu.ru/

составляет

$$r_t = \frac{\rho_0 l_к}{a}(1+\alpha_0 t_{пр}), \qquad (14.2)$$

где ρ_0 — удельное электрическое сопротивление провода или кабеля, Ом·м, при температуре 0 °С; $l_к$ — длина греющего элемента, м; a — площадь поперечного сечения провода или кабеля, м²; $t_{пр}$ — температура греющего элемента, °С; α_0 — температурный коэффициент сопротивления при 0 °С, 1/°С.

Расчет теплоотдачи панели при шаге раскладки кабелей 0,04—0,15 м выполняют в предположении равномерности температурного поля на поверхности. При этом для панели площадью $A_{пан}$, м², с шагом раскладки кабеля s, м, длину греющего кабеля $l_к$, м, определяют по формуле

$$l_к = A_{пан}/s. \qquad (14.3)$$

После подстановки (14.2) и (14.3) в (14.1) получим уравнение с двумя неизвестными s и $t_{пр}$. Поэтому в расчетах используют уравнение, в котором на основе экспериментальных данных температура на поверхности изоляции кабеля $t_к$ связывается с шагом раскладки кабеля s и теплоотдачей 1 м² греющей панели $q_к$.

Теплоотдачу $q_к$, Вт/м², складывают из теплоотдачи лицевой $q_{лиц}$ и тыльной $q_{тыл}$ сторон

$$q_к = q_{лиц} + q_{тыл}. \qquad (14.4)$$

При проектировании греющей панели электрического лучистого отопления может быть принят следующий порядок расчета.

1. Назначают площадь отопительной панели $A_{пан}$, м², и по заданной тепловой нагрузке определяют требуемую плотность теплового потока $q_{лиц}$, Вт/м², панели в сторону расчетного помещения.

2. Вычисляют температуру лицевой поверхности панели $t_{п.лиц}$ с проверкой допустимости ее как для панели водяного отопления (см. пример 11.1) и коэффициенты лучистого $\alpha_{л.лиц}$ и конвективного $\alpha_{к.лиц}$ теплообмена.

3. Находят требуемую среднюю температуру $t_{ср}$, °С, на оси заложения греющего провода или кабеля

$$t_{ср} = t_{в.\,лиц} + R_{лиц} q_{лиц} \qquad (14.5)$$

и плотность теплового потока $q_{тыл}$, Вт/м², с тыльной стороны панели

$$q_{тыл} = (t_{ср} - t_{в.\,тыл})/R_{тыл}, \qquad (14.6)$$

Электронная библиотека http://tgv.khstu.ru/

где $t_{в.лиц}$, $t_{в.тыл}$ — температура воздуха с лицевой и тыльной сторон панели, °С; $R_{лиц}$, $R_{тыл}$ — сопротивления теплопередаче от оси источников к воздуху с лицевой и тыльной сторон панели, °С·м²/Вт.

4. По вычисленному значению $q_{тыл}$ рассчитывают температуру поверхности панели с тыльной стороны $t_{п.тыл}$ и плотность теплового потока панели $q_к$, Вт/м².

5. Определяют шаг раскладки кабеля s и температуру на поверхности изоляции кабеля $t_к$, используя уравнение (14.1), а также некоторые эмпирические зависимости.

6. Если $t_к$ оказалась ниже предельно допустимой, а s — больше минимально возможного $[(10 \div 15)D_к]$, то по формуле (14.3) находят длину кабеля. В противном случае делают перерасчет.

§ 14.3. Электрическое аккумуляционное отопление

Электротеплоаккумулирующие приборы потребляют электроэнергию только в периоды снижения других электрических нагрузок. Такие приборы, выравнивающие суточное потребление электроэнергии, повышают эффективность работы энергосистем.

Общий суточный цикл работы электротеплоаккумулирующего прибора включает в себя период «зарядки» (обычно ночной), в течение которого нагревательные элементы подключены к электрической сети, и период «разрядки», когда нагревательные элементы от сети отключены.

Наибольшее распространение получили **теплоаккумулирующие печи**. Для аккумуляции теплоты в печах имеется сердечник из теплоемкого, теплопроводного, взрывобезопасного дешевого материала без запаха (табл. 14.1). Эффективным материалом считается магнезит.

В бытовых электротеплоаккумулирующих печах температура сердечника не превышает 600 °С. Для увеличения продолжительности разряда и ограничения температуры кожуха 100 °С применяют тепловую изоляцию сердечника.

Электротеплоаккумулирующие печи с твердым теплоаккумулирующим материалом подразделяют на три типа (рис. 14.8):

1) нерегулируемые (рис. 14.8, *а*) — наиболее простые и дешевые; при их применении возникают наибольшие ко-

Электронная библиотека http://tgv.khstu.ru/

Таблица 14.1. Технические показатели некоторых аккумулирующих материалов

Материал	Рабочая температура, °С	Удельная теплоемкость, кДж/(кг·°С)	Накопленная теплота, кДж/кг	Объемная накопленная теплота, кДж/дм³
Бетон	100—400	0,88	264	582
Шамот	100—400	0,92	461	921
Магнезит	70—600	1,13	603	1745
Чугун	50—500	0,54	243	1758

лебания температуры помещения. Теплоту они отдают за счет излучения и конвекции примерно в равных долях;

2) аккумулирующие конвекторы (рис. 14.8, *б*); внутренний конвективный канал и регулирующий клапан позволяют поддерживать более ровную температуру помещения в течение суток;

3) динамические теплоаккумуляторы (рис. 14.8, *в*) — наиболее совершенные, со встроенным двухскоростным вентилятором и регулирующим клапаном. Основной способ теплоотдачи — вынужденная конвекция. Высокотемпературный воздух, прошедший через П-образный канал, смешивается с воздухом помещения, что обеспечивает допустимую (обычно 40—50 °С) температуру на выходе из решетки. Сигнал на включение и выключение вентилятора поступает от датчика температуры, устанавливаемого в помещении.

В настоящее время в Литве готовятся к серийному выпуску печи третьего типа мощностью 1 и 2 кВт, рассчитанные на 8 ч зарядки.

На рис. 14.9 показана схема управления системой электроаккумуляционного отопления одноквартирного дома с зарядкой приборов в ночное время, продолжительность которой регулируется в зависимости от температуры наружного воздуха и остаточной теплоты в приборах.

В южных районах страны электротеплоаккумуляционное отопление может быть обеспечено применением не только печей, но и панелей с греющим электрическим кабелем.

Так как при зарядке создается запас тепловой энергии, то установленная мощность аккумулирующего прибора

Электронная библиотека http://tgv.khstu.ru/

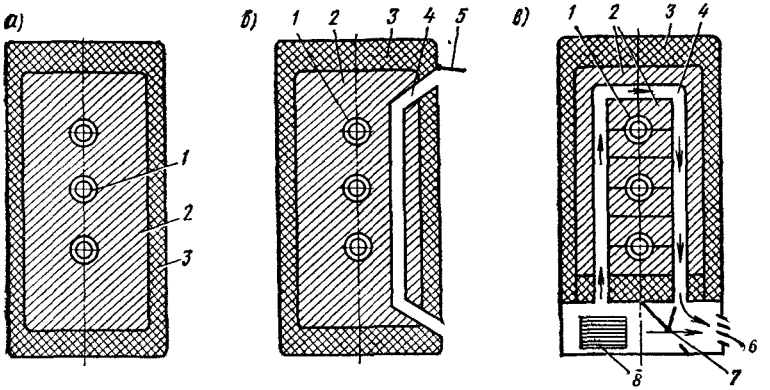

Рис. 14.8. Электрические теплоаккумуляционные печи различных типов

1 — нагревательные элементы; *2* — теплоаккумулнрующий слой; *3* — теплоизоляционный слой; *4* — воздушный канал; *5* — клапан; *6* — решетка; *7* — клапаны для байпасирования воздуха; *8* — вентилятор

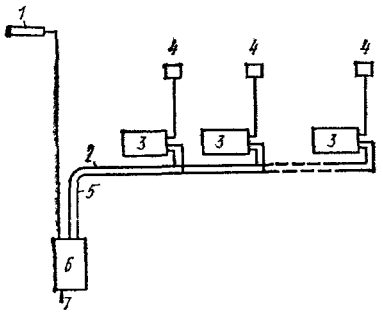

Рис. 14.9. Схема электротеплоаккумуляционной системы отопления одноквартирного дома

1 — датчик температуры наружного воздуха; *2* — силовой кабель; *3* — электротеплоаккумуляционный прибор; *4* — датчик-регулятор температуры внутреннего воздуха; *5* — кабель управления; *6* — блок автоматики; *7* — трехфазный ввод

$Q_{н.э}$ должна быть больше мощности $Q_{пом}$ постоянно работающего прибора. Мощность $Q_{н.э}$ увеличивают во столько раз, во сколько продолжительность периода зарядки m меньше продолжительности полного цикла T:

$$Q_{н.э} = Q_{пом} \frac{T}{m}. \qquad (14.7)$$

При повышении мощности электроаккумулирующих приборов соответственно увеличивают площадь поперечного сечения проводов ввода и внутридомовой электрической сети.

Теплоотдача от встроенных нагревательных элементов в толще прибора имеет прерывистый характер (рис. 14.10, *а*).

Электронная библиотека http://tgv.khstu.ru/

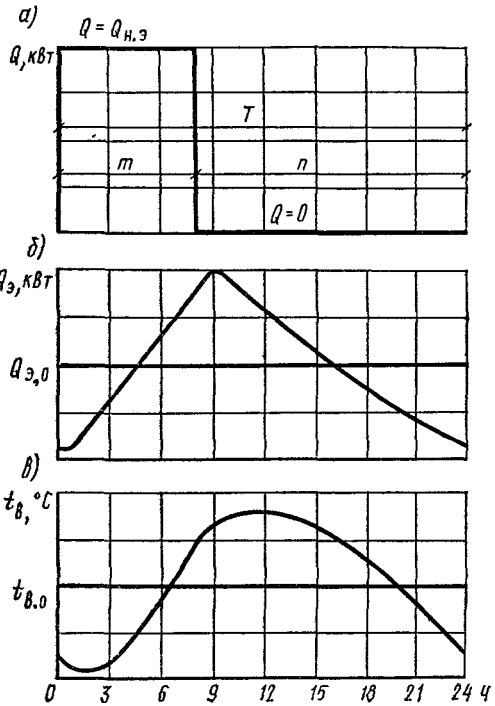

Рис. 14.10. Изменение теплового потока от нагревательных элементов (*а*), теплопоступлений от наружной поверхности теплоаккумулирующего прибора (*б*), температуры воздуха при 8-часовой зарядке (*в*)

Теплоотдача нагревательных элементов $Q_{н.э}$ постоянна в течение периода зарядки m. Тепловой поток от нагревательных элементов к наружной поверхности печи проходит через аккумулирующий и изоляционный слои, которые являются своеобразным гармоническим тепловым фильтром. При этом тепловой поток из прерывистого трансформируется в неправильный периодический (рис. 14.10, *б*).

В качестве сравнительного показателя теплоинерционных свойств электротеплоаккумулирующих приборов принято затухание $\nu_э$ тепловой волны в приборе при суточном периоде эксплуатации. Чем больше значение $\nu_э$, тем равномернее передается теплота в помещение.

При известной мощности электроаккумулирующей печи $Q_{и.э}$ и продолжительности периода зарядки m тепловой

Электронная библиотека http://tgv.khstu.ru/

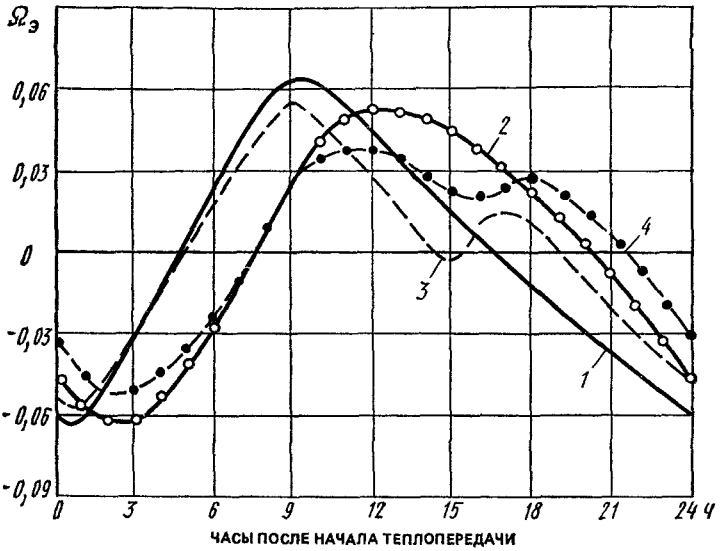

Рис. 14.11. Расчетные значения показателя $\Omega_э$ при периоде зарядки аккумулирующей печи, равном 8 ч (кривые *1*, *2*) и 8 + 2 ч (*3*, *4*); для приборов с $\nu_в$ = =7,9 (*1*, *3*) и 10 (*2*, *4*)

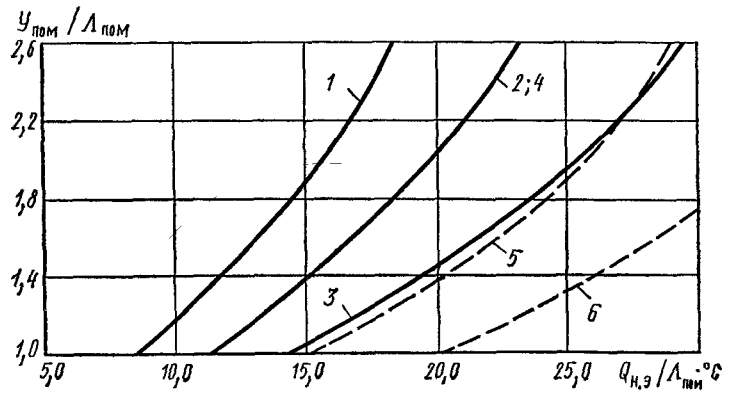

Рис. 14.12. График для подбора теплоаккумулирующих отопительных приборов *1*, *4* — $\nu_в$=7,9; *2*, *5* — $\nu_в$ =10; *3*, *6* — $1_э$=12,8; *1*, *2*, *3* — зарядка 8 ч; *4*, *5*, *6* — зарядка 8 + 2 ч

Электронная библиотека http://tgv.khstu.ru/

поток $Q_э$ на поверхности прибора в каждый момент времени определяют по формуле

$$Q_э = Q_{н.э}\left(\frac{m}{T}\right) + Q_{н.э}\,\Omega_э, \qquad (14\ 8)$$

где $\Omega_э$ — коэффициент прерывистости теплового потока (см. § 2.9) на поверхности прибора для каждого часа суток в зависимости от m/T и $\nu_э$.

На рис. 14.11 показано изменение коэффициента прерывистости $\Omega_э$ для теплоаккумулирующих приборов с различным показателем $\nu_э$ при продолжительности периода зарядки $m=8$ ч, а также для случая дополнительной дневной 2-часовой подзарядки после 6-часового перерыва (линии *3* и *4*). Видно, что дневная подзарядка выравнивает теплоотдачу прибора.

На рис. 14.12 приведен график для подбора электротеплоаккумулирующего прибора при ограничении $\Delta t_п = \pm 2$ °С. При подборе исходят из теплоустойчивости помещения (см. § 2.9) и заданного графика электропитания.

Зная показатели теплоусвоения помещения $Y_{пом}$, интенсивности конвективного теплообмена на поверхностях помещения $\Lambda_{пом}$ [формула (19.9)], а также мощность прибора $Q_{н.э}$, по рисунку подбирают прибор, который в помещении обеспечит необходимую температуру, причем колебания ее не превысят допустимых. Каждый электротеплоаккумулирующий прибор характеризуется показателем затухания тепловой волны $\nu_э$.

По рис. 14.12 можно выбрать один из двух режимов эксплуатации прибора: при зарядке 8 ч и при дополнительной дневной подзарядке продолжительностью 2 ч. Каждая кривая на рисунке соответствует условию $\Delta t_{п.макс}=2$ °С. В левом секторе от кривой находятся сочетания $Y_{пом}/\Lambda_{пом}$ и $Q_{н.э}/\Lambda_{пом}$, для которых обеспечивается условие $\Delta t_{п.макс}<2$ °С при применении заданной кривой типа прибора. Например, в помещении с $Q_{н.э}/\Lambda_{пом}=15{,}0$ °С и $Y_{пом}/\Lambda_{пом}=1{,}8$ электротеплоаккумулирующая печь с показателем затухания тепловой волны $\nu_э=7{,}9$, работающая в режиме только 8-часовой зарядки, неприменима. Эта печь может быть использована при дополнительной дневной подзарядке. Печи с показателем $\nu_э \geqslant 10$ можно применять как при дневной подзарядке, так и без нее.

Электронная библиотека http://tgv.khstu.ru/

§ 14.4. Электрическое отопление с помощью теплового насоса

Тепловым насосом называют установку, предназначенную для передачи теплоты от низкотемпературного источника к среде с более высокой температурой. Применительно к электрическому отоплению тепловой насос «перекачивает» энергию от среды с более низким тепловым потенциалом к среде с более высоким потенциалом, направляя ее для отопления зданий. Теоретически тепловым насосом является всякая холодильная машина, потому что наряду с холодом она неизменно вырабатывает и теплоту. Но тепловым насосом холодильную машину называют лишь в том случае, когда она специально предназначена для получения теплоты. При этом тепловой насос, как правило, действует при более высоких нижнем и верхнем уровнях температуры, чем холодильная машина.

В системах отопления в основном применяются тепловые насосы парокомпрессионного типа. Принцип работы компрессионного теплового насоса установлен Кельвином в 1852 г.

На рис. 14.13 изображена принципиальная схема парокомпрессионной теплонасосной установки. В компрессоре *1* при подводе механической энергии сжимается пар хладагента, при этом повышается его температура. Проходя через конденсатор (теплообменник) *2*, пар, превращаясь в жидкость, отдает нагреваемой среде (воздуху помещения или промежуточному теплоносителю) теплоту перегрева и конденсации. Жидкий хладагент поступает к дроссельному вентилю *3*, после которого он при пониженном давлении переходит в парообразное состояние. Затем в испарителе *4* при неизменных давлении и температуре пар расширяется, отбирая теплоту от низкотемпературной среды. После этого получившийся влажный пар вновь поступает в компрессор, и процесс повторяется.

Перспективным для отопления может стать тепловой насос, использующий термоэлектрический эффект Пельтье (1834 г.). Сущность эффекта заключается в выделении или поглощении теплоты при прохождении тока через контакт (спай) двух разных проводников, причем количество теплоты пропорционально силе тока. Академик А. Ф. Иоффе

Электронная библиотека http://tgv.khstu.ru/

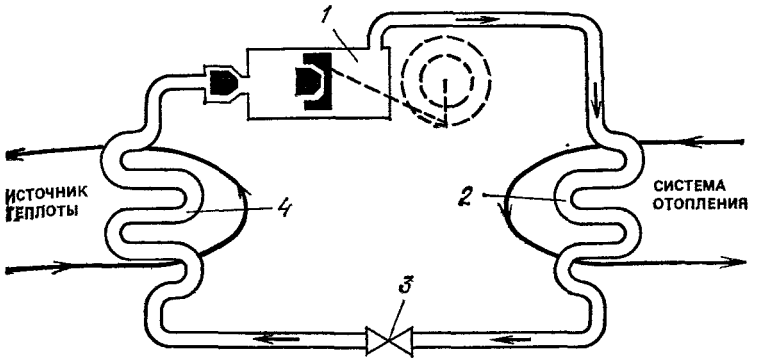

Рис. 14.13. Схема парокомпрессионного теплового насоса
1 — компрессор; *2* — конденсатор; *3* — регулирующий вентиль; *4* — испаритель

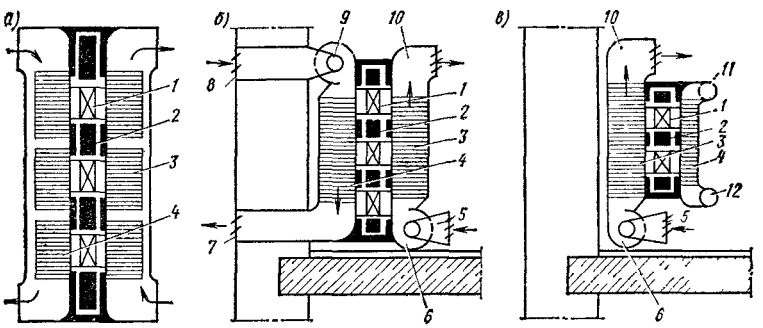

Рис. 14.14. Тепловой насос на полупроводниках (*а*), отопление помещения агрегатом типа «воздух — воздух» (*б*) и типа «воздух — вода» (*в*)
1 — полупроводник; *2* — теплоизоляционный материал; *3* — оребрение горячих спаев; *4* — оребрение холодных спаев, *5* — патрубок с решеткой для входа нагреваемого воздуха; *6* — вентилятор для перемещения внутреннего воздуха; *7, 8* — решетки для входа и выхода наружного воздуха; *9* — вентилятор для перемещения наружного воздуха; *10* — патрубок с решеткой для выхода нагретого воздуха; *11, 12* — патрубки для подачи и отвода низкотемпературной воды

в 1949 г. предложил использовать цепь Пельтье для отопления помещений. В 1957 г. в МЭИ были разработаны полупроводниковые отопительно-охладительные агрегаты, в которых теплота выделялась в месте спая полупроводника с дырчатой (положительной) проводимостью и полупроводника с электронной (отрицательной) проводимостью при протекании через спай постоянного тока. Теплота выде-

Электронная библиотека http://tgv.khstu.ru/

ляется при протекании электрического тока от положительного полупроводника к отрицательному и поглощается при движении тока в обратном направлении.

Термоэлектрическую батарею, состоящую из большого числа спаев, устраивают так, чтобы спаи, поглощающие и выделяющие теплоту, были разделены и находились в изолированных друг от друга каналах. В одном канале происходит охлаждение среды, в другом — нагревание (рис. 14.14, *а*). Нагретую среду используют для отопления помещений, применяя схему «воздух — воздух» (рис. 14.14, *б*) или «воздух — вода» (рис. 14.14, *в*).

Показателем эффективности теплового насоса является коэффициент преобразования энергии $\eta_п$, называемый также отопительным коэффициентом. Коэффициент преобразования равен отношению количества теплоты $Q_т$, получаемого для отопления, к количеству теплоты $Q_э$, эквивалентному затратам энергии на приведение установки в действие:

$$\eta_п = Q_т/Q_э. \qquad (14\ 9)$$

Теплота $Q_э$ в компрессионных установках эквивалентна количеству электроэнергии, затрачиваемой на работу компрессора; в термоэлектрических — количеству электроэнергии, подведенной к полупроводниковой батарее. Теплота $Q_т$ помимо теплоты $Q_э$ включает теплоту $Q_х$, отбираемую тепловым насосом от низкотемпературной среды, но уменьшается за счет неизбежных теплопотерь $Q_{пот}$ в контуре установки, т. е. $Q_т = Q_э + Q_х - Q_{пот}$. Таким образом, отопительный коэффициент равен

$$\eta_п = \frac{Q_э + Q_х - Q_{пот}}{Q_э} = 1 + \frac{Q_х - Q_{пот}}{Q_э}. \qquad (14.10)$$

Отопительный коэффициент $\eta_п$ будет больше единицы в тех случаях, когда теплопотери $Q_{пот}$ меньше теплоты $Q_х$. Следовательно, в тепловом насосе может вырабатываться теплоты больше, чем затрачивается энергии на его привод.

При компрессионных тепловых насосах с использованием в качестве источника низкопотенциальной теплоты природных сред (воздуха, воды, грунта) значения отопительного коэффициента $\eta_п > 1$ получают, если температура среды, нагреваемой в конденсаторе, не превышает 55—65 °С.

Электронная библиотека http://tgv.khstu.ru/

Отопительный коэффициент $\eta_{\text{п}}$ термоэлектрического теплового насоса при применяемых полупроводниковых материалах (висмут-теллур и висмут-селен) доходит до 2,5—3. Достоинства этого теплового насоса — отсутствие компрессоров, компактность, малошумность, долговечность, простота обслуживания и регулирования.

Приняв среднесезонное значение отопительного коэффициента $\eta_{\text{п}}=2{,}5$, получим, что расход электроэнергии на отопление с помощью теплового насоса составит 40—45% расхода в системе отопления с прямым преобразованием электричества в теплоту. Тем не менее широкое применение тепловых насосов для отопления зданий в средней полосе страны потребует значительного (пятикратного) повышения пропускной способности электросетей и существенного увеличения мощности генераторов электроэнергии. Затраты на электрогенераторы могут быть сокращены при аккумуляции теплоты для отопления в часы провала суточного графика электронагрузки (§ 14.3). Однако в этом случае должны возрасти мощности тепловых насосов, которые будут вырабатывать суточное количество теплоты на отопление за 6—8 ч.

Экономичность теплонасосного отопления может быть повышена при использовании теплового насоса в системах комбинированного отопления.

§ 14.5. Комбинированное отопление с использоаанием электрической энергии

Известны разнообразные комбинированные системы отопления с использованием электрической энергии: центральное водяное отопление с электрокотлами; электровоздушное отопление с электрокалориферами; базовое электроотопление панелями, теплоаккумулирующими печами при догревающем водяном или воздушном отоплении; догревающее отопление электрическими приборами при базовой системе воздушного или водяного отопления.

Электрокотлы применяют в системах отопления зданий различного назначения в ряде районов Сибири и северной зоны. В электрокотельных, сооружаемых при наличии избыточной электроэнергии, уменьшается масса оборудования, снижается трудоемкость эксплуатации (электрокотельные работают без дежурного персонала). Однако остается

Электронная библиотека http://tgv.khstu.ru/

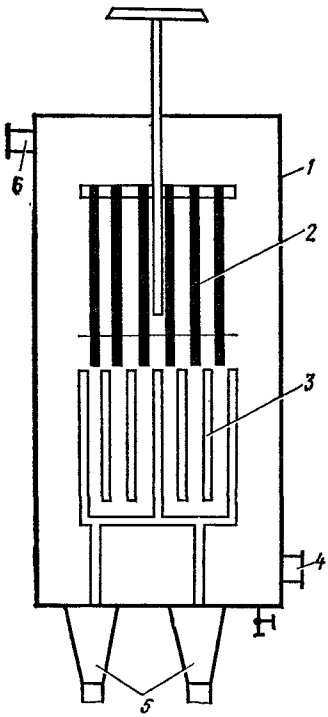

Рис. 14.15. Схема электрокотла
1 — корпус; *2* — пакет диэлектрических пластин; *3* — пакет электродов; *4* — патрубок для входа нагреваемой воды; *5* — вводы электропитания; *6* — патрубок для выхода нагретой воды

основной недостаток электрического отопления — перерасход первичного топлива.

В отопительных системах применяют водогрейные электродные котлы, работа которых основана на прямом нагревании воды электрическим током. Ток протекает через движущуюся в котле воду, представляющую собой активное сопротивление. Цилиндрический корпус котла (рис. 14.15), выполняемый из специальных сталей, имеет входной и выходной патрубки для воды. Вода движется между пластинчатыми или цилиндрическими электродами, связанными в один пакет. В корпусе помещено устройство для регулирования мощности котла в виде пакета диэлектрических пластин или цилиндров, входящих в зазоры между электродами и перемещающихся вдоль них. Котлы изготовляют номинальной мощностью от 9 кВт до 1 МВт (низкого напряжения) и от 1 до 10 МВт (высокого напряжения) для работы на переменном токе. При высоком напряжении (6—10 кВ) их устанавливают в специальном помещении, а при низком напряжении (0,4 кВ) — непосредственно в обогреваемом здании.

Мощность электрокотлов зависит от удельного электрического сопротивления нагреваемой воды. Поэтому в паспорте котла указывают расчетное электросопротивление воды $R_{\text{расч}}$ при 20 °С, которому соответствует номинальная мощность $N_{\text{ном}}$ котла. При работе на воде с другим удельным электросопротивлением при 20 °С R_{20} мощ-

Электронная библиотека http://tgv.khstu.ru/

ность котла $N_к$, кВт, измеии·гся

$$N_к = N_{ном} \frac{R_{расч}}{R_{20}}. \quad (14.11)$$

Удельиое электросопротивлеиие природиых вод изменяется от 5000—2000 в озерах и реках Севера страны до 500—3000 Ом·см в артезианских скважииах.

Расход воды $G_к$, кг/ч, в электрокотле мощностью $N_к$, кВт, рассчитывают по формуле

$$G_к = \frac{3600 N_к}{c(t_г - t_0)}, \quad (14.12)$$

где c — удельная теплоемкость воды [4,187 кДж/(кг·°С)]; t_0, $t_г$ — расчетная температура воды, входящей н выходящей из котла, °С.

Выпускаемые водогрейиые электродиые котлы рассчитаны на иагреваиие воды от 70 до 95, 130, 150 °С.

Для иадежности отопления устанавливают не менее двух котлов (один резервиый). Каждый котел сблокировааи с циркуляциоиным иасосом — котел отключается при остановке иасоса. Обеспечивается также автоматическое включеиие резервного иасоса при остановке работающего.

Прииципиальная схема теплопроводов местной водогрейной электрокотельной практически не отличается от приведеииой в гл. 6 (см. рис. 6.8).

В системах воздушного отопления сельскохозяйствеиных и промышлениых зданий применяют **электрокалориферы**. Выпускаются электрокалориферы марки СФО мощностью 25—250 кВт для нагревания 2150—18 700 кг/ч воздуха от 20 до 100 °С. Электрокалорифер работает от сети напряжением 380 В, при этом на трубчатых нагревателях, соединенных по схеме «звезда», поддерживается 220 В. Электрокалорифер должеи устанавливаться в закрытом помещении.

Электрокалорифер состоит из кожуха, оребренных трубчатых электронагревателей, выводов и шин. Кожух изготовляют из листовой стали на сварке. Трубчатые электронагреватели установлены внутри кожуха в три ряда в шахматном порядке. Каждый вертикальный ряд представляет собой самостоятельную тепловую и электрическую секцию, что позволяет работать на ступеиях 100, 66,7 и 33,3% установочной мощности.

Электронная библиотека http://tgv.khstu.ru/

При включении установки в сеть электрокалорифер работает на 100%-ной мощности. При повышении температуры воздуха в отапливаемом помещении выше установленного значения отключается одна секция, при дальнейшем повышении температуры — еще одна секция. Третья секция может автоматически отключаться при повышении температуры на поверхности оребрения выше 190 °С.

При догревающем электроотоплении понижается общий расход первичного топлива на отопление зданий и уменьшается установленная мощность электроотопительных приборов. В комбинированной системе, например, общественного здания с центральным базовым водяным или воздушным отоплением, обеспечивающим поддержание в течение отопительного сезона температуры 12—14 °С, и электроотопительными приборами, повышающими температуру помещений в рабочее время, сочетаются преимущества автоматического поддержания требуемой температуры внутреннего воздуха с экономичностью центрального отопления от ТЭЦ и крупных тепловых станций.

Увеличение капитальных затрат на установку доводчиков или других дополнительных электроотопительных приборов частично компенсируется экономией от снижения тепловой мощности базовой системы отопления. Экономия первичного топлива в условиях автоматического поддержания необходимой температуры в течение суток составляет не менее 5%, а при отключении дополнительной системы в нерабочий период времени увеличивается до 15%.

Электронная библиотека http://tgv.khstu.ru/

КОНТРОЛЬНЫЕ ЗАДАНИЯ И УПРАЖНЕНИЯ

1. Какие виды электрического отопления экономически оправданны в южных районах, в северной зоне, на Урале и в европейской части страны?

2 Перечислнте составляющие приведеиных затрат иа системы отоплення от домовой электрокотельиой н котельной на твердом топливе. Как будут отличаться эти составляющие для Мирного (Якутской АССР), Красноярска, Москвы, небольшого поселка в 300 км от города в Белоруссии?

3 Какой электробытовой отопительиый прнбор Вы предпочли бы для быстрого обогреваиия комнаты на даче при кратковременном пребываиии в ней?

4. Какой электробытовой отопительный прибор лучше использовать для сушки свежепобелеиных потолков? Для отопления высоких (4 м) помещений?

5. Что определяет экономическую эффективность электротеплоаккумуляциоиного отопления? Направлен ли этот вид электрического отоплення на экономию первичного топлива?

6. Почему электротеплоаккумулирующие приборы лучше использовать для базового отопления, чем для полного?

7. Почему для сельскохозяйственных животноводческих зданий электроотопление экономнчески более оправданно, чем для гражданских?

8. Предложнте конструкцню комбннированного отоплеиия с примеиением электроэнергни.

9. Предложите конструкции систем отопления с тепловыми насосамн.

Электронная библиотека http://tgv.khstu.ru/

РАЗДЕЛ VI. ПРОЕКТИРОВАНИЕ СИСТЕМЫ ЦЕНТРАЛЬНОГО ОТОПЛЕНИЯ

ГЛАВА 15. СРАВНЕНИЕ ОСНОВНЫХ СИСТЕМ ОТОПЛЕНИЯ

Каждая из систем отопления предназначена для достижения общей цели — подачи в обогреваемые помещения необходимого количества теплоты в любой период отопительного сезона. При выборе той или иной системы, имея в виду эту цель, сравнивают эффективность различных систем отопления.

Эффективность системы отопления (см. § 7.5) рассматривают при этом как комплексное понятие, выражающее техническое совершенство и надежность при принятой обеспеченности внутренних условий.

Техническое совершенство системы отопления на достигнутом уровне техники характеризуется свойствами: режимной управляемостью, живучестью (противостоянием возмущениям) и безопасностью для людей и окружающей среды.

Надежность системы отопления выражается такими свойствами, как безотказность (сохранение работоспособности в течение заданного периода времени) и ремонтопригодность (приспособленность к предупреждению и устранению повреждений).

Наиболее эффективной считают систему отопления, при которой в определенных условиях функционирования можно обеспечить строгое соответствие теплоподачи в помещения расчетным предположениям в течение длительного срока эксплуатации.

При сравнении и выборе различных систем отопления помимо технических показателей принимают во внимание еще и показатели экономические. Рассмотрим подробнее сравнительные технические и экономические показатели основных систем отопления (водяного, парового, воздушного).

Электронная библиотека http://tgv.khstu.ru/

§ 15.1. Технические показатели систем отопления

При выборе той или иной системы отопления учитывают особенности **теплового режима помещений** (см. § 3.9). Для достижения теплового комфорта в помещениях необходимо равномерное нагревание ограждений, когда устраняются усиленные (вредные для здоровья людей) радиационное охлаждение и движение холодного воздуха у пола.

При обычном водяном и воздушном отоплении, не говоря уже о паровом, достичь равномерного нагревания ограждений затруднительно. Степень равномерности нагревания ограждений при этих системах отопления можно косвенно оценить по изменению температуры воздуха в помещении. Если принять температуру на высоте 1,5 м от поверхности пола помещения одинаковой при различных системах отопления, то по мере приближения к поверхностям пола и потолка она не останется постоянной и будет изменяться с различной интенсивностью (см. рис. 3.7).

Наивысшая температура воздуха в верхней зоне отмечается при воздушном отоплении с подачей горячего воздуха под потолком помещения. При этом повышается температура поверхности потолка и возрастают теплопотери наружу, однако увеличивается благоприятное излучение с поверхности потолка. Температура воздуха становится более равномерной по высоте помещения при подаче нагретого воздуха снизу вдоль вертикальных наружных ограждений. В этом случае хотя и увеличиваются теплопотери через эти ограждения вследствие возрастания температуры их поверхности, ослабляются радиационное охлаждение людей и потоки охлажденного воздуха в помещении.

При водяном отоплении наблюдается более равномерная температура воздуха по высоте помещений, чем при воздушном, причем равномерность температуры зависит от места расположения и вида отопительных приборов.

Нагретая водой или паром поверхность вертикальных отопительных приборов, расположенных вдоль световых проемов, ослабляет и даже предупреждает радиационное переохлаждение людей, а струи теплого воздуха над ними отклоняют ниспадающие холодные потоки воздуха от нижней рабочей зоны помещений.

Электронная библиотека http://tgv.khstu.ru/

Длительное работоспособное состояние системы отопления обеспечивается при наличии ее **тепловой устойчивости** — свойства пропорционально изменять теплоподачу в помещения при изменении общего расхода и температуры теплоносителя. Тепловая устойчивость различных систем отопления не одинакова, она обусловлена конструкцией систем, способами создания циркуляции теплоносителя и управления работой.

Практически в любой центральной системе отопления многоэтажного здания наблюдается отклонение от условия тепловой устойчивости — **тепловое разрегулирование**. Показателем теплового разрегулирования является отношение действительной теплоподачи в помещение к требуемой по расчету. Разрегулирование может быть горизонтальным (по длине системы) и вертикальным, может вызывать недогревание и перегревание помещений. Причинами теплового разрегулирования служат неточности, допущенные при проектных и монтажных работах. Вертикальное разрегулирование систем водяного и воздушного отопления происходит также под неравномерным воздействием силы гравитации, однако более устойчивой является система водяного отопления.

В системе парового отопления можно добиться устойчивого распределения теплоносителя по отопительным приборам, но как раз это вызывает (при постоянных параметрах пара) тепловое разрегулирование в теплые периоды отопительного сезона.

При выборе эффективной по различным свойствам и показателям системы отопления учитывают возможность повышения ее тепловой устойчивости, например, путем частичного использования при гидравлическом расчете насосной системы водяного отопления возникающего естественного циркуляционного давления или повышения аэродинамического сопротивления воздуховыпускных насадков.

Большей эффективностью, которая обусловлена сравнительной безотказностью, живучестью и долговечностью, обладает система водяного отопления, простая и удобная в эксплуатации. Близко к ней подходит система местного воздушного отопления при водяном теплоснабжении, действие которой легко автоматизируется, хотя надежность ее и понижается при увеличении числа побудителей циркуля-

Электронная библиотека http://tgv.khstu.ru/

ции воздуха — вентиляторов. Менее эффективна система парового отопления, как более сложная по конструкции и в обслуживании, имеющая сокращенный срок амортизации, подверженная тепловому разрегулированию. Понижена также эффективность системы центрального воздушного отопления из-за ее усложнения и возможного нарушения распределения воздуха по помещениям, так как воздуховоды из кровельной и тонколистовой стали недолговечны, а из неметаллических материалов (кирпича, блоков, плит, листов) недостаточно плотны. Правда, решающими факторами при выборе могут оказаться попутное обеспечение вентиляции и устранение отопительных приборов из помещений.

Необходимые **гигиенические и акустические показатели** могут быть достигнуты при использовании систем водяного и центрального воздушного отопления. Это, однако, связано с ограничениями температуры и скорости движения теплоносителя, отражающимися на экономических показателях систем. Применение паровой и местной воздушной (при высокотемпературном первичном теплоносителе) систем сопровождается понижением гигиенических и акустических показателей отопления.

Радиус действия систем различен: при воздушном отоплении он ограничен вследствие малой теплоемкости теплоносителя; при водяном отоплении допустима значительная горизонтальная протяженность, но по вертикали он также ограничен из-за возрастания гидростатического давления; при паровом отоплении возможна значительная протяженность не только горизонтальная, но и вертикальная.

Система водяного отопления обладает значительной тепловой инерцией, особенно при массивных (бетонные панели) или водоемких (чугунные радиаторы) отопительных приборах. При этом ухудшается режимная управляемость, но повышается живучесть системы при аварийном нарушении теплоснабжения (некоторое время поддерживается отопление помещений). Системы парового и воздушного отопления обладают малой тепловой инерцией. Это их свойство может оказаться важным и даже предопределяющим выбор системы.

Электронная библиотека http://tgv.khstu.ru/

§ 15.2. Экономические показатели систем отопления

Экономичность системы отопления обусловлена стоимостью материалов и оборудования, изготовления и сборки, а также эксплуатации. Показателями экономичности являются технологичность конструкции, масса элементов, затраты труда и сроки изготовления и монтажа, расходы на наладку, управление и ремонт *.

Технологичность конструкции включает такие реальные мероприятия, как упрощение схемы, унификация и уменьшение числа деталей, применение нормалей, удобство сборки, которые обеспечивают изготовление и монтаж с минимальными затратами времени, средств и труда.

Создание экономичной системы отопления невозможно без модернизации и внедрения новой техники. В настоящее время испытывают новые отопительные установки (например, газовоздушные теплообменники, рассмотренные в § 13.5), применяют малометалльные отопительные приборы и агрегаты, используют тонкостенные трубы и воздуховоды. Систему отопления расчленяют на ряд повторяющихся монтажных узлов, состоящих из нормализованных деталей. Унификация узлов повышает степень индустриальности при изготовлении, снижает стоимость и продолжительность монтажа систем.

Экономический эффект выявляется при проведении технико-экономического сравнения различных проектных решений. Сравнение позволяет выбрать систему отопления, наиболее экономичную в данных конкретных условиях.

При экономическом сравнении вариантов применяют следующие показатели: капитальные вложения K, эксплуатационные затраты $И$, продолжительность монтажных работ и эксплуатации системы отопления. Обычно используют часть этих показателей. Самым простым является сравнение систем отопления с различными приборами, но с одним видом теплоносителя и с одной схемой, так как оно делается только по капитальным вложениям. Чаще всего сопоставляют системы по капитальным вложениям и эксплуатационным затратам. Реже учитывают еще сроки монтажа и службы систем, наличие трудовых резервов.

---

* **Богуславский Л. Д. и др.** Экономика теплогазоснабжения и вентиляции: Учеб. для вузов.— 3-е изд.— М.: Стройиздат, 1988.

Электронная библиотека http://tgv.khstu.ru/

Наиболее экономичен вариант, имеющий минимальные суммарные капитальные вложения и эксплуатационные затраты. Обычно приходится сравнивать два варианта, один из которых имеет меньшие капитальные вложения, другой — меньшие эксплуатационные затраты. Так, при уменьшении диаметра труб насосной водяной системы отопления капитальные вложения уменьшаются, но увеличивается расход электроэнергии; автоматизация системы увеличивает капитальные вложения, но уменьшает эксплуатационные затраты. Экономически более эффективный вариант выявляют в подобных случаях в зависимости от срока z, лет, окупаемости дополнительных капитальных вложений

$$z=\frac{K_1-K_2}{И_2-И_1}. \qquad (15.1)$$

Если этот срок $z\leqslant z_н$ — нормативного срока окупаемости дополнительных капитальных вложений за счет снижения эксплуатационных затрат, то целесообразно осуществить вариант с большими капитальными вложениями K_1 и меньшими средними годовыми эксплуатационными затратами $И_1$. Если $z>z_н$, то целесообразен вариант с меньшими капитальными вложениями K_2 и большей средней стоимостью эксплуатации $И_2$ в течение года. Нормативный срок $z_н$ окупаемости вложений в систему отопления принят равным 8,33 года (12,5 года для новой техники и энергосберегающих мероприятий) независимо от вида здания.

При экономическом сопоставлении нескольких систем или вариантов системы для каждого из них находят **приведенные затраты**

$$З=\frac{K}{z_н}+И, \qquad (15.2)$$

и более эффективным считают вариант, имеющий наименьшие приведенные затраты за нормативный срок окупаемости.

Пример 15.1. Сравним затраты на монтаж и эксплуатацию двух систем отопления здания: 1 — центральной воздушной при капитальных вложениях 21 тыс. руб. и среднегодовых эксплуатационных затратах 6,4 тыс. руб. в год; 2 — водяной при затратах соответственно 28 и 5 тыс. руб.

$$З_1=(21:8{,}33)+6{,}4=8{,}92 \text{ тыс. руб.};$$
$$З_2=(28:8{,}33)+5=8{,}36 \text{ тыс. руб.}$$

Электронная библиотека http://tgv.khstu.ru/

Так как $З_2 < З_1$, то система водяного отопления данного здания экономически выгоднее центральной системы воздушного отопления

Капитальные вложения в систему отопления осуществляются, как правило, в течение одного года. Эксплуатационные затраты ежегодно изменяются; кроме того, они зависят от срока службы как системы, так и отдельных ее элементов.

Годовые эксплуатационные затраты состоят из прямых расходов на обслуживание системы отопления и амортизационных расходов

$$И = И_{пр} + А, \qquad (15.3)$$

где $И_{пр}$ — прямые эксплуатационные расходы, складывающиеся из годовых затрат на получаемую тепловую энергию (топливо), электроэнергию, заработную плату обслуживающего персонала, управление системой и текущий ремонт; $А$ — амортизационные расходы, включающие годовые затраты на капитальный ремонт системы и отчисления на полное восстановление капитальных вложений.

Отчисления на восстановление капитальных вложений связаны с нормативным сроком службы системы, определяемым исходя из сроков физического износа ее элементов: радиаторов (40 лет), водоводов (30 лет), паропроводов, центробежных насосов, клапанов (10 лет), вентиляторов, калориферов, отопительных агрегатов (8 лет), фильтров (6 лет), конденсатопроводов (4 года).

Срок службы определяется не только физическим, но и моральным износом системы отопления, причем моральным износом считают потерю способности поддерживать температуру во всех обслуживаемых помещениях на требуемом уровне. Нормативный срок службы распространенных систем водяного отопления в настоящее время принимается равным 30—35 годам (меньший срок для конвекторов).

При определении экономически более целесообразного варианта системы отопления часто сопоставляют системы (или элементы систем), имеющие разные сроки службы (см. пример 15.1). В этих случаях для уточнения расчетов необходимо добавлять капитальные вложения будущих лет на демонтаж и замену вышедших из строя элементов. Кроме того, возможны изменения во времени эксплуатационных затрат.

Изменения во времени величин и сроков осуществления

Электронная библиотека http://tgv.khstu.ru/

капитальных вложений и эксплуатационных затрат учитывают путем введения в формулу (15.2) коэффициентов приведения * разновременных затрат к году ввода систем отопления в действие, имеющих общий вид,

$$\alpha = (1 + E_{н.п})^{-d}, \qquad (15.4)$$

где $E_{н.п}$ — норматив для приведения дополнительных вложений и измененных затрат, равный 0,08; d — число лет, отделяющих дополнительные вложения и затраты от года ввода системы отопления в действие.

При сопоставлении различных систем отопления соблюдают равные или хотя бы близкие эксплуатационные показатели для всех вариантов: системы должны обеспечивать выполнение санитарно-гигиенических, противопожарных и противовзрывных требований, а также должны обладать равноценной эффективностью.

Эффективность какой-либо системы отопления может быть повышена за счет применения дополнительных автоматических приборов, насосов и арматуры. Это требует дополнительных капитальных вложений $K_{доп} = K_2 - K_1$, но дает возможность сократить расход тепловой энергии ($И_2 < И_1$). Годовой экономический эффект приблизительно может быть найден по формуле (без учета коэффициентов приведения α)

$$Э_ф = (И_1 - И_2) - \frac{K_2 - K_1}{z_н}, \qquad (15.5)$$

где $И_1 - И_2$ — средняя годовая экономия эксплуатационных затрат по сравниваемым вариантам, руб/год.

Пример 15.2. Определим годовой экономический эффект применения водяного отопления вместо центрального воздушного по условиям примера 15.1.

По формуле (15.5) находим

$$Э_ф = (6{,}4 - 5{,}0) - \frac{28 - 21}{8{,}33} = 1{,}4 - 0{,}84 = 0{,}56 \text{ тыс. руб.}$$

По истечении нормативного срока окупаемости ежегодная экономия будет равна 1,4 тыс. руб.

Местная система воздушного отопления с использованием высокотемпературного первичного теплоносителя имеет преимущество по капитальным вложениям перед други-

---

* **Богуславский Л. Д.** Снижение расхода энергии при работе систем отопления и вентиляции.— 2-е изд.— М.: Стройиздат, 1985.

Электронная библиотека http://tgv.khstu.ru/

ми системами. В системе парового отопления в равных расчетных условиях, учитывая уменьшение площади отопительных приборов и диаметра конденсатопроводов, расходуется меньше металла и первоначальная ее стоимость несколько ниже, чем системы водяного отопления. Стоимость устройства центральной системы воздушного отопления близка к капитальным затратам на создание системы водяного отопления, а расход металла в связи с возможностью изготовления воздуховодов из строительных материалов часто оказывается даже ниже, чем в системе парового отопления.

Срок службы систем водяного отопления, как уже известно, наибольший. Благодаря уменьшению амортизационных расходов при этом, экономии электрической и тепловой энергии сокращаются стоимость эксплуатации, а следовательно, и приведенные затраты. Поэтому система водяного отопления обычно становится экономически более эффективной, чем система парового отопления.

Различие в тепловом комфорте, создаваемом в помещениях при сравниваемых системах отопления, учитывают изменением срока службы и степени использования площади помещений. Для системы, обеспечивающей более комфортные условия, увеличивают расчетный срок службы на 5—10 лет (считаясь с меньшим моральным износом). Кроме того, учитывают использование рабочей площади помещений в холодное время года (за счет изменения размеров зоны дискомфорта), добавляя часть затрат на строительные работы по обесцененной площади к сметной стоимости другой системы.

Все же **главным показателем экономичности** системы отопления являются теплозатраты в процессе ее эксплуатации. Известно, что только годовые затраты на эксплуатацию превышают половину стоимости устройства системы. И основная часть затрат приходится на оплату расходуемой теплоты. Теплозатраты на отопление при паровой или центральной воздушной системе превышают расход теплоты в системе водяного отопления вследствие возрастания попутных теплопотерь через стенки паропроводов и воздуховодов, бесполезных для обогрева рабочих помещений.

Вместе с тем при рассмотрении различных вариантов системы отопления решающими для выбора возможно окажутся такие дополнительные, но важные в конкретных

Электронная библиотека http://tgv.khstu.ru/

условиях факторы, как наличие оборудования, ограничение срока монтажных работ, необходимость частичного ввода системы в эксплуатацию, недостаток квалифицированного персонала и т. п.

§ 15.3. Области применения систем отопления

Тепловой режим помещений определяется назначением, конструкцией и условиями эксплуатации зданий. Особенности теплового режима отражаются на конструкции, параметрах и режиме действия систем отопления. Технические и экономические показатели центральных систем отопления, а также свойства теплоносителей (см. § 1.3) определяют общие области их применения.

Системы водяного отопления, надежные и гигиенически приемлемые, получившие широкое распространение в условиях теплофикации городов и поселков, применяют в гражданских и производственных зданиях.

Системы парового отопления из-за санитарно-гигиенических и эксплуатационных недостатков запрещено применять в гражданских зданиях. Паровое отопление можно устраивать в производственных зданиях, в лестничных клетках, пешеходных переходах и вестибюлях, его рекомендуют для прерывистого или дежурного (в нерабочее время) отопления помещений.

Возможность сочетания отопления и вентиляции способствует распространению **воздушного отопления**; центральное воздушное отопление применяют в первую очередь в производственных, а также гражданских зданиях с механической приточной вентиляцией. Системы местного воздушного отопления используют для прерывистого или дежурного обогревания помещений производственных и общественных зданий.

В сельскохозяйственных зданиях (животноводческих, птицеводческих, культивационных) применяют центральное воздушное, местное воздушное и водяное отопление в зависимости от задаваемого теплового режима, наличия и режима действия приточной вентиляции.

Рассмотрим выбор предпочтительного вида отопления и расчетной температуры теплоносителя в зависимости от строительно-технологических особенностей зданий (по положениям, принятым в СССР).

Электронная библиотека http://tgv.khstu.ru/

Тепловой режим помещений одних зданий поддерживают неизменным в течение всего отопительного сезона, других зданий — изменяют для экономии тепловой энергии с суточной и недельной периодичностью, в праздничные дни, во время каникул, проведения наладочных, ремонтных и других работ.

Здания с постоянным и переменным тепловыми режимами можно разделить в зависимости от санитарно-гигиенических и технологических требований на отдельные группы.

В зданиях и помещениях с **постоянным тепловым режимом** в течение отопительного сезона применяют следующие системы отопления (с предельной температурой теплоносителя $t_т$ или теплоотдающей поверхности $t_{пов}$):

1) в больницах и стационарах (кроме психиатрических и наркологических) — системы водяного отопления с радиаторами и панелями при $t_т$=85 °С * (металлические приборы) и 95 °С (бетонные приборы) с тем, чтобы средняя температура поверхности отопительных приборов не превышала 75 °С;

2) в детских дошкольных учреждениях, жилых домах, общежитиях, гостиницах, домах отдыха, санаториях, пансионатах и пионерских лагерях, поликлиниках, амбулаториях, аптеках, здравпунктах, психиатрических и наркологических больницах, банях и душевых павильонах, музеях, выставках, книгохранилищах, архивах, библиотеках, административно-бытовых зданиях при непрерывном производственном процессе — системы водяного отопления с радиаторами и конвекторами (в больницах, банях и душевых павильонах — только с радиаторами) при $t_т$= =95 °С (105 °С — для однотрубных систем в перечисленных зданиях, кроме больниц, детских учреждений, бань и душевых павильонов, и до 130 °С — для однотрубных систем при конвекторах с кожухом, если они допустимы в указанных зданиях, за исключением жилых домов и детских учреждений).

В перечисленных зданиях возможно применение электрического отопления (кроме зданий детских учреждений, бань и душевых павильонов), газового отопления (исключая

---

* Предельная температура теплоносителя здесь и далее указана для вертикальных отопительных приборов, расположенных на высоте не более 1 м от поверхности пола.

Электронная библиотека http://tgv.khstu.ru/

еще и здания больниц) при $t_т=95$ °С, а также воздушного отопления (кроме зданий больниц и детских учреждений);

3) в вокзалах, аэропортах, плавательных бассейнах, лестничных клетках, пешеходных переходах, вестибюлях зданий — системы воздушного отопления; водяного отопления с радиаторами и конвекторами (в бассейнах еще и с гладкими трубами) при $t_т=150$ °С; электрического (кроме лестничных клеток, переходов и вестибюлей) и газового отопления в плавательных бассейнах при $t_{пов}=150$ °С; парового отопления в лестничных клетках, переходах и вестибюлях при $t_т=130$ °С;

4) в производственных помещениях категорий *А*, *Б* и *В* при непрерывном технологическом процессе без выделения пыли и аэрозолей — системы воздушного отопления; водяного отопления с радиаторами и гладкими трубами при $t_т=150$ °С; парового отопления при $t_т=130$ °С.

В помещениях категории *В* допустимо применение электрического и газового отопления при $t_{пов}=110$ °С.

При выделении пыли и аэрозолей в помещениях категории *А* и *Б* предельную температуру теплоносителя принимают 110 °С, в помещениях категории *В* — 130 °С.

Водяное и паровое отопление не устраивают в помещениях категорий *А* и *Б* в тех случаях, когда в них хранят или применяют вещества, образующие при контакте с водой или водяными парами взрывоопасные смеси, или вещества, способные к самовозгоранию или взрыву при взаимодействии с водой.

Кроме того, температуру теплоносителя в системах отопления с местными отопительными приборами в помещениях категорий *А*, *Б* и *В* и для калориферов рециркуляционных воздушных завес, размещаемых в этих помещениях, принимают не менее чем на 20% ниже температуры самовоспламенения газов, паров, пыли или аэрозолей, выделяющихся в помещениях;

5) в производственных помещениях категорий *Г* и *Д* при непрерывном технологическом процессе:

а) без выделения пыли и аэрозолей — системы воздушного отопления; водяного отопления с ребристыми трубами, радиаторами и конвекторами при $t_т=150$ °С; парового отопления при $t_т=130$ °С; электрического и газового отопления с высокотемпературными темными излучателями;

б) при повышенных требованиях к чистоте воздуха —

Электронная библиотека http://tgv.khstu.ru/

системы воздушного отопления; водяного отопления с радиаторами, панелями и гладкими трубами при $t_т=150$ °С;

в) при выделении негорючих пылей и аэрозолей — системы воздушного отопления; водяного отопления с радиаторами при $t_т=150$ °С; парового отопления при $t_т=130$°С; электрического и газового отопления при $t_{пов}=150$ °С;

г) при выделении горючих пылей и аэрозолей — системы воздушного отопления; водяного отопления с радиаторами и гладкими трубами при $t_т=130$ °С; парового отопления при $t_т=110$ °С;

д) при значительных влаговыделениях — системы воздушного отопления; водяного отопления с радиаторами и ребристыми трубами при $t_т=150$ °С; парового отопления при $t_т=130$ °С; газового отопления при $t_{пов}=150$ °С.

В производственных помещениях с выделением возгоняемых ядовитых веществ систему отопления выбирают по специальным нормативным документам.

Во всех перечисленных зданиях и помещениях, кроме производственных помещений категорий *А*, *Б* и *В*, могут быть применены системы водяного отопления со встроенными в строительные конструкции нагревательными элементами. Предельно допустимая средняя температура теплоотдающей поверхности строительных конструкций для этих случаев приведена в § 11.7.

В зданиях и помещениях с **переменным топловым режимом** в течение суток применяют системы отопления (с предельной температурой теплоносителя $t_т$ или теплоотдающей поверхности $t_{пов}$):

1) в школах и других учебных заведениях, зданиях управлений, научных и проектных учреждений, конструкторских бюро, читальных залах, на предприятиях связи и обслуживания населения (при работе сидя близ световых проемов), в административно-бытовых зданиях — системы водяного отопления с радиаторами и конвекторами (конвекторы в школах во вспомогательных помещениях) при $t_г=95$ °С для двухтрубных систем, 105 °С для однотрубных систем (до 130 °С для однотрубных систем при конвекторах с кожухом с изоляцией труб, имеющих температуру выше 105 °С); воздушного отопления; электрического и газового при $t_{пов}=95$ °С;

2) в театрах, кинотеатрах, клубах, зрительных залах, ресторанах — системы водяного отопления с радиаторами

Электронная библиотека http://tgv.khstu.ru/

и конвекторами при $t_т$=115 °С (до 130 °С для однотрубных систем при конвекторах с кожухом с изоляцией труб, имеющих температуру выше 115 °С); воздушного отопления; электрического при $t_{пов}$=115 °С.

Системы водяного и электрического отопления должны обеспечивать понижение теплоотдачи в помещения в нерабочее время; системы воздушного отопления — работу с рециркуляцией воздуха для дежурного отопления;

3) в магазинах, столовых (кроме ресторанов), кафе, буфетах и закусочных, прачечных, в спортивных сооружениях (кроме плавательных бассейнов) — системы водяного отопления с радиаторами, конвекторами (кроме прачечных) и гладкими трубами при $t_т$=150 °С; воздушного отопления; электрического и газового отопления (кроме прачечных) при $t_{пов}$=150 °С.

В неутепленных и полуоткрытых зданиях и помещениях магазинов и предприятий общественного питания может быть применено электрическое и газовое отопление с высокотемпературными (до 250 °С) темными излучателями;

4) в производственных помещениях категорий *А*, *Б*, *В*, *Г* и *Д* при работе в одну или две смены применяют системы отопления, указанные для аналогичных помещений с постоянным тепловым режимом. Системы водяного отопления должны обеспечивать понижение теплоотдачи в помещения в нерабочее время. Системы воздушного отопления рекомендуется устраивать центральными, совмещенными с приточной вентиляцией основных крупных помещений, с применением их для дежурного отопления в нерабочее время; местными с отопительными агрегатами для дежурного отопления при отсутствии или невозможности использовать центральные системы приточной вентиляции.

Для отопления складских помещений и зданий принимают системы отопления как для производственных помещений с учетом противопожарных и санитарных требований в зависимости от вида хранимых в них изделий и материалов;

5) в отдельных помещениях (кроме помещений категорий *А* и *Б*) и на рабочих местах в неотапливаемых зданиях или в помещениях при пониженной температуре устраивают системы газового и электрического отопления, в том числе с высокотемпературными (до 250 °С) излучателями (в по-

Электронная библиотека http://tgv.khstu.ru/

мещениях категории *В* при $t_{пов} \leqslant 110$ °С); воздушного отопления со струйной подачей нагретого воздуха.

В перечисленных зданиях и помещениях (кроме клубных и зрелищных предприятий, ресторанов и производственных помещений категорий *А*, *Б* и *В*) могут быть выполнены также системы водяного отопления со встроенными в строительные конструкции нагревательными элементами.

Дежурное отопление предусматривают в нерабочее время или во время перерывов в использовании помещений, когда по условиям технологии производства и эксплуатации оборудования, приборов и коммуникаций можно поддерживать температуру воздуха ниже нормируемой, но не ниже 5 °С. При этом обеспечивают восстановление нормируемой температуры к началу использования помещения или к началу работы без увеличения приведенных затрат.

Дежурного отопления не устраивают совсем при высокой расчетной температуре наружного воздуха для проектирования отопления (выше — 5 °С).

В районах с расчетной температурой наружного воздуха — 40 °С и ниже предусматривают нагревание поверхности полов жилых помещений, расположенных над холодными подпольями, а также помещений в общественных, административно-бытовых и производственных зданиях, предназначенных для постоянного пребывания людей.

У дверей главных входов, ворот, наружных технологических проемов при частом их открывании применяют местные воздушные отопительные установки периодического действия для создания воздушно-тепловых завес в открытых проемах. **Воздушно-тепловые завесы** в открываемых проемах устраивают также при кондиционировании воздуха, недопустимости снижения температуры или значительных влаговыделениях (плавательные бассейны и др.) в помещениях.

Отопительные установки для создания воздушно-тепловых завес предусматривают в производственных зданиях у наружных ворот (при отсутствии тамбуров или шлюзов), открываемых чаще чем 5 раз или не менее чем на 40 мин в смену, а также у открытых технологических проемов при расчетной температуре наружного воздуха для проектирования отопления ($k_{об}$=0,92) минус 15 °С и ниже. Их проектируют у входных дверей, через которые (через один тамбур) проходят 400 чел/ч и более при расчетной темпера-

Электронная библиотека http://tgv.khstu.ru/

туре от —15 до —25 °С, 250 чел/ч и более при температуре от —26 до —45 °С и 100 чел/ч и более при температуре ниже —45 °С. В частности, воздушно-тепловые завесы предусматривают в тамбурах входов для посетителей в предприятиях общественного питания с числом мест в залах 100 и более, в магазинах с торговыми залами общей площадью 150 м² и более.

§ 15.4. Условия выбора системы отопления

При выборе системы отопления для обеспечения заданного теплового режима отапливаемых помещений кроме технических и экономических показателей (§ 15.3) учитывают также конструктивные и эксплуатационные условия и ограничения, установленные на основании опыта проектирования и эксплуатации здания *.

В системах отопления здания, сооружения, жилого района или промышленной площадки принимают единый вид теплоносителя для унификации оборудования, приборов и материалов. Давление теплоносителя устанавливают в соответствии с механической прочностью (допустимым рабочим давлением) выбранных элементов системы в зависимости от расчетной температуры теплоносителя.

В зданиях, включающих отдельные помещения иного назначения (например, пункт бытового обслуживания населения в жилом доме), предусматривают одну общую систему отопления. Крупные помещения или комплексы помещений специального назначения при основном здании (например, магазин, пристроенный к жилому дому; административно-бытовые помещения производственного здания) оборудуют отдельными системами отопления.

В зданиях устраивают отдельные системы или ответвления от общих систем отопления для обогревания помещений, различно ориентированных по сторонам горизонта, имеющих различные технологические режимы или с резко изменяющейся теплопотребностью, либо предназначенных для периодического пребывания и работы людей. Это делают с целью уменьшения (в случае необходимости) теплоподачи или даже частичного выключения отопления.

* Для сооружений агропромышленного комплекса — см. Сканави А. Н. Отопление: Учеб. для техникумов.— 2-е изд.— М.: Стройиздат, 1988.

Электронная библиотека http://tgv.khstu.ru/

Теплопроводы постоянно действующих систем отопления с местными приборами прокладывают в зданиях, начиная от распределительных коллекторов, отдельно от теплопроводов систем прерывистого отопления и теплопроводов для периодически работающих воздухонагревателей систем воздушного отопления и воздушно-тепловых завес.

В производственных зданиях и помещениях, оборудованных централизованной приточной вентиляцией, применяют главным образом воздушное отопление (при кратности воздухообмена, превышающей единицу в 1 ч). Число и мощность центральных систем воздушного отопления определяют в зависимости от деления на системы и трассировки воздуховодов приточной вентиляции. Отопительные приборы небольших вспомогательных помещений в цехах (например, помещения мастера, ОТК, кладовой) присоединяют последовательно (по однотрубной схеме) к теплопроводам для воздухонагревателей систем воздушного отопления.

В системах водяного отопления отдают предпочтение однотрубной и бифилярной схемам соединения отопительных приборов и искусственному (насосному) побуждению циркуляции воды. Тепловую мощность и протяженность системы отопления находят, исходя из тепловой нагрузки отдельных стояков в вертикальной системе или поэтажных ветвей в горизонтальной системе и располагаемого циркуляционного давления.

Максимальная тепловая мощность стояков и поэтажных ветвей диаметром 10, 15 и 20 мм, подсчитанная при предельно допустимой по СНиП скорости движения воды для помещений гражданских зданий (1,5 м/с), дана в табл. 15.1. В случаях, когда допустима более высокая скорость движения воды в трубах и отопительных приборах (в административно-бытовых и производственных зданиях), тепловая мощность стояков и поэтажных ветвей, указанная в таблице, может быть превышена при условии достаточности циркуляционного давления.

При выборе диаметра стояков и поэтажных ветвей имеют в виду, что при высокой (но допустимой) скорости движения воды потери давления в них могут быть слишком велики для водоструйных элеваторов или местных циркуляционных насосов, развивающих сравнительно небольшое

Электронная библиотека http://tgv.khstu.ru/

Таблица 15.1. Максимальная тепловая мощность стояков и поэтажных ветвей систем водяного отопления гражданских зданий (при скорости движения воды 1,5 м/с)

Расчетный перепад температуры воды, °С	Тепловая мощность, кВт, при внутреннем диаметре труб $d_в$, мм		
	12,6	15,7	21,2
85—65	15,2	23,5	42,9
95—70	18,8	29,2	53,3
105—70	26,2	40,6	74,1
115—70	33,4	51,8	94,5
150—70	57,4	89,2	162,6

давление. Вместе с тем увеличение потерь давления в стояках и поэтажных ветвях желательно при наличии значительного перепада давления в наружных теплопроводах, вводимых в здание.

В системах водяного отопления зданий, возводимых из сборных строительных конструкций, применяют нагревательные элементы, встроенные в наружные стены, перекрытия и полы (см. гл. 11).

Высоту систем водяного отопления ограничивают исходя из допустимого (рабочего) гидростатического давления для выбранных элементов систем (приборов, арматуры, насосов, теплообменников и т. д.). Высота систем не должна превышать (с некоторым запасом) 55 м при использовании чугунных и стальных приборов и 90 м для приборов со стальными греющими трубами.

Высоту систем воздушного отопления ограничивают для уменьшения попутного охлаждения воздуха в вертикальных каналах.

Для высоты двухтрубных систем водяного отопления и канальных систем воздушного отопления устанавливают предел также во избежание чрезмерного нарушения расчетного теплового режима (теплового разрегулирования) вследствие непропорциональной теплоподачи в помещения под влиянием изменяющегося естественного циркуляционного давления. Этот предел составляет приблизительно 25 м при водяном и 15 м при воздушном отоплении.

Электронная библиотека http://tgv.khstu.ru/

КОНТРОЛЬНЫЕ ЗАДАНИЯ И УПРАЖНЕНИЯ

1. Перечислите свойства системы отопления, определяющие понятие «эффективность системы».

2. Выведите формулу для определения всех видов затрат при эксплуатации системы отопления в течение года [в развитие формулы (15.3)].

3. Напишите формулу для вычисления коэффициента приведения α в случае выполнения монтажных работ в течение нескольких лет.

4. Составьте формулу приведенных затрат на систему отопления с учетом замены отдельных ее элементов и изменения величины эксплуатационных затрат в течение срока службы системы.

5. Какова причина принятия в равных технологических условиях более низкой допустимой температуры теплоносителя пара чем допустимая температура теплоносителя воды?

6. Рассчитайте по образцу табл. 15.1 максимальную тепловую мощность стояков и ветвей систем водяного отопления производственных зданий.

ГЛАВА 16. РАЗРАБОТКА СИСТЕМЫ ОТОПЛЕНИЯ

§ 16.1. Процесс проектирования; состав проекта отопления

Проектирование системы центрального отопления есть процесс разработки технической документации, определяющей тепловую мощность и теплоноситель, конструкцию системы и теплового пункта, диаметры теплопроводов, размеры приборов и параметры оборудования, стоимость системы и другие технико-экономические показатели.

Различают типовые, экспериментальные и индивидуальные проекты отопления.

Типовые проекты выполняют обезличенно (см. § 16.5); индивидуальные и экспериментальные проекты разрабатываются для конкретных условий строительства зданий и сооружений.

К **экспериментальным** относят проекты ранее не применявшихся систем отопления, систем с новыми нетрадиционными узлами и деталями. Такие проекты составляют для последующего исследования работы систем отопления в натурных условиях и проверки их технико-экономических показателей.

Электронная библиотека http://tgv.khstu.ru/

При **индивидуальном** проектировании применяют, как правило, технические решения, проверенные на практике. Индивидуальные проекты называют проектами повторного применения, если эти проекты используются при повторном строительстве однотипных объектов.

К индивидуальным относят также проекты реконструкции существующих систем отопления. Существующие системы могут не только реконструироваться, что обычно делают при перестройке зданий и сооружений. Возможно проведение капитального ремонта без изменения структуры системы, возможна и модернизация отдельных устаревших узлов и деталей (например, замена водоструйного элеватора автоматизированным). Все это требует составления проектов.

Выполняют такие индивидуальные проекты после технической экспертизы. В отчет об экспертизе включают технические показатели обследованной системы отопления, ее первоначальные чертежи (а в случае их отсутствия — обмерные чертежи). Определяют физический и моральный износ системы и составляют технико-экономическое обоснование необходимости ремонта, реконструкции, модернизации или замены ее принципиально новой.

Процесс проектирования системы отопления в полном объеме включает три стадии операций по выбору, конструированию и расчету: технико-экономические расчеты, проект, рабочая документация. Часто, особенно при повторном использовании имеющегося проекта и применении типового проекта, отдельные стадии проектирования объединяют.

На стадии **технико-экономических расчетов** (ТЭР) определяют для крупных объектов ориентировочную тепловую мощность системы отопления, устанавливают источник теплоснабжения, вид и параметры теплоносителя, режим действия и принципы управления системой, виды оборудования и отопительных приборов, использование научно-технических достижений, связь с другими системами инженерного оборудования и конструктивным решением здания и особые условия строительства (сейсмичность, вечная мерзлота и т. п.).

На стадии **проекта** (П) проводят основные расчетно-графические работы. Законченный технический проект состоит из поэтажных планов, схем, расчетно-пояснительной записки со спецификациями и смет.

Электронная библиотека http://tgv.khstu.ru/

На стадии **рабочей документации** (РД) разрабатывают узлы и детали теплового пункта, магистралей, ветвей, стояков и подводок, приборов и агрегатов. Составляют технические условия изготовления нестандартного оборудования, указания по эксплуатации системы.

Выполняют заглавный лист проекта, внося в него состав и основные положения проекта, технико-экономические показатели, ссылки на СНиП, СН и ТП, типовые чертежи элементов и установок, указания по производству монтажных работ.

По техническому проекту и рабочим чертежам для индустриализации заготовительно-монтажных работ иногда для крупных объектов выполняют **монтажный проект**, предусматривающий унификацию элементов, включающую укрупнение и сокращение числа типоразмеров, применение типовых узлов и нормализованных деталей.

§ 16.2. Нормы и правила проектирования отопления

Системы центрального отопления в нашей стране проектируют в специализированных отделах проектных институтов, основываясь на строительных нормах и правилах, каталожно-справочной литературе, при обязательном соблюдении государственных стандартов.

Специалисты-проектировщики обязаны использовать последние достижения в области отопительной техники для обеспечения эффективной и вместе с тем экономичной работы проектируемых систем отопления. При этом они руководствуются решениями о всемерной экономии как затрат труда и материальных ресурсов при монтажных работах, так и энергозатрат в процессе эксплуатации зданий и сооружений.

В основу проектирования положены нормативные документы: общесоюзные, ведомственные и республиканские. В общесоюзные документы внесены требования к проектам, нормы проектирования, правила организации, производства и приемки работ, методы определения стоимости объектов, требования к их эксплуатации. Ведомственные (ВСН) и республиканские (РСН) строительные нормы дополняют общесоюзные строительные нормы и правила (СНиП), отражая особенности проектирования в условиях отрасли народного хозяйства страны и союзной республики.

Электронная библиотека http://tgv.khstu.ru/

Эти нормативные документы, равно как и государственные стандарты (ГОСТ), постоянно совершенствуют (один раз в год могут быть внесены дополнения и изменения) и обновляют (примерно один раз в десять лет).

Перечень действующих нормативных документов периодически утверждает Государственный строительный комитет (Госстрой СССР) для обязательного применения при проектировании.

К таким основным документам для проектирования отопления относятся:

государственные стандарты (ГОСТ), разрабатываемые, например, на стальные трубы, отопительные приборы, на оформление рабочих чертежей проектов отопления;

строительные нормы и правила (СНиП), состоящие из общей главы по проектированию отопления, вентиляции и кондиционирования, отдельных глав по видам зданий и сооружений с конкретными нормами, учитывающими особенности отопления этих сооружений, а также глав по строительной теплотехнике, климатологии и геофизике;

строительные нормы (СН) и технические правила (ТП) для повсеместного применения (например, СН 528-80 «Перечень единиц физических величин, подлежащих применению в строительстве», ТП 101-81 «Технические правила по экономному расходованию основных строительных материалов»);

строительные каталоги (СК) оборудования.

Для ускорения и облегчения работы проектировщики используют вспомогательные материалы — пособия и руководства по проектированию систем отопления, справочники, альбомы типовых деталей и узлов (например, средства крепления труб и приборов). Выполняют машинизированные расчеты отдельных разделов проекта (например, с помощью ЭВМ проводят расчет теплопотерь помещениями, гидравлический расчет систем отопления, тепловой расчет отопительных приборов). Разрабатывают и внедряют сквозную систему автоматического проектирования (САПР) отопления, особенно при типовом проектировании зданий.

Электронная библиотека http://tgv.khstu.ru/

§ 16.3. Последовательность проектирования отопления

Исходными данными для проектирования системы отопления являются: источник теплоснабжения; назначение, планировка и строительные конструкции здания; технологический проект и режим эксплуатации основных помещений; положение здания на участке строительства; климатология местности.

Показатели климата в районе строительства здания устанавливают по главе СНиП «Строительная климатология и геофизика». Конкретное значение расчетной температуры наружного воздуха $t_н$, при которой определяют тепловую мощность системы отопления, принимают по параметрам Б для холодного периода года, приведенным в главе СНиП «Отопление, вентиляция и кондиционирование». Там же указана расчетная скорость ветра.

Операции по проектированию состоят из четырех основных разделов: расчет тепловой мощности, выбор, конструирование и теплогидравлический расчет системы отопления. Завершается проектирование составлением расчетно-пояснительной записки со спецификациями и сметы.

Расчет тепловой мощности системы отопления начинают с выбора расчетных значений температуры и влажности воздуха в помещениях по главе норм проектирования, соответствующей назначению этих помещений (например, для помещений гостиницы по главе СНиП «Гостиницы»). На основании теплотехнических расчетов наружных ограждений (по главе СНиП «Строительная теплотехника») определяют коэффициенты теплопередачи и теплопотери через ограждения. Вычисляют теплозатраты на нагревание инфильтрующегося воздуха (с использованием глав СНиП «Отопление, вентиляция и кондиционирование» и «Строительная теплотехника»), а также поступающих в помещение снаружи материалов.

После расчета теплопоступлений от людей, технологического оборудования, электрических приборов и освещения, нагретых материалов, а иногда и солнечной радиации составляют тепловой баланс и выявляют дефицит или теплоизбытки в помещениях. На этом основании устанавливают теплопотребности помещений — тепловые нагрузки отопительных установок в течение расчетного часа рабочего и нерабочего периодов суток.

Электронная библиотека http://tgv.khstu.ru/

Тепловые нагрузки, определяющие мощность отопительных установок, могут в зависимости от режима использования помещений значительно превышать среднюю теплопотребность в течение суток. В таких случаях составляют суточный и недельный графики использования тепловой мощности системы.

Выбор системы отопления зависит от источника теплоснабжения, вида и параметров теплоносителя, вида и типов приборов и оборудования. Выбор делают в соответствии с указаниями норм проектирования (в первую очередь по главе СНиП «Отопление, вентиляция и кондиционирование»), а также с учетом технико-экономических показателей и конструктивно-эксплуатационных ограничений (см. гл. 15). Определяют возможность непосредственного использования теплоносителя в отопительных установках и приборах, возможность устройства отопления, совмещенного с вентиляцией.

Схему системы отопления выбирают в соответствии с планировочными, конструктивными и технологическими особенностями здания. Устанавливают режим действия и принципы управления работой системы, целесообразность отдельного дежурного отопления.

Конструирование системы отопления начинают с размещения теплового центра, теплопроводов (труб и воздуховодов), отопительного оборудования в здании. Разделяют систему на обособленные зоны и части постоянного и периодического действия с учетом отдельного отключения и регулирования. Учитывают также категории пожаровзрывоопасности помещений.

При размещении труб принимают решения по направлению и величине уклона, компенсации удлинения и тепловой изоляции, организации движения, сбора и удаления воздуха, спуску и наполнению водой системы, выбору и расположению арматуры.

На **планах подвального и чердачного (технических) помещений** показывают основное оборудование с технической характеристикой, магистрали с указанием диаметра и уклона, стояки с номерами, ввод наружных теплопроводов, запорную арматуру, компенсаторы, неподвижные опоры, участки с тепловой изоляцией.

На неповторяющиеся поэтажные планы наносят стояки с номерами; отопительные приборы с указанием марки,

Электронная библиотека http://tgv.khstu.ru/

числа и длины элементов; отопительные агрегаты с технической характеристикой; транзитные трубы и подводки к приборам и агрегатам.

Составляют схемы труб и оборудования теплового центра и системы отопления. Разрабатывают узлы установки теплообменников, приборов, агрегатов, насосов, баков и прочего оборудования, детали прокладки, подвески и крепления труб и воздуховодов, размещения регулирующей арматуры и воздуховыпускных устройств.

Схемы магистралей и теплового пункта вычерчивают в аксонометрической проекции, причем стояки часто изображают отдельно в виде разверток по стенам здания (при взгляде изнутри).

На схемах показывают оборудование, коллекторы с контрольно-измерительными приборами, трубы с запорно-регулирующей арматурой, отопительные приборы и калориферы отопительных агрегатов, воздухосборники, воздушные и спускные краны, грязевики, компенсаторы и неподвижные опоры. На схемах наносят: уклон труб, номера стояков, тепловую нагрузку и диаметр участков магистралей и стояков, расход воды в стояках, тепловую нагрузку и расчетную площадь приборов и калориферов, помещают техническую характеристику приборов, оборудования и системы.

Теплогидравлический расчет системы отопления включает определение температуры, давления и расхода теплоносителя, диаметра теплопроводов, типоразмера оборудования.

Тепловой и гидравлический (или аэродинамический) расчеты взаимно связаны и, строго говоря, требуется многократное их повторение для выявления действительно необходимых параметров теплоносителя, размеров теплопроводов и оборудования Поэтому наиболее точным является расчет системы с помощью ЭВМ

Расчет вручную повторяют 1—2 раза, причем тепловой и гидравлический расчеты выполняют в различной очередности.

Тепловой расчет предшествует гидравлическому, когда размеры греющих элементов (труб, воздухонагревателей) значительно влияют на давление и расход теплоносителя в системе. Например, при использовании конвекторов в системе водяного отопления длину приборов определяют до

Электронная библиотека http://tgv.khstu.ru/

гидравлического расчета, а после уточнения параметров теплоносителя вносят поправки в размеры приборов.

Гидравлический расчет выполняют до теплового, когда размеры греющих элементов практически не влияют на гидравлическое сопротивление системы. В результате гидравлического расчета определяют диаметр теплопроводов и параметры теплоносителя, а затем размеры греющих элементов. Так поступают, например, при использовании колончатых радиаторов в системе водяного отопления.

Работы по перечисленным четырем разделам проводят последовательно, но с различной степенью детализации на отдельных стадиях проектирования системы отопления.

Расчетно-пояснительная записка включает обычно четыре раздела: общую часть, тепловой пункт, систему отопления, спецификации. В общей части кратко описывают здание и участок строительства, запроектированные тепловой пункт и систему, климатические данные и метеорологические условия в основных помещениях. В следующие два раздела помещают основные расчетные материалы с обоснованием выбора конструктивных элементов, описанием особенностей системы и оборудования теплового пункта, ссылками на нормативную и каталожно-справочную литературу. Спецификации как основание для составления сметы состоят из перечней, технических характеристик и количества необходимых материалов, приборов и оборудования со ссылками на ГОСТ и Строительные каталоги.

§ 16.4. Проектирование отопления с помощью ЭВМ

В § 4.8 описано применение ЭВМ для теплового расчета одного из элементов центральных систем водяного и парового отопления — отопительных приборов. Подробно рассмотрены вводимые в ЭВМ исходные данные и этапы последовательного выполнения расчетов.

Существуют программы расчета с помощью ЭВМ других элементов систем отопления. Разрабатывают общую **систему автоматизированиого проектирования** (САПР) отопления, предназначенную не только для ускоренного выполнения расчетов, но для машинизации всего процесса проектирования отопления.

САПР отопления состоит из ряда подсистем, обеспечивающих выполнение следующих работ:

Электронная библиотека http://tgv.khstu.ru/

1) получение справочно-технической информации;
2) расчет тепловой мощности системы отопления;
3) выбор системы отопления с вариантными техник экономическими расчетами;
4) конструирование системы отопления с выполнени чертежей;
5) теплогидравлические расчеты системы отопления
6) составление расчетно-пояснительной записки, спец фикаций, технико-экономических показателей системы отопления;
7) определение сметной стоимости системы отопления.

Рассмотрим на примере практикуемое применение ЭВМ типа ЕС для теплогидравлических расчетов распространенных однотрубных систем водяного отопления (по программе «Поток» *).

Программа расчетов составлена применительно к вертикальным и горизонтальным системам, присоединенным к наружным теплопроводам по зависимой схеме с применением водоструйного элеватора. Программа предусматривает гидравлический расчет систем с равными и неравными перепадами температуры воды в стояках; тепловой расчет отопительных приборов; выбор регулирующих клапанов, контрольно-измерительных приборов (КИП), регулятора давления; подбор элеватора; составление спецификаций на трубы, арматуру, отопительные приборы, КИП.

Программа предусматривает верхнюю и нижнюю разводку магистралей с тупиковым и попутным движением воды в них; вертикальную, горизонтальную и бифилярную схемы соединения отопительных приборов различных типов; применение разных приборных узлов — проточных, проточно-регулируемых, регулируемых с замыкающими участками, с редукционными вставками.

Предварительно разрабатывают и вычерчивают в масштабе расчетную схему системы отопления. На схеме указывают тепловую нагрузку каждого отопительного прибора, температуру воздуха в каждом помещении, параметры теплоносителя для системы в целом, располагаемую разность давления в месте ввода наружных теплопроводов в здание.

---

* **Иванников В. И. и др.** Проектирование систем отопления, теплоснабжения калориферов, вып. VI—64.— М.: ЦНИИпроект, 1983.

Электронная библиотека http://tgv.khstu.ru/

Основные исходные данные, вводимые в ЭВМ для расчетов, составлены в виде пяти таблиц (снабженных пояснениями для правильного их заполнения). В первую таблицу записывают общие сведения о системе; во вторую — характеристику приборных узлов с указанием условий установки отопительных приборов в помещениях; в третью — характеристику стояков с разбивкой их на этажестояки и узлы присоединения к магистралям; в четвертую — характеристику магистралей с информацией о каждом участке; в пятую — характеристику головных участков магистралей, начиная от ввода по направлению движения теплоносителя.

Алгоритм проектирования основан на способе гидравлического расчета по удельным линейным потерям давления с учетом естественного циркуляционного давления, возникающего при охлаждении воды в системе. Для получения оптимального варианта проектного решения применен метод динамического программирования. За критерий оптимизации расчетов принято максимальное использование разности давления в подающем и обратном наружных теплопроводах в месте ввода их в отапливаемое здание. При определении общих потерь давления в системе отопления применен способ характеристик гидравлического сопротивления.

Диаметр любого участка может быть задан либо определен расчетом. При подборе диаметра магистралей предусмотрено соблюдение условия «телескопичности» — последовательного плавного их изменения. Предусмотрена также возможность дросселирования группы стояков шайбой или вставкой из трубы меньшего диаметра на магистрали с выявлением при этом экономии металла.

Тепловой расчет стояков заключается в определении охлаждения воды в трубах при движении теплоносителя до каждого отопительного прибора с выявлением полезной теплоотдачи в помещения и дополнительных теплопотерь через наружные ограждения в местах прокладки труб. При тепловом расчете отопительных приборов находят охлаждение воды в приборах при принятой к установке их площади и дополнительные теплопотери через наружные ограждения в местах их установки.

При расчетах используют справочно-техническую информацию: сортамент стальных труб, теплотехнические показатели отопительных приборов, технические данные за-

Электронная библиотека http://tgv.khstu.ru/

порно-регулирующей арматуры, клапанов, КИП. Она сформирована автономно (за пределами программы) в виде библиотеки информации, к которой можно обращаться по мере необходимости и в которую вносят поправки при появлении новых изделий и материалов.

На печать выводятся сводные таблицы с исходными данными, характеристикой отопительных приборов, стояков, магистралей, системы. Даются спецификации отопительных приборов и других материалов и оборудования, а также технико-экономические показатели системы отопления. К этим показателям отнесены: средняя плотность теплоотдачи отопительных приборов (Вт/м²), расход труб (кг/1000 Вт), расход теплоносителя воды (кг/ч), тепловая мощность системы (Вт), потери давления в системе (Па), относительные потери давления в стояках (% общих потерь в системе).

Условием оптимизации теплогидравлических расчетов может быть также минимизация приведенных затрат (см. § 15.2) при заданной тепловой мощности и возможных потерях давления в системе отопления, схема которой уже определена. При таких расчетах вертикальных однотрубных систем водяного отопления принимают во внимание требование СНиП, чтобы потери давления в стояках составляли не менее 70% общих потерь давления в циркуляционных кольцах (без потерь давления в головных участках систем).

§ 16.5. Типовые проекты отопления, их применение

Типовыми называют проекты систем отопления, разработанные на основе типизации элементов и предназначенные для многократного повторения в строительстве. При разработке проводят унификацию элементов (узлов и деталей), выбирая лучшие и экономичные решения с минимальным числом типоразмеров

Разработке типовых проектов предшествуют экспериментальное проектирование, монтаж и натурные наблюдения для проверки технико-экономических показателей и эксплуатационного качества систем. В типовых проектах используют прогрессивные конструктивные решения, предусматривающие индустриальность заготовительно-монтажных работ и эффективность действия систем.

Создается сортамент элементов, обеспечивающий необходимое число вариантов типовых проектов и изготовление

Электронная библиотека http://tgv.khstu.ru/

сборных узлов на специализированных заводах. Типовые проекты разрабатывают в ведущих проектных организациях.

Типовые проекты позволяют в короткие сроки обеспечивать строительство проектной документацией, включающей элементы заводского изготовления. В жилищном строительстве, например, в настоящее время по типовым проектам строится подавляющее число зданий.

Типовые проекты обновляются через 5—10 лет с учетом технического прогресса в строительстве и вследствие повышения требований к уровню комфорта в зданиях.

В нашей стране с ее громадной герриторией и различием природно-климатических условий установлено около 30 проектно-строительных районов В отдельных союзных республиках выделены два-три и даже четыре (РСФСР) района. Типовые проекты для этих районов отличаются тепловой мощностью систем и их конструктивно-техническими характеристиками.

Для каждого проектно-строительного района разрабатывают с учетом наличия отопительного оборудования варианты типовых проектов систем, рассчитанные при различной температуре наружного воздуха (параметры Б по СНиП) с интервалом 5 °С (например, при —20, —25 °С и т д.). Вариант типового проекта системы отопления выбирают так: если здание строится в местности, где расчетная температура наружного воздуха имеет промежуточное значение, принимают проект, разработанный для ближайшей более низкой температуры (например, для —25 °С в местности с расчетной температурой —22 °С).

Выбранный вариант типового проекта «привязывают» (корректируют) применительно к местным условиям строительства здания и теплоснабжения системы отопления. При привязке проекта учитывают изменения, внесенные в нижнюю часть здания, обусловленные использованием рельефа участка строительства и уточнением планировки подвального, а иногда и первого этажей В объем работ по привязке входят изменения и дополнения типового проекта теплового пункта и системы отопления. Проектируют также наружные теплопроводы до ввода их в здание и внутреннюю их прокладку до теплового пункта.

Привязку типового проекта обычно осуществляют в одну стадию (техно-рабочий проект), выполняя ее в рамках про-

Электронная библиотека http://tgv.khstu.ru/

ектно-строительного объединения (ПСО), и только при привязке проекта в условиях изменения технологической части здания делают в две стадии.

КОНТРОЛЬНЫЕ ЗАДАНИЯ И УПРАЖНЕНИЯ

1. Напишите характеристику конвекторов по ГОСТ 20849—с изменением от 17 ноября 1986 г.

2. Установите по главе СНиП 2.04.05—86 нормативные положения, отражающиеся на тепловой мощности системы отопления

3. Составьте перечень действующих строительных норм (СН и технических правил (ТП) по вопросам отопления зданий.

4. Сделайте выборки из главы СНиП 2.01.07—85 «Нагрузки и воздействия», характеризующие изменение скорости ветра по высоте над поверхностью земли, а также обдувание зданий ветром.

5. Опишите технические решения системы отопления здания общеобразовательной школы, возводимого по типовому проекту в Вашем городе.

6. Установите состав типового проекта системы отопления—например, здания детского сада, строящегося в Вашем городе,

Электронная библиотека http://tgv.khstu.ru/

РАЗДЕЛ VII. ПОВЫШЕНИЕ ЭФФЕКТИВНОСТИ СИСТЕМЫ ОТОПЛЕНИЯ

ГЛАВА 17. РЕЖИМ РАБОТЫ И РЕГУЛИРОВАНИЕ СИСТЕМЫ ОТОПЛЕНИЯ

§ 17.1. Режим работы системы отопления

Размеры конструктивных элементов системы отопления здания или сооружения (диаметр труб, воздуховодов, площадь теплообменников и отопительных приборов) определяют для конкретных расчетных условий. Поддержание расчетных параметров теплоносителя (температура, расход) в этом случае обеспечивает максимально возможную теплоподачу системы, соответствующую теплопотребности обогреваемых помещений при расчетных условиях наружного климата (температура воздуха, скорость ветра, интенсивность солнечной радиации). Подобные условия на территории нашей страны наблюдаются в течение короткого периода времени (см. рис. 1). Бóльшую часть отопительного сезона климатические условия характеризуются показателями, при которых теплопотребность для отопления ниже расчетной.

Влияние отдельных факторов по-разному сказывается как на величине, так и на характере изменения теплопотребности каждого помещения. Не однозначно это влияние и для различно расположенных однотипных помещений зданий (например, на верхних и нижних этажах или разноориентированных по сторонам горизонта). Переменный характер теплопотребности здания в течение отопительного сезона предопределяет необходимость изменения теплоподачи системы отопления для поддержания расчетной температуры обогреваемых помещений.

Таким образом, режим работы системы отопления в течение отопительного сезона должен быть связан с переменным значением недостатка теплоты, определяемым изменением отдельных составляющих теплового баланса помещений (§ 3.1).

Среди этих составляющих теплопотери через наружные ограждающие конструкции $Q_{огр}$ вследствие постоянства их

Электронная библиотека http://tgv.khstu.ru/

коэффициента теплопередачи можно считать изменяющимися пропорционально разности температуры внутреннего и наружного воздуха

$$Q_{огр} = Q'_{огр} \frac{t'_в - t_н}{t'_в - t'_н}, \quad (17.1)$$

где $Q'_{огр}$ — теплопотери через ограждающие конструкции при расчетной температуре наружного воздуха; $t'_в$ и $t'_н$ — расчетная температура соответственно внутреннего и наружного воздуха; $t_н$ — текущая температура наружного воздуха.

Сложнее характер изменения теплопотерь, связанных с нагреванием поступающего в помещение наружного воздуха, $Q_и$. Помимо изменения температуры $t_н$ изменяется и расход воздуха $G_и$, зависящий от многих факторов и, прежде всего, от разности давления воздуха снаружи и внутри помещения.

Расход воздуха связан с воздушным режимом здания в целом. Например, в многоэтажных жилых зданиях отмечают значительное различие в количестве воздуха, проникающего через окна помещений, расположенных на разных этажах. В общем виде изменение теплопотерь на нагревание поступающего в помещение наружного воздуха определяют по формуле

$$Q_и = Q'_и \bar{G}_и \frac{t'_в - t_н}{t'_в - t'_н}, \quad (17.2)$$

где $\bar{G}'_и = G_и / G'_и$ — относительный расход наружного воздуха, поступающего в помещение (отношение расхода при текущей температуре наружного воздуха к расходу при расчетной температуре).

Характер изменения величины $Q_и$ для зданий различной этажности показан на рис. 17.1.

Теплопоступления от технологического оборудования и других внутренних источников $Q_{техн}$ обычно считают в течение отопительного сезона постоянными (в производственных зданиях их устанавливают для часа с минимальными тепловыделениями).

Теплопоступления от солнечной радиации $Q_{с.р}$, как правило, не учитывают в расчетах по определению мощности системы отопления. Однако солнечная радиация может существенно изменить температурную обстановку в помещениях, особенно в теплый период отопительного сезона. Изменение значения $Q_{с.р}$ оценивают по данным об

Электронная библиотека http://tgv.khstu.ru/

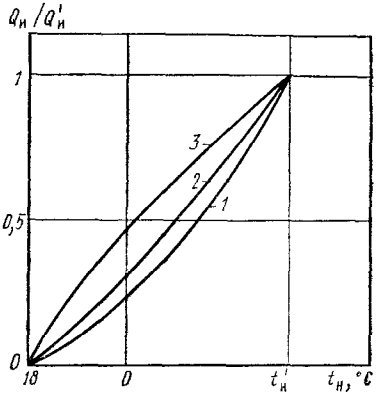

Рис. 17.1. Изменение теплопотребности на нагревание поступающего наружного воздуха в однотипные помещения многоэтажного жилого здания, расположенные на нижних этажах 5—12-этажного здания (*1*), на верхних этажах 5—12-этажного (*2*) и 16—22-этажного (*3*) здания, в течение отопительного сезона

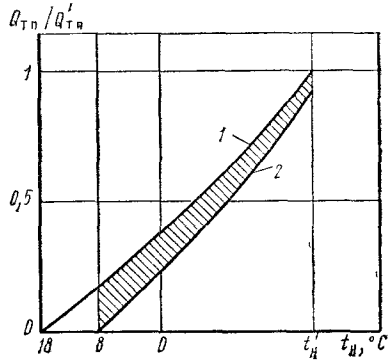

Рис. 17.2. Изменение теплопотребности здания в течение отопительного сезона без учета (*1*) и с учетом (*2*) технологических и внутренних теплопоступлений и солнечной радиации

интенсивности прямой, рассеянной и отраженной солнечной радиации.

Как известно, начало и конец отопительного сезона относят к устойчиво установившейся среднесуточной температуре наружного воздуха $t_н$=8 °С. На рис. 17.2 показано изменение теплопотребности здания без учета и с учетом технологических и внутренних теплопоступлений и солнечной радиации. Видно, что учет $Q_{техн}$ и $Q_{с.р}$ может привести к значительной экономии тепловой энергии (заштрихованная область на графике).

Текущая теплопотребность $Q_{т.п}$ на отопление помещений в общем виде составляет

$$Q_{т.п} = Q_{огр} + Q_и - Q_{техн} - Q_{с.р}. \qquad (17.3)$$

Электронная библиотека http://tgv.khstu.ru/

Поддержание внутренней температуры воздуха в помещении на расчетном уровне в течение всего отопительного сезона обеспечивается при выполнении условия

$$Q_{\text{п}} = Q_{\text{т. п}}, \tag{17.4}$$

где $Q_{\text{п}}$ — текущая теплоотдача элементов системы отопления в помещение.

Изменение теплоотдачи элементов постоянно действующей системы отопления обеспечивают прежде всего путем централизованного изменения параметров теплоносителя (температуры, расхода). Реже это достигают при прерывистом отоплении, при переходе к применению другой отопительной установки (дежурное отопление) или за счет изменения интенсивности теплоотдачи отопительных приборов (например, при использовании воздушного клапана в конвекторе с кожухом). Иногда используют несколько факторов, вызывающих изменение теплоподачи в помещения.

Регулирование разветвленной системы отопления должно сопровождаться равномерным изменением теплоотдачи всех элементов системы. Такое свойство системы пропорционально изменять теплоотдачу элементов при изменении какого-либо параметра или их сочетания называют **тепловой устойчивостью** системы отопления.

Часто тепловую устойчивость связывают **с гидравлической устойчивостью** — свойством пропорционально изменять расход теплоносителя во всех элементах системы отопления при централизованном изменении его количества. Полной взаимосвязи во всех системах отопления между гидравлической и тепловой устойчивостью не наблюдается. Связано это с непостоянством коэффициента теплопередачи нагревательных элементов системы при изменении в ней температуры и расхода теплоносителя.

Рассмотрим переменный тепловой режим элемента системы на примере участка системы водяного отопления. Теплоотдача участка системы сопровождается изменением температуры воды на выходе из элемента t_0 при известных значениях температуры воды на входе $t_{\text{г}}$ и расхода воды G по известному выражению

$$Q = Gc\,(t_{\text{г}} - t_0), \tag{17.5}$$

где c — удельная массовая теплоемкость воды.

Электронная библиотека http://tgv.khstu.ru/

Температура t_o может быть определена с использованием так называемой **тепловой характеристики элемента** T *. Тепловая характеристика предложена при решении дифференциального уравнения теплопередачи при движении нагретой жидкости через участок системы отопления

$$-Gc\,dt = m\left(\frac{\Delta t_{ср}}{70}\right)^n \left(\frac{G}{0,1}\right)^p \Delta t_{ср}\,dA, \quad \text{где} \quad \Delta t_{ср} = \frac{t_г + t_o}{2} - t_в, \tag{17 6}$$

$\Delta t_{ср}$ — средняя разность температуры, °С; G — расход воды, кг/с; m, n, p — показатели, входящие в формулу (4.15).

После преобразований получим выражения для вычисления текущей средней разности температуры теплоносителя и окружающего элемент воздуха

$$\Delta t_{ср} = \left[\frac{n(t_г - t_o)}{(t_o - t_в)^{-n} - (t_г - t_в)^{-n}}\right]^{1/1+n}, \tag{17.7}$$

а также тепловой характеристики элемента T, определяющей процесс теплопередачи элемента системы отопления,

$$T = \frac{n}{(70)^n\,[(t_o - t_в)^{-n} - (t_г - t_в)^{-n}]} \tag{17 8}$$

Уравнения (17.7) и (17.8) совместно приводят к формуле для определения температуры на выходе из теплоотдающего элемента системы при расходе воды, равном расчетному [см. формулу (4.36)]:

$$t_o = t_в + \left[\frac{1}{(t_г - t_в)^n} + \frac{n}{(70)^n\,T}\right]^{-1/n}. \tag{17.9}$$

Переменный тепловой режим работы системы водяного отопления характеризуется также возможным изменением расхода теплоносителя G. Изменение расхода может происходить вследствие количественного регулирования или воздействия естественного циркуляционного давления. В этом случае значение тепловой характеристики элемента T уточняют по формуле

$$T = T'\,(G/G')^{1-p}, \tag{17.10}$$

где T' — тепловая характеристика элемента, полученная при подстановке в формулу (17.8) расчетных температурных параметров

* **Константинова В. Е.** Надежность систем центрального водяного отопления в зданиях повышенной этажности.— М.: Стройиздат, 1976.

Электронная библиотека http://tgv.khstu.ru/

Пример 17.1. Определим степень уменьшения теплоотдачи отопительного прибора — конвектора «Универсал-20» в системе водяного отопления при сокращении расхода воды в нем от $G'=350$ до $G=300$ кг/ч и понижении температуры на входе в прибор от $t'_г=105$ до $t_г=80$ °С, если задана $t_в=t'_в=18$ °С; $t'_о=103$ °С. Для конвектора «Универсал-20» $n=0{,}35$, $p=0{,}07$.

1. Тепловая характеристика прибора в расчетных условиях по формуле (17.8)

$$T'=\frac{0{,}35}{(70)^{0{,}35}\left[(103-18)^{-0{,}35}-(105-18)^{-0{,}35}\right]}=46{,}21.$$

2. Тепловая характеристика прибора при измененном расходе воды по формуле (17.10)

$$T=46{,}21\,(300:350)^{1-0{,}07}=40{,}03.$$

3. Температура воды на выходе из конвектора в нерасчетных условиях по формуле (17.9)

$$t_о=18+\left[\frac{1}{(80-18)^{0{,}35}}+\frac{0{,}35}{(70)^{0{,}35}\cdot 40{,}03}\right]^{-1/0{,}35}=78{,}54\ °С.$$

4. Теплоотдача прибора в расчетных условиях по формуле (17.5)

$$Q'_{пр}=\frac{350\cdot 4187\,(105-103)}{3600}=815\ Вт.$$

5. Теплоотдача прибора при измененных параметрах теплоносителя

$$Q_{пр}=\frac{300\cdot 4187\,(80-78{,}54)}{3600}=510\ Вт.$$

6. Степень уменьшения теплоотдачи отопительного прибора при измененных температуре и расходе теплоносителя воды

$$1-\bar{Q}_{пр}=1-\frac{Q_{пр}}{Q'_{пр}}=1-\left(\frac{510}{815}\right)=0{,}374.$$

§ 17.2. Регулирование системы отопления

Под **регулированием системы отопления** понимают комплекс мероприятий, направленных на максимальное приближение теплоотдачи ее элементов к текущей переменной теплопотребности отапливаемых помещений в течение отопительного сезона для выдерживания расчетной температуры помещений.

Различают пусковое и эксплуатационное регулирование системы. Эти виды регулирования имеют свои особенности для водяной, воздушной и паровой систем отопления. Рассмотрим регулирование систем центрального отопления.

Электронная библиотека http://tgv.khstu.ru/

При пуске системы отопления группы зданий, присоединенной к теплопроводам централизованного теплоснабжения, обеспечивают распределение теплоносителя по отдельным зданиям пропорционально их расчетной теплопотребности. Обычно такое регулирование проводят в центральных тепловых пунктах (ЦТП) и во внутриквартальных тепловых сетях. Способы регулирования, как при зависимом, так и при независимом присоединении системы отопления к теплопроводам, рассматриваются в дисциплине «Теплоснабжение».

Независимо от применяемого в системе отопления теплоносителя необходимость **пускового регулирования** объясняется тем, что в смонтированной системе может не обеспечиваться требуемая теплоотдача нагревательных элементов. Происходит это вследствие некоторого отличия фактических теплотехнических и гидравлических характеристик элементов от расчетных, неточности гидравлического расчета, отклонений от расчетных размеров теплопроводов, допущенных при монтажных работах.

При пуске *системы водяного отопления* здания устанавливают соответствие расхода и температуры теплоносителя в индивидуальном (местном) тепловом пункте расчетным показателям при данной температуре наружного воздуха. В процессе пуска указанные параметры контролируют по показаниям контрольно-измерительных приборов (термометров, манометров, тепломера) в местном тепловом пункте (см. рис. 6.9—6.11). На практике при отсутствии тепломера или даже расходомера в тепловом пункте с водоструйным элеватором расход высокотемпературной воды в его сопле G_1 определяют расчетным путем при известных разности давления в теплопроводах $\Delta p_т$ и диаметре сопла элеватора d_c из формулы (6.18).

Устойчивость работы системы водяного отопления в целом оценивают, как и для любого элемента системы, по температуре воды t_o, возвращающейся из системы. Повышенное значение этой температуры свидетельствует о преувеличении ее суммарной теплоподачи в здание и, следовательно, о перегреве отапливаемых помещений, и наоборот.

Необходимую температуру подаваемого в систему отопления теплоносителя устанавливают путем изменения диаметра сопла элеватора, расхода охлажденной воды в подмешивающей перемычке при смесительном насосе (зави-

Электронная библиотека http://tgv.khstu.ru/

симое присоединение системы отопления к тепловой сети) или расхода высокотемпературной воды в теплообменнике с помощью регулирующей арматуры (независимое присоединение).

Пусковое регулирование элементов и узлов системы отопления связано с обеспечением в них расчетного расхода теплоносителя. В однотрубной системе, выполняемой, как правило, с тупиковым движением воды в магистралях, это достигается при значительном увеличении потерь давления в стояках по сравнению с потерями давления в разводящих (без головных участков) магистралях (рекомендуемое соотношение по СНиП — 70 и 30%). Особо тщательным должно быть регулирование двухтрубной системы водяного отопления, где переменное действие естественного циркуляционного давления приводит к существенному перераспределению потоков теплоносителя, поступающего в отопительные приборы, по высоте стояков.

Требуемое распределение теплоносителя осуществляют при помощи запорно-регулирующей арматуры, установленной на стояках и отдельных ответвлениях системы. Регулирование распределения теплоносителя в стояках двухтрубной системы проводят путем повышения потерь давления в подводках к отопительным приборам. Потери давления повышают, регулируя степень открытия крана двойной регулировки (см. рис. 5.11) в системе отопления малоэтажных зданий или применяя регулирующие краны с дросселирующим устройством (см. рис. 5.13) в системах отопления многоэтажных зданий (§ 18.2).

Пусковое регулирование осложняется трудностями контроля расхода воды в отдельных элементах системы. Косвенно результат регулирования оценивают по температуре воды, выходящей из какого-либо элемента системы. При соблюдении расчетного расхода температура воды t_o при известных теплотехнических характеристиках элемента, текущих и расчетных температурных условиях должна быть близка к полученной расчетным путем по формуле (17.9). О температуре воды в расчетной точке системы с достаточной точностью (± 2 °С) судят по температуре поверхности трубы, измеряя ее переносным электротермометром (ЭТП) или ручным одноточечным потенциометром (ПП-63) с термопарой в качестве датчика. При этом считают, что температура поверхности тонкостенной неизолированной сталь-

Электронная библиотека http://tgv.khstu.ru/

ной трубы незначительно отличается от температуры воды в измеряемой точке.

Пусковое регулирование *местного воздушного отопления* (с отопительными агрегатами) связано с обеспечением необходимого распределения теплоносителя (воды или пара) по калориферам агрегатов (в водовоздушных калориферах результат регулирования можно контролировать по температуре t_0) с проверкой расчетной подачи вентиляторов. Струйная подача воздуха в помещение может привести к превышению допустимых температуры и скорости движения воздуха в рабочей зоне. Проверка этих параметров в ходе испытания предопределяет выбор способа подачи воздуха (наклонной или сосредоточенной струей).

Наладка рециркуляционного воздухонагревателя заключается в обеспечении требуемого количества циркулирующего воздуха. Способ регулирования нагревателя зависит от применяемого теплоносителя (вода или пар).

В ходе регулирования воздушно-тепловых завес проверяют соответствие подачи вентилятора проектному значению, скорость и температуру воздушной струи, а также уровень шума от работающего агрегата.

Регулирование *центральной системы воздушного отопления* в основном связано с обеспечением проектного расхода воздуха в ответвлениях системы и воздухораздающих устройствах и наладкой воздухонагревателей. Методы проведения этой работы и используемые при этом измерительные приборы рассматриваются в дисциплине «Вентиляция».

В ходе пусковой проверки такой системы следует убедиться, что охлаждение воздуха при его движении по каналам и воздуховодам находится в допустимых пределах.

Систему *парового отопления* после окончания монтажных работ тщательно промывают и продувают паром. Перед пуском системы отопления необходимо проверить работу редукционных клапанов, предохранительных устройств, конденсатоотводчиков. Пуск системы парового отопления (особенно высокого давления) начинают с обеспечения расчетного давления пара путем соответствующей установки редукционного клапана. Теплоотдачу отопительных приборов при низком давлении регулируют при открытой пробке тройника на конденсатной подводке с помощью вентиля на паровой подводке к прибору до тех пор, пока поступление пара через конденсатопровод не прекратится.

Электронная библиотека http://tgv.khstu.ru/

Регулирование расхода пара в отдельных ответвлениях и частях системы парового отопления проводят с помощью вентилей или путем установки дросселирующих шайб (§ 9.6), обеспечивая полную конденсацию пара в отопительных приборах.

Эксплуатационное регулирование системы отопления проводят с целью обеспечения теплоподачи в отапливаемые помещения соответствующей текущей теплопотребности. Способы регулирования различаются также в зависимости от применяемого в системе теплоносителя. В зависимости от места проведения регулирования в системе теплоснабжения различают центральное, групповое, местное и индивидуальное регулирование (§ 4.9).

В системе *водяного теплоснабжения* центральное регулирование осуществляют на тепловой станции (ТЭЦ, котельной) по так называемому отопительному графику, устанавливающему связь между параметрами теплоносителя (температура при качественном или расход при количественном регулировании) и температурой наружного воздуха как основного фактора, определяющего переменный характер составляющих теплового баланса здания в течение отопительного сезона (рис. 17.3). Построение графика ориентировано на обезличенное здание в районе действия тепловой станции при расчетной температуре внутреннего воздуха +18 °С.

Центральное регулирование на тепловой станции при теплоснабжении различных по назначению зданий (жилые, общественные, производственные и др.) и режиму теплопотребления их инженерных систем (отопление, горячее водоснабжение, вентиляция и др.) не может обеспечить устойчивой работы систем отопления.

Устойчивость работы повышается при приближении места проведения регулирования к теплопотребителю за счет более полного учета различных факторов, определяющих теплопотребность помещений отапливаемых зданий. Так, при групповом регулировании в ЦТП появляется возможность распределять теплоту по уточненным температурным графикам, что способствует повышению экономичности отопления каждого здания. При местном регулировании в тепловом пункте здания учитывают особенности режима его эксплуатации, ориентацию по сторонам горизонта, действие ветра и солнечной радиации.

Электронная библиотека http://tgv.khstu.ru/

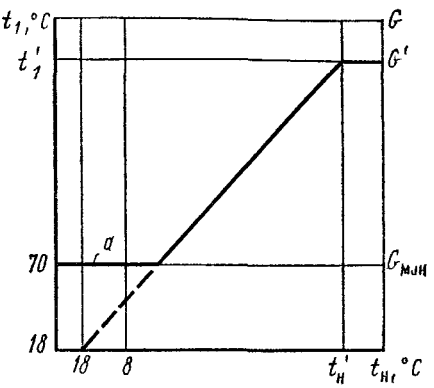

Рис. 17.3. Схема графика регулирования температуры t и расхода G теплоносителя в системе водяного теплоснабжения в течение отопительного сезона

При индивидуальном регулировании у каждого отопительного прибора можно независимо и наиболее точно реагировать на изменение температурной обстановки в отдельных помещениях.

Большой экономический эффект достигают при прерывистом отоплении (§ 19.5) зданий с переменным режимом работы (§ 15.3) со снижением температуры внутреннего воздуха в нерабочий период времени (например, в учебных зданиях) или в ночные часы (в жилых зданиях). Регулирование при этом осуществляют, используя одну систему отопления или две системы (например, водяную и воздушную), когда одна из них действует постоянно, а другую выключают периодически (§ 18.4).

Способы регулирования систем водяного отопления отличаются параметром, по которому оценивают требуемую теплоподачу в систему. Чаще всего таким параметром является температура наружного воздуха (регулирование «по возмущению»). Индивидуальное регулирование проводят, контролируя температуру внутреннего воздуха в отапливаемом помещении (регулирование «по отклонению»). Местное (пофасадное) регулирование осуществляют с применением того и другого способов. Возможен также способ изменения теплоподачи в систему отопления в зависимости от температуры теплоносителя, возвращающегося из части системы или системы в целом. Как известно, эта температура — показатель изменения температурной обстановки в отапливаемых помещениях и он может быть заранее рассчитан.

Электронная библиотека http://tgv.khstu.ru/

При эксплуатации систем *воздушного отопления*, как правило, используют качественное регулирование, осуществляемое путем изменения температуры подаваемого в помещение воздуха при переменном тепловом режиме работы нагревающего устройства. Достигается это путем изменения расхода теплоносителя через калорифер с помощью регулирующих устройств или запорно-регулирующей арматуры.

Центральное регулирование систем *парового отопления* из-за невозможности изменения в широком диапазоне давления пара, а значит, и его температуры, осуществляют пропусками. Вследствие такого регулирования может быть значительная неравномерность температуры воздуха в отапливаемых помещениях, что во многих случаях недопустимо по гигиеническим соображениям.

В системе парового отопления при незначительном давлении пара перед отопительным прибором (около 2000 Па) эффективным может быть индивидуальное регулирование с помощью установленных у приборов вентилей.

§ 17.3. Управление работой системы отопления

В зданиях и сооружениях в зависимости от их назначения поддерживают постоянный или переменный тепловой режим (§ 15.3). В зданиях с постоянным тепловым режимом системы отопления работают круглосуточно, с переменным режимом — прерывисто.

Поддержание необходимых температурных условий в течение суток, недели, отопительного сезона обеспечивают путем изменения теплоподачи в помещения. Работа системы отопления эффективна (§ 19.2), когда теплоподача соответствует теплопотребности в каждый момент времени. Для этого система отопления должна обладать достаточной тепловой мощностью и способностью изменять теплоподачу в помещения в широких пределах. Работа такой системы нуждается в управлении — ручном или автоматическом.

Для управления работой систему отопления снабжают контрольно-измерительными приборами, сигнальными устройствами, централизуют управление запорно-регулирующей арматурой и огопительными установками.

Контрольно-измерительные приборы (КИП) позволяют измерять и устанавливать соответствие работы систем действительным потребностям. **Дистанционная сигнализация**

Электронная библиотека http://tgv.khstu.ru/

обеспечивает передачу показаний КИП в **центр управления** (диспетчерский пункт), где происходят обработка данных наблюдений и принятие решений по проведению регулирования. Из диспетчерского пункта осуществляют управление исполнительными механизмами — **регулирующими органами** для необходимого изменения работы отдельных приборов, узлов и частей системы отопления.

Наиболее совершенным решением является система автоматического управления (АСУ) отоплением здания по заданной программе. При применении АСУ уменьшается численность обслуживающего персонала, улучшаются условия его работы, снижаются энергозатраты на отопление.

В крупных зданиях и сооружениях принято проектировать автоматизацию и диспетчеризацию работы систем отопления, основанные на следующих принципах:

а) автоматическое регулирование — для узлов, в которых требуются постоянное в данный момент времени поддержание регулируемой величины (температуры, давления), а также автоматическая защита от аварии (например, при возможности превышения рабочего давления для отопительных приборов);

б) дистанционное управление из диспетчерского пункта — для удаленных отопительных установок;

в) ручное управление (пуск, остановка, переключение) — в местах нахождения обслуживающего персонала или редко переключаемых узлов (сетевые задвижки, краны).

Рядом с тепловым пунктом здания размещают диспетчерский пункт, куда передаются сигналы (в том числе светом и звуком), где они обрабатываются и откуда осуществляются управление узлами, агрегатами и установками, а также общая координация работы инженерного оборудования здания.

Наиболее полно реализуются перечисленные принципы при автоматизации работы систем водяного отопления и, прежде всего, с целью экономии тепловой энергии. Системы проектируют с автоматическим регулированием теплового потока при расходе теплоты за отопительный сезон 1000 ГДж и более. Регулирование делают по зданию в целом, или по каждому фасаду, или по крупным помещениям с неравномерным поступлением в них теплоты.

Электронная библиотека http://tgv.khstu.ru/

Кроме того, предусматривают контроль и автоматизацию работы следующих основных узлов систем отопления (применительно к водяному теплоснабжению зданий):

1) измерения и регистрации температуры воды в основных магистралях системы отопления, температуры воздуха в контрольных помещениях;

2) измерения и регистрации теплозатрат на отопление;

3) контроля и регулирования давления воды в наружных теплопроводах;

4) управления работой циркуляционных и подпиточных насосов;

5) сигнализации на щит диспетчера работы насосов, агрегатов воздушного отопления, воздушно-тепловых завес, уровня воды в расширительном баке.

Автоматическое управление работой агрегатов воздушного отопление и воздушно-тепловых завес у ворот и входных дверей делают индивидуальным в зависимости от температуры воздуха в обслуживаемых помещениях (см. рис. 10.7).

В зданиях с переменным тепловым режимом дополнительно предусматривают программное управление работой системы огопления в течение суток. Если какую-либо систему проектируют состоящей из двух частей (постоянно и периодически действующих), то автоматизируют действие части системы, осуществляющей натоп помещений. Эта часть системы отопления должна работать по программе, обеспечивающей нагревание помещений перед началом работы («натоп»), а также поддержание в них минимально допустимой температуры в нерабочий период времени (§ 19.5).

В здаииях с постоянным тепловым режимом введение пофасадного автоматического регулирования работы систем водяного отопления позволяет устранять воздействие на температуру воздуха в помещении изменений направления и скорости ветра, солнечной радиации, температуры наружного воздуха. Поэтому современные системы водяного отопления разделяют, если это возможно, на пофасадные части, предусматривая автоматическое регулирование температуры воды, например по схеме на рис. 17.4, когда температура воды, направляемой в северо-восточную часть системы, регулируется по «возмущению», а в юго-западную часть — по «отклонению».

Электронная библиотека http://tgv.khstu.ru/

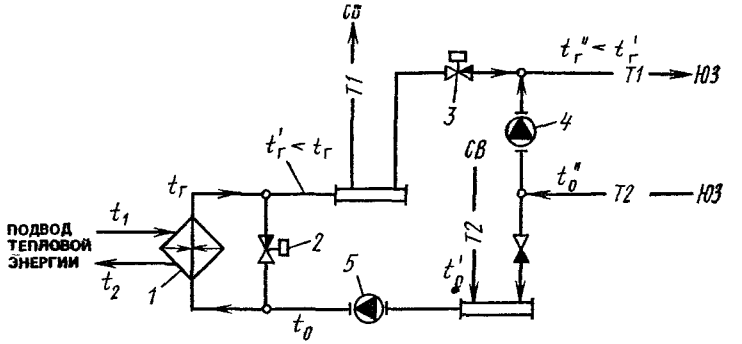

Рис. 17.4. Принципиальная схема автоматического регулирования температуры воды, направляемой в северо-восточную и юго-западную части системы отопления
1 — теплообменник; *2* — регулятор температуры по «возмущению»; *3* — регулятор температуры по «отклонению», *4* — смесительный насос; *5* — циркуляционный насос

Индивидуальное автоматическое регулирование, как дорогостоящее, в настоящее время широко не применяют, хотя при нем наиболее заметно можно сократить расход теплоты на отопление. Индивидуальное регулирование, как уже сказано, предусматривают лишь для управления работой отопительных агрегатов.

§ 17.4. Особенности режима работы и регулирования различных систем отопления

Режим работы систем водяного отопления. Изменение **температуры воды** (качественное регулирование) проводят для системы в целом или ее частей. Такое изменение планируют заранее, что при достаточной тепловой устойчивости системы обеспечивает необходимое пропорциональное изменение теплоотдачи отопительных приборов. В системе отопления в течение отопительного сезона могут происходить незапланированные изменения (чаще всего понижение) температуры теплоносителя из-за нарушений теплоснабжения (несоблюдения графика качественного регулирования, излишние теплопотери в тепловой сети и др.).

Изменение **расхода теплоносителя воды** в системе отопления связано прежде всего с применяемым способом регулирования. Оно может быть, как и изменение температуры,

Электронная библиотека http://tgv.khstu.ru/

планируемым при проведении количественного или смешанного (качественно-количественного) регулирования. Может быть и внеплановым, когда изменяется режим работы сетевых насосов, происходит аварийная утечка греющей воды, неравномерно воздействует естественное циркуляционное давление, а также нарушается структура самой системы.

Естественное циркуляционное давление $\Delta p_е$ (§ 7.3 и 7.4) зависит, как известно, от плотности воды в вертикальных участках системы, а также от взаимного расположения участков с различной плотностью. Плотность воды изменяется с изменением температуры теплоносителя в рассматриваемых элементах, а их взаимное расположение зависит от конструкции системы водяного отопления. Степень влияния величины $\Delta p_е$ на режим работы насосной системы зависит и от его доли в расчетном циркуляционном давлении (§ 7.5).

Для установления связи между расходом воды в элементе системы и естественным циркуляционным давлением воспользуемся так называемым показателем гидравлической характеристики системы отопления

$$Г = \frac{\Delta p'_е}{\Delta p_н + \Delta p'_е}, \qquad (17\ 11)$$

где $\Delta p'_е$ — расчетное для системы отопления естественное циркуляционное давление; $\Delta p_н$ — насосное циркуляционное давление.

Показатель $Г$ выражает существующее в расчетных условиях соотношение естественного и суммарного циркуляционного давления, обеспечивающего движение воды в системе отопления. Этот показатель в различных системах отопления может изменяться от 0 (в горизонтальной однотрубной системе одноэтажного здания) до 1 (в системе с естественной циркуляцией). Например, в насосной однотрубной системе 5-этажного здания при $\Delta p_н = 10$ кПа, расчетной температуре воды $t'_г = 105$ °С и $t'_о = 70$ °С гидравлическая характеристика составляет около 0,15. С увеличением высоты здания показатель $Г$ (при незначительном изменении $\Delta p_н$) растет, что объясняется повышением условного среднего центра охлаждения в однотрубной системе отопления над центром нагревания.

Электронная библиотека http://tgv.khstu.ru/

Степень изменения расхода $\bar{G}=G/G'$ в насосной системе отопления под влиянием естественного циркуляционного давления определяют по формуле

$$\bar{G}=\left[1-\Gamma\left(1-\frac{\Delta p_e}{\Delta p_e'}\right)\right]^{0,5}. \qquad (17.12)$$

Выразим соотношение текущего Δp_e и расчетного $\Delta p_e'$ значений естественного циркуляционного давления в системе через температуру теплоносителя

$$\frac{\Delta p_e}{\Delta p_e'}=\frac{\beta\,(t_г-t_o)}{\beta'\,(t_г'-t_o')}, \qquad (17.13)$$

где $\beta'=\dfrac{\rho_o'-\rho_г'}{t_г'-t_o'}$ — среднее увеличение плотности воды в расчетных условиях при понижении температуры теплоносителя на 1 °С, кг/(м³·°С) (§ 7.4).

Текущую температуру воды $t_г$ и t_o для различных элементов системы можно найти, используя показатель тепловой характеристики системы T (§ 17.1).

Относительное изменение расхода воды $\bar{G}$ под действием температурных факторов должно свидетельствовать о достаточности гидравлической устойчивости системы отопления, т. е. о неподверженности ее гидравлическому разрегулированию (рис. 17.5) под влиянием Δp_e.

Следовательно, при выборе конструкции системы отопления в здании необходимо учитывать влияние внутренних факторов на предстоящий тепловой и гидравлический режим ее работы. Поясним это положение примером.

Пример 17.2. Определим изменение расхода воды в вертикальной однотрубной системе водяного отопления с насосной циркуляцией при понижении температуры теплоносителя до $t_г=50$ °С. Расчетные характеристики системы: $\Delta p_н=1{,}0$ кПа, $\Delta p_e'=5{,}5$ кПа, $t_г'=105$ °С, $t_в=t_в'=18$ °С, $n=0{,}35$ (отопительные приборы — конвекторы «Универсал-20»).

Относительная разность температуры

$$\overline{(t_г'-t_в)}=\frac{50-18}{105-18}=0{,}37.$$

По формуле (17.11) находим

$$\Gamma=\frac{5\,500}{10\,000+5\,500}=0{,}35.$$

Электронная библиотека http://tgv.khstu.ru/

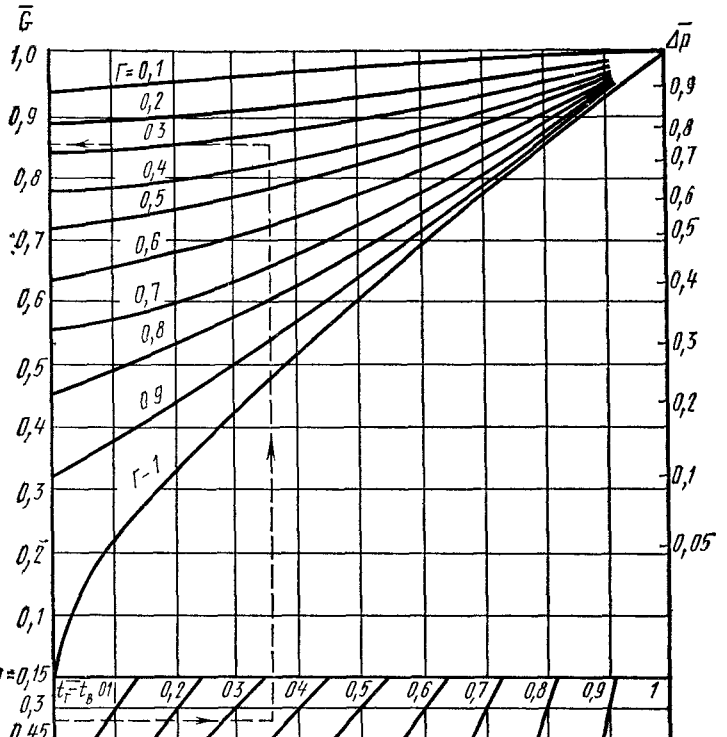

Рис. 17 5 Номограмма для определения показателя гидравлического разрегулирования системы водяного отопления

По рис 17 5 определяем (ход решения по стрелке) $\bar{G}=0,86$. Это означает, что в данной системе при значительном снижении температуры расход воды уменьшится на 14%

Вертикальные однотрубные системы водяного отопления. В однотрубных системах отопления с их последовательным соединением отопительных приборов изменение температуры и расхода по-разному сказывается на теплоотдаче первых и последних приборов по ходу движения воды в стояках. В однотрубной системе с *верхней разводкой* и насосной циркуляцией (показатель $Г$ мал) понижение температуры воды сопровождается относительным ростом теплопередачи отопительных приборов на нижних этажах по сравнению

Электронная библиотека http://tgv.khstu.ru/

с верхними приборами (до 40%). Это необходимо учитывать при выборе способа регулирования таких систем.

Снижение расхода воды в стояке прежде всего сказывается на снижении теплоотдачи нижних приборов. Сказанное свидетельствует о том, что для равномерного изменения теплоотдачи всех отопительных приборов однотрубного стояка требуется проведение смешанного (количественно-качественного) регулирования (см. рис. 7 25)

В системе с естественной циркуляцией ($Г=1$) одновременно с понижением температуры уменьшаются расход воды в стояках и относительная теплоотдача приборов на нижних этажах (до 30%). Опасность недогрева помещений нижних этажей возникает в стояках с высоко расположенными (например, при разной высоте стояков или при существенной неравномерности распределения между ними тепловой нагрузки) центрами охлаждения и увеличенным по сравнению с принятым для системы температурным перепадом

В насосной системе с верхней подачей воды допускается снижение расхода до 11—38% при допустимом снижении теплоотдачи приборов соответственно до 2,5—11% Для такой системы, особенно с высоким значением $Г$, характерно явление **саморегулирования** (§ 6 7), когда при снижении по какой-либо причине температуры воздуха около одного или нескольких отопительных приборов из-за некоторого увеличения их теплоотдачи и снижения температуры воды на выходе из стояка повышается ее плотность, растет естественное циркуляционное давление и расход воды в стояке. Это, в свою очередь, приводит к еще большему увеличению теплоотдачи и частичному восстановлению температурной обстановки в обогреваемых помещениях.

При повышении температуры воздуха явление саморегулирования протекает в обратном порядке, но с тем же результатом. В таких системах применимо пофасадно-вертикальное регулирование при изменении температуры $t_г$ до 110 °С и расхода воды в системе $0{,}5 \leqslant \bar{G} \leqslant 1$ 9 Однако в стояках такой системы с пониженным центром охлаждения и малым температурным перепадом возникает опасность существенного снижения теплоотдачи приборов нижних этажей при уменьшении расхода, особенно при больших значениях $Г$.

В однотрубной системе отопления с *нижней разводкой*

Электронная библиотека http://tgv.khstu.ru/

обеих магистралей при расположении отопительных приборов как на подъемной, так и на опускной частях стояка в рядом расположенных помещениях из-за указанного выше различия в теплоотдаче первых и последних в стояке приборов может создаваться неравномерный тепловой режим. Допустимо снижение расхода воды, как и в системе с верхней разводкой, за исключением стояков с замыкающими участками из-за ухудшения прогревания отопительных приборов на подъемной части стояков. Пофасадно-вертикальное регулирование практически неосуществимо. Явление саморегулирования аналогично системе с верхней разводкой, но протекает менее интенсивно.

В однотрубной системе отопления с *«опрокинутой» насосной циркуляцией* (показатель Γ мал) понижение температуры воды приводит к увеличению до 40% относительной теплоотдачи отопительных приборов на верхних этажах. В такой системе недопустимы естественная циркуляция воды из-за возможного прекращения циркуляции в отдельных стояках, а также применение приборных узлов с замыкающими участками. Допустимое снижение расхода такое же, как и в системе с верхней разводкой. Применение пофасадного регулирования определяется возможностью изменения температуры воды до 110 °С и относительного расхода в пределах $0{,}3 \leqslant \bar{G} \leqslant 2{,}8$.

Для **бифилярной системы** отопления характерно пропорциональное изменение суммарной теплоотдачи приборов, обслуживающих помещения на разных этажах, при изменении температуры подаваемой воды. Допустимы бо́льшие колебания расхода, чем в других однотрубных системах (18—52%). Саморегулирующее влияние естественного циркуляционного давления такое же, как и в однотрубной системе отопления. Допустимо пофасадное регулирование, но вертикальное регулирование практически неосуществимо.

В **горизонтальной однотрубной системе** с насосной циркуляцией при малом значении показателя Γ снижение температуры $t_г$ сопровождается относительным увеличением теплоотдачи последних по ходу воды приборов (до 40%). При естественной циркуляции в системе многоэтажного здания одновременно со снижением температуры теплоносителя снижается и расход воды, что приводит к уменьшению относительной теплоотдачи последних по ходу воды прибо-

Электронная библиотека http://tgv.khstu.ru/

ров (до 30%). Допустимое понижение расхода и саморегулирующее влияние естественного циркуляционного давления такие же, как в вертикальной однотрубной системе. Допустимо пофасадное регулирование системы.

В **вертикальной двухтрубной системе** водяного отопления при равных расчетных перепадах температуры в приборах понижение температуры воды $t_г$ сопровождается значительно бо́льшим снижением теплоотдачи отопительных приборов на верхних этажах по сравнению с теплоотдачей приборов на нижних. Исключение составляет крайний случай при $Г=1$ (система с естественной циркуляцией воды), когда происходит пропорциональное изменение теплоотдачи приборов. Понижение расхода воды в двухтрубной вертикальной системе вызывает существенное уменьшение теплоотдачи приборов на нижних этажах.

Нарушение структуры системы заметно сказывается на изменении теплоотдачи приборов в однотрубной (в отличие от двухтрубной) системе. Относится это, прежде всего, к приборам, непосредственно расположенным после прибора с умышленно увеличенной площадью теплоотдающей поверхности (после прибора понижается $t_о$) или с уменьшенным расходом воды при регулировании краном на подводке (повышение $t_о$). В системе водяного отопления с тупиковым движением воды в магистралях отключение отдельных стояков заметно изменяет расход воды по другим стоякам. Однако, чем больше стояков в тупиковой ветви системы, тем больше ее гидравлическая устойчивость при таких мероприятиях в процессе эксплуатации системы.

В системе **местного воздушного отопления** эксплуатационное регулирование осуществляется достаточно легко рассмотренными выше способами. Системы **центрального воздушного отопления** многоэтажных зданий также подвержены тепловому и аэродинамическому разрегулированию. Как и в системе водяного отопления, это объясняется действием переменного естественного циркуляционного давления. Высокая температура воздуха в воздушной системе определяет высокую долю этого давления в общем циркуляционном давлении.

Добиться стабильности работы системы в течение всего отопительного сезона, особенно в разветвленной многоканальной сети, достаточно сложно. Достигается это обычно значительным увеличением потерь давления в воздухо-

Электронная библиотека http://tgv.khstu.ru/

раздающих устройствах (§ 10.10). Эффекта можно достичь при использовании ступенчатого нагревания, когда температура воздуха в каналах системы близка к температуре воздуха в помещениях, а до нужной температуры воздух догревается в специальных доводчиках, установленных непосредственно в обогреваемых помещениях (§ 18.3).

Особенности работы **систем парового отопления** определяются, как уже отмечалось, невозможностью качественного регулирования систем и необходимостью осуществлять регулирование «пропусками» (§ 17.2).

Пусконаладочные работы в системах отопления проводят при строгом соблюдении обеспечивающих безопасность правил. Особенно опасаются воздействия на работающих высокотемпературного теплоносителя, находящегося под высоким давлением в оборудовании, арматуре и трубах систем. Такого воздействия следует ожидать, прежде всего, в тепловых пунктах систем с их оборудованием, запорно-регулирующей арматурой, контрольно-измерительными приборами, имеющими резьбовые и фланцевые соединения.

Под особым контролем осуществляют заполнение и пуск систем водяного отопления с зависимым присоединением к тепловой сети. В такие системы теплоноситель подают постепенно путем плавного открывания первой со стороны тепловой сети задвижки на обратном теплопроводе. Воздушные краны в верхних точках держат открытыми до заполнения системы водой. Открывают краны на импульсных линиях автоматических регуляторов. Только после этого открывают входную задвижку на наружном подающем теплопроводе для создания циркуляции воды. После пуска системы автоматические регуляторы настраивают на поддержание расчетных параметров.

Тщательно следят за исправностью контрольно-измерительных приборов, прежде всего, манометров. Осторожно обращаются с приборами, в которых в качестве рабочей жидкости используется ртуть (термометры, дифманометры).

Ремонтно-восстановительные работы проводят только после отключения части или системы отопления в целом и полного спуска теплоносителя. После монтажных и ремонтных работ системы отопления «опрессовывают», т. е. заполняют водой и выдерживают под определенным давлением в течение заданного времени. При опрессовке части системы

Электронная библиотека http://tgv.khstu.ru/

(например, труб и оборудования теплового пункта) отключение дополняют заглушками, устанавливаемыми между фланцами задвижек. Давление при испытании системы зависит от рабочего давления, установленного для элементов систем отопления (например, для отопительных приборов). Система или ее часть считается выдержавшей испытания, если в течение не менее 15 мин падение давления не превышает 0,01—0,02 МПа.

КОНТРОЛЬНЫЕ ЗАДАНИЯ И УПРАЖНЕНИЯ

1. Объясните причины различия теплопотерь на нагревание поступающего наружного воздуха в однотипные помещения, находящиеся на нижних и верхних этажах многоэтажных зданий.

2. Выведите формулу для определения тепловой характеристики элемента [см. формулу (17.8)] применительно к системе парового отопления.

3. Используя исходные данные примера 17.1, решите обратную задачу: на сколько должен быть сокращен расход воды в отопительном приборе для снижения его теплоотдачи на 25%.

4. Определите текущее теплопотребление здания при зависимом присоединении системы водяного отопления к тепловой сети с помощью водоструйного элеватора, если разность давления воды в наружных теплопроводах 100 КПа, температура воды в подающей и обратной магистралях системы отопления соответственно 82 и 48 °С, диаметр сопла элеватора 11 мм.

5. Какие факторы, влияющие на теплопотребность системы водяного отопления здания, можно будет учесть при переходе от группового в ЦТП к пофасадному регулированию?

6. Объясните связь между температурой внутреннего воздуха в отапливаемых помещениях и температурой теплоносителя на выходе из системы отопления.

7. Изобразите принципиальную технологическую схему автоматического регулирования теплового потока, поступающего в систему водяного отопления здания в течение отопительного сезона.

8. Предложите схему системы водяного отопления с автоматическим регулированием теплового потока для крупного помещения, работа в котором характеризуется неравномерным поступлением теплоты.

9. Перечислите факторы, вызывающие гидравлическое и тепловое разрегулирование насосных систем водяного отопления многоэтажных зданий.

10. Укажите признаки вертикального разрегулирования однотрубной и двухтрубной насосных систем водяного отопления многоэтажного здания.

11. Назовите мероприятия по повышению вертикальной устойчивости действия центральной системы воздушного отопления многоэтажного здания.

12. Дайте определение свойству системы отопления — гидравлическая устойчивость системы.

Электронная библиотека http://tgv.khstu.ru/

ГЛАВА 18. СОВЕРШЕНСТВОВАНИЕ СИСТЕМЫ ЦЕНТРАЛЬНОГО ОТОПЛЕНИЯ

§ 18.1. Реконструкция системы отопления

Реконструкция системы отопления, т. е. частичная или полная замена ее элементов, их конструктивная модернизация, осуществляется в связи с физическим износом системы, различного рода технологическими изменениями, вызванными назначением и объемом здания или условиями работы системы, ее моральным старением и другими причинами.

Износ системы водяного и парового отопления при длительной эксплуатации происходит под воздействием внутренней, а иногда и внешней коррозии. Вследствие отложения взвешенных частиц и образования накипи повышается гидравлическое сопротивление теплопроводов, отопительных приборов, ухудшаются их теплотехнические свойства. Этим же процессам подвержены оборудование систем (теплообменники, баки, воздухосборники, грязевики и пр.) и запорно-регулирующая арматура.

Исследованиями систем водяного отопления, проведенными в условиях эксплуатации их в Москве *, установлено заметное различие в изменении потерь давления в системах в течение многолетней эксплуатации в зависимости от качества теплоносителя. Оценить это изменение можно по формуле

$$\Delta p_z/\Delta p_р = 0{,}6 + az^{0{,}38}, \qquad (18.1)$$

где Δp_z, $\Delta p_р$ — потери давления в системе отопления соответственно через z лет эксплуатации и расчетные; a — коэффициент, зависящий от качества теплоносителя ($a=0{,}17$ для деаэрированной воды при содержании кислорода в ней до 0,1 мг/л и $a=0{,}65$ для недеаэрированной и смешанной воды при содержании кислорода 10 мг/л).

В начале эксплуатации потери давления в новой системе водяного отопления составляют около 60% расчетных. Расчетные потери давления достигаются в системах, питаемых недеаэрированной водой, практически в первый год экс-

* **Варфоломеева А. П.** Надежность систем водяного отопления зданий: Учеб. пособие.— М.: МИСИ, 1981.

Электронная библиотека http://tgv.khstu.ru/

плуатации, а в системах, работающих на деаэрированной воде, через 8—10 лет эксплуатации.

Повышение потерь давления в системе приводит к уменьшению расхода теплоносителя (см. рис. 6.13), к гидравлической и тепловой разрегулировке системы отопления и снижению теплоотдачи ее элементов.

Срок службы отдельных элементов системы отопления не одинаков (§ 15.2). Долговечность систем зависит от вида и качества используемого теплоносителя, условий их работы. Срок службы систем водяного отопления возрастает при их теплоснабжении от ТЭЦ и тепловых станций, когда проводятся умягчение и деаэрация воды, по сравнению с теплоснабжением от местных котельных. Особенности работы системы парового отопления, более интенсивные процессы коррозии, происходящие в ней, ставят ее на последнее место по долговечности среди других систем. Наиболее долговечной считают систему воздушного отопления (за исключением воздухонагревателей).

Срок службы системы отопления зависит и от материала, из которого сделаны ее элементы, его качества. Например, коррозионные процессы, особенно в стальных отопительных приборах и деталях, быстро понижают их прочность. Важно и качество изготовления самих элементов, проведения сборочных и монтажных работ.

Решение о частичной или полной замене элементов системы отопления принимают после специального обследования, в ходе которого проводят гидравлическое и тепловое испытания системы, определяют расход теплоносителя в системе в целом и ее отдельных узлах, соответствие теплоотдачи элементов расчетной. Состояние металла в системе оценивают путем исследования образцов, извлеченных путем частичной разборки или вырезки.

Проектируя реконструкцию системы отопления, стремятся сохранить те ее элементы, которые мало изменили свои свойства в процессе эксплуатации. К ним относятся чугунные радиаторы и ребристые трубы, которые при качественной ежегодной промывке практически не подвержены коррозии. Относительно долго служат и те элементы системы, которые выполнены из неметаллических материалов (керамические отопительные приборы, стеклянные трубы в бетонных отопительных панелях и пр.).

Электронная библиотека http://tgv.khstu.ru/

При реконструкции систем отопления с использованием существующих стальных труб эквивалентную шероховатость их внутренней поверхности принимают: для воды и пара — 0,5, конденсата — 1,0 мм.

Реконструкцию системы отопления часто проводят по причинам, не связанным непосредственно с ее состоянием. Так, полную замену системы осуществляют при капитальном ремонте, связанном с **перепланировкой здания**. При этом иногда принимают принципиально новое схемное решение системы с заменой устаревших конструкций, использованием нового оборудования, обеспечением автоматизации. Перепроектирование проводят с учетом изменения теплозатрат на отопление помещений.

В производственных и коммунальных зданиях конструкция системы отопления может изменяться вследствие изменения технологических процессов, теплового режима помещений, а также назначения здания в целом.

Полное перепроектирование системы отопления требуется при замене теплоносителя, например, при переходе от пара к воде.

Изменение условий теплоснабжения здания (изменение температуры, давления теплоносителя) вызывает реконструкцию теплового ввода и местного теплового пункта. Больших затрат требует, в частности, перевод системы водяного отопления с зависимой на независимую схему присоединения к тепловой сети (§ 6.1). При этом дополнительно устанавливают теплообменники, циркуляционные и подпиточные насосы, расширительный бак, новые контрольно-измерительные приборы, приборы автоматизации, запорно-регулирующую арматуру. Каких-либо дополнительных изменений непосредственно в системе отопления обычно не требуется.

Повышение требований к тепловому комфорту в зданиях, качеству работы инженерного оборудования со снижением эксплуатационных затрат, в том числе экономией тепловой энергии, также вызывает реконструкцию системы отопления.

Неспособность системы отопления удовлетворять возросшим требованиям называют ее моральным старением. Качество устаревшей системы повышают путем частичной модернизации отдельных узлов и деталей, оснащения ее средствами управления и диспетчерского контроля.

Электронная библиотека http://tgv.khstu.ru/

Одной из причин реконструкции может быть **изменение условий** эксплуатации системы отопления. Например, переход от постоянного теплового режима помещений здания к переменному с прерывистым отоплением. При этом изменяют мощность системы отопления, ее конструкцию, схемное решение, вводят новое оборудование.

Новую систему отопления в настоящее время проектируют, предусматривая возможность ее реконструкции или модернизации в будущем. Например, разделяют систему водяного отопления на пофасадные части для оснащения в будущем приборами автоматического регулирования; предусматривают возможность замены обычного элеватора элеватором с регулируемым соплом или смесительным насосом, перехода к независимой схеме присоединения к тепловой сети.

В системах воздушного отопления автоматизируют действие отопительных агрегатов и воздушно-тепловых завес, центральных систем, в том числе регулирование распределения воздуха по каналам и воздуховодам.

В зданиях старой постройки реконструкция системы отопления, как правило, связана с конструктивными изменениями (например, с перекладкой магистральных труб). Учет этих затрат, а также стоимости нового автоматизированного оборудования часто приводит к выводу об экономической нецелесообразности реконструкции морально устаревшей системы. Окончательное решение и выбор варианта реконструкции в этом случае увязывают с экономической целесообразностью реконструкции всего здания в целом.

Частичную реконструкцию системы отопления может вызвать какой-либо внутренний дефект, который нельзя устранить путем ремонта. Например, при выходе из строя замоноличенных в строительные конструкции греющих элементов приходится устанавливать новые отопительные приборы непосредственно в обогреваемых помещениях, присоединяя их к существующей системе.

В редких случаях, в условиях особенно суровых зим (например, зимой 1978/79 гг.), реконструкция вызывается последствиями аварий, особенно при неправильной эксплуатации систем отопления.

Электронная библиотека http://tgv.khstu.ru/

§ 18.2. Двухтрубная система водяного отопления повышенной тепловой устойчивости

Распространенная однотрубная насосная система водяного отопления не лишена недостатков. При эксплуатации однотрубной системы тепловой режим в отдельных помещениях отклоняется от заданного вследствие нарушений расчетных условий в системе, вызываемых несоответствием фактической площади нагревательной поверхности приборов расчетной площади и непланомерным изменением температуры и расхода воды. Эти нарушения усугубляются своеобразной цепной реакцией, возникающей при продвижении воды через последовательно соединенные приборы каждого стояка или ветви. В результате при эксплуатации вынужденно проводят центральное регулирование температуры горячей воды, ориентируясь на помещения, находящиеся в неблагоприятных тепловых условиях. Это вызывает перегревание большинства помещений и перерасход теплоты на обогревание зданий.

Тепловой комфорт во всех помещениях и экономия теплоты, расходуемой на отопление, скорее могут быть обеспечены при независимой теплоподаче в каждый отопительный прибор. При этом упрощается индивидуальное регулирование теплоотдачи приборов с учетом теплопоступлений в помещения от других источников. Возможно даже использование приборов для охлаждения помещений в летнее время. Таким образом, по эксплуатационным соображениям систему отопления желательно выполнять по схеме не только с двухтрубными магистралями, но и с двухтрубными стояками.

Двухтрубная система водяного отопления была заменена в нашей стране однотрубной в целях экономии металла на теплопроводах, уменьшения затрат труда при производстве заготовительных и монтажных работ, устранения пусконаладочного регулирования, т. е. для улучшения заготовительно-монтажных показателей. При этом была также достигнута повышенная эксплуатационная гидравлическая устойчивость.

Следовательно, если систему отопления для придания ей дополнительных эксплуатационных достоинств нужно сделать двухтрубной, то такая система прежде всего должна быть равноценна однотрубной по достигнутым показателям.

Электронная библиотека http://tgv.khstu.ru/

Равноценность может быть обеспечена при использовании двухтрубных стояков в системе с нижней разводкой. В таких стояках увеличение естественного циркуляционного давления вследствие охлаждения воды в трубах и приборах сопровождается увеличением длины циркуляционных колец. Двухтрубная система с верхним расположением подающей магистрали для этой цели непригодна.

Традиционная вертикальная двухтрубная система отопления (даже с нижней разводкой) отличается при эксплуатации от однотрубной неустойчивостью распределения теплоносителя воды между отопительными приборами по высоте стояков. Неустойчивость распределения воды под воздействием непропорционально изменяющегося естественного циркуляционного давления приводит к значительному вертикальному тепловому разрегулированию в течение отопительного сезона. Этот недостаток насосной двухтрубной системы уже отмечался: в теплый период отопительного сезона перегреваются помещения на нижних этажах за счет верхних; в холодный период, наоборот, перегреваются помещения на верхних этажах и недогреваются нижние помещения.

Для преодоления этого недостатка в двухтрубной системе многоэтажного здания необходимо повысить потери давления в подводках к отопительным приборам путем установки на них дроссельных кранов повышенного гидравлического сопротивления типа КРП с дросселирующим устройством (см. рис. 5.13). Исследованиями, проведенными в МИСИ, установлено, что потери давления в таких кранах $\Delta p_{кр}$ должны быть не меньше максимального естественного циркуляционного давления, возникающего вследствие охлаждения воды, протекающей через отопительные приборы на верхнем этаже обогреваемого здания:

$$\Delta p_{кр} \geqslant \Delta p_{е.макс}, \qquad (18.2)$$

где $\Delta p_{е.макс}$ — максимальное естественное циркуляционное давление в двухтрубном стояке, Па, определяемое по формуле (7 35).

При выполнении этого условия двухтрубная система с дроссельными кранами у приборов будет действовать в течение отопительного сезона устойчиво — без значительного вертикального теплового разрегулирования.

Диаметр дросселирующей диафрагмы $d_д$, мм, в кране можно выбрать как средний после проведения оценочных

Электронная библиотека http://tgv.khstu.ru/

расчетов по известной формуле

$$d_д = 3{,}54\,(G^2_{пр}/\Delta p_{кр})^{0{,}25}, \qquad (18.3)$$

где $G_{пр}$ — расход воды, кг/ч, в отопительном приборе; определяют по тепловым нагрузкам приборов, находящихся в средней зоне (по высоте) трех характерных для системы стояков.

Желательно для всех дроссельных кранов системы принимать один и тот же диаметр диафрагмы. Однако при выборе ее диаметра учитывают возможность возникновения шума при протекании через кран воды, хотя для улучшения акустической характеристики дросселирующую диафрагму делают конусной (со скошенной кромкой отверстия). Диаметр диафрагмы выбирают по расчету в пределах 3—6 мм и проверяют скорость движения воды w, м/с, в подводке перед дроссельным краном вентильного типа по эмпирической формуле

$$w_1 = 0{,}054 N^{1{,}45}/\zeta_1^{0{,}535}, \qquad (18.4)$$

где N — номер предельного спектра (ПС) звукового давления, допустимого для помещения; ζ_1 — КМС диафрагмы в кране, отнесенный к скорости w_1.

Как уже указывалось (§ 5.6), для жилого помещения (ПС-25) при диаметре диафрагмы в кране 3 мм скорость движения воды в подводке $D_у$15 должна составлять 0,1 м/с. Для получения такой скорости, вычисленной по формуле (18.4), тепловая нагрузка отопительного прибора при перепаде температуры воды в нем 25 °С не должна превышать 2000 Вт.

Исходя из ограничений в выборе диаметра диафрагмы в кранах установлено: при конструировании двухтрубной системы повышенной тепловой устойчивости тепловые нагрузки отопительных приборов должны по возможности выравниваться; система может применяться в многоэтажных зданиях, имеющих не более восьми этажей.

При использовании дроссельных кранов повышенного гидравлического сопротивления многоэтажные стояки можно, в отличие от обычной двухтрубной системы, выполнять из труб малого диаметра. В 3—5-этажных зданиях допустим единый диаметр труб $D_у$15 по всей высоте стояков, в 6—8-этажных зданиях — составные стояки из труб $D_у$15 и 20 мм с тем, чтобы скорость движения воды при максимальном расходе в основании стояков не превышала предельно допустимой. При такой унификации диаметров

Электронная библиотека http://tgv.khstu.ru/

стояков не только сокращается расход металла, но и устраняется еще один существенный недостаток традиционной двухтрубной системы — «телескопическое» строение стояков из труб различного диаметра, в том числе значительно увеличенного в нижней их части (см. пример 8.8). Подобное строение стояков получается вследствие применения обычного способа их гидравлического расчета, фактически ориентированного на естественную циркуляцию воды в стояках.

Гидравлический расчет двухтрубной системы повышенной тепловой устойчивости начинают с трех характерных для нее стояков (дальнего, среднего и ближнего к тепловому пункту), причем проводят расчет сверху вниз, начиная с подводок к верхним отопительным приборам. Расчет выполняют по способу характеристик сопротивления (§ 8.4 и пример 8.15) с учетом изменения естественного циркуляционного давления. Потери давления в подводках к приборам определяют по потерям давления в диафрагмах дроссельных кранов. При этом характеристику сопротивления диафрагмы в кране $S_д$, Па/(кг/ч)^2, вычисляют по формуле

$$S_д = 157/d_д^4, \qquad (18.5)$$

где $d_д$ — выбранный диаметр отверстия диафрагмы в регулирующем кране, мм.

В результате гидравлического расчета стояков получают расход и перепады температуры воды в отопительных приборах. Перепады температуры воды характеризуются постепенным их уменьшением сверху вниз в каждом стояке. Находят также разность насосного давления в основании стояков как исходную величину для продолжения гидравлического расчета участков магистралей между рассчитанными стояками и затем промежуточных стояков.

Тепловой расчет отопительных приборов выполняют после гидравлического расчета исходя из полученной средней температуры воды в приборах.

К достоинствам двухтрубной системы водяного отопления повышенной тепловой устойчивости относится также возможность ее включения в работу после окончания монтажа без проведения специального пусконаладочного регулирования, характерного для традиционной двухтрубной системы. Регулирующие краны с дросселирующей диаф-

Электронная библиотека http://tgv.khstu.ru/

рагмой используют, как и в однотрубной системе, только для эксплуатационного (индивидуального) регулирования теплоотдачи отопительных приборов.

§ 18.3. Однотрубная система водяного отопления с термосифонными отопительными приборами

В массовом гражданском строительстве в конце текущего столетия стали сооружать здания повышенной этажности, имеющие десять этажей и более. В Москве поставлено на поток сооружение 22-этажных жилых зданий. Проектируются еще более высокие здания.

Для отопления в зданиях повышенной этажности устраивают вертикальную однотрубную систему отопления с конвекторами и «опрокинутой» циркуляцией теплоносителя воды (см. рис. 6.4). Этажестояки системы делают цельносварными, а для регулирования теплоотдачи отопительных приборов используют вместо регулирующих кранов воздушные клапаны в кожухе конвекторов.

Высота таких систем водяного отопления ограничена величиной рабочего давления, допустимого для отопительных приборов. При примененни конвекторов, рассчитанных на рабочее давление 1,0 МПа, предельно допустимая высота системы водяного отопления составляет 90 м (см. § 6.8).

Для систем водяного отопления высотой более 90 м можно разработать конвектор, рассчитанный на рабочее давление воды более 1,0 МПа. По расходу металла с конвектором может конкурировать стальной панельный радиатор, обладающий более высоким (примерно в 2 раза) коэффициентом теплопередачи (см. рис. 4.16.)

Однако известно, что выпускаемый стальной радиатор рассчитан на гидростатическое давление, не превышающее 0,6 МПа, подвержен внутренней коррозии, ограничивающей срок его службы. Следовательно, конструкция стального радиатора для применения в системе водяного отопления высотных зданий должна быть принципиально изменена. Таким стальным панельным радиатором может быть отопительный прибор с фазовым превращением промежуточного теплоносителя, в котором гидростатическое давление в трубах системы не передается на стенки прибора.

Электронная библиотека http://tgv.khstu.ru/

Отопительный прибор с фазовым превращением промежуточного теплоносителя, работающий по принципу термосифона, разработан и испытан в институте экспериментального проектирования в Ташкенте.

Термосифонный отопительный прибор имеет отвакуумированный при изготовлении плоский корпус со змеевиком $D_у$15 или 20 мм, через который пропускается греющая вода системы отопления. Наружная поверхность змеевика, помещенного в нижней части корпуса, соприкасается с промежуточным теплоносителем (этиловым спиртом), находящимся в приборе в количестве 1,0—1,5% внутреннего объема корпуса. Промежуточный теплоноситель при этом испаряется, его пары, конденсируясь затем на внутренней поверхности корпуса, передают теплоту конденсации стенкам и далее через стенки прибора помещению. Змеевик покрыт стальной сеткой для погашения шума, возникающего при испарении промежуточного теплоносителя на его поверхности.

Давление в корпусе термосифонного прибора при температуре первичного теплоносителя 105 °С не превышает 0,10—0,12 МПа, поэтому прибор может изготовляться из листовой стали толщиной 0,5—0,8 мм. Внутренняя коррозия не развивается из-за отсутствия воздуха в корпусе.

Оптимальной по затрате металла является высота термосифонного прибора около 1 м, но она может быть ограничена традиционным размером 0,6 м. При этом теплоотдача прибора уменьшается только на 5%. При теплотехнических испытаниях прибора установлены номинальная плотность теплового потока 652 Вт/м², приближающаяся к номинальной плотности стальных радиаторов типа РСГ (см. § 4.6), а также заметная зависимость теплопередачи от расхода воды в змеевике. Получена одинаковая теплоотдача прибора при направлении движения теплоносителя воды в змеевике как сверху вниз, так и снизу вверх. Следовательно, термосифонные отопительные приборы целесообразно применять в системах отопления с «опрокинутой» циркуляцией при расходе греющей воды, значительно превышающем номинальные 360 кг/ч, т. е. в однотрубных системах отопления высотных зданий.

Достоинства термосифонного отопительного прибора в сравнении с выпускаемыми: гладкая поверхность, облегчающая очистку ее от пыли; уменьшенная масса прибора

Электронная библиотека http://tgv.khstu.ru/

(на 50% по сравнению с массой радиатора РСГ-2), при которой тепловое напряжение металла возрастает до 1,7 Вт/(кг·°С); малая тепловая инерция. Недостатком прибора является сложность изготовления, связанная с необходимостью вакуумирования и заправки корпуса промежуточным теплоносителем. Затруднительно регулирование теплоотдачи прибора, заключающееся в изменении площади змеевика-испарителя путем осушения части его поверхности.

§ 18.4. Комбинированное отопление

Комбинированными принято называть системы центрального отопления с двумя теплоносителями, когда первичный теплоноситель (вода, пар) используют для нагревания вторичного (воды, воздуха). В связи с широким распространением в нашей стране централизованного водяного теплоснабжения большинство систем центрального отопления фактически стали комбинированными — водо-водяными или водовоздушными.

В настоящее время под комбинированным отоплением стали понимать сочетание двух режимов работы системы или двух систем для отопления одного и того же помещения с переменным тепловым режимом (§ 15.3). Проводится также совершеиствование работы и устройства систем отопления для улучшения теплового режима помещений и сокращения теплозатрат на отопление зданий. Конструктивно похожее решение встречалось и ранее, когда для отопления периодически используемого производственного помещения предусматривались две системы отопления различной мощности: одна для рабочего периода времени, другая (дежурная) — для нерабочего.

Различают комбинированное отопление двухрежимное, двухкомпонентное, с прерывистым режимом.

Двухрежимным называют отопление, работающее при различной температуре одного и того же теплоносителя в разное время суток. Двухрежимной является система водяного отопления, в которой в рабочий период времени циркулирует вода при пониженной температуре (для полезного использования внутренних тепловыделений), а в нерабочий период — при повышенной (или наоборот). Для понижения температуры включают смесительный насос,

Электронная библиотека http://tgv.khstu.ru/

для повышения — применяют прямоточную подачу теплоносителя из наружного теплопровода без подмешивания охлажденной воды.

Двухрежимной может быть также система воздушного отопления, совмещенная с приточной вентиляцией в рабочий период времени, и рециркуляционная в нерабочий период. Температура подаваемого воздуха в первый период ниже, чем во второй.

Двухкомпонентным считают отопление двумя системами, дополняющими одна другую для обеспечения необходимой теплоподачи в помещения. Первую систему, обычно водяного отопления, называемую *фоновой или базисной*, устраивают пониженной мощности (например, 30% расчетной теплопотребности рядовых помещений) для постоянного нерегулируемого действия в течение всего отопительного сезона. Задача этой системы — выравнивать дефицит теплоты, приходящейся на единицу площади или объема рядовых и угловых, нижних и верхних однотипных помещений здания (искусственно создавать одинаковые удельные тепловые характеристики основных помещений).

Вторую систему водяного, воздушного, газового или электрического отопления, называемую *догревающей*, предусматривают дополнительной мощности для поддержания необходимой температуры воздуха как в рабочий, так и нерабочий периоды времени. Действие догревающей системы автоматизируют для работы по заданной программе.

Комбинированное отопление может действовать с перерывами, и тогда тепловой режим помещений характеризуется тремя состояниями: постоянства температуры в течение рабочего времени, свободного понижения температуры при выключенной догревающей системе и натопа помещений перед началом работы или в праздничные дни (о прерывистом отоплении см. § 19.5). Возможны также различные сочетания перечисленных видов комбинированного отопления, когда предусматривают двухрежимную работу одной или обеих систем двухкомпонентного отопления.

Для примера остановимся на использовании принципов комбинированного отопления в системе центрального воздушного отопления многоэтажного здания.

Основными недостатками центрального воздушного отопления являются значительные площади поперечного сечения и поверхности воздуховодов, занимающих определен-

Электронная библиотека http://tgv.khstu.ru/

ный объем в здании. Из-за этого увеличиваются расход металла и стоимость системы, нагретый воздух охлаждается по пути движения, возникает вертикальное тепловое разрегулирование под влиянием естественного давления. Система нуждается в совершенствовании еще и потому, что в различные помещения подается воздух одинаковой температуры.

Можно исключить попутное охлаждение нагретого воздуха и ослабить влияние силы гравитации на перемещение воздуха, если при центральной обработке наружного воздуха нагревать его лишь до температуры помещений. В этом случае центральный подогреватель дополняют местными нагревателями для группы или для каждого помещения.

На рис. 18.1, *а* дана схема использования группового нагревателя *3*, снабжаемого воздухом, центрально подогретым до $t_в$=15—20 °С, через ответвление *2* от распределительного воздуховода *1*. Воздух, дополнительно нагретый максимально до 60 °С, выпускают под потолком каждого помещения через регулятор подачи воздуха *5* с шумоглушителем *4*. В такой системе обеспечивают групповое качественное и индивидуальное количественное регулирование. На рис. 18.1, *б* показан групповой нагреватель *3* для выпуска горячего воздуха под окнами помещений через подпольные или подвесные воздуховоды *6* и регуляторы подачи воздуха *7*.

Систему центрального воздушного отопления можно еще усовершенствовать, если применить индивидуальные водяные или электрические нагреватели *8* — доводчики температуры и влажности воздуха (рис. 18.1, *в*), размещая их под окнами помещений. В такой системе значительно повышают скорость движения воздуха (до 20—25 м/с) для сокращения площади поперечного сечения воздуховодов. Индивидуальные нагреватели-доводчики делают с высоким аэродинамическим сопротивлением (до 250—300 Па) и снабжают шумоглушителями и автоматическими регуляторами. Это придает системе аэродинамическую устойчивость и способствует тепловому комфорту в помещениях.

В здании с переменным тепловым режимом (например, административном) такую систему центрального воздушного отопления эксплуатируют только в рабочее время, а для обогревания помещений в нерабочие периоды времени используют индивидуальные нагреватели (*8* на рис. 18.1, *в*)

Электронная библиотека http://tgv.khstu.ru/

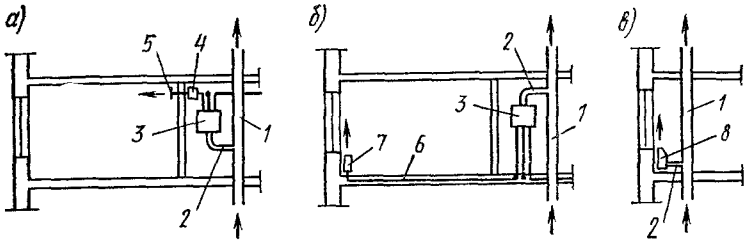

Рис. 18.1. Схемы комбиннрованного отопления многоэтажных зданий с централизованной подачей подогретого воздуха и местным дополнительным нагреванием

а — в групповом нагревателе для выпуска воздуха под потолком помещений через шумоглушитель и регулятор подачи воздуха, *б* — то же, для выпуска воздуха под окнами помещений через подпольный воздуховод и регулятор подачи воздуха; *в* — в индивидуальном нагревателе-доводчике под окном каждого помещения

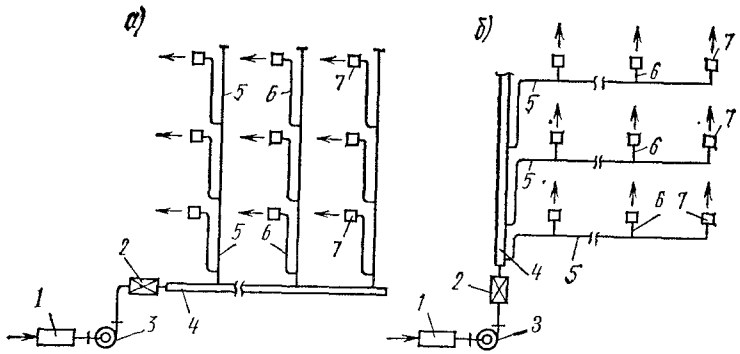

Рис. 18.2. Схемы высокоскоростных систем комбинированиого воздушного отопления с доводчиками многоэтажных зданий

а — вертикальная система с горизонтальной камерой статического давления, *б* — горизонтальная система с вертикальной распределительной шахтой

как конвекторы системы водяного или электрического отопления.

Схемы системы центрального воздушного отопления с индивидуальными нагревателями-доводчиками изображены на рис. 18.2. Система состоит из центрального агрегата *1* для очистки, увлажнения и подогревания воздуха, дополненного головным шумоглушителем *2* для снижения уровня звукового давления, создаваемого центральным вентилятором *3*. Магистральный воздуховод *4* может быть горизонтальной камерой постоянного статического давления (рис. 18.2, *а*), находящейся в подвальном или техническом

Электронная библиотека http://tgv.khstu.ru/

этаже здания, или вертикальной шахтой (рис. 18.2, *б*). Распределительные воздуховоды *5* и ответвления *6* к доводчикам *7* (соответственно вертикальные или горизонтальные) размещают в зависимости от конструкции здания близ колонн, над подвесным потолком и дополняют вертикальным противодымным затвором (петлей) по высоте одного этажа.

Подобная система превращается в одноканальную систему кондиционирования воздуха при охлаждении приточного воздуха в летнее время.

КОНТРОЛЬНЫЕ ЗАДАНИЯ И УПРАЖНЕНИЯ

1. Укажите перечень причин, вызывающих реконструкцию систем отопления зданий и сооружений.

2. Составьте таблицу срока службы отдельных элементов различных систем отопления.

3. Исследуйте отклонение теплоотдачи отопительных приборов в двухтрубной системе водяного отопления повышенной тепловой устойчивости от расчетных показателей в течение отопительного сезона при выполнении условия (18.2).

4. Опишите физические процессы, протекающие в термосифонных отопительных приборах.

5. Исследуйте изменение теплоотдачи отопительных приборов при двухрежимной работе однотрубной системы водяного отопления многоэтажного общественного здания, присоединенной по зависимой схеме со смешением воды в тепловой сети (t_1=150 °С).

Электронная библиотека http://tgv.khstu.ru/

РАЗДЕЛ VIII. ЭНЕРГОСБЕРЕЖЕНИЕ В СИСТЕМАХ ОТОПЛЕНИЯ

ГЛАВА 19. ЭКОНОМИЯ ТЕПЛОТЫ НА ОТОПЛЕНИЕ

§ 19.1. Снижение энергопотребности отопления здания

Основным путем экономии энергии в строительстве является возведение зданий с эффективным использованием энергии (ЗЭИЭ). ЗЭИЭ — это такое здание, в котором предусмотрены оптимальные на перспективу инженерные методы и средства по эффективному использованию и экономии энергии, применению нетрадиционных теплоисточников.

Отопление обеспечивает необходимый тепловой режим зданий в зимний период года с затратой около 25% энергии в балансе страны. Поэтому в регионах с суровым и продолжительным отопительным сезоном, типичным для большей части территории нашей страны, эффективное использование энергии для отопления является определяющим моментом экономии ее для теплообеспечения зданий. Реализация Энергетической программы страны, направленная на эффективное использование и экономию энергии, в большей мере определяется энергоэкономичностью решений систем отопления.

Последовательность проектирования оптимального отопления логически соответствует алгоритму — последовательности проектирования при создании современного ЗЭИЭ.

После выбора расчетных внутренних и наружных климатических условий (см. гл. 2) существенным является выбор энергетически рациональных градостроительных, объемно-планировочных и конструктивных решений здания.

Прежде всего необходимо стремиться, чтобы здание, его защитные свойства были бы в энергетическом отношении наилучшими. Нет смысла бороться за эффективное использование энергии на отопление в здании, которое имеет недостаточную теплозащиту, плохо герметизировано. Расчеты и опыт эксплуатации здания показывают, что выгоднее в

Электронная библиотека http://tgv.khstu.ru/

2 раза дополнительно утеплить и герметизировать здание, чем пытаться в плохо защищенном здании достичь такого же результата за счет совершенствования эффективности только системы отопления. Есть такое выражение, что самой дешевой является энергия, которую не надо расходовать.

Рассмотрим, в чем должна заключаться оптимизация градостроительных, объемно-планировочных и конструктивных решений здания с позиции экономии энергии для отопления.

Градостроительные решения применительно к рассматриваемому вопросу связаны прежде всего с выбором формы и компактности застройки, а также места расположения источника теплоснабжения. Повышение плотности жилой застройки на 10% обеспечивает снижение суммарной теплопотребности на 5—7% по сравнению со стандартной застройкой. Рациональное размещение потребителей теплоты относительно источника, при котором наблюдается пропорциональное снижение нагрузок по мере удаления от источника, дополнительно обеспечивает снижение бесполезных потерь еще на 15—20%.

Энергоэкономический эффект, достигаемый только за счет отмеченных градостроительных решений, оказывается существенным; при этом обеспечиваются дополнительные экономические и технологические преимущества, например, на 2—3% снижается материалоемкость, а также повышается надежность системы энергообеспечения за счет сокращения ее общей протяженности.

Существенное сокращение потерь теплоты на отопление обеспечивает рациональная аэродинамика застройки. В частности, при уменьшении скорости ветра в зоне застройки можно сократить в 2—3 раза инфильтрационные теплопотери зданиями, что равноценно экономии 0,1 кг условного топлива на 1 м^2 в год. В этих целях могут быть использованы специальные ветроломные щиты в виде лесонасаждений, рациональное строительное зонирование застройки по этажности со снижением обдуваемости отдельных зданий и другие приемы. Градостроительные решения применительно к рассматриваемому вопросу связаны также с выбором ориентации здания по сторонам горизонта и его положения в застройке. На юге предпочтительна широтная, на севере — меридиональная ориентация зданий с целью использования теплоты солнечной радиации для

Электронная библиотека http://tgv.khstu.ru/

отопления и во избежание перегрева зданий в летнее время. Считается, что переход от одной ориентации к другой приходится на широту, где продолжительность отопительного сезона около 200 сут.

Выбор положения здания в застройке с точки зрения энергоэффективности связан с направлением доминирующих ветров зимой, косыми осадками на вертикальные ограждения, экранирующим действием и затенением солнечной радиации рядом расположенными зданиями, разрывами между ними.

Объемио-планировочные решения существенно влияют на энергопотребности отопления здания. Форма здания должна быть компактной, надо стремиться к минимальному отношению площади наружных ограждений к объему помещения. Идеальной формой является сфера, хорошей — куб или широкий параллелепипед, хуже — узкие и длинные здания или в виде высокой башни. Фасады здания не должны быть изрезанными, не желательны встроенные заглубленные лоджии и эркеры.

Экономию энергии обеспечивает блокировка различных цехов и помещений в одном корпусе. Блокировка промышленных цехов может давать экономию теплоты до 30—40%. Предпочтительным является сблокированное здание с широким корпусом, многоэтажное, с неизрезанными, гладкими фасадами.

При планировке здания важно правильно расположить помещения различного назначения в зависимости от ориентации фасадов. Основные помещения, как правило, целесообразно размещать со стороны южного фасада, второстепенные — северного. С точки зрения комфортности микроклимата желательно увеличивать высоту помещений, предназначенных для постоянного пребывания людей.

К объемно-планировочным мероприятиям относится организация аэрации здания. Возможно устройство квартир с односторонней ориентацией или квартир со сквозным проветриванием при двух- и трехсторонней ориентации. Необходима защита входных дверей и вестибюлей здания от врывания холодного наружного воздуха. Целесообразно использовать лестничные клетки, лифтовые холлы, коридоры для организованного перетекания воздуха в здании с целью утилизации теплоты. Возможно устройство специальных аэрационных шахт и проемов. В последнее время

Электронная библиотека http://tgv.khstu.ru/

в зданиях применяются атриумы, которые используются как воздушные резервуары для снижения воздухообмена, организации перетекания воздуха, а также как накопители для утилизации теплоты с помощью тепловых насосов, аккумуляторов и др. Аэрационный режим может быть во времени непрерывным, прерывистым с дневным или ночным проветриванием.

Основную роль в формировании теплового режима здания играют конструктивные средства. Ограждения должны обладать высокими теплозащитными свойствами, герметичностью, их внутренние поверхности — свойством сорбировать и десорбировать пары и газы. Основные теплозащитные свойства определяются сопротивлением теплопередаче R_0 и теплоустойчивостью D, которые принимаются в зависимости от назначения здания и способа его отопления.

Фундаментальные здания должны иметь теплоустойчивые ограждения с высоким сопротивлением теплопередаче. Здания для непродолжительной эксплуатации могут иметь ограждения с минимальным сопротивлением теплопередаче и малой тепловой инерцией. Здания с эффективным использованием энергии должны иметь повышенную теплоизоляцию, т. е. быть «зданием-термосом» с теплоустойчивыми внутренними слоями ограждений, обращенными в помещение.

В энергоэкономичных зданиях коэффициент теплопередачи стен и перекрытий должен быть уменьшен по сравнению с обычными решениями в 3—4 раза, т. е. до 0,3—0,4 Вт/(м²·°С). Окна по возможности должны быть со стеклопакетами, заполненными инертным газом, с селективными покрытиями стекол, препятствующими пропусканию длинноволнового излучения из помещения, оконные переплеты — с двойным (тройным) уплотнением. Следовательно, коэффициент теплопередачи окон может быть уменьшен в 2—3 раза, т. е. до 1,5 Вт/(м²·°С) и ниже.

Теплоустойчивые внутренние слои должны выполнять функцию аккумуляторов теплоты при различных решениях регенерации теплоты в помещении. Кроме того, функции рекуператоров теплоты могут выполнять окна и ограждения с вентилируемыми воздушными прослойками, вентилируемые чердаки. Для регенерации теплоты могут также использоваться перекрытия, подполья и грунт под зданием. С этой же целью начинают проектировать здания в обо-

Электронная библиотека http://tgv.khstu.ru/

лочке-футляре. Перспективной является конструкция наружных ограждений с термоэлектрическими элементами в толще и развитыми теплообменными поверхностями с наружной и внутренней стороны. Они работают как термоэлектрические тепловые насосы, утилизирующие энергию окружающей среды. Рациональны конструкции наружных ограждений в виде солнечных коллекторов и абсорберов (см. § 20.2). Наружные поверхности ограждений должны иметь такие радиационные свойства, чтобы зимой активно поглощать коротковолновую солнечную радиацию и слабо отдавать длинноволновую радиацию в окружающую среду.

Основные теплопотери в здании приходятся на окна, поэтому большую роль играет степень остекленности фасадов зданий. Обычно ее стремятся сократить до минимальной по условию допустимой естественной или смешанной (естественно-искусственной) освещенности помещений. Однако при хорошей теплозащите окон и их экранировании от воздействия солнца летом оптимальная остекленность с учетом использования солнечной энергии для отопления, особенно в весенне-осенние периоды, может заметно превосходить минимально допустимую по условию освещенности. Следует также использовать многослойное остекление с применением селективных, отражающих, поглощающих и утепленных стекол, а также постоянных и временных теплозащитных экранов в виде монопанелей, ставней и др.

Рациональное применение совокупности рассмотренных градостроительных, объемно-планировочных и конструктивных мер может значительно (в 1,5—2 раза) снизить потребность энергии для отопления зданий.

Перспективными с точки зрения экономии энергии являются наружные ограждения с переменным сопротивлением теплопередаче. Сопротивление можно варьировать в зависимости от наружных климатических воздействий. Теоретически возможно ограждение, в котором сопротивление теплопередаче может изменяться от нуля до бесконечности. В большинстве случаев вполне достаточно обеспечить такое изменение теплозащитных свойств, при котором на внутренней поверхности ограждения поддерживается допустимая температура в любой момент времени. Примером такого ограждения может служить конструкция двойного окна, межстекольное пространство которого ночью

Электронная библиотека http://tgv.khstu.ru/

заполняется с помощью вакуум-насоса элементами из пенополистирола. В дневные часы дополнительная теплоизоляция удаляется, и солнечная радиация свободно проникает в помещение. Подобный эффект достигается путем вентилирования межстекольного пространства внутренним воздухом, расход которого регулируется в зависимости от наружных условий.

Регулирование теплозащитных свойств ограждения возможно также путем изменения лучистой и конвективной составляющих теплового потока на его внутренней поверхности. В первом случае необходимый эффект достигается облучением конструкции потоком требуемой интенсивности, например, с помощью горелок инфракрасного излучения. При этом исходное сопротивление теплопередаче конструкции может быть принято намного меньше требуемого, что существенно снижает капитальные затраты. Такое решение экономически оправданно для зданий сезонного действия. Во втором случае регулирование конвективного теплового потока на внутренней поверхности обеспечивается с помощью тепловоздушных завес в виде плоских полуограниченных струй.

Активное регулирование теплового потока через ограждение можно обеспечить путем его порогового проветривания. При этом наблюдается рекуперация теплового потока через ограждение, интенсивность которой регулируется потоком фильтрующегося воздуха. Такое решение целесообразно для вентилируемых зданий, оно позволяет снижать расходы теплоты на отопление на 40—60%.

Конструкция наружного ограждения может быть выполнена с тепловым экраном. Тепловой экран, расположенный ближе к наружной поверхности ограждения, обеспечивает в плоскости расположения повышенную температуру за счет циркуляции низкотемпературного теплоносителя (например, грунтовой воды). Теплопотери через экранированное ограждение снижаются до 2—3 раз, а циркуляция теплоносителя возможна за счет гравитационных сил.

Применение этих мероприятий особенно необходимо в ЗЭИЭ, где их использование совместно с солнечными коллекторами или абсорберами, суточными, недельными и сезонными аккумуляторами теплоты и тепловыми насосами (см. § 19.3) может снизить потребность в подводимой извне энергии для целей отопления в 3—4 раза.

Электронная библиотека http://tgv.khstu.ru/

Существенное снижение энергопотребности на отопление зданий может быть достигнуто при использовании автоматической системы управления (АСУ) работой инженерного оборудования здания. Структурная схема АСУ работой инженерного оборудования здания состоит из нескольких взаимосвязанных блоков: измерительного, включающего датчики регулируемых и нерегулируемых параметров, устройства преобразования сигналов и сигнализаторы их значений; пульта управления, ЭВМ и коммутаторов, служащих для сбора, обработки данных наблюдений и подачи команд; исполнительного блока, управляющего работой, в том числе системы отопления.

Работа АСУ тепловым режимом на ряде объектов общественного и промышленного назначения в Москве показала их высокую эффективность, обеспечивающую экономию энергии до 20% при окупаемости дополнительных капитальных вложений в течение около одного года.

§ 19.2. Повышение эффективности отопления здания

Заключительным этапом алгоритма разработки здания с эффективным использованием энергии является оценка эффективности принятого способа отопления как составной части СКМ здания. На это направлены рассмотренные в данном разделе инженерные приемы.

Комплексное свойство СКМ здания эффективно выполнять свои функции является обычно вероятностной характеристикой. **Эффективность** системы отопления (см. также § 7.5, гл. 15) определяется тремя основными свойствами: надежностью, управляемостью (или устойчивостью) при функционировании, обеспеченностью.

Надежность — вероятностное обеспечение безотказной работы механической части системы отопления, ее конструктивных узлов и элементов при эксплуатации в пределах расчетных сроков и условий.

Управляемость — вероятностное выдерживание заданных отклонений в работе отдельных частей и зон системы отопления в процессе управления и при эксплуатации в течение отопительного сезона.

Обеспеченность — принятое в проекте выдержнвание с допустимой вероятностью отклонений расчетных внутренних условий в зданин.

Электронная библиотека http://tgv.khstu.ru/

Другие свойства системы отопления, влияющие на эффективность ее работы, могут быть учтены при рассмотрении указанных основных свойств.

Имеются ограниченные сведения о надежности как показателе безотказной работы узлов и элементов системы отопления. Имеются данные о гидравлической и тепловой устойчивости системы отопления и ее управляемости в процессе эксплуатации.

Обеспеченность расчетных условий в здании зависит от того, с каким коэффициентом обеспеченности рассчитаны и запроектированы система отопления и защитные свойства здания.

Теория эффективности позволяет определить логически очевидные вероятностные показатели выдерживания заданных условий в здании, установить число случаев и общую продолжительность отклонений, а также наиболее невыгодное (наибольшее) разовое отклонение внутренних условий от расчетных.

Отдельные составляющие комплексного свойства эффективности могут быть получены расчетом или по экспериментальным данным, натурным наблюдениям. Они должны быть определены вероятностными показателями K, которые учитывают или число случаев n, или общую продолжительность во времени отклонения условий в помещении от расчетных Δz, в единой форме записи (в одном масштабе отнесения) в виде

$$K_n = \frac{N-n}{N} \quad \text{или} \quad K_z = \frac{z-\Delta z}{z}, \tag{19.1}$$

где N и z — общее число случаев или общая продолжительность рассматриваемого периода работы системы отопления (отопительный сезон, 50-летний период работы и т. д.).

Комплексное свойство эффективности $K_{эф}$, как совокупность вероятностных показателей свойств надежности $K_{над}$, управляемости $K_{упр}$ и обеспеченности $K_{об}$ (см. § 2.2), учитывая их относительную независимость, можно определить в виде

$$K_{эф} = K_{над} K_{упр} K_{об}. \tag{19.2}$$

Показатель эффективности $K_{эф}$ в зависимости от функционального назначения здания определяет социальный и производственный ущерб за счет невыдерживания требуемых внутренних условий в помещениях. В связи с этим

Электронная библиотека http://tgv.khstu.ru/

эффективность является не только совокупным качественным свойством системы, но она прямым образом связана с технико-экономическими, в том числе энергетическими ее показателями. Чем меньше $K_{эф}$, тем ниже качество отопления и больше социально-производственный ущерб.

Поэтому, проводя технико-экономическое сравнение вариантов и выбор оптимального решения по приведенным затратам (см. § 15.2), необходимо наряду с капитальными вложениями K и эксплуатационными затратами $И$ учитывать также эффективность отопления в форме ущерба $У$. Тогда приведенные затраты $З$, определяющие оптимальный вариант системы отопления, должны рассчитываться по формуле [см. формулу (15.2)]

$$З=\frac{K}{z_н}+И+У. \tag{19.3}$$

Минимальное значение $З_{мин}$ определяется из уравнения [формула (2.51)]

$$\partial З/\partial M=0, \tag{19.4}$$

где M — принятый показатель отнесения всех затрат (например, единицы продукции, площади, объема здания).

Учет эффективности различных решений системы отопления при определении приведенных затрат позволяет проводить технико-экономическую оценку и сопоставление возможных вариантов, не равнозначных по своим качественным показателям, что значительно расширяет область поиска оптимального решения. Важно оценивать экономичность отопления не только в денежном выражении, но и совокупным энергетическим показателем, включающим оценку материалов, трудовых, транспортных и других производственных затрат на заготовку, монтаж и эксплуатацию всех элементов системы отопления здания.

§ 19.3. Теплонасосные установки для отопления

Для рационального использования энергии в системах отопления зданий целесообразно, как и при электрическом отоплении (см. § 14.4), применять тепловой насос. Предпосылкой эффективного использования теплонасосных установок (ТНУ) является всесторонний учет всех внутренних и внешних условий протекания процесса отопления здания.

Электронная библиотека http://tgv.khstu.ru/

Энергетическая эффективность теплового насоса оценивается с помощью коэффициента преобразования $\eta_п$ энергии [формулы (14.9) и (14.10)].

Коэффициент использования $\eta_и$ энергии тепловых насосных установок зависит от разности температуры $\Delta T = T_к - T_и$ ($T_к$ — температура конденсации, $T_и$ — испарения) и совершенства конструкции установки:

$$\eta_и = \beta_р \varepsilon_C, \tag{19.5}$$

где ε_C — коэффициент преобразования идеального термодинамического цикла Карно

$$\varepsilon_C = \frac{T_к}{T_к - T_и}; \tag{19.6}$$

$\beta_р$ — степень термодинамического совершенства реального процесса в теплонасосной установке.

На рис. 19.1 представлены приблизительные соотношения коэффициентов идеального цикла Карно и $\eta_и$ действующих теплонасосных установок.

Тепловые насосы (компрессионные, сорбционные, термоэлектрические, газовые, струйные, комбинированные) работают на различных источниках энергии, поэтому базой для сравнения их энергетической эффективности может служить первичная энергия, полученная в установках на органическом или ядерном топливе.

Коэффициент использования первичной энергии $\eta_{п.э}$ находят как отношение полезной энергии, поступающей в распоряжение потребителя, к подведенной первичной энергии, не подверженной никаким энергетическим преобразованиям,

$$\eta_{п.э} = \eta_и \eta_к, \tag{19.7}$$

где $\eta_к$ — коэффициент полезного действия электростанции, котла или другого устройства для получения первичной энергии.

Например, коэффициент использования первичной энергии компрессионными и сорбционными тепловыми насосами будет в двух случаях приблизительно равен 0,9, если в первом случае $\eta_и = 3$ на базе электростанции ($\eta_к = 0{,}3$), а во втором $\eta_и = 1{,}4$ при КПД котла $\eta_к = 0{,}65$.

В целях экономии энергии следует применять в системах отопления ТНУ, обеспечивающие высокую степень использования первичной энергии $\eta_{п.э}$. В табл. 19.1 приведены минимальные значения $\eta_{п.э}$ для некоторых видов отопления.

Электронная библиотека http://tgv.khstu.ru/

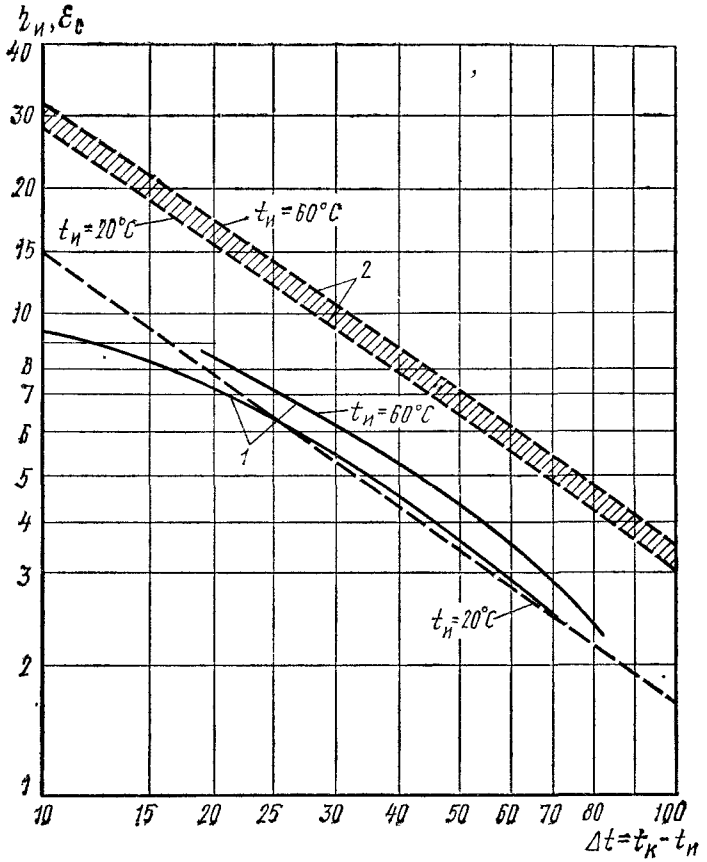

Рис. 19.1. Зависимость коэффициента использования (*1*) реальных теплонасосных установок и коэффициента преобразования (*2*) идеального термодинамического цикла ε_c от разности температуры Δt в конденсаторе $t_к$ и испарителе $t_и$

Сезонный расход первичной энергии при эксплуатации отопительной системы равен

$$Q_{п\ э} = Q_{от}/\eta_{п.\ э}, \qquad (19.8)$$

где $Q_{от}$ — сезонная потребность системы отопления в тепловой энергии.

Коэффициент использования, превышающий единицу, может быть достигнут в системе отопления только с помощью теплового насоса.

Электронная библиотека http://tgv.khstu.ru/

Таблица 19.1. Значения коэффициента использования первичной энергии для некоторых видов отопления

$\eta_{п.э}$ и $\eta_и^{мин}$

Вид отопления	$\eta_{п.э}$	$\eta_и^{мин}$
Электрическое отопление	0,28	0,28/0,28=1
Отопление от котлоагрегата на городском (искусственном) газе	0,35	0,35/0,28=1,25
То же, с угольной (бурый уголь) топкой	0,56	0,56/0,28=2
То же, с угольной топкой мощностью более 10 мВт	0,7	0,7/0,28=2,5

Высокая эффективность использования первичной энергии в отоплении с ТНУ достигается тогда, когда коэффициент $\eta_и$ превышает минимальные значения, приведенные в табл. 19.1. Из рис. 19.1 видно, что коэффициент преобразования реально действующих теплонасосных установок превышает минимальные значения по табл. 19.1 при $\Delta T \leqslant$ $\leqslant$60—70 °С. При понижении ΔT значения $\eta_и$ заметно возрастают.

Температура испарения $T_и$ зависит от температуры источника окружающей среды, а температура конденсации $T_к$ определяется рабочей температурой у потребителя (например, температурой теплоносителя в подающей линии системы отопления). Таким образом, использование теплоты окружающей среды с помощью теплового насоса при небольшой разности температуры ΔT (50—60 °С и ниже) не требует большого расхода первичной энергии.

Источником теплоты для тепловых насосов является окружающая среда, энергетический уровень которой различен в зависимости от места расположения объекта и времени суток и года. Это определяется действием солнечной радиации, геотермальной энергией, энергией гравитационного поля и вращения Земли, а также энергией отходящей теплоты энергетических и технологических установок. Поэтому энергию окружающей среды необходимо использовать только в определенных местах и в определенные периоды времени (рис. 19.2). Это могут быть местные со сравнительно высокой температурой источники энергии: поч-

Электронная библиотека http://tgv.khstu.ru/

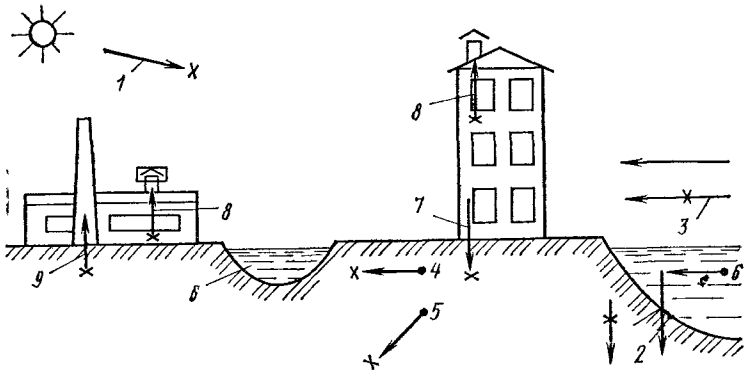

Рис. 19.2. Окружающая среда — источник тепловой энергии для теплового насоса

1 — солнечные лучи; *2* — гравитация; *3* — вращение Земли; *4* — геотермальная почва; *5* — грунтовые воды; *6* — поверхностные воды и водоемы; *7* — бытовые сточные воды; *8* — внутренний воздух; *9* — отходящая, использованная теплота энергетических и технологических установок; *x* — место целесообразного забора низкопотенциальной энергии для теплового насоса

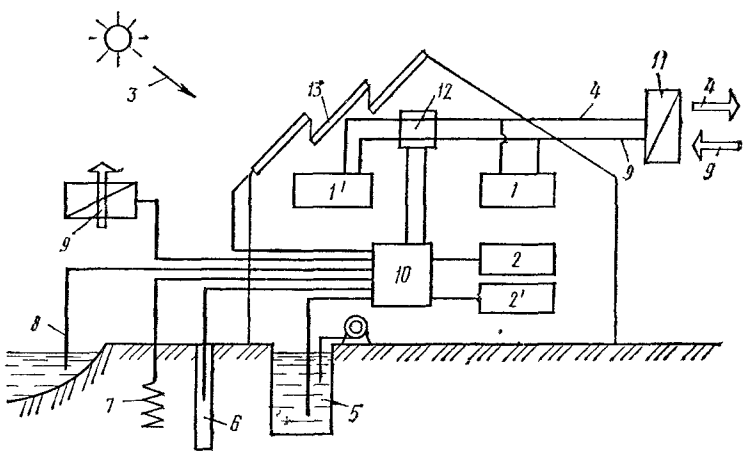

Рис. 19.3. Сопряжение потоков энергии различных сред внутри и вне здания

1, 1' — отапливаемые, кондиционируемые и вентилируемые помещения; *2, 2'* — прочие потребители теплоты и холода; *3* — солнечные лучи, *4* — внутренний удаляемый воздух; *5* — бытовые и технологические воды; *6* — грунтовые воды; *7* — геотермальные источники; *8* — водоемы; *9* — наружный воздух; *10* — холодильная машина и тепловой насос; *11* — регенераторы, рекуператоры и другие теплоутилизаторы, *12* — смесители; *13* — солнечные коллекторы и абсорберы

вы, грунтовые и поверхностные воды, окружающий воздух, а также потоки энергии перед выравниванием их температуры с температурой окружающей среды (солнечная

Электронная библиотека http://tgv.khstu.ru/

энергия, отработавшая теплота промышленных установок, отработавший воздух, сточные воды). Кроме того, источником может быть и аккумулированная низкотемпературная теплота, используемая периодически или после аккумуляции.

Температура в помещении может незначительно отличаться от температуры источников окружающей среды, поэтому низкотемпературные системы отопления (§ 20.1) являются особенно подходящими объектами для использования ТНУ. При соответствующем расчете и технико-экономическом обосновании в низкотемпературных системах отопления могут использоваться практически все виды отопительных приборов, а также агрегаты воздушного отопления. Подходящими для низкотемпературных систем являются панельно-лучистые приборы, совмещенные с ограждающими конструкциями.

В системах отопления здания необходимо целенаправленное распределение потоков энергии с применением различного вида энергетических сопряжений. Они могут быть в виде последовательного и параллельного соединения, с помощью смесителей, теплообменников и посредством теплового насоса. На рис. 19.3 показаны возможности сопряжения потоков энергии различных сред внутри и вне здания. Благодаря действию теплового насоса эффективность системы отопления возрастает при снижении поступления энергии извне. Следует иметь в виду, что тепловые насосы требуют комплексного территориального использования с возможно большей продолжительностью работы в течение года. Целесообразное размещение тепло- и холодопотребителей и их присоединение в системе с тепловыми насосами и холодильными машинами позволяют получить значительный экономический эффект.

Наряду с оценкой энергетической целесообразности определяют также общий экономический народнохозяйственный эффект от перехода к отоплению с ТНУ. Для этого наряду с эксплуатационными (в основном энергетическими) затратами устанавливают дополнительные капитальные затраты на устройство ТНУ и оценивают общий экономический эффект сроком окупаемости дополнительных первичных капитальных вложений за счет экономии энергии в процессе эксплуатации системы. Расчеты показывают, что срок окупаемости ТНУ всегда мал (1,5—3 года) и ниже

Электронная библиотека http://tgv.khstu.ru/

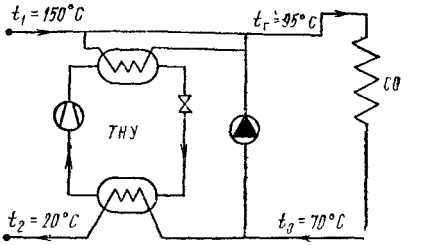

Рис. 19.4. Схема цеитрализованного охлаждения воды системы отопления в обратном теплопроводе цеитральиого теплоснабжения с помощью теплового иасоса

Рис. 19.5. Схема децеитрализованиого отбора теплоты из обратиой магистрали системы центрального отопления (теплоснабжеиия) с помощью теплового иасоса

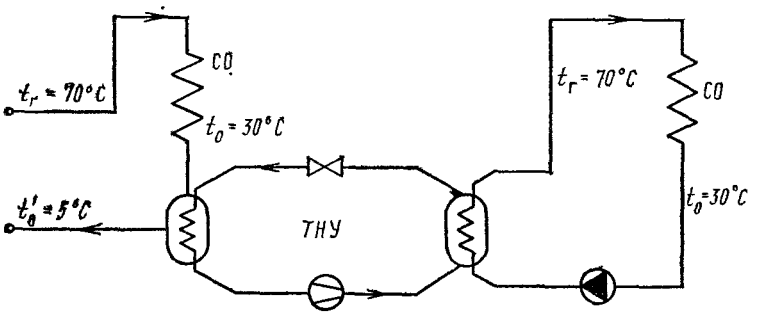

нормативного срока окупаемости, принятого для систем отопления.

В существующих системах центрального теплоснабжения, особенно при их вынужденном расширении, отмечают рост затрат на транспортирование тепловой энергии. Значительно увеличиваются удельные затраты на теплопроводы относительно среднегодовой стоимости тепловой энергии. В связи с этим целесообразно повышение удельной пропускной способности тепловых сетей, в том числе путем снижения температуры воды в обратных магистралях. Это может быть достигнуто за счет прямого использования воды из обратных линий в низкотемпературных системах отопления, работающих с нетрадиционными параметрами. При этом неизбежно потребуются увеличение площади отопительных приборов, дополнительные мероприятия по повышению теплозащиты зданий, что не везде обеспечит экономичность решения.

В этих условиях с экономической точки зрения целесообразным может оказаться использование тепловых насосов для централизованного (рис. 19.4) и децентрализованного (рис. 19.5) понижения температуры в обратных линиях тепловых сетей. Для этой цели предпочтительными оказывают-

Электронная библиотека http://tgv.khstu.ru/

ся сорбционные тепловые насосы, в которых используется тепловая энергия системы теплоснабжения.

При проектировании новых систем центрального теплоснабжения возможно использование комбинированных схем с тепловыми насосами. Целесообразным в этом случае является не только понижение температуры обратной воды, но и общее понижение температурного уровня, например, с традиционного 150—70 до 120—20 °С и ниже.

При энергоснабжении от теплоэлектроцентралей применение компрессионных тепловых насосов с дополнительным подводом электрической энергии часто оказывается экономически невыгодным.

Целесообразной будет система центрального отопления, в которой разновременно или в параллельном режиме используются тепловой насос и энергоаккумуляционная система. В период пиковой нагрузки в электросети тепловой насос отключается. В это время отопление полностью обеспечивается энергией от аккумулятора. В остальное время работает тепловой насос, а при большом расходе теплоты — тепловой насос в сочетании с энергоаккумуляционной системой.

В качестве источника теплоты для теплоснабжения могут использоваться геотермальные воды из скважин (§ 20.3). В этом случае целесообразна двухступенчатая схема, когда на первой ступени отбор теплоты происходит непосредственно, и только на второй ступени, когда температура становится примерно равной температуре в обратной линии системы отопления, отбор теплоты осуществляется с помощью теплового насоса.

Тепловые насосы могут успешно применяться для отопления одноквартирных отдельно стоящих домов. Обязательными условиями их успешного применения являются низкотемпературная система отопления и значительное (примерно в 2 раза) усиление теплозащиты для снижения теплопотерь здания. В качестве источников низкопотенциальной теплоты могут использоваться все выше перечисленные носители энергии окружающей среды. В идеальном случае при дополнительной усиленной теплоизоляции, использовании солнечных коллекторов и аккумуляторов в схеме с тепловым насосом расход первичной энергии по сравнению с традиционным решением может быть сокращен в 3—4 раза.

Электронная библиотека http://tgv.khstu.ru/

§ 19.4. Экономия теплоты при автоматизации работы системы отопления

При работе распространенных систем водяного и воздушного отопления централизованные теплозатраты на отопление можно сократить, если использовать для обогревания помещений дополнительные местные теплопоступления. Существенной экономии теплозатрат достигают, применяя автоматическое регулирование теплового потока, поступающего в систему отопления. Такое регулирование по действующим нормам устраивают в системах отопления крупных зданий (при расходе тепловой энергии за отопительный сезон 1000 ГДж и более). В таких зданиях блоки автоматизации действия системы отопления включают в общую автоматизированную систему управления (АСУ) работой инженерного оборудования (см. § 19.1).

Теплопоступления от различных дополнительных источников можно считать избыточными, если они вызывают повышение температуры воздуха в рабочей (обслуживаемой) зоне сверх средней оптимальной, установленной по назначению помещения (например, сверх 21 °С в обслуживаемой зоне жилых, общественных и административно-бытовых помещений, когда люди находятся в них более 2 ч непрерывно).

В отапливаемых жилых зданиях к дополнительным теплопоступлениям относятся: часть теплопоступлений от систем водяного отопления при температуре наружного воздуха выше температуры точки излома графика регулирования температуры теплоносителя воды в теплофикационных сетях (см. рис. 17.3); часть бытовых тепловыделений, вызывающих повышение температуры воздуха в жилых комнатах сверх 21 °С (обычно при температуре наружного воздуха выше расчетной для проектирования отопления); теплопоступления от солнечной радиации.

В основных помещениях общественных зданий вместо бытовых тепловыделений имеются периодические теплопоступления от работающих людей и электрического освещения. В помещения производственных зданий в рабочее время поступает также теплота от электрического оборудования и технологических процессов. Мощность этих дополнительных теплоисточников изменяется во времени, понижаясь до минимального значения в ночное и нерабочее вре-

Электронная библиотека http://tgv.khstu.ru/

мя. При нестационарном характере теплопоступлений часть теплоизбытков поглощают наружные и внутренние ограждения, а также оборудование помещений. Чем больше теплоемкость ограждений помещений, тем больше они поглощают теплоизбытков, что уменьшает амплитуду колебания температуры воздуха. При этом, как следствие, роль автоматического регулирования теплоподачи в систему отопления снижается.

Как известно, регулирование теплоподачи в систему отопления можно осуществлять в системе здания в целом, в пофасадных частях системы, в горизонтальных поэтажных ветвях или путем индивидуального регулирования теплоотдачи отдельных отопительных приборов и агрегатов.

Автоматизированное **регулирование** теплоподачи в систему водяного **отопления здания в целом**, осуществляемое в тепловом пункте при вводе наружных водяных теплопроводов, позволяет «исправлять» график центрального качественного регулирования (см. рис. 17.3) и частично учитывать теплопоступления от солнечной радиации. Исследования, проведенные в системе водяного отопления 16-этажного жилого здания в Москве, показали, что теплоподача по скорректированному графику качественного регулирования позволяет экономить 4,3% расхода теплоты за четыре последних месяца отопительного сезона. За весь сезон в условиях Москвы экономия при этом доходит до 6—8%.

Автоматизированное **пофасадное** регулирование частей системы отопления сопровождается дальнейшим сокращением теплозатрат (до 12%) по сравнению с теплозатратами при обычном центральном качественном регулировании. Об этом свидетельствуют результаты натурных наблюдений. В Москве обследована автоматизированная система водяного отопления 16-этажного жилого здания. В солнечный день при температуре наружного воздуха около —4 °С теплоподача в помещения юго-восточного фасада здания уменьшалась в 2,5 раза по сравнению с теплоподачей при центральном изменении температуры теплоносителя. Суточный расход теплоты сокращался на 25%.

При пофасадном регулировании контроль работы частей системы отопления проводят по трем — четырем неблагоприятно расположенным (обычно недогревающимся) помещениям. Это вызывает перегревание других помещений.

Электронная библиотека http://tgv.khstu.ru/

Более эффективно в отношении экономии тепловой энергии автоматическое регулирование теплоподачи в отдельные крупные помещения горизонтальными поэтажными ветвями системы водяного отопления. При таком **поэтажном регулировании** температура воздуха в обслуживаемых помещениях поддерживается на заданном уровне с помощью регуляторов прямого действия с точностью $\pm 1{,}5$ °С.

Аналогично по эффективности автоматическое регулирование теплоподачи **индивидуальными регуляторами,** устанавливаемыми на теплопроводах отопительных приборов или агрегатов (см. § 4.9). При таком способе регулирования полезно используются (в отношении экономии теплозатрат на отопление) теплопоступления в помещения от людей, бытовых приборов, солнечной радиации, электрического освещения и оборудования и других источников, а также учитывается неблагоприятное воздействие ветра.

Особенно существенная экономия теплоты достигается при прерывистом отоплении зданий с переменным режимом работы.

§ 19.5. Прерывистое отопление зданий

В зданиях и сооружениях с переменным тепловым режимом (см. § 15.3) прибегают к понижению температуры помещений в нерабочие периоды суток. Для этого применяют прерывистое отопление — с понижением или полным отключением теплоподачи.

При сокращении теплопоступлений от системы отопления по сравнению с теплоподачей в рабочий период суток в помещениях наблюдаются колебания температуры воздуха и радиационной температуры. Охлаждение помещений при отключении отопления рассмотрено в § 2.9.

В сухих производственных помещениях возможно понижение температуры в нерабочий период до 5 °С. В помещениях общественных зданий можно также допустить в нерабочий период суток понижение температуры, но до такого уровня, чтобы избежать конденсации водяного пара воздуха на внутренней поверхности наружных ограждающих конструкций (за исключением световых проемов).

Будем считать, что к концу рабочего дня относительная влажность воздуха в помещениях при температуре 20 °С составляет 40% (в соответствии с требованием СНиП).

Электронная библиотека http://tgv.khstu.ru/

Исходя из этого найдем, что понижение температуры помещений в нерабочий период времени возможно до 8—10 °С. Примем (с запасом) минимально допустимую температуру таких помещений равной 12 °С.

Для переменного теплового режима рабочих помещений характерна суточная периодичность. В течение суток выделим рабочий период, когда внутренние теплопоступления (например, от людей, оборудования) в той или иной мере возмещают теплопотери и требуется главным образом вентиляция помещений (в помещениях преобладает **режим вентилирования**). Нерабочий период разделим на период естественного охлаждения помещений, когда отопление отключено и отсутствуют какие-либо теплопоступления (**режим охлаждения**), и период усиленного нагревания помещений перед началом работы (**режим нагревания** или, как говорят, «натопа»). Продолжительность этих периодов различна. Если режим вентилирования длится 8 или 16 ч (две смены), то продолжительность режима натопа зависит от температуры наружного воздуха и тепловой мощности системы отопления. Соответственно увеличивается или уменьшается продолжительность периода охлаждения.

Устанавливается также недельная периодичность теплового режима, связанная с субботне-воскресным (или только воскресным) перерывом в работе. Недельная периодичность нарушается только в дни праздников.

На рис. 19.6 показано изменение тепловыделений $Q_{выд}$, температуры воздуха $t_в$ и радиационной температуры t_R помещения, в котором работают от 9 до 18 ч пять дней в неделю, при условно постоянных теплопотерях $Q_{пот}$. Принято, что теплопоступления несколько меньше теплопотерь ($Q_{выд} < Q_{пот}$). Поэтому на рисунке изображено, что в течение рабочего периода (в режиме вентилирования без изменения температуры приточного воздуха) температура воздуха помещения понижается при возрастании радиационной температуры t_R. Показано также, что отопительная установка мощностью $Q_{от}$, значительно превышающей величину теплопотерь помещения, включается до начала работы (режим натопа). Отопительная установка включается также в промежутке между последним рабочим днем недели (пятница) и первым рабочим днем новой недели (понедельник), когда температура помещения $t_п$ понижается до установленного минимального уровня ($t_{мин}$ на рисунке).

Электронная библиотека http://tgv.khstu.ru/

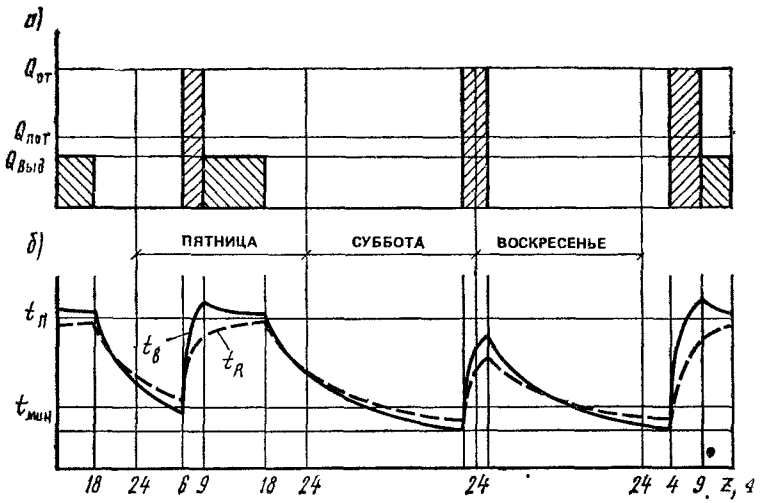

Рис. 19.6. Изменение теплопоступлений $Q(а)$, температуры ($б$) воздуха $t_в$ (сплошные линии) и радиационной температуры $t_р$ (пунктирные линии) рабочего помещения в течение четырех дней недели в зимнее время

Продолжительность нагревания помещения отличается в рабочие дни и после воскресенья, так как исходная температура помещения различна.

Прерывистая теплоподача вызывает периодические изменения температуры помещения, зависящие от теплотехнических свойств его ограждений, величины и продолжительности теплопоступлений. Конвективная теплота от отопительной установки поступает в воздух помещения и от него передается внутренней поверхности ограждений. Температура воздуха и радиационная температура несколько отличаются; их изменения не совпадают во времени (см. рис. 19.6, $б$).

Для расчета изменения температуры воздуха и радиационной температуры ограждений помещения определяют показатели теплоусвоения $У_{пом}$ и теплопоглощения $Р_{пом}$ помещения.

Показатель теплоусвоения помещения $Y_{пом}$, Вт/°С, характеризующий изменение температуры **внутренней поверхности** всех ограждений, находят по формуле (2.64) в зависимости от коэффициента теплоусвоения $У_i$, Вт/(м²·°С), для поверхности отдельных ограждений.

Электронная библиотека http://tgv.khstu.ru/

Показатель теплопоглощения ограждений $P_{огр}$, Вт/°С, выражающий изменение температуры **воздуха** помещения, вычисляют по формуле (2.68) с учетом коэффициента теплопоглощения для каждого ограждения, а также коэффициента прерывистости теплового потока Ω (§ 2.9). Коэффициент прерывистости определяют в зависимости от отношения продолжительности нагревания (натопа) к общей продолжительности нерабочего периода (например, 16 ч при односменной работе).

В формулу (2.68) входит также величина $\Lambda_{пом}$, Вт/°С — **показатель интенсивности конвективного теплообмена** на всей площади поверхности ограждений помещения, вычисляемый по формуле

$$\lambda_{пом} = \alpha_{к.\,ср} \Sigma A_i, \qquad (19.9)$$

где $\alpha_{к.ср}$ — осредненный по поверхности всех ограждений коэффициент конвективного теплообмена [в зимних условиях — 4,0 Вт/(м².°С)].

Таким образом, теплоустойчивость помещения можно характеризовать отношением показателей $У_{пом}$ и $\Lambda_{пом}$, входящих в уравнение (2.68). Установим возможные значения показателя теплоустойчивости помещения $У_{пом}/\Lambda_{пом}$

Таблица 19.2. Материал ограждений и показатель теплоустойчивости помещения

Вариант	Материал со стороны помещения				Показатель теплоустойчивости $У_{пом}/\Lambda_{пом}$
	наружных оштукатуренных стен	потолка	пола	внутренних стен	
1	Шлакобетон (ρ = =2100 кг/м³)	Железобетон	Линолеум	Гипсобетон	3,05
2	Кирпич	То же	»	Кирпич	2,65
3	»	»	»	Сухая штукатурка	1,95
4	Легкий бетон (ρ = =800 кг/м³)	Фибролит (ρ = = 300 кг/м³)	Паркет	То же	1,15

Электронная библиотека http://tgv.khstu.ru/

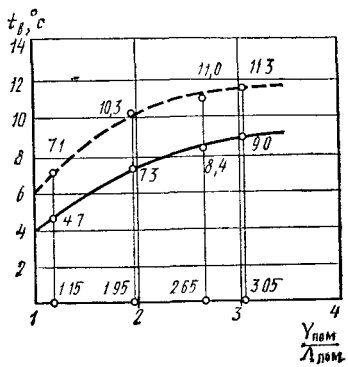

Рис. 19.7. Зависимость минимальной температуры воздуха после ночного охлаждения (без отопления) от теплоустойчивости помещений, имеющих окна с двойным (сплошная линия) и тройным (пунктирная линия) остеклением, при $t_н = -20$ °С.

при его ограждающих конструкциях из различных распространенных материалов (табл. 19.2).

При прерывистом отоплении минимальная температура помещения, которая устанавливается к концу периода отключения отопления (режима охлаждения), зависит от теплоустойчивости, а также теплозащитных свойств наружных ограждений этого помещения.

На рис. 19.7 даны обобщенные результаты расчетов минимальной температуры воздуха в четырех помещениях площадью около 50 м² с тремя окнами (с двойным и тройным остеклением) и ограждениями, выполненными по вариантам, приведенным в табл. 19.2. При расчетах принято: температура наружного воздуха $t_н = -20$ °С, работа в помещениях односменная, помещения рядовые на среднем этаже здания, отопление помещений отключено в конце работы.

Видно, что минимальная температура воздуха после прекращения отопления в течение 16 ч существенно зависит как от теплоустойчивости помещений, так и их утепленности. По мере возрастания этих показателей повышается и минимальная температура воздуха, т. е. замедляется охлаждение помещений. Можно также установить, что для обеспечения в режиме охлаждения минимальной температуры 12 °С следует стремиться к повышению теплоустойчивости и теплозащитных свойств ограждений помещений.

С другой стороны, при повышении теплоустойчивости помещений **экономия теплоты** в условиях прерывистого отопления будет уменьшаться. Это объясняется сохранением в режиме охлаждения повышенного уровня тепло-

Электронная библиотека http://tgv.khstu.ru/

потерь через ограждения вследствие более высокой температуры помещений. Кроме того, при повышении теплоустойчивости (увеличении показателя $Y_{пом}/\Lambda_{пом}$) придется прибегать к более продолжительному нагреванию помещений перед началом работы с соответствующим сокращением продолжительности периода охлаждения. Расчеты показывают, что при прерывистом отоплении помещений повышенной теплоустойчивости теплозатраты возрастут на 4—5% по сравнению с затратами на отопление помещений пониженной теплоустойчивости.

Экономия теплоты, получаемая при переменном тепловом режиме, зависит не только от теплозащитных свойств ограждающих конструкций помещений, но и от тепловой мощности системы отопления. Применение переменного теплового режима при повышенных теплозащитных свойствах ограждений обеспечивает дополнительную экономию теплоты вследствие сокращения продолжительности натопов и даже устранения промежуточных натопов (см. рис. 19.6) в условиях длительного охлаждения помещений в воскресные и праздничные дни. Продолжительность периода охлаждения может быть в этих случаях увеличена вследствие относительного повышения минимальной температуры воздуха в помещениях (на рис. 19.7 на 2,5—3 °С).

Повышение тепловой мощности системы прерывистого отопления (по сравнению с мощностью постоянно действующей системы отопления) при прочих равных условиях позволяет в еще большей мере экономить теплоту. Расчеты для крупного административного здания в климатических условиях Москвы показывают, что при увеличении тепловой мощности системы отопления (коэффициента натопа) от 1,3 до 1,7 раза сокращается продолжительность натопа и экономия теплоты в год повышается соответственно от 15,4 до 19%.

Дополнительные затраты на увеличение тепловой мощности системы прерывистого отопления окупаются за счет уменьшения эксплуатационных расходов достаточно быстро, особенно при повышенной стоимости тепловой энергии и продолжительном отопительном сезоне.

Коэффициент натопа целесообразно увеличивать до 2—2,2 и выше, ограничивая его величину располагаемой мощностью теплового ввода в здание, рассчитанной на покрытие теплозатрат как на отопление, так и на вентиляцию

Электронная библиотека http://tgv.khstu.ru/

в рабочее время. При этом мощность теплоисточника останется без изменения. Изменится лишь суточный график отпуска теплоты с общей экономией ее в течение отопительного сезона. Общая экономия теплоты в течение отопительного сезона при прерывистом отоплении различных зданий составляет, по данным ЦНИИЭП инженерного оборудования, 20—30% по сравнению с теплозатратами на постоянное отопление.

Система прерывистого отопления может быть чисто воздушной, когда установки приточной вентиляции используются в предрабочий период времени для натопа в рециркуляционном режиме. Более гибкой в эксплуатации является двухкомпонентная система комбинированного отопления (см. § 18.4). Такая система состоит из базисной (фоновой) части в виде водяного отопления (особенно при расположении рабочих мест близ световых проемов) и догревающей части — воздушного отопления для натопа. Водяное нерегулируемое отопление предназначено для постоянного использования с выравниванием теплонедостатка в различно расположенных помещениях здания. Воздушное отопление осуществляется установкой приточной вентиляции в рециркуляционном режиме, что ограничивает ее тепловую мощность при натопе.

Расчет двухкомпонентной системы прерывистого отопления заключается не только в определении тепловой мощности ее частей, но и в выявлении расчетного режима ее работы. Такой расчет проводят в суточном разрезе при различной температуре (через 5 °С) наружного воздуха в течение отопительного сезона.

Работу догревающей части системы отопления автоматизируют с программным управлением для выдерживания расчетного режима. На случай неожиданного резкого понижения температуры наружного воздуха в контрольных помещениях устанавливают датчики «минимальной» температуры. По сигналу от них включается догревающая часть системы отопления в дополнительный режим натопа помещений (например, на 10 °С). Эти же датчики используются в воскресные и праздничные дни.

Для примера приведем расчетные режимы работы двух различных по мощности комбинированных водовоздушных систем отопления учебного здания (при тройном остекле-

Электронная библиотека http://tgv.khstu.ru/

нии окон и показателе теплоустойчивости учебных помещений $У_{пом}/Л_{пом}=1,95$).

1-я система с коэффициентом натопа 1,5: базисная (водяная) часть системы отопления работает только при отрицательной температуре наружного воздуха; догревающая (воздушная) часть с коэффициентом натопа 1,5 включается ежедневно при $t_н=-20$ °С на 5 ч (на 13 ч после воскресенья), а при $t_н=0$ °С — на 1 ч (на 3 ч после воскресенья).

2-я система с коэффициентом натопа 3,0: базисная (водяная) часть системы работает только при $t_н=-10$ °С и ниже; догревающая (воздушная) часть включается ежедневно при $t_н=-20$ °С на 2 ч (на 6 ч после воскресенья), при $t_н=-11,5$ °С — на 1 ч (на 4 ч после воскресенья), при $t_н=0$ °С и отключенной базисной части — на 2 ч (на 5 ч после воскресенья).

§ 19.6. Нормирование отопления жилых зданий

Жилые здания в городах страны являются одним из основных потребителей теплоты в системах централизованного теплоснабжения. Важной технико-экономической и социальной задачей становится нормирование теплозатрат на отопление этих зданий при обеспечении теплового комфорта в помещениях.

Нормирование теплоподачи в жилые здания делают с целью упорядочения расхода теплоты на отопление и обеспечения экономии теплоты в течение отопительного сезона путем сокращения бесполезных теплопотерь. Нормирование можно проводить на основе существующей структуры управления жилищным хозяйством городов, используя ее основные элементы: информационно-вычислительный центр, центральный, районные и оперативные диспетчерские пункты жилых микрорайонов.

При проведении нормирования теплоподачи сравнивают фактическое теплопотребление на отопление жилых зданий за некоторый установленный предшествующий период времени с расчетной теплопотребностью зданий. Сравнение делают с учетом действительных климатических условий в течение контрольного периода времени и теплотехнических особенностей жилых зданий в микрорайоне. При этом выявляют и устраняют причины несогласования фактических теплозатрат и нормы теплопотребления.

Электронная библиотека http://tgv.khstu.ru/

Расчет нормы теплопотребления за контрольный период отопительного сезона (не менее месяца) для группы жилых домов, обслуживаемых одним центральным тепловым пунктом (ЦТП), выполняют в информационно-вычислительном центре (ИВЦ). При этом используют данные об обогреваемом объеме жилых зданий, числе людей, проживающих в этих зданиях, расчетной мощности системы горячего водоснабжения, времени работы нежилых объектов в микрорайоне и др., а также о фактических климатических условиях.

Норма теплопотребления складывается из расходов теплоты на отопление и горячее водоснабжение. Норму теплоподачи на отопление зданий устанавливают исходя из суточной нормы, определяемой по формуле

$$Q_{\text{сут}} = \left[\sum_{1}^{N} (q_{\text{от}.N} V_N)\right] (t_{\text{в. опт}} - t_{\text{н. ср}}), \qquad (19.10)$$

где N — число групп жилых зданий с отличающимися теплотехническими характеристиками; $q_{\text{от}.N}$ — удельный показатель теплозатрат на отопление данной группы зданий, кДж/(сут·м^3·°С); V_N — общий отапливаемый объем зданий данной группы, м^3; $t_{\text{в.опт}}$ — оптимальная температура внутреннего воздуха в жилых зданиях, принимаемая по главе СНиП «Отопление, вентиляция и кондиционирование»; $t_{\text{н.ср}}$ — среднесуточная температура наружного воздуха по данным срочных измерений на ближайшей к ЦТП городской метеостанции, °С.

Показатель $q_{\text{от}.N}$, кДж/(сут·м^3·°С), учитывает отдельные составляющие теплового баланса здания

$$q_{\text{от}.N} = q_{\text{о}.N} + q_{\text{и}.N} - q_{\text{б}.N}, \qquad (19.11)$$

где $q_{\text{о}.N}$, $q_{\text{и}.N}$ — удельные показатели теплопотерь через ограждающие конструкции зданий и на нагревание инфильтрующегося воздуха через окна и двери здания; $q_{\text{б}.N}$ — удельный показатель теплопоступлений от внутренних бытовых теплоисточников.

Составляющие формулы (19.11) рассчитывают по зависимостям, получаемым с учетом теплотехнических свойств и особенностей воздушно-теплового режима зданий, входящих в разные группы.

Фактические теплозатраты зданий за контрольный период времени определяют по показателям теплосчетчиков (тепломеров), установленных на вводах городских теплопроводов в ЦТП. Контрольный период выбирают в начале отопительного сезона при температуре наружного воздуха выше расчетной для отопления. Проведению измерений

Электронная библиотека http://tgv.khstu.ru/

должна предшествовать тщательная наладка системы отопления в ходе подготовки зданий к работе в условиях отопительного сезона.

При недоиспользовании расчетной нормы теплопотребления (при отсутствии жалоб населения на недогревание помещений) устанавливают источники дополнительной экономии теплоты. Опыт экономной эксплуатации может быть распространен на другие жилые микрорайоны.

Превышение фактических теплозатрат за контрольный период времени над расчетной нормой теплопотребления будет свидетельствовать о перерасходе теплоты и имеющихся в жилых зданиях скрытых резервах для ее экономии. Тогда на основании обследований и последующего анализа состояния наружных ограждений, тепловыделяющего и теплопотребляющего оборудования составляют перечень мероприятий по сокращению теплозатрат на отопление зданий микрорайона.

В ходе обследования зданий устанавливают состояние оборудования ЦТП, внутриквартальных тепловых сетей, индивидуальных тепловых пунктов, тепловой изоляции в зданиях, их ограждающих конструкций (стен, окон, перекрытий), входных дверей и лестничных клеток.

При обследовании систем отопления зданий после их приведения в проектное состояние необходимо проверить:

исправность регулятора расхода теплоносителя на тепловом вводе;

состояние тепловой изоляции труб в технических подвалах и на чердаках;

размеры горловины и сопла элеватора;

исправность действия регулирующей арматуры у отопительных приборов;

наличие самовольно установленных жителями дополнительных отопительных приборов;

технические показатели циркуляционных насосов;

удаление воздуха из верхних магистралей и отопительных приборов;

плотность соединений в оборудовании, арматуре и фасонных частях труб;

уровень температуры возвращаемой из системы отопления воды (см. § 17.2):

наличие горизонтальной и вертикальной разрегулировки системы;

Электронная библиотека http://tgv.khstu.ru/

недогревание и перегревание отдельных помещений путем массового термографирования внутреннего воздуха в квартирах. При этом учитывают, что перерасход теплоты может сопровождаться сверхнормативным снижением температуры в отдельных помещениях, причинами чего может быть вертикальная и горизонтальная разрегулировка систем отопления.

Подтверждением эффективности мероприятий, проводимых эксплуатирующими организациями по сокращению бесполезных теплопотерь, служит последовательное сокращение фактических теплозатрат по сравнению с нормируемой теплоподачей на отопление зданий.

КОНТРОЛЬНЫЕ ЗАДАНИЯ И УПРАЖНЕНИЯ

1. Роль экономии теплоты на отопление зданий в решении Энергетической программы страны.

2. Какие градоустроительные приемы снижают затраты на отопление здания?

3. Как изменением объемно-планировочного решения здания можно сэкономить тепловую энергию?

4. Какими мерами можно уменьшить теплопотери через наружные стены, окна, перекрытия здания?

5. В чем смысл теплового экрана в наружном ограждении? Предложите возможные схемы решения.

6. В чем сущность оптимизации вариантов отопления здания с учетом эффективности системы?

7. Что такое АСУ теплового режима здания?

8. Изобразите принципиальные схемы регулирования температуры воды, поступающей в систему отопления «по возмущению» и «по отклонению».

9. Перечислите факторы, способствующие экономии теплоты при проведении прерывистого отопления зданий.

ГЛАВА 20. УТИЛИЗАЦИЯ ПРИРОДНОЙ И СБРОСНОЙ ТЕПЛОТЫ В СИСТЕМАХ ОТОПЛЕНИЯ

§ 20.1. Системы низкотемпературного отопления

Низкотемпературными называются системы отопления, температура теплоносителя на входе в которые не превышает 70 °С. В таких системах могут использоваться как традиционные, так и нетрадиционные теплоисточники, сре-

Электронная библиотека http://tgv.khstu.ru/

ди которых могут быть солнечная радиация, теплота уходящих газов и воздуха, низкопотенциальных сред (воды, воздуха).

Низкотемпературные системы отопления до сих пор широкого распространения не получили, несмотря на их экономические преимущества. Препятствием для распространения является увеличенный расход металла вследствие развития площади нагревательных поверхностей. В настоящее время ведутся экспериментальные разработки и в будущем следует ожидать расширения области применения таких систем.

Системы низкотемпературного отопления подразделяют в зависимости от способа нагревания теплоносителя на **однокомпонентные,** имеющие однотипные теплоприготовительные установки, и **комбинированные** (§ 18.4), имеющие две разнотипные теплоприготовительные установки (например, солнечная теплонасосная установка и электрический теплообменник).

Системы низкотемпературного отопления по виду применяемого теплоносителя могут быть водяными, паровыми и воздушными.

Низкотемпературные системы водяного отопления выполняют, как правило, насосными из-за незначительности действующего гравитационного давления. По своей конструкции они не отличаются от обычных систем водяного отопления. Из-за малого перепада температуры воды низкотемпературные системы водяного отопления устраивают, как правило, только двухтрубными и желательно с открытым расширительным баком, который хорошо изолируют и снабжают циркуляционной линией (см. рис. 6.21). При отсутствии чердака возможна также установка закрытого расширительного бака (см. рис. 6.22). Для удаления воздуха из систем с нижней разводкой предусматривают воздушную линию (см. рис. 6.5, *б*) или воздушные краны непосредственно у приборов (см. рис. 5.19).

При использовании нетрадиционных теплоисточников периодического действия (солнечная энергия, сбросная теплота технологического процесса) в систему низкотемпературного водяного отопления включают **теплоаккумуляторы** с жидкими и твердыми заполнителями, а также теплоаккумуляторы, использующие теплоту фазовых превращений, **или** термохимические. В теплоаккумуляторах с жидкими

Электронная библиотека http://tgv.khstu.ru/

и твердыми заполнителями (вода, незамерзающие жидкости — водный раствор этиленгликоля, глизантин, твердое тело — гравий и др.) теплота накапливается за счет теплоемкости материала заполнителя. В фазовых теплоаккумуляторах накопление теплоты происходит при плавлении или изменении кристаллической структуры заполнителя, а высвобождение — при его твердении. В термохимических аккумуляторах теплота накапливается при прохождении эндотермических реакций и высвобождается при экзотермических.

В систему низкотемпературного водяного отопления теплоаккумуляторы включают по зависимой (рис. 20.1) и независимой (рис. 20.2) схемам. Конструктивно теплоаккумуляторы выполняют в виде металлических емкостей, используя серийно выпускаемые аккумуляторы систем горячего водоснабжения или расширительные баки систем отопления.

В случае значительной сезонной неравномерности в поступлении теплоты от нетрадиционных теплоисточников (солнечная энергия, атмосферный воздух и др.) можно использовать грунтовые, скальные **сезонные теплоаккумуляторы**, подземные озера. Грунтовые теплоаккумуляторы устраивают путем закладки в грунт горизонтальных трубных регистров с шагом труб 1,5—2 м. В скальный массив теплоту подают по трубам в скважины, пробуренные вертикально или наклонно на глубину 10—50 м. В подземные озера или заполненные водой горные выработки теплоту подают через гладкотрубные регистры, помещаемые на дне, а отбирают через аналогичные по конструкции теплообменники вблизи поверхности.

В **системах низкотемпературного парового отопления** используют теплоту конденсации паров теплоносителя, что, как известно, способствует уменьшению площади отопительных приборов.

В квартирной системе отопления с одним отопительным прибором возможно использование его в качестве конденсатора теплового насоса (рис. 20.3), что уменьшает бесполезные теплопотери.

С увеличением тепловой мощности системы и числа отопительных приборов (особенно отключаемых) затрудняется отвод конденсата. В качестве теплоносителя используют пары низкокипящих жидкостей, так как при водяном паре

Электронная библиотека http://tgv.khstu.ru/

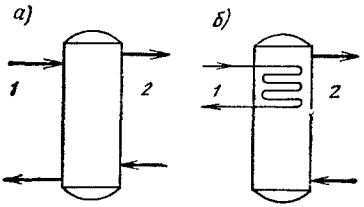

Рис. 20.1. Зависимое включение теплоаккумулятора в контур системы отопления с зависимым подключением греющего контура (*а*) и с независимым (*б*)

1 — греющий контур; *2* — контур системы отопления

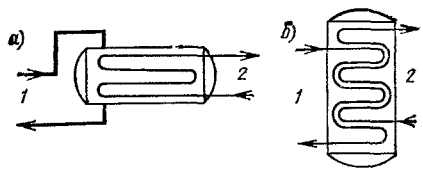

Рис. 20.2. Независимое включение теплоаккумулятора в контур системы отопления с зависимым подключением греющего контура (*а*) и с независимым (*б*)

1 — греющий контур; *2* — контур системы отопления

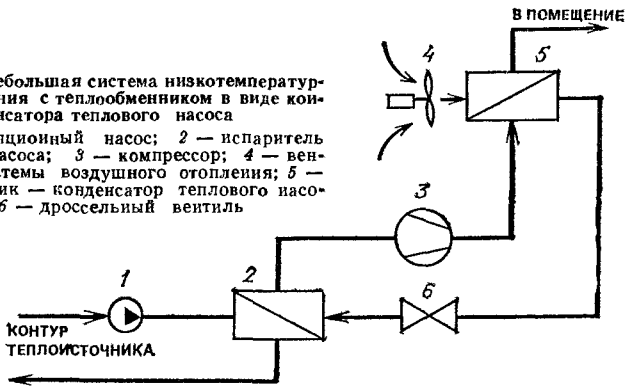

Рис. 20.3. Небольшая система низкотемпературного отопления с теплообменником в виде конденсатора теплового насоса

1 — циркуляционный насос; *2* — испаритель теплового насоса; *3* — компрессор; *4* — вентилятор системы воздушного отопления; *5* — теплообменник — конденсатор теплового насоса; *6* — дроссельный вентиль

и средней температуре 30 °С давление в системе потребовалось бы снизить до 0,0043 МПа, что технически сложно. Используют пары хладонов, теплофизические свойства которых приведены в табл. 20.2, особенно хладона *R*114, который не горюч, не взрывоопасен, не ядовит и не имеет запаха. Низкая температура твердения хладонов исключает замерзание теплоносителя в системе. Кроме того, хладон *R*114 химически устойчив и не вызывает коррозии металлов.

В низкотемпературных системах парового отопления регулирование теплоотдачи приборов осуществляют воздействием на давление пара, причем расчет ведется на дав-

Электронная библиотека http://tgv.khstu.ru/

ление, соответствующее максимально возможной температуре.

Конденсат из приборов без конденсатоотводчиков самотеком возвращается в испаритель под воздействием подпора в мокрых конденсатопроводах.

Низкотемпературные системы парового отопления устраивают двухтрубными горизонтальными и вертикальными, с верхней и нижней разводками (см. § 9.1).

Принцип присоединения приборов в горизонтальной системе представлен на рис. 20.4. Для регулирования теплоотдачи отопительных приборов применяют паровые мембранные или игольчатые вентили.

Применение **низкотемпературных систем воздушного отопления** малоэффективно при незначительном перепаде температуры теплоносителя, который к тому же обладает малой теплоемкостью. Для одинаковой теплопередачи площадь теплообмена приходится увеличивать в 2—2,5 раза по сравнению с традиционными системами. Поэтому низкотемпературные системы воздушного отопления применяют только с искусственным побуждением движения воздуха и при малых мощности и протяженности систем. Их используют в основном *для отопления одноквартирных домов*, причем устраивают централизованное или местное нагревание воздуха для групп помещений или одного большого помещения

При малом перепаде температуры воздуха основным способом регулирования теплоподачи в помещение является количественное регулирование. В системах низкотемпературного воздушного отопления применяют теплоаккумуляторы с твердыми заполнителями — гравием или галькой, обращая серьезное внимание на их антисептическую обработку, предотвращающую развитие микробов на их поверхности. В настоящее время ведутся экспериментальные разработки по применению в системах низкотемпературного воздушного отопления теплоаккумулирующих насадок, использующих теплоту фазовых переходов, что значительно сократит объем теплоаккумулятора, и в будущем следует ожидать расширения области применения таких теплоаккумуляторов.

В том случае, если температура теплоисточника ниже температуры обслуживаемого помещения, а также для снижения расхода металла на нагревательные поверхно-

Электронная библиотека http://tgv.khstu.ru/

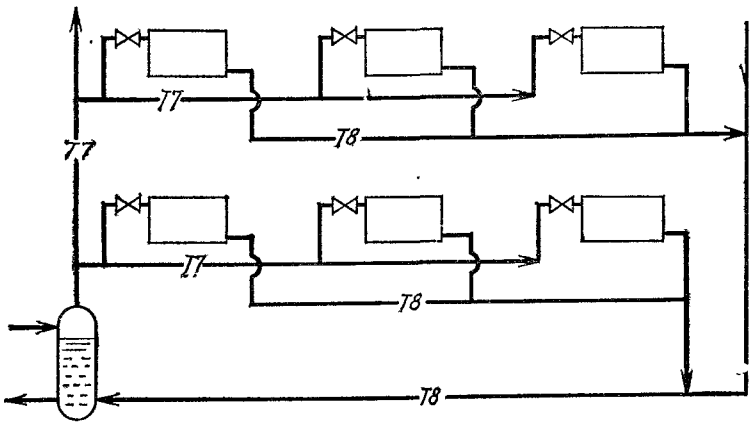

Рис. 20.4. Горизонтальная двухтрубная низкотемпературная система парового отопления

сти, в низкотемпературные системы отопления включают **тепловой насос.** Применяют тепловые насосы практически всех типов (см. §§ 14.4 и 19.2), однако наибольшее распространение получили компрессионные тепловые насосы, работающие на хладонах *R*12, *R*114, РС 318, что позволяет получить температуру конденсации 60—80 °С. Для получения более высокой температуры используют смеси хладонов *R*12/*R*11, *R*12/*R*113, *R*22/*R*114.

При использовании в низкотемпературных системах отопления с тепловыми насосами теплоисточников периодического действия теплоаккумуляторы устанавливают, как правило, в контур испарителя теплового насоса, что стабилизирует температуру испарения и способствует более эффективной работе теплового насоса. Тепловую мощность системы при этом регулируют, изменяя теплоотдачу теплового насоса. В системах, работающих от теплоисточников со стабильными параметрами (геотермальные воды), теплоаккумуляторы устанавливают в контуре конденсатора теплового насоса.

Использование того или иного теплоисточника вносит специфику в конструкцию низкотемпературных систем отопления. В связи с этим рассмотрим подробнее особенности использования наиболее распространенных нетра-

Электронная библиотека http://tgv.khstu.ru/

диционных и главным образом возобновляемых источников тепловой энергии, учитывая расширение в будущем области их применения.

§ 20.2. Системы солнечного отопления

Системами солнечного отопления называются системы, использующие в качестве теплоисточника энергию солнечной радиации. Их характерным отличием от других систем низкотемпературного отопления является применение специального элемента — гелиоприемника, предназначенного для улавливания солнечной радиации и преобразования ее в тепловую энергию.

По способу использования солнечной радиации системы солнечного низкотемпературного отопления подразделяют на пассивные и активные.

Пассивными называются системы солнечного отопления, в которых в качестве элемента, воспринимающего солнечную радиацию и преобразующего ее в теплоту, служат само здание или его отдельные ограждения (здание — коллектор, стена — коллектор — рис. 20.5, кровля — коллектор и т. п.).

В пассивной системе солнечного низкотемпературного отопления «*здание — коллектор*» солнечная радиация, проникая через световые проемы в помещение, попадает как бы в тепловую ловушку. Коротковолновое солнечное излучение свободно проходит через оконное стекло (коэффициент пропускания 0,85—1,0) и, попадая на внутренние ограждения помещения и мебель, преобразуется в теплоту. Температура поверхностей повышается, и теплота отдается воздуху и необлученным поверхностям помещения конвекцией и излучением. Собственное излучение поверхностей при этом происходит в длинноволновом диапазоне и плохо пропускается оконным стеклом (коэффициент пропускания 0,1—0,15), которое отражает его внутрь помещения. Таким образом, почти вся солнечная радиация, попавшая в помещение, преобразуется в нем в теплоту и способна частично или полностью (в зависимости от географических и климатических условий, архитектурно-планировочных решений) компенсировать его тепловые потери. Массивные внутренние ограждения способны аккумулировать часть теплоты, образовавшейся на их поверхности, и отдавать ее

Электронная библиотека http://tgv.khstu.ru/

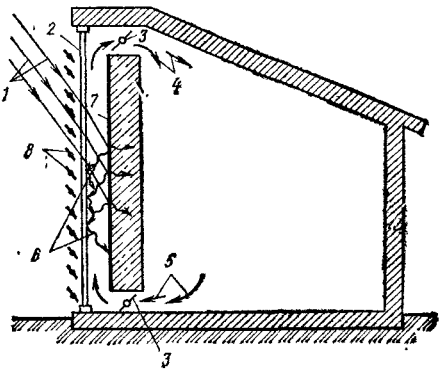

Рис. 20.5. Пассивная низкотемпературная система солнечного отопления «стена — коллектор»

1 — солнечные лучи; *2* — лучепрозрачный экран; *3* — воздушная заслонка; *4* — нагретый воздух, подаваемый в помещение; *5* — охлажденный воздух из помещения; *6* — собственное длинноволновое тепловое излучение массива стены; *7* — черная лучевоспринимающая поверхность стены; *8* — жалюзи

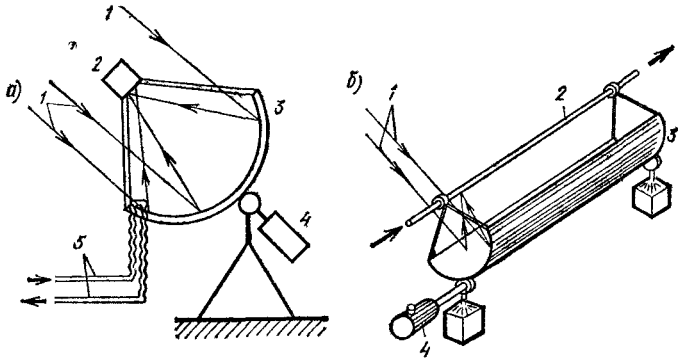

Рис. 20.6. Концентрирующие гелиоприемники

а — параболический концентратор; *б* — параболоцилиндрический концентратор; *1* — солнечные лучи; *2* — тепловоспринимающий элемент (солнечный котел); *3* — зеркало; *4* — механизм привода системы слежения; *5* — трубопроводы, подводящие и отводящие теплоноситель

помещению постепенно, даже спустя 6—8 ч после прекращения воздействия на них солнечной радиации.

Для повышения эффективности работы системы «здание — коллектор» световые проемы большой площади помещают на южном фасаде, снабжая их жалюзи, которые при закрытии должны препятствовать в темное время суток потерям с противоизлучением, а в жарский период в сочетании с другими солнцезащитными устройствами — перегреву помещения. Внутренние поверхности окрашивают в темные тона.

Электронная библиотека http://tgv.khstu.ru/

Задачей расчета при данном способе обогрева является определение минимально необходимой площади световых проемов для пропускания в помещение потока солнечной радиации, необходимого с учетом аккумулирования для компенсации тепловых потерь. Как правило, мощности пассивной системы «здание — коллектор» (особенно в холодный период) оказывается недостаточно, и в здании устанавливают дополнительный традиционный или нетрадиционный теплоисточник, превращая систему в комбинированную (см. § 20.1). Расчетом при этом определяют экономически целесообразные площади световых проемов и мощность дополнительного теплоисточника.

Пассивная солнечная система воздушного низкотемпературного отопления *«стена — коллектор»* включает массивную наружную стену, перед которой на небольшом расстоянии устанавливают лучепрозрачный экран с жалюзи. У пола и под потолком в стене устраивают щелевидные отверстия с клапанами. Солнечные лучи, пройдя через лучепрозрачный экран, поглощаются поверхностью массивной стены и преобразуются в теплоту, которая конвекцией передается воздуху, находящемуся в пространстве между экраном и стеной. Воздух нагревается и поднимается вверх, попадая через щелевое отверстие под потолком в обслуживаемое помещение, а его место занимает остывший воздух из помещения, проникающий в пространство между стеной и экраном через щелевое отверстие у пола помещения. Подачу нагретого воздуха в помещение регулируют открытием клапана. Если клапан закрыт, происходит аккумуляция теплоты массивом стены. Эту теплоту можно отобрать конвективным потоком воздуха, открывая клапан в ночное время или в пасмурную погоду.

При расчете системы пассивного низкотемпературного солнечного воздушного отопления со стеной — коллектором определяют необходимую площадь поверхности стены. Саму стену — коллектор рассчитывают обычно как вентилируемую воздушную прослойку с лучепрозрачным экраном. Данную систему, как правило, дублируют дополнительным источником теплоты.

Активными называются системы солнечного низкотемпературного отопления, в которых гелиоприемник (в отличие от пассивных систем) является самостоятельным отдельным устройством, не относящимся к зданию. В на-

Электронная библиотека http://tgv.khstu.ru/

стоящее время для активных систем солнечного отопления применяют гелиоприемники двух типов: концентрирующие и плоские.

Концентрирующие гелиоприемники представляют собой сферические или параболические зеркала, параболоцилиндры (рис. 20.6), выполненные из полированного металла, в фокус которых помещают тепловоспринимающий элемент (солнечный котел), заполненный теплоносителем. В качестве теплоносителя используют воду или незамерзающие жидкости. При использовании в качестве теплоносителя воды в ночные часы и в холодный период систему обязательно опорожняют для предотвращения ее замерзания.

Для обеспечения высокой эффективности процесса улавливания и преобразования солнечной радиации концентрирующий гелиоприемник должен быть постоянно направлен строго на Солнце. С этой целью гелиоприемник снабжают системой слежения, включающей датчик направления на Солнце, электронный блок преобразования сигналов, электродвигатель с редуктором для поворота конструкции гелиоприемника в двух плоскостях.

На рис. 20.7 представлена принципиальная схема жидкостной комбинированной двухконтурной низкотемпературной системы солнечного отопления с параболоцилиндрическим концентратором и жидкостным теплоаккумулятором. В контуре гелиоприемника в качестве теплоносителя применен антифриз, а в контуре системы отопления — вода.

Преимуществом систем с концентрирующими гелиоприемниками является способность выработки теплоты с относительно высокой температурой (40—80 °С) и даже пара. К недостаткам следует отнести высокую стоимость конструкции, работу только в светлое время суток, а следовательно, потребность в аккумуляторах большого объема, большие энергозатраты на привод системы слежения за ходом Солнца, соизмеримые с вырабатываемой энергией. Эти недостатки сдерживают широкое применение активных низкотемпературных систем солнечного отопления с концентрирующими гелиоприемниками. В последнее время наиболее часто для солнечных низкотемпературных систем отопления применяют плоские гелиоприемники.

Плоские гелиоприемники бывают двух видов: плоские коллекторы и плоские абсорберы.

Плоские коллекторы (рис. 20.8) изготовляют в виде плас-

Электронная библиотека http://tgv.khstu.ru/

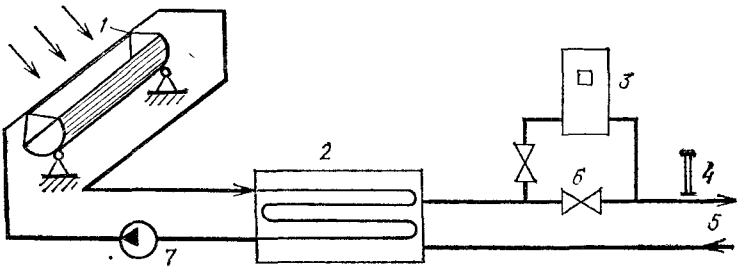

Рис. 20.7. Жидкостная комбинированная двухконтурная низкотемпературная система отопления с параболоцилиндрическим концентратором и жидкостным теплоаккумулятором

1 — параболоцилиндрический концентратор; *2* — жидкостный теплоаккумулятор; *3* — дополнительный теплоисточник; *4* — термометр; *5* — контур системы отопления; *6* — регулирующий вентиль; *7* — циркуляционный насос

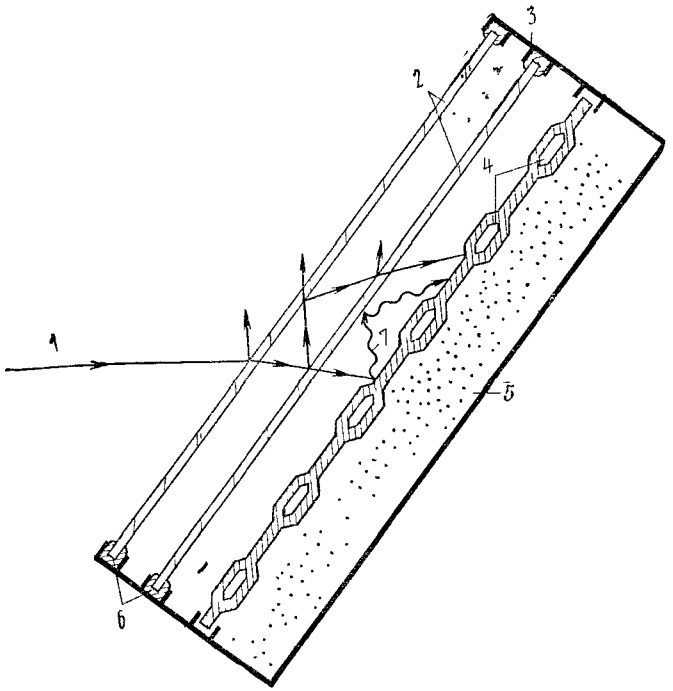

Рис. 20.8. Плоский солнечный коллектор

1 — солнечные лучи; *2* — остекление; *3* — корпус; *4* — тепловоспринимающая пластина; *5* — теплоизоляция; *6* — уплотнение; *7* — собственное длинноволновое излучение тепловоспринимающей пластины

Электронная библиотека http://tgv.khstu.ru/

тины с каналами для транспорта теплоносителя, помещаемой в металлический или пластмассовый корпус, которую для предотвращения собственного длинноволнового излучения в окружающее пространство, а также для снижения конвективных теплопотерь покрывают с наружной стороны одним или несколькими слоями остекления на расстоянии 30—50 мм от пластины и между слоями, а с обратной стороны теплоизолируют. В качестве теплоносителя используют воду, антифризы (§ 20.1), воздух. Выпускаемые в нашей стране коллекторы размером 1450×700 мм обладают достаточно высокой мгновенной эффективностью ($\eta_{мгн}$=0,9), т. е. отношением падающей на поверхность гелиоприемника солнечной радиации к полезно усвоенной теплоте, но относительно низкой суточной ($\eta_{с\,ут}$=0,5) и годовой ($\eta_{год}$=0,25) эффективностью.

Для лучшего поглощения солнечной радиации коллекторы устанавливают зимой под углом 80—90° к горизонту, летом — 20—30°, а при круглогодичной эксплуатации под углом, равным широте местности, на кровле здания или рядом с ним. Коллекторы позволяют нагревать теплоноситель максимально до 90 °С.

Для повышения эффективности коллекторов поверхность теплопоглощающей пластины покрывают спектрально-селективными слоями, хорошо пропускающими коротковолновое излучение и препятствующими собственному длинноволновому излучению, а также вакуумируют межстекольное пространство.

На рис. 20.9 представлена принципиальная схема водяной низкотемпературной системы солнечного отопления с солнечными коллекторами, в которой предусмотрен автоматический дренаж коллекторов при прекращении воздействия солнечной радиации.

В условиях СССР применение системы отопления с солнечными коллекторами, рассчитанной на покрытие теплопотребления в течение всего отопительного сезона на основе существующих схем, экономически невыгодно. Поэтому такие системы дублируют традиционными теплоисточниками, а также включают в схему системы тепловой насос (рис. 20.10). На долю гелиоконтура оставляют примерно 30—50% теплопотребностей обслуживаемого объекта.

Плоские абсорберы (в отличие от плоских коллекторов) не имеют остекления, а часто и теплоизоляции с обратной

Электронная библиотека http://tgv.khstu.ru/

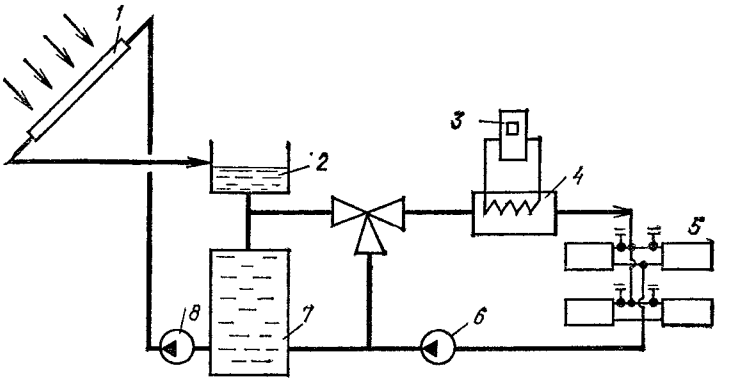

Рис. 20.9. Схема водяной низкотемпературной системы солнечного отопления с плоскими коллекторами и их автоматическим дренажем при прекращении циркуляции

1 — солнечные плоские коллекторы; *2* — расширительный бак; *3* — дополнительный теплоисточник; *4* — теплообменник; *5* — отопительные приборы; *6*, *8* — циркуляционные насосы; *7* — бак-теплоаккумулятор

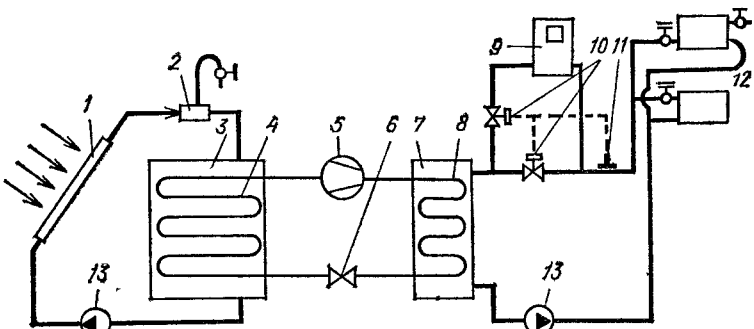

Рис. 20.10. Жидкостная двухконтурная комбинированная низкотемпературная система солнечного отопления с плоскими коллекторами, тепловым насосом и двумя жидкостными теплоаккумуляторами

1 — солнечные коллекторы; *2* — воздухосборник; *3* — низкотемпературный жидкостный теплоаккумулятор; *4* — испаритель теплового насоса; *5* — компрессор; *6* — дроссельный вентиль; *7* — высокотемпературный жидкостной теплоаккумулятор; *8* — конденсатор теплового насоса. *9* — дополнительный теплоисточник; *10* — магнитный вентиль; *11* — датчик температуры; *12* — отопительные приборы; *13* — циркуляционный насос

Электронная библиотека http://tgv.khstu.ru/

стороны. В них подают теплоноситель с температурой на 3—5° ниже температуры окружающего воздуха. За счет этого не только сводятся к минимуму бесполезные потери теплоты в окружающую среду, но и дополнительно усваивается теплота атмосферного воздуха, осадков, а также фазовых превращений при конденсации и инееобразовании на поверхности абсорбера. Это дополнительное количество теплоты, например для условий Москвы, примерно равно количеству теплоты, получаемому от солнечной радиации.

В качестве абсорберов используют различные конструкции типа лист-труба, штампованные алюминиевые или стальные радиаторы (например, типа РСВ). Теплоносителем для них служит глизантин (см. § 20.1). Плоские абсорберы в 5 раз легче и в 8 раз дешевле коллекторов. Они обладают более высокой суточной ($\eta_{с\,ут}=0,7$) и годовой ($\eta_{год}=0,85$) эффективностью, не требуют очистки от пыли.

В зарубежной практике абсорберы широко используют в качестве элементов наружных ограждений — покрытия кровли, облицовки фасадов, балконных ограждений, элементов ограды. Абсорберы устанавливают под углом, близким к 90°, к горизонту, так как максимум теплопотребления приходится на зимние месяцы. Вертикальное положение способствует также удалению конденсата, инея и снега с их поверхности.

Единственным недостатком абсорберов является низкий уровень температуры нагреваемого теплоносителя, что требует при их применении обязательного включения в схему системы отопления теплового насоса (рис. 20.11).

Регулирование тепловой мощности систем солнечного низкотемпературного отопления с плоскими абсорберами и тепловым насосом осуществляют отключением части абсорберов или части цилиндров компрессора, дросселированием потока хладагента (при применении регулируемого дроссельного вентиля), сбросом избыточной теплоты в теплоаккумуляторы.

§ 20.3. Системы геотермального отопления

В качестве теплоисточника низкотемпературных систем отопления может использоваться теплота подземных нагретых вод или горных пород. Такое отопление называют геотермальным.

Электронная библиотека http://tgv.khstu.ru/

Наша страна имеет большие запасы геотермальных вод, температура которых значительно выше температуры воздуха. Вместе с тем геотермальные воды содержат большое количество растворенных минеральных солей, вызывающих коррозию металлов, а также зарастание труб и аппаратов, что обусловливает особенности конструирования и эксплуатации систем отопления, использующих такую воду.

По степени минерализации геотермальные воды разделяют на две группы: с низкой минерализацией (до 10 г/л) и высокой (свыше 10 г/л). По данным специалистов, запасы нагретых вод оцениваются как эквивалентные в год 4—5 млн. тонн условного топлива (т у.т.) при фонтанной добыче, 30—40 — при насосном водозаборе и 130—140 млн. т у.т. при возвращении отработавшей воды для поддержания внутрипластового давления.

При подаче геотермальной нагретой воды из скважины в тепловую сеть системы отопления присоединяют к сети в основном по двум схемам — зависимой и независимой. Независимую схему присоединения применяют при высокой степени минерализации геотермальной воды, при этом качество геотермальной воды не влияет на выбор и эксплуатацию систем отопления.

Геотермальные воды со степенью минерализации до 10 г/л можно использовать непосредственно в системах отопления и горячего водоснабжения. В этом случае системы отопления присоединяют к тепловым сетям геотермальных вод по зависимой схеме с центральным регулированием температуры воды, а также со смешением в тепловых пунктах зданий, если температура воды в сети выше, чем требуется для системы отопления. Охлажденную в системах отопления воду, как правило, сбрасывают или закачивают обратно в пласт.

При зависимом присоединении систем отопления к сетям геотермального теплоснабжения срок их службы снижается до 15 лет. Учитывая образование накипи, рекомендуется при расчете принимать заниженные на 30% коэффициенты теплопередачи отопительных приборов и труб.

Если температура геотермальной воды недостаточна для нагревания воды в системе отопления, то систему низкотемпературного отопления устраивают комбинированной (§ 20.1). При этом дополнительное «пиковое» нагревание используют как в геотермальной теплосети, так и непосред-

Электронная библиотека http://tgv.khstu.ru/

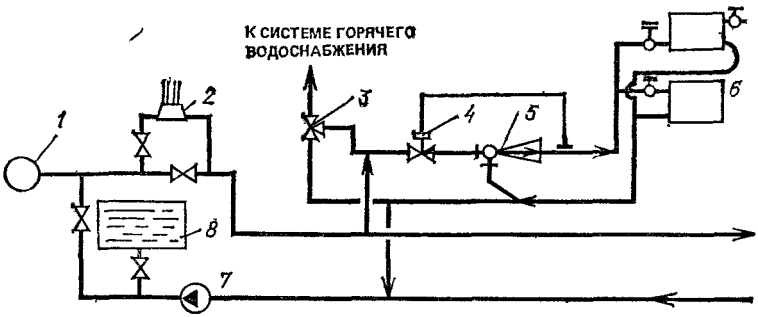

Рис. 20.11. Бесслнвная комбнннрованная геотермальная система теплоснабжения с «пиковым» догревом

1 — скважина; *2* — дополнительный теплоисточнпк (котельная); *3* — смесительный вентиль; *4* — регулятор температуры; *5* — водоструйный элеватор; *6* — отопительные приборы; *7* — циркуляционный насос; *8* — бак-аккумулятор отработавшей воды

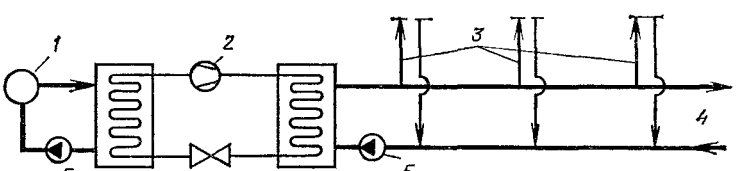

Рис 20.12. Схема геотермальной теплосети с централизованным повышением температуры теплоносителя с помощью теплового насоса и закачкой отработавшей воды в пласт

1 — скважина; *2* — тепловой насос; *3* — потребители теплоты; *4* — геотермальная теплосеть; *5* — циркуляционные насосы

ственно в системе отопления. Дополнительное нагревание геотермальных вод осуществляют в периодически действующих паровых котлах с пароводяными теплообменниками, в водогрейных котлах, электрических теплообменниках.

Наиболее экономична бесслнвная система теплоснабжения с геотермальными водами и «пиковым» догреванием (рис. 20.11). В систему включен бак-аккумулятор отработавшей воды, откуда она забирается для смешения с горячей водой при центральном регулировании температуры. Вместимость бака-аккумулятора устанавливается в зависимости от дебита скважины, температуры нагретой геотермальной воды, требуемой температуры воды в подающем трубопроводе системы отопления. Баки-аккумуляторы выполняют в виде железобетонных резервуаров, заглубленных в землю.

Электронная библиотека http://tgv.khstu.ru/

Повышение температуры геотермальных вод с помощью тепловых насосов (§§ 14.4, 19.2 и 20.1) возможно по двум схемам: централизованного повышения температуры воды для всей геотермальной теплосети (рис. 20.12) и местного повышения температуры воды для отдельных потребителей. Вторую схему применяют обычно при присоединении к тепловой сети различных по назначению и параметрам систем (например, когда температура геотермальных вод достаточна для системы горячего водоснабжения, но недостаточна для системы отопления).

Работа тепловых насосов на геотермальной воде высоко эффективна, так как температура нагретых вод постоянна в течение всего отопительного сезона. Регулирование тепловой мощности, а также температуры нагретой воды может осуществляться дроссельным вентилем теплового насоса путем подмешивания обратной воды из системы отопления к подаваемой и ступенчатого отключения групп цилиндров у компрессора теплового насоса.

§ 20.4. Системы отопления с использованием сбросной теплоты

Сбросной называют теплоту, отводимую в атмосферу или водоемы от различных технологических установок. При ежегодном потреблении в нашей стране около 2 млрд. т у.т. сбрасывается до 1,5 млрд. ГДж теплоты. Использование этого колоссального количества теплоты экономически выгодно, так как капитальные затраты на утилизацию значительно меньше, чем на выработку такого же количества теплоты.

Источником сбросной теплоты (ее относят к так называемым ВЭР — вторичным энергоресурсам) могут быть:

1) отработавший («мятый») пар;

2) сбросная вода, использованная для охлаждения машин, рабочих тел, промывки продукции и т. п.;

3) уходящие газы технологического топливоиспользующего оборудования, удаляемый нагретый воздух;

При использовании теплоты **отработавшего пара** применяют системы парового, водяного и воздушного отопления.

Сбросную воду в качестве теплоисточника для систем водяного отопления используют по двум схемам:

Электронная библиотека http://tgv.khstu.ru/

а) по зависимой или независимой схеме, когда нагретая сбросная вода подается непосредственно в систему отопления (см. рис. 6.1, *г*) или отдает свою теплоту в теплообменнике воде системы отопления (см. рис. 6.1, *б*);

б) по схеме с дополнительным нагреванием с помощью теплового насоса, если температура воды недостаточна для непосредственного использования в системе отопления (§ 20.1).

Теплота **уходящих газов** может использоваться в газоводяных теплообменниках-экономайзерах для нагревания воды системы отопления или ее предварительного подогрева, а также в газовоздушных теплообменниках для подогрева наружного воздуха, поступающего к воздушно-отопительным агрегатам.

Перспективным считают использование теплообменников-утилизаторов с промежуточным теплоносителем, изменяющим свое агрегатное состояние, так называемых термосифонов. В качестве промежуточного теплоносителя можно применить низкокипящие жидкости (хладоны) (§ 20.1). Преимущества таких систем — отсутствие перекачивающих насосов и незамерзаемость теплоносителя.

В теплообменнике, находящемся в потоке удаляемого воздуха, будет происходить вскипание хладона, пары которого будут подниматься в теплообменник предварительного нагревания воздуха для системы воздушного отопления, где будут происходить их конденсация и отбор теплоты. Конденсат самотеком будет возвращаться в теплообменник-испаритель. В настоящее время такие системы находятся в стадии разработки.

КОНТРОЛЬНЫЕ ЗАДАНИЯ И УПРАЖНЕНИЯ

1. Определите место установки теплоаккумулятора в схеме системы низкотемпературного отопления с тепловым насосом при использовании теплоисточников периодического действия и со стабильными параметрами.

2. Выберите тип низкотемпературной системы отопления для случая, когда мощность нетрадиционного теплоисточника при низкой температуре наружного воздуха недостаточна и требуется дополнительное («пиковое») догревание теплоносителя.

3. Перечислите способы повышения эффективности пассивной солнечной низкотемпературной системы отопления «здание-коллектор».

Электронная библиотека http://tgv.khstu.ru/

Приложение 1

Показатели для расчета топливников отопительных печей

Вид топлива	Низшая теплота сгорания $Q_н^р$, кДж/кг	Плотность топлива ρ, кг/м³	Температура горения t, °С	Удельное напряжение колосниковой решетки $B_р$, кг/(ч·м²)	Толщина слоя топлива $h_{сл}$, м	Объем воздуха, практически необходимый для сжигания 1 кг топлива, $L_о$, м³/кг	Наименьшая высота над слоем топлива, м	Проезоры в колосниках, %	Удельное тепловое напряжение объема топливника $Q_т/V_т$, Вт/м³
Дрова влажностью:									
25%	12 600	400	1000	250	0,25—0,35 *	10	0,25—0,45 *	25	405 000
50%	7550	540	800	200	0,35—0,55	11	0,35—0,45	25	350 000
Торфяные брикеты	16 800	250	1000	200	0,25	11	0,25—0,35	25	440 000
Торф воздушной сушки	12 600	400	970	180	0,20—0,30	10	0,35—0,50	20	440 000
Уголь:									
подмосковный	12 600	700	900	70	0,09—0,15	12	0,40—0,50	35	440 000
бурый	21 000	750	1100	85	0,09—0,20	12	0,30—0,40	30	465 000
каменный (жирный)	25 200—29 400	800—900	1100	70	0,10—0,20	17	0,30—0,40	30	520 000
Кокс:									
каменноугольный	27 200	400	1200	90—110	0,15—0,30	16	0,20—0,40	10—20	—
торфяной	29 300	300	1100	—	0,20	17	—	—	—
Нефтяные остатки	41 900	900	1500	—	—	16	—	—	—
Антрацит	30 600	1000	1300	60	0,15—0,25	17	0,20	40	555 000
Солома разная	10 500—12 600	100—120	800	—	0,25—0,40	10	0,50—0,70	18—20	405 000
Лузга подсолнечная	12 600	100	800	—	—	10	0,35—0,40	50	405 000
Стержни кукурузные	8400	—	—	67—70	—	—	—	—	350 000
Горючие сланцы	11 300	600	1000	70	0,15—0,20	12	0,40—0,80	50	290 000

* Толщина слоя топлива при $Q_н^р > 12\,600$ кДж/кг.

Электронная библиотека http://tgv.khstu.ru/

Приложение 2

Показатели для расчета газоходов отопительных печей

Вид топлива	Плотность теплового потока q, Вт/м², температура $t_г$, °С, скорость $v_г$, м/с, движения газов								
	топливник	колпак	первый газоход $v_г = 1{,}5—4$ м/с		промежуточные газоходы, $v_г = 0{,}5—2$ м/с		последний газоход, $v_г = 1{,}5—2$ м/с		дымовая труба, $v_г \leqslant 2$ м/с
	$q_т$	$q_к$	q_1	t_1	$q_{пр}$	$t_{пр}$	$q_{посл}$	$t_{посл}$	$t_{д.т}$
Дрова влажностью 25%	7000	3500	5200	700	2670	500	2670	160	130
Торф:									
кусковой	6400	3250	4650	550	2300	350	2300	150	130
брикетный	7000	3250	4850	600	2550	400	2550	160	130
Уголь:									
подмосковный	5800	2900	4050	500	2300	320	2300	140	120
бурый	5800	2900	4050	550	2300	350	2300	140	120
каменный	6400	3250	4650	480	2300	300	2300	120	110
антрацит	5200	2900	3700	500	2300	320	2300	120	110

Электронная библиотека http://tgv.khstu.ru/

СПИСОК ЛИТЕРАТУРЫ

Андреевский А. К. Отопление: Учеб. пособие для вузов.— 2-е изд.— Минск: Высш. шк., 1982.— 432 с.

Богословский В. Н. Строительная теплофизика: Учеб. для вузов.— 2-е изд.— М.: Высш. шк., 1982.— 415 с.

Богуславский Л. Д. и др. Экономика теплогазоснабжения и вентиляции: Учеб. для вузов.— 3-е изд.— М.: Стройиздат, 1988.— 351 с.

Грудзинский М. М., Ливчак В. И., Поз М. Я. Отопительно-вентиляционные системы зданий повышенной этажности.— М.: Стройиздат, 1982.— 256 с.

Ионин А. А. и др. Теплоснабжение: Учеб. для вузов.— М.: Стройиздат, 1982.— 336 с.

Калмаков А. А. и др. Автоматика и автоматизация систем теплогазоснабжении и вентиляции: Учеб. для вузов/Под ред. В. Н. Богословского.— М.: Стройиздат, 1986.— 479 с.

Крафт Г. Системы низкотемпературного отопления / Пер. с нем.— М.: Стройиздат, 1983.— 108 с.

Ливчак И. Ф. Квартирное отопление.— М. Стройиздат. 1982.— 240 с.

Мачкаши А., Баихнди Л. Лучистое отопление / Пер. с венг.— М.: Стройиздат, 1985.— 464 с.

Одельский Э. Х. и др. Методика и примеры расчета на ЭВМ систем центрального отопления: Учеб. пособие для вузов.— Минск: Высш шк , 1979.— 304 с.

Родин А. К. Газовое лучистое отопление.— Л.: Недра, 1987.— 127 с.

Сборник задач по расчету систем кондиционирования микроклимата здания / Под ред. Э. В. Сазонова. Учеб. пособие для вузов.— Воронеж: изд. ВГУ, 1988.— 296 с.

Селиванов Н. П. и др. Энергоактивные здания.— М.: Стройиздат, 1988.— 376 с.

Сканави А. Н. Отопление: Учеб. для техникумов.— М.: Стройиздат, 1988.— 416 с.

Сканави А. Н. Конструирование и расчет систем водяного и воздушного отопления зданий.— М.: Стройиздат, 1983.— 304 с.

Соснин Ю. П., Бухаркин Е. Н. Бытовые печи, камины и водонагреватели.— М.: Стройиздат, 1989.— 512 с.

Справочник проектировщика. Внутренние санитарно-технические устройства. Ч. I. Отопление / Под ред. И. Г. Староверова и Ю. И. Шиллера.— М.: Стройиздат, 1990.

Ткачук А. Я. Проектирование систем водяного отопления.— Киев: Вища школа, 1989.

Туркин В. П. и др. Автоматическое управление отоплением жилых зданий.— М.: Стройиздат, 1987.— 192 с.

Хайнрих Г. и др. Теплонасосные установки для отопления и горячего водоснабжения / Пер. с нем.— М.: Стройиздат, 1985.— 351 с.

Чистович С. А. и др. Автоматизированные системы теплоснабжения и отопления.— Л.: Стройиздат, 1987.— 250 с.

Эффективные системы отопления зданий / В. Е. Минин, В. К. Анерьянов, Е. А. Белинкий и др.— Л.: Стройиздат, 1988.— 216 с.

Электронная библиотека http://tgv.khstu.ru/

ПРЕДМЕТНЫЙ УКАЗАТЕЛЬ

А

Автоматизация подпитки системы водяного отопления 229, 250
— работы отопительного агрегата 445
— — системы отопления 649, 692
— регулирования температуры воды, поступающей в систему отопления 229, 241, 246
Агрегат отопительный 435
Аккумулятор теплоты 704—706
Амортизатор виброизолирующий 210
Амплитуда колебания температуры воздуха в помещении 75, 559, 563
Арматура запорно-регулирующая 192, 198, 199

Б

Бак конденсатный 208, 393, 399
— расширительный 214, 221, 248, 249
— — закрытый 252—254
— — открытый 207, 229, 250—252
— сепаратор 399, 400
Баланс тепловой помещения 85, 86

В

Ветвь системы отопления 173, 182
Виды систем водяного отопления 26—28
— — воздушного отопления 30
— — парового отопления 28, 29
— отопительных приборов 126, 494
Вода геотермальная 717
— как теплоноситель 22, 25
Водонагреватель газовый 570
Водоотделитель 394
Воздух атмосферный как теплоноситель 22, 26
Воздухонагреватель рециркуляционный 435, 447
Воздухоотводчик (вантуз) 204, 205
Воздухопроницаемость ограждений здания 60
Воздухораспределитель 459, 461
Воздухосборник 204, 205
Вставка виброизолирующая 210, 239, 240
Выбор отопительных приборов 118, 137
— системы отопления 120, 621—623
— циркуляционного насоса 236—239

Г

Газоходы отопительных печей 540, 541
Газы в системе водяного отопления 200—204
— дымовые как теплоноситель 21, 22
Гелиоприемник 713—715
Гладкотрубный отопительный прибор 132—133
Горелка инфракрасного излучения 578

Д

Давление гидравлическое в системе водяного отопления 269, 270
— естественное циркуляционное 276
— — —в однотрубной системе водяного отопления вертикальной 304, 310, 312
— — — — — — — горизонтальной 316
— — — в двухтрубной системе водяного отопления 314
— — — при охлаждении воды в малом кольце 309
— — — — — — в отопительных приборах 307, 308, 314
— — — — — — в теплопроводах 302, 303
— воздуха в здании избыточное 104
— пара начальное 29, 404, 405
— рабочее 125, 136
— циркуляционное насосное 234—236

Электронная библиотека http://tgv.khstu.ru/

— — располагаемое 336
— — расчетное 318, 319
Дальнобойность воздушной струи 440, 443
Динамика давления в системе водяного отопления без расширительного бака 291—293
— — — — — с двумя расширительными баками 294—300
— — — — — с расширительным баком гравитационной 273—276
— — — — — — — — насосной 277—286
— — — — — — — — районной 286—290
Длина отопительных приборов 161—163

З

Завеса воздушная тепловая 471, 620
Задвижка 198, 199
Закон Генри 201
— Джоуля-Ленца 590
— Ламберта 480
Затвор гидравлический 199, 389, 390, 396
Затраты на систему отопления 610—614
Зона влажности территории страны 62
— системы водяного отопления всасывания 277, 278
— — — — нагнетания 277, 278
— — — — по высоте здания 261, 262

И

Изменение давления при движении воды в горизонтальных трубах 271, 272
— — — — — в вертикальных трубах 272, 273
Изоляция виброзвуковая 210, 211
— тепловая 209
Инерция тепловая ограждающей конструкции 43, 58
— — отопительного прибора 128, 129 172, 499
Инфильтрация воздуха 98—103
— — в помещения одноэтажных зданий 99, 100
— — — — многоэтажных зданий 101—103
Использование тепловой мощности системы отопления 115
История водяного отопления в России 10—14

К

Калорифер 136, 137
Камин 557, 558
— газовый 573
— электрический 588
Клапан воздушный в кожухе конвектора 132, 171
— обратный 200, 239, 240
— предохранительный 253, 392, 401
— редукционный 394, 395
Классификация отопительных печей 531
— — приборов 126
— систем отопления 18—21
— — водяного отопления 26—28
— — воздушного отопления 30, 31
— — парового отопления 28—30, 387
— — электрического отопления 582
Кольцо циркуляционное в системе водяного отопления 325
— — — — — второстепенное 335
— — — — — малое 309, 341
— — — — — основное 332
Компенсация удлинения теплопроводов 179—181, 184
Конвектор без кожуха 134
— с кожухом 133, 134
— электрический 588
Конденсатоотводчик 199, 395—398
Конденсатопровод 29, 30, 388
— двухфазный 414
Конденсат попутный 384, 389
Контрольно-измерительные приборы (КИП) 643
Коэффициент воздухораспреде-

Электронная библиотека http://tgv.khstu.ru/

лителя скоростной 440, 458, 461
— — температурный 440, 458, 461
— гидравлического трения 327
— затекания воды 340, 341, 343, 359, 360
— местного сопротивления 327, 328, 343—345
— — — отопительных приборов 374
— неравномерности теплоотдачи отопительного прибора 73, 74, 76, 527
— обеспеченности 39, 40
— облученности 46, 48, 484, 485, 489, 491
— смешения воды 241
— теплообмена конвективного 46, 47, 492
— — лучистого 48, 491
— — на поверхности 46, 49
— теплопередачи ограждающей конструкции 94
— — отопительного прибора 145—153
— теплоусвоения поверхности ограждения 56, 57
— шероховатости труб 327
— экономайзерного эффекта 103
— эффективности отопительного прибора 109
Кран воздушный 206, 207
— двойной регулировки (КРД) 188, 193, 194
— запорный проходной (пробочный) 181, 198
— регулирующий с дросселирующим устройством 195
— — проходной (КРП) 187, 195, 196
— — трехходовой (КРТ) 188, 195—197

М

Магистраль системы центрального отопления 173, 174, 182—184
Материал отопительных приборов 127
Мероприятия противопожарные при проектировании печного отопления 560
Метр квадратный эквивалентный 160
Мощность тепловая отопительного прибора 159
— — системы отопления 17

Н

Нагрузка тепловая отопительного прибора 123, 325
— — системы отопления 326
— — стояка (ветви) 306
— — участка 325
Надежность системы отопления 320, 606, 681
Направление движения теплоносителя в магистралях 173
Насос конденсатный 393, 401
— подпиточный 215, 229, 238
— тепловой 598, 683, 709
— смесительный 216, 242—244
— циркуляционый 210, 214, 228, 232—234, 236
Натоп помещения 73—76, 671, 700
Нормирование отопления жилых зданий 700—703

О

Обеспеченность расчетных тепловых условий в помещении 38—40
Области применения систем отопления 385, 615—621
Обмер площадей ограждений помещений 91, 92
Объем активный отопительной печи 532
Окраска отопительных приборов 155
Отопительные приборы 16, 129—137
Отопление 5
Отопление воздушное местное 30, 426, 434
— — центральное 31, 426, 547
— газовое 564
— дежурное 427, 457, 620
— зданий с переменным тепловым режимом 73, 74, 618—620
— — с постоянным тепловым режимом 616—618
— квартирное 379, 445

Электронная библиотека http://tgv.khstu.ru/

— комбинированное 425, 601, 670
— конвективное 16
— лучистое 16, 478, 576
— — газовое 578—580
— панельно-лучистое 478, 584—586
— печное 527
— прерывистое 693
— сельскохозяйственных зданий 615
— солнечное 710—717
— теплонасосное 583, 598, 683, 709
— электрическое 582
— — аккумуляционное 592

П

Панель излучающая 126
— отопительная бетонная 131, 481, 496, 499—504
— — металлическая 130, 481, 495
Параметры наружного климата 40—44
— теплоносителя 24, 27, 29, 30
Пар водяной как теплоноситель 22, 26
— вторичного вскипания 393, 419, 420
Паропровод 29, 388
Печь отопительная 530
— — газовая 565
— электронагревательная 587
— электротеплоаккумулирующая 592
Плотность основных теплоносителей 22
— теплового потока отопительного прибора 138, 144, 156—158
— — — номинальная 158
Площадь нагревательной поверхности отопительного прибора 123, 159
— ограждающей конструкции расчетная 91, 92
Подача нагретого воздуха наклонная 437, 439
— — — сосредоточенная 437, 442
Подводка к отопительному прибору 178, 187—191
Показатели затухания и запаздывания температурных колебаний 58, 59, 595
— микроклимата помещений 35
Показатель теплового напряжения металла отопительного прибора 125
Потери давления линейные 275, 328
— — местные 275, 329
— — при эксплуатации систем водяного отопления 279
— — удельные 328
Поток тепловой номинальный 157
Применение типовых проектов отопления 634
Примеры расчета отопительных приборов 163—165
Присоединение теплопроводов к отопительным приборам 186—191
Проводимость стояка 331
— участка теплопровода 330
Проектирование системы отопления 624
Проект отопления — последовательность разработки 628
— — разработка с помощью ЭВМ 631
Пункт диспетчерский 649
— тепловой системы отопления 228, 231
Пуск системы отопления 658

Р

Радиатор секционный 129, 130
— стальной панельный 130, 131
— электрический 588
Размещение отопительных приборов в помещении 118, 119, 139, 140
— теплопроводов в здании 177—184
Разность давления воздуха по обе стороны ограждения 104
Разрегулирование гидравлическое вертикальное 322, 468, 657
— — горизонтальное 337

Электронная библиотека http://tgv.khstu.ru/

— тепловое 608
Распределение температуры в ограждении помещения 53
Расход воды в системе отопления 233, 326
— — — отопительном приборе относительный 153
— — в стояке (ветви) 305
— — на участке системы отопления 325
— металла на отопительные приборы 25
— — — теплопроводы 24
— нагретого воздуха 431, 432
— теплоты на отопление 116, 117
Расчет гидравлический конденсатопроводов 411—414
— — — двухфазных 414
— — — напорных 413
— — — сухих и мокрых безнапорных 411, 412
— — паропроводов 405—411
— — — высокого давления 409, 410
— — — низкого давления 406, 407
— — — системы водяного отопления 328—332
— — — — — — вертикальной однотрубной 341—346
— — — — — — — — с унифицированными стояками 375—377
— — — — — горизонтальной однотрубной 354—356
— — — — — — двухтрубной 346—352
— — — — — — малого циркуляционного кольца 341, 345, 346
— — — — — — по удельным линейным потерям давления 332—335
— — — — — — — характеристикам сопротивления 356—367
— — — парового отопления 415—419
— — стояков 336, 339, 345, 352—354
— проводимости однотрубных стояков системы водяного отопления 360, 361
— системы воздушного отопления 444, 459
— — — — центральной 460
— теплоаэродинамический газоходов отопительной печи 542, 543
— тепловой бетонной отопительной панели вертикальной 515, 516
— — — — — горизонтальной 513
— — отопительных приборов 159—163
— — — — на ЭВМ 165—168
— — теплопроводов 380, 466
— теплогидравлический рециркуляционного воздухонагревателя 451—453
— теплопотерь через пол помещений 90, 91
— топливника отопительной печи 538, 539
Регулирование системы отопления качественное 169, 646, 651
— — — количественное 170, 646, 651
— — — пусковое 643
— — — эксплуатационное 23, 169, 646
— теплопередачи отопительных приборов 23, 169—172, 647
— — — — автоматическое 170
— — — — ручное 171
Регулятор подачи воздуха 672
Режим влажностный ограждения помещения 61, 71
— движения жидкости ламинарный 327
— — — турбулентный 327
— здания воздушный 98
— — тепловой 32, 79, 607
— помещения нестационарный 72, 527
— работы системы отопления 637, 651
— тепловой элемента системы отопления 640
Рекомендации по проектированию системы отопления 523, 607, 610

Электронная библиотека http://tgv.khstu.ru/

Реконструкция системы отопления 660
Ремонт системы отопления 658

С

Саморегулирование системы отопления 257, 449, 655
Сезон отопительный 6
Секция радиатора 129, 130
Система кондиционирования микроклимата (СКМ) 32
— отопления 16
— — вакуумпаровая 403
— — водяная бифилярная 28, 174, 225, 226
— — — вертикальная 27, 174, 218—224
— — — высотных зданий 262—264
— — — геотермальная 716
— — — горизонтальная 27, 174, 225
— — — гравитационная 27, 256—259
— — — двухтрубная 28, 222—224, 506, 664
— — — децентрализованная 265—268, 423
— — — квартирная, 260, 261, 379—381
— — — насосная 27, 214
— — — однотрубная 28, 218—222, 224, 225
— — воздушная 425
— — местная 18, 19, 426, 479
— — низкотемпературная 704
— — паровая замкнутая 28, 388, 389
— — — разомкнутая 29, 392
— — — субатмосферная 403
— — пароводяная 421
— — прерывистая 699
— — районная 18
— — солнечная активная 713
— — — пассивная 710
— — теплонасосная 690
— — центральная 18
— — — воздушная 457
— — — панельно-лучистая 479
Скорость ветра 43
— витания 203
— движения воды 211
— — конденсата 413
— — нагретого воздуха 452
— — пара 211, 410
Соединение трубопроводов 177
Сопротивление ограждения воздухопроницанию 103
— теплообмену на поверхности внутренней 50, 51, 145—147
— — — — наружной 50, 51, 148, 149
— теплопередаче ограждения 51, 52
— — ограждения приведенное 68
— — — требуемое 63—66
— — — экономически целесообразное 63, 67
— — светового проема и двери 70
— — стенки отопительного прибора 145
Состав проекта отопления 625
Способы гидравлического расчета систем отопления 328—332, 409, 410
Сравнение систем отопления 607, 610
Стояк системы отопления 173, 180, 181
— — — унифицированный 375—377
Схема присоединения отопительных приборов к теплопроводам 154, 186—191
— — системы водяного отопления к наружным теплопроводам зависимая прямоточная 214, 216
— — — — — — — — зависимая со смешением 214, 215
— — — — — — — — независимая 214, 215
— расчетная система водяного отопления вертикальной однотрубной 305, 310, 311
— — — — — горизонтальной однотрубной 317
— — — — — двухтрубной 315
— системы водяного отопления 217—226

Электронная библиотека http://tgv.khstu.ru/

— — воздушного отопления 428
— — парового отопления 388, 392

Т

Таблица гидравлического расчета напорных конденсатопроводов 416
— — — систем водяного отопления 344, 349—351, 371
— — — паропроводов высокого давления 418
— — — — низкого давления 407
Температура внутренней поверхности ограждения 52, 60
— воздуха внутреннего 16, 36, 37, 484
— — нагретого 30, 432, 442, 452, 458, 460
— — наружного 41—43
— нагретой поверхности в помещении допустимая 37, 38, 485, 487
— охлажденной поверхности 37
— поверхности ограждения в помещении расчетная 52, 60
— помещения 35, 36, 487
— радиационная 16, 36, 484
— теплоносителя 20, 27, 29, 30
— — в однотрубном стояке (ветви) системы водяного отопления 306
— — средняя в отопительном приборе 156, 157
— — — — теплообменнике 230
Тепловыделения в помещении бытовые 110
Теплоемкость воды массовая удельная 124
— материала объемная 108
— отопительной печи 532
Теплозатраты на нагревание воздуха 104
— — — материалов 107
— — отопление текущие 17
Теплоисточник 16
Теплоноситель системы отопления 17, 21, 25, 505
Теплообмен на поверхности в помещении 45—48
— — — наружной 49
Теплообменник водо-водяной 214, 229, 230
— газовоздушный 574, 575
Теплоотдача отопительных приборов 159
— — — бесполезная 110
— теплопроводов 160
— — бесполезная 110
— человека 34, 107
Теплопередача нестационарная 79
— стационарная 50—52
Теплопоступления в помещение от электрического оборудования 108
— — — — нагретых материалов 108
Теплопотери здания по укрупненным измерителям 113, 114
— помещения 86, 89
— — добавочные 92, 93
— через ограждения помещения 87, 90
Теплопровод 16, 173
Теплота конденсации пара удельная 29, 124
Теплоусвоение пола помещения 70
Теплоустойчивость ограждающей конструкции 55—59
— помещения 72, 74
Топливник отопительной печи 535
Топология системы отопления 217
Точка постоянного давления в системе водяного отопления 276
Требования к системе отопления 18
— к отопительным приборам 124, 125
Труба воздушная 207, 208, 224, 391
— дренажная 199
— дымовая отопительной печи 544—546
— ребристая 134, 135
— теплоизлучающая 576
Трубы для системы отопления 175, 176

Электронная библиотека http://tgv.khstu.ru/

У

Увязка при гидравлических расчетах 336
Удаление воздуха из системы водяного отопления 204—208
— — — парового отопления 208
Удлинение теплопроводов 178
Уклои теплопроводов 184—186
Управление работой системы отопления 648
Уравнение Гей-Люссака 251
— теплового баланса поверхности 45, 488, 490
Условия температурной комфортиости в помещении 36, 37
Установка смесительная 240
Устойчивость системы отопления гидравлическая 322, 339, 640
— — — тепловая 320—322, 468, 608, 640, 681
Устройство предохранительное 389
Утка 179
Участок системы отопления 25
Учет влажности материала при расчете теплопередачи 61, 72

Ф

Фактор формы элемента ограждения помещения 68, 69
Фасонные части труб 327
Фильтрация воздуха через ограждение 60, 61, 71
Формула Дарси-Вейсбаха 326
— Колбрука 327
— Пуазайля 327

Х

Характеристика здания тепловая удельная 111, 112
— геометрическая воздушной струи 438
— гидравлическая системы отопления 652
— гидравлического сопротивления участка системы отопления 330
— — — удельная 357
— — — узла участков системы отопления 330
— тепловая элемента системы отопления 641

Ц

Центр нагревания в системе отопления 302
— охлаждения в системе отопления 302

Ч

Число Био 509
— Рейнольдса 327

Ш

Шайба дросселирующая (диафрагма) 401, 407, 408
Шум в системе отопления 210, 211, 235

Э

Экоиомичность системы отопления 610—614
Экономия теплоты на отопление 675
Элеватор водоструйный 216, 231, 244—247
Электрокалорифер 603
Электрокамин 588
Электроконвектор 589
Электрокотел 601
Электрорадиатор 588
Электротепловентилятор 589
Эпюра давления гидростатического в насосной системе водяного отопления 278, 292
— — циркуляционного в системе водяного отопления 334, 338, 352
Эффект Пельтье 598
Эффективность отопления здания 319
— системы отопления 606—609, 681

Электронная библиотека http://tgv.khstu.ru/

ОГЛАВЛЕНИЕ

Предисловие 3
Введение 5
Раздел I. **Общие сведения об отоплении** 16
Глава 1. Характеристика систем отопления 16
§ 1.1. Система отопления 16
§ 1.2. Классификация систем отопления 18
§ 1.3. Теплоносители в системах отопления 21
§ 1.4. Основные виды систем отопления 26
Глава 2. Тепловой режим отапливаемого здания 32
§ 2.1. Тепловая обстановка и условия комфортности для человека в помещении 35
§ 2.2. Обеспеченность расчетных условий 38
§ 2.3. Характеристики наружного климата холодного периода года 41
§ 2.4. Теплообмен на нагретой и охлажденной поверхностях в помещении и на наружной поверхности ограждения здания 45
§ 2.5. Стационарная передача теплоты через наружные ограждения 50
§ 2.6. Теплоустойчивость ограждений 55
§ 2.7. Влияние воздухопроницания и влажности материалов на теплопередачу через ограждение 60
§ 2.8. Защитные свойства наружных ограждений . . . 62
§ 2.9. Нестационарный тепловой режим, теплоустойчивость помещения 72
§ 2.10. Регулярный тепловой режим; остывание и нагревание помещения 79
Глава 3. Тепловая мощность системы отопления 85
§ 3.1. Тепловой баланс помещения 85
§ 3.2. Потери теплоты через отдельные ограждения в помещении 87
§ 3.3. Расчетные основные теплопотери помещения . . . 89
§ 3.4. Потери теплоты на нагревание наружного воздуха при инфильтрации через наружные ограждения . . 98
§ 3.5. Затраты теплоты на нагревание холодных материалов, тепловыделения в помещении 107
§ 3.6. Тепловая эффективность отопительного устройства в помещении и выбор установочной тепловой мощности системы отопления 109
§ 3.7. Удельная тепловая характеристика здания и расчет потребности в теплоте на отопление по укрупненным измерителям 111
§ 3.8. Использование тепловой мощности системы отопления и годовые затраты теплоты на отопление 114
§ 3.9. Учет особенностей теплового режима здания при выборе его системы отопления 117
Раздел II. **Элементы систем центрального отоплении** . . 123
Глава 4. Отопительные приборы 123
§ 4.1. Требования, предъявляемые к отопительным приборам 123
§ 4.2. Классификация отопительных приборов . . . 126

Электронная библиотека http://tgv.khstu.ru/

§ 4.3. Описание отопительных приборов 129
§ 4.4. Выбор и размещение отопительных приборов. . 137
§ 4.5. Коэффициент теплопередачи отопительного прибора 144
§ 4.6. Плотность теплового потока отопительного прибора 156
§ 4.7. Тепловой расчет отопительных приборов . . . 159
§ 4.8. Тепловой расчет отопительных приборов с помощью ЭВМ 165
§ 4.9. Регулирование теплопередачи отопительных приборов 169
Глава 5. Теплопроводы системы отопления 173
§ 5.1. Классификация и материал теплопроводов . . 173
§ 5.2. Размещение теплопроводов в зданин 177
§ 5.3. Присоединение теплопроводов к отопительным приборам 186
§ 5.4. Размещение запорно-регулнрующей арматуры . 192
§ 5.5. Удаление воздуха из системы отопления 200
§ 5.6. Изоляция теплопроводов 208
Раздел III. **Водяное** отопление 213
Глава 6. Система водяного отопления 213
§ 6.1. Теплоснабжение системы водяного отопления . . 213
§ 6.2. Схемы системы насосного водяного отопления . . 217
§ 6.3. Тепловой пункт системы водяного отопления. . . 227
§ 6.4. Циркуляционный насос системы водяного отопления 232
§ 6.5. Смесительная установка системы водяного отопления 240
§ 6.6. Расширительный бак системы водяного отопления 248
§ 6.7. Система отопления с естественной циркуляцией воды 255
§ 6.8. Система водяного отопления высотных зданий . 261
§ 6.9. Децентрализованная система водо-водяного отопления 265
Глава 7. Расчет давления в системе водяного отопления. . 269
§ 7.1. Изменение давления при движении воды в трубах 269
§ 7.2. Динамика давления в системе водяного отопления 273
§ 7.3. Естественное циркуляционное давление 300
§ 7.4. Расчет естественного циркуляционного давления в системе водяного отопления 304
§ 7.5. Расчетное циркуляционное давление в насосной системе водяного отопления 318
Глава 8. Гидравлический расчет системы водяного отопления 324
§ 8.1. Основные положения гидравлического расчета системы водяного отопления 324
§ 8.2. Способы гидравлического расчета системы водяного отопления 328
§ 8.3. Гидравлический расчет системы водяного отопления по удельной линейной потере давления 332
§ 8.4. Гидравлический расчет системы водяного отопления по характеристикам сопротивления и проводимостям . 356
§ 8.5. Особенности гидравлического расчета системы отопления с приборами из труб 373

Электронная библиотека http://tgv.khstu.ru/

§ 8.6. Особенности гидравлического расчета системы отопления со стояками унифицированной конструкции 375
§ 8.7. Особенности гидравлического расчета системы отопления с естественной циркуляцией воды 378
Раздел IV. Паровое, воздушное и панельно-лучистое отопление 384
Глава 9. Паровое отопление 384
§ 9.1. Система парового отопления 384
§ 9.2. Схемы и устройство системы парового отопления 386
§ 9.3. Оборудование системы парового отопления . . 394
§ 9.4. Системы вакуум-парового и субатмосферного отопления 402
§ 9.5. Выбор начального давления пара в системе . . 404
§ 9.6. Гидравлический расчет паропроводов низкого давления 404
§ 9.7. Гидравлический расчет паропроводов высокого давления 410
§ 9.8. Гидравлический расчет конденсатопроводов . . 411
§ 9.9. Последовательность расчета системы парового отопления 415
§ 9.10. Использование пара вторичного вскипания . . 419
§ 9.11. Система пароводяного отопления 421
Глава 10. Воздушное отопление 425
§ 10.1. Система воздушного отопления 425
§ 10.2. Схемы системы воздушного отопления 428
§ 10.3. Количество и температура воздуха для отопления 431
§ 10.4. Местное воздушное отопление 434
§ 10.5. Отопительные агрегаты 435
§ 10.6. Расчет подачи воздуха, нагретого в отопительном агрегате 439
§ 10.7. Квартирная система воздушного отопления . . 445
§ 10.8. Рециркуляционные воздухонагреватели . . . 447
§ 10.9. Центральное воздушное отопление 457
§ 10.10. Особенности расчета воздуховодов центрального воздушного отопления 465
§ 10.11. Смесительные воздушно-тепловые завесы . . . 471
Глава 11. Панельно-лучистое отопление 478
§ 11.1. Система панельно-лучистого отопления . . . 478
§ 11.2. Температурная обстановка в помещении при панельно-лучистом отоплении 483
§ 11.3. Теплообмен в помещении при панельно-лучистом отоплении 487
§ 11.4. Конструкция отопительных панелей 494
§ 11.5. Описание бетонных отопительных панелей . . 499
§ 11.6. Теплоносители и схемы системы панельного отопления 505
§ 11.7. Площадь и температура поверхности отопительных панелей 508
§ 11.8. Расчет теплопередачи отопительных панелей. . 566
§ 11.9. Особенности проектирования системы панельного отопления 533
Раздел V. Местное отопление 527

Электронная библиотека http://tgv.khstu.ru/

Глава 12. Печное отопление 527
§ 121.1. Характеристика печного отопления 527
§ 12.2. Общее описание отопительных печей 530
§ 12.3. Классификация отопительных печей 531
§ 12.4. Конструирование и расчет топливников теплоемких печей 535
§ 12.5. Конструирование и расчет газоходов теплоемких печей 540
§ 12.6. Конструирование дымовых труб для печей . . 544
§ 12.7. Современные теплоемкие отопительные печи . . 546
§ 12.8. Нетеплоемкие отопительные печи 555
§ 12.9. Проектирование печного отопления 558
Глава 13. Газовое отопление 564
§ 13.1. Общие сведения 564
§ 13.2. Газовые отопительные печи 565
§ 13.3. Газовые водонагреватели 569
§ 13.4. Газовые нетеплоемкие отопительные приборы . 571
§ 13.5. Газовоздушные теплообменники 573
§ 13.6. Газовоздушное лучистое отопление 576
§ 13.7. Газовое лучистое отопление 578
Глава 14. Электрическое отопление 582
§ 14.1. Общие сведения 582
§ 14.2. Электрические отопительные приборы . . . 583
§ 14.3. Электрическое аккумуляционное отопление . . 592
§ 14.4. Электрическое отопление с помощью теплового насоса 598
§ 14.5. Комбинированное отопление с использованием электрической энергии 601
Раздел VI. Проектирование системы центрального отопления 606
Глава 15. Сравнение основных систем отопления . . . 606
§ 15.1. Технические показатели систем отопления . . 607
§ 15.2. Экономические показатели систем отопления . . 610
§ 15.3. Области применения систем отопления . . . 615
§ 15.4. Условия выбора системы отопления 621
Глава 16. Разработка системы отопления 624
§ 16.1. Процесс проектирования; состав проекта отопления 624
§ 16.2. Нормы и правила проектирования отопления . 626
§ 16.3. Последовательность проектирования отопления 628
§ 16.4. Проектирование отопления с помощью ЭВМ . . 631
§ 16.5. Типовые проекты отопления, их применение . . 634
Раздел VII. Повышение эффективности системы отопления 637
Глава 17. Режим работы и регулирование системы отопления 637
§ 17.1. Режим работы системы отопления 637
§ 17.2. Регулирование системы отопления 642
§ 17.3. Управление работой системы отопления . . . 648
§ 17.4. Особенности режима работы и регулирования различных систем отопления 651
Глава 18. Совершенствование системы центрального отопления 660

Электронная библиотека http://tgv.khstu.ru/

§ 18.1. Реконструкция системы отопления 660
§ 18.2. Двухтрубная система водяного отопления повышенной тепловой устойчивости 664
§ 18.3. Однотрубная система водяного отопления с термосифонными отопительными приборами 668
§ 18.4. Комбинированное отопление 670
Раздел VIII. **Энергосбережение в системах отопления** 675
Глава 19. Экономия теплоты на отопление 675
§ 19.1. Снижение энергопотребности отопления здания 675
§ 19.2. Повышение эффективности отопления здания 681
§ 19.3. Теплонасосные установки для отопления . . . 683
§ 19.4. Экономия теплоты при автоматизации работы системы отопления 691
§ 19.5. Прерывистое отопление зданий 693
§ 19.6. Нормирование отопления жилых зданий . . . 700
Глава 20. Утилизация природной и сбросной теплоты в системах отопления 703
§ 20.1. Системы низкотемпературного отопления . . . 703
§ 20.2. Системы солнечного отопления 709
§ 20.3. Системы геотермального отопления 718
§ 20.4. Системы отопления с использованием сбросной теплоты 721
Список литературы 723
Предметный указатель 724

УЧЕБНОЕ ИЗДАНИЕ

БОГОСЛОВСКИЙ ВЯЧЕСЛАВ НИКОЛАЕВИЧ,
СКАНАВИ АЛЕКСАНДР НИКОЛАЕВИЧ

ОТОПЛЕНИЕ

Художественный редактор **Л. Ф. Егоренко**
Технический редактор **Ю. Л. Циханкова**
Корректор **Н. А. Маликова**
ИБ № 4643

Сдано в набор 20.06.90. Подписано в печать 22.01.91.
Формат 84×108$^{1}/_{32}$. Бумага тип. № 1. Гарнитура «Литературная».
Печать высокая. Усл. печ. л 38,64. Усл. кр.-отт. 38,64. Уч.-изд. л. 39,32.
Тираж 43 000 экз. Изд. № А1—2199 Заказ № 765. Цена 3 руб.

Стройиздат. 101442 Москва, Каляевская, 23а

Ордена Октябрьской Революции и ордена Трудового Красного Знамени МПО «Первая Образцовая типография» Государственного комитета СССР по печати. 113054, Москва, Валовая, 28

Отпечатано с матриц во Владимирской типографии Госкомитета СССР по печати 600000, г. Владимир, Октябрьский пр. д. 7

Электронная библиотека http://tgv.khstu.ru/